



انتشارات دانشگاه فردوسی مشهد ، شماره ۲۳۹

مبانی

روان کاری فیلم سیال

برنارد ج. همراه

ترجمه

دکتر اصغر بودران رحیمی

Hamrock, Bernard J.

همراک، برنارد

مبانی روانکاری فیلم سیال / برنارد ج. همراک؛ ترجمه اصغر برادران رحیمی . مشهد :

۱۳۷۷ .

دانشگاه فردوسی مشهد ، مؤسسه چاپ و انتشارات ، ۴۸۶ ص . : مصور ، جدول ، نمودار . - (انتشارات دانشگاه فردوسی مشهد) (۲۳۹)

(ISBN: 964-6335-34-9)

فهرستنامه براساس اطلاعات فیبا (فهرستنامه پیش از انتشار)

Fundamentals of Fluid Film lubrication.

عنوان اصلی :

کتابخانه :

۱. باتاقانها - لایه سیال . ۲. باتاقانها - روغن و روغنکاری . الف. برادران رحیمی ، اصغر ،

متجم . ب. دانشگاه فردوسی مشهد ، مؤسسه چاپ و انتشارات . ج. عنوان .

۶۲۱/۸۹

TJ ۱۰۶۳ / ۲

۱۳۷۷

م ۷۷-۱۳۹۰۵

کتابخانه ملی ایران

شناسنامه کتاب

نام : مبانی روانکاری فیلم سیال

تألیف : برنارد ج. همراک

ترجمه : دکتر اصغر برادران رحیمی

ویراستار علمی : دکتر علی کیانی فر

ویراستار ادبی : جواد میزان

ناشر : انتشارات دانشگاه فردوسی مشهد

تاریخ انتشار : زمستان ۱۳۷۷

شمارگان : ۲۰۰۰ نسخه - چاپ اول

امور فنی و چاپ : مؤسسه چاپ و انتشارات دانشگاه فردوسی مشهد

قیمت : ۱۳۰۰۰ ریال

(ISBN: 964-6335-34-9)

شابک : ۹۶۴-۶۳۳۵-۳۴-۹

فهرست مطالب

هفده	پیشگفتار مترجم
۱	فصل اول - مقدمه
۲	۱-۱ سطوح همدیسی و ناهمدیسی
۳	۱-۲ شیوه‌های روان‌کاری
۴	۱-۲-۱ جنبه تاریخی
۵	۱-۲-۲ روان‌کاری هیدرودینامیکی
۷	۱-۲-۳ روان‌کاری الاستو هیدرودینامیکی
۷	۱-۲-۳-۱ EHL سخت
۹	۱-۲-۳-۲ EHL نرم
۱۰	۱-۲-۴ روان‌کاری مرزی
۱۲	۱-۲-۵ روان‌کاری جزئی
۱۳	۱-۳ مؤخره
۱۴	۱-۴ مسائل
۱۵	۱-۵ فهرست منابع و مأخذ
۱۷	فصل دوم - طبقه‌بندی و انتظاب یاتالان
۱۸	۲-۱ طبقه‌بندی یاتاقان

۱۸	۲-۱-۱ یاتاقانهای با مالش خشک
۱۸	۲-۱-۲ یاتاقانهای آغشته شده
۲۰	۲-۱-۳ یاتاقانهای فیلم سیال همدیسی
۲۰	۲-۱-۴ یاتاقانهای با عضو چرخنده
۲۱	۲-۲ انتخاب یاتاقان
۳۲	۲-۳ مؤخره
۳۲	۲-۴ مسائل
۳۳	۲-۵ فهرست منابع و مأخذ

۳۵	فصل سوم - موضع تکاری سطوح
۳۶	۳-۱ مشخصه‌های هندسی سطوح
۳۶	۳-۲ اندازه‌گیریهای سوزنی
۳۹	۳-۳ چند وسیله اندازه‌گیر بدون تماس
۴۱	۳-۴ خطوط مرجع
۴۱	۳-۴-۱ سیستم مربوط یا M
۴۲	۳-۴-۲ متوسط ده نقطه
۴۲	۳-۴-۳ کوچکترین مربعات
۴۳	۳-۵ محاسبه پارامترهای سطح
۵۱	۳-۶ پارامتر همبستگی اتوماتیک
۵۲	۳-۷ توزیع شب و انحصار
۵۳	۳-۸ پارامترهای فیلمی برای نواحی مختلف روان‌کاری
۵۴	۳-۹ عبور بین نواحی روان‌کاری
۵۶	۳-۱۰ مؤخره
۵۷	۳-۱۱ مسائل
۵۸	۳-۱۲ فهرست منابع و مأخذ

۵۹	فصل چهارم - خواص روان کنندگان
۶۰	۴-۱ مبانی شیمیایی
۶۰	۱-۴-۱ هیدروکربنها
۶۳	۴-۱-۲ الکلها
۶۴	۴-۱-۳ اسیدهای چرب
۶۶	۴-۱-۴ هیدروکربنها دورة ای
۶۸	۴-۲ سیالات نیوتونی
۶۸	۴-۳ فرضیه نیوتون
۶۹	۴-۴ واحدهای لزجت مطلق
۷۱	۴-۵ لزجت سینماتیک
۷۲	۴-۶ سیستم درجه لزجت
۷۴	۴-۷ اثرات لزجت - فشار
۸۱	۴-۸ اثرات لزجت - دما
۸۶	۴-۹ اثرات لزجت - فشار - دما
۸۷	۴-۱۰ اثرات نرخ لزجت - برش
۸۸	۴-۱۱ ایندکس لزجت
۹۱	۴-۱۲ پایداری اکسیداسیون
۹۲	۴-۱۳ نقطه ریزش
۹۲	۴-۱۴ جرم مخصوص
۹۸	۴-۱۵ تنش برشی حدی
۱۰۱	۴-۱۶ روغن مصرفی نفتی یا معدنی
۱۰۱	۴-۱۷ روغن مصرفی مصنوعی
۱۰۲	۴-۱۷-۱ هیدروکربنها مصنوعی
۱۰۳	۴-۱۷-۲ استرهای آلی
۱۰۳	۴-۱۷-۳ پولی گلیلوکز
۱۰۵	۴-۱۷-۴ استرهای فوسفاته
۱۰۵	۴-۱۷-۵ ترکیبات سیلیکون دار

۱۰۶	۴-۱۷-۵-۱	استرهای سیلکاته
۱۰۶	۴-۱۷-۵-۲	سیلیکونها
۱۰۶	۴-۱۷-۵-۳	سیلن ها
۱۰۶	۴-۱۷-۶	ترکیبات هالوژن دار
۱۰۷	۴-۱۷-۷	پولی آریلهای هالوژن دار
۱۰۷	۴-۱۷-۸	فلوروکربنها
۱۰۸	۴-۱۷-۹	پرفلوروپولی گلیکولها
۱۰۸	۴-۱۸	مواد مصرفی چربی
۱۰۸		غليظ‌كتنده‌ها
۱۰۹	۴-۱۸-۱-۱	صابون کلسیم پایدارشده با آب (غليظ‌كتنده نوع فنجانی)
۱۰۹	۴-۱۸-۱-۲	صابون آهایدروس - کلسیم
۱۱۰	۴-۱۸-۱-۳	صابون سدیم
۱۱۰	۴-۱۸-۱-۴	صابون لیتیوم
۱۱۱	۴-۱۸-۱-۵	صابونهای پیچیده
۱۱۱	۴-۱۸-۱-۶	پولی اوریها
۱۱۱	۴-۱۸-۱-۷	غليظ‌كتنده‌های رسی
۱۱۲	۴-۱۸-۱-۲	روغن روان‌کاری کتنده
۱۱۳	۴-۱۹	گازها
۱۱۶	۴-۲۰	مؤخره
۱۱۷	۴-۲۱	مسائل
۱۱۷	۴-۲۲	فهرست منابع و مأخذ
۱۱۹		فصل پنجم - مواد یاتاقان
۱۱۹	۵-۱	مشخصه‌های مواد
۱۲۲	۵-۲	یاتاقانهای فلزی
۱۲۲	۵-۲-۱	آگیازهای بر مبنای قلع و سرب

۱۲۴	۵-۲-۲ آگیازهای بر مبنای مس
۱۲۴	۵-۲-۳ برنزها
۱۲۵	۵-۳ غیرفلزات
۱۲۶	۵-۳-۱ گرافیتهای کربنی
۱۲۷	۵-۳-۲ فنولیکها
۱۳۰	۵-۳-۳ نایلون
۱۳۰	۵-۳-۴ تفلون
۱۳۱	۵-۴ شکل سطوح یاتاقان
۱۳۲	۵-۵ مواد و رهیافت‌های ساخت یاتاقانهای با عضو چرخنده
۱۳۳	۵-۵-۱ آگیازهای آهنی
۱۳۵	۵-۵-۲ سرامیکها
۱۳۶	۵-۶ خواص مواد متداول یاتاقان
۱۳۷	۵-۶-۱ دانسیت جرمی
۱۳۸	۵-۶-۲ مدول کشسانی و ضریب پویسان
۱۴۳	۵-۶-۳ ضریب انبساط خطی حرارتی
۱۴۶	۵-۶-۴ ضریب هدایت حرارتی
۱۴۷	۵-۶-۵ ظرفیت ویژه حرارتی
۱۵۰	۵-۷ مؤخره
۱۵۱	۵-۸ مسائل
۱۵۱	۵-۹ فهرست منابع و مأخذ
۱۵۳	فصل ششم - جزیای لزج
۱۵۴	۶-۱ معادله پتروف
۱۵۶	۶-۲ معادلات ناوبر - استوکس
۱۵۷	۶-۲-۱ نیروهای سطحی
۱۶۰	۶-۲-۲ نیروهای جرمی
۱۶۰	۶-۲-۳ نیروهای اینرسی

۱۶۱	۶-۲-۴ تعادل
۱۶۲	۶-۲-۵ شکل‌های استاندارد
۱۶۲	۶-۲-۵-۱ مختصات کارتزین
۱۶۳	۶-۲-۵-۲ مختصات استوانه‌ای
۱۶۴	۶-۲-۵-۳ مختصات کروی
۱۶۵	۶-۲-۵-۴ جریان مغشوش-مختصات کارتزین
۱۶۶	۶-۳ معادله پیوستگی
۱۶۹	۶-۴ جریان بین صفحات تخت موازی
۱۷۱	۶-۵ جریان در یک لوله مدور
۱۷۳	۶-۶ جریان به سمت پایین روی یک صفحه عمودی
۱۷۶	۶-۷ لزجت سنجها
۱۷۶	۶-۷-۱ لزجت سنج کاپیلاری
۱۷۸	۶-۷-۲ لزجت سنج چرخشی
۱۷۸	۶-۷-۲-۱ لزجت سنج چرخشی استوانه‌ای
۱۸۰	۶-۷-۲-۲ لزجت سنج شامل مخروط و صفحه
۱۸۰	۶-۷-۳ لزجت سنج ساقمه‌ای با سقوط آزاد
۱۸۱	۶-۸ مؤخره
۱۸۲	۶-۹ مسائل
۱۸۴	۶-۱۰ فهرست منابع و مأخذ
۱۸۵	فصل هفتم- معادله رینولدز
۱۸۵	۷-۱ اعداد بدون بعد
۱۸۷	۷-۱-۱ عدد رینولدز
۱۹۰	۷-۱-۲ عدد تیلور
۱۹۱	۷-۱-۳ عدد فرود
۱۹۲	۷-۱-۴ عدد اولر
۱۹۳	۷-۲ معادله رینولدز به دست می‌آید

۱۹۳	۷-۲-۱ از معادلات ناویر- استوکس و پیوستگی
۱۹۸	۷-۲-۲ از قوانین جریان لزج و اصل بقاء جرم
۱۹۹	۷-۳ اهمیت فیزیکی جملات در معادله رینولدز
۲۰۱	۷-۳-۱ عبارت گوهای جرم مخصوص
۲۰۲	۷-۳-۲ عبارت کشیدگی
۲۰۲	۷-۳-۳ جمله گوهای فیزیکی
۲۰۴	۷-۳-۵ جمله فشردگی انتقال
۲۰۵	۷-۳-۶ جمله انبساط موضعی
۲۰۵	۷-۴ شکل‌های تبدیل یافته استاندارد معادله رینولدز
۲۱۰	۷-۵ حرکت‌های مختلف عمودی فشرده و لغزشی
۲۱۲	۷-۶ مؤخره
۲۱۳	۷-۷ مسائل
۲۱۵	۷-۸ فهرست منابع و مأخذ
 فصل هشتم - یاتاقان‌های کف گرد هیدرودینامیکی حل‌های تحلیلی	
۲۱۷	۸-۱ مکانیزم توسعه فشار
۲۱۷	۸-۲ تئوری عمومی یاتاقان کف گرد
۲۱۹	۸-۳ یاتاقان کشویی با سطوح موازی
۲۲۵	۸-۴ یاتاقان کشویی با شب ثابت
۲۲۶	۸-۴-۱ توزیع فشار
۲۲۷	۸-۴-۲ مؤلفه بار عمودی
۲۳۰	۸-۴-۳ مؤلفه‌های نیروی مماسی
۲۳۱	۸-۴-۴ مؤلفه‌های نیروی برشی
۲۳۲	۸-۴-۵ ضریب اصطکاک
۲۳۳	۸-۴-۶ نرخ جریان حجمی
۲۳۵	۸-۴-۷ آنت قدرت و افزایش دما
۲۳۶	۸-۴-۸ مرکز فشار

۲۳۷	۸-۴-۹ نمایه سرعت و تابع جریان
۲۴۳	۸-۵ یاتاقان کشوبی پله موازی
۲۴۴	۸-۵-۱ توزیع فشار
۲۴۶	۸-۵-۲ مؤلفه‌های بار عمودی و مماسی
۲۴۸	۸-۵-۳ ضریب اصطکاک و نرخ جریان حجمی
۲۴۸	۸-۵-۴ افت قدرت ، افزایش دما ، و مرکز فشار
۲۴۹	۸-۶ مؤخره
۲۵۰	۸-۷ مسائل
۲۵۴	۸-۸ فهرست منابع و مأخذ

۲۵۵	فصل نهم - یاتاقانهای کف گرد هیدرودینامیکی - حلهای عددی
۲۵۶	۹-۱ یاتاقان کشوبی کف‌شک پله‌ای موازی با عرض معین
۲۵۶	۹-۱-۱ توزیع فشار
۲۶۱	۹-۱-۲ مؤلفه عمودی بار
۲۶۱	۹-۱-۳ نتایج
۲۶۵	۹-۲ یاتاقان کشوبی با کف‌شک با شیب ثابت
۲۷۱	۹-۳ یاتاقان کشوبی کف‌شک لولایی
۲۷۸	۹-۴ هندسه یاتاقان کف گرد
۲۷۹	۹-۵ مؤخره
۲۸۰	۹-۶ مسائل
۲۸۱	۹-۷ فهرست منابع و مأخذ

۲۸۳	فصل دهم - یاتاقانهای زورنال هیدرودینامیکی حلهای تحلیلی
۲۸۴	۱۰-۱ راه حل یاتاقان ژورنال با عرض بی نهایت
۲۸۷	۱۰-۱-۱ حل کامل سامرفلد
۲۹۴	۱۰-۱-۲ حل نیمه سامرفلد
۲۹۶	۱۰-۱-۳ شرایط مرزی رینولدز

۲۹۸ ۳۰۳ ۳۰۴ ۳۰۵	۱۰-۲ تئوری یاتاقان ژورنال با عرض کوتاه ۱۰-۳ مؤخره ۱۰-۴ مسائل ۱۰-۵ فهرست منابع و مأخذ
۳۰۷ ۳۰۸ ۳۱۲ ۳۱۳ ۳۱۴ ۳۱۴ ۳۱۷ ۳۲۴	فصل یازدهم - یاتاقنهای ژورنال با بار دینامیکی ۱۱-۱ معادله رینولدز مربوطه ۱۱-۱-۱ شرایط حالت یکنواخت ۱۱-۱-۲ نبودن چرخش ۱۱-۱-۳ پیچش نیمه متناوب ۱۱-۲ حل سامر فیلد یاتاقان ژورنال با عرض بی نهایت ۱۱-۳ خطی سازی عکس العمل یاتاقان ۱۱-۴ پایداری یاتاقان ژورنال
۳۲۷ ۳۳۴	۱۱-۵ خطی سازی عکس العمل یاتاقان در به کارگیری یاتاقنهای ژورنال با عرض کوتاه ۱۱-۶ مؤخره ۱۱-۷ مسائل ۱۱-۸ فهرست منابع و مأخذ
۳۳۵ ۳۳۵ ۳۳۸ ۳۴۵ ۳۴۷ ۳۵۵ ۳۵۵ ۳۵۶	فصل دوازدهم - یاتاقنهای ژورنال هیدرودینامیکی - حلهاي عددی ۱۲-۱ پارامترهای کار و عملکرد ۱۲-۲ نتایج پارامتر عملکرد ۱۲-۳ روشهای بهینه سازی ۱۲-۴ وضعیتهای غیرساده ۱۲-۵ مؤخره ۱۲-۶ مسائل ۱۲-۷ فهرست منابع و مأخذ

۳۵۷	فصل سیزدهم - یاتاقانهای فیلم فشرده شده هیدرودینامیکی
۳۵۸	۱۳-۱ یاتاقان با سطوح موازی و با عرض بی نهایت
۳۶۳	۱۳-۲ یاتاقان ژورنال
۳۶۷	۱۳-۳ صفحه مدور موازی
۳۶۹	۱۳-۴ سیلندر بی نهایت بلند نزدیک یک صفحه
۳۷۲	۱۳-۵ مؤخره
۳۷۳	۱۳-۶ مسائل
۳۷۴	۱۳-۶-۳ فهرست منابع و مأخذ
۳۷۷	فصل چهاردهم - روان کاری هیدرولاستاتیکی
۳۷۸	۱۴-۱ تشکیل فیلم سیال
۳۷۹	۱۴-۲ توزیع فشار و جریان
۳۸۲	۱۴-۳ مؤلفه بار عمودی
۳۸۳	۱۴-۴ گشتاور اصطکاکی و افت توان
۳۸۶	۱۴-۵ ضرایب کفشد
۳۸۷	۱۴-۵-۱ کفشد یاتاقان پله‌ای مدور
۳۸۹	۱۴-۵-۲ یاتاقان کف گرد حلقه‌ای
۳۹۰	۱۴-۵-۳ قطاعهای مستطیلی
۳۹۳	۱۴-۶ اجزاء جبرانی
۳۹۳	۱۴-۶-۱ جبران موینی
۳۹۵	۱۴-۶-۲ جبران روزنۀ ای
۳۹۶	۱۴-۶-۳ شیر جبرانی با جریان ثابت
۳۹۷	۱۴-۷ مؤخره
۴۰۱	۱۴-۸ مسائل
	۱۴-۹ فهرست منابع و مأخذ

- لصل پانزدهم - پالالانهای هیدرودینامیکی در نظرگیری اثرات مرتبه بالاتر ۴۰۳
- ۱۵-۱ حلهای از مرتبه ۱ (P_{∞} و $\bar{\Phi}_{00}$) ۴۰۸
- ۱۵-۲ حلهای از مرتبه ۲ (h_0 / l ، $(P_{01} \bar{\Phi}_{01})$ و (P_{01})) ۴۱۰
- ۱۵-۳ تصحیح ایرسی ($\bar{\Phi}_{10}$ و (P_{01})) ۴۱۳
- ۱۵-۴ مؤلفه‌های نیرو ۴۱۵
- ۱۵-۵ یاتاقان کشوبی با شبیث ثابت ۴۱۹
- ۱۵-۶ مؤخره ۴۲۰
- ۱۵-۷ مسائل ۴۲۱
- ۱۵-۸ فهرست منابع و مأخذ ۴۲۱
-
- لصل شانزدهم - پالالانهای کف گردروان کاری شونده با گاز ۴۲۳
- ۱۶-۱ معادله رینولدز ۴۲۴
- ۱۶-۱-۱ حلهای حدی ۴۲۷
- ۱۶-۱-۱-۱ سرعتهای بسیار پایین ۴۲۷
- ۱۶-۱-۱-۲ سرعتهای بسیار بالا ۴۲۸
- ۱۶-۱-۲ جریان لغزشی ۴۲۹
- ۱۶-۲ یاتاقان با سطوح موازی ۴۳۱
- ۱۶-۲-۱ نتایج عدد یاتاقان پایین ۴۳۲
- ۱۶-۲-۲ نتایج عدد یاتاقان بالا ۴۳۳
- ۱۶-۲-۳ نتایج عدد یاتاقان متوسط ۴۳۳
- ۱۶-۳ یاتاقان با پله موازی ۴۳۴
- ۱۶-۳-۱ توزیع فشار ۴۳۵
- ۱۶-۳-۲ مؤلفه بار عمودی و شقق ۴۳۹
- ۱۶-۳-۳ روش بهینه سازی ۴۴۱
- ۱۶-۳-۴ یاتاقان کف گرد با قطاع پله‌ای ۴۴۱
- ۱۶-۳-۵ نتایج ۴۴۲
- ۱۶-۴ یاتاقان شیار حلقه‌ونی ۴۴۵

۴۴۹	۱۶-۵ مؤخره
۴۵۰	۱۶-۶ مسائل
۴۵۰	۱۶-۷ فهرست و منابع مأخذ
۴۵۱	فصل هفدهم - یاتاقنهای زورنال روان‌کاری شونده با گاز
۴۵۱	۱۷-۱ معادله رینولدز
۴۵۲	۱۷-۲ حل‌های حدّی
۴۵۲	۱۷-۲-۱ یاتاقان با اعداد پایین
۴۵۳	۱۷-۲-۲ یاتاقان با اعداد بالا
۴۵۶	۱۷-۳ حل پرتوربیشن فشار
۴۵۸	۱۷-۴ حل ph خطی شده
۴۶۱	۱۷-۵ یاتاقنهای ژورنال غیرساده
۴۶۱	۱۷-۵-۱ یاتاقان ژورنال کفشک پرچی
۴۶۶	۱۷-۵-۲ یاتاقنهای ژورنال با شبیار مارپیچی
۴۷۱	۱۷-۶ مؤخره
۴۷۱	۱۷-۷ مسائل
۴۷۲	۱۷-۸ فهرست منابع و مأخذ
۴۷۳	ضمیمه ۱ - محاسبه تغییرشکل‌های کشسانی
۴۷۹	ضمیمه ۲ - تصحیحهای اعمال شونده به لاتکتورهای وزنی ، به خاطر X
۴۸۳	ضمیمه ۳ - محاسبه لاتکتورهای زاکوین
۴۸۵	ضمیمه ۴ - تعریف لاتکتورهای وزنی

پیشگفتار مترجم

جای بسی خوشوقتی است که سومین اثر ترجمه به فارسی این جانب تقدیم علاقمندان و بخصوص دانشجویان عزیز می شود . کتاب حاضر در زمینه یکی از جالب ترین مباحث مهندسی ، یعنی تراپیولوژی است . به نظر این جانب این کتاب یکی از معتبرترین کتب در این موضوع می باشد ، ترجمه هفده فصل اول این کتاب که مطابقت با میلاب درس رونکاری و یاتاقان برای دوره کارشناسی دارد تقدیم دانشجویان می گردد . گرچه متن انگلیسی این کتاب تا حدودی پیچیده است ولی در این ترجمه سعی شده تا همراه با حفظ اصالت کتاب ، جملات حقیقی از این ایده که مبحث تراپیولوژی به صورت ساده تری آماده فرآگیری باشد .

شكل گیری این کتاب مدیون افراد زیادی است . از جانب آقای دکتر محمد رضا مدرس رضوی که در مراحل اویله تصویب جهت چاپ این کتاب تلاش فرمودند صمیمانه تشکر می کنم . از همکار ارجمند آقای دکتر علی کیانی فر که با مطالعه دقیق و بهسازی پیشنویس این ترجمه کوشش فرمودند صمیمانه سپاسگزاری می شود . و همچنین از جانب آقای جواد میزبان که با ویرایش ادبی جملات ، این ترجمه را هرچه روان تر فرمودند تشکر می کنم . مهم تر از همه از همسر گرامی خود و فرزند دلبندم شروعین که مشوق من در انجام این کار می باشند تشکر و قدردانی می کنم .

دکتر اصغر برواران رجبی

دانشیار دانشکده مهندسی . دانشگاه فردوسی

فصل اول

مقدمه

در سال ۱۹۶۶ در انگلستان ، با انتشار «گزارش گروه آموزش و علوم» ، که به «جاست Jost» نیز معروف است ، کلمه «ترایبولوژی»^۱ به عنوان علم و تکنولوژی عمل متقابل سطوح در حال حرکت نسبت به یکدیگر و اعمال مربوط به آن ، تعریف و معرفی شد . ممکن است روان‌کاری ، اصطکاک ، و ساییدگی اجزاء در حال حرکت یا ساکن ، تعریف بهتری برای آن باشد . «گزارش گروه آموزش و علوم» در سال ۱۹۶۶ همچنین ادعا کرد که صنعت می‌تواند با بهسازی اعمال روان‌کاری ، اصطکاک ، و ساییدگی مقدار قابل توجهی در هزینه‌ها صرفه جویی کند .

عمده مطالب در این کتاب در مورد «مبانی روان‌کاری فیلم سیال» است . روان‌کاری فیلم سیال وقتی اتفاق می‌افتد که سطوح مقابل یکدیگر یاتاقان کاملاً توسط فیلم روان کننده جدا شده باشند . فشار تولیدی در سیال بار واردہ را تحمل کرده و مقاومت اصطکاکی در مقابل حرکت کلاناشی از خاصیت برشی سیال لزج است . علمکرد یاتاقانهای دارنده فیلم سیال را می‌توان با به کارگیری اصول کاملاً شناخته شده مکانیک سیالات ، معمولاً بر فرض جریان لزج آهسته ، تعیین کرد .

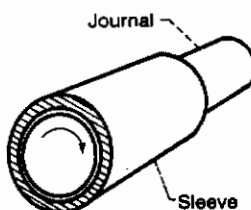
روان‌کاری مرزی که در آن تماس قابل توجهی بین سطوح وجود دارد ، در این کتاب فقط به صورت اجمالی ارائه شده است . برای بحث در مورد روان‌کاری مرزی ، رجوع کنید

به: رابینویچ^۱ (۱۹۶۵)، بودن^۲ و تابور^۳ (۱۹۷۳)، هاتچیگز^۴ (۱۹۹۲).

۱-۱ سطوح هندیسی^۵ و ناهندیسی^۶

سطوح هندیسی به راحتی و با درجه هندسی هندیسی بالایی با یکدیگر جفت می شوند، به ترتیبی که باربر روی مساحت نسبتاً بزرگی حمل می شود. برای مثال، مساحت روان کاری یک یاتاقان ژورنال^۷، برابر با $2\pi r^2$ ضرب در شعاع، ضرب در طول خواهد بود. مساحت سطح تحمل کننده بار اساساً ضمن افزایش بار ثابت باقی می ماند. یا یاتاقانهای ژورنال فیلم سیال (شکل ۱-۱) و یاتاقانهای کشویی^۸ سطوح هندیسی دارند. در یاتاقانهای ژورنال، لقی شعاعی بین ژورنال و غلاف معمولاً یک هزار قطر ژورنال بوده و در یاتاقانهای کشویی شبیه سطح ژورنال نسبت به قسمت لغزنده معمولاً یک در هزار است.

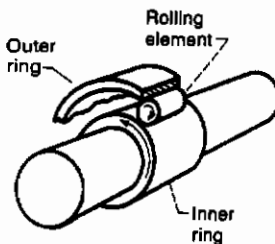
بسیاری از اجزاء ماشین که با فیلم سیال روان کاری می شوند، سطوحی دارند که کاملاً به صورت هندیسی نیستند. بنابراین تحمل کامل بار باید توسط سطح روان کاری شده کوچکی انجام گیرد. سطح روان کاری شده در یک اتصال ناهندیسی، معمولاً به اندازه سه برابر کمتر از آن یک اتصال هندیسی است. عموماً، مساحت روان کاری شونده بین سطوح ناهندیسی با افزایش بار به مقدار قابل توجهی بزرگ می شوند؛ ولی هنوز کوچکتر از مساحت روان کاری شونده بین سطوح هندیسی است. چند مثال از سطوح ناهندیسی قسمت در گیری دندانه های چرخ دنده؛ بادامکها و پیروپادامکها^۹؛ یاتاقانهای با عضو چرخنده (شکل ۱-۲).



شکل ۱-۱- سطوح هندیسی

- 1- Rabinowicz
- 3- Tabor
- 5- Conformal
- 7- Journal Bearing
- 9- Followers

- 2- Bowden
- 4- Hutchings
- 6- Nonconformal
- 8- Slider bearings



شکل ۱-۲- سطوح ناهمدیسی

۱-۲ شیوه‌های روان کاری

یک روان کاری کننده ماده‌ای است که اصطکاک و ساییدگی را کاهش داده و شرایط کاری نرم و عمر رضایت‌بخشی برای اجزاء ماشین فراهم می‌آورد. بیشتر روان کننده‌ها مایع هستند (از قبیل روغنهای معدنی، استرهای مصنوعی، سیالات سیلیسیوم دار، و آب) ولی می‌توانند از مواد جامد (از قبیل پلی ترافلور و تیلین، یا PTFE) برای استفاده در یاتاقانهای خشک، از چربیها برای استفاده در یاتاقانهای با عضو چرخنده، یا از گازها (از قبیل هوا) برای استفاده در یاتاقانهای گازی تشکیل شده باشند. عمل فیزیکی و شیمیایی متقابل بین روان کننده و سطوح روان کاری شونده باید معلوم باشد تا بتوان عمر رضایت‌بخشی برای اجزاء ماشین فراهم آورد. برای کمک به فهم خصوصیات ویژه‌ای که چهارشیوه روان کاری را از یکدیگر مشخص می‌سازند، جنبه تاریخی کوتاهی همراه با تشریح هر شیوه در اینجا آورده می‌شود.

۱-۲-۱ جنبه تاریخی

تا اواسط این قرن، عموماً دو شیوه روان کاری شناخته شده بود: روان کاری هیدرودینامیکی و روان کاری مرزی. در ک روان کاری هیدرودینامیکی، با آزمایش‌های کلاسیک تاور^۱ (۱۸۸۵) شروع شد که در آن وجود یک فیلم توسط اندازه گیریهای فشار در داخل روان کننده کشف شد و پتروو^۲ نیز از اندازه گیریهای اصطکاک به تابع مشابه‌ای رسید. این کار به دقت توسط مقاله تحلیلی افتخار آمیز رینولدز^۳ (۱۸۸۶) دنبال شد. او در این مقاله شکل ساده شده معادلات «ناویر - استوکس»^۴ را همراه با معادله پیوستگی به کار گرفت تا معادله دیفرانسیل

1- Tower

2- Petrov

3- Reynolds

4- Navier - Stokes

درجه دومی برای فشار در شکاف باریک و همگرای بین سطوح یاتاقان به دست آورد. چون این سطوح کاملاً توسط یک فیلم سیال جدا شده‌اند، این فشار باعث می‌شود که بار بین این سطوح با اصطکاک بی‌نهایت کمی انتقال یابد. در چنین وضعیتی خواص فیزیکی روان‌کننده، واز همه مهم‌تر لزجت دینامیکی رفتار در محل تماس را به عهده دارد.

در ک روان‌کاری مرزی معمول‌آبه هارדי^۱ و دابل دی^۲ (۱۹۲۲a, b) نسبت داده می‌شود. آنها دریافتند که فیلم‌های بی‌نهایت نازک چسبیده به سطوح، غالباً برای کمک به لغزش نسبی کافی هستند. آنها نتیجه گرفتند که تحت چنین شرایطی ترکیب شیمیایی سیال مهم‌بوده و واژه «روان‌کاری مرزی» را پیشنهاد کردند. روان‌کاری مرزی در محدوده روان‌کاری و در انتهای مقابله روان‌کاری هیدرودینامیکی قرار دارد. در روان‌کاری مرزی خواص فیزیکی و شیمیایی فیلم‌های نازک از ابعاد مولکولی و سطوحی که به آنها متصل می‌شوند، تعیین کننده رفتار تماسی هستند و لزجت روان‌کننده عامل مؤثری نیست.

در چهل سال گذشته، تحقیقات صرف درک بهتر و دقیق‌تر از شیوه‌های دیگر روان‌کاری که مابین این دو حد و تعریف آنها شده است. یک چنین شیوه روان‌کاری، بین سطوح ناهمدیسی و در جایی که فشارها بالا، و سطوح به صورت کشسانی تغییرشکل می‌دهند، اتفاق می‌افتد. در این موقعیت لزجت روان‌کننده ممکن است که به مقدار قابل توجهی بالا رفته و این امر به تشکیل یک فیلم سیال مؤثر، کمک بیشتری کند. اتصال روان‌کاری شده‌ای که در آن چنین آثاری یافت شود، معروف به کار به صورت «الاستوھیدرودینامیک»^۳ است. پیشرفت زیادی در درک مکانیزم روان‌کاری الاستوھیدرودینامیکی شده که از نظر عمومی به رشد نسبه بالای خود رسیده است.

از سال ۱۹۷۰ تشخیص داده شده است که بین روان‌کاری فیلم سیال و روان‌کاری مرزی، حالتهای دوگانه نیز پیش می‌آید. این حالت، عموماً «روان‌کاری جزئی»^۴ و یا بعضی مواقع «روان‌کاری مختلط»^۵ نامیده می‌شود. در حال حاضر بیشتر مجهولات علمی در این شیوه روان‌کاری قرار دارند. برخورد چندجانبه تخصصی موردنیاز است تا درک این مکانیزم مهم روان‌کاری حاصل شود. بین سطوح همدیسی، بار روان‌کاری هیدرودینامیکی، اگر فیلم

1- Hardy

2- Doubleday

3- Elastohydrodynamic

4- Partial lubrication

5- Mixed lubrication

سیال خیلی نازک شد و حالت روان کاری مستقیماً از هیدرودینامیکی به جزئی تبدیل می شود . برای سطوح ناهمدیسی ، در جایی که روان کاری الاستو هیدرودینامیکی اتفاق می افتد ، اگر فیلم سیال خیلی نازک شود حالت روان کاری از الاستو هیدرودینامیکی به جزئی تبدیل می شود . توسعه تاریخی دقیق تر روان کاری ، یا به طور کلی «ترایسولوژی» ، را می توان از دو سن ۱۹۷۹ به دست آورد .

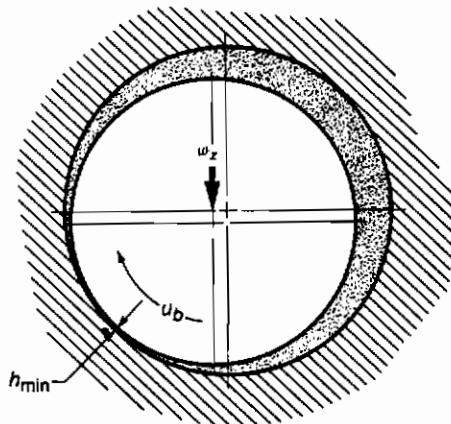
۲-۲-۱ روان کاری هیدرودینامیکی

روان کاری هیدرودینامیکی (HL) عموماً مشخصه سطوح همدیسی هستند . در یک یاتاقان کف گرد یا زورنال که به صورت هیدرودینامیکی روان کاری می شود ، به علت همگرایی سطوح یاتاقان حرکت نسبی و لزجت سیال این سطوح را مجزا می سازند و فشار مثبت توسعه می یابد . وجود این فشار مثبت مبتنی است بر این که یک بار واردہ عمودی می تواند تحمل شود . مقدار این فشار توسعه یافته (عموماً کمتر از ۵ مگاپاسکال) عموماً به اندازه ای نیست که بتواند سبب تغییر شکل کشسانی قابل ملاحظه سطوح شود . بعد از این داده می شود که ضخامت کمینه فیلم سیال در یک یاتاقان روان کاری شونده به صورت هیدرودینامیکی ، تابعی از بار عمودی واردہ τ_w ، سرعت u سطح پایینی ، لزجت روان کاری کننده η_0 ، و شکل هندسی (R_L و R_r) است . شکل ۱-۳ بعضی از این مشخصه های روان کاری هیدرودینامیکی را نشان می دهد . ضخامت کمینه فیلم h_{min} برحسب تابعی از τ_w و u برای حرکت کشویی به صورت :

$$(h_{min})_{HL} \propto \left(\frac{u_b}{w_z} \right)^{1/2} \quad (1-1)$$

داده می شود . این ضخامت کمینه فیلم ، عموماً از $1 \mu m$ بیشتر است .

در روان کاری هیدرودینامیکی عموماً فیلمها ضخیم هستند به طوری که باعث جلوگیری از تماس سطوح صلب متقابل می شدند . این شرایط غالباً به عنوان حالت «ایده آل روان کاری» شناخته می شود ؛ زیرا موجب اصطکاک پایین و مقاومت زیاد در مقابل ساییدگی می گردد . خواص فیزیکی کلی روان کننده ، مخصوصاً لزجت ، حاکم بر روان کاری سطوح صلب است و مشخصه های اصطکاکی صرفاً از خاصیت برشی روان کننده لزج به وجود می آیند .



Conformal surfaces

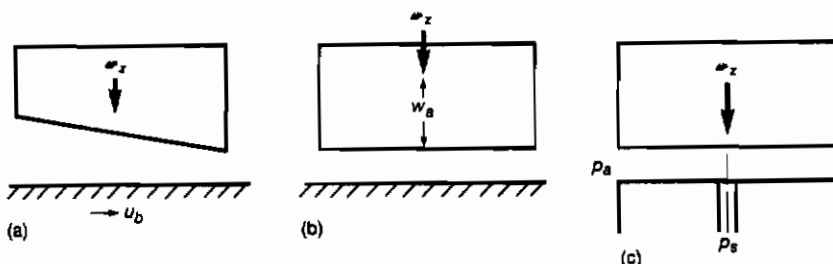
$$P_{max} \approx 5 \text{ MPa}$$

$$h_{min} = f(\omega_z, u_b, \eta_0, R_x, R_y) > 1 \mu\text{m}$$

No elastic effect

شکل ۱-۳- مشخصه های روانکاری هیدرودینامیکی

برای تحمل یک بار عمودی توسط یک یاتاقان ، باید گستره های فشار ثابت در طول یاتاقان به وجود آیند . شکل ۱-۴ ، نمایش دهنده سه روش از تشکیل فشار ثابت در یاتاقانهای روانکاری شونده به صورت هیدرودینامیکی است . برای به وجود آمدن فشار ثابت در یک یاتاقان لغزشی [شکل ۱-۴ الف] ضخامت فیلم روان کننده باید در جهت لزشی کاهش یابد . در یک یاتاقان با فیلم فشرده [شکل ۱-۴ ب] عمل فشردن سطوح یاتاقان را مجبور به حرکت با سرعت w_z به طرف یکدیگر می کند .



شکل ۱-۴- مکانیزم توسعه فشار برای روانکاری هیدرودینامیکی . الف - یاتاقان

لغزشی ، ب - یاتاقان با فیلم فشرده ، ج - یاتاقان تحت فشار از خارج

وقتی که سطوح یاتاقان به یکدیگر نزدیک می‌شوند ، مکانیزم فشردنگی تولید فشار ، اثر بالشتکی با ارزشی را فراهم می‌آورد . فشارهای مثبت فقط وقتی تولید خواهند شد که ضخامت فیلم سیال کم شونده باشد . در یک یاتاقان تحت فشار از خارج ، که گاهی « یاتاقان هیدرواستاتیک » نامیده می‌شود [شکل ۱-۴ ج] ، افت فشار در یاتاقان باعث تحمل بار می‌شود . در این حالت ظرفیت تحمل بار ، مستقل از حرکت یاتاقان و لزجت روان کننده است به اضافه سایدگی تماس سطحی در شروع و در ایستادن مانند آن در یاتاقان لغزشی وجود ندارد .

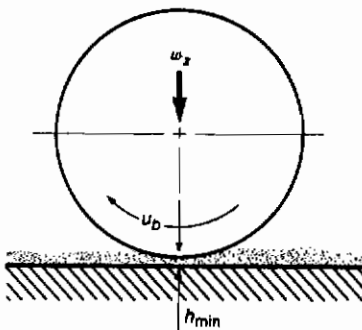
۱-۲-۳ روان کاری الاستوھیدرودینامیکی

روان کاری الاستوھیدرودینامیکی (EHL) نوعی از روان کاری هیدرودینامیکی است که در آن تغییر شکل کشسانی سطوح روان شونده قابل ملاحظه است . جنبه های مهم در یک یاتاقان لغزشی هیدرودینامیکی [شکل ۱-۴ الف] مثل ضخامت فیلم همگراشونده ، حرکت لغزشی و سیال لزج مابین سطوح در این جایز مهم هستند . روان کاری الاستوھیدرودینامیکی معمولاً همراه با سطوح ناهمدیسی هستند . دو شکل مستمامیز (روان کاری به صورت الاستوھیدرودینامیکی EHL وجود دارند .

۱-۲-۳-۱ سخت EHL

سخت مربوط به موادی با ضریب کشسانی بالا ، مثل فلزات است . در این نوع روان کاری تغییر شکل کشسانی و تأثیرات فشار - لزجت اهمیت یکسانی دارند . شکل ۱-۵ ویژگیهای محل تماس را در حالت الاستوھیدرودینامیکی سخت رانشان می‌دهد . فشار بیشتره عموماً بین 0.5 و 3 GPa بوده و ضخامت کمینه فیلم ، عموماً بیشتر از $0.1 \mu\text{m}$ است . این شرایط به طور قابل توجهی با شرایط تماس در روان کاری هیدرودینامیکی متفاوت است . (شکل ۱-۳) . تغییر شکلهای کشسانی در اثر بارهایی که معمولاً در اجزاء ماشین ناهمدیسی پیش می‌آید ، چندین مرتبه بزرگتر از ضخامت کمینه فیلم سیال هستند . به علاوه ، لزجت روان کننده می‌تواند به اندازه 10 مرتبه در زیر بار تغییر کند . در این حالت ضخامت کمینه فیلم سیال مانند مورد روان کاری هیدرودینامیکی (شکل ۱-۳) تابع پارامترهای مشابهی هستند ؛ ولی ضریب کشسانی مؤثر E' و ضریب فشار - لزجت γ روان کننده را باید اضافه کرد .

$$E' = \frac{2}{\frac{1 - \nu_a^2}{E_a} + \frac{1 - \nu_b^2}{E_b}} \quad (1-2)$$



Nonconformal surfaces
High-elastic-modulus material (e.g., steel)
 $\rho_{max} = 1 \text{ GPa}$
 $h_{min} = f(\omega_z, u_b, \eta_0, R_p, R_s, E', \xi) > 0.1 \mu\text{m}$
Elastic and viscous effects both important

شکل ۰-۱- مشخصه های روان کاری الاستو هیدرودینامیکی سخت

رابطه به دست آمده بین ضخامت کمینه فیلم و بار عمودی وارد و سرعت ، برای EHL سخت توسط همراک^۱ و دوسن (۱۹۷۷) عبارت است :

$$(h_{min})_{HEHL} \propto \omega_z^{-0.073} \quad (1-3)$$

$$(h_{min})_{HEHL} \propto u_b^{0.68} \quad (1-4)$$

از مقایسه نتایج مربوط به EHL سخت [معادلات (۱-۳) و (۱-۴)] و روان کاری هیدرودینامیکی [معادله (۱-۱)] ، نتایج ذیل به دست می آید :

- ۱- توان بار عمودی وارد روان کاری در ارتباط با روان کاری هیدرودینامیکی حدوداً هفت برابر بزرگتر از توان آن در ارتباط با EHL سخت است . این دلیلی است بر این که ضخامت فیلم در مورد EHL سخت ، فقط به اندازه خیلی کمی متاثر از بار است ؛ ولی برای روان کاری

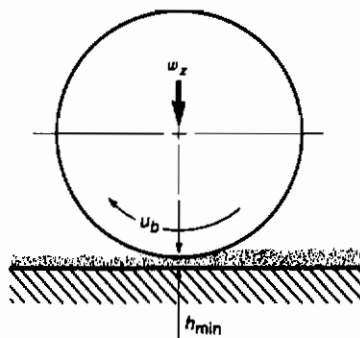
هیدرودینامیکی از تأثیر قابل توجهی بر خوردار است .

- ۲- توان سرعت متوسط در ارتباط با EHL سخت به اندازه خیلی کمی بزرگتر از این توان در روان کاری هیدرودینامیکی است .

بعضی از نتایج مهم در این فصل ارائه شده ؛ و در فصلهای بعدی به طور اساسی بحث خواهد شد . کاربردهای مهندسی که در آن روان کاری الاستو هیدرودینامیکی برای مواد با ضربه کشانی بالا مهم هستند، شامل : چرخ دنده ها، یا یاتاقنهای با عضو چرخنده و بادامکه ای باشند .

۱-۲-۳-۲ نرم EHL

نرم مربوط به مواد با ضربه کشانی پایین از قبیل لاستیک است . شکل ۱-۶ EHL مشخصه های مواد با EHL نرم را نشان می دهد . در EHL نرم حتی برای بارهای خیلی کم ، تغییر شکل کشانی بزرگ است . فشار بیشینه برای EHL نرم ، در برابر ۱ GPa برای EHL سخت (شکل ۱-۵) ، معمولاً ۱ MPa است . این فشار پایین اثر قابل اغماضی در تغییرات لزجت در سرتاسر طول تمام دارد . ضخامت کمینه فیلم تابع همان عواملی است که در روان کاری هیدرودینامیکی می باشد ؛ ولی ضربه کشانی مؤثر اضافه می شود . ضخامت کمینه فیلم برای EHL نرم ، معمولاً $1 \mu\text{m}$ است . کاربردهای مهندسی که در آن روان کاری



Nonconformal surfaces (e.g., nitrile rubber)
 $p_{\max} \approx 1 \text{ MPa}$
 $h_{\min} = f(\omega_z, u_b, \eta_0, R_x, R_y, E') = 1 \mu\text{m}$
Elastic effects predominate

شکل ۱-۶- مشخصه های روان کاری الاستو هیدرودینامیکی نرم

الاستودینامیکی برای مواد با ضریب کشسانی پایین مهم است، شامل: واشرها، مفصلهای انسان، لاستیک‌ها، و تعدادی از اجزاء ماشین روان‌کاری شونده با مواد لاستیکی هستند و جنبه‌های مشترک EHL نرم و سخت عبارتند از این که تغییر شکل کشسانی محلی جامدات، فیلمهای سیالی چسبنده فراهم آورده و از عمل متقابل زبری به مقدار زیادی جلوگیری می‌شود. این عمل دلیلی است بر این که مقاومت اصطکاکی در برابر حرکت به خاطر خاصیت برشی روان‌کننده است.

۴-۲-۱ روان‌کاری مرزی

چون در روان‌کاری مرزی جامدات توسط روان‌کننده از یکدیگر جدا نمی‌شوند؛ تأثیرات فیلم سیال قابل چشم پوشی بوده و به اندازه قابل توجهی تماس زبری ها وجود دارد. خواص فیزیکی و شیمیایی فیلمهای سطحی نازک با عوامل مولکولی حاکم بر مکانیزم روان‌کاری تعاملی هستند. خواص روان‌کننده از اهمیت فرعی برخوردار بوده و ضریب اصطکاک لزوماً مستقل از لزجت سیال است. مشخصه‌های اصطکاکی توسط خواص سطوح جامد و فیلم روان‌کننده در سطوح تماسی مشترک، تعیین می‌شوند. ضخامت فیلمهای سطحی بستگی به اندازه مولکولی از ۱ تا ۱۰mm تغییر می‌کنند.

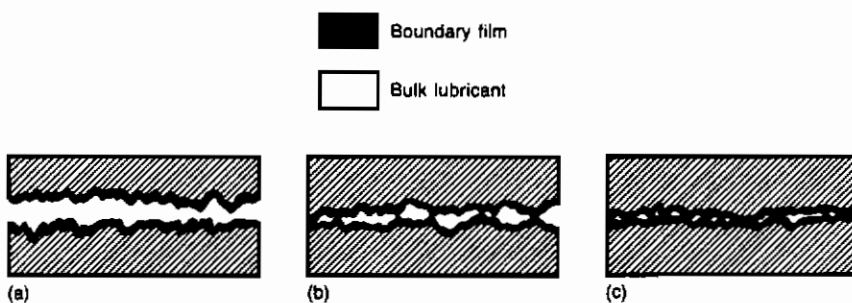
شکل ۱-۷ نشان‌دهنده شرایط موجود در فیلم سیال و روان‌کاری مرزی است.

شیب‌های سطحی در این شکل جهت نشان دادن به مقدار زیادی از حالت عادی خارج شده‌اند. مثلاً، سطوح واقعی به جای شیب‌های تند به صورت تپه‌های با چرخش ملائم، ظاهر می‌شوند. برای روان‌کاری فیلم سیال، زبری‌های سطح در تماس نبوده؛ ولی در روان‌کاری مرزی در تماس هستند.

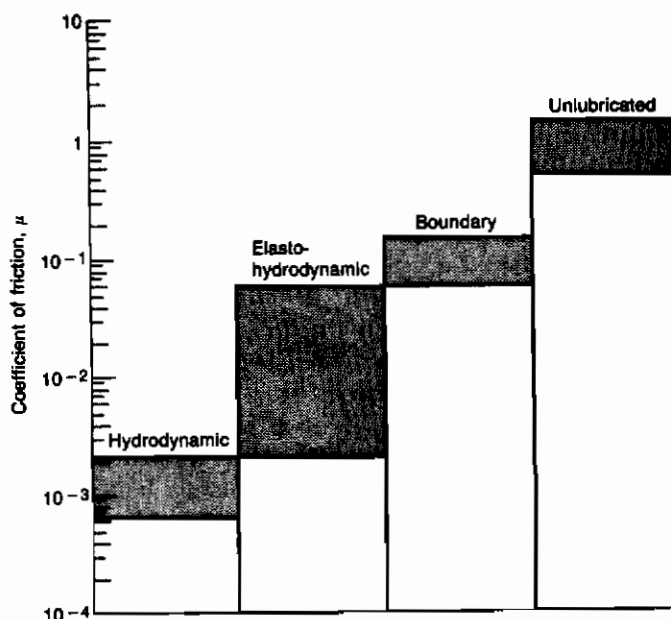
شکل ۱-۸ رفتار ضریب اصطکاک در شیوه‌های مختلف روان‌کاری را نشان می‌دهد.

گرچه اصطکاک در روان‌کاری مرزی به اندازه زیادی بزرگ‌تر از اصطکاک در شیوه هیدرودینامیکی است، ولی هنوز برای سطوح روان‌کاری نشده به مقدار زیادی پایین‌تر است. ضریب اصطکاکی متوسط از شیوه هیدرودینامیک به الاستو هیدرودینامیکی و از شیوه مرزی تا شیوه روان‌کاری نشده به اندازه سه مرتبه بزرگی افزایش می‌یابد.

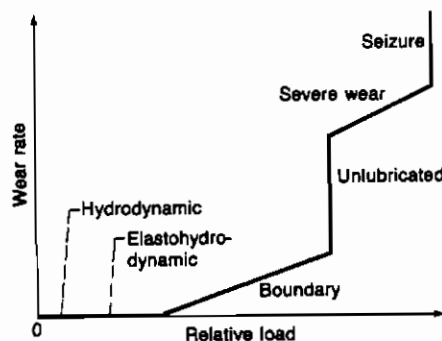
شکل ۱-۹ چگونگی ساییدگی در شیوه‌های روان‌کاری مختلف، که توسط بار واردہ تعیین می‌شود را نشان می‌دهد. به دلیل عدم وجود زبری تماسی؛ ساییدگی در شیوه‌های هیدرودینامیکی الاستو هیدرودینامیکی کم و یا اصلاً وجود ندارد. در شیوه روان‌کاری مرزی درجه



شکل ۱-۷- شرایط فیلمی شیوه‌های روان‌کاری - الف - روان‌کاری فیلم سیال : مسطوح توسط قشر روان‌کننده کلی از یکدیگر جدا شده‌اند . ب - روان‌کاری جزئی : نقش هردو روان‌کننده کلی و فیلم مؤثری باشد : ج - روان‌کاری مرزی : عملکرد لزوماً مستگی به فیلم مرزی دارد.



شکل ۱-۸- دیاگرام طولی نشان دهنده ضریب اصطکاک برای شرایط مختلف روان کاری



شکل ۱-۹- چگونگی ساییدگی برای شیوه های مختلف روان کاری

عمل متقابل زبری و نرخ ساییدگی با افزایش بار زیاد می شود . عبور از روان کاری مرزی به شرایط بدون روان کاری توسط تغییر بسیار زیاد در نرخ ساییدگی مشخص می شود . ضمن افزایش نسبی بار در رژیم بدون روان کاری ، نرخ ساییدگی تا ظهور ایست انتهایی افزایش یافته و عضو ماشین دیگر نمی تواند به صورت موفق عمل نماید . بیشتر اجزاء ماشین با سطوح بدون روان کاری مدت زیادی نمی توانند کار کنند . شکل های ۱-۸ و ۱-۹ نشان می دهند که اصطکاک و ساییدگی سطوح بدون روان کاری را می توان به مقدار زیادی با استفاده از روان کاری مرزی کاهش داد .

روان کاری مرزی برای بارهای سنگین و سرعتهای کار پایین ، که در آن رسیدن به روان کاری فیلم سیال مشکل است ، به کار گرفته می شود . مکانیزم هایی از قبیل لولاهای درب ، تحت شرایط روان کاری مرزی کار می کنند . دیگر کاربردهایی که در آنها پایین بودن هزینه ها در درجه اول اهمیت قرار دارند ، در یاتاقانهای غلاف دار مالشی است که از روان کاری مرزی استفاده می کنند .

۱-۲-۵ روان کاری جزئی

اگر فشارها در اجزاء ماشین روان کاری شونده به صورت الاستوهدرودینامیکی خیلی زیاد باشند یا سرعتهای کار خیلی پایین باشند ، در فیلم روان کننده رخته حاصل خواهد شد . بین زیرهایا مقداری تماس به وجود آمده و سپس روان کاری جزئی (بعضی اوقات «روان کاری

مختلط» نامیده می شود) اتفاق خواهد افتاد . ترکیبی از تأثیرات فیلم سیال و مرز ، حاکم بر رفتار اتصال در یک شیوه روان کاری جزئی هستند . عمل متقابل بین یک یا تعداد بیشتری از لایه های مولکولی فیلمهای روان کاری شونده مرزی انجام می گیرد . عمل روان کاری جزئی فیلم سیال در فضای کلی بین جامدات توسعه می یابد . متوسط ضخامت فیلم در یک اتصال با روان کاری جزئی کمتر از μm و بزرگتر از $0.01\mu\text{m}$ است .

مهم است که تشخیص دهیم عبور از روان کاری الاستوہیدرودینامیکی به جزئی در ضمن افزایش بار به صورت هم زمان صورت نمی گیرد ؛ بلکه قسمت کاهش یابنده ای از بار ، توسط فشارهای داخل سیال که فاصله بین جامدات در مقابل یکدیگر را پر می کنند ، تحمل می شود . در ضمن افزایش بار ، قسمت بزرگتری از آن توسط فشار تماسی بین زیرهای جامدات تحمل می شود . به علاوه ، برای سطوح همدیسی شیوه روان کاری ، مستقیماً از روان کاری هیدرودینامیکی به جزئی می رود .

۱-۳ مؤخره

در این فصل سطوح همدیسی و ناهمدیسی تعریف شدند . سطوح همدیسی به راحتی و با درجه هندسی همدیسی بالایی با یکدیگر جفت می شوند ، به ترتیبی که بار بر روی مساحت نسبتاً بزرگی حمل می شود و ضمن افزایش بار ، مساحت سطح تحمل کننده بار لزوماً ثابت باقی می ماند . سطوح ناهمدیسی مطابقت هندسی خوبی نداشته و سطوح روان کاری کوچکی دارند . سطح روان کاری با افزایش بار بزرگ می شود ؛ ولی هنوز در مقایسه با مساحت روان کاری سطوح همدیسی ، کوچک است .

توسعه درک عمل شیمیایی و فیزیکی روان کننده در داخل یک اتصال روان شونده به صورت خلاصه دنبال شده و چهار شیوه روان کاری تشریح شد . این شیوه ها عبارتند از : هیدرودینامیکی ، الاستوہیدرودینامیکی ، جزئی و مرزی . روان کاری هیدرودینامیکی توسط سطوح همدیسی مشخص می شود . فیلم روان کاری کننده به اندازه کافی ضخیم است که بترازند از تماس جامدات در مقابل یکدیگر جلوگیری به عمل آورد . اصطکاک فقط از خاصیت برش لزجت روان کننده به وجود می آید . فشارهای توسعه یافته در روان کاری هیدرودینامیکی پایین هستند (معمولاً کمتر از 5 MPa) به ترتیبی که می توان سطوح را عموماً صلب در نظر گرفته و اثرات فشار-لزجت کوچک هستند . سه حالت توسعه فشار در خلال روان کاری

هیدرودینامیکی ارائه شدند : که این حالتها لغزنه ، فشرده‌گی و اعمال فشار از خارج می‌باشند . در روان کاری هیدرودینامیکی با حرکت لغزشی ، ضخامت کمیه فیلم کاملاً به بار حساس بوده و به صورت معکوس مناسب با جذر بار عمودی وارد است .

روان کاری الاستوهدیرودینامیکی توسط سطوح ناهمدیسی مشخص شده است و مکرراً در این حالت تماس زیری سطوح جامد وجود ندارد . دو حالت از روان کاری الاستوهدیرودینامیکی وجود دارند : سخت و نرم . EHL سخت با سطوح فلزی و EHL نرم توسط سطوح ساخته شده از مواد کشسانی مشخص می‌شوند . فشارهای توسعه یافته در EHL سخت ، بالا هستند (معمولًا بین ۰.۵ و ۳ GPa) به ترتیبی که تغییر شکل کشسانی سطوح جامد و اثرات فشار-لزجت روان کننده مهم می‌شود . مثل حالت روان کاری هیدرودینامیکی ، اصطکاک به دلیل خاصیت برشی لزجت روان کننده است . ضخامت کمیه فیلم در EHL سخت ، نسبتاً غیرحساس به بار است ؟ زیرا با افزایش بار سطح تماس افزایش یافته و در نتیجه سطح روان کاری بزرگتری برای تحمل بار را فراهم می‌آورد . در EHL نرم حتی برای بارهای سبک تغییر شکل کشسانی بزرگ بوده و لزجت در داخل اتصال به مقدار کمی با فشار تغییر می‌کند ، زیرا فشارها نسبتاً پایین بوده و اثر کشسانی غلبه می‌کند . روان کاری هیدرودینامیکی والاستوهدیرودینامیکی هر دو پدیده روان کاری فیلم سیال هستند که در آن این قشر به اندازه کافی ضخیم است که بتواند از تماس سطوح جامد مقابل یکدیگر ممانعت کند .

در روان کاری مرزی تماس زیری قابل ملاحظه‌ای اتفاق می‌افتد و خواص شیمیائی و فیزیکی فیلمهای سطحی نازک با ابعاد مولکولی (از ۱ تا 10mm) حاکم بر مکانیزم روان کاری هستند . مشخصه‌های اصطکاکی ، توسط خواص جامدات و فیلم روان کننده در سطوح مشترک تعیین می‌شوند . اثرات مخلوطی از فیلم سیال و مرزی حاکم بر روان کاری جزئی (بعضی اوقات «روان کاری مختلط» نامیده می‌شود) هستند . بیشترین مجھولات علمی ، در این نوع شیوه روان کاری قرار دارد .

۱-۴ مسائل

۱-۴-۱ حداقل سه کاربرد برای هر کدام از چهار شیوه روان کاری ، شرح دهید ؟

۱-۴-۲ تفاوت بین سطوح همدیسی و ناهمدیسی را شرح دهید ؟

۱-۵ نہرست منابع و مأخذ

- Beerbower, A. (1972): Boundary Lubrication. GRU.IGBEN.72, Report on Scientific and Technical Application Forecasts (Avail. NTIS, AD-747336).
- Bowden, F. P., and Tabor, D. (1973): *Friction—An Introduction to Tribology*. Anchor Press/Doubleday, New York.
- Department of Education and Science, Great Britain (1966): *Lubrication (Tribology), Education and Research; A Report on the Present Position and Industry's Needs*. HMSO, London.
- Dowson, D. (1979): *History of Tribology*. Longman, London and New York.
- Hamrock, B. J., and Anderson, W. J. (1983): Rolling-Element Bearings. *NASA Ref. Publ.* 1105.
- Hamrock, B. J., and Dowson, D. (1977): Isothermal Elastohydrodynamic Lubrication of Point Contacts, Part III—Fully Flooded Results, *J. Lubr. Technol.*, vol. 99, no. 2, pp. 264–276.
- Hardy, W. B., and Doubleday, I. (1922a): Boundary Lubrication—The Paraffin Series. *Proc. R. Soc. London Ser. A*, vol. 100, Mar. 1, pp. 25–39.
- Hardy, W. B., and Doubleday, I. (1922b): Boundary Lubrication—The Temperature Coefficient. *Proc. R. Soc. London Ser. A*, vol. 101, Sept. 1, pp. 487–492.
- Hutchings, I. M. (1992): *Tribology-Friction and Wear of Engineering Materials*. Edward Arnold, London.
- Petrov, N. P. (1883): Friction in Machines and the Effect of the Lubricant. *Inzh. Zh. St. Petersburg*, vol. 1, pp. 71–140; vol. 2, pp. 227–279; vol. 3, pp. 377–436; vol. 4, pp. 535–564.
- Rabinowicz, E. (1965): *Friction and Wear of Materials*. Wiley, New York.
- Reynolds, O. (1886): On the Theory of Lubrication and Its Application to Mr. Beauchamp Tower's Experiments, Including an Experimental Determination of Viscosity of Olive Oil. *Philos. Trans. R. Soc. London Ser. A*, vol. 177, pp. 157–234.
- Tower, B. (1885): Second Report on Friction Experiments (Experiments on the Oil Pressure in a Bearing). *Proc. Inst. Mech. Eng.*, pp. 58–70.

فصل ۶۹م

طبقه‌بندی و انتخاب یاتاقان

طراحی فرآیندی است خلاق ، جهت یافتن راه حل مناسب برای یک مسأله مخصوص . در تمام اشکال طراحی ، یک مسأله بخصوص ممکن است راه حلهای مختلفی داشته باشد ؛ زیرا ملزومات طراحی می تواند به طرق مختلف برداشت شود . برای مثال ، ممکن است مقصد فراهم آوردن موارد ذیل باشد :

الف- ارزان ترین طراحی ؟

ب- یا ساخت آسانترین طرح با مواد موجود در دسترس ؟

ج- یا قابل اعتمادترین طرح ؟

د- یا یک طراحی که کمترین جارا اشغال می کند ؟

ه- یا یک طراحی که از لحاظ وزنی سبکترین است ؟

و- یا بهترین طراحی از لحاظ تمام چوائب احتمالی باشد .

بنابراین کار طراح روشن و صریح نیست ، زیرا او مجبور است توافقی منطقی بین همه این ملزومات انتخاب کرده و سپس تصمیم بگیرد تا این طراحی ، تلفیقی از همه این شرایط باشد .

فرآیند انتخاب و طراحی یاتاقان ، معمولاً شامل اقدامات زیر است :

۱- انتخاب یاتاقان مناسب .

۲- تخمین اندازه یاتاقان که احتمال دارد مطلوب باشد .

۳- تجزیه و تحلیل کردن عملکرد یاتاقان برای ارضاء ملزومات در نظر گرفته شده .

۴- و سپس تعديل این طراحی و ابعاد آن تا زمانی عملکرد آن نزدیک به بهینه ای که از همه مهم تر است ، شود .

دو گام آخری در این فرآیندمی تواند به آسانی توسط شخصی که آموزش در روش‌های تحلیلی داشته و اصول اصلی موضوع را درک می‌کند ، انجام گیرد . ولی دو گام اوکی احتیاج به مقداری تصمیم گیری‌های خلاق داشته و برای خیلی از طراحان مشکل ترین قسمت یک فرآیند طراحی است .

۱-۱ طبقه‌بندی یاتاقان

یاتاقان یک تکیه گاه یا راهنما است که یک جزء ماشین را به ترتیبی با اجزاء دیگر قرار می‌دهد که حرکت نسبی معین شده بتواند انجام گیرد ، ضمن این که نیروهای در ارتباط با کارکرد در این ماشین بتوانند به نرمی و با راندمان منتقل شوند . یاتاقانها را می‌توان به چند طریق دسته‌بندی کرد : تقسیم‌بندی بر اساس حالت اساسی کاری (مالش ، هیدرودینامیک ، هیدرواستاتیک ، یا جزء چرخنده) ، تقسیم‌بندی بر اساس جهت و طبیعت بار وارد (کف گرد یا ژورنال) ، یا تقسیم‌بندی بر اساس شکل هندسی (بغزده ، سطح موازی پله‌ای ، یا کفشک متمایل) . مطالب زیادی برای طبقه‌بندی بر حسب حالت اساسی عمل با تقسیم‌بندی‌های جزئی آن برای به حساب آوردن شرایط بار و شکلهای هندسی مختلف وجود دارد . این طبقه‌بندی در این کتاب مورد استفاده قرار می‌گیرد .

۱-۲ یاتاقانهای با مالش خشک

در یاتاقانهای با مالش خشک ، دو سطح یاتاقان با چرخش یا حرکت لغزشی یا به هر دو صورت به یکدیگر مالیده شده و به طریق روانکاری مرزی روانکاری می‌شوند . مثالهای یاتاقان با مالش خشک ، ژورنالهای بدون روانکاری ، ساخته شده از موادی مثل نایلون ، پولی‌ترافلور و اتیلن ، و کربن و پرچهای الماس در ابزارها هستند . مشخصه‌های اصطکاکی و حمل بار این طبقه از یاتاقانها را می‌توان مستقیماً به خواص اساسی تماس مواد یاتاقان مرتبط ساخت .

۱-۳ یاتاقانهای آغشته شده

در این نوع یاتاقان یک ماده متخلخل (معمول‌اً فلز) آغشته به یک روانکار شده و

بدین ترتیب یک اثر خود روان کننده پیدا می‌کند . فلز متخلخل معمولاً توسط تف جوشی (حرارت دادن برای خلق یک جرم یکنواخت بدون ذوب شدن) یک پودر فلزی متراکم ، ساخته می‌شود (مثال ، آهن تف جوش یا برنز) . قسمت‌های متخلخل ، به عنوان یک منبع ذخیره برای روان کننده هستند . مشخصه‌های حمل بار و اصطکاک این یاتاقان بستگی به خواص ماتریسی جامد و روان کننده در اتصال با جامد متقابل به آن دارد . این روان کننده ممکن است مایع یا یک چربی باشد .

عموماً به کارگیری یاتاقانهای آغشته شده محدود به سرعتهای لغزشی پایین است (معمولأً کمتر از 1 m/s یا 1.5 m/s) ولی آنها می‌توانند فشارهای متوسط بالایی را تحمل کنند (معمولأً تا $7 \text{ ya } 15 \text{ MPa}$) . بزرگترین امتیاز این یاتاقانها ارزانی و سادگی آنها است و غالباً در موقعیت‌های با سرعت پایین با حرکت میانی ، مثل شاسی اتوموبیل ، بادامکها ، و مکانیزم‌های مرتعشی به کار می‌روند .

جداکننده‌های آغشته شده برای بلبرینگ‌های کوچک ، مثل موارد استفاده شونده در ابزار دقیق ، بعضی مواقع به عنوان منبع روان کننده برای اعضاء چرخنده و وقتی که مقدار کمیته‌ای از روان کننده لازم است ، مورد استفاده قرار می‌گیرند . در این مورد ماده متخلخل معمولاً یک پلاستیک است (مثال ، نایلون) .

به دلیل وجود مقدار کم روان کننده ، معمولاً جای شک است که یک یاتاقان آغشته شده بتواند به صورت هیدرودینامیکی واقعی کار کند . این رفتار می‌تواند به عنوان روان کاری الاستوهدیدرودینامیکی جزئی تشریح شود و بنابراین دلالت بر روان کاری جزئی می‌کند . عملکرد هیدرودینامیکی یاتاقان می‌تواند با فرض این که یک فیلم کامل در فضای لقی وجود دارد ، و این که جریان روان کننده در داخل ماده متخلخل تابع «قانون دارسی» است ، تجزیه و تحلیل شود (قانون دارسی به طور مثال در کامرون (۱۹۷۶) بحث شد) فرمول ساده دارسی برای یاتاقانهای متخلخل ، گرادیان فشار را به جریان داخل ماده متخلخل مربوط می‌سازد ، ضمن این که از اثرات اینرسی صرف نظر کرده و فرض می‌کند که سرعت سطحی نسبی وجود ندارد . حل هم زمان معادله رینولدز و معادله جریان برای یک ماتریس متخلخل ، الگوهای جریان ، توزیعهای فشار ، و ظرفیت‌های حمل باری را که می‌توانند سازنده جداول طراحی باشند ، به دست می‌دهند . البته فرآیند طراحی رضایت‌بخش ، معمولاً مقدار قابل توجهی اطلاعات تجربی و تجربه کاری برای کمک به تجزیه و تحلیل هیدرودینامیکی لازم دارد . مشکل در قبول

عملهای جداگانه ، که بر رفتار یاتاقان حاکم است ، منعکس کننده عمل هیدرودینامیکی جزئی خیلی از یاتاقانها در این گروه است .

۲-۱-۳ یاتاقانهای فیلم سیال همدیسی

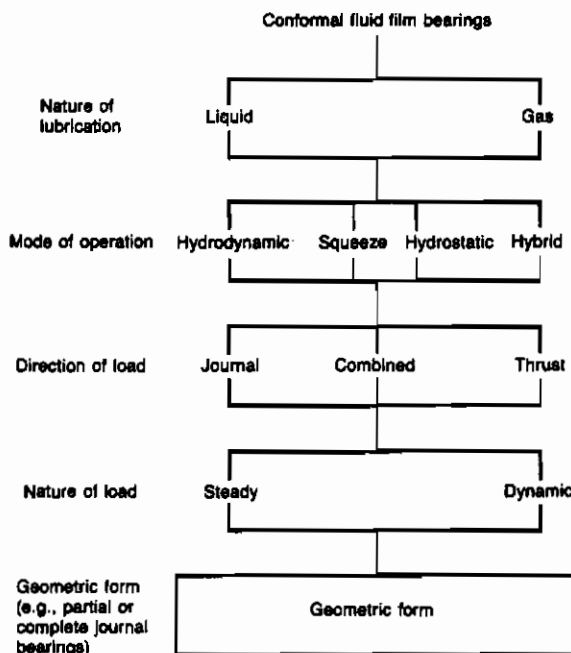
سطوح متقابل یاتاقانهای فیلم سیال هیدرودینامیکی توسط یک فیلم روان کننده کاملاً از یکدیگر جدا می شوند . این روان کننده ممکن است یک مایع یا یک گاز بوده و ظرفیت حمل بار به دست آمده از فشار داخل فیلم روان کننده ممکن است توسط حرکت اجزاء ماشین (یاتاقانهای هیدرودینامیکی یا خود عمل کننده) یا توسط فشار از خارج (هیدرواستاتیک) یا حرکت فشردگی هیدرودینامیکی ، یا توسط ترکیبی از این عملها تولید شود . در تمام این موارد ، قوانین جریان لرج حاکم بر مشخصه های اصطکاکی یاتاقانها هستند . ظرفیتهای حمل بار به طور مشابه توسط عمل هیدرودینامیکی انجام می شوند ، ولی در سرعتهای کاملاً پایین ، خواص مواد یاتاقان باید در نظر گرفته شوند (مثال ، خواص عمر خستگی یا اصطکاک پایین) .

روشهای تغذیه روان کننده به یک یاتاقان فیلم سیال همدیسی ، کاملاً متفاوت هستند . در سرعتهای پایین و بارهای متوسط ، یک حلقه روغن زن ، که روغن را از یک منبع توسط خاصیت بالابری لزجت می کشد ، کافی است ؛ ولی در خیلی از ماشینهای مدرن ، روغن تحت فشار به یاتاقان می رسد تا از پر شدن کافی فضاهای لق اطمینان حاصل شود . یاتاقانهای تحت فشار از خارج یا هیدرواستاتیک ، سیستمهای تهیه روان کننده مفصلی را ایجاد می کنند و روان کننده تحت فشاری از مرتبه مگاپاسکال وارد یاتاقان می شود . این گونه یاتاقان به طور مخصوصی برای بارهای بالا و سرعتهای پایین یا وقتی شقی فیلم عمود بر حرکت سطح مهم است ، مفید است .

یک تقسیم بندی از یاتاقانهای فیلم سیال همدیسی که طبیعت روان کننده ، حالت عمل ، جهت حرکت ، طبیعت بار و شکل هندسی یاتاقان را در نظر می گیرد ، در شکل ۲-۱ نشان داده می شود .

۴-۱-۲ یاتاقانهای با عضو چرخنده

اجزاء ماشین در یاتاقانهای با عضو چرخنده ، توسط اجزاء غالب در حرکت چرخنده ، جدا می شوند . شکل ۲-۲ گروه بندی یاتاقانهای با عضو چرخنده را نشان می دهد . اجزاء



شکل ۱-۲-۱- تقسیمات یاتاقانهای فیلم سیال هیدریکی

چرخنده ممکن است توپها ، غلطکها یا سوزنها باشند (غلطک با نسبتهای بزرگ عرض به قطر) . حرکت نسبی بین اجزاء ماشین ، از جایگزینی عمل لغزشی با حرکتی که اصولاً غلطکی است به وجود می آید . معمولاً مقداری لغزش ، حرکت کشویی ، یا چرخش نیز انجام می گیرد و مشخصه های اصطکاکی توسط حرکت نسبی و شرایط بار و خواص روان کننده تعیین می شوند . یاتاقانهای با عضو چرخنده ممکن است با مایعات یا گازها روان کاری شوند (روغنهای معدنی یا روان کننده های مصنوعی) . این روان کننده (معمولایی چربی) بعضی اوقات در داخل دستگاه یاتاقان آب بندی شده و یا ممکن است به صورت قطرات خیلی ریز به کار گرفته شود . انواع بسیار زیادی از یاتاقانهای با عضو چرخنده وجود دارند که برای ارضاء شرایط عمل موجود در صنعت طراحی شده اند .

۲-۲ انتخاب یاتاقان

طرح غالباً با مشکل تصمیم گیری جهت انتخاب یاتاقان با عضو چرخنده یا

هیدرودینامیکی که برای کاربرد بخصوص استفاده می‌شوند، مواجه می‌شود. مشخصه‌های ذیل یاتاقانهای با عضو چرخنده در خیلی از موقعیت‌ها مطلوب‌تر از یاتاقانهای هیدرودینامیکی است. (فیلم سیال همیسی) :

۱- اصطکاک کم در شروع و حین عمل ؟

۲- قدرت تحمل بارهای ترکیبی از شعاعی و کف گرد ؟

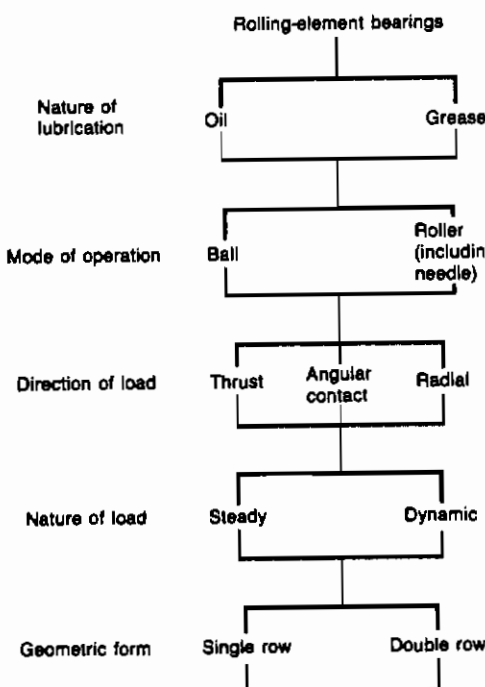
۳- حساسیت کمتر به قطع شدن موقت روان کاری ؟

۴- نداشتن عامل به وجود آورنده ناپایداری ؟

۵- حسن دمای شروع پایین ؟

۶- قدرت آب بندی کردن روان کننده در داخل یاتاقان .

تا حدود منطقی تغییرات در بار، سرعت، و دمای عمل، اثر کمی در عملکرد مطلوب یاتاقانهای با عضو چرخنده دارند.



شکل ۲-۲- تقسیمات یاتاقانهای با عضو چرخنده

مشخصه های ذیل یاتاقانهای با عضو چرخنده را کمتر از یاتاقانهای هیدرودینامیکی مطلوب جلوه می دهند (فیلم سیال همدیسی) :

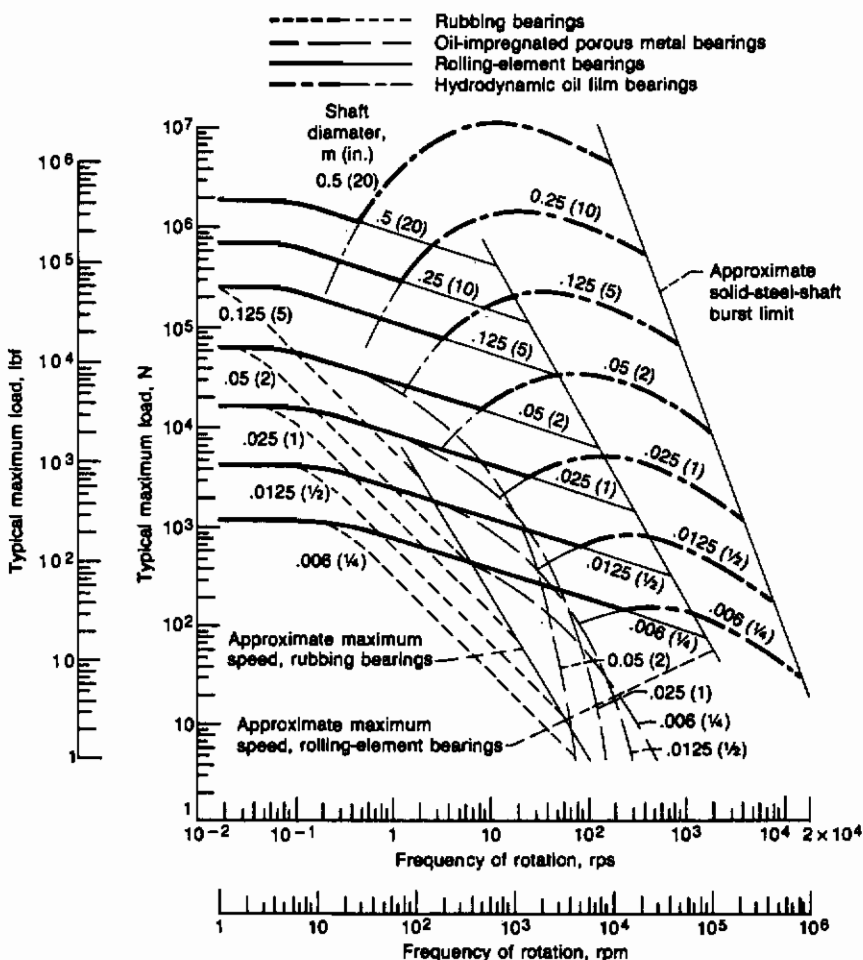
- ۱- عمر خستگی معین به دلیل نوسانات زیاد ؛
- ۲- لزوم فضای بزرگتر در جهت شعاعی ؛
- ۳- ظرفیت ضربه گیری کمتر ؛
- ۴- سرو صدای بالاتر ؛
- ۵- لزوم جدی تر هم محور بودن ؛
- ۶- هزینه بیشتر .

هر نوع یاتاقان ، نقاط قوی و مثبت مربوط به خود را داشته و باید در انتخاب مناسبترین نوع آن برای کارگیری معین دقت کافی به عمل آورد . راهنمایی مفید در مورد مسأله مهم انتخاب یاتاقان ، توسط واحد داده های علوم مهندسی (ESDU) ارائه شده است . اسناد (ESDU) (۱۹۶۷/۱۹۶۵) راهنماییهای عالی در مورد انتخاب نوع یاتاقان ژورنال یا کف گرد با بهترین احتمال برای برآورده کردن احتیاجات عملکرد ضمن در نظر گیری بار ، سرعت و شکل هندسی یاتاقان دارد .

شکل ۲-۳ گردآوری شده از ESDU (۱۹۶۵) نشان دهنده بار بیشینه معمولی تحمل شونده در سرعتهای مختلف برای عمر اسمی ۱۰،۰۰۰ ساعت در درجه حرارت اطاق ، در مورد انوع مختلف یاتاقانهای ژورنال بر روی محورهای با قطرهای نشان داده شده می باشد . منحنیهای پرنگ دلالت بر نوع یاتاقان ژورنال ترجیحی برای یک حالت بخصوص از بار ، سرعت و قطر دارد ، بنابراین دیاگرام را به نواحی مشخص تقسیم بندی می کند . بار وارد و سرعت معمولاً معلوم هستند و این باعث می شود بتوان جستجوی اولیه در یافتن نوع یاتاقان ژورنال (که مناسب ترین برای یک کاربرد ویژه است) انجام داد . در خیلی از موارد قطر محور قبل از ملاحظات دیگری تعیین شده است و شکل ۲-۳ را می توان برای یافتن نوع یاتاقان ژورنال ، که ظرفیت حمل بار کافی در سرعت لازم را می دهد ، مورد استفاده قرار داد .

این منحنیها بر اساس تجربه مهندسی خوب و قطعات تجاری موجود ، می باشند . موارد در بارها و سرعتهای بالاتر یا قطرهای محوری کوچکتر با استانداردهای مهندسی استثنای یا مواد تولید شده ویژه ، امکان دارند . بجز برای یاتاقانهای با عضو چرخنده ، این منحنیها برای یاتاقانهای با قطرهای برابر با عرض آنها رسم شده اند . یک روان کننده از نوع

روغن معدنی بالزجت متوسط ، برای یاتاقانهای هیدرودینامیکی در نظر گرفته می شود .
ملاحظات دیگری غیر از بار و سرعت در انتخاب یاتاقان ، تأثیر بیشتری دارند .
جدول ۲-۱ امتیازها و محدودیتهای مختلف یاتاقانها را در ارتباط با شرایط محیطی و الزامات
ویژه ، می دهد . تأکید می شود که شکل ۲-۳ و جدول ۲-۱ فقط به منظور راهنمایی هستند .



شکل ۲-۳ - راهنمای عمومی برای نوع یاتاقان ژورنال بجز برای یاتاقانهای با عضو
چرخنده ، منحنيها برای یاتاقانهای با عرض و قطر برابر رسم شده اند . روغن معدنی با لزجت
متوسط برای یاتاقانهای هیدرودینامیکی در نظر گرفته می شود .

جدول ۱-۴-۱ - امتیازها و محدوده های یاتا قانی ژورنال

[From ESPU 1965]

Condition	General comments	Journal bearing type				
		Rubbing bearings	Oil-impregnated porous metal bearings	Rolling-element bearings	Hydrodynamic fluid film bearings	Hydrostatic fluid film bearings
High temperature	Attention to differential expansions and their effect on fits and clearances is necessary	Normally satisfactory depending on material	Autorun to oxidation of lubricant is necessary	Up to 100 °C no limitations; from 100 to 250 °C stabilized bearings and special lubrication procedures are probably required	Attention to oxidation resistance of lubricant is necessary	Excellent
	Attention to differential expansions and starting torques is necessary		Lubricant may impose limitations; consideration of starting torque is necessary	Below -30 °C special lubricants are required; consideration of starting torque is necessary	Lubricant may impose limitations; consideration of starting torque is necessary	Excellent; thorough drying of gas is necessary
Low temperature						Lubricant may impose limitations; consideration of starting torque is necessary
External vibration	Attention to the possibility of freighting damage is necessary (except for hydrostatic bearings)	Normally satisfactory except when peak of impact load exceeds load-carrying capacity		May impose limitation; consult manufacturer	Satisfactory	Normally satisfactory
Space requirements			Small radial extent	Bearing of many different proportions; small axial extent	Small radial extent but total space requirement depends on the lubrication feed system	Small radial extent
Dirt or dust		Normally satisfactory; sealing is advantageous	Sealing is important		Satisfactory; filtration of lubricant is important	Sealing important
Vacuum		Excellent	Lubricant may impose limitations		Not normally applicable	Not applicable when vacuum has to be maintained

اrade جدول ۱

Journal bearing type

Condition	General comments		Journal bearing type					
			Rubbing bearing	Oil-impregnated porous metal bearings	Rolling-element bearings	Hydrodynamic fluid film bearings	Hydrostatic fluid film bearings	Self-acting gas bearings
Simplicity of lubrication		Excellent		Excellent with self-contained grease or oil lubrication		Self-contained assemblies can be used with certain limits of load, speed, and diameter; beyond this, oil circulation is necessary	Auxiliary high pressure is necessary	Excellent
Availability of standard parts		Good to excellent depending on type		Excellent	Good			Not available
Prevention of contamination product and surrounding			Improved performance can be obtained by allowing a process liquid to lubricate and cool the bearing, but wear debris may impose limitations	Normally satisfactory, but attention to sealing is necessary, except where a process liquid can be used as a lubricant				Excellent
Frequent stop-starts	Excellent	Good	Excellent	Good	Excellent	Poor	Excellent	
Frequent change of rotating direction		Generally good		Generally good				
Running costs		Very low		Depends on complexity of lubrication system	Cost of lubricant supply has to be considered	NH	Cost of gas supply has to be considered	

۲-۱ ادامه جدول

Condition	Journal bearing type						
	Rubbing bearings	Oil-impregnated porous metal bearings	Rolling-element bearing	Hydrodynamic fluid film bearing	Hydrostatic fluid film bearings	Self-acting gas bearings	Externally pressurized gas bearings
Wetness and humidity	Attention to possibility of metallic corrosion is necessary	Normally satisfactory depending on material	Normally satisfactory; sealing advantageous	Normally satisfactory, but special attention to sealing may be necessary	Satisfactory	Satisfactory	Satisfactory
Radiation	Satisfactory			Lubricant may impose limitations			Excellent
Low starting torque	Not normally recommended	Satisfactory	Good	Satisfactory	Excellent	Satisfactory	Excellent
Low running torque			Good			Good	Excellent
Accuracy of radial location	Poor		Good		Excellent	Good	Excellent
Life		Finite but predictable	Theoretically infinite but affected by infinite filtration and number of stops and starts	Theoretically infinite but affected by number of stop and starts	Theoretically infinite but affected by number of stops and starts	Theoretically infinite but affected by number of stops and starts	Theoretically infinite
Combination of axial and load-carrying capacity	A thrust face must be provided to carry the axial loads	Most types capable of dual duty		A thrust face must be provided to carry the axial loads			
Silent running	Good for steady loading	Excellent	Excellent	Excellent except for possible pump noise	Excellent except for possible compressor noise		

[From ESDU (1967)]

۴-۷ جدول

Thrust bearing type

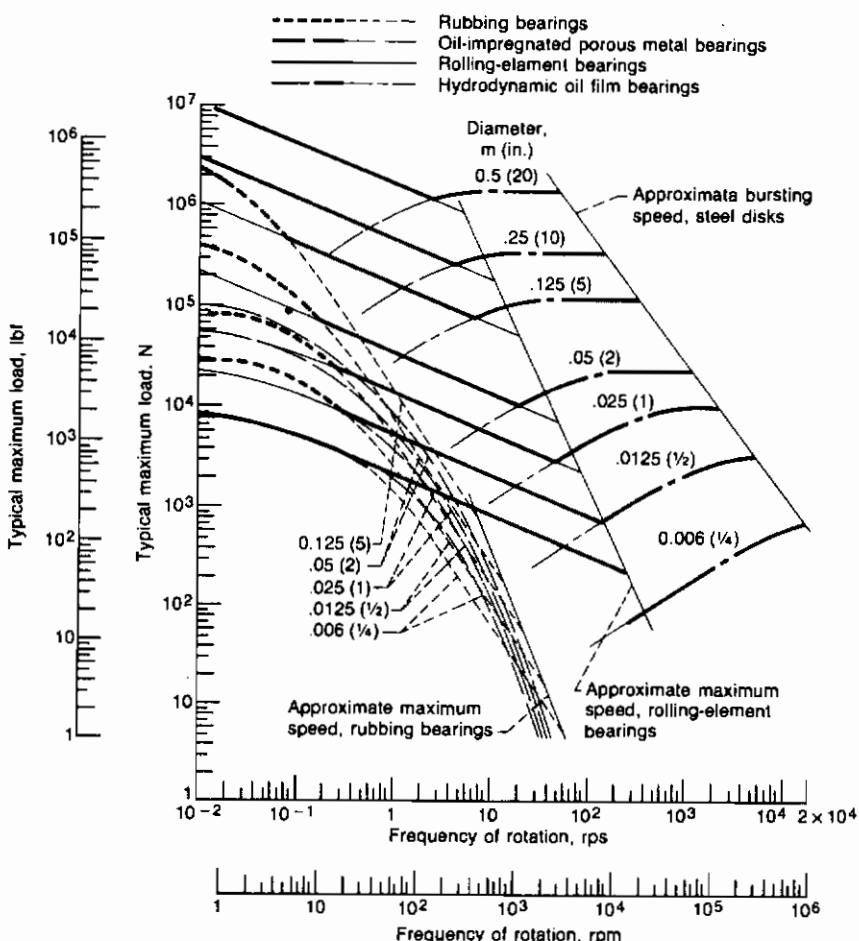
Condition	General comments	Thrust bearing type					
		Rubbing bearings	Oil-impregnated porous metal bearings	Rolling-element bearings	Hydrodynamic fluid film bearings	Hydrostatic fluid film bearings	Self-acting gas bearings
High temperature	Attention to differential expansions and their effect upon axial clearance is necessary	Normally satisfactory depending on material	Attention to oxidation resistance of lubricant is necessary	Up to 100 °C no limitations; from 100 to 250 °C stabilized bearings and special lubrication procedures are probably required	Attention to oxidation resistance of lubricant is necessary	Attention to oxidation resistance of lubricant is necessary	Excellent
	Attention to differential expansions and starting torques is necessary	Lubricant may impose limitations: consideration of starting torque is necessary	Below ~30 °C special lubricants are required: consideration of starting torque is necessary	Lubricant may impose limitations: consideration of starting torque is necessary	Lubricant may impose limitations: consideration of starting torque is necessary	Lubricant may impose limitations: consideration of starting torque is necessary	
External vibration	Attention to the possibility of fretting damage is necessary (except for hydrodynamic bearings)	Normally satisfactory except when peak of impact load exceeds load-carrying capacity	May impose limitations: consult manufacturer	Satisfactory	Excellent	Normally satisfactory	Excellent
Space requirements	Small radial extent	Bearings of many different proportions are available	Small radial extent but total space requirement depends on the lubrication feed system	Small radial extent	Small radial extent	Small radial total space requirement depends on gas feed system	
Dirt or dust	Normally satisfactory: sealing advantageous	Sealing is important	Satisfactory: filtration of lubricant is important	Sealing important	Satisfactory		
Vacuum	Excellent	Lubricant may impose limitations		Not normally applicable	Not applicable when vacuum has to be maintained		
Wetness and boundary corrosion is necessary	Attention to possibility of metallic corrosion depending on material	Normally satisfactory: sealing advantageous	Normally satisfactory, but special attention to sealing is perhaps necessary	Satisfactory			
Radiation	Satisfactory	Lubricant may impose limitations			Excellent		

جدول ۲-۱

Condition	General comments	Thrust bearing type					
		Rubbing bearings	Oil-impregnated porous metal bearings	Rolling-element bearings	Hydrodynamic fluid film bearings	Hydrostatic fluid film bearings	Self-aligning gas bearings
Low starting torque	Satisfactory Not normally recommended	Good	Satisfactory	Excellent	Satisfactory	Satisfactory	Excellent
Low running torque					Satisfactory		Excellent
Accuracy of radial location				Good		Good	Excellent
Life				Finite but can be estimated	Theoretically infinite but affected by filtration and number of stops and starts	Theoretically infinite but affected by number of stops and starts	Theoretically infinite but affected by number of stops and starts
Combination of axial and load-carrying capacity	A journal bearing surface must be provided to carry the radial loads			Some types capable of dual duty	A journal bearing surface must be provided to carry the radial loads		
Silent running	Good for steady loading	Excellent	Usually satisfactory; consult manufacturer	Excellent	Excellent, except for possible pump noise	Excellent	Excellent, except for possible compressor noise
Simplicity of lubrication		Excellent	Excellent with self-contained grease lubrication; with large sizes or high speeds, oil lubrication might be necessary	Self-contained assemblies can be used with certain limits of load, speed, and diameter; beyond this, oil circulation is necessary	Auxiliary high pressure is necessary	Excellent	Pressurized supply of dry, clean gas is necessary

۱-۱ جدول اداء

Condition	General comments						Thrust bearing type					
	Rubbing bearings	Oil-impregnated porous metal bearings	Rolling-element bearings	Hydrodynamic fluid film bearings	Hydrostatic fluid film bearings	Self-acting gas bearings	Externally pressurized gas bearings					
Availability of standard parts	Good to excellent depending on type	Excellent	Good				Poor					
Prevention of contamination of product and surroundings	Performance can be improved by allowing a process liquid to lubricate and cool the bearing, but wear debris may impose limitations.	Normally satisfactory, but attention to sealing is necessary, except where a process liquid can be used as a lubricant.					Excellent					
Tolerance to manufacturing and assembly inaccuracies	Good	Satisfactory	Poor	Satisfactory	Poor	Satisfactory						
Type of motion	Frequent stops	Excellent	Good	Excellent		Excellent						
Unidirectional		Suitable	Some types are suitable	Suitable	Some types are suitable	Suitable						
Bidirectional		Unsuitable										
Oscillatory												
Running costs	Very low	Depends on complexity of lubrication system	Cost of lubricant supply has to be considered	Nil	Cost of gas supply has to be considered							



شکل ۴-۴- راهنمای عمومی برای نوع یاتاقان کف گرد . بجز برای یاتاقانهای با عضو چرخنده منعنهای برای نسبتهای قطر داخلی به خارجی معمولی رسم شده‌اند . روغن معدنی با لزجت متوسط برای یاتاقانهای هیدرودینامیکی در نظر گرفته می‌شود .

به طور مشابه شکل ۲-۴ ، به دست آمده از ESDE (۱۹۶۷) ، پار بیشینه معمولی را نشان می‌دهد که می‌تواند در سرعتهای مختلف برای عمر اسمی $10,000$ ساعت در دمای اطاق توسط انواع مختلف یاتاقانهای کف گرد ، روی محورهای با قطرهای نشان داده شده حمل شود . منعنهای پرنگ دوباره دلالت بر نوع ترجیحی یاتاقان برای یک بار بخصوص ،

سرعت و قطر بخصوص دارد ؛ بنابراین شکل را به نواحی اصلی تقسیم‌بندی می‌کند . در انتخاب یاتاقانهای کف گرد غیر از بار و سرعت ، عوامل مهم دیگری را نیز باید در نظر گرفت که در جدول ۲-۲ نشان داده شده است .

۲-۳ مؤفره

این فصل بحث عمومی در مورد فرآیند طراحی یاتاقان شروع شد . چهار گام اوّلیه در طراحی یاتاقان ، انتخاب نوع مناسب ، تخمین اندازه یاتاقان ، تجزیه و تحلیل عملکرد ، و تعدیل یا تنظیم آن هستند . خاطرنشان شد که دو قدم اوّلی مشکل ترین قسمت بوده و احتیاج به تصمیم‌گیری خلاق دارد . در حالی که دو قدم آخری را نسبتاً می‌توان توسط شخصی با آموزش در روش‌های تحلیلی ، آسانتر به انجام رساند . با در نظر گیری موارد مختلف ، عمل طبقه‌بندی یاتاقانهای را می‌توان با در نظر گرفتن حالت‌های کاری آنها به بهترین وجه انجام داد . گروه‌بندیهای چهار گانه اوّلیه یاتاقان که در نظر گرفته شدند عبارتند از : یاتاقانهای خشک یا مالشی که در صورت لزوم در آنها از روان‌کاری مرزی استفاده می‌شود . یاتاقانهای آغشته شده که در آنها از روان‌کاری جزئی استفاده می‌شود . یا یاتاقانهای با عضو چرخنده که در آنها از روان‌کاری الاستوهدیرودینامیکی استفاده می‌شود . استناد واحد داده‌های علوم مهندسی می‌تواند به عنوان راهنمای در انتخاب نوع یاتاقان ژورنال یا کف گرد استفاده شود ، تا بهترین عملکرد لازم را ضمن در نظر گیری بار ، سرعت و شکل هندسی به دست دهد .

تمهیدات دیگری غیر از بار و سرعت در انتخاب یاتاقان مهم هستند . بنابراین جداولی ارائه می‌شوند که امتیازها و محدودیتهای یاتاقانهای مختلف را در ارتباط با شرایط محیطی و لزومات ویژه ارائه می‌دهند . باید توجه داشت که اطلاعات مربوط به یاتاقان که در این فصل ارائه شده به منظور راهنمایی برای انتخاب نوع مناسب یاتاقان و تخمین اندازه آن برای شرایط مطلوب می‌باشد .

۲-۴ مسائل

۲-۴-۱ شکلهای ۲-۳ و ۲-۴ رابطه بین بار و سرعت برای چهار نوع مختلف یاتاقان را نشان

می‌دهند. چگونه این شکلها را برای کمک‌گیری در انتخاب یاتاقان مناسب برای کاربرد بخصوصی مورد استفاده قرار می‌دهید؟

۲-۴-۲ انواع مناسب یاتاقان را برای ارضا وضعيت‌های ذیل پیشنهاد کنید:

الف- بار بالا ، سرعت خیلی پایین ، اصطکاک خیلی پایین .

ب- بار سبک ، سرعت خیلی بالا ، بدون روان کاری کننده مایع .

ج- بار سبک ، سرعت پایین ، بدون روان کاری کننده مایع .

۲-۴-۳ توضیح دهید که چرا یاتاقانهای روان کاری کننده با گاز مهم هستند. محدودیتهای این نوع یاتاقان را شرح دهید.

۲-۵ لیست منابع و مأخذ

Cameron, A. (1976): *Basic Lubrication Theory*, 2d ed. Ellis Horwood Limited, Chichester, England.

Engineering Sciences Data Unit (ESDU) (1965): *General Guide to the Choice of Journal Bearing Type*. Item 65007, Institution of Mechanical Engineers, London.

Engineering Sciences Data Unit (ESDU) (1967): *General Guide to the Choice of Thrust Bearing Type*. Item 67033, Institution of Mechanical Engineers, London.

فصل سوم

موقع نگاری سطوح

سرعت افزاینده تولید و روش‌های جدید برش از قبیل برش پلاسما ، فرسایش جرقه ، و برش لیزری مشخصات سطوح ماشین شده را تغییر می دهند . ملزومات مربوط به دقّت سطح و صیقلی بودن آن نیز به مقدار زیادی افزایش یافته است . اهمیّت تشریع یک سطح با مقیاس دقیق ، در تراپیولوژی بخوبی نمایش داده می شود . شکست لایه‌های روان‌کاری کننده روغن در سیلندرهای موتور یا در یاتاقانها ، می تواند بخاطر شکل سطح نامناسب از مقیاس میکرونی باشد .

گرچه توری طراحی یاتاقان به مقدار زیادی متکی به مکانیزم سیال و سینماتیک است ، ولی نهایتاً ، مسأله دو سطح است که یا در تماس هستند و یا توسط یک فیلم سیال نازک از یکدیگر جدا می شوند . در هر مورد بافت این سطح در اطمینان از روان‌کاری مناسب ، می تواند مهم باشد .

اولین گام در به دست آوردن بصیرت در روان‌کاری سطوح جامد ، امتحان کردن نمایه سطح ، یا موقع نگاری است . سطوح صاف در مقیاس اتمی به صورت تخت نیستند . زیری سطوح تولیدی مصرفی در روان‌کاری بین $0.1 \text{ }\mu\text{m}$ و $10 \text{ }\mu\text{m}$ است در صورتی که قطر اتمهای معمولی بین $0.0001 \text{ }\mu\text{m}$ و $0.001 \text{ }\mu\text{m}$ هستند . حتی یک سطح کاملاً صیقلی وقتی با میکروسکوپ یا نمایه گر آزمایش شود ، شکل ناصاف دارد . این سطح از بخش‌های پست و بلند تشکیل شده است . نقاط بلند یا برجستگیها ، به نام «زبری» خوانده می شود .

۳-۱ مشخصه های هندسی سطوح

مشخصه های هندسی ، یا بافت سطوح به ترتیبی که در شکل ۱-۳ نشان داده می شود را می توان به راحتی به سه طبقه اصلی تقسیم بندی کرد :

۱- خطای هكل : سطوح بخاطر خطاهای به وجود آمده در فرآیند ساخت ، از فرم تعریف شده کامل خویش منحرف می شوند .

۲- موجی بودن : موجهای نسبتاً بلند در یک نمایه سطح ، غالباً همراه با ارتعاشات ناخواسته ای هستند که همیشه در سیستمهای ماشین ابزار اتفاق می افتد .

۳- زبری : به غیر از موجی بودن و خطای شکل ، بی نظمی هایی در سطح فرآیند برش و صیق دادن در زمان تولید به وجود می آیند .

در مطالعه سطوح روان کاری شونده ، زبری ، یک تغییر هندسی است که عموماً قابل توجه است . گرچه غالباً تمایز زیادی نمی توان بین این طبقه بندیها قائل شد ، ولی زبری به سادگی به فضای افقی (طول موج) این سطح ارتباط دارد . از دید عملی ، در طبقه بندی کردن سطوح مورد استفاده در تراپیولوژی ، هردو جهت عمودی (یا پارامتر دامنه) و جهت افقی (یا طول موج) مهم هستند .

۳-۲ اندازه گیریهای سوزنی^۱

دو دسته سخت افزار عمومی به صورت رایج برای اندازه گیری صیقل سطح به کار گرفته می شوند : روشهای تماسی که از تکنیک سوزنی استفاده می کنند و روشهای بدون تماس . اندازه گیریهای سوزنی در این قسمت مورد بحث قرار می گیرند . اندازه گیریهای سوزنی بر مبنای تبدیل حرکت عمودی نوک سوزن در ضمن طی عرض یک سطح ، به یک ولتاژ الکتریکی است . سپس این ولتاژ توسط استفاده از آنالوگ مداری یا تبدیل آن به اطلاعات دیجیتال ، متحول می شود . این روش توسط آیات^۲ و فایرستون^۳ در سال ۱۹۳۳ ارائه شد .

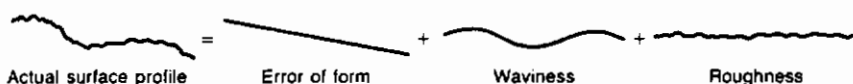
این سوزن معمولاً از الماس ساخته می شود و نوکی با شعاع $2\text{ }\mu\text{m}$ و یک بار استانداری کمتر از N 0.0007 (0.00256 oz) دارد . شعاع نوک در مقایسه با زبری معمولی ، نسبتاً بزرگ است . بنابراین ، معمولاً به دست آوردن یک تصویر حقیقی از اندازه گیری یک سطح با سوزن مشکل

1- Stylus measurements

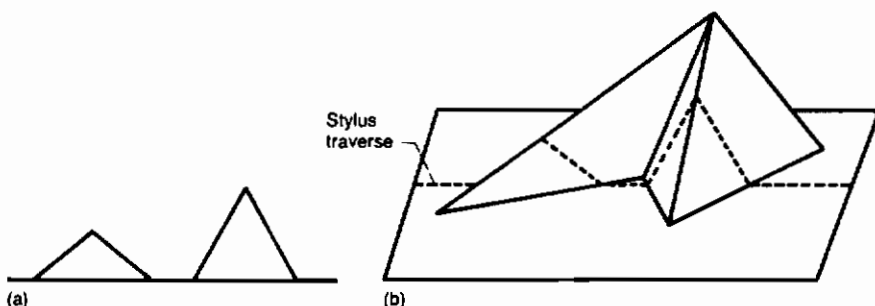
2- Abbot

3- Firestone

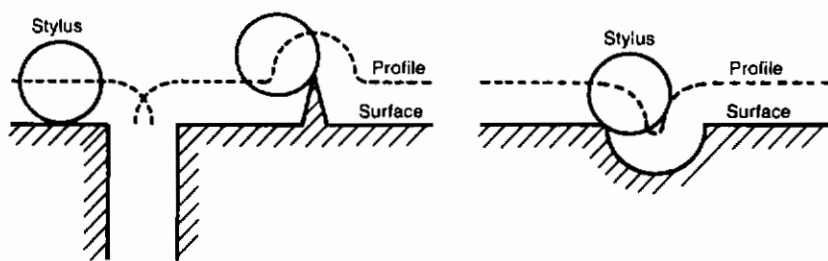
است . جنبه هایی که به نظر می رسد «مطابق شکل ۳-۲» اوج زبری روی یک نمایه واحد باشد، ممکن است در واقع پاشنه های محلی روی دامنه یک قله حقیقی باشند . به علاوه ، خیلی از سطوح واقعی غالب توجه از لحاظ عملی برای متخصصین تریبولوژی ، بافت یک سطح غیرهم سودارند . بنابراین ، نمایه های گرفته شده در جهات مختلف ، کاملاً متفاوت به نظر می رسد . محدودیت اصلی اندازه گیری با سوزن ، اندازه معین نوک آن است که مانند شکل ۳-۳ نمایه سطح را از بین برد و اوجه را بازتر و دره ها را باریک تر می کند . بزرگ سازی در جهت عمودی ، عموماً ۱۰۰ تا ۱۰۰۰،۱۰۰۰ درجه افقی ۱۰ تا ۵۰۰۰ مرتبه است . نسبت رایج بزرگ سازی عمودی به افقی ، ۵۰ به ۱ است . بنابراین مهم است که این تفاوت در بزرگ سازی را مدنظر داشته باشیم . غالباً این کار انجام نمی شود و تصویری غلط از طبیعت سطوح حاصل می شود . شکل ۳-۴ سعی در نشان دادن این موضوع را دارد . شکل ۳-۴ (الف) اثر نمایه گر رایج با بزرگ سازی افقی ۸ را نشان می دهد و شکل ۳-۴ (ب) اثر بزرگ سازی افقی ۴۰ را نشان می دهد و شکل ۳-۴ (ج) یک قسمت کوچک از اثر بزرگ سازی ۲۰۰ بر اساس مقیاس افقی و عمودی برابر را نشان می دهدن .



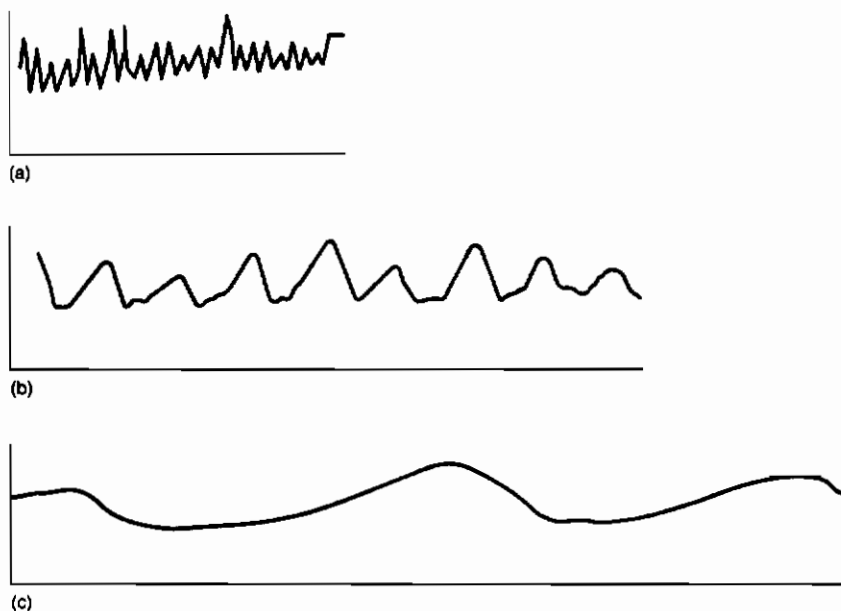
شکل ۳-۱- مشخصه های هندسی سطوح جامد



شکل ۳-۲- مشکل در تعبیر دنبالهای نمایه گر . (الف) غایه سطح ، (ب) زبری سطح



شکل ۳-۳ خطای بخاطر شعاع قلم



شکل ۴-۳- تصویرات گمراه کننده از سطح رسم شده توسط قلم در بزرگ نابی عمودی و سه بزرگ سازی افقی ، خط معوری متوسط $m = 10\mu$. (الف) بزرگ سازی افقی ۸ ، (ب) بزرگ سازی افقی ۴۰ ، (ج) بزرگ سازی افقی ۲۰۰ (شکل حقیقی) .

۳-۳ چند وسیله اندازه گیر بدون تماس

روشهای بدون تماس برای تعیین مشخصه های سطوح ، چندین وسیله و اصول اندازه گیریهای مختلف را به کار می گیرند :

۱- وسیله بلایی : این روش بر اساس اندازه گیری نشت هوا است . یک توپی اندازه گیر تخت و کاملاً صیقلی شده ، یک روزنه هوا دارد . اندازه گیری جریان هوا وقتی این توپی روی سطح گذاشته می شود ، دلالت بر تغییرات در زبری سطح دارد .

دستگاههای بادی ، طریقی ماده ، ارزان ، قابل حمل ، سریع و مقاوم در ارزیابی زبری سطح ، و کاملاً مناسب برای استفاده در تعیین کیفیت سطوح در کارگاه هستند .

۲- دستگاههای نوری : شدت نور لیزر منعکس شده ، بافت سطح را تعریف کرده و متوسطی در مساحت یک سطح به دست می دهد . این روش بر حسب تعداد افرادی که به طور معمول از آن استفاده می کنند ، پایه گذاری قطعی نشده است .

۳- دستگاههای میکروسکوپ الکترونی : این روش راه حل بهتر و عمیق تری نسبت به روشهای نوری پیشنهاد می کند و اساساً با خاطر پرتوهای الکtron میکروسکوپی با طول موج کاملاً کوتاه در مقایسه با نور است . شرینگتون^۱ و اسمیت^۲ به دو نوع الکترون میکروسکوپی اشاره کرده اند :

الف - الکترون میکروسکوپی انقالی (TEM) : الکترونها بر روی یک نمونه نازک (ضخامت کمتر از $1\text{ }\mu\text{m}$) که آنها را ضمن عبور از داخل نمونه منعکس و پخش می کند، برخورد می کنند . یک سیستم لزی الکترونها پخش شده را بزرگ و متتمرکز کرده و یک تصویر مجازی بر روی یک صفحه یافیلم عکاسی تشکیل می دهند . برای آزمایش کردن سطح یک ترکیب فلزی با TEM ، معمولاً لازم است یک المثلثی از سطح این نمونه ساخته شود . TEM عموماً قادر به حل کردن جنبه هایی تاریخی حدود 0.3 nm بوده و برای مطالعه تغییرات در ساختار سطح در ضمن ساییدگی به کار گرفته شده است .

ب - الکترون میکروسکوپی (REM) : الکترونها از سطح نمونه پخش شده و به یک جمع کننده برخورد می نمایند و تولید علامتی الکتریکی می کنند . این علامت در نهایت متحول شده و برای تشکیل یک تصویر مجازی ارائه کننده سطح نمونه روی صفحه تلویزیون به کار می رود . الکترونها پخش شده توسط یک پرتو از

الکترون‌های متتمرکز ، که این نمونه را به صورت الگوی راستر بدقت کترول می‌کنند ، تولید می‌شوند . این فرآیند «کترول میکروسکوپی الکترون» (SEM) نامیده می‌شود . میکروسکوپی‌های کترول کننده الکترون را می‌توان طوری تنظیم کرد تا تجزیه بیشینه‌ای در حدود 10 nm ، کمتر از TEM در دسترس ، داشته باشند . گرچه که این اشکال ، توسط این حقیقت که تهیه نمونه به مقدار قابل توجهی ساده‌تر است ، جبران می‌شود .

علاوه بر این دستگاه‌های بدون تماس ، کترول تونلی میکروسکوپی نیز در دسترس است که از حوصله این کتاب خارج می‌باشد . شرینگتون و اسمیت (1988) شرح مفصلی از این دستگاه و نیز از روش‌های اندازه‌گیری مدرن استفاده شده در تعیین مشخصه‌های سطوح مربوط به تراپیولوژی ، به دست می‌دهند .

جدول ۱-۳- خلاصه مشخصه‌های معمولی دستگاه‌های استفاده شده در آزمایشگاه

اندازه‌گیری موضع‌نگاری سطح

[From Sherrington and Smith (1988)]

Device	Resolution				Vertical measurement range or depth of field		Measurable area	
	Lateral		Vertical		At lowest resolution	At highest resolution		
	Lowest	Highest	Lowest	Highest				
Stylus instrument	(a)	(a)	$0.5\text{ }\mu\text{m}$	$0.00025\text{ }\mu\text{m}$	$500\text{ }\mu\text{m}$	$0.25\text{ }\mu\text{m}$	Depends on traverse length; typically a few millimeters	
Optical light microscope	$2.5\text{ }\mu\text{m}$	$0.1\text{ }\mu\text{m}$	(b)	(b)	$42\text{ }\mu\text{m}$	$0.04\text{ }\mu\text{m}$	Depends on magnification	
Transmission electron microscope	2.5 nm	0.5 nm	(c)	(c)	400 nm	80 nm	Depends on magnification	
Scanning electron microscope	$5\text{ }\mu\text{m}$	10 nm	(d)	(d)	1 mm	$2\text{ }\mu\text{m}$	Depends on magnification	

^aNot easily defined.

^bNot applicable.

^cApproximately the same as the lateral resolution.

^dNot available.

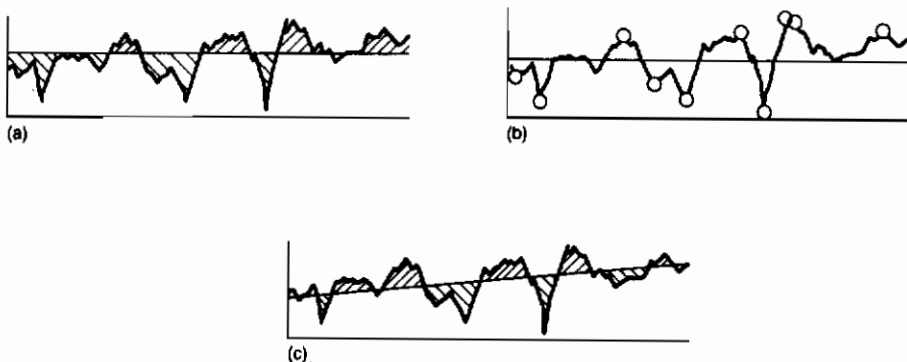
چندین روش اندازه‌گیری موضع نگاری سطح در این قسمت و در قسمت قبلی ، تشریح شده است . از این روشها ، دستگاه اندازه‌گیری با سوزن از همه بیشتر مورد استفاده قرار می‌گیرد . جدول ۳-۱ به دست آمده از شرینگتون و اسمیت (۱۹۸۸) خلاصه‌ای است از مشخصات چند دستگاه در این قسمت و همچنین در قسمت قبلی . در این جدول تجزیه ، عمق میدان ، و مساحت قابل اندازه‌گیری برای چهار دستگاه مختلف تشریح می‌شوند .

۳-۲ خطوط مرجع

در محاسبه پارامترهایی که بافت سطح را تعریف می‌کنند ، تمام اندازه‌گیریهای ارتفاعی از یک خط مرجع معین انجام می‌شود . چندین روش استفاده شده است . این روشها در زیر به صورت خلاصه‌آمده و در شکل ۳-۵ نیز به صورت رسم شده ذکر شده‌اند .

۳-۳ سیستم مربوط با M

سیستم متوسط با M ، روشی است که بر مبنای انتخاب خط متوسط به عنوان مرکز محور نمایه می‌باشد . بنابراین مساحت در بالا و پایین این خط برابر هستند . اگر برای نمایه‌های گستته ، سطح هر نمایه یک مستطیل باشد ، این روش به سادگی متوسط ارتفاعهای اندازه‌گیری خواهد بود . این روش یک مرجع «افقی» را می‌دهد که جبران خطاهای شکل یا کجی^۱ را نمی‌کند .



شکل ۳-۵- مقایسه سه نوع از خط مرجع : الف - سیستم M ، ب - متوسط دهندهای ، ج - کوچکترین مربعات

۳-۴-۲ متوسط ده نقطه

روش متوسط ده نقطه بر مبنای یافتن پنج بلندی و پنج پستی است . متوسط این ده نقطه ، خط مرجع را به دست می‌آورد . برای سطوح کاملاً چاله‌دار ، این روش می‌تواند متهی به خط مرجعی شود که زیر سطح اصلی است .

۳-۴-۳ کوچکترین مربعات^۱

روش کوچکترین مربعات بر مبنای فرض یک خط مرجع شبیه‌دار بجای یک خط افقی ، مانند مورد می‌بینیم است . بنابراین ، امتیاز اصلی این رهیافت این است که می‌تواند برای حبران خطای خطی شکل یا کجی مورد استفاده قرار گیرد . در ذیل سعی خواهد شد خطوط مرجع کوچکترین به صورت ریاضی تشریح شوند . از معادله یک خط

$$z = \bar{m}x + \bar{b}$$

که در آن ،

$$\bar{m} = \text{شبیه}$$

$$\bar{b} = \text{عرض از مبدأ روی محور} z \quad \text{است .}$$

با داشتن یک دسته نقاط $(P_1(x_1, z_1), P_2(x_2, z_2), \dots, P_n(x_n, z_n))$ مرتبط با هر مقدار x ، دو مقدار برای z در نظر بگیرید : (۱) z اندازه گیری شده و (۲) z به دست آمده از معادله $\bar{m}x + \bar{b}$. تفاوت آنها را \bar{d} بنامید ، به طوری که :

$$\bar{d}_1 = [z_1 - (\bar{m}x_1 + \bar{b})], \dots, \bar{d}_n = [z_n - (\bar{m}x_n + \bar{b})]$$

مجموعه تمام خطاهای اندازه گیری ، تصویری از مناسب بودن داده های مشاهده شده به صورت یک خط است . اگر $\sum_{i=1}^n \bar{d}_i^2 = 0$ باشد ، این تناسب کامل است . در عالم واقع چنین اتفاقی نمی‌افتد و در آن جایی است که روش کوچکترین مربعات به میان می‌آید .

نه تنها برقراری یک خط مرجع یا خط متوسط در جهت z مهم است ، بلکه برقراری یک طول نمونه یا فاصله در جهت x نیز از اهمیت بالایی برخوردار است چرا که بخوبی تفاوت بین زیری و موجی بودن را مشخص می‌کند :

$$\bar{f}(\bar{m}, \bar{b}) = \sum_{i=1}^n \bar{d}_i^2$$

با

$$\bar{f}(\bar{m}, \bar{b}) = (z_1 - \bar{m}x_1 - \bar{b})^2 + (z_2 - \bar{m}x_2 - \bar{b})^2 + \cdots + (z_n - \bar{m}x_n - \bar{b})^2$$

پیدا کردن مقادیر \bar{m} و \bar{b} که کوچکترین $\bar{f}(\bar{m}, \bar{b})$ را می‌دهد، ایجاب می‌کند که مقادیر \bar{m} و \bar{b} به گونه‌ای یافت شوند که :

$$\frac{\partial \bar{f}}{\partial \bar{m}} = \frac{\partial \bar{f}}{\partial \bar{b}} = 0$$

با حل کردن این دو معادله با دو مجهول، خط مرجعی به دست می‌آید که شکل شیب-فاصله از مبدأ رانشان می‌دهد.

وقتی که در مورد روش انتخاب یک خط مرجع توافق حاصل شود، تمام اندازه‌گیریهای ارتفاعی سطح نسبت به آن انجام می‌گیرد. روش‌های مرکز هندسی (یا سیستم M) و خط مرجع کوچکترین مربعات، آسانترین روشها به صورت تحلیلی می‌باشند، زیرا که مجموع تمام انحرافات همیشه صفر است.

۳-۵ محاسبه پارامترهای سطح

اندازه‌گیری با ابزار سوزنی فرض می‌شود. خط مرجع استفاده شده توسط روش سیستم M یا روش کوچکترین مربعات، طوری به دست می‌آید که متوسط z_i صفر باشد. فرض بر این است که نمونه‌ها در فواصل طولی یکنواخت Δ در نظر گرفته می‌شوند. این Δ مقدار کوچکی تعریف می‌شود. مقادیر گسته به دست آمده توسط z_i ، $i = 1, 2, \dots, N$ مشخص می‌شوند.

در این جا سه پارامتر متفاوت سطح را می‌توان محاسبه کرد:

۱- متوسط محوری (CLA) یا متوسط حسابی (AA) مشخص شده با R_a به صورت :

$$R_a = \frac{1}{N} \sum_{i=1}^N |z_i| \quad (3-1)$$

از $z'_i = z_i - \bar{m}x_i - \bar{b}$ فورآتیجه می‌شود که $\sum z'_i = 0$ بوده، به ترتیبی که متوسط صفر دارد.

- جذر متوسط مجدد (rms) ، توسط R_q مشخص می شود .

$$R_q = \left(\frac{1}{N} \sum_{i=1}^N z_i^2 \right)^{1/2} \quad (3-2)$$

اگر توزیع گوسی^۱ در نظر گرفته شود این R_q امتیاز بودن انحراف استاندار دنمایه را دارد .

- ارتفاع اوج به درجه بیشته ، مشخص شده با R_t ،

$$R_t = \max(z) - \min(z) \quad (3-3)$$

عموماً ،

$$R_a \leq R_q \leq R_t \quad (3-4)$$

همچنین برای یک توزیع سینوسی ساده ، نسبت R_q به R_a عبارت است از :

$$\frac{R_q}{R_a} = \frac{\pi}{2\sqrt{2}} = 1.11 \quad (3-5)$$

از استفاده واژه هایی از قبیل «زبر» ، «ظریف» ، «صف» و «خیلی صاف» در تشریح موضع نگاری سطوح باید اجتناب شود ، زیرا معنای آن بستگی به کاربرد مورد استفاده آن دارد .

برای مثال یک سطح با $R_q = 40 \text{ nm}$ برای کسانی که در زمینه نوری کار می کنند «خیلی زبر» است ؛ در صورتی که برای یک سطح ماشین کار می شده ، «خیلی صاف» منظور می شود .

جدول ۳-۲ مقادیر معمولی متوسط حسابی R_a برای فرآیندها و مؤلفه های مختلف را نشان می دهد . شکل ۳-۶ شش نمایه مختلف سطح با R_t یکسان یا زبری متوسط حسابی را نشان می دهد . بنابراین R_t یک پارامتر پیچیده است ، زیرا مشخص نمی کند که آیا این مقدار R_t متوسط تعداد زیادی از انحرافات کوچک از مقدار متوسط است یا مربوط به چندتایی از مقادیر بزرگ می باشد . بدین دلیل ، متخصصین تربیلولوژی در جستجوی پارامترهای دیگر سطح ، که اطلاعات بیشتری به دست دهد ، هستند .

تاکنون بحث زیری سطح ، در مورد تعریف نمایه در جهت z بوده است . برای مشخص کردن ارتفاع این زیرهای طول یاتاقان معروفی می شود . نمایه طول یاتاقان توسط برش قله های نمایه توسط یک خط موازی با خط متوسط در فاصله داخل طول نمونه در یک ارتفاع

مقطعی داده شده ، به دست می آید . از شکل ۳-۷ جهت تشریح طول یاتاقان ℓ استفاده می شود . به صورت معادله ریاضی می توان نوشت :

$$\ell^* = \ell_1^* + \ell_2^* + \cdots + \ell_n^* \quad (3-6)$$

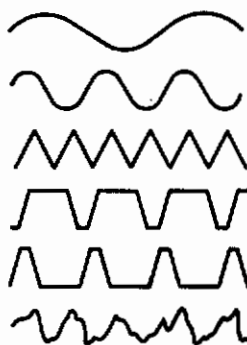
نمایه نسبت طول یاتاقان t_p ، به صورت :

$$t_p = \frac{\ell^*}{\ell} \quad (3-7)$$

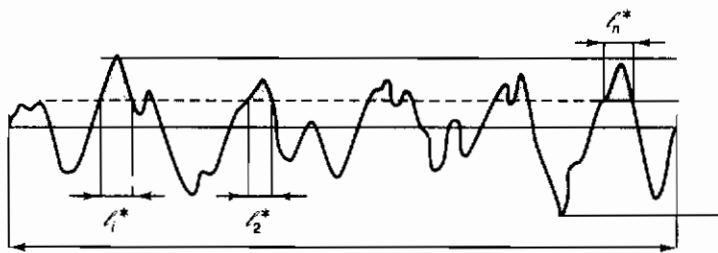
تعریف می شود که اطول نمونه بر حسب متر است .

جدول ۳-۲- متوسط های حسابی معمولی برای فرآیندها و مؤلفه های مختلف

	Arithmetic average, R_a	
	μm	$\mu\text{in.}$
Processes		
Sand casting; hot rolling	12.5-25	500-1000
Sawing	3.2-25	128-1000
Planing and shaping	.8-25	32-1000
Forging	3.2-12.5	128-500
Drilling	1.6-6.3	64-250
Milling	.8-6.3	32-250
Boring; turning	.4-6.3	16-250
Broaching; reaming; cold rolling; drawing	.8-3.2	32-128
Die casting	.8-1.6	32-64
Grinding, coarse	.4-1.6	16-120
Grinding, fine	.1-.4	4-16
Honing	.1-.8	4-32
Polishing	.05-.4	2-16
Lapping	.025-.4	1-16
Components		
Gears	0.25-10	10-400
Plain bearings—journal (runner)	.12-.5	5-20
Plain bearings—bearing (pad)	.25-1.2	10-50
Rolling bearings—rolling elements	.025-.12	1-5
Rolling bearings—tracks	.1-.3	4-12



شکل ۳-۶- نمایه‌های هندسی دارای مقادیر متوسط حسابی یکسان



شکل ۳-۷- نمایه سطح نشان‌دهنده ارتفاع یاتاقان

منحنی ابوت^۱ که به «منحنی طول یاتاقان» نیز معروف است ، در شکل ۳-۸ نشان داده می شود . محور عمودی ، نسبت طول یاتاقان ضرب در عدد ۱۰۰ است . این منحنیها تشریح می کنند که چه مقدار از نمایه ، فاصله معینی در بالای سطح به پیش می آید . در خلال تست نهایی ، مقدار معینی از سطح توسط تغییر شکل پلاستیک برداشته خواهد شد . این منحنیها همچنین نوک تیزی و مقدار ماده بین ارتفاعات داده شده را محاسبه می کنند . در نمایه بالایی ، زیریها اوج تندتری نسبت به نمایه پایینی دارند .

بافت یک سطح رامی توان بر حسب تابع توزیع نمایه ارتفاعات مربوط به آن تشریح کرد . بر حسب آماری ، توزیع جمع شونده منحنی توزیع در تمام جهات رامی توان به صورت ذیل نوشت :

$$\bar{F}(z) = \int_{-\infty}^z \psi dz$$

که در آن z به نمایه ارتفاع ارجاع می شود و ψ تابع جرم مخصوص احتمالی توزیع این

ارتفاعات است . تابع جرم مخصوص احتمالی را می توان به عنوان کسری از ارتفاعات در یک فاصله معین ، تعریف کرد . بنابراین به دست آوردن عملی یک چنین منحنی توزیع ، شامل اندازه گیری z و \bar{z} وغیره در یک فاصله گستره و جمع بستن این تعداد جهات در هر ارتفاع داده شده می باشد . شکل ۳-۹ روش محاسبه توزیع در تمام جهات را نمایش می دهد . منحنی توزیع در شکل ۳-۹ ، صافترین منحنی است که می توان در شکل ترسیم شده به دست آمده توزیع فرآیند نمونه گیری ، رسم کرد . این منحنی صاف ، جهت بسیاری از سطوح سعی برنایش دادن توزیع «گوسی» ارتفاعات بافت سطح را دارد .

اگر این قبیل ایده های توزیع ارتفاع معرفی شوند، جرم مخصوص احتمالی تقریبی یا ترسیمه نگار را می توان برای محاسبه R_q و R_p مورداستفاده قرار دارد . اگر کسری از ارتفاعات در یک فاصله برابر A باشد $z_j \leq z \leq z_j + A$ و آن را برای $L, \dots, 0, \dots, -L$ به $j = 1, \dots, n$ نمایش دهیم ، سپس همان مقادیر داده شده در معادلات (۳-۱) و (۳-۲) را می توان به صورت ذیل به دست آورد :

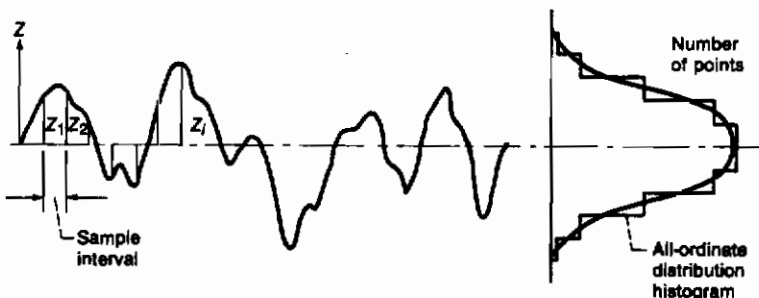
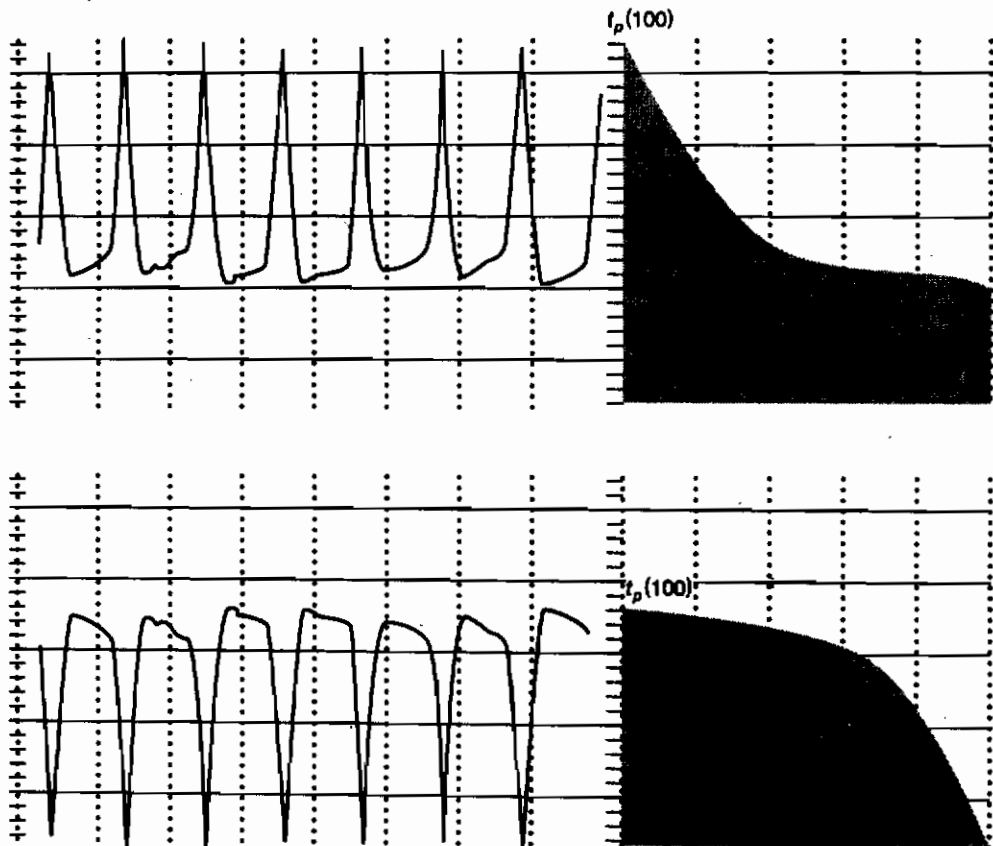
$$R_p = \int_{-L}^L |z| \tilde{\psi} dz \quad (3-8)$$

$$R_q = \left(\int_{-L}^L z^2 \tilde{\psi} dz \right)^{1/2} \quad (3-9)$$

از قانون «گوس-لایلیس» یک رابطه عمومی برای تابع جرم مخصوص احتمالی ضمن فرض توزیع گوسی ، عبارت است از :

$$\tilde{\psi} = \frac{1}{\sigma(2\pi)^{1/2}} \exp \frac{-(z - z^*)^2}{2\sigma^2} \quad (3-10)$$

که در آن σ انحراف استاندارد و z^* فاصله متوسط از مقدار انتخاب شده به عنوان مبدأ است . مقادیر محور عمودی $\tilde{\psi}$ از منحنی توزیع گوسی برای $z = z^*$ در اکثر کتابهای آماری پیدا می شوند . شکل توزیع گوسی یک گستره از $-\infty$ تا ∞ را ایجاد می کند که با سطوح معمولی اتفاق نمی افتد . در علم این منحنی توزیع در مقدار $3\sigma \pm$ قطع می شود . چون تقریباً ۹۹/۹ درصد تمام وقایع در این ناحیه رخ می دهد ، این قطع شدن متهی به خطای قابل اغماض ، ضمن ساده سازی مفید ، می شود .



شکل ۳-۹- روش به دست آوردن توزیع غام جهات

گشتاور n ام این منحنی توزیع ψdz حول محور متوسط به صورت زیر تعریف می شود:

$$M_n = \int_{-\infty}^{\infty} z^n \tilde{\psi} dz \quad (3-11)$$

مشاهده می شود که دو برابر گشتاور اول نصف ψdz برابر با متوسط خط محور R_a ، تعریف شده در معادله (۳-۸) یا :

$$R_a = 2 \int_0^{\infty} z \tilde{\psi} dz = \text{twice the first moment of half } \tilde{\psi} dz$$

می باشد . گشتاور اول تمام ψdz حول خط مرجع متوسط ، صفر است . به همین ترتیب ، با مقایسه گشتاور دوم ψdz و جذر متوسط مجدد R_q از معادله (۳-۹) ، رابطه زیر به دست می آید :

$$R_q = \bar{\sigma} = \left(\int_{-\infty}^{\infty} z^2 \tilde{\psi} dz \right)^{1/2} = (\text{second moment of } \tilde{\psi} dz)^{1/2}$$

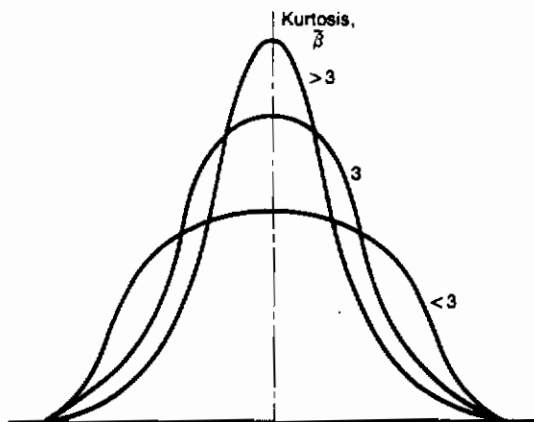
گشتاور سوم ψdz مربوط به کجی یک منحنی ، یا خارج شدن یک منحنی از حالت تقارن می شود . عبارت ریاضی برای کجی بدون بعد :

$$\bar{\alpha} = \frac{1}{R_q^3} \int_{-\infty}^{\infty} z^3 \tilde{\psi} dz \quad (3-12)$$

است . اگر پستی ها و بلندیها از خط مرجع تقریباً به یک اندازه منحرف شوند ، این کجی صفر خواهد بود . اگر از طرف دیگر این سطوح کاملاً به صورت چاله ای باشند ، این کجی یک مقدار منفی خواهد داشت .

گشتاور چهارم ψdz در ارتباط با قله یا کشیدگی منحنی بوده و به صورت زیر بیان می شود :

$$\bar{\beta} = \frac{1}{R_q^4} \int_{-\infty}^{\infty} z^4 \tilde{\psi} dz \quad (3-13)$$



شکل ۳-۱۰- نایاش سه مقدار کشیدگی مختلف

کشیدگی β همیشه یک مقدار مثبت داشته و تبیزی یک توزیع متقارن را اندازه می‌گیرد . برای یک توزیع گوسی ، این منحنی کشیدگی ۳ را دارد . وقتی که بیشتر ارتفاعات نمایه نزدیک به خط مرجع باشند ، β کاملاً بزرگ بوده و یک توزیع ارتفاع نسبتاً تخت ، β نزدیک به صفردارد . منحنیهای با مقادیر β کمتر از ۳ «پلاتی کورتیک» و با β بزرگتر از ۳ «لپتوکورتیک» نامیده می‌شوند . شکل ۳-۱۰ منحنیهای کشیدگی از انواع مختلف را نشان می‌دهد .

برای یک توزیع گوسی با منحنی ۷۷ ، همان طور که که در معادله (۳-۱۰) بیان شده ،

عبارت عمومی برای گشتاور n ام توسط عبارت زیر داده می‌شود :

$$M_n = \frac{1}{\sigma(2\pi)^{1/2}} \int_{-\infty}^{\infty} z^n \exp \frac{-z^2}{2\sigma^2} dz \quad (3-14)$$

که در آن $R_q = \bar{\sigma}$ انحراف استاندارد است . از معادله (۳-۱۴) مشاهده می‌شود که ، اگر n فرد باشد ، M_n حذف شده و منحنی باید متقارن باشد . اگر n جفت باشد ، سپس :

$$M_n = \frac{n!}{2^{n/2} (n/2)!} \bar{\sigma}^n \quad (3-15)$$

خواهد . توجه کنید که گشتاور دوم برابر $\bar{\sigma}^2$ ، که واریانس است ، می‌شود . بنابراین :

$$\therefore M_2 = \bar{\sigma}^2 = R_q^2 = \text{variance} \quad (3-16)$$

چند پارامتر اضافی دیگر که در روان کاری فیلم سیال برای تعریف سطوح استفاده می شوند و همچنین حدود مقادیر آنها در زیر آورده می شوند :

جرم مخصوص زبریها ، 10^2 تا 10^6 بر حسب $\text{mm}^2/\text{اوج}$.

فاصله زبری ، 1 تا $75\mu\text{m}$.

شیوهای زبری ، 0 تا 25° ولی اغلب 5 تا 10° .

شعاع اوج ها ، غالباً 10 تا $30\mu\text{m}$.

این تعاریف اضافی سطح، بافت سطح مورد استفاده در روان کاری فیلم سیال را بهتر معرفی می کند .

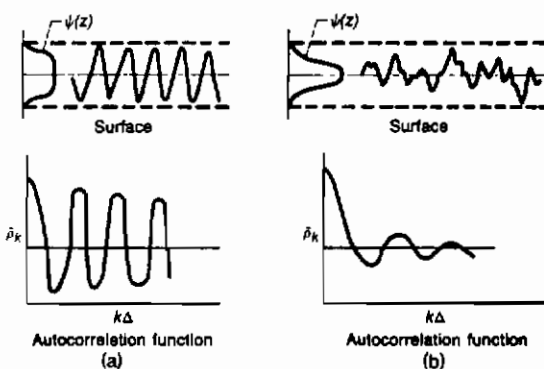
۳-۶ پارامتر همبستگی الوماتیک

پارامترهای بحث شده قبلی (R_q ، R_a ، و R_s) ، فقط بستگی به ارتفاعات نمایه داشته و ربطی به فضای بین این ارتفاعات ندارد . در نتیجه آنها واقعاً همان طور که شکل ۳-۹ نشان می دهد ، شکل نمایه را منعکس نمی کنند . این همبستگی ، فضای بین ارتفاعات را می توان به هم مربوط کرده و با ضرب کردن هر ارتفاع نمایه در ارتفاع این نقطه در فاصله افقی معینی دورتر بر روی نمایه ، به دست می آید . پس از به دست آوردن متوسط این حاصل ضرب برای طول نمایه و نرمال کردن توسط واریانس R^2 ، این همبستگی عبارت خواهد بود از :

$$\bar{\rho}_k = \frac{1}{R_q^2(N-k)} \sum_{i=1}^{N-k} z_i z_{i+k} \quad (3-17)$$

این رابطه تابعی از k می باشد و اندازه گیر تشابه ارتفاعات جدا شده توسط فاصله Δ است (در اینجا Δ فاصله نمونه ثابت فرض می شود) . در فرآیندهای ماشین کاری ، از قبیل تراشکاری و فرزکاری که علایم تغذیه مشخصی دارند ، این همبستگی در جایی که Δ ضرب عدد صحیحی از تغذیه خطی باشد ، بیشینه خواهد داشت . این فاصله غالباً «طول مرج مشخصه» نامیده می شود .

ترسیم های معمولی از تابع همبستگی ، برای دو نمایه مختلف در شکل ۳-۱۱ نشان داده می شوند . واریانس به صورت σ^2 معرفی می شود . شکل این تابع در آشکار نمودن بعضی از مشخصه های این نمایه مفیدترین است . میرایی کلی این تابع ، مؤلفه اتفاقی نمایه



شکل ۳-۱۱- دو سطح مختلف و توابع همبستگی منتجه . ا. الف . نمایه نوسانی ، ب . نمایه میرا

سطح بوده و مطابق شکل ۳-۱۱(ب) دلالت بر کاهش در همبستگی ، ضمن افزایش Δ دارد . مؤلفه نوسانی تابع ، مطابق شکل ۳-۱۱(الف) ، دلالت بر هرگونه نوسان بودن این نمایه دارد .

۳-۷ توزیع شبیه و انحنای

با در نظر گرفتن نمایه به عنوان یک تابع اتفاقی با مشتقهای اول و دوم ، می توان تشریح هندسی اساسی از یک نمایه را به دست داد . هر کدام از مشتقها نیز یک توزیع آماری همراه خود دارند . آسانترین راه برای پی بردن به این اطلاعات ، استفاده از تفاوتها در نمایه برای ارائه مشتقها است ، یا :

$$\left(\frac{dz}{dx} \right)_i \approx \frac{z_{i+1} - z_i}{\Delta} \quad (3-18)$$

$$\left(\frac{d^2z}{dx^2} \right)_i \approx \frac{z_{i+1} - 2z_i + z_{i-1}}{\Delta^2} \quad (3-19)$$

معادله (۳-۱۸) شبیه این نمایه و معادله (۳-۱۹) انحنای آن را به دست می دهد . به هر حال چون این نمایه یک تابع اتفاقی همراه با «سر و صدا»(noise) است ، تفاوت یابی بهترین راه نیست ؛ زیرا این سر و صدا را بزرگتر می کند . به طریقی این داده ها باید هموار شوند تا این اثر کمینه شود . یک راه برای این عمل ، استفاده از معادلات (۳-۱۸) و (۳-۱۹) با نمونه گیری

در فواصل Δ ، 2Δ ، 3Δ ، ... و سپس به دست آوری متوسط های وزنی این عبارات است . برای مثال با استفاده از وزنهای 1.5 ، 0.6 - و 0.1 برای مشتقهای تشکیل شده در به ترتیب Δ ، 2Δ و 3Δ عبارات زیر به دست می آیند :

$$\left(\frac{dz}{dx} \right)_i = \frac{1}{60\Delta} [45(z_{i+1} - z_{i-1}) - 9(z_{i+2} - z_{i-2}) + (z_{i+3} - z_{i-3})] \quad (3-20)$$

$$\begin{aligned} \left(\frac{d^2z}{dx^2} \right)_i &= \frac{1}{180\Delta^2} [-490z_i + 270(z_{i+1} - z_{i-1}) \\ &\quad - 27(z_{i+2} - z_{i-2}) + 2(z_{i+3} - z_{i-3})] \end{aligned} \quad (3-21)$$

از این طریق یک نمایه شبیب و انحناء ، از نمایه ارتفاع می توان به وجود آورد و با استفاده از روابط یکسان برای ارتفاعات ، یک شبیب متوسط و انحناء و نیز انحراف استاندارد مربوطه را از توزیعات به دست آورد . به همین ترتیب کجی و کشیدگی را می توان محاسبه نمود تا شکل این توزیعات مشخص شود .

خواص تعریف شده قبلی، چند پارامتری هستند که می توان آنها را از تجزیه و تحلیل یک نمایه پیدا کرد . این مشخصه ها ممکن است در ارتباط دادن تابع به سطوح ساخته شده یا در تجزیه و تحلیل چگونگی ارتباط یک سطح با سطح دیگر ، مهم باشند . آنها نمایش دهنده بعضی از توانایی های مهم در بیرون کشیدن اطلاعات بیشتر از اندازه گیری سطح بوده و فقط پارامتر های حساس در مقابل ارتفاع نیستند .

در نهایت باید کاملاً به ارتباط بین تابع و هندسه سطح پی برد . با این کار ، عمل مقابله نزدیکتری بین مهندس ساخت که سطح را می سازد و طراح که سطح را پیزه سازی می کند ، ایجاد می شود .

۳-۸ پارامتر های فیلمی برای نواحی مختلف روان کاری

اگر یک جزء ماشین به طور مناسب طراحی و روان کاری فیلم سیال شده باشد ، سطوح روان کاری شده کاملاً توسط یک فیلم روان کننده مجزا از یکدیگر هستند . به طور مثال آزمایش مربوط به بلیرینگها که توسط تالیان^۱ و دیگران (۱۹۶۷) انجام شده ، نشان می دهد که وقتی فیلم روان کننده به اندازه کافی ضخامت دارد تا بتواند اجسام در تماس را از یکدیگر جدا کند ،

عمر خستگی یاتاقان به مقدار خیلی زیادی افزایش می‌باید . برعکس ، وقتی که فیلم به اندازه کافی ضخامت ندارد که جدایی کامل بین زیری‌ها را در نواحی تماس فراهم کند ، عمر یاتاقان به صورت سوء به واسطه برش زیاد حاصل از تماس مستقیم فلز به فلز ، مؤثر واقع می‌شود .

چهار ناحیه روان کاری ، در قسمت ۱-۲ تعریف و روش‌های محاسباتی برای تعیین rms سطح صیقلی در قسمت ۳-۵ معرفی شدند . این قسمت ، یک پارامتر فیلم را معرفی می‌کند و طیف مقادیر برای چهار ناحیه روان کاری را تشریح می‌کند . رابطه بین پارامتر فیلم بدون بعد Δ و ضخامت فیلم h_{\min} برابر است با :

$$\Lambda = \frac{h_{\min}}{(R_{q,a}^2 + R_{q,b}^2)^{1/2}} \quad (3-22)$$

که در آن :

$$R_{q,a} = a \text{ قسمت صیقلی سطح rms}$$

$$R_{q,b} = b \text{ قسمت صیقلی سطح rms}$$

پارامتر فیلم ، برای تعریف چهار ناحیه مهم روان کاری ، مورد استفاده قرار می‌گیرد . طیف Λ برای این چهار ناحیه عبارتند از :

- ۱- روان کاری هیدرودینامیکی $100 < \Lambda \leq 5$
- ۲- روان کاری الاستو هیدرودینامیکی $10 < \Lambda \leq 3$
- ۳- روان کاری جزئی $5 < \Lambda \leq 11$
- ۴- روان کاری مرزی $\Lambda < 1$

این مقادیر تخمینهای با تقریب زیاد هستند . تفاوت زیاد هندیسی هندسی ، در رفتان از اتصالات روان کاری شده هیدرودینامیکی به اتصالات روان کاری شده به صورت الاستو هیدرودینامیکی کار را برای تمايز آشکار ، مشکل می‌کند .

۳-۹ عبور بین نواحی روان کاری

ضمن کاهش شدت بار ، انتقال سریع از روان کاری مرزی به فیلم سیال وجود ندارد و به جای آن ، قسمت افزاینده‌ای از بار توسط فشارهای داخل فیلم ، که بیشتر فضاهای بین

قسمت جامد مقابل به یکدیگر را پر می کنند ، تحمل می شود . غالباً حذف کردن اثرات روان کاری فیلم سیال به ترتیبی که روان کاری مرزی حقیقی بتواند اتفاق یافتد ، واقعاً مشکل است ، و شواهدی وجود دارد که نشان می دهد که روان کاری فیلم سیال در حد میکروونی که توسط بی نظمهای سطحی تشکیل می شود ، اثری مهم است .

تغییرات ضریب اصطکاک μ با پارامتر فیلم A ، در شکل ۱۲-۳ نشان داده شده است .

ضریب اصطکاک به صورت :

$$\mu = \frac{f}{w_z} \quad (3-23)$$

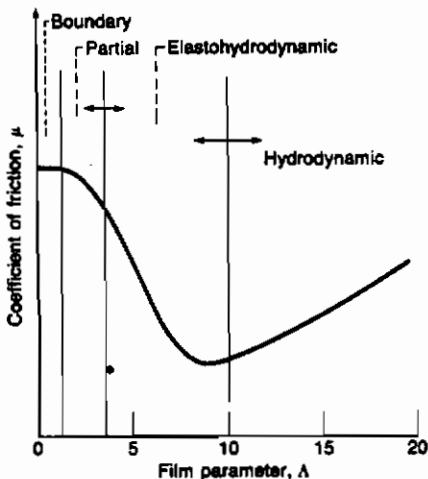
تعريف می شود که در آن f نیروی مماسی (اصطکاک) و w_z بار عمودی وارد است . در شکل ۱۲-۳ موقعیتهای تقریبی نواحی مختلف روان کاری بحث شده در قسمت ۳-۸ ، نشان داده شده است : این شکل نشان می دهد که ضمن افزایش پارامتر فیلم A ، ابتدا ضریب اصطکاک در ناحیه الاستو هیدرودینامیکی کاهش یافته و سپس در ناحیه هیدرودینامیک ، افزایش می یابد . در توضیح این پدیده ، فرض می کنیم که زیری سطحی در هر دو ناحیه روان کاری یکسان است .

در روان کاری هیدرودینامیکی سطوح همدیسی و همان طور که در یاتاقانهای ژورنال و کف گرد یافت می شود ، $\alpha 1/h^2$ است . در روان کاری الاستو هیدرودینامیکی سطوح ناهمدیسی ، بار عمودی وارد اثر ناچیزی روی ضخامت فیلم دارد . بنابراین w_z به طور لازم مناسب با یک مقدار ثابت است . در هر دو روان کاری هیدرودینامیکی و الاستو هیدرودینامیکی نیروی اصطکاکی در اثر خاصیت برشی روان کننده بوده و در هر دو ناحیه می تواند به صورت $\alpha 1/h$ تعبیان شود . با استفاده از این ، داریم :

$$\mu_{HL} \propto \frac{1/h}{(1/h)^2} \propto h \quad (3-24)$$

$$\mu_{EHL} \propto \frac{1/h}{\text{constant}} \propto \frac{1}{h} \quad (3-25)$$

بدین ترتیب این تعاریف ، شبیه مسکوس ضریب اصطکاک در شکل ۱۲-۳ را توضیح می دهند .



شکل ۳-۱۲- تغییر ضریب اصطکاک با پارامتر فیلم

۳-۱۰ هدفه

چون روان کاری فیلم سیال به زوan کاری بین سطوح جامد جدا شده توسط یک ضخامت فیلم کوچک مربوط می شود ، لازم است که طبیعت فیزیکی موضع نگاری سطح جامد ، درک شود . برای درک بهتر مطلب ، این فصل سخت افزار اندازه گیری سطح را مورد بررسی قرار داد . روش تماسی اندازه گیری با سوزن بر مبنای انتقال حرکت عمودی نوک سوزن ضمن عبور از روی این سطح ، به ولتاژ الکتریکی است . محدودیت اصلی این رهیافت ، اندازه معین نوک سوزن است که نمایه سطح را متغیر و اوجها را پهن و پستیها را باریک می کند . وسایل اندازه گیری بدون تماس یاد شده ، در زیر ارائه شده اند :

- ۱- وسایل بادی ؟ جریان هوا را وقتی که یک ارتفاع کاملاً صیقل شده بر روی یک سطح قرار می گیرد ، اندازه گرفته و تغییرات در زیری سطح را نشان می دهد .
- ۲- وسایل نوری ؟ شدت نور لیزر منعکس شده را برای تعریف بافت سطح به کار می گیرد .
- ۳- در وسایل الکترونی میکروسکوپی وقتی الکترونها به نمونه برخورد می کنند ، تصویر می کنند .

در محاسبه پارامترهایی که بافت سطح را تعریف می کنند ، تمام اندازه گیریهای ارتفاع

نسبت به خط مرجع معینی انجام گرفته است . دو روش در تعریف این خط مرجع هستند که عبارتند از :

۱- سیستم M یا متوسط ، بر مبنای انتخاب خط متوسط به عنوان مرکز هندسی نمایه . مساحت بالای این خط برابر با مساحت زیر آن است .

۲- کوچکترین مرباعات ، بر مبنای فرض یک شکل شبیه - فاصله از مرکز برای خط مرجع . که می تواند برای خطای شکل یا کجی ، جبران کننده باشد .

روشهای محاسبه پارامترهای سطح مورد بحث قرار گرفته و نیز دو پارامتر مهم به شرح زیر می باشند :

۱- متوسط خط محور (CLA) یا متوسط حسابی (AA) مشخص شده با R_a :

$$R_a = \frac{1}{N} \sum_{i=1}^N |z_i| \quad (3-1)$$

۲- جذر متوسط مجدول زیری (rms) مشخص شده توسط :

$$R_q = \left(\frac{1}{N} \sum_{i=1}^N z_i^2 \right)^{1/2} \quad (3-2)$$

که عموماً $R_q \leq R_a$ است .

پارامتر فیلم A به عنوان نسبت ضخامت فیلم کمینه ، زیری سطح مرکب تعریف شد . این پارامتر فیلم برای تعریف چهار ناحیه مهم روان کاری : هیدرودینامیک ، الاستوھیدرودینامیکی ، جزئی و مرزی استفاده گردید .

۳-۱۱ مسائل

۳-۱۱-۱ نشان دهید که برای یک توزیع گوسی و متوسط صفر ($\mu = 0$) از خط مرجع (تعیین شده توسط سیستم M) ، کجی تئوری صفر و کشیدگی ۳ است .

۳-۱۱-۲ نشان دهید که کجی برای یک سطح با چاله های عمیق ، کمتر از صفر است ($\alpha < 0$) و کشیدگی برای یک توزیع ارتفاع نسبتاً نخت ، به سمت صفر میل می کند ($\beta \rightarrow 0$) .

- ۳-۱۱-۳ نسبت R_a/R_g برای یک توزیع گوسی با متوسط صفر ($z = 0$) را پیدا کنید.
- ۳-۱۱-۴ ثابت کنید که $R_g \leq R_a$ است.
- ۳-۱۱-۵ چه نمایه‌ای $R_a = R_g$ را تولید می‌کند؟
- ۳-۱۱-۶ ثابت کنید که کشیدگی، بزرگتر یا برابر با یک است.
- ۳-۱۱-۷ نابرابری کشیدگی-کجی چیست؟ یعنی وقتی کشیدگی در برابر کجی رسم می‌شود، منحنی بحرانی که نتایج مجاز و غیرمجاز را جدا می‌کنند، توضیح دهد.
- ۳-۱۱-۸ نشان دهد که برای یک توزیع گوسی با متوسط غیرصفر ($z \neq 0$) از خط مرجع (تعیین شده متوسط سیستم M)، کجی توری صفر و کشیدگی ۳ است.

۳-۱۲ فهرست منابع و مأخذ

- Abbot, E. J., and Firestone, F. A. (1933): Specifying Surface Quality. *J. Mech. Eng.*, vol. 55, no. 9, pp. 569-572.
- Barwell, F. T. (1979): *Bearing System: Principles and Practice*, Oxford University Press, Oxford.
- Halling, J. (ed.) (1975): *Principles of Tribology*. Macmillan Press, London and Basingstoke.
- Halling, J. (1976): *Introduction to Tribology*. Wykeham Publications, London.
- Hamrock, B. J., and Dowson, D. (1981): *Ball Bearing Lubrication—The Elastohydrodynamics of Elliptical Contacts*. Wiley-Interscience, New York.
- Persson, U. (1992): "Surface Topography—Speckle Technique and Image Analysis Applied to Surface Roughness Measurement on Machined Surfaces." Ph.D. Thesis. Instrumentation Laboratory, Royal Institute of Technology, Stockholm, TRITA-JLA 92.06
- Sherrington, I., and Smith, E. H. (1988): Modern Measurement Techniques in Surface Metrology: Part I: Stylus Instruments, Electron Microscopy and Non-Optical Comparators. *Wear*, vol. 125, pp. 271-288.
- Tallian, T. E., et al. (1967): On Computing Failure Modes in Rolling Contacts. *ASLE Trans.*, vol. 10, no. 4, pp. 418-435.

فصل چهارم

خواص روان کننده

عمل اصلی یک روان کننده ، کترول اصطکاک و ساییدگی است . اما روان کننده های مایع دارای خواص و مشخصه های مطلوب ثانویه زیر نیز هستند :

- ۱- آنها را می توان به طور هیدرولیکی بین اجزاء در حال حرکت کشاند .
- ۲- آنها دارای ظرفیت ذخیره حرارتی نسبتاً بالایی هستند تا اجزاء در تماس را خنک کنند.
- ۳- آنها را می توان به سادگی با مواد شیمیایی مخلوط نمود تا خواص مختلفی از قبیل ایستادگی در مقابل خوردگی ، پاک کنندگی ، یا لایه های سطحی فعال را به دست آورند .
- ۴- آنها می توانند ذرات ساییده شده را به خارج انتقال دهند .

روان کننده ها را می توان به دونوع با منشأ نفتشی، که با نام «روغن های معدنی» شناخته می شوند، و با منشأ گیاهی یا حیوانی به نام «روغن های چرب» تقسیم بندی کرد. روغن های مصنوعی غالباً جزء دسته دوم محسوب می شوند. برای این که یک روان کننده از کارآئی خوبی برخوردار باشد باید به اندازه کافی لزج باشد ، تا تحت شرایط کاری وجود فیلم روان کننده را تأمین کند و در عین حال به اندازه کافی سیال باشد تا حرارت را از محیط خارج کرده و از اتلاف قدرت، که به دلیل نیروی مقاوم لزجت وجود دارد ، جلوگیری کند . یک روان کننده همچنین باید تحت تنشی های حرارتی و اکسیدشدن پایدار بوده و قابلیت شعله ورشدن آن پایین باشد و قدرت کنترل اصطکاک و ساییدگی را دارا باشد . همان طور که دیده می شود ، انتظار زیادی از یک روان کننده

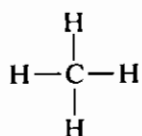
می‌رود. برای درک بهتر عملکرد یک روان‌کننده، مروری کوتاه بر مبانی شیمی مورد نیاز به شرح ذیل خواهیم داشت:

۴-۱ مبانی شیمیابی

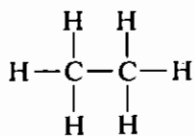
چون بعضی از روان‌کننده‌ها از مشتقات نفتی هستند که شامل ترکیبات کربن و هیدروژن می‌باشند، لازم است تا بحث خلاصه‌ای از شیمی هیدروکربنها داشته باشیم. این بحث همچنین می‌تواند پایه‌ای برای مطالعه الكل‌ها، اسیدهای چرب و هیدروکربنهای دوره‌ای باشد. بیشتر مطالب این قسمت از منابع پو^۱ (۱۹۷۰) و هس^۲ (۱۹۸۱) گرفته شده است.

۱-۱ هیدروکربنها

هیدروکربنها ترکیباتی از کربن و هیدروژن هستند. ظرفیت شیمیابی، یا قدرت پیوند شیمیابی، کربن و هیدروژن به ترتیب ۴ و ۱ است. ساده‌ترین هیدروکربن را می‌توان به صورت:



نشان داد که به نام متان و با فرمول شیمیابی CH_4 است. اتمهای کربن خاصیت بی‌نظیر پیوند با یکدیگر را داشته و هر کدام می‌تواند به اتمهای هیدروژن بیشتری اتصال یابند، مانند اتان (C_2H_6) که در زیر نشان داده شده است:



توجه کنید که این زنجیره متقارن است.

با تغییر دادن تعداد اتمهای کربن در مولکول، امکان ارائه «هیدروکربنهای با زنجیره مستقیم» وجود دارد. این خانواده به عنوان «آلکانها» یا «پارافینها» شناخته شده‌اند که دارای

فرمول کلی $C_n H_{2n+2}$ هستند که در آن ، n تعداد کلی اتمهای کربن موجود در مولکول است . این فرمول یک سری از مواد را شامل می شود که مشخصه های فیزیکی از قبیل نقطه جوش و چگالی آنها^۱ با افزایش مقدار n افزایش می یابد . جدول ۴-۱ ، که ۱۰ عضو اول این سری را نشان می دهد ، حاکی از این است که افزایش تعداد اتمهای کربن ، نقطه جوش ترکیبات را افزایش می دهد و در نتیجه سبب کاهش فعالیت شیمیایی آنها می شود . این خانواده از هیدروکربنها با نام «سری هیدروکربنهای مشابه»^۲ شناخته می شوند که تمام اعضاء آن دارای فرمولهایی در قالب فرمول عمومی سری می باشند . سریهای اصلی هیدروکربنهای مشابه در جدول ۴-۲ جمع آوری شده اند . بیشتر باقی مانده این بخش از مبانی شیمیایی ، مربوط به جزئیات بیشتری در باره اعضاء سریهای مشابه داده شده در جدول ۴-۲ می باشد . تفاوت اصلی در این سریها نوع پیوندهای آنها می باشد . یک پیوند یکتایی از یک جفت الکترون تشکیل شده است . مانند آنچه که در متان دیده می شود بین دو اتم مشترک می باشد . در پیوندهای دوتایی دو جفت الکترون مشترک و در پیوندهای سه تایی سه جفت الکترون مشترک وجود دارند . در ترکیبات آنکه ، پیوندها عموماً توسط پاره خطهای ، مانند آنچه که در مثالهای زیر آمده است ، مشخص می شوند :

جدول ۴-۱ - پارافینهای زنجیره مستقیم

[از پر ۱۹۷۰]

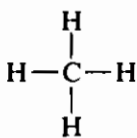
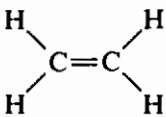
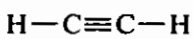
Number of carbon atoms	Name	Formula	Boiling point, °C	Specific gravity	Physical state at NTP*
1	Methane	CH ₄	-161.5	-----	Gas
2	Ethane	C ₂ H ₆	-88.3	-----	
3	Propane	C ₃ H ₈	-44.5	-----	
4	Butane	C ₄ H ₁₀	-5	-----	
5	Pentane	C ₅ H ₁₂	36.2	0.626	Liquid
6	Hexane	C ₆ H ₁₄	69	.660	
7	Heptane	C ₇ H ₁₆	98.4	.684	
8	Octane	C ₈ H ₁₈	125.8	.704	
9	Nonane	C ₉ H ₂₀	150.6	.718	
10	Decane	C ₁₀ H ₂₂	174	.730	

*Normal temperature and pressure.

1- Specific gravity

2- Homologous series

3- Pugh

۱- یکتاوی (متان یا CH_4) :۲- دوتاوی (ایتیلن یا C_2H_4) :۳- سه تاوی (استیلن یا C_2H_2) :

جدول ۴-۲ - سریهای هیدروکربنهای مشابه

[از هس^۱ (۱۹۸۱)]

Name	Formula	Sample of familiar member
Alkane or paraffin	$\text{C}_n\text{H}_{2n+2}$	Methane (CH_4)
Olefin or alkene	C_nH_{2n}	Ethylene (C_2H_4)
Acetylene or alkyne	$\text{C}_n\text{H}_{2n-2}$	Acetylene (C_2H_2)
Cycloparaffin or naphthene	C_nH_{2n}	Cyclopentane (C_5H_{10})
Aromatic	$\text{C}_n\text{H}_{2n-6}$	Benzene (C_6H_6)

جدول ۴-۳ - تریلیدات نفتی با محدوده نقطه جوش و تعداد اتمهای کرین در آنها

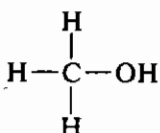
Petroleum product	Boiling point range, °C	Number of carbon atoms present
Natural gas	< 32	1-4
Gasoline	40-200	4-12
Naphtha (benzine)	50-200	7-12
Kerosene	175-275	12-15
Fuel oil	200-300	15-18
Lubricating oil	> 300	16-20
Wax	> 300	20-34
Asphalt	Residue	Large

اگرچه سری اولفین یا آکرین و سیکلوپارافین یا نفتین در جدول ۴-۲ دارای فرمول یکسان می باشند ، ولی رفتار آنها کاملاً متفاوت است . در سری آکرین ، پیوند دوتایی حاضر بین دو اتم کربن ، دو باره فعال شدن این هیدروکربنها را به مقدار زیادی افزایش می دهد . در سری سیکلو پارافین ، اتمهای کربن به یکدیگر متصل بوده و یک حلقه را تشکیل می دهند . چنین ساختاری نسبتاً غیرفعال است .

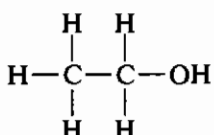
در تصفیه نفت ، تعداد زیادی از مخلوطهای مفید هیدروکربنها به دست می آیند . فرآیند اصلی در تصفیه ، تقطیر جزئی است که مواد مختلف را بر اساس محدوده نقاط جوش آنها جداسازی می کند . مواد به دست آمده از تقطیر اولیه نفت خام ، به نام «تولیدات تقطیر مستقیم»^۱ شناخته می شوند . جدول ۴-۳ تولیدات اصلی حاصل از تصفیه نفت را ، همراه با دیگر اطلاعات مربوط به آنها ، نشان می دهد .

۱-۴ الکلها

اگر در ساختار متان ، یک اتم هیدروژن با گروه هیدروکسیل یک ظرفیتی OH جایگزین شود ، متanol یا متیل الکل به دست می آید :

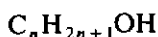


که فرمول شیمیایی آن CH_3OH است . این مایع قابل اشتعال ، همچنین با نام «الکل چوب» شناخته می شود زیرا یک تولید مهم حاصل از تقطیر چوب برای تهیه ذغال است . متanol یک حلال مهم بوده و به عنوان ضدیخ و به عنوان تقلب کننده برای الکل اتیل به کار می رود . متanol نقطه شروع تولید خیلی از مواد شیمیایی مصنوعی است . ساختار اتان نیز مثل آنچه برای رسیدن به اتانول یا اتیل الکل ($\text{C}_2\text{H}_5\text{OH}$) از متان انجام شد ، می تواند تعدیل شود :



اتانل به نام «الکل دانه»^۱ نیز شناخته می‌شود . این ماده از تخمیر ترکیبات کربوهیدرات موجود در ملاسها ، ذرت ، گندم سیاه ، جو و سیب زمینی تولید می‌شود . آنزیمهای در مایه تخمیر ترش ، باعث تخمیر می‌شوند . اتانل خاصیت جذب رطوبت از محیط را دارد است تازمانی که از ۹۵ درصد الکل و ۵ درصد آب باشد . این ماده به صورت خیلی وسیع در صنایع آماده سازی دارو ، و مواد دارویی و زیبایی به کار می‌رود . اتانل در انواع نوشابه‌ها وجود داشته و باعث مستی می‌شود .

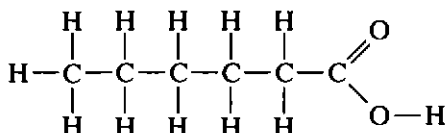
با تماسی ساختار متانول و اتانول ، می‌توان ترکیبات خانوادگی الکل را با فرمول کلی :



نوشت که هر کدام به پیروی از هیدروکربینی که از آن مشتق شده نامگذاری می‌شود ، و پسوند «ای» با «اویک» جایگزین می‌شود .

۳-۱-۳ اسیدهای چرب

اسیدهای چرب ممکن است که از لحاظ ظاهر ساختار مولکولی آنها که از پارافینها با جایگزینی یک پسوند گروه متیل (CH_3) با یک گروه کاربواکسیل (CO_2H) مشتق می‌شوند ، در نظر گرفته شوند . اسید مربوطه به پیروی از هیدروکربین ریشه نامیده شده و پسوند «ای» در این نام به «اویک» تغییر می‌یابد . برای مثال ، اسید هگزانیک شامل شش اتم کربن می‌باشد و ساختار آن عبارت است از :



این اسید می‌توانست به صورت $\text{CH}_3(\text{CH}_2)_4\text{CO}_2\text{H}$ بیان شود . جدول ۴-۴ اسیدهای چرب زنجیره مستقیم را که نتیجه تغییر تعداد اتمهای کربن حاضر در مولکول از ۱ تا ۲۰ است را نشان می‌دهد . توجه کنید که ساختارهای مولکولی اسیدهای چرب ، مثل حالت هیدروکربنهای دیگر به صورت قرینه نیستند ، زیرا در تمام موارد یک گروه متیل انتهایی توسط گروه کاربواکسیل

CO_2H جایگزین شده است.

همان طور که در جدول ۴-۲ نشان داده شد ، اگر یک هیدروکربن زنجیره مستقیم دارای فرمولی باشد که دو اتم هیدروژن کم دارد ، «اولفین» نامیده می شود . اولفینها یک سری خانوادگی از هیدروکربنهای اشباع نشده را تشکیل می دهند . آنها اشباع نشده نامیده می شوند ، زیرا که ظرفیت بعضی از اتمهای کربن در این مولکول کاملاً توسط اتمهای هیدروژن ارضاء نشده اند و در نتیجه این پیوند به طور ویژه این پیوند از لحاظ شیمیایی فعال است . کیفیت اصلی خانواده اولفینها پیوند دوتایی اتم کربن است که به سادگی شکسته شده و منبع اصلی ضعیف مولکولی آن است . این خانواده که فرمول آن C_nH_{2n} است ، با اتیلن شروع می شود .

همان طور که توسط پو^۱ (۱۹۷۰) خاطر نشان شد ، اولفینها از لحاظ روان کاری مستقیماً جالب توجه نیستند و اگرچه انفعالات آنها در صنعت ساخت روان کننده های مصنوعی مورد بررسی قرار می گیرد ، ولی اشباع نبودن اسیدهای چرب کاملاً جالب توجه می باشد ؛ زیرا تعدادی از اسیدهای چرب در روغنها حیوانی و گیاهی تا اندازه ای اشباع نشده هستند . اسیدهای اشباع نشده در درجه اول مورد توجه ، در مطالعه روغنها روان کاری کننده در جدول ۴-۵ آورده شده اند .

جدول ۴-۴ - فرمولهای هیدروکربنهای زنجیره مستقیم و اسیدهای چرب

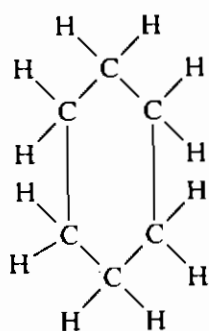
Number of carbon atoms in molecule	Hydrocarbon		Fatty acid		
	Formula	Name	Formula	Chemical name	Common name
1	H.CH_3 or CH_4	Methane	$\text{H.CO}_2\text{H}$	Methanoic	Formic
2	$\text{H.}(\text{CH}_2)\text{CH}_3$ or C_2H_6	Ethane	$\text{CH}_3\text{CO}_2\text{H}$	Ethanoic	Acetic
3	$\text{CH}_3\text{(CH}_2\text{)}\text{CH}_3$	Propane	$\text{CH}_3\text{CH}_2\text{CO}_2\text{H}$	Propanoic	Propionic
4	$\text{CH}_3\text{(CH}_2\text{)}_2\text{CH}_3$	Butane	$\text{CH}_3\text{(CH}_2\text{)}_2\text{CO}_2\text{H}$	Butanoic	Butyric
6	$\text{CH}_3\text{(CH}_2\text{)}_4\text{CH}_3$	Hexane	$\text{CH}_3\text{(CH}_2\text{)}_4\text{CO}_2\text{H}$	Hexanoic	Caproic
8	$\text{CH}_3\text{(CH}_2\text{)}_6\text{CH}_3$	Octane	$\text{CH}_3\text{(CH}_2\text{)}_6\text{CO}_2\text{H}$	Octanoic	Caprylic
10	$\text{CH}_3\text{(CH}_2\text{)}_8\text{CH}_3$	Decane	$\text{CH}_3\text{(CH}_2\text{)}_8\text{CO}_2\text{H}$	Decanoic	Capric
12	$\text{CH}_3\text{(CH}_2\text{)}_{10}\text{CH}_3$	Dodecane	$\text{CH}_3\text{(CH}_2\text{)}_{10}\text{CO}_2\text{H}$	Dodecanoic	Lauric
14	$\text{CH}_3\text{(CH}_2\text{)}_{12}\text{CH}_3$	Tetradecane	$\text{CH}_3\text{(CH}_2\text{)}_{12}\text{CO}_2\text{H}$	Tetradecanoic	Myristic
16	$\text{CH}_3\text{(CH}_2\text{)}_{14}\text{CH}_3$	Hexadecane	$\text{CH}_3\text{(CH}_2\text{)}_{14}\text{CO}_2\text{H}$	Hexadecanoic	Palmitic
18	$\text{CH}_3\text{(CH}_2\text{)}_{16}\text{CH}_3$	Octadecane	$\text{CH}_3\text{(CH}_2\text{)}_{16}\text{CO}_2\text{H}$	Octadecanoic	Stearic
20	$\text{CH}_3\text{(CH}_2\text{)}_{18}\text{CH}_3$	Eicosane	$\text{CH}_3\text{(CH}_2\text{)}_{18}\text{CO}_2\text{H}$	Eicosanoic	Arachidic

جدول ۴-۵- فرمولهای بعضی از اسیدهای چرب اشبع نشده

Number of carbon atoms in molecule	Common name	Chemical name	Formula
16		Palmitoleic	$\text{CH}_3(\text{CH}_2)_5\text{CH}:\text{CH}(\text{CH}_2)_7\text{CO}_2\text{H}$
18	Oleic	Octadec-9-enoic	$\text{CH}_3(\text{CH}_2)_{17}\text{CH}:\text{CH}(\text{CH}_2)_{17}\text{CO}_2\text{H}$
	Ricinoleic	12-Hydroxyoctadec-9-enoic	$\text{CH}_3(\text{CH}_2)_{15}\text{CH}(\text{OH})\text{CH}_2\text{CH}:\text{CH}(\text{CH}_2)_{17}\text{CO}_2\text{H}$
	Linoleic	Octadeca-9:12-dienoic	$\text{CH}_3(\text{CH}_2)_{14}(\text{CH}:\text{CH}(\text{CH}_2)_{12}(\text{CH}_2)_6\text{CO}_2\text{H}$
	Linolenic	Octadeca-9:12:15-trienoic	$\text{CH}_3\text{CH}_2(\text{CH}:\text{CH}(\text{CH}_2)_{13}(\text{CH}_2)_6\text{CO}_2\text{H}$
20	Arachidonic	Eicos-5:8:11:14-tetraenoic	$\text{CH}_3(\text{CH}_2)_{14}(\text{CH}:\text{CH}(\text{CH}_2)_{14}(\text{CH}_2)_{12}\text{CO}_2\text{H}$

۴-۱-۴ هیدروکربنها دوره‌ای

هیدروکربنها دوره‌ای ، دو گروه متمایز سیکلو پارافینها ، یا «نفتین‌ها» و آروماتیکها را تشکیل می‌دهند . مثالی از نفتین ، سیکلوهگزان است که ساختاری به شکل زیر دارد :

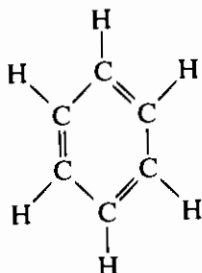


این ماده یک ترکیب اشبع شده بوده و مولکول آن شامل ۶ اتم کربن و ۱۲ اتم هیدروژن است . فرمول خنانواده نفتین C_6H_{12} است . می‌دانید که اولفینها فرمول یکسانی دارند ، ولی ساختار آنها کاملاً با خنانواده نفتینها متفاوت هستند . یک تفاوت این است که اولفینها اتم‌های کربن با پیوند دوتایی دارند ، در صورتی که نفتینها ، اتم‌های کربن با پیوند تکی دارند .

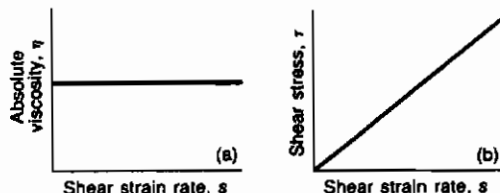
سیکلو پارافینها به پیروی از پارافینها ، زنجیره مستقیم که شامل تعداد اتم‌های کربن یکسان هستند نامگذاری می‌شوند ولی چون حداقل ، احتیاج به سه اتم کربن برای تشکیل یک حلقه است ، لذا این سری با سیکلو پروپان شروع می‌شود . خواص فیزیکی سیکلو پارافینها با

پارافینهای زنجیره مستقیم مربوطه متفاوت می‌باشند ، ولی از لحاظ شیمیایی کاملاً شبیه بهم هستند .

آخرین عضو سری مشابه (جدول ۴-۲) آروماتیکها هستند . آنها گروه ترکیبات مجزا ، متمایز و بخصوصی را تشکیل می‌دهند و وقت زیادی صرف مطالعه ساختار عمومی آنها شده است . آروماتیکها دارای ساختار اصلی حلقوی شامل سه پیوند در هر مولکول می‌باشند . یکی از اعضاء این خانواده بنزین است که ساختار آن در ذیل ارائه می‌شود :



دیگر آرماتیکها را می‌توان از این ساختار اصلی با جایگزینی یک اتم هیدروژن و یا بیشتر با یک CH_3 یا گروه اتمهای پیچیده‌تر ، به دست آورد . این سیستم حلقوی به صورت استثنایی پایدار می‌باشد . از آنچه گذشت ، مشاهده می‌شود که بین روند روان کاری کننده ساخته شده از یک بنای نفتی و ساخته شده از بنای آرماتیک ، تفاوت اساسی وجود دارد .



شکل ۴-۱ - خواص یک سیال نیوتی ، الف . اثر لزجت روی نرخ کرنش برشی ، ب . اثر

تنش برشی روی نرخ کرنش برشی .

۴-۲ سیالات نیوتونی

اصطکاک بین سطوحی که کاملاً از یکدیگر جدا هستند (بدون تماس زبری)، تنها به خاطر اصطکاک داخلی سیال است که لزجت نامیده می شود . نیوتن در سال ۱۶۸۷ دریافت که ، لزجت مطلق یک مایع را می توان به شکل زیر بیان نمود :

$$\eta = \frac{\tau}{s} \quad (4-1)$$

$\tau = N/m^2$ ، $s = s^{-1}$ ، du/dz نش برشی ، که در آن :

$$du/dz$$
 نرخ کرنش برشی ،

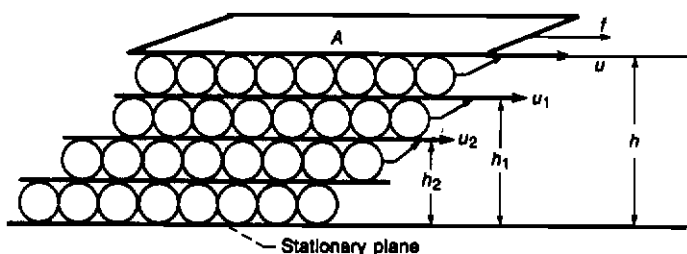
$$\eta = N.s / m^2$$
 لزجت مطلق ،

هستند . لزجت یک سیال ممکن است مرتبط با مقاومت آن در مقابل جریان باشد . این مقاومت از نیروهای بین مولکولی و اصطکاک داخلی ضمن حرکت این مولکولها در مقابل یکدیگر به وجود می آید . سیالات غلیظ ، مثل ملاسها لزجت نسبتاً بالا داشته و به آسانی جاری نمی شوند . سیالات رقیق تر مثل آب ، لزجت کمتر داشته و به آسانی جاری می شوند . مشخصه های جریان مایعات نیوتونی بر حسب تابعی از نرخ کرنش برشی در شکل ۱-۴ نشان داده می شوند .

۴-۳ فرضیه نیوتون

اجازه دهد دوباره به معادله (۱-۴) و آن گونه که نیوتن نگریست ، ضمن استفاده از ترسیم شکل ۴-۲ بنگریم . مولکولهای روغن به صورت توپهای کوچک تصور شدند که به صورت لایه ای بین صفحات تخت می چرخند . چون روغن دو سطح را «تر» کرده و به آن خواهد چسبید ، پایین ترین لایه هیچ حرکتی نخواهد داشت و بالاترین لایه با سرعتی برابر با سرعت صفحه بالایی حرکت کرده و لایه مابین آنها با سرعتی که مستقیماً متناسب با فاصله بین این دو صفحه است ، حرکت می کند . این نوع حرکت مرتب در لایه های موازی ، به نام «خط جریان آرام» یا «لزج» شناخته می شود . نیوتن ادامه داده و تعریف نمود که :

$$s = \text{shear strain rate} = \frac{u}{h} = \frac{u_1}{h_1} = \frac{u_2}{h_2} = \dots$$



شکل ۴-۴- غایش فیزیکی فرضیه نیوتن که در آن f نیروی اصطکاکی بر حسب N و مساحت بر حسب A مطابق با سرعت بر حسب s و h ضخامت فیلم بر حسب m است

او به درستی نتیجه گرفت که نیروی لازم برای نگه داری سرعت ثابت u لایه بالایی، متناسب با مساحت A و گرادیان سرعت یا نرخ کرنش برشی بود ($s = u/h$) .

$$f = \eta A \frac{u}{h}$$

در این ارتباط η ثابت تناسب، ضریب لزجت یا لزجت مطلق است. لزجت، لزجت مطلق و لزجت دینامیکی، همان طور که در بالا تعریف شد، همگی معنی یکسان دارند. با مرتب کردن معادله (۴-۲)، لزجت مطلق را می‌توان به صورت زیرنوشت:

$$\eta = \frac{f/A}{u/h} = \frac{\text{shear stress}}{\text{shear strain rate}}$$

۴-۳ واحدهای لزجت مطلق

از معادله (۴-۳) نتیجه می‌شود که واحدهای لزجت باید واحدهای تنش برشی تقسیم بر واحدهای نرخ برش باشند. واحدهای لزجت η برای سه سیستم واحد متفاوت، عبارتند از:

۱- سیستم SI : $N \cdot s / m^2$ یا ، چون نیوتن بر مترمربع پاسکال نامیده می‌شود ، $Pa \cdot s$.

۲- سیستم cgs (دین- ثانیه بر سانتی مترمربع) یا پویز که در آن

$1 \text{ cP} = 10^{-2} \text{ Pa} \cdot \text{s}$ است.

۳- سیستم انگلیسی : lbf · s / in² (پوند-نیرو-ثانیه بر اینچ مربع) به نام رین به افتخار آزبورن رینولدز .

برای تبدیل لزجت مطلق از یک سیستم به سیستم دیگر می توان از جدول ۴-۶ استفاده کرد . برای تبدیل یک واحد در ستون سمت چپ جدول ، به واحدی در بالای جدول ، آنرا در مقدار داده شده در جدول ضرب کنید .

مسئله نمونه ۱

$$\eta = 0.04 \text{ N} \cdot \text{s/m}^2 = (0.04)1.45 \times 10^{-4} \text{ lbf} \cdot \text{s/in}^2 = 5.8 \times 10^{-6} \text{ lbf} \cdot \text{s/in}^2$$

همچنین توجه داشته باشید که :

$$\eta = 0.04 \text{ N} \cdot \text{s/m}^2 = 0.04 \text{ Pa} \cdot \text{s} = 5.8 \times 10^{-6} \text{ reyn}$$

$$\eta = 0.04 \text{ N} \cdot \text{s/m}^2 = (0.04)(10^3)\text{cP} = 40 \text{ cP} = 0.4 \text{ P}$$

و

جدول ۴-۶ - فاکتورهای تبدیل لزجت

To convert from-	To-			
	cP	kgf s/m ²	N s/m ²	lbf s/in. ²
	Multiply by-			
cP	1	1.02×10^{-4}	10^{-3}	1.45×10^{-7}
kgf s/m ²	9.807×10^3	1	9.807	1.422×10^{-3}
N s/m ²	10^3	1.02×10^{-1}	1	1.45×10^{-4}
lbf s/in. ²	6.9×10^2	7.03×10^2	6.9×10^3	1

۴-۵ لزجت سینماتیک

در خیلی از مواقع استفاده از لزجت سینماتیکی به جای لزجت مطلق راحت تر است .
لزجت سینماتیک η به صورت زیر تعریف می شود :

$$\eta_k = \frac{\text{absolute viscosity}}{\text{force density}} = \frac{\eta}{\rho} = \frac{N \cdot s/m^2}{N \cdot s^2/m^4} = m^2/s \quad (4-4)$$

دانسیته سیال ρ ، جرم حجم واحد این سیال است . در سیستم واحد SI دانسیته جرم ، کیلوگرم جرم بر مترمکعب [$m^3/\text{جرم}$] است . یک کیلوگرم جرم ، برابر با کیلوگرم نیرو تقسیم بر شتاب نقل است . کیلوگرم نیرو را می توان به نیوتون مربوط کرد که دانسیته نیرو ρ در سیستم واحد SI ، بر حسب نیوتن ثانیه مربع بر متر به توان چهار ($N \cdot s^2/m^4$) باشد . یعنی :

$$\frac{(\text{kg})_{\text{mass}}}{m^3} = \frac{N \cdot s^2}{m^4}$$

$$\therefore \rho^* = \rho \quad (4-5)$$

ρ^* (kg / m^3) دانسیته جرم
 ρ (N . s^2 / m^4) دانسیته نیرو .
 که در آن :

نسبت داده شده در معادله (4-۴) ، صرفاً سینماتیک است ، زیرا واحدهای نیرو یا جرم حذف می شوند . واحدهای لزجت سینماتیکی عبارتند از :

- ۱- واحدهای SI : مترمربع بر ثانیه (s/m^2) .
- ۲- واحدهای cgs : سانتی مترمربع بر ثانیه (cm^2/s) به نام استوک (st) .
- ۳- واحدهای انگلیسی : اینچ مربع بر ثانیه (in^2/s) .

جدول ۴-۷ تفاوت بین لزجت مطلق و سینماتیک با افزایش دما برای دو نوع از روغن روان کاری کننده را نشان می دهد . به دلیل کاهش در جرم مخصوص ، تفاوت بین لزجت مطلق و سینماتیکی با افزایش دما افزایش دما می یابد . لزجت مطلق برای محاسبه روان کاری الاستوھیدرودینامیکی در ارتباط با یاتاقانهای عضو چرخنده و چرخ دنده ها لازم است .
 به هر حال لزجت سینماتیک را می توان به صورت آزمایشگاهی ، آسانتر و با دقت بیشتری تعیین کرد و بنابراین استفاده از آن در مشخص کردن روان کننده ها ترجیح دارد .

جدول ۴-۷ - واگرایی بین لزجت سینماتیک و مطلق با افزایش دما

Temper- ature <i>t_m</i> , C	Paraffinic base oil			Naphthenic base oil		
	Kinematic viscosity, η_k , mm ² /s	Absolute viscosity, η , mPa s	Viscosity difference, Δ , percent	Kinematic viscosity, η_k , mm ² /s	Absolute viscosity, η , mPa s	Viscosity difference, Δ , percent
0	287	253	13.4	1330	1245	6.8
20	78.4	68	15.3	218	201.0	8.5
40	30.2	25.8	17.1	60.5	55.0	10.0
60	14.7	12.33	19.2	23.6	21.2	11.3
80	8.33	6.91	20.5	11.6	16.2	13.7
100	5.3	4.32	22.7	6.66	5.80	14.8
120	3.65	2.93	24.6	4.27	3.66	16.7
150	2.33	1.83	27.3	2.53	2.12	19.3

۴-۶ سیستم درجه لزجت

سیستم بین المللی برای استاندارد کردن (ISO) بر مبنای لزجت سینماتیک روغن بر حسب سانتی استوکس در ۴۰° است . هر درجه لزجت به صورت عددی برابر با لزجت سینماتیک در نقطه میانی این محدوده است . برای رسیدن به درجه لزجت داده شده ، این روغن باید بین ۱۰ درصد نقطه میانی لزجت سینماتیک باشد .

شکل ۴-۳ درجات لزجت متفاوتی را نشان می دهد . قصداًین شکل ، نشان دادن چگونگی مشخصات مختلف و مقایسه درجات مایین آنها است . پایین ترین درجات ، به دلیل محدودیت مکانی در اینجا ارائه نمی شوند . واحد جهانی «سیبولت»^۱ لزجت در این شکل ، اندازه گیر تجاری لزجت سینماتیک بیان شده به عنوان ، زمان لازم بر حسب ثانیه برای 60 cm² از یک سیال برای جاری شدن از داخل گذرگاه لزجت سنج استاندارد جهانی سیبولت در دمای ۳۸° است .

هرشل^۲ در سال ۱۹۱۸ دریافت که لزجت سینماتیک بر حسب سانتی استوکس را می توان بر حسب یک سیبولت ثانیه توسط فرمول کلی :

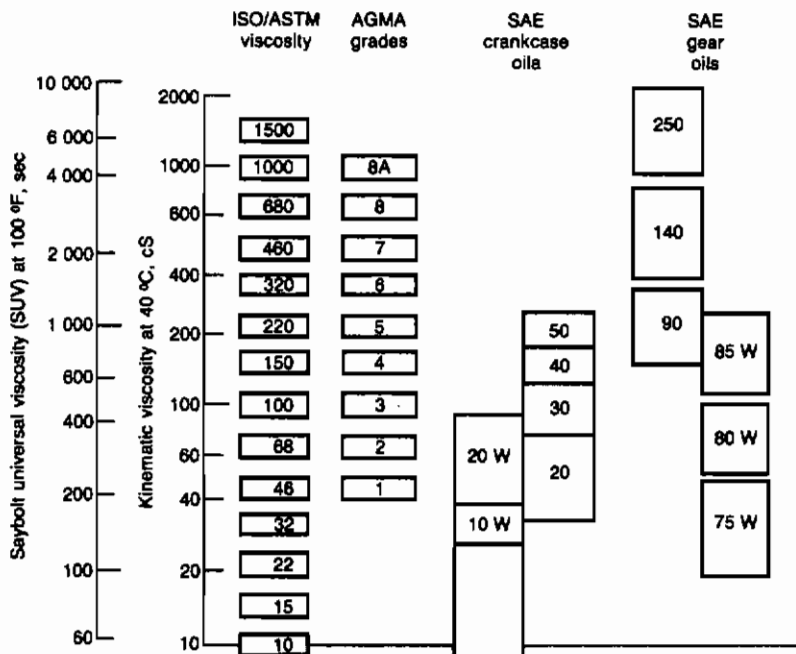
$$\eta_k = \frac{\mathcal{B}}{At} - \frac{\mathcal{B}}{t}$$

بیان کرد ، که در آن η_k و t ثابت هایی هستند با واحد هایی به ترتیب سانتی متر مربع بر ثانیه مربع و سانتی متر مربع که به روش تجربی تعیین می شوند . در این عبارت τ بر حسب سیبولت ثانیه است . مقادیر η_k و t توسط آزمایش به دست آمدند و معادله قابلی شد :

$$\eta_k = 0.22t - \frac{180}{t} \quad (4-6)$$

این معادله در تبدیل لزجت سینماتیکی از سیبولت ثانیه به سانتی استوکس ، کمک می کند . اگر ما لزجت سینماتیک را بدانیم و بخواهیم آن را بر حسب سیبولت ثانیه تعیین کنیم ، عبارت مناسب از معادله زیر می توانند تعیین شود :

$$t = 2.27 \left[\eta_k + (\eta_k^2 + 158.4)^{1/2} \right] \quad (4-7)$$



شکل ۴-۳ - مقایسه های درجه لزجت [از لیت (۱۹۸۶)]

معادلات (۴-۶) و (۴-۷) فقط وقتی اعتبار دارند که لزجت سینماتیک η بر حسب سانتی استوکس و زمان t بر حسب سیبولت ثانیه بیان شود.

لزجت، مهمترین خاصیت روان‌کننده‌های به کار گرفته شده در روان‌کاری هیدرودینامیکی و الاستوهدیرودینامیکی است. ولی روان‌کننده داده شده به سادگی یک مقدار لزجت یکنواخت ندارد. این امر به دلیل نامعین بودن فشار و دمای فیلم روان‌کننده است. در واقع، خیلی از اجزاء ماشین روغن کاری شونده به صورت الاستوهدیرودینامیکی در محدوده وسیعی از فشار و یا دما کار می‌کنند که تغییرات حاصله در لزجت روان‌کننده ممکن است آنقدر زیاد شود که غالب بر مشخصه‌های کار این جزء ماشین شود. بنابراین دانش کافی در مورد لزجت-فشار و روابط لزجت-فشار-دما برای روان‌کننده‌ها، غیرقابل اجتناب است. سه بخش بعدی در مورد این چنین روابطی است.

۴-۷ اثرات لزجت- فشار

در سال ۱۸۹۳، باروس¹ فرمول زیر را برای وابستگی حالت دما ثابت لزجت- فشار برای مالیات پیشنهاد کرد:

$$\ln \frac{\eta}{\eta_0} = \xi p \quad (4-8)$$

$\ln = \log_2$ طبیعی، که در آن:

لزجت مطلق در $0 = p$ و در دمای ثابت، $\eta_0 = N \cdot s / m^2$

ضریب فشار- لزجت روان‌کننده وابسته به دما، m^2 / N

$p = N / m^2$ فشار،

جدول ۴-۸ لزجتهاهای سینماتیک بر حسب مترمربع بر ثانیه و لزجتهاهای مطلق بر حسب سانتی پویز تعداد ۱۱ روان‌کننده در فشار صفر و سه دما را نشان می‌دهد. این مقادیر لزجت مطلق، مربوط به η_0 در معادله (۴-۸) برای سیال بخصوص و دمای مورد استفاده است سازنده و بر حسب مشخصه این ۱۱ روان‌کننده، در جدول ۴-۹ نشان داده می‌شود و ضریبها فشار- لزجت² مترمربع بر نیوتن در جدول ۴-۱۰ آمده است. این مقادیر مرتبط با

استفاده شده در معادله (۴-۸) است.

گرچه معادله (۴-۸) به وفور استفاده می شود ، ولی به طور عموم قابلیت کاربرد نداشته و به عنوان یک تقریب منطقی ، فقط در فشارهای متوسط اعتبار دارد . به دلیل این نقص معادله (۴-۸) ، چندین فرمول برای حالت دما ثابت لزجت - فشار پیشنهاد شده که معمولاً داده های آزمایشگاهی را بهتر از فرمول داده شده توسط باروس (۱۹۸۳) کامل می کند . یکی از رهیافتها ، که در این کتاب استفاده می شود ، توسط رینولدز^۱ (۱۹۶۶) گسترش یافت . وی مطالعه بسیار وسیعی در مورد اثرات فشار بر روی لزجت روان کننده ها داشت . برای شرایط دما ثابت فرمول رینولدز (۱۹۶۶) را می توان به صورت زیر نوشت :

$$\log \eta + 1.200 = (\log \eta_0 + 1.200) \left(1 + \frac{p}{2000} \right)^{Z_1} \quad (4-9)$$

جدول ۴-۸ - لزجتها مطلق و سینماتیک سیالات در فشار آفسفر و سه دما

[از جوتز و دیگران (۱۹۷۰)]

Fluid	Temperature, t_m , °C					
	38	99	149	38	99	149
	Absolute viscosity at $p = 0$, η_0 , cP			Kinematic viscosity at $p = 0$, η_k , m ² /s		
Advanced ester	25.3	4.75	2.06	2.58×10^{-5}	0.51×10^{-5}	0.23×10^{-5}
Formulated advanced ester	27.6	4.96	2.15	2.82	.53	.24
Polyalkyl aromatic	25.5	4.08	1.80	3.0	.50	.23
Synthetic paraffinic oil (lot 3)	414	34.3	10.9	49.3	4.26	1.4
Synthetic paraffinic oil (lot 4)	375	34.7	10.1	44.7	4.04	1.3
Synthetic paraffinic oil (lot 2) plus antiwear additive	370	32.0	9.93	44.2	4.0	1.29
Synthetic paraffinic oil (lot 4) plus antiwear additive	375	34.7	10.1	44.7	4.04	1.3
C-ether	29.5	4.67	2.20	2.5	.41	.20
Superrefined naphthenic mineral oil	68.1	6.86	2.74	7.8	.82	.33
Synthetic hydrocarbon (traction fluid)	34.3	3.53	1.62	3.72	.40	.19
Fluorinated polyether	181	20.2	6.68	9.66	1.15	.4

1- Reynolds

جدول ۴-۹ - سیالات با اسم سازنده و مشخصات آن

[از جونز و دیگران (۱۹۷۵)]

Fluid	Manufacturer	Designation
Advanced ester	Shell Oil Co.	Aeroshell turbine oil 555 (base oil)
Formulated advanced ester	Shell Oil Co.	Aeroshell turbine oil 555 (WRGL-358)
Polyalkyl aromatic	Continental Oil Co.	DN-600
Synthetic paraffinic oil (lot 3)	Mobil Oil Co.	XRM 109-F3
Synthetic paraffinic oil (lot 4)		XRM 109-F4
Synthetic paraffinic oil (lot 2) plus antiwear additive		XRM 177-F2
Synthetic paraffinic oil (lot 4) plus antiwear additive		XRM 177-F4
C-ether	Monsanto Co.	MCS-418
Superrefined naphthenic mineral oil	Humble Oil and Refining Co.	FN 2961
Synthetic hydrocarbon (traction fluid)	Monsanto Co.	MCS-460
Fluorinated polyether	DuPont Co.	PR 143 AB (lot 10)

که در آن : لگاریتم یا بریگسیان^۱ ، یا متدائل ، $\log = \log_{10}$ $\eta = cP$ ، لزجت مطلق $p = cP$ و دما ثابت ، لزجت مطلق در $0^\circ C$ $p = (kg/cm^2) / \text{نیو}$ فشار جزئی ،اندیس لزجت - فشار ، یک ثابت بدون بعد = Z_1

با گرفتن لگاریتم معکوس از دو طرف معادله (۴-۹) و مرتب کردن جملات داریم :

با مرتب کردن این معادله داریم :

$$\bar{\eta} = \frac{\eta}{\eta_0} = \left(\frac{\eta_\infty}{\eta_0} \right)^{1-(1+p/c_p)^Z} \quad (4-10)$$

که در آن :

$$\eta_\infty = 6.31 \times 10^{-5} \text{ N} \cdot \text{s/m}^2 (9.15 \times 10^{-9} \text{ lbf} \cdot \text{s/in}^2)$$

$$c_p = 1.96 \times 10^8 \text{ N/m}^2 (28,440 \text{ lbf/in}^2)$$

جدول ۴-۱۰ - ضرایب فشار - لزجت برای سیالات در سه دما

[از جونز و دیگران (۱۹۷۰)]

Fluid	Temperature, t_m , °C		
	38	99	149
	Pressure-viscosity coefficient, ξ , m ² /N		
Advanced ester	1.28×10^{-8}	0.987×10^{-8}	0.851×10^{-8}
Formulated advanced ester	1.37	1.00	.874
Polyalkyl aromatic	1.58	1.25	1.01
Synthetic paraffinic oil (lot 3)	1.77	1.51	1.09
Synthetic paraffinic oil (lot 4)	1.99	1.51	1.29
Synthetic paraffinic oil (lot 2) plus antiwear additive	1.81	1.37	1.13
Synthetic paraffinic oil (lot 4) plus antiwear additive	1.96	1.55	1.25
C-ether	1.80	.980	.795
Superrefined naphthenic mineral oil	2.51	1.54	1.27
Synthetic hydrocarbon (traction fluid)	3.12	1.71	.939
Fluorinated polyether	4.17	3.24	3.02

در معادله (۴-۱۰) باید توجه داشت که در تعریف ثابت‌های η_0 و $p_{iv,as}$ ابعاد یکسانی مانند η_0 و p مورد استفاده قرار گیرد.

شکل ۴-۴ معادله باروس^۱ [معادله (۴-۸)] را با معادله رولندز [معادله (۴-۱۰)] برای سیال مختلف ارائه شده در جدولهای ۴-۸ تا ۴-۱۰ مقایسه می‌کند. دما در 38°C ثابت است. این شکل دلالت بر این دارد که برای فشارهای متداول در اتصالات روان کاری شونده به صورت الاستوھیدرودینامیکی (تقریباً ۱ GPa)، تفاوت بین دو فرمول قابل توجه است. شکل ۴-۴ نشان می‌دهد که لزجت از فرمول باروس برای روغن‌های ۱ و ۲ سریعتر از فرمول رولندز و برای روغن ۳ فرمول رولندز از فرمول باروس سریعتر افزایش می‌یابد. تفاوت بین این فرمولها با روان‌کننده تغییر می‌کند. این تفاوت برای سیالات برشی، کمتر است. وقتی فشار به سمت صفر می‌رود، از این دو فرمول لزجت یکسانی به دست می‌آید.

جدول ۴-۱۱ مقادیر اندیس Z برای لزجت-فشار توسط جونز و دیگران (۱۹۷۵) و برای روان‌کننده‌های موجود در جداول ۴-۸ تا ۴-۱۰ را نشان می‌دهد. رولندز (۱۹۶۶) دریافت که برای بیشتر سیالات، معمولاً Z برای محدوده وسیعی از دما، ثابت است. جدول ۴-۱۱ این موضوع را تأیید می‌کند و تنها مورد استثناء، هیدرولرکرین مصنوعی (سیال برشی) و اتر C_6 است.

بلوک^۲ (۱۹۶۵) به این نتیجه مهم رسید که تمام نتایج روان کاری الاستوھیدرودینامیکی که از فرمول باروس [معادله (۴-۸)] به دست آمده است را می‌توان با تقریب خوب و به سادگی با جایگزینی معکوس فشار-لزجت ثابت مجانب $p_{iv,as} / p_{iv,as}$ برای ضریب فشار-لزجت η مربوطه، عمومیت داد. نتیجه آن می‌شود:

$$\xi \approx \frac{1}{p_{iv,as}}$$

که در آن:

$$p_{iv,as} = \eta_0 \int_0^\infty \frac{dp}{\eta} \quad (4-11)$$

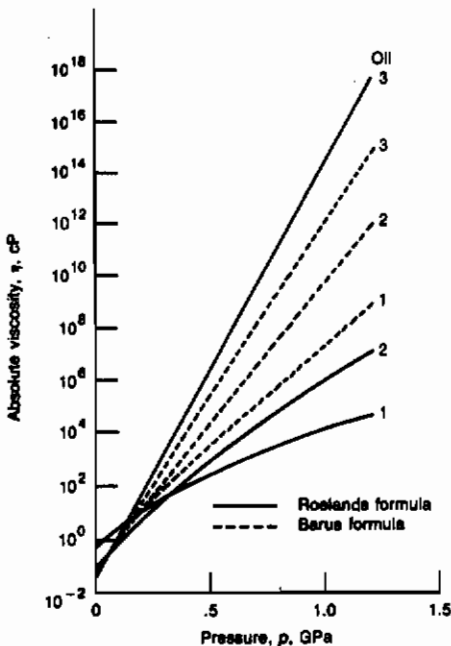
1- Barus

2- Ether

3- Blok

با جایگذاری معادله (۴-۸) در (۴-۱۱) به سرعت ثابت می شود که $\xi = 1/p_{iv,as}$ است . آنچه گذشت برابری ضریب فشار- لزجت ξ در فرمول باروس [معادله (۴-۸)] و ایندکس لزجت- فشار Z در فرمول رولندز [معادله (۴-۱۰)] را نشان می دهد . با استفاده از این حقیقت که این دو فرمول متفاوت ضمن میل فشار به سمت صفر ، به سمت یکدیگر میل می کنند ، داریم :

$$\frac{\partial}{\partial p} (\ln \eta|_{Roelands})_{p \rightarrow 0} \equiv \frac{\partial}{\partial p} (\ln \eta|_{Barus})_{p \rightarrow 0} = \xi$$



شکل ۴-۴- مقایسه لزجت مطلق به دست آمده از فرمولهای باروس و رولندز برای محدوده وسیعی از فشار . نتایج برای سه روان کننده مختلف در 38°C نشان داده می شوند : ۱- روغن پارافین مصنوعی، ۲- روغن معدنی نفتین کاملاً تصفیه شده ، ۳- هیدروکربن مصنوعی (سیال برخش)

جدول ۴-۱۱ - ایندکس لزجت . فشار برای سیالات در سه درجه حرارت

Fluid	Temperature, t_m , °C					
	38	99	149	38	99	149
Dimensionless viscosity-pressure index, Z_1 .						
	From Jones et al. (1975)			From equation (4-12)		
Advanced ester	0.48	0.48	0.48	0.42	0.45	0.48
Formulated advanced ester	.49	.47	.49	.44	.45	.49
Polyalkyl aromatic	.55	.54	.55	.52	.59	.59
Synthetic paraffinic oil (lot 3)	.43	.44	.39	.40	.47	.42
Synthetic paraffinic oil (lot 4)	.44	.46	.47	.45	.47	.50
Synthetic paraffinic oil (lot 2) plus antiwear additive	.43	.44	.43	.41	.43	.44
Synthetic paraffinic oil (lot 4) plus antiwear additive	.44	.46	.46	.44	.48	.48
C-ether	.72	.50	.50	.57	.45	.44
Superrefined naphthenic mineral oil	.67	.67	.64	.71	.64	.66
Synthetic hydrocarbon (traction fluid)	1.06	.85	.69	.97	.83	.57
Fluorinated polyether	.77	.79	.80	1.03	1.10	1.27

با استفاده از معادله (۴-۱۰) داریم :

$$Z_1 = \frac{\xi}{(1/c_p)(\ln \eta_0 - \ln \eta_\infty)} \quad (4-12)$$

$$\frac{1}{c_p} = \frac{1}{1.96 \times 10^8} \text{ m}^2/\text{N} = 5.1 \times 10^{-9} \text{ m}^2/\text{N} \quad \text{ولی :}$$

$$\ln \eta_\infty = \ln(6.31 \times 10^{-5} \text{ N} \cdot \text{s/m}^2) = -9.67$$

$$\therefore Z_1 = \frac{\xi}{5.1 \times 10^{-9}(\ln \eta_0 + 9.67)}$$

این معادله به نوع سیستم آحاد خیلی حساس بوده و فقط برای واحدهای SI قابلیت کاربردی دارد . معادله کلی (۴-۱۲) ، باعث می شود تا که بتوان به سرعت ایندکس لزجت - فشار را مستقیماً با دانستن ضربی فشار - لزجت ، یا بر عکس ، تعیین کرد .

جدول ۴-۱۱ همچنین ایندکسها لزجت - فشار حاصله از جونز و دیگران (۱۹۷۵) و از معادله (۴-۱۲) برای سیالات در جداول ۴-۸ تا ۴-۱۰ را با هم مقایسه می کند . بجز برای پولی اثر فلورنیست که استثناء می باشد ، توافق بین دو روش کسب Z کاملاً خوب است . بنابراین معادله (۴-۱۲) می تواند برای مریبوط ساختن لزجت کسب شده از فرمولهای روئندز و باروس ، مؤثر باشد .

۴-۸ اثرات لزجت - دما

lezjet روغنهای معدنی و مصنوعی با افزایش دما ، کاهش می یابد . بنابراین دمایی که در آن لزجت اندازه گیری شود باید همراه آن قید شود . شکلهای ۴-۵ و ۴-۶ چگونگی تغییرات لزجت با دما را نشان می دهند . لزجت مطلق تعداد مختلفی از سیالات برای محدوده وسیعی از دما در شکل ۴-۵ ارائه می شود . نکته جالب توجه در این شکل ، چگونگی تغییر شدید شیب و سطح لزجت برای سیالات مختلف است . لزجت به اندازه پنج مرتبه بزرگی تغییر می کند . شیب این تغییرات برای روغنهای SAE ، بسیار منفی و برای گازها مثبت است . شکل ۴-۶ ، اثرات لزجت - دما برای روغنهای SAE می دهد .

عبارت استفاده شده توسط روئندز (۱۹۶۶) برای تشریح اثر دما بر روی لزجت ، به صورت :

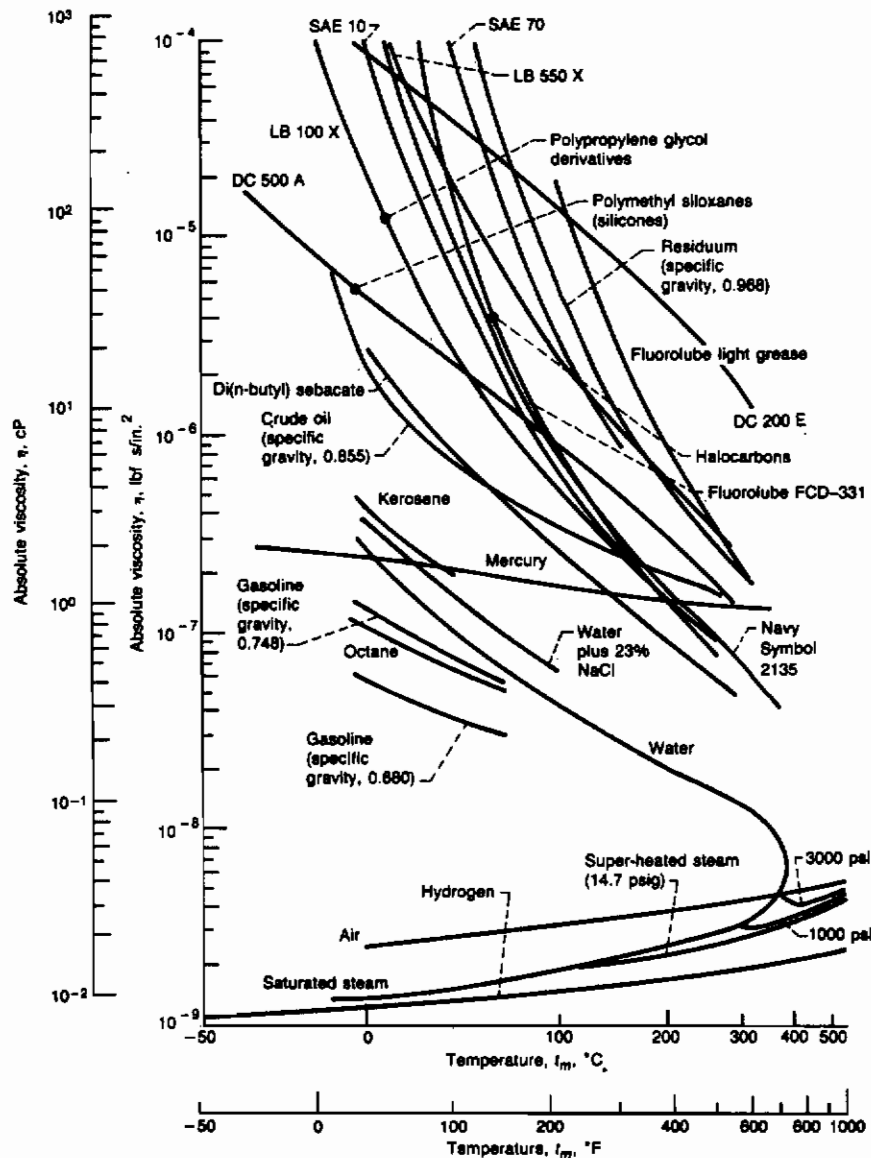
$$\log(\log \eta + 1.200) = -S_0 \log\left(1 + \frac{t_m}{135}\right) + \log G_0 \quad (4-13)$$

است که در آن : $\eta = c P$ لزجت مطلق ،

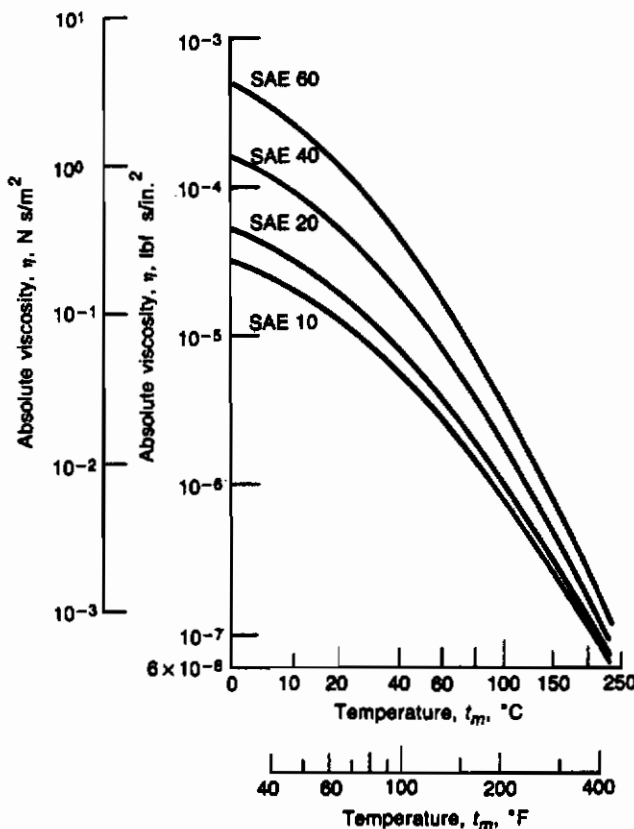
$t_m = {}^{\circ}C$ دما ،

ثابت بدون بعد دلالت کننده بر درجه لزجت مایع $= G_0$

ثابت بدون بعد که دلالت کننده بر شیب رابطه بین لزجت و دما است $= S_0$



شکل ۰-۴- از جهای مطلق تعدادی سیال برای محدوده بزرگی از دما



شکل ۴-۶ - لزجت‌های مطلق SAE روغن‌های روان‌کننده در فشار آبسر

با گرفتن لگاریتم از معادله (۴-۱۳) داریم :

$$\log \eta + 1.2 = G_0 \times 10^{-S_0 \log(1+t_m/135)} \quad (4-14)$$

معادله (۴-۱۴) را می‌توان بر حسب جملات بدون بعد به صورت :

$$\bar{\eta} = \frac{\eta}{\eta_0} = \left(\frac{\eta_\infty}{\eta_0} \right) 10^{G_0(1+t_m/135)-S_0} \quad (4-15)$$

نوشت ، که در آن داریم :

$$\eta_\infty = 6.31 \times 10^{-5} \text{ N} \cdot \text{s}/\text{m}^2 (9.15 \times 10^{-9} \text{ lbf} \cdot \text{s}/\text{in}^2)$$

جدول ۱۲-۴ - خواص حرارتی متداول چند مایع

[از وینر و چنگ^۱ (۱۹۸۰)]

Temperature, t_m , °C	Mass density, ρ , kg/m ³	Specific heat, C_p , kJ/kg °C	Kinematic viscosity, $\eta_k = \eta / \rho$, m ² /s	Thermal conductivity, K_f , W/m °C	Thermal diffusivity, $\alpha_f = K_f / \rho * C_p$, m ² /s
Glycerin ($C_3H_5(OH)_3$)					
0	1 276	2.261	0.00831	0.282	0.983×10^{-7}
10	1 270	2.319	.00300	.284	.965
20	1 264	2.386	.00118	.286	.947
30	1 258	2.445	.00050	.286	.929
40	1 252	2.512	.00022	.286	.914
50	1 244	2.583	.00015	.287	.893
Ethylene glycol ($C_2H_4(OH)_2$)					
0	1 130	2.294	57.53×10^{-6}	0.242	0.934×10^{-7}
20	1 116	2.382	19.18	.249	.939
40	1 101	2.474	8.69	.256	.939
60	1 087	2.562	4.75	.260	.932
80	1 077	2.650	2.98	.261	.921
100	1 058	2.742	2.03	.263	.908
Engine oil (unused) ^a					
0	899	1.796	0.00428	0.147	0.911×10^{-7}
20	888	1.880	.00090	.145	.872
40	876	1.964	.00024	.144	.834
60	864	2.047	$.839 \times 10^{-4}$.140	.800
80	852	2.131	.375	.138	.769
100	840	2.219	.203	.137	.738
120	828	2.307	.124	.135	.710
140	816	2.395	.080	.133	.686
160	805	2.483	.056	.132	.663

ادامه جدول ۴-۱۲

Temperature, t_m , °C	Mass density, ρ , kg/m³	Specific heat, C_p , kJ/kg °C	Kinematic viscosity, $\eta_k = \eta / \rho$, m²/s	Thermal conductivity, K_f , W/m °C	Thermal diffusivity, $\alpha_i = K_f / \rho * C_p$, m²/s
Mercury (Hg)					
0	13 628	0.1403	0.1240×10^{-6}	8.20	42.99×10^{-7}
20	13 579	.1394	.1140	8.69	46.06
50	13 505	.1386	.1040	9.40	50.22
100	13 384	.1373	.0928	10.51	57.16
150	13 264	.1365	.0853	11.49	63.54
200	13 144	.1570	.0802	12.34	69.08
250	13 025	.1357	.0765	13.07	74.06
315.5	12 847	.1340	.0673	14.02	81.50
Diester					
30	910	1.93	-----	0.151	0.860×10^{-7}
Phosphate ester					
30	1 060	1.76	-----	0.125	0.670×10^{-7}
Polyglycol					
30	1 000	1.97	-----	0.152	0.772×10^{-7}
Polyphenylether					
30	1 180	1.80	-----	0.132	0.621×10^{-7}
Dimethyl silicone					
30	970	1.42	-----	0.142	1.03×10^{-7}
Chlorofluorocarbon					
30	1 900	1.22	-----	0.069	0.298×10^{-7}
Fluorinated polyether					
30	1 870	0.96	-----	0.093	0.518×10^{-7}

= مقادیر لزجت فقط زمانی استفاده می شود که اطلاع دیگری مربوط به روان کاری کننده موجود نباشد . خواص حرارتی (ρ , C_p , K_f , α_i) باید نماینده بیشتر روندهای معدنی باشد .

علاوه بر تغییرات لزجت با دما ، خواص حرارتی دیگری سیالات در روان کاری مهم هستند . بعضی از آنها گرمای ویژه ، گرمای ویژه حجمی ، هدایت حرارتی و پخش حرارتی هستند . گرمای ویژه حجمی C_p ، به صورت دانسته ضرب در گرمای ویژه ($C_p = \rho^8 C_p$) ، تعریف می شود و بنابراین واحد کیلوژول بر درجه سیلیسیوس برمتر مکعب را دارد ($\text{kJ} / ^\circ\text{C} \cdot \text{m}^3$) . وینر^۱ و چنگ^۲ (۱۹۸۰) خاطرنشان نمودند که C_p برای گروه سیالات بر مبنای ترکیبات شیمیایی ، نسبتاً ثابت است .

وینر و چنگ (۱۹۸۰) همچنین یادآور شدند که هدایت حرارتی K_p ، مثل گرمای ویژه حجمی ، برای گروهی از روان کننده ها بر مبنای ترکیبات شیمیایی ، نسبتاً ثابت است . برای روغنهای معدنی ، هدایت حرارتی بین $0.12 \text{ W} / \text{m} \cdot ^\circ\text{C}$ و $0.15 \text{ W} / \text{m} \cdot ^\circ\text{C}$ است . یادآوری می شود که یک وات برابر با یک ژول بر ثانیه ($W = J/s$) ، یک ژول برابر با یک نیوتون متر ($J = N \cdot m$) و یک نیوتون برابر با یک کیلوگرم متر بر محدوده ثانیه ($N = kg \cdot m/s^2$) است . مقادیر معمولی خواص حرارتی سیالات دیگر در جدول ۴-۱۲ نشان داده می شود . در این جدول پخش حرارتی به صورت $K_p / \rho^8 C_p$ تعریف می شود .

۴-۹ اثرات لزجت - فشار - دما

لزجت شدیداً به فشار و دما حساس است . این حساسیت شدید ، مانع بزرگی برای تشریح تحلیلی تغییرات لزجت حاصله می باشد . رولندز (۱۹۶۶) متوجه شد که در فشار ثابت ، لزجت ، کم و بیش به صورت نمایی با معکوس دمای مطلق افزایش می یابد . به طور مشابه در دمای ثابت همان طور که قبل از این فصل نشان داده شد ، لزجت ، کم و بیش به صورت نمایی با فشار افزایش می یابد ؛ ولی عموماً این روابط نمایی فقط تقریب از درجه اول بوده و فقط برای محدوده متوسطی از دما ، مورد استفاده قرار می گیرد .

از رولندز (۱۹۶۶) ، معادله لزجت - دما - فشار را می توان به صورت زیر نوشت :

$$\log \eta + 1.200 = G_0 \frac{(1 + p/2000)^{-C_2 \log(1 + t_m/135) + D_2}}{(1 + t_m/135)^{S_0}} \quad (4-16)$$

از مقایسه معادلات (۴-۹) و (۴-۱۴) یا معادله قبلی ، نقش اثرات فشار و دما در معادله (۴-۱۶)

آشکار می شود . معادله (۴-۱۶) را می توان به صورت :

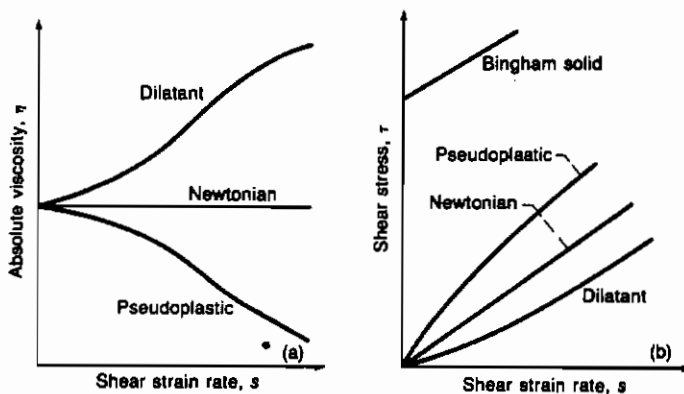
$$\frac{\eta}{\eta_0} = \frac{\eta_\infty}{\eta_0} 10^{G_0(1+t_m/135)^{-S_0}(1+p/2000)^{P_2}-C_2 \log(1+t_m/135)} \quad (4-17)$$

یافند . بر اساس معادله (۴-۱۷) ، چهار پارامتر (G_0 ، S_0 ، C_2) که به صورت تجربی تعیین می شوند ، برای ارائه لزجت η بر حسب سانتی پویز با یک تابع درجه حرارت t بر حسب درجه سلسیوس و فشار جزئی P بر حسب کیلوگرم برسانند مترمربع کافی هستند .

۴-۱۰ اثرات نرخ لزجت - برش

مایعاتی که لزجت آنها مستقل از نرخ برشی باشد ، به نام «نیوتونی» معروفند . مایعاتی که لزجت آنها با نرخ برشی تغییر می کند ، به نام «غیرنیوتونی» معروفند . شکل ۴-۷ لزجت و تنش برشی در برابر نرخ برش برای سیالات نیوتونی و غیرنیوتونی را نشان می دهد . در شکل ۴-۷ (الف) سیالات شبیه پلاستیکی ، با افزایش نرخ برش ، کاهش در لزجت را نشان می دهد . این رفتار ممکن است برای محدوده خاصی از نرخ برشی باشد . سیال انبساطی^۱ ، با افزایش نرخ برش ، افزایش لزجت را نشان می دهد .

در شکل ۴-۷ (ب) تنش برشی بر حسب نرخ برش برای یک سیال نیوتونی ، یک شبیه پلاستیک ، و یک سیال انبساطی و یک جامد بینگام نشان داده می شود . یک جامد بینگام^۲ ، جامدی پلاستیکی است مانند گریس که فقط در بالاتر از تنش برشی تسلیم بخصوص ، جاری می شود . سیالات شبیه پلاستیک ، توسط خطی بودن در نرخهای برش خیلی پایین و خیلی بالا مشخص می شوند . سیالات انبساطی افزایش لزجت با افزایش نرخ برش را نمایش می دهند . توضیح این رفتار در مورد ذرات معلق ، این است که ، ذرات در یک حالت معلق مرکز ، در حالت سکون قرار خواهند گرفت . به ترتیب که فضای تهی به مقدار کمینه است . این با ذرات مایع معلق ، فقط برای پر کردن فضاهای تهی در این حالت کافی است . افزایش در ایجاد فضای تهی توسط خاصیت برش یک ماده انبساطی ، بدین معنی است که فضای بین ذرات به صورت غیر کامل با مایع پر می شود . تحت این شرایط روان کاری غیر کافی ، سطوح ذرات مجاور ، در تماس مستقیم قرار گرفته و باعث افزایش لزجت با افزایش نرخ برش می شوند .



شکل ۴-۷- مشخصه های سیالات مختلف بر حسب تابعی از نرخ برش . اف. منعی لزجت ، ب. منعی جریان

۴-۱۱ ایندکس لزجت

برای محاسبه بهتر رابطه بین لزجت و دما ، دین^۱ و دیویس^۲ (۱۹۲۹) یک سیستم مقایسه اختیاری به نام «ایندکس لزجت» (VI) ایجاد کردند . استاندارد این مقایسه بر مبنای روغنها پنسیلوانیا تصفیه شده با روش اسید سولفوریک و بر مبنای روغنها تگزاس یا کالیفرنیا تصفیه شده با همان روش است . روغنها پنسیلوانیا دیرتر از دیگر انواع روغنها معدنی در معرض افزایش دما رقیق می شوند (کمتر لزج می شوند) . آن روغنها برای این خاصیت ۱۰۰ و روغنها نفتیک تگزاس ۰ در نظر گرفته شدند .

گرچه روغنها از سال ۱۹۲۹ ، به طور قابل ملاحظه ای تغییر کرده اند ؛ ولی میل به بیان تغییر نسبی لزجت با دما ، تغییر نکرده است . تا جایی که تعیین دو حد مورد نظر باشد ، سوالی در مورد اثر و معنی ایندکس لزجت وجود ندارد . ایندکس لزجت ۷۵ بدین معنی است که ، کیفیت یک روغن از نظر لزجت به ۷۵ درصد محدوده ضعیف ترین روغن نفتیک (VI = 0) تا بهترین روغن پنسیلوانیا (VI = 100) رسیده است . وقتی که روغنها حدی انتخاب شدند ، برای توسعه روش های ساخت و معرفی روان کننده های مصنوعی اجازه ای داده نشد . درنتیجه ، امروزه روان کننده هایی با ایندکس لزجت خیلی بیشتر از ۱۰۰ تولید می شوند . به هر حال رسم بر این است که ایندکس لزجت را مطابق فرمول

$$VI\% = \left(\frac{L - \bar{x}}{L - H} \right) 100 \quad (4-18)$$

محاسبه کرد که در آن : لزجت جهانی سیبولت (SUV) روغن مرجع با VI پایین ، $\bar{L} =$

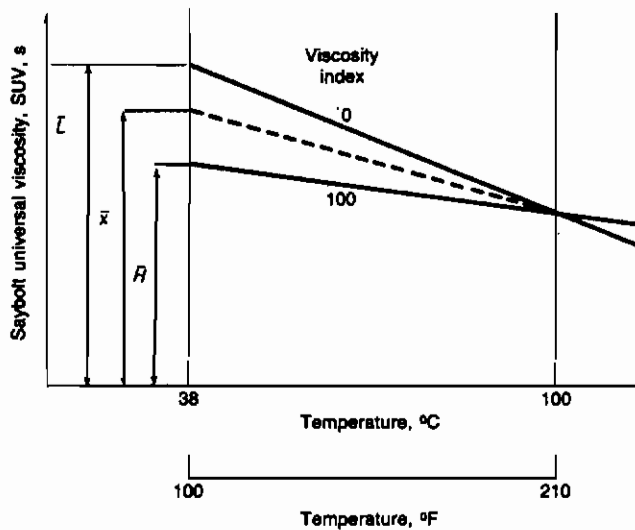
روغن مرجع با VI بالا ، $\bar{H} =$

روغن ناشناخته ، $\bar{x} =$ SUV

است . توجه کنید که مقادیر \bar{L} ، \bar{H} ، و \bar{x} در 100°C نشان داده شده است .

شکل ۴-۸ چگونگی محاسبه ایندکس لزجت و همچنین لزجت سیبولت^۱ یکسان روغنهای مرجع و روغن مجهول را در 100°C نشان می‌شوند . در 38°C لزجتهاي سیبولت متفاوتند بنابراین مقادیر از \bar{H} ، \bar{L} و \bar{x} در معادله (۴-۱۸) استفاده می‌شوند .

جدول ۴-۱۳ ، مقادیر \bar{H} و \bar{L} در 38°C برای مقادیر معینی از لزجت جهانی سیبولت روغن مجهول در 100°C را می‌دهد . این مقادیر در معادله (۴-۱۸) استفاده می‌شوند .



شکل ۴-۸- توضیع ایندکس لزجت وقتی که روغن با VI پایین = \bar{L} ، روغن

ناشناخته = \bar{x} ، و روغن با VI بالا = \bar{H}

جدول ۴-۱۳ - داده‌های ایندکس لزجت برای استفاده در معادله (۴-۱۸)

suv at 100 °C. <i>x</i>	suv at 38 °C		suv at 100 °C. <i>x</i>	suv at 38 °C		suv at 100 °C. <i>x</i>	suv at 38 °C	
	<i>H</i>	<i>L</i>		<i>H</i>	<i>L</i>		<i>H</i>	<i>L</i>
40	93	107	---	---	---	---	---	---
41	109	137	81	810	1674	121	1643	3902
42	124	167	82	829	1721	122	1665	3966
43	140	197	83	849	1769	123	1688	4031
44	157	228	84	868	1817	124	1710	4097
45	173	261	85	888	1865	125	1733	4163
46	189	291	86	907	1914	126	1756	4229
47	205	325	87	927	1964	127	1779	4296
48	222	356	88	947	2014	128	1802	4363
49	238	389	89	966	2064	129	1825	4430
50	255	422	90	986	2115	130	1848	4498
51	272	456	91	1006	2166	131	1871	4567
52	288	491	92	1026	2217	132	1894	4636
53	305	525	93	1046	2270	133	1918	4705
54	322	561	94	1066	2322	134	1941	4775
55	339	596	95	1087	2375	135	1965	4845
56	356	632	96	1107	2428	136	1988	4915
57	374	669	97	1128	2481	137	2012	4986
58	391	706	98	1148	2536	138	2036	5058
59	408	743	99	1168	2591	139	2060	5130
60	426	481	100	1189	2646	140	2084	5202
61	443	819	101	1210	2701	141	2108	5275
62	461	857	102	1231	2757	142	2132	5348
63	478	897	103	1252	2814	143	2156	5422
64	496	936	104	1273	2870	144	2180	5496
65	514	976	105	1294	2928	145	2205	5570
66	532	1016	106	1315	2985	146	2229	5645
67	550	1057	107	1337	3043	147	2254	5721
68	568	1098	108	1358	3102	148	2278	5796
69	586	1140	109	1379	3161	149	2303	5873
70	604	1182	110	1401	3220	150	2328	5949
71	623	1225	111	1422	3280	151	2353	6026
72	641	1268	112	1444	3340	152	2378	6104
73	660	1311	113	1466	3400	153	2403	6182
74	678	1355	114	1488	3462	154	2428	6260
75	697	1399	115	1510	3524	155	2453	6339
76	716	1444	116	1532	3585	156	2478	6418
77	734	1489	117	1554	3648	157	2503	6498
78	753	1534	118	1576	3711	158	2529	6578
79	772	1580	119	1598	3774	159	2554	6659
80	791	1627	120	1620	3838	160	2580	6740

مسئله نمونه ۴-۲ فرض کنید یک روغن مجھول لزجت جهانی سیپولت ۲۷۳۰ SUV در 38°C و ۱۲۰ SUV در 100°C را دارد . VI این روغن چقدر است ؟

جواب : از اولین ستون جدول ۴-۱۳ دو روغنی که لزجت جهانی سیپولت 100°C در ۱۲۰ SUV خواهد داشت را پیدا کنید ، بنابراین :

$$\bar{H} = 1620 \text{ SUV at } 38^{\circ}\text{C}$$

$$\bar{L} = 3838 \text{ SUV at } 38^{\circ}\text{C}$$

بنابراین با استفاده از معادله (۴-۱۸) برای SUV $= \bar{x}$ داریم :

$$VI = \left(\frac{3838 - 2730}{3838 - 1620} \right) 100 = 50$$

۴-۱۲ پلیداری اکسیداسیون

واکنش شیمیایی که در آن اکسیژن هوا با هیدروژن یک روغن ترکیب می شود ، «اکسیداسیون» نام دارد . روغنهاي معدنی خالص ، در مراحل اولیه کار ، در مقابل اکسیداسیون مقاومت دارند ، ولی بعداً به خاطر اکسیداسیون سریعاً فاسد می شوند . شرایط کاری که در آن اکسیداسیون می تواند اتفاق افتد ، عبارتند از :

۱- دمای بالا ،

۲- ظهرور ذرات فلزی ساییدگی ،

۳- وجود رطوبت و آکودگیها از قبیل خاک ، گرد و غبار و تولیدات زنگ زدگی دیگر مواد خورنده .

۴- کف کردن^۱ و آشناختنگی .

اکسیداسیون روغنهاي معدنی خالص در دمای اطاق به آهستگی ، انجام می گیرد ، در (60°C) (140°F) اکسیداسیون هنوز آهسته ، ولی با اهمیت است و بالای (93°C) (200°F) بشدت شتاب می گیرد .

تولیدات اکسیداسیون روغن ، بدلا پل ذیل مطلوب نیستند : تولیدات حل نشدنی (لجن) با گرفتگی مسیر مانع مؤثر روان کاری می شوند . گرددش تولیدات حل نشدنی با روغن ، اسیدی بوده و در نهایت یا منجر به خوردنگی یا زبر شدن سطوح یاتاقان گشته و پا بر روی قسمتهای کاری ؛ دمای بالا ، رسوبات بجای می گذارد .

۴-۱۳ نقطه ریزش^۱

نقطه ریزش ، کمترین دمایی است که روان کننده در آن حالت می تواند جریان داشته باشد . نقطه ریزش مربوط به لزجت می شود ، زیرا تعیین می کند که آیا روغن دماهای پایین جریان خواهد یافت یا فقط به زحمت تحت شرایط معین جاری می شود .

روغنهای مصرفی تحت شرایط دمای کم ، باید نقطه ریزش پایین داشته باشند . روغنها باید نقاط ریزش ، ۱- پایین تر از دمای کاری کمینه سیستم و ۲- پایین تر از دمای محیط کمینه ای که روغن در معرض آن قرار خواهد گرفت ، داشته باشند .

۴-۱۴ جرم مخصوص

دانسته جرم ^۵ یک سیال ، جرم واحد حجم آن سیال است . واحد SI دانسته جرم ، کیلوگرم جرم بر مترمکعب است . در قسمت ۴-۸ اهمیت اثرات دما روی لزجت بحث شد . برای یک تغییر قابل قیاس در فشار ، دما ، یا هر دو ، تغییر جرم مخصوص نسبت به تغییر لزجت ، کم است . ولی در فیلمهای الاستوھیدرودینامیکی فشار خیلی زیاد وجود داشته و روان کننده دیگر نمی تواند به عنوان یک محیط پوسته غیرقابل تراکم در نظر گرفته شود . بنابراین لازم است که بستگی جرم مخصوص به فشار مورد نظر قرار گیرد .

تغییرات جرم مخصوص با فشار ، تقریباً برای فشارهای پایین ، خطی است ؛ ولی نرخ افزایش در فشارهای بالا می افتد . حد تراکم روغنها معدنی برای افزایش جرم مخصوص بیشینه ، حدود ۳۳ درصد فقط ۲۵ درصد است . جرم مخصوص بدون بعد برای روغن معدنی را می توان از داوسان و هیگنیسن (۱۹۶۶) نوشت :

$$\bar{\rho} = \frac{\rho}{\rho_0} = 1 + \frac{0.6\rho}{1 + 1.7\rho} \quad (4-19)$$

$\rho_a = N \cdot s^2/m^4$ ، $p = 0$ جرم مخصوص و قی = ۰ : که در آن :

$p = GPa$ ، فشار جزئی ،

است . بنابراین عبارت عمومی برای جرم مخصوص بدون بعد را می توان به صورت زیر

نوشت :

$$\bar{\rho} = 1 + \frac{0.6E'P}{1 + 1.7E'P} \quad (4-20)$$

که :

$$E' = 2 \left(\frac{1 - \nu_a^2}{E_a} + \frac{1 - \nu_b^2}{E_b} \right)^{-1}$$

$E = Pa$ ، مدول کشانی ،

$\nu = 1$ نسبت پرسان

و E' در معادله (۴-۲۰) باید بر حسب جیگاپاسکال و $P/E' = p$ بیان شود .

جدول ۴-۱۴ - سیالات پایه ای تست شده با لزجت سینماتیک مربوطه به وزن

مخصوص مولکولی متوسط

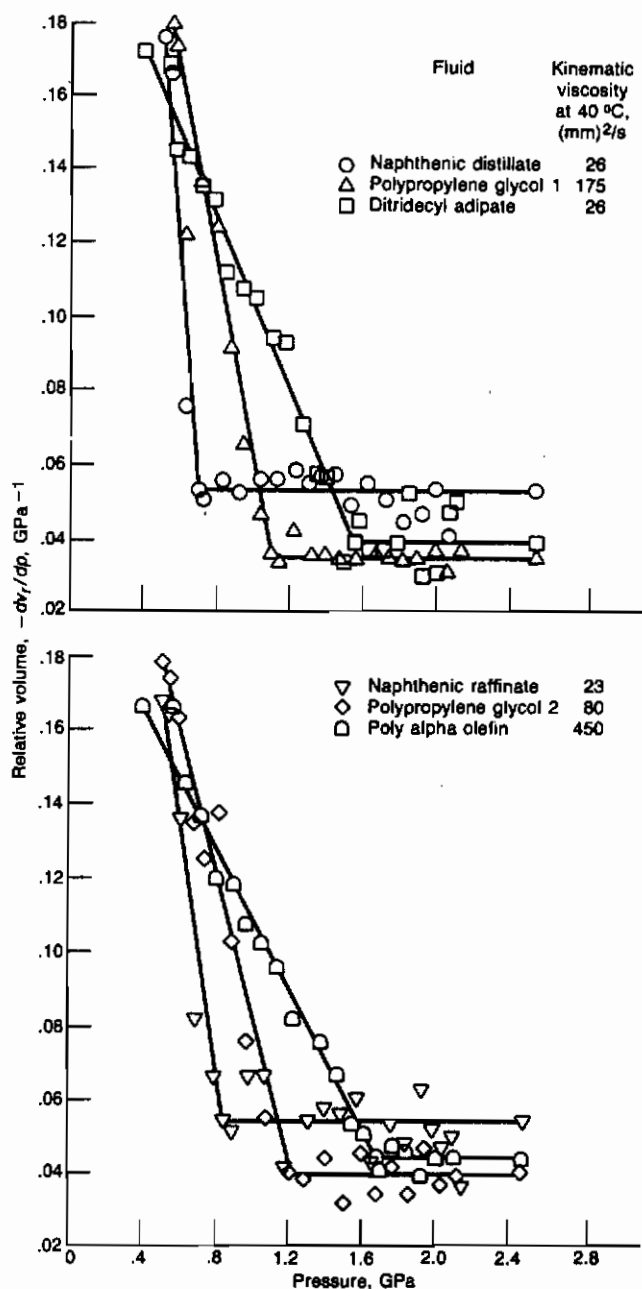
Base fluid	Kinematic viscosity, at 40 °C, η_k , mm²/s	Average molecular weight
Naphthenic distillate	26	300
Naphthenic raffinate	23	320
Polypropylene glycol 1	175	2000
Polypropylene glycol 2	80	2000
Ditridecyl adipate	26	510
Poly alpha olefin	450	500

معادله (۴-۲۰) بیان می کند که تغییرات جرم مخصوص با فشار ، تقریباً در فشارهای پایین ، خطی است ؛ ولی نرخ افزایش آن در فشارهای بالا ، کم می شود . افزایش جرم مخصوص بیشینه از فشار آتمسفر ، ۳۵ درصد است . داده های استفاده شده در به دست آوری معادله (۴-۲۰) ، نسبتاً به فشارهای پایین (0.4 GPa) محدود شد .

اخیراً همراک^۱ و دیگران (۱۹۸۷) ، اطلاعات آزمایشگاهی به دست آورده که نشان دهنده اثر فشار بر روی جرم مخصوص برای محدوده فشار از $0.4 \text{ to } 2.2 \text{ GPa}$ و برای شش سیال مبنا در دمای فرض شده در 20°C ثابت است . شش سیال پایه آزمایش شده ، در جدول ۴-۱۴ و همراه با لزجت سینماتیکی و وزن مولکولی متوسط آنها لیست شده اند . یک پارامتر مهم در تشریح این نتایج ، تغییر حجم نسبی با تغییر فشار $/dV/dp$ است . برای فشارهای کمتر از فشار انجماد ($p > p_c$) ، تغییر کوچکی در فشار ، تغییر بزرگی در dV/dp ایجاد می کند . برای فشارهای بیشتر از فشار انجماد ($p > p_c$) ، تغییر کمی از dV/dp به وجود می آید . وقتی که مولکولهای روان کننده کاملاً به یکدیگر نزدیک شوند ، افزایش فشار نمی تواند مقدار $/dV/dp$ را تغییر دهد .

در روان کاری الاستوهدیرودینامیکی که با دقت بیشتری در این کتاب مطالعه خواهد شد ، نرخ افزایش فشار خیلی بالا ، حدود 10^{13} Pa/s است . روان کننده تحت این شرایط ، وقت کریستال شدن را نداشته بلکه متراکم و تبدیل به جامد بین شکلی می شود . از نظر فیزیکی ، این بدان معنی است که ضمن متراکم شدن روان کننده ، فاصله بین مولکولهای آن کوچک و کوچکتر می شود . نقطه ای وجود دارد که در آن ، مولکولهای نمی توانند آزادانه حرکت کنند و تراکم بیشتر ، باعث تغییر شکل مولکولها می شود . فشاری که ابتدا شروع این حالت است ، فشار انجماد می باشد که برای روان کننده های مختلف کاملاً متفاوت است .

شکل ۴-۹ ، تغییر در حجم نسبی با فشار متغیر برای شش سیال مبنای رانشان می دهد . فشار انجماد ، برای سیالهای آزمایش شده بر مبنای های مختلف به طور قابل ملاحظه ای فرق می کند . به علاوه برای $p > p_c$ ، اطلاعات آزمایشگاهی ، شباهی متفاوت برای سیالات مبنای مختلف دارند . یک فرمول فشار- جرم مخصوص جدید توسط همراک و



شکل ۴-۹- اثر فشار روی حجم نسبی برای شش سیال مینایی . دما ثابت ۲۰°C فرض شد

دیگران (۱۹۸۷) گسترش داده شد که اثر فشار روی جرم مخصوص را بر حسب چهار ثابت، تشریح می کند. این فرمول بدین گونه است:

$$\bar{\rho} = \begin{cases} \frac{1}{1 - C_1 p^2 - C_2 p} & \text{for } p \leq p_s \\ \frac{1}{1 - C_3 p + C_4} & \text{for } p > p_s \end{cases} \quad (4-21)$$

$$C_1 = \frac{\bar{m}}{2C} \quad (\text{GPa})^{-2} \quad (4-23)$$

$$C_2 = \frac{n_2 - \bar{m}p_s}{C} \quad (\text{GPa})^{-1} \quad (4-24)$$

$$C_3 = \frac{n_2}{C} \quad (\text{GPa})^{-1} \quad (4-25)$$

$$C_4 = \frac{\bar{m}p_s^2}{2C} \quad (4-26)$$

$$C = 1 + \frac{\bar{m}}{2} (\bar{p}_i)^2 + (n_2 - \bar{m}p_s) \bar{p}_i \quad (4-27)$$

و \bar{p}_i فشار اولیه بر حسب جیگاپاسکال است. مقادیر تجربی به دست آمده برای n_2 و \bar{m} برای هر سیال مبنا، در جدول ۴-۱۵ داده شده است و جدول ۴-۱۶ مقادیر مربوط C_1 ، C_2 ، C_3 و C_4 را نشان می دهد.

جدول ۴-۱۰ - پارامترهای به دست آمده از روش کوچکترین مرباعات داده های آزمایشگاهی

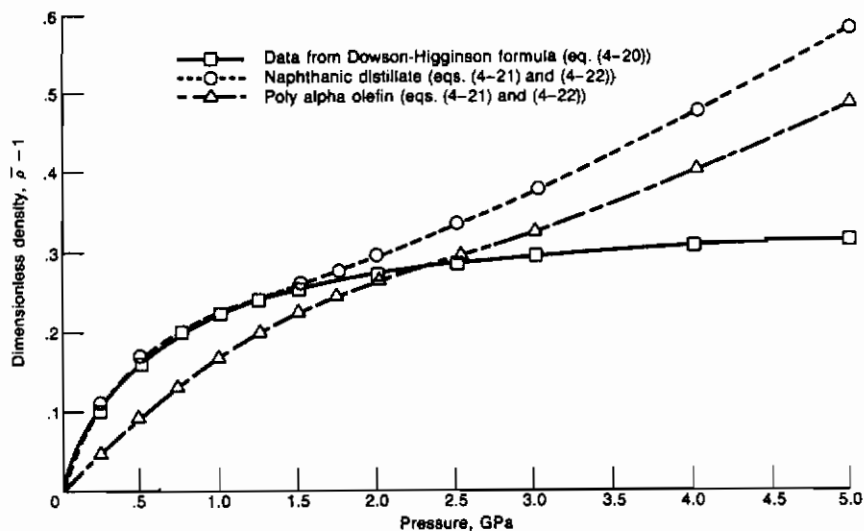
Base fluid	Slope, \bar{m} , (GPa) $^{-2}$	Asymptote, n_2 , (GPa) $^{-1}$	Solidification pressure, p_s , GPa
Naphthenic distillate	-0.626	0.0538	0.706
Naphthenic raffinate	- .336	.0542	.839
Polypropylene glycol 1	- .271	.0360	1.092
Polypropylene glycol 2	- .195	.0395	1.213
Ditridecyl adipate	- .115	.0395	1.561
Poly alpha olefin	- .0958	.0439	1.682

جدول ۴-۱۶ - ثابت‌های استفاده شده در تعریف اثر فشار روی جرم مخصوص

Base fluid	Pressure-density constants			
	$C_1, (\text{GPa})^{-2}$	$C_2, (\text{GPa})^{-1}$	$C_3, (\text{GPa})^{-1}$	C_4
Naphthenic distillate	-0.271	0.430	0.0466	-0.135
Naphthenic raffinate	-0.151	0.302	0.0487	-0.106
Polypropylene glycol 1	-0.121	0.297	0.0323	-0.145
Polypropylene glycol 2	-0.0887	0.251	0.0395	-0.131
Ditridecyl adipate	-0.0531	0.202	0.0365	-0.129
Poly alpha olefin	-0.0444	0.190	0.0407	-0.126

همراک و دیگران (۱۹۸۷) فرمول اثبات شده خود را در به دست آوردن شکل ۴-۱۰ که اثر فشار روی جرم مخصوص دو سیال رانشان می‌دهد، استفاده گردند. همچنین در این شکل، منحنی فشار- جرم مخصوص داوسان و هیگینسن^۱ (۱۹۶۶) وجود دارد. ضمن افزایش فشار بالاتر از 2 GPa، تفاوت بین فرمول داوسان و هیگینسن (۱۹۶۶) و نتایج حاضر نیز افزایش می‌یابد. برای فشارهای تا 2 GPa برای نفتیک مقطر، توافق خوبی با فرمول داوسان و هیگینسن (۱۹۶۶) وجود داشت. برای پولی آلفا اولفین، این نتیجه یکسان نیست. پس بینی می‌شود که این تفاوتها از فرمول متدائل داوسان و هیگینسن برای فشار- جرم مخصوص، در تعریف نمایه فشار در اتصالات روان‌کاری شونده به صورت الاستوهدروپلیتیکی اثر قابل توجهی دارند.

به علاوه، از شکل ۴-۱۰ می‌توان دریافت که برای سیالاتی غیر از روغنهای معدنی، فرمول داوسان و هیگینسن (۱۹۶۶)، همان طور که با پولی آلفا اولفین شروع شد، معتبر نیست. بنابراین همراک و دیگران (۱۹۸۷) ادعایی کنند که معادلات (۴-۲۱) و (۴-۲۲)، تا جایی که مقادیر اندازه گیری شده برای ثابت‌های C_1, C_2, C_3 و C_4 و همچنین برای \bar{m} ، n_1 و n_2 وجود داشته باشند، برای هر روان‌کننده معتبر است.



شکل ۴-۱۰- اثر فشار روی جرم مخصوص

۴-۱۵ تنش برشی حلزی

در اغلب تجزیه و تحلیلهای روان کاری فیلم سیال ، فرض بر این است که روان کننده نیوتونی رفتار می کند . این رفتار از معادله (۴-۲۱) معلوم می شود که در آن تنش برشی τ به صورت خطی با نرخ کرنش برشی مرتبط است ، یا :

$$\tau = \frac{\sigma}{\eta} \quad (4-28)$$

که η لزجت مطلق یا ثابت متناسب است و با دما و فشار ممکن است تغییر کند . ولی روان کننده در اتصالات روغن کاری شونده به صورت الاستوهدیرودینامیکی ، تغییرات فشار خیلی زیاد و سریع ، زمان گذاری سریع ، احتمالاً تغییرات دمای بالا ، وبخصوص در تماسهای کشوبی نرخهای برشی بزرگی را تجربه می کند . جدی بودن این شرایط ، فرضیات معمولی رفتار نیوتونی سیالات در اتصالات روغن کاری شونده به صورت هیدرودینامیکی را زیرسوال بردۀ است . یعنی این که تنش برشی روغنکاری هنوز تابعی از نرخ کرنش برشی است ؟ ولی این رابطه دیگر مثل معادله (۴-۲۸) ، خطی نیست . برای سیالی که مشخصه های غیرنیوتونی دارد ، نرخ برش سریعتر از تنش برشی افزایش می یابد .

شکل ۴-۱۱ رابطه بین نرخ کرنش برشی و تنش برشی بدون بعد برای سه مدل سیال غیرخطی و لزج رانشان می‌دهد. شرایط دما ثابت فرض می‌شود. دو مدل حدی تنش برشی شکل ۴-۱۱، از بیر^۱ و وینر^۲ (۱۹۷۹) به دست آورده شدند و به صورت زیر بیان می‌شود:

$$s = \frac{\tau_L}{\eta} \ln \left(1 - \frac{\tau}{\tau_L} \right)^{-1} \quad (4-29)$$

$$s = \frac{\tau_L}{\eta} \tanh^{-1} \frac{\tau}{\tau_L} \quad (4-30)$$

تنش برشی حدی ، $\tau_0 + \gamma^* p$ که در آن داریم :

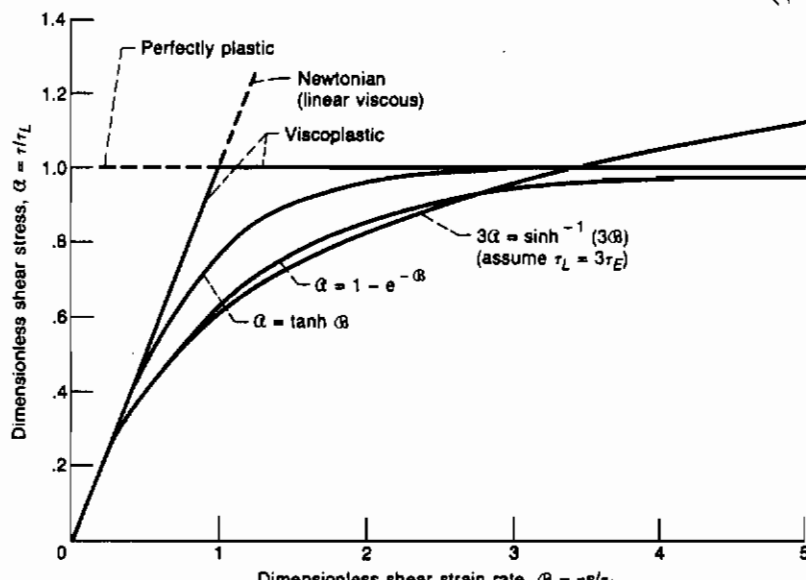
$\tau_0 = \text{Pa}$ ، تنشی برشی در فشار صفر ،

ثابت تناسب مقاومت برشی حدی ، $\gamma^* = \partial \tau_L / \partial p$

با نوشتن این معادلات به شکل بدون بعد ، داریم:

$$\alpha = 1 - e^{-\beta} \quad (4-31)$$

$$\alpha = \tanh \beta \quad (4-32)$$



شکل ۴-۱۱ - مقایسه مدلها برای شرایط همدایی

$$\mathcal{A} = \frac{\tau}{\tau_L} \quad (4-33)$$

$$\mathcal{B} = \frac{\eta s}{\tau_L} \quad (4-34)$$

مدل لزج غیرخطی دیگر نشان داده شده در شکل ۴-۱۱ ، مربوط به آیرینگ^۱ (۱۹۳۶) است و می‌توان نوشت :

$$s = \frac{\tau_E}{\eta} \sinh \frac{\tau}{\tau_E} \quad (4-35)$$

تش برشی است که در آن سیال ابتدا شروع به رفتار غیرخطی در برابر نرخ کرنش برشی می‌کند . در مقایسه این مدل با مدل‌های تنش برشی حدی ، عبارت زیر بین τ_E و τ فرض خواهد شد :

$$\tau_E = \frac{\tau_L}{3} \quad (4-36)$$

با استفاده از معادله (۴-۳۶) ضمن دوباره نویسی معادله (۴-۳۵) به شکل بدون بعد ، داریم :

$$3\mathcal{A} = \sinh^{-1}(3\mathcal{B}) \quad (4-37)$$

شکل ۴-۱۱ نشان می‌دهد که برای مدل آیرینگ ، تنش برشی با افزایش نرخ کرنش به صورت یک به یک افزایش می‌یابد .

بیر و وینر (۱۹۷۹) ، جکوبسون^۲ (۱۹۸۵) ، و هاگلاند و جکوبسون (۱۹۸۶) مشاهده نمودند که در یک فشار و دمای معین ، تنش برشی بحرانی وجود دارد که در آن روان‌کننده بدون افزایش بیشتر در تنش برشی و با افزایش نرخ کرنش برشی ، به صورت پلاستیک برشی خواهد خورد . جکوبسون و همراک (۱۹۸۴) ، مفهوم تنش برشی حدی را بدین ترتیب به کار گرفتند که وقتی برشی در سطوح یاتاقان از تنش برشی حدی افزایش یابد ، آن را برابر با تنش برشی حدی قرار دهند . چون مدل آنها هم دما بود ، در تنش برشی خیلی زیاد صفحات لغزشی در سطوح یاتاقان به وجود آمد . بستگی به تنش برشی در سطوح یاتاقان ، سه نوع معادله

مختلف برای فشار استفاده شد . همان طوری که قبلاً اشاره شد ، هویرت و همراک (۱۹۸۵) مدل آیرینگ را استفاده کردند تا معادله رینولذ جدیدی را که نشان دهنده اثرات غیرخطی لزجت است ، به دست آورند .

خواص مختلف روان کننده‌ها در قسمتهای قبلی تشریح شدند و در چهار قسمت بعدی چگونگی تغییر این خواص برای سه نوع مختلف روان کننده از قبیل مایعات ، روغنها و گازها تشریح خواهد شد . روان کننده‌های مایع به روغنها نفتی یا معدنی و روغنها مصنوعی دسته بندی می‌شوند .

۴-۱۶ روغن مصرفی نفتی یا معدنی

روغنها نفتی یا معدنی عموماً مخلوط پیچیده‌ای از هیدروکربنها هستند ؛ ولی به طور تقریبی می‌توانند بر اساس خانواده شیمیابی ماده غالب تشکیل دهنده آنها ، مثل پارافینها یا نفتینها (بعضی وقتها پارافینها دوره‌ای نامیده می‌شوند) تقسیم بندی شوند . روغنها پارافینی ، توسط نقطه ریزش خود که معمولاً 17.8°C - 6.7°C است و توسط تغییر متوسط در لزجت با افزایش درجه حرارت ، مشخص می‌شوند . عموماً ایندکس لزجت آنها از ۸۵ تا ۱۰۰ تغییر خواهد کرد . روغنها پارافینی از روغنها نفتینی جرم مخصوص پایین تری دارند . روغنها نفتینی ، با نقاط ریزش از 50°C - 12°C و تغییر بیشتری در لزجت با افزایش درجه حرارت ، مشخص می‌شوند . عموماً ایندکس لزجت آنها بین ۰ تا ۶۰ متغیر است . روغنها نفتینی و پارافینی هر دو نقاط اشتعال با محدوده وسیعی دارند .

روغنها پارافینی ، هیدروکربنها پارافینی زیادی داشته و مقداری مو مداری موم دارند . روغنها نفتینی ، هیدروکربنها نفتینی زیاد داشته و شامل کمی مو م است . در کاربردهایی که در محدوده دمای وسیعی کار می‌کنند ، یک روغن نفتینی معمولاً از یک روغن پارافینی مناسب کمتری دارد . تولیدات نفتینی معمولاً در کاربردهایی مورد استفاده قرار می‌گیرند که دمای کاری محدودی از خود نشان داده و ایجاد نقطه ریزش نقطه ریزش نسبتاً پایینی می‌کنند . همچنین روغنها نفتینی بیشتر از روغنها پارافینی سعی در متوجه کردن مواد آب بندی کننده دارند .

۴-۱۷ روغن مصرفی مصنوعی

روان کننده‌های مصنوعی ، پتانسیل ارضاء کردن محدوده وسیعی از احتیاجات را

دارند، زیرا آنها را می‌توان تقریباً در هر محدوده دلخواهی از کمیت بخصوص به صورت فرمولی درآورد. ولی خواص ویژه دیگری، ثابت شده توسط ساختارهای شیمیایی باید در خیلی از موارد قابل قبول باشند. کاربردها باید بر حسب تمام خواص مربوط به سیال مصنوعی پیشنهادی در نظر گرفته شوند. انتخاب سیال مصنوعی مناسب می‌تواند گمراه کننده باشد، زیرا برای به دست آوردن مشخصه‌های ویژه، استفاده کننده معمولاً باید از جبهه‌های عملکرد دیگری صرف نظر کند. معمولاً مصنوعات، پایداری جرارتی و اکسیداسیون خوبی دارند، ولی ضعف رایج آنها محدودیت روان کاری کردن است (قدرت روان کننده برای کاهش ساییدگی و اصطکاک غیر از صرفاً خواص لزجت آنها است). معمولاً ارزش واحد حجم روغن‌های مصنوعی از روغن‌های نفتی جایگزین شونده خیلی بیشتر است؛ ولی ارزش واقعی این روان کننده باید بر اساس قیمت برای عملکرد محاسبه شود. بیشتر باقی مانده این قسمت خلاصه‌ای است از معادله هاتون^۱ (۱۹۷۳).

زمینه روان کننده‌های مصنوعی از صدھا ترکیبات آلی و نیمه‌آلی تشکیل شده که به سادگی نمی‌تواند در این کتاب بگنجد. بنابراین روغن‌های مصنوعی در اینجا توسط ساختار شیمیایی گروه‌بندی می‌شوند. این قسمت به صورت خلاصه، خواص بعضی از مصنوعات معروفتر را جمع‌بندی می‌کند (جدول ۱۷-۴ را بینید).

۱-۱۷-۴ هیدروکربن‌های مصنوعی

هیدروکربن‌های مصنوعی ترکیباتی هستند تنها شامل کرین و هیدروژن، که توسط واکنشهای شیمیایی تهیه می‌شوند؛ که این عمل از مواد، با وزن مولکولی پایین شروع می‌شود. معمولاً هیدروکربن‌های مصنوعی در یک لزجت معین دارای نقطه جوش با محدوده کمتری از روغن‌های نفتی هستند. در سازش با دیگر سیالات، یعنی زنگ‌زدگی وغیره، انها شبیه روغن‌های معمولی هستند.

دلایل برای آماده سازی هیدروکربن‌های مصنوعی برای استفاده به عنوان روان کننده‌ها، این است که مصنوعات شیمیایی، تولید ساختارها و مشخصه‌های ویژه‌ای می‌کنند و وزن مولکولی می‌تواند در محدوده باریکتری کنترل شود. بنابراین خواصی که تابع وزن مولکولی هستند از قبیل فشار بخار، نقطه جوش، لزجت و مشخصه‌های دمای پایین، می‌توانند

در محدوده های پایین تری کنترل شوند.

۴-۱۷-۲ استرهای آکی^۱

عبارت «استرهای آکی» در مورد موادی به کار گرفته می شود که شامل کربن، هیدروژن، و اکسیژن بوده و دارای یک استر یا ارتباط کاربوكسیل در مولکول هستند. گسترده ترین آنها به عنوان روان کننده ها، از دو گروه استر و اسیدهای دوپایه ای ساخته می شوند و عموماً «دایستر^۲» نامیده می شوند. دایسترهای گسترده ترین روان کننده های مصنوعی مصرفی هستند.

استرهای خاصیت های متعادل همه جانبه خوب، بخصوص در محدوده مایعات و مشخصه های لزجت- اشتعال دارند. آنها دارای لزجت نسبتاً خوبی هستند؛ زیرا با مواد افزونی سازش دارند. استرهای آکیفاتیک از نظر حرارتی تا حدود ۲۶۰°C پایدار بوده ولی به مقدار زیادی در مقابل اکسیداسیون بالای ۱۴۹°C، آسیب پذیر هستند. این باعث افزایش در لزجت شده و تولید روغن حل نشدنی و مقدار زیادی اسید یا مواد زنگ زدنی می کند.

استرهای پولیول^۳ توسعه داده شدن تا پایداری حرارتی دایسترهای را در ضمن نگهداری دیگر خواص آنها، بهتر نمایند. به هر حال آنها عملکرد ضعیف تری در دمای پایین دارند. استرهای پولیول در کاربردهای دیگری که لزوم افزایش پایداری حرارتی وجود دارد، به کار گرفته می شوند.

۴-۱۷-۳ پولی گلیکولز^۴

از این گروه پولی الکلین گلیکولها به طور گسترده ای مورد استفاده قرار می گیرد. آنها پلیمرهای با وزن مولکولی بالا از اتیلن یا اکسید پروپیلن قابل دسترس در محدوده وسیعی از لزجت هستند. بعضی از پلیمرها کاملاً در آب حل شدنی هستند و غالباً رقیق شده و به عنوان سیالات هیدرولیکی مقاوم در مقابل آتش یا روان کننده ها مورد استفاده قرار می گیرند. نوع دیگری از پولی گلیکول در آب حل نشدنی است و به عنوان یک روان کننده استفاده می شود.

1- Organic esters

3- polyol esters

2- Diester

4- Polyglycols

جلد ۱۷ - درجه بندی مقاومت ای رسان گنترهای صنعتی

Class

Property*

	Viscosity-temperature relationship	Liquid temperature range	Low-temperature properties	Thermal stability	Oxidative stability	Hydrolytic stability	Fire resistance	Lubricating ability	Bulk modulus	Volatile	Radiation resistance	Density	Handling and storage
Petroleum oils	G	G	G	F	G	E	L	G	A	H	L	G	
Superrefined petroleum oils	E	G	G	F	F	E	L	G	A	H	L	G	
Synthetic hydrocarbons	G	G	G	G	G	E	L	H	A	A	H	L	
Organic esters	G	E	F	F	F	E	L	H	A	A	H	L	
Polyglycols	G	G	P	G	G	E	L	H	A	A	H	L	
Polyphenyl esters	P	G	P	G	G	E	L	H	A	A	H	L	
Phosphate esters, alkyl	G	G	F	G	F	H	H	H	A	A	H	L	
Phosphate esters, aryl	F	P	P	G	G	F	H	H	A	A	H	L	
Silicate esters and polysiloxanes	E	E	E	E	F	P	L	F	A	A	H	L	
Silicones	G	G	G	F	G	E	L	P	L	A	H	L	
Halogenated polyaryls	G	G	F	G	G	E	H	G	H	H	H	L	
Fluorocarbons	F	F	G	G	F	H	P	P	A	A	F	G	
Perfluoropolyethers	F	G	G	G	G	H	G	G	L	L	H	G	

* Ratings: E = excellent, G = good, F = fair, P = poor, H = high, L = low, A = average.

پولی گیلکولها روان کننده های عالی بوده و با مواد اضافه شونده سازش خوبی دارند . آنها نفاط اشتعال بالا ، خواص لزجت - دمای خوب ، نفاط ریزش بدون موم پایین و پایداری برشی دارند . آنها بر روی موادی که به صورت معمول آب بندی شده اند اثر سوء نداشته ؛ ولی عمل حل کننده قوی ، در مقابل رنگ بدون مقاوم دارد . قابل اشتعال بودن می تواند بخصوص تحت شرایط اکسید کننده و حرارتی ، یک مسأله باشد . مشخصه های پایداری آنها حتی از اضافه شدن مواد مناسب ، در میان مصنوعات عالی نیستند . مشخصه های مقاومت در مقابل زنگ آنها عموماً ضعیف است .

پولی گلیکوزها به عنوان روان کننده های صنعتی در کاربردهای تولید لاستیک ، به عنوان روان کننده ها در ماشین کاری ، به عنوان روان کننده برای مواد آب بندی لاستیکی ، و در کابرد های انتقال حرارت استفاده می شوند .

۴-۱۷-۴ استرهای فوسفاته

استرهای فوسفاته گروهی از ترکیبات شیمیایی همه جانبه با مشخصه های شیمیایی و فیزیکی معتبر هستند . پایداری اکسیداسیون بیشتر استرهای فوسفاته خوب و پایداری حرارتی آنها در دماهای میانی ، عالی ؛ ولی در دماهای بالاتر ، ضعیف تر است . در محیط های با شرایط سخت ، شکست حرارتی گسترده ، اکسیداسیون ، یا هیدرولیکی استرهای فوسفاته می تواند مواد اسیدی تولید کند که فلزات را می خورد . از خواص عالی استرهای فوسفاته ، پایداری آنها در مقابل روان کاری سطوح در حال حرکت و مقاومت خوب آنها در مقابل آتش است . آنها به عنوان تنها مؤلفه یا به عنوان مؤلفه اصلی روان کننده های مصنوعی و سیالات هیدرولیکی مورد استفاده قرار می گیرند . همچنین به عنوان مواد اضافه شونده در روان کننده های مصنوعی و روغن های نفتی به صورت گسترده ای استفاده می شوند . استرهای فوسفاته احتیاج به ملاحظات ویژه نسبت به سازگاری مواد دارند . فراهم آوردن یک ماده مناسب برای عملکرد موقتی آمیز ، امری حیاتی است .

۴-۱۷-۵ ترکیبات سیلیکون دار

یکی از قسمتهای پر بارتر تحقیقات در تعديل کربن ، هیدروژن و ترکیبات اکسیژن ، افزودن سیلیکون به مولکول آنها است .

۱-۱۷-۵-۱ استرهای سیلکاته

این مصنوعات به عنوان مواد مصرفی اصلی برای سیالات با محدوده وسیع دما و روان کننده‌ها مورد استفاده قرار گرفته‌اند. آنها مشخصه‌های لزجت- دمای عالی و خواص روان کنندگی خوبی دارند.

۱-۱۷-۵-۲ سیلیکونها

سیلیکونهای با نام مناسب «پلیمرهای سیلکاته» با طبیعت موادی که مستقیماً به اتمهای سیلیکون اتصال دارند، مشخص می‌شوند. سیلیکونهای دی‌متیل با نقاط انجام‌داد پایین و احتمالاً بهترین خواص لزجت- دما ، در هر روان کننده مصنوعی مشخص می‌شوند. آنها خواص اکسیداسیون و حرارتی بهتری از هیدروکربنهای مربوطه ، پولی گلیکوز ، یا دوستری‌های آلیفاتیک دارند. سیلیکونها در موقع تجزیه شدن بخصوص دمای 200°C تشکیل ژله می‌دهند. وقتی که سیالات مناسب در دمای 315°C مورد استفاده قرار گیرند، احتمال پایداری دارد. سیلیکونهای دی‌متیل از نظر شیمیایی غیرفعال، ضدخوردگی و خشی نسبت به بیشتر پلاستیکهای متداول ، الاستوفرها و رنگها هستند که دارای تنش سطحی پایین و برشی پایداری می‌باشند. اشکال اصلی آنها فقدان قدرت روان کنندگی برای سطوح فولاد به فولاد است. آنها پاسخگویی نسبتاً ضعیفی در مقابل مواد اضافه شونده روان کننده‌های معمولی دارند. خواص روان کنندگی سیلیکونها را می‌توان با افزودن کلورین یا فلورین به مولکول آنها ، بهتر کرد.

۱-۱۷-۵-۳ سیلن‌ها^۱

سیلن‌ها ترکیباتی هستند که فقط شامل پیوندهای کربن- سیلیکون هستند. این ترکیبات محدوده وسیعی از سیالات و پایداری حرارتی تا 370°C را شامل می‌شوند؛ ولی برای سطوح لغزشی روان کننده‌های ضعیفی هستند.

۱-۱۷-۶ ترکیبات هالوژن دار

افزودن اتمهای هالوژن در مولکولهای آکی ، باعث بالا رفتن جرم مخصوص و پایین آمدن نقطه اشتعال نسبت به ترکیب مادر آنها می‌شود. کلورین باعث افزایش نقطه ریزش و

لرجهت می شود . فلورین ، اثربکمی روی نقطه ریزش یا لزجت دارد ، ولی تنش سطحی به مقدار زیادی کاهش می دهد .

به خاطر این که پیوندهای کربن کلورین - آلفاتیک عموماً ضعیف هستند ، ترکیبات کلورین آلفاتیک دار استفاده کمی در روان کننده های مصنوعی دارند . آنها به عنوان مواد اضافه شونده در روان کننده ها استفاده می شوند تا یک منع کلورین که می تواند با سطح واکنش داشته باشد ، فراهم شود و بدین ترتیب روان کاری مرزی را بهتر می کند .

مواد فلورین دار به طور ویژه کاربردی به عنوان روان کننده پیدا نکرده اند ، زیرا بر مبنای قیمت در عمل نکرد ، می توان مواد دیگری جایگزین کرد .

۴-۱۷-۷ پولی آریلهای هالوژن دار

کلورین دارای بایفنیلهای را و پولی فنیلهای را ، مواد استفاده ای به عنوان روان کننده پیدا کرده اند . این تولیدات از مایعات قابل حرکت تا جامدات ساکن ، تشکیل می شوند . در گذشته اینها ، موارد استفاده ای به عنوان روان کننده ، عامل انتقال حرارت ، روان کننده های صنعتی و مواد اضافه شونده داشتند ؛ ولی این موارد استفاده در حال حاضر به دلیل پتانسیل مسایل طبیعی ، منع ای است . نام رایج این مواد "PCB" است .

۴-۱۷-۸ فلوروکربنها

فلوروکربنها ترکیباتی شامل فلورین و کربن هستند . این ترکیبات به عنوان مواد روان کننده مصنوعی ساخته و پیشنهاد شده اند . عموماً آنها از لحاظ حرارتی و اکسیداسیون پایدار بوده و خواص فیزیکی کاملاً مشابهی با هیدروکربنهای مربوطه دارند ؛ ولی جرم مخصوص آنها بالاتر و تنش سطحی پایین تری دارند . آنها تماشی به خوش روی سطوح دارند ، ولی به نظر نمی رسد که این سطوح را بر اساس روان کاری مرزی ، تر کنند . این چنین ترکیباتی بخصوص کاربرد بخصوص داشته و بیشتر بخاطر غیرفعال بودن آنها از لحاظ شیمیایی است . این ترکیبات در مقابل جرقه توسط هر منبع مقاوم هستند و معرف بعضی از شناخته شده ترین ترکیبات آنی مقاوم در مقابل آتش می باشند .

مطالعات اخیر ، بر روی پلیمرهای ترافلور و اتیلن^۱ متمرکز شده است . اینها

به عنوان سیالات مقاوم در برابر اکسیژن-مایع ، روان کننده‌ها و روغنها به کار رفته‌اند . گرچه نه تنها فلوروکربنها ، بلکه پلیمرهای کلروتری فلورواتیلین کاربردهای پسادا کرده‌اند و روان کننده‌های بهتری از فلوروکربنها هستند ؛ زیرا کلورین با فلزات ، از فلورین بیشتر واکنشی است . این مواد عموماً خواص شبیه خواص فلوروکربنها داشته ، ولی از پایداری کمتری برخوردارند .

۴-۱۷-۹ پرفلوروپولی گلیکولها^۱

پرفلوروپولی گلیکولها پولی الکلین گلیکولهایی هستند که در آن تمام هیدروژنهای ، با فلورینها تعویض شده‌اند . انواع این تولید از اکسیدپرولین مشتق شده و جهت چند کاربرد ، تحت مطالعه هستند ، امتیاز اولیه آنها ، پایداری حرارتی بالا ، مقاومت زیاد در مقابل آتش ، محدوده نسبتاً خوب مایع ، و مشخصه‌های روان کننده‌گی متوسط هستند . به هر حال این مواد در روبرویی با بعضی از فلزات با دمای بالا ، قادر پایداری بوده و چگالی بزرگ داشته و با مواد اضافه شونده متداول آمیزش خوبی ندارند . جهت بهترنمودن عملکرد این زمینه‌ها ، مطالعاتی در دست انجام است .

۴-۱۸ مواد مصرفی چربی

یک چربی نفتی ، یک روغن روان کاری است که به آن یک غلیظ کننده ، معمولاً یک صابون فلزی ، افزوده شده است . نوع غلیظ کننده‌ای که افزوده می‌شود ، تعیین کننده مشخصه‌های چربی است . وقتی که کاربرد مداوم تهیه یک روان کننده غیرعملی باشد ، چربیها بر روان کننده‌های مایع ترجیح داده می‌شوند . چربیها همچنین در زمانی که وسایل به سادگی قابل دسترس نیستند و محفظه در بسته‌ای برای یک روان کننده مایع وجود ندارد ارجحیت دارند .

۴-۱۸-۱ غلیظ کننده‌ها

پارامتر اصلی مؤثر در خواص یک چربی روان کننده ، غلیظ کننده به کار گرفته شده در آن است . غلیظ کننده‌ها ۵ تا ۱۷ درصد فرمول ساده یک چربی را تشکیل می‌دهند .

نود درصد تمام چربیهای فروخته شده در ایالات متحده بر مبنای ماده به نام «صابون فلزی» است . صابونهای استفاده شده در چربیها روان کننده در ضمن ساخت چربی توسط صابونی کردن (خشی کردن) چربیها تولید می شوند . ترکیباتی که (خشی کننده) بیشتر از همه استفاده می شوند هیدروکسیدلیتیوم ، کلسیم ، سدیم ، باریم ، و آلومنیوم هستند . ترکیبات صابونی کننده شامل تالو ، روغن پیه خوک ، روغنها و چربیهای هیدروژنه ، روغن ماهی ، اسیدهای چربی و روغنها گیاهی می باشند . دواسید چربی رایج ، استریک و هایدروکسی استریک ۱۲ هستند .

در ضمن ساخت چربی ، روغن و اسیدهای چربی از ۱۳۵ تا 150°C حرارت داده می شوند که در آن زمان ترکیب آلکالین افزوده شده و صابونی شدن اتفاق می افتد . آب به دست آمده از واکنش شیمیایی جوشانده می شود .

مقدار اسید چربی و هیدروکسید فلز اضافه شده به روغن ، تعیین کننده مقدار صابون تشکیل شده است . صابون غلیظ کننده است . عمل غلیظ سازی متوجه ، در صنعت چربی به نام «قوام» معروف است . قوام اندازه گیر سختی یا نرمی چربی است .

انواع غلیظ کننده های اصلی و خواص مربوط به آنها ، در متن آینده به تفصیل آمده است . خواص تشریح شده برای هر غلیظ کننده به صورت معمول است ، ولی در بعضی فرمولها ، آنها ممکن است که به خاطر اثر مؤلفه های چربی دیگر به شدت تغییر کنند .

۱-۱-۴-۴ صابون کلسیم پایدار شده با آب (غلیظ کننده نوع فتجانی)
معمولآً این غلیظ کننده بر مبنای استریت کلسیم پایدار شده با آب است . این عمل یک چربی کره مانند با مقاومت عالی در مقابل آب ایجاد می کند . ولی کار آن تا حدود 80°C است ؛ زیرا در دماهای بالاتر ، آب پایدار کننده از بین رفته و باعث می شود که صابون از روغن جدا شود . این نوع چربی اصولاً برای کاربردهای نه چندان سخت به کار گرفته می شود .

۱-۱-۴-۵ صابون انهايدروس-كليسيم^۱
معمولآً ، این غلیظ کننده کلسیم هایدروکسی استریت ۱۲ است . چربیها با این غلیظ کننده شبیه تولیدات از نوع فتجانی هستند . ولی چون آنها برای پایدار کردن سیستم احتیاج

به آب ندارند ، محدوده دمای کاری بالاتری داشته که معمولاً حدود 120°C است . در حدود 145°C آنها ذوب می شوند که غالباً به دو فاز صابون و روغن جدا می شوند . به طور متداول این چنین چربیها برای یاتاقانهای با اجزاء چرخنده که در آنها دماهای خیلی بالا اتفاق نمی افتد ، به کار گرفته می شوند .

۴-۱۸-۱-۳ صابون سدیم

چربیهای صابون سدیم ، معمولاً سدیم استریت یا مواد مشابه را به کار می گیرند . آنها نسبت به انواع دیگر غلیظ کننده ها ، فیبری هستند . معمولاً تا حدود 120°C قابل استفاده هستند و نقطه ذوب آنها در محدوده $150\text{--}230^{\circ}\text{C}$ است . اگرچه غلیظ کننده مقداری حالت ضدزنگ فراهم می آورد ، مقدار زیاد آکودگی آب باعث شسته شدن این چربیها به خارج می شوند . چربیهای صابون سدیم همچنین عموماً قادر مقاومت اکسیداسیون لیتیوم و چربیهای رسی هستند . آنها معمولاً در ذورنالهای ساده و یاتاقانهای لغزشی و چرخ دنده ها به کار می روند . بعضی از تولیدات فیبری کوتاه را می توان در چربیها برای یاتاقانهای با اجزاء چرخنده به کار گرفت .

۴-۱۸-۱-۴ صابون لیتیوم

این غلیظ کننده معمولاً لیتیوم هایدروکسی استریت است . صابونهای لیتیوم قابل استفاده ترین نوع چربی هستند . آنها به حالت کره ای بوده و دارای نقطه ذوب حدود 195°C هستند . وقتی که ذوب شده و دوباره خنک شوند ، به حالت چربی بر می گردند (گرچه خواص چربی دوباره سرد شده با چربی ذوب نشده متفاوت است) . چربیهای صابون سدیم همچنین مقاوم در برابر آب ، اکسیداسیون و کار مکانیکی هستند . بیشتر فرمولها برای مدت طولانی در 120°C کار می کنند و بعضی برای مدت های متمادی تا حدود 165°C کار خواهند کرد . آنها به صورت گسترده به عنوان چربیهای چندکاره مورد استفاده قرار می گیرند و مخصوصاً مناسب برای یاتاقانهای با اجزاء چرخنده هستند . استفاده چربیهای صابون سدیم تعداد چربیهای روان کننده پیچیده ویژه که در کارگاههای ساخت جدید مورد لزوم است ، را کاهش می دهند .

۱-۴-۳-۴ صابونهای پیچیده

غلیظ کننده های صابون مختلط عموماً توسط واکنش چندین اسید کاملاً متفاوت با آلکالی تشکیل می شوند . برای مثال چربیهای صابون پیچیده کلسیم می تواند از کلسیم ۱۲ هایدروکسی استریت و کلسیم استیت تشکیل شوند . چربیهای ضخیم شده با صابون پیچیده کلسیم ، صابون پیچیده لیتیوم ، و صابون کلسیم آلمینیوم نسبتاً متداول بوده و بعضی دیگر به صورت غیر مدام استفاده می شوند . امتیاز اساسی بیشتر صابونهای پیچیده غلیظ کننده ، نقطه ذوب بالای آنها می باشد که معمولاً حدود 260°C یا بالاتر است . این موضوع سبب کارآیی آنها در دمای زیاد و گاهی بیشتر از نقطه ذوب غلیظ کننده های صابون ساده خواهد شد و به همین دلیل است که امروزه مورد استفاده زیادی دارند . عموماً اگر این چربیها در سرویسهای حدود بالای 120°C استفاده شوند ، روان کاری مجدد مورد نیاز است ، مگر این که این تولید به صورت ویژه برای سرویسهای با دمای بالا فرموله شده باشد .

۱-۴-۴-۴ پولی اوریها^۱

پولی اوریها غلیظ کننده های غیر صابونی هستند که جانشین اوریهای پلیمر شده می شوند . آنها مانند صابونهای پیچیده معمولاً در حدود 260°C ذوب و در سرویسهای مشابه استفاده می شوند .

۱-۴-۴-۵ غلیظ کننده های رسی

این غلیظ کننده ها عموماً بنتونیت^۲ یا هکتوریت^۳ رس هستند که به گونه ای به صورت شیمیایی ساخته شده اند که باعث غلیظ شدن روغن گردند . جنبه اصلی چربیهای رسی غلیظ کننده این است که ذوب نمی شوند . بنابراین این چربیها را می توان در مواردی استفاده نمود که دما گاهی اوقات از نقاط ذوب دیگر غلیظ کننده ها می گذرد . پایداری اکسیداسیون آنها عموماً بهتر از تولیدات نفتی دیگر نیست . بنابراین اگر این چربیها در سرویسهای بالای حدود 120°C استفاده شوند ، روان کاری مرتباً لازم است ، مگر این که این تولیدات به طور بخصوص برای سرویس در دمای بالاتر ساخته شده باشد .

1- Polyureas

2- Bentonite

3- Hectorite

۴-۱۸-۲ روغن روان کاری کننده

روغن روان کاری کننده عمده ترین کاریک چربی روان کاری کننده است . چربیهای ساده ، فقط روغن و غلیظ کننده ، معمولاً شامل ۹۵ تا ۶۵ درصد روغن است ؛ ولی خواص نگهدارنده چربی و همچنین مقاومت آن در مقابل حرارت ، آب و بارهای زیاد بستگی به نسبت نوع صابون داشته و مشخصات اصطکاکی چربی بر اساس روغن موجود در آن است . مهمترین خواص روغن که تأثیر در عملکرد کلی چربی دارند ، به ترتیب زیر می باشند :

۱- لزجت و مشخصه های لزجت - دما ، که تأثیر در توان یک چربی برای تشکیل یک فیلم روان کننده برای سرویس و همچنین تأثیر در رفتار آن در دماهای پایین دارد .

۲- مقاومت در مقابل اکسیداسیون و مشخصه های تبخیری ، که مؤثر در قدرت یک چربی برای روان کاری کردن در مدت طولانی ، بخصوص در دماهای بالا است .

۳- مشخصه های تأثیرگذارنده در الاستو متراها که تأثیر در سازش داشتن یک چربی با مواد آب بندی کننده در یاتاقانها و دیگر دستگاهها است .

بیشتر چربیها ، یک روغن بر پایه نفتی را به عنوان روغن روان کننده به کار می گیرند ؛ ولی بعضی ، سیالات مصنوعی را استفاده می کنند . دواستریها ، سیلیکونها ، پولیول استرها ، پولی آکلیلن گلیکولها ، و فلورسیلیکونها به طور معمول استفاده می شوند . این سیالات مشخصه های ویژه ای را فراهم می آورند ، از قبیل عملکرد در دمای بالا ، مقاومت شیمیایی و عملکرد در دمای پایین که روغنها نفتی تصفیه شده را اغفال می کند . قیمت آنها به مقدار زیاد ، بالاتر از روغنها نفتی تصفیه شده است .

مشخصه های معمولی بعضی از چربیها در جدول ۴-۱۸ نشان داده شده است . دانستن

این مشخصه ها در تعیین آن که کدام چربی در کاربرد ویژه مورد استفاده قرار گیرد ، مهم است .

در این جدول نقطه افت چربیهای مختلف آمده است . این مشخصه ها نتایج یک آزمایش (D-566 = ASTM D-132 ، D-2265 و IP-51801) را که در دمایی که غلیظ کننده از بین

می رو در را مشخص می کند (ذوب می شود ، آب پایداری را از دست می دهد ، غیره) .

معمول اچربیها نباید برای بالاتر از دمای نقطه افت مورد استفاده قرار گیرند ، ولی خیلی از چربیها حتی نزدیک به آنها نمی توانند استفاده شوند و آن به دلیل محدود بودن پایداری اکسیداسیون روغن مبنایی ، پایداری مواد اضافه شونده و غیره است . مشخصات آزمایش ASTM ، برای آزمایشات توسعه یافته در ایالات متحده ، IP برای انگلیس ، DIN برای آلمان است .

جدول ۴-۱۸ - مشخصه های معمولی چربیهای روان کننده

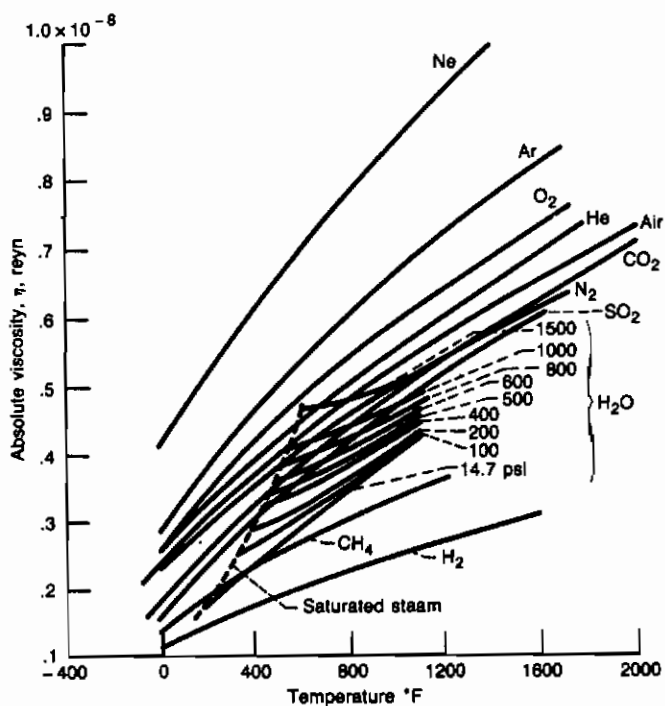
Thickener	Grease solid, percent of total	Texture	Dropping point		Water resistant ?	Mechanical stability	Maximum temperature for continuous use		Relative cost*
			°F	°C			°F	°C	
Soap base:									
Lithium	59.2	Smooth to buttery	375	190	Yes ↓	Fair to good	250	120	3
Calcium:	17.0					Poor to good	150	65	2
Hydrated	9.0	Smooth	190	88		Fair to good	---	---	3
Anhydrous	3.8	Smooth	290	143		Poor to good	300	149	5
Complex	3.8	Smooth	500+	260+	↓	Fair to good	250	120	1
Sodium	5.0	Buttery to fibrous	360	182	No	Poor to fair	150	65	2
Aluminum:	6.0					Fair to good	300	149	4
Normal	.4	Smooth	180	87	Yes ↓	Fair to good	250	120	4
Complex	5.6	Smooth	480	249		Good	300	149	5
Barium	2.6	Buttery to fibrous	400	204		Fair to good	300	149	5
Nonsoap base:									
Clay	2.8	Smooth	500+	260+		Fair to good	300	149	4
Polyurea	2.3	Smooth	470	243		Good	300	149	5
Other	4.9	Smooth	470+	243+	↓	Fair to good	300	149	5

*Cost: 1 = low; 5 = high.

سه قسمت قبلی (۴-۱۶ تا ۴-۱۸) ، با مواد مصرفی در ارتباط با روغنها معدنی ، روغنها مصنوعی و چربیها سر و کار دارند . به دلیل محدودیت کتاب ، صحبتی از مواد اضافه شونده به میان نیاورده ایم . کافی است که بگوییم مواد اضافی قادرند به مقدار خیلی زیادی عملکرد اجزاء ماشین روان شونده را بهتر نمایند .

۴-۱۹ گازها

گازها به نحوی که کاملاً در فصلهای ۱۶ و ۱۷ آمده است همانند چربیها می توانند به عنوان روان کننده استفاده می شوند . در این قسمت بعضی از خواص گازها تشریح خواهد شد . مطابق شکل ۴-۵ ، جالبترین جنبه گازها ، رابطه بین لزجت - دما در آنها می باشد . یعنی لزجت گازها با دما افزایش می یابد و فقط به طور متوسط متأثر از تغییرات در دما و فشار است . برخلاف این وضعیت ، همان طور که قبلًا در این فصل گفته شد ، مایعات به صورت معکوس با دما تغییر می کنند و به طور قوی به تغییرات دما و فشار حساس هستند .



شکل ۴-۱۲- لزجت گازهای معمولی برحسب دما

شکل ۴-۱۲ لزجت گازهای متداول برحسب تابعی از دما را نشان می‌دهد. لزجت هوا در محدوده میانی این گازها قرار دارد. هیدروژن پایین‌ترین و نشوون بالاترین مقدار را دارد. اطلاعات داده شده در شکل ۴-۱۲، در جدول ۴-۱۹ برای محدوده کاملی از دما مشخص شده‌اند. به علاوه داده‌های لزجت، جدول ۴-۱۹، همچنین دمای جوش و ثابت گاز را می‌دهد. جدول ۴-۲۰ نشان می‌دهد که چگونه خواص گازها و مایعات فرق می‌کنند. فقط تعداد کمی از مایعات مختلف و گازها برای نمایش این تفاوت‌ها نشان داده شوند. توجه داشته باشید که جدولهای ۴-۱۹ و ۴-۲۰ و نیز شکل ۴-۱۲ برحسب واحدهای انگلیسی، بجای واحدهای SI هستند. جدول ۴-۶ کمک خوبی برای تبدیل به SI است.

جدول ۴-۱۹ - لزجت گازهای مختلف در ۱۴.۷ psia

Temperature °F	°R	Absolute viscosity, η , lbf s/in. ² (rey/n)							Xe
		Air	Ar	CO ₂	H ₂ O	He	Kr	N ₂	
-290	180	1.07 × 10 ⁻⁹	1.27 × 10 ⁻⁹	0.74 × 10 ⁻⁹	1.49	1.45 × 10 ⁻⁹	2.27	2.50 × 10 ⁻⁹	1.05 × 10 ⁻⁹
-100	360	1.97	2.41	—	—	2.96	3.67	2.57	1.91
80	540	2.68	3.32	2.20	—	3.56	4.69	3.15	2.50
260	720	3.29	4.10	2.84	2.08 × 10 ⁻⁹	4.11	5.61	3.66	2.95
440	900	3.84	4.80	3.41	2.59	4.11	5.61	3.66	3.35
620	1080	4.34	5.44	3.93	3.12	4.62	6.46	4.14	4.38
800	1260	4.80	6.04	4.41	3.64	5.11	7.23	4.57	4.38
980	1440	5.24	6.59	4.86	4.17	5.56	7.95	4.99	5.50
1160	1620	5.64	7.11	5.29	4.69	6.00	8.65	5.39	5.50
1340	1800	6.05	7.60	5.70	5.20	6.43	9.30	5.75	5.75
1520	1980	6.44	8.09	6.09	5.70	6.84	9.92	6.13	6.13
1700	2160	6.80	8.55	6.45	6.19	7.23	10.52	6.49	6.49
2600	3060	8.55	11.82	8.14	8.41	9.05	13.26	8.14	8.14
Boiling temper- ature, °R	—	—	147.2	—	67.2	7.9	219.2	139	48.7
Gas constant, in. ² (ft ²)°R)	2.47 × 10 ⁵	1.79 × 10 ⁵	1.63 × 10 ⁵	39.8 × 10 ⁵	17.9 × 10 ⁵	0.85 × 10 ⁵	2.55 × 10 ⁵	3.54 × 10 ⁵	0.55 × 10 ⁵

جدول ۴-۲۰ - چند خاصیت از مایعات و گازهای متداول در 68°C و 14.7 psia

Liquid or gas	Force density, ρ , lbf $\text{s}^2/\text{in.}^4$	Absolute viscosity, η , lbf $\text{s}/\text{in.}^2$ (reyn)	Kinematic viscosity, η_k , in. $^2/\text{s}$	Specific heat, C_p , in. $^{\circ}/\text{F}$	Thermal conductivity, K_f , lbf/s $^{\circ}\text{F}$
Liquids					
Carbon tetrachloride	1.48×10^{-4}	1.41×10^{-7}	9.52×10^{-4}	1.87×10^3	2.4×10^{-2}
Glycerine	1.18×10^{-4}	1.25×10^{-4}	1.06	5.4×10^3	3.54×10^{-2}
Olive oil	8.49×10^{-5}	1.22×10^{-5}	1.44×10^{-1}	4.4×10^3	2.10×10^{-2}
Lubricating oil	8.02×10^{-5}	4.44×10^{-5}	5.54	4.7×10^3	1.83×10^{-2}
Water	9.33×10^{-5}	1.46×10^{-7}	1.56×10^{-3}	9.32×10^3	7.50×10^{-2}
Gases					
Air	1.15×10^{-7}	2.62×10^{-9}	2.28×10^{-2}	2.24×10^3	3.22×10^{-3}
Helium	1.61×10^{-8}	2.85×10^{-9}	1.77×10^{-1}	1.17×10^3	2.4×10^{-2}
Hydrogen	8.08×10^{-9}	1.31×10^{-9}	1.62×10^{-1}	3.20×10^4	2.29×10^{-2}
Nitrogen	1.12×10^{-7}	2.56×10^{-9}	2.28×10^{-2}	2.32×10^3	3.11×10^{-3}

۴-۲۰ مؤخره

در این فصل خواصی از روان کننده‌ها که در روان کاری فیلم سیال مهم هستند، تشریح شد. چون روغنهای روان کننده از نفت مشتق می‌شوند، که شامل ترکیبات کربن و هیدروژن هستند، مبنای شیمی به صورت خلاصه بحث شده است. در روغن کاری فیلم سیال، مهمترین خاصیت فیزیکی یک روان کننده، لزجت است. لزجت یک سیال مربوط به مقاومتش در مقابل جاری شدن، یعنی با مقاومت پیداشونده از نیروهای بین مولکولی و اصطکاک داخلی ضمن حرکت آنها از مقابل یکدیگر است. نیوتن نشان داد که نیروی لازم برای نگهداری یک سرعت ثابت « یک صفحه بالایی ضمن این که صفحه پایینی ثابت است، متناسب با مساحت A و گرادیان سرعت یا نرخ برش بود. بنابراین

$$f = \eta A \frac{u}{h}$$

که در آن f ثابت تناسب یا لزجت مطلق است.

همچنین در این فصل نشان داده شد که لزجت به مقدار زیاد متأثر از دما، فشار، و نرخ برشی است. عبارات مناسبی که ارائه دهنده این روابط بودند، تشریح شدند. همچنین اثرات

جسم مخصوص - فشار بحث شده و مفهوم فشار انجام دادنیز معرفی گردید . در این فصل دریافتیم که روان کننده در اتصالات روان کاری شونده به صورت الاستوهدرو دینامیکی تغییرات خیلی زیاد و سریع فشار ، زمان گذاری سریع ، احتمالاً تغییرات دمای زیاد ، و بخصوص در تماسهای لغزشی ، نرخهای برشی بالا را تجربه می کند . مهم بودن این شرایط فرض معمولی رفتار سیال نیوتی را به معرض سوال گذاشته است . مفهوم یک تنش برشی حدی معرفی شده و چند مدل از سیال غیر نیوتی ارائه گردید . این فصل با بحث در مورد روغنهای مصرفی مصنوعی ، چربیها ، که همه آنها به عنوان روان کننده ها در روان کاری فیلم سیال استفاده می شوند ، به پایان رسید .

۴-۲۱ مسائل

۴-۲۱-۱ لزجت مطلق یک سیال معین در شرایط آتمسفر برابر با $6 \times 10^{-3} \text{ kg/m}^2 \text{ s}$ نیو، بر حسب واحدهای ذیل ، چه خواهد بود ؟

الف - دین

P₋

ج - lbf.s/in^2

D - N.s/m^2

۴-۲۱-۲ یک سیال سیلیکونی دارای لزجت جهانی سیبیولت برابر ، 1000 SUN در 38°C و 130 SUN در 100°C است . VI این روغن چه می باشد ؟

۴-۲۱-۳ با فرض این که یک جزء ماشین به صورت الاستوهدرو دینامیکی با روغن روان کاری می شود ؛ بعضی از خواص این روغن را که شما دوست دارید بینید ، تشریح کنید آیا مقادیر پایین یا بالا مطلوب هستند ؟

۴-۲۲ فهرست منابع و مأخذ

- Bair, S., and Winer, W. O. (1979): Shear Strength Measurements of Lubricants at High Pressure. *J. Lubr. Technol.*, vol. 101, no. 3, pp. 251-257.
- Barus, C. (1893): Isothermals, Isopiesticas, and Isometrics Relative to Viscosity. *Am. J. Sci.*, vol. 45, pp. 87-96.
- Blok, H. (1965): Inverse Problems in Hydrodynamic Lubrication and Design Directions for Lubri-

- cated Flexible Surfaces. *Proceedings of International Symposium on Lubrication and Wear*, D. Muster and B. Sternlicht (eds.), McCutchan, Berkeley, pp. 1–151.
- Cameron, A. (1976): *Basic Lubrication Theory*, 2d ed. Ellis Harwood Limited, Chichester, England.
- Dean, E. W., and Davis, G. H. B. (1929): Viscosity Variations of Oils With Temperature. *J. Chem. Met. Eng.*, vol. 36, no. 10, pp. 618–619.
- Dowson, D., and Higginson, G. R. (1966): *Elastohydrodynamic Lubrication: The Fundamentals of Roller and Gear Lubrication*. Pergamon, Oxford.
- Eyring, H. (1936): Viscosity, Plasticity, and Diffusion as Examples of Absolute Reaction Rates. *J. Chem. Phys.*, vol. 4, no. 4, pp. 283–291.
- Gross, W. A. (1980): *Fluid Film Lubrication*. Wiley-Interscience, New York.
- Hamrock, B. J., Jacobson, B. O., and Bergström, S. I. (1987): Measurement of the Density of Base Fluids at Pressures to 2.2 GPa. *ASLE Trans.*, vol. 30, no 2, Apr., pp. 196–202.
- Hatton, R. E. (1973): Synthetic Oils. *Interdisciplinary Approach to Liquid Lubricant Technology. NASA Spec. Publ. 318*, P. M. Ku (ed.), pp. 101–135.
- Herschel, W. H. (1918): Standardization of the Saybolt Universal Viscosimeter. *Tech. Pap. 112, Nat. Bur. Stands*.
- Hess, F. C. (1981): *Chemistry Made Simple*. Heinemann, London.
- Höglund, E., and Jacobson, B. (1986): Experimental Investigations of the Shear Strength of Lubricants Subjected to High Pressure and Temperature. *J. Tribology*, vol. 108, no. 4, pp. 571–578.
- Houptert, L. G., and Hamrock, B. J. (1985): Elastohydrodynamic Lubrication Calculations Used as a Tool to Study Scuffing. *Mechanisms and Surface Distress: Global Studies of Mechanisms and Local Analyses of Surface Distress Phenomena*, D. Dowson et al. (eds.), Butterworths, England, pp. 146–162.
- Jacobson, B. O. (1985): A High Pressure-Short Time Shear Strength Analyzer for Lubricants. *J. Tribology*, vol. 107, no. 2, pp. 220–223.
- Jacobson, B. O., and Hamrock, B. J. (1984): Non-Newtonian Fluid Model Incorporated into Elastohydrodynamic Lubrication of Rectangular Contacts. *J. Tribology*, vol. 106, no. 2, pp. 275–284.
- Jeng, Y. R., Hamrock, B. J., and Brewe, D. E. (1987): Piezoviscous Effects in Nonconformal Contacts Lubricated Hydrodynamically. *ASLE Trans.*, vol. 30, no. 4, pp. 452–464.
- Jones, W. R., et al. (1975): Pressure-Viscosity Measurements for Several Lubricants to 5.5×10^8 Newtons Per Square Meter (8×10^4 psi) and 149°C (300°F). *ASLE Trans.*, vol. 18, no. 4, pp. 249–262.
- Klamann, D. (Killer, A., transl.) (1984): *Lubricants and Related Products*. Verlag Chemie, Weinheim.
- Litt, F. A. (1986): Viscosity Index Calculations. *Lubr. Eng.*, vol. 42, no. 12, pp. 752–753.
- Newton, I. (1687): *Philosophiae Naturales Principia Mathematica*. Revised and supplied with a historical and explanatory appendix by F. Cajori, edited by R. T. Crawford (1934), and published by the University of California Press, Berkeley and Los Angeles (1966).
- Pugh, B. (1970): *Practical Lubrication*. Newnes-Butterworths, London.
- Roelands, C. J. A. (1966): *Correlational Aspects of the Viscosity-Temperature-Pressure Relationship of Lubricating Oils*. Druk, V. R. B., Groningen, Netherlands.
- Svehla, R. A. (1962): Estimated Viscosities and Thermal Conductivities of Gases at High Temperatures. *NASA Tech. Rep. R-132*.
- Winer, W. O., and Cheng, H. S. (1980): Film Thickness, Contact Stress and Surface Temperatures. *Wear Control Handbook*, ASME, New York, pp. 81–141.

فصل پنجم

مواد یاتاقان

پارامتر دیگری که می‌تواند در عملکرد موفقیت آمیز اجزاء تریبولوزی مؤثر باشد، جنس مواد جامد استفاده شده است. اگر یاتاقانها بخواهند که به صورت موفقیت آمیز کار کنند، باید مواد به کار گرفته شده در این یاتاقانها دارای مشخصه‌های ویژه‌ای باشند. بعضی از مشخصه‌های مطلوب، که در این فصل بررسی خواهند شد، عبارتند از: سازگاری با مواد سطح متقابل تماسی، جا دادن ذرات آشغال و ذرات حاصل از ساییدگی، قابلیت تطابق عملکرد یاتاقان در شرایط کاری خارج از محوری، اشتباها هندسی و تغیر مکان ساختاری، پایداری حرارتی، مقاومت در مقابل خوردگی و مقاومت در مقابل خستگی.

۱-۵ مشخصه‌های مواد

انتخاب جنس یاتاقان برای کاربرد بخصوص بستگی دارد به:

- ۱- نوع یاتاقان (ژورنال، کف گرد، ساقمه‌ای ، غیره)
- ۲- نوع روان کننده (چربی، روغن، آب، گاز، غیره)
- ۳- شرایط محیط اطراف (درجه حرارت ، فشار ، غیره)

هیچ ماده‌ای به تنهایی نمی‌تواند تمام احتیاجات یک ماده یاتاقانی خوب را برآورده سازد. بنابراین، انتخاب جنس یاتاقان در کاربرد موردنظر از اهمیت زیادی برخوردار بوده و باید براساس مشخصه‌های در نظر گرفته شده باشد.

۱- صلگاری

گرچه یک یاتاقان هیدرودینامیکی با کارکرد مناسب، یاتاقانی است که در آن محور و یاتاقان توسط فیلم روان‌کننده از یکدیگر جدا شوند، ضمن عمل موقعیت‌های وجود دارند که محور و یاتاقان تماس پیدا می‌کنند. نقاط برجسته روی محور و یاتاقان به یکدیگر ماییده شده و حرارت دادن محلی اتفاق افتاده، نقاط برجسته جوش خورده و این جوش‌های میکروسکبی می‌توانند بشکنند. این سری اتفاقات باعث خسارت به مواد محور و یاتاقان می‌شوند. قابلیت مقاومت ترکیب این مواد در مقابل جوش و خراش، مقدار سازگاری آنها است.

۲- قابلیت جاددن

ذرات آشغال و یا دیگر ذرات خارجی، ضمن عمل یاتاقانها توسط روان‌کننده و توسط چرخش محور به داخل محوط لقی یاتاقان حمل می‌شوند. اگر این ذرات آشغال نتوانند در ماده یاتاقان جا داده شوند، باعث خسارت ناشی از خراشیدگی می‌شوند. قابلیت جا دادن یا جذب این ذرات، مشخصه قابلیت جاددن ماده یاتاقان را تعیین می‌کند.

۳- قابلیت تطابق

همان طور که از معنی کلمه پیداست، قابلیت تطابق عبارت از اندازه قابلیت ماده یاتاقان در مطابقت دادن خود به خارج از محوری بین محور و یاتاقان، یا مربوط به خطاهای هندسی حاصل از ساخت اجزاء آن می‌باشد. معمولاً مواد یاتاقان با مدول کشسانی پایین (E کم) به آسانی قابلیت تطابق دارند.

۴- مفهوم در مقابل خوردگی

جنس یاتاقان باید در مقابل حمله روان‌کننده یا هر تولید اکسیداسیون حاصله ضمن تجزیه روان‌کننده قابلیت مقاومت داشته باشد. برای مثال، روغن‌های روان‌کننده بدون کنترل اکسیداسیون، تولید اسیدهای آگی می‌کنند که بعضی از مواد یاتاقانی را می‌خورند. انتخاب مواد در حالتی که روان‌کننده آب است، لزوماً محدود به مواد ضد زنگ هستند.

۵- مفهوم در مقابل فستگی

در کاربردهایی که در آن بار تغییر جهت داده یا در آن شدت بار به صورت دوره‌ای تغییر

می‌کند، مقاومت بالا در مقابل خستگی لازم است. شکستهای ناشی از خستگی ابتدا به صورت ترک در سطح یاتاقان ظاهر می‌شود. این ترکها در سرتاسر ماده یاتاقان منتشر شده و به ترکهای دیگر ملحق شده و در نتیجه باعث جداسدن قسمتهای مختلف ماده یاتاقان می‌شوند. مقاومت در مقابل خستگی، بخصوص دمورد بارگذاری دوره‌ای مهم است.

۶- پایداری حرارتی و بُعدی

مشخصه‌های حرارتی ماده یاتاقان بستگی به اتفاف حرارتی و تغییر شکل حرارتی مهم هستند. ضریب هدایت حرارتی K_r ماده یاتاقان وقتی که شرایط روان کاری هیدرودینامیکی نمی‌تواند رعایت شود، باید به اندازه کافی بالا باشد تا اتفاف بیشینه حرارت تولید شده اصطکاکی را تضمین کند. ضریب انبساط حرارتی خطی α باید در محدوده کلی طراحی قابل قبول باشد، به طوری که اثرات تغییرات دما زیان آور نباشند. مقادیر K_r و α در قسمت ۵-۶ داده می‌شوند. حتی اگر یک ماده این مشخصه‌های مطلوب را داشته باشد، شرایط ارزش قابل قبول و فراهم بودن ماده نیز باید رعایت شوند.

جدول ۱-۵- خواص و مشخصه‌های فلزات مختلف یاتاقان همیسی

Bearing metal	Brinell hardness number		Load-carrying capacity		Maximum operating temperature		Fatigue strength*	Antiseizure ^a property	Conformability and embeddability ^a
	Room temperature	149 °C (300 °F)	MPa	psi	°C	°F			
Tin-base babbitt	20-30	6-12	5.5-10.4	800-1500	149	300	3	1	1
Lead-base babbitt	15-20	6-12	5.5-8.3	800-1200	149	300	↓	↓	↓
Alkali-hardened lead	22-26	11-17	8.3-10.4	1200-1500	260	500	↓	↓	↓
Cadmium base	30-40	13	10.4-13.8	1500-2000	260	500	↓	↓	↓
Copper lead	20-30	20-23	10.4-17.2	1500-2300	177	350	2	2	2
Tin bronze	60-80	60-70	>27.6	>4000	260+	500+	1	3	3
Lead bronze	40-70	40-60	20.7-31.1	3000-4500	232-260	450-500	1	3	3
Phosphor bronze	75-100	65-100	>27.6	>4000	260+	500+	1	3	3
Aluminum alloy	45-50	40-45	>27.6	>4000	107-149	225-300	2	2	↓
Silver (overplated)	25	25	>27.6	>4000	260+	500+	1	2	↓
Copper-nickel matrix	10	7	13.8	2000	177	350	2	1	2
Trivalent and plated	(b)	(b)	>27.6	>4000	107-149	225-300	↓	↓	↓
Grid type			>27.6	>4000	107-149	225-300	↓	↓	↓
Thin babbitt overlay, 0.051-0.178 mm (0.002-0.007 in.)			13.8	2000	149	300	↓	↓	↓
Conventional babbitt overlays, 0.51 mm (0.020 in.)			10.4	1500	149	300	↓	↓	↓

*This is an arbitrary scale with 1 being the highest rating.

^aApproximately the same as the babbitts.

در جدول ۱-۵، خواص و مشخصه های مواد مختلف یاتاقان عدد سختی برنیل^۱، ظرفیت حمل بار، و دمای بیشینه کاری نشان داده شده اند. در این جدول همچنین درجات مقاومت در مقابل خستگی، خواص ضد شکست، قابلیت هم迪سی، و قابلیت جذبی براساس مقیاس دلخواه که در آن ۱ مطلوبترین است، داده شده اند.

۵-۲ یاتاقانهای فلزی

مواد یاتاقانی برای سطوح هم迪سی به دو دسته اصلی تقسیم میشوند:

۱- فلزات؛ بایتها، برنزها، آلیاژهای آلومنیوم، فلزات متخلخل، و فلزات جایگزین از قبیل نقره، بایتها، و ایندیوم.

۲- غیر فلزات؛ پلاستیکها، لاستیک، گرافیت، چوب، سرامیکها، کاربیدهای سیمانی، اکسیدهای فلزی (مثل، اکسید آلومنیوم) و شیشه.

در اینجا اصول مواد فلزی با جزئیات بیشتری بحث می شود.

۱-۲-۵ آلیاژهای بر مبنای قلع و سرب

بایتها جزو متداولترین مواد مصرفی برای یاتاقانها روان کاری شونده به صورت هیدرودینامیکی هستند. بایتها بر مبنای آلیاژهای قلعی یا سربی بوده و دارای مشخصه های عالی قابلیت جاددن و قابلیت تطابق می باشند. آنها از لحاظ قابلیت سازگاری غیرقابل رقابت بوده و بنابراین از خراش دادن محور جلوگیری به عمل می آورند.

بایتها بر مبنای قلع و سرب ظرفیت حمل بارنستاپایینی دارند. این ظرفیت بامحدودیت متالورژی این آلیاژها به مواد پشتیبانی از قبیل فولاد، چدن یا برنز افزایش می یابد. آستریهای بایت یا به صورت نقطیزیر یا گریز از مرکز به مواد ارزان قالب زده می شوند. مقاومت خستگی با کاهش ضخامت این آستری بایت، افزایش می یابد. داسون^۲ (۱۹۷۹) خاطر نشان می کند که در اوایل این قرن، آستریهای بایت به ندرت کمتر از ۳mm و غالباً حداقل ۶.۴ mm ضخامت داشته اند. احتیاج به فراهم آوردن مقاومت فشاری و مقاومت خستگی کافی درازاء پدیده های دیگری از قبیل قابلیت جاددن و قابلیت تطابق، به تدریج ضخامت این آستریهارا تا ۵۰۰ μm پائین آورد. ضخامت بهینه این لایه یاتاقان بستگی به کاربردان تغییر می کند؛ ولی معمولاً بین ۰.۰۲ و ۰.۱۲ mm است.

جدول ۵-۲ - ترکیب و خواص فیزیکی آلیاژهای یاتاقان فلز سفید

Alloy number ^a	Tin	Antimony	Lead	Copper	Arsenic	Specific gravity ^c	Tin	Antimony	Lead	Copper	20 °C (68 °F)	100 °C (212 °F)	Yield point ^d	
	Specified nominal composition of alloys, percent						Composition of alloys tested, percent							
												MPa	psi	MPa
1	91.0	4.5	-----	4.5	----	7.34	90.9	4.52	None	4.56	30.3	4400	18.3	2650
2	89.0	7.5	-----	3.5	----	7.39	89.2	7.4	0.03	3.1	42.0	6100	20.6	3000
3	84.0	8.0	-----	8.0	----	7.46	83.4	8.2	.03	8.3	45.5	6600	21.7	3150
7	10.0	15.0	Remainder	---	.45	9.73	10.0	14.5	75.0	.11	24.5	3550	11.0	1600
8	5.0	15.0	Remainder	---	.45	10.04	5.2	14.9	79.4	.14	23.4	3400	12.1	1750
15	1.0	16.0	Remainder	---	1.0	10.05	----	----	----	----	----	----	----	----

Alloy number ^b	20 °C (68 °F)		100 °C (212 °F)		20 °C (68 °F)		100 °C (212 °F)		20 °C (68 °F)		100 °C (212 °F)		Melting point ^c	Temperature of complete liquefaction		Proper pouring temperature		
	Johnson's apparent elastic limit ^d				Ultimate strength in compression ^e				Brinell hardness ^f		Temperature of complete liquefaction			Temperature of complete liquefaction		Proper pouring temperature		
	MPa	psi	MPa	psi	MPa	psi	MPa	psi	MPa	psi	°C	°F		°C	°F	°C	°F	
1	16.9	2450	7.2	1050	88.6	12 850	47.9	6950	8.0	17.0	223	433	371	700	441	823		
2	23.1	3350	7.6	1100	102.7	14 900	60.0	8700	12.0	24.5	241	466	354	669	424	793		
3	36.9	5350	9.0	1300	121.3	17 600	68.3	9900	14.5	27.0	240	464	422	792	491	913		
7	17.2	2500	9.3	1350	107.9	15 650	42.4	6150	10.5	22.5	240	464	268	514	338	620		
8	18.3	2650	8.3	1200	107.6	15 600	42.4	6150	9.5	20.0	237	459	272	522	341	643		
15	----	----	----	----	----	----	----	----	13.0	21.0	248	479	281	538	350	662		

^aCompression test specimens were cylinders 1.5 in. (38 mm) in length and 0.5 in. (13 mm) in diameter, machined from chill castings 2 in. (51 mm) in length and 0.75 in. (19 mm) in diameter. The Brinell tests were made on the bottom of parallel machined specimens cast in a mold 2 in. (51 mm) in diameter and 0.625 in. (16 mm) deep at room temperature.

^bData not available on alloys 11 and 13.

^cThe specific gravity multiplied by 0.0361 equals the mass density in pounds per cubic inch.

^dThe values for yield point were taken from stress-strain curves at a deformation of 0.125 percent of gage length.

^eJohnson's apparent elastic limit is taken as the unit stress at the point where the slope of the tangent to the curve is two-thirds its slope at the origin.

^fThe ultimate strength values were taken as the unit load necessary to produce a deformation of 25 percent of the specimen length.

^gThese values are the average Brinell number of three impressions on each alloy, using a 10-mm (0.39-in.) ball and a 500-kg (1102.3 lb) load applied for 30 s.

جدول ۵-۳ - ترکیب شیمیایی آلیاژها در موارد استفاده عمومی تر

Element	Alloy number ^{a,b}								
	Tin base				Lead base				
	1	2	3	11	7	8	13	15	
Chemical composition, percent									
Tin	90.0-92.0	88.0-90.0	83.0-85.0	86.0-89.0	9.3-10.7	4.5-5.5	5.5-6.5	0.8-1.2	
Antimony	4.0-5.0	7.0-8.0	7.5-8.5	6.0-7.5	14.0-16.0	14.0-16.0	9.5-10.5	14.5-17.5	
Lead	.35	.35	.35	.50	Remainder ^c	Remainder	Remainder	Remainder	
Copper	4.0-5.0	3.0-4.0	7.5-8.5	5.0-6.5	.50	.50	.50	.6	
Iron	.08	.08	.08	.08	.10	.10	.10	.10	
Arsenic	.10	.10	.10	.10	.30-.60	.30-.60	.25	.8-1.4	
Bismuth	.08	.08	.08	.08	.10	.10	.10	.10	
Zinc	.005	.005	.005	.005	.005	.005	.005	.005	
Aluminum	.005	.005	.005	.005	.005	.005	.005	.005	
Cadmium	.05	.05	.05	.05	.05	.05	.05	.05	
Total named elements, minimum	99.80	99.80	99.80	99.80	-----	-----	-----	-----	

^aAll values not given as ranges are maximum unless shown otherwise.

^bAlloy 9 was discontinued in 1946 and 4, 5, 6, 10, 11, 12, 16, and 19 were discontinued in 1959. A new number 11, similar to SAE grade 11, was added in 1966.

^cTo be determined by difference.

جداول ۵-۳ و ۵-۴ ترکیب و خواص فیزیکی بعضی از آلیاژهای بر مبنای قلع و سرب را که اخیراً مورد استفاده قرار می‌گیرند، نشان می‌دهند. جدول ۵-۲ نیز اثر مهم دمای درآفزايش خواص مقاومت اين آلیاژها نشان می‌دهد. آلیاژهای با موارد استفاده عمومی تر در جدول ۵-۳ نشان داده می‌شوند. اثر درصدهای متفاوت اجزاء آلیاژی روی خواص مکانیکی و فیزیکی آلیاژهای بر مبنای حلب و سرب می‌تواند قابل ملاحظه باشد. افزایش مس یا سنگ سرمه، سختی و مقاومت کششی را افزایش داده و قابلیت نوردشدن را کاهش می‌دهد. به هر حال افزایشها بیشتر از درصد نشان داده شده در جدول ۵-۳ می‌تواند کاهش مقاومت خستگی را نتیجه دهد.

۵-۲-۲ آلیاژهای بر مبنای مس

دو آلیاژ، یکی شامل ۶۰ درصد مس و ۴۰ درصد سرب و دیگری ۷۰ درصد مس و ۳۰ درصد سرب یا با کمی تفاوت، به عنوان مباد آستری روی یاتاقانهای با جنس فولادی استفاده می‌شوند. این آلیاژها یا به صورت قالب نواری یا تغییر شکل به صورت مصالح نواری در آمده و بنابراین یاتاقانی با ظرفیت محل بار بیشتری از یاتاقان با آستری با آلیاژ با پیوست فراهم می‌آورند. آنها همچنین دارای مقاومت خستگی بالاتر بوده و می‌توانند در دمای بالاتری عمل نمایند ولی خواص ضد شکست ضعیفی دارند. این آلیاژها در موتورهای احتراق داخلی صنعت انواعی و هوایپما در موتورهای دیزلی مورد استفاده قرار می‌گیرند. مقدار سرب بالای این آلیاژها، سطح یاتاقانی خوبی فراهم می‌آورند؛ ولی آنها را مستعد خوردگی می‌کنند. مقاومت در مقابل خوردگی و خواص ضد شکست این آلیاژها وقتی که به صورت یاتاقانهای سه فلزی با یک روکش الکترولیزی سرب-حلب-یا سرب-ایندیوم روی سطح مس-سرب، مورد استفاده قرار گیرند، افزایش می‌یابد.

۵-۲-۳ برنزها

چندین آلیاژ برنزی شامل سرب، حلب، و برنزهای آلمینیومی به صورت گستردۀ ای به عنوان مواد یاتاقان مورد استفاده قرار می‌گیرند. بعضی از اینها در جدول ۵-۴ تشریح شده‌اند. به دلیل خواص ساختاری خوب، آنها را می‌توان به عنوان یاتاقانهای قالبی بدون مصالح فولادی به کار برد. یاتاقانهای همچنین می‌توان به صورت استاندارد ماشین کاری کرد.

جدول ۴-۰-۴ - مواد یاتاقان متداول از آلیاژ برنز و مس

Designation	Material	Cu	Sn	Pb	Zn	Fe	Al	Brinell hardness number, BHN	Tensile strength		Maximum operating temperature	Maximum load		
		Nominal composition, percent							MPa	ksi		MPa	ksi	
									°C	°F				
SAE 480	Copper lead	65	--	35	--	--	--	25	55.2	8	177	350	13.8 2	
AMS 4840	High-lead tin bronze	70	5	25	--	--	--	48	172.5	25	204+	400+	20.7+ 3+	
SAE 67	Semiplastic bronze	78	6	16	--	--	--	55	207.0	30	232	450	20.7+ 3+	
SAE 40	Leaded red brass	85	5	5	5	--	--	60	241.5	35	232	450	24.2 3.5	
SAE 660	Bronze	83	7	7	3	--	--	60	241.5	35	232+	450+	27.6 4	
SAE 64	Phosphor bronze	80	10	10	--	--	--	63	241.5	35	232+	450+	27.6 4	
SAE 62	Gunmetal	88	10	--	2	--	--	65	310.5	45	260+	500+	27.6 4	
SAE 620	Navy G	88	8	--	4	--	--	68	276.0	40	260	500	27.6+ 4+	
SAE 63	Leaded gunmetal	88	10	2	--	--	--	70	276.0	45	260	500	27.6+ 4+	
ASTM B148-52-9c	Aluminum bronze	85	--	--	--	4	11	195	621.0	90	260+	500+	31.1+ 4.5+	

برنزهای سری شامل ۲۵ درصد سرب، ظرفیت حمل بار و مقاومت خستگی بالاتر و ظرفیتهای دمایی بالاتری از آلیاژهای بایت فراهم می‌آورند. آلیاژهای شامل تا حدود ۱۰ درصد حلب، برای بهبود خواص مقاومتی استفاده می‌شوند. برونزهای با سرب بالاتر (۷۰ درصد مس، ۵ درصد حلب، و ۲۵ درصد سرب) را می‌توان برای محورهای نرم به کاربرد؛ ولی برای محورهای سخت تر (300 BHN) بخصوص تحت شرایط روان کاری به صورت غیرمتغیرکسر، برونزهای سخت تر با سرب پایین تر توصیه می‌شوند. یاتاقانهای برونزی سری در پمپها، موتورهای دیزلی، واگنهای راه آهن، وسایل منزل و موارد دیگر مورد استفاده قرار می‌گیرند.

برونزهای حلبی که شامل ۹ تا ۲۰ درصد حلب و مقادیر کوچکی از سرب (مولاً کمتر از ۱ درصد) باشند، از برونزهای سری سخت تر بوده و بدین جهت در کاربردهای در مقیاس سنگین تری استفاده می‌شوند.

۵-۳ غیرفلزات

اگرچه که مواد غیرفلزی مثل لاستیک و گرافیت کاربرد بسیاری یافته‌اند؛ ولی مواد پلیمری و پلاستیکی اخیراً بزرگترین اثر در اجزاء مربوط به تریبوولوژی را داشته‌اند. این مواد به دو دسته تقسیم می‌شوند: مواد ترموستهلا (thermosetting) و ترمoplاستیک. در مواد ترموست، بافت‌های همراه با الاف بدون جهت، عموماً فنولیکها، یا گاهی کرسیلیکها، و رزینها هستند.

جدول ۵-۵- محدودیتهای کاربردی مواد یاتاقان غیرفلزی

Material	Load-carrying capacity		Maximum temperature		Maximum speed		PV limit ^a
	MPa	psi	°C	°F	m/s	ft/min	
Carbon graphite	4.1	600	399	750	12.7	2500	15×10^3
Phenolics	41.4	6 000	93	200	12.7	2500	15
Nylon	6.9	1 000	93	200	5.1	1000	3
PTFE (Teflon)	3.4	500	260	500	.51	100	1
Reinforced PTFE	17.2	2 500	260	500	5.1	1000	10
PTFE fabric	414.0	60 000	260	500	.25	50	25
Polycarbonate (Lexan)	6.9	1 000	104	220	5.1	1000	3
Acetal resin (Delrin)	6.9	1 000	82	180	5.1	1000	3
Rubber	.34	50	66	150	7.6	1500	15
Wood	13.8	2 000	66	150	10.2	2000	15

^a P = load (psi); V = surface speed (ft./min).

از مواد ترمoplastیک نایلون به عنوان یک ماده یاتاقانی با ارزش شناخته شده است؛ زیرا درای پولیمر پولی تترافلوروپتین^۱ (PTFE) با اصطکاک پائین می باشد. امتیاز بزرگ این مواد این است که آنها را می توان بدون روان کاری به طور مؤثر به کار گرفت؛ گرچه خواص مکانیکی آنها عموماً کاربردشان را محدود به شرایط باری سبک و غالباً سرعتهای پایین و سطوح همدیسی می کنند.

محدودیتهای به کار گیری مواد غیر فلزی در جدول ۵-۵ نشان داده شده است. محدودیتهای ویژه نشان داده شده در این جدول، عبارت است از: ظرفیت حمل بار، دمای بیشینه، سرعت بیشینه، و حد PV که در آن P بار برابر حسب پوند نیرو در اینچ مریع و V سرعت سطحی بر حسب قوت در دقیقه، هستند.

۱-۳-۵- گرافیتهای کربنی

گرافیتهای کربنی علاوه بر خواص عالی خود روان کاری کننده، دارای چندین امتیاز دیگر نسبت به مواد معمولی و روان کننده ها هستند. آنها می توانند در مقابل دماهای حدود 370°C در آتمسفر اکسیداسیونی از قبیل هوا، ایستادگی کرده و در آتمسفرهای خشی تا درجه

حرارت 700°C یا در دماهای خیلی پایین مورد استفاده قرار گیرند. همچنین آنها را می‌توان در وسایلی که نیاز به جلوگیری از آکودگی روان کننده دارند، مثل ماشینهای نساجی و ماشین آلات مربوط به صنایع غذایی به کار برد. گرافیتهای کربنی به مقدار زیادی در مقابل حملات شیمیایی مقاومت داشته و در کاربردهایی که در آن مواد شیمیایی روان کننده‌های سumentی را مورد حمله قرار می‌دهند، مورد استفاده قرار می‌گیرند. آنها را می‌توان با روان کننده‌های بالزجت پایین مثل آب، گازوئیل یا هوا به کار گرفت.

گرافیتهای کربنی را می‌توان برای یاتاقانهای محور پمپها، رینگهای قسمتهای چرخنده پمپهای خارج از مرکز، و یاتاقانهای ژورنال و کف گرد در موتور پمپهای پوشیده و کاربردهای زیاد دیگری به کار گرفت. به خاطر ضربه انساط پایین $2.7 \times 10^{-6} \text{ mm/mm}^2$ ، آستری گرافیت کربنی به راحتی در داخل یک آستین فولادی قرار می‌گیرد. مصالح فولادی حمایت مکانیکی فراهم آورده، انتقال حرارت را بهبود بخشیده، و در نگهداری لقی محور کمک می‌کند. محور در گیرشونده باید از فلزات سخت تر ساخته شود؛ لذا صفحات کرومیوم، ابزار فولادی سخت، یا حتی بعضی از سرامیکها می‌توانند مورد استفاده قرار می‌گیرند.

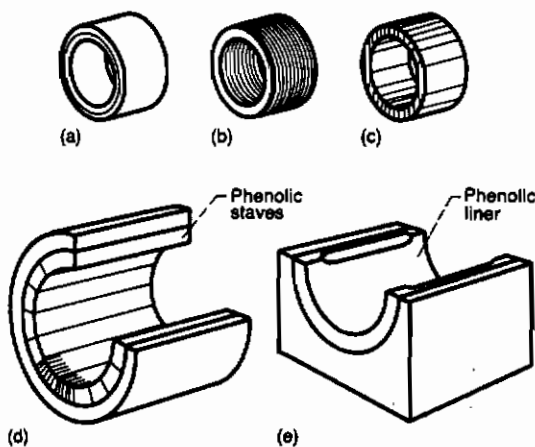
یک PV با مقدار 15000 در حضور روان کننده استفاده می‌شود. بستگی به درجه ماده و کاربرد آن، ضرایب اصطکاک در محدوده از ۰.۲۵ تا ۴٪ قابل کسب هستند. بخار آب جذب شده، تشکیل فیلم را افزایش داده و اصطکاک و فرسایش گرافیت کربنی را کاهش می‌دهد. بدون حضور بخار آب (رطوبت پایین) فرسایش افزایش می‌یابد. عموماً در کاربردهای روان کاری نشده باید از سرعهای پایین و بارهای سبک استفاده نمود.

۲-۳-۵- فنولیکها^۱

فنولیکها یکی از چندین نوع یاتاقانهای پلاستیکی هستند که در حال حاضر مورد استفاده قرار می‌گیرند. اینها به صورت فنولیکهای لایه‌ای هستند که از به عمل آوردن صفحات کاغذی پارچه با رزین فنولیک ساخته می‌شوند. این کار با چیدن تعدادی صفحات موردنظر و خشک کردن با حرارت و فشار برای در گیر کردن با یکدیگر و نیز قراردادن رزین انجام می‌شود. مواد پر کننده دیگر از قبیل گرافیت و سولفور مولیبدینوم^۲ به صورت پودر اضافه می‌شوند تا کیفیت و مقاومت روان کننده را بهبود بخشدند.

شکل ۱-۵-۱ ، جهات مختلف لایه های فنولیک به کار گرفته شده در یاتاقانها را نشان می دهد. یاتاقانهای لوله ای [شکل ۱-۵-(الف)] در جایی استفاده می شوند که در برگیری کامل مورد نظر باشد. در انجام خدمات با بار سبک یاتاقانهایی که در آن بار توسط لبه های لایه ها تحمل می شوند [شکل ۱-۵-(ب) و (ج)] ، مورد استفاده قرار می گیرند. یاتاقانهای خمیده [شکل ۱-۵-(د)] اصولاً برای یاتاقانهای بالوله انتهایی و فرمان کشتها و نیز برای یاتاقانهای هادی روی توربینهای با چرخ آبی عمودی ، استفاده می شوند. یاتاقانهای قالبی [شکل ۱-۵-(ه)] برای یاتاقانهای گرد چرخشی در کارخانجات فولاد، یا برای یاتاقانهای ساقمه ای مورد استفاده قرار می گیرند. جدول ۶-۵ بعضی از کاربردهای عمومی یاتاقانهای فنولیک را نشان می دهد.

فنولیکهای لایه ای بخوبی با ذورنالهای فولادی یا برنز کار می کنند. البته در زمانی که این یاتاقانها با روغن، آب یا سایر مایعات روان کاری شوند. آنها در مقابل شکست، مقاومت خوبی دارند. یکی از عیوبهای اصلی این مواد، ضرب هدایت حرارتی پایین ($0.35 \text{ W} / (\text{m} \cdot \text{C})$) حدود $150/1$ فولاد) آنهاست که باعث ممانعت از پخش حرارت اصطکاکی شده و یاتاقان را تبدیل به ذغال می کند. در یاتاقانهای گرد چرخشی، حرارت توسط یک جریان زیاد از آب از داخل یاتاقان دفع می شود.



شکل ۱-۵-۱ - یاتاقانهای فنولیک لایه ای: (الف) یاتاقان لوله ای؛ ب - یاتاقان لایه ای محبوط؛ ج - یاتاقان لایه ای محوری؛ د - یاتاقان خمیده؛ ه - یاتاقان قالبی

جدول ۵-۶ - کاربردهای معمولی یاتاقانهای فنرلیک لایه‌ای

Bearing application	Type ^a	Size range		Fabric weight		Resin, percent	Lubricant	Diametral clearance ^b		Principal reasons for using laminated phenolic bearing material
		mm	in.	g/m	oz/yd			mm	in.	
Roll neck	(e)	76-762	3-30	466-1552	15-50	40-60	Water or emulsion	0-13	0-0.5	Longer life, power saving due to lower friction, lower-cost water lubrication, greater cleanliness of operation, better holding of gage due to less water
Ship, stern tube	(d)	76-660	3-26	248	8	60	Water	0.001/mm diameter over 127 mm	0.001/in. diameter over 5 in.	Longer life, greater ease of handling and installing, higher load-carrying capacity particularly with impact loads, lower friction, greater corrosion and decay resistance, lower journal wear, greater local availability
Rudder, pintle	(a),(d)	76-660	3-26	93-248	3-8	55-60	Grease or water	0.001/mm diameter over 127 mm	0.001/in. diameter over 5 in.	
Small craft, stern tube	(c)	13-76	.5-3	248	8	60	Water	.127	.005	
Centrifugal pump	(a),(b), (c)	13-102	.5-4	93-248	3-8	60	Pumped liquid	.127	.005	Longer life, better lubrication with pumped liquid (water, gasoline, chemical solutions, etc.)
Water wheel turbine, guide bearing	(d)	102-610	4-24	248	8	60	Water	.127	.005	Longer life, lower friction, no decay, less journal wear
Ball mill	(a),(e)	381-1219	15-49	202-466	6.5-15	55-60	Water or emulsion or water and grease	.381-.762	.015-.030	Longer life, higher load-carrying capacity, lower friction, lower lubricant cost
Aircraft, landing gear	(a)	51-381	2-12	93	3	60	Oil	0.001/mm diameter over 127 mm	0.001/in. diameter over 5 in.	Lighter weight, satisfactory dimensional stability and load-carrying capacity
Railway, bolster cup	Molded cone	-----	---	202	6.5	53	Grease	-----	-----	Longer life, lower noise and vibration transmission

^aSee figure 5-1.

^bRunning clearance, does not include allowance for swelling.

فنولیکهای لایه ای دارای مقاومت خیلی خوبی در مقابل حملات شیمیایی بوده و می‌توانند با آب، روغن، اسیدهای رقیق و محلولهای قلیایی به کار گرفته شوند. آنها با داشتن مدول کشسانی 3.45 تا 6.90 GPa در مقایسه با مدول کشسانی 3.45 GPa برای بایتها، دارای قابلیت تطابق خوبی می‌باشند. فنولیکهای لایه ای همچنین دارای درجات بالایی از جداددن هستند. این خاصیت در یاتاقانهای لوله عقبی در کشتی دارای امتیاز خوبی است که توسط آبی که شامل شن و دیگر رسوبات است، روان کاری می‌شود. آنها به خاطر خاصیت خوب برجهندگی،

بخوبی در مقابل خسارات ناشی از خستگی و بارگذاری ناگهانی مقاوم هستند و مثل بعضی از آلیازهای بایت چکش خوار نبوده یا تحت بارهای ناگهانی قابل کشیده شدن از حدیده نیستند. چون فنولیکهای لایه‌ای از الیاف آلی تشکیل شده‌اند، که بعضی از مایعات را جذب کرده و منبسط می‌شوند، تغییرات کوچکی در ابعاد آنها به وجود می‌آید. آب یا روان‌کننده‌های دارای آب، اثر قابل اندازه گیری بیشتری نسبت به روغنها در پایداری ابعادی فنولیکها دارند. ابساط در جهت عمود بر لایه‌ها (۲ تا ۳ درصد) بیشتر از آن در جهت موازی (۰ تا ۰.۳ درصد) هست.

۵-۳-۳ نایلون

نایلون یکی از گروه‌های مواد ترمопلاستیک است که از پلاستیکهای ترموموست و فنولیکها، متمایزاند. یاتاقانهای نایلونی رامی توان قالب زد؛ یا پودرهای نایلونی را مانند حالت ساخت فلزات متخلخل نفجوش کرد. روغنها نفتی و گریس‌ها، اسیدهای غذایی، شیر، محلولهای عکاسی و غیره تأثیری بر نایلون نداشت و بدین جهت در کاربردهایی که این گونه سیالات شرکت دارند، می‌تواند مورد استفاده قرار گیرند.

نایلون مقاومت خوبی در برابر سایش و نرخ پایین فرسایش و خاصیت جذبی خوبی دارد. مثل بیشتر پلاستیکها خواص خوب ضدشکست داشته و به جای از بین رفت، نرم و یا ذغال می‌شوند. ضریب هدایت حرارتی پایین $[m.^{\circ}C / W]$ [۰.۲۴] داشته و در اثر گرمگرفتن زیاد از بین می‌روند. جریان سرد (خیز) تحت بار، یکی از معایب اصلی آن است. این اثر را می‌توان با حمایت کردن آستری نازک نایلونی در آستینهای فلزی کمینه کرد. یاتاقانهای نایلونی در وسایل منزل مثل همزنهای، مخلوط‌کنها و دیگر کارهای با بار سبک کاربرد دارند.

۵-۳-۴ تفلون

تفلون یک ماده ترمپلاستیک بر مبنای پولیمر پولی ترافلوروتیلن (PTFE) است که ضریب اصطکاک پایینی دارد. دارای خواص عالی خودروان‌کننده بوده و در خیلی از کاربردها می‌تواند به صورت خشک مورد استفاده قرار گیرد. در مقابل حمله شیمیایی توسط خیلی از حلالها و مواد شیمیایی مقاوم بوده و می‌تواند در محدوده دمای $260^{\circ}C$ -تا 260° مورد استفاده قرار گیرد. مثل نایلون، تحت بار متمایل به شکل گیری در دمای محیط دارد. تفلون به شکل تعدیل نیافته نیز معایب شقی پایین، ضریب انساط حرارتی بالا، ضریب هدایت حرارتی پایین، و مقاومت ضعیف

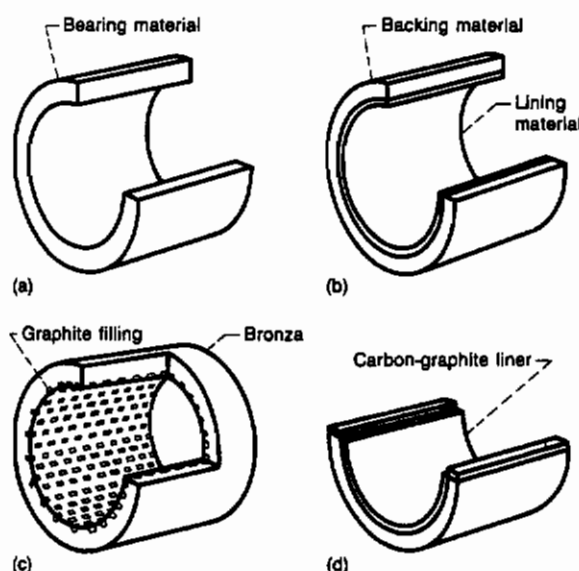
در برابر فرسایش را دارد. این خواص ضعیف را می‌توان با اضافه کردن الیافی از قبیل شیشه، سرامیکها، پودرهای فلزی و اکسیدهای فلزات، گرافیت، و یاسولفور مولیبدیوم، بهبود بخشد.

۵-۲ شکل سطوح یاتاقان

مطابق شکل ۵-۲، مواد فلزی و غیر فلزی تشریح شده در دو قسمت قبلی را می‌توان به چندین طریق در مورد سطوح یاتاقانها به کار گرفت.

۱ - یاتاقان صلب [شکل ۵-۲ (الف)]؛ یاتاقانها مستقیماً از یک ماده ماشین کاری می‌شوند (چدن، آلیاژهای آلومینیوم، برنزها، فلزات متخلخل، غیره).

۲ - یاتاقان آستری هده [شکل ۵-۲ (ب)]؛ ماده یاتاقان محدود به مصالح قویتر است. ضخامت آستری یاتاقان در محدوده از ۰.۲۵ mm تا مقدار ۱۳ mm می‌تواند باشد. بیشتر روش‌های پیوند جدید، به صورت متالورژی هستند، گرچه روش‌های شیمیایی و مکانیکی نیز استفاده می‌شوند. ماده آستری می‌تواند به صورت قالب، اسپری، رسوب الکترولیز و یا به صورت شیمیایی به کار گرفته شود.



شکل ۵-۲ - شکلهای مختلف سطوح یاتاقان: الف - یاتاقان صلب؛ ب - یاتاقان آستری شده؛ ج - یاتاقان پرشده؛ د - یاتاقان با آستری جا زده شده.

۳- پلاتالن پروده [شکل ۵-۲ (ج)]؛ یک ماده قویتر یاتاقان با یک ماده ای که خواص روان کنندگی بهتری دارد، آغشته می شود (مثلاً، گرافیت آغشته شده به برنز).

۴- پلاتالن با آستری جازده هده [شکل ۵-۲ (د)]؛ گرافیت کربنی یا آستریهای پلاستیکی توسط وسایل نگه دارنده مثل گیره یا مینخ چوبی یا پیچ ضامن در داخل آستینی فلزی جازده می شوند.

۵-۵ مواد و رهیافت‌های ساخت یاتاقانهای با عضو چرخنده

سطوح غیر همدیسی از قبیل یاتاقانهای با عضو چرخنده، در شرایطی کار می کنند که برای میلیونها چرخه تنش، ضمن این که ساچمه ها یا چرخنده ها در منطقه بار یاتاقان می چرخند، تنشهای فشاری بالایی را اعمال می کنند. برای این چنین کاربردهایی، مواد ساچمه و ساچمه رو باید سخت بوده و در مقابل خستگی دارای مقاومت بالایی باشند.

تا حدود سال ۱۹۵۵، تکنولوژی مواد یاتاقان با جزء چرخنده، از طرف دانشمندان مواد مورد توجه زیادی قرار نگرفت. علی رغم محدودیت دمای C^{176} حدود برای فولاد ۵۲۱۰۰ AISI 9310 و AISI 4320 محدود به SAE 52100 و بعضی مرتبه های کربنی مثل ۵۸ C¹ می شد. آزمایشها دلالت بر این داشتند که عمر خستگی با افزایش سختی افزایش می باید.

اختراع موتور توربین گازی هواپیما و احتیاج آن به یاتاقانهای با عضو چرخنده، تحرک عمله برای پیش بردن تکنولوژی مواد یاتاقان با عضو چرخنده را به وجود آورد. دماهای بالاتر، بارها و سرعتهای بالاتر و احتیاج برای دوام و اعتماد بیشتر، همگی محركی برای توسعه و برآورد محدوده وسیعی از مواد جدید و روشهای رهیافت آنها بوده اند، ترکیب زحمات سازندگان یاتاقان، سازندگان موتور و مؤسسات دولتی ظرف سه دهه گذشته، نتایج تکان دهنده ای از پیشرفت عمر و قابلیت اعتماد و عملکرد یاتاقان با عضو چرخنده را ارائه داده اند. البته این بحث در این جا خیلی خلاصه است لذا برای بررسی کامل وضعیت پژوهش اخیر تکنولوژی یاتاقان و نیز طراحیهای اخیر آن، رجوع شود به بمبرگر^۲ و دیگران (۱۹۸۰).

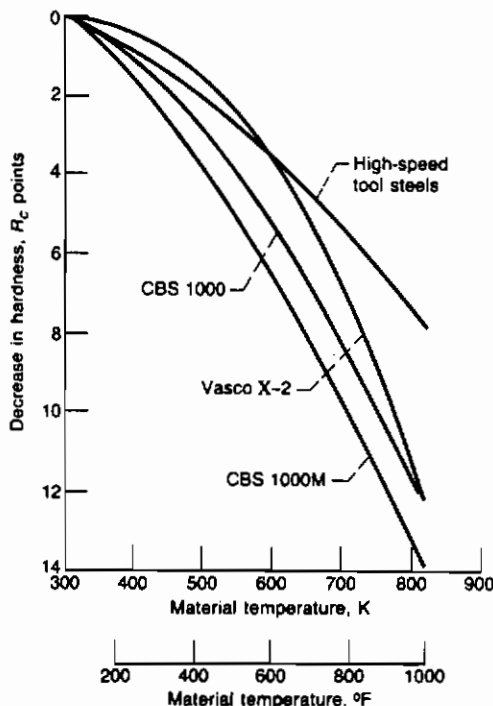
۱-۵-۵ آکیاژهای آهنی

احتیاج برای قابلیت عمل در دمای‌های بالاتر، متهی به بررسی چندین آکیاژ ابزار فولادی مولیبدنیوم و تانگستن به عنوان مواد یاتاقان شد. این آکیاژها دارای قابلیت نگهدارنده سختی در دمای بالا می‌باشد. اگرچه که چنین آکیاژهایی که ذوب شده و در محیط هوا قالب زده می‌شوند، عموماً به خاطر مواد خارجی غیر فلزی در مقابل خستگی مقاومت خوب ندارند. روش‌های رهیافت در خلاً می‌تواند این مواد خارجی را کاهش داده یا حذف کند. روش استفاده شده شامل ذوب القابی در خلاً (VIM) و دویاره ذوب کردن با قوس الکتریک در خلاً می‌باشد (VAR). این آکیاژها کاملاً مورد بررسی قرار گرفته‌اند که نه تنها با ابزار فولادی به عنوان مواد یاتاقانی اکنون استفاده می‌شوند، بلکه با SAE 52100 و بعضی از فولادهای کربنی نیز مورد استفاده قرار می‌گیرند. جدول ۵-۷ نسبتاً به طور کامل آکیاژهای آهنی را که از هردو طریق تجربی و کاملاً توسعه یافته بدمت آمده‌اند، نشان می‌دهد که طبق آن یاتاقانهای امروزه ساخته می‌شوند. AISI M-50 ، معمولاً VIM-VAR یا الکترود مصرفی ذوب خلاً (CEVM) ، یک ماده کاملاً گستردۀ ای برای یاتاقان استفاده می‌شود. این ماده تا دمای‌ای ۳۱۵°C قابل استفاده بوده و معمولاً فاکتور عمر ۳ تا ۵ برای آن معین می‌شود. فولاد ابزار ۱-T به طور نسبتاً گستردۀ در یاتاقانها و بخصوص در اروپا استفاده می‌شود . قابلیت نگهدارنده‌ی سختی آن کمی بیشتر از M-50 بوده و تقریباً برابر با M-1 و M-2 است. این آکیاژها سختی کافی را تا حدود ۴۰۰°C نگه می‌دارند.

فولادهای کربن یا با سطح سخت شده در خیلی از یاتاقانها استفاده می‌شوند، که در آنها به خاطر بارهای ناگهانی یا تنشهای خمش دوره‌ای ، سختی فولادها کافی نیست. بعضی از مواد جدید در حال توسعه، مثل CBS 1000 و Vasco X-2 ، دارای قابلیت نگه دارنده قابل مقایسه‌ای با فولادهای ابزار دارند (شکل ۵-۳). آنها نیز به عنوان مواد با فرآیند خلاً کاملاً تعیز در دسترس هستند و باید مقاومت کافی در مقابل خستگی ارائه دهند. فولادهای کربن در کاربردهای با سرعت خیلی بالا، از اهمیت بالایی برخوردارند. یاتاقانهای با ساچمه روهای تمام سخت، اخیراً محدود به $2,5 \text{ میلیون } N_{d} / d$ هستند (که در آن d قطر داخلی دهانه بر حسب میلی متر و N_d سرعت چرخشی بر حسب گردش در دقیقه می‌باشد). در مقادیر بزرگتر N_d / d ترکهای خستگی به علت تنش محیطی زیاد، از میان ساچمه رو در حال گردش پخش می‌شود (بامبرگر و دیگران، ۱۹۷۶).

جدول ۷-۰- ترکیبات معمول یاتاقنهای فولادی انتخاب شده

Designation	C	P (max)	S (max)	Mn	Si	Cr	V	W	Mo	Co	Cb	Ni
	Alloying element, wt %											
SAE 52100 ^a	1.00	0.025	0.025	0.35	0.30	1.45	---	---	---	---	---	---
MHT ^b	1.03	.025	.025	.35	.35	1.50	---	---	---	---	---	---
AISI M-1	.80	.030	.030	.30	.30	4.00	1.00	1.50	8.00	---	---	---
AISI M-2 ^b	.83	---	---	.30	.30	3.85	1.90	6.15	5.00	---	---	---
AISI M-10	.85	---	---	.25	.30	4.00	2.00	---	8.00	---	---	---
AISI M-50 ^a	.80	---	---	.30	.25	4.00	1.00	---	4.25	---	---	---
T-1 (18-4-1) ^a	.70	↓	↓	.30	.25	4.00	1.00	18.0	---	---	---	---
T15	1.52	.010	.004	.26	.25	4.70	4.90	12.5	.20	5.10	---	---
440C ^a	1.03	.018	.014	.48	.41	17.30	.14	---	.50	---	---	---
AMS 5749	1.15	.012	.004	.50	.30	14.50	1.20	---	4.00	---	---	---
Vasco Matrix II	.53	.014	.013	.12	.21	4.13	1.08	1.40	4.80	7.81	---	0.10
CRB-7	1.10	.016	.003	.43	.31	14.00	1.03	---	2.02	---	0.32	---
AISI 9310 ^c	.10	.006	.001	.54	.28	1.18	---	---	.11	---	---	3.15
CBS 600 ^c	.19	.007	.014	.61	1.05	1.50	---	---	.94	---	---	.18
CBS 1000M ^c	.14	.018	.019	.48	.43	1.12	---	---	4.77	---	---	2.94
Vasco X-2 ^c	.14	.011	.011	.24	.94	4.76	.45	1.40	1.40	.03	---	.10

^aBalence, iron.^bAlso contains 1.36% Al.^cCarburizing grades.

شکل ۷-۰- سختی داغ Vasco X-2، CBS 1000M، CBS 1000 و فولادهای ابزار با سرعت بالا

در کاربردهایی که یاتاقانها با روغنهای متداول روان کاری نمی شوند و در تمام اوقات در مقابل خوردگی محافظت نمی گردند، یک آلیاژ مقاوم در مقابل خوردگی باید به کار رود. یاتاقانهای روان کاری شونده با فیلم خشک، یاتاقانهای خنک شونده توسط گازهایی با دمای پایین قابل تبدیل به مایع، و یاتاقانهای مقابله با محیطهای خورنده مثل رطوبت زیاد و آب شور، کاربردهایی هستند که در آنها آلیاژهای مقاوم در مقابل خوردگی باید در نظر گرفته شوند. از آلیاژهای نشان داده شده در جدول ۵-۷، ۴۴۰C و ۵۷۴۹ AMS هردو به آسانی در حرارت‌های ذوب خلاً در دسترس هستند.

روشهای آهنگری و شکل دادن که باعث بهبود مقاومت در مقابل خستگی می شوند نیز توسعه داده شده‌اند. تجربیات نشان می دهند که جریان الیاف یا دانه موازی با سطح تحت تنش، برتر از جریان الیافی هستند که این سطح راقطع می کنند (بمبرگر، ۱۹۷۰؛ زارتسکی و اندرسون، ۱۹۶۶). روشهای شکل دادن که باعث ایجاد جریان دانه موازی بیشتری می شوند اکنون در ساخت خیلی از یاتاقانها، بخصوص یاتاقانهای با کاربرد بار زیاد، استفاده می شوند.

۵-۵-۲ سرامیکها

یاتاقانهای آزمایشگاهی از سرامیکهای مختلف از قبیل آلمین، سیلیکون کار باید، تیتانیوم کار باید، و سیلیکون نیتراید ساخته شده‌اند. استفاده از سرامیکها به عنوان ماده یاتاقان برای کاربردهای خاص به دلایل ذیل رو به رشد می باشد:

۱- دوام در دمای بالا؛ چون سرامیکها می توانند تا دمای 1000°C رفتار کشسانی نشان دهند، آنها به وضوح انتخاب خوبی برای کاربردهای دمای بالا می باشند.

۲- مقاومت در مقابل خوردگی؛ سرامیکها لزوماً از لحاظ شیمیایی خشن بوده و می توانند در خیلی از محیطهای مخالف با آلیاژهای آهن کار کنند.

۳- دانسیته پائین؛ این می تواند به بهبود ظرفیت یاتاقان در سرعت‌های بالا تعبیر شود، که در آن اثرات خارج از مرکز غلبه می کنند.

۴- ضریب انبساط حرارتی پائین، تحت گرادیانهای حرارتی جدی، یاتاقانهای سرامیکی تغییرات ناگهانی کمتری از لحاظ هندسی و نقش داخلی در مقایسه با

یاتاقانهای از آلیاژهای آهنی از خود نشان می‌دهند.

نیترات سیلیکون به عنوان یک ماده یاتاقان توسعه داده شده است (سیبلی، ۱۹۸۲؛ کاندیل و جیوردانو، ۱۹۸۲). یاتاقانهای نیترات سیلیکون عمرهای خستگی قابل مقایسه، و در بعضی مثال‌ها، بیشتر از M-50 ذوب شده در خلاً با کمیت بالا، از خود نشان داده‌اند. دو مسئله باقی می‌ماند: ۱- کنترل کیفیت و روش‌های دقیق بازرسی ضد شکست برای تعیین قابلیت آنها، ۲- قیمت تمام شده؛ تراکم استاتیکی بهبود یافته، مترولوژی، و روش‌های پرداخت کاری، به صورت فعلانه در حال دنبال شدن می‌باشد.

۶-۵ خواص مواد متداول یاتاقان

این قسمت مقادیر شاخصی را برای تعدادی از خواص مواد صلب لازم در ارزشیابی یاتاقانهای فیلم سیال فراهم می‌آورد. جداول و شکل‌های ارائه شده در این قسمت از (۱۹۸۴) ESDU به دست آمدند. با خیلی از مواد، محدوده وسیعی از خواص مقادیر توسط، مثلاً عملیات حرارتی یا تغییر کوچکی در ترکیب ماده، به دست می‌آیند. بنابراین مقادیر پادشه در این جداول، فقط مقادیر معمولی هستند که به احتمال زیاد در کاربردهای روان‌کاری فیلم ساده با آنها رویرو می‌شویم. تمام خواص مواد برای دمای اطاق (20°C) معرفی می‌شوند، مگر آن که غیر از این بیان شده باشد.

مواد یاتاقانها به آسانی در سه گروه پایه‌ای دسته‌بندی می‌شوند: فلزات، سرامیکها و پولیمرها، این رویه در ابتدا بر مبنای آرایش شیمیایی و ساختار اتمی بوده و بیشتر مواد به طور مستقل جزو یکی از این گروه‌ها می‌باشند؛ گرچه حالت‌های میانی نیز وجود دارند. علاوه بر این سه طبقه‌بندی اصلی، یک گروه اضافی دیگر از مواد یاتاقانها به نام گروه مرکب ممکن است که در نظر گرفته شود. توضیح خلاصه طبقه‌بندی ماده و مشخصه‌های بیان کننده آنها در این جا داده می‌شود:

۱- فلزات: مواد فلزی معمولاً ترکیبی از اجزاء فلزی هستند که دارای تعداد زیادی الکترونهای غیر محلی هستند. این بدان معنی است که این الکترونهای متصل به اتمهای خاصی نیستند. فلزات هدایت کننده خیلی خوبی از الکتریسته و حرارت بوده و در نور قابل رویت شفاف نیستند، یک سطح فلز صیقل داده شده

دارای ظاهر برآتی می‌باشد. به علاوه فلزات با وجود محکمی، می‌توانند تغییر شکل دهند.

- سرامیکها: سرامیکها ترکیبی از اجزاء فلزی و غیر فلزی هستند. آنها معمولاً اکسیدها، نیتریدها و کاربیدها می‌باشند. محدوده گسترده موادی که در این طبقه بندی قرار دارند، شامل سرامیکهایی هستند که از خاک رمن، سیمان، و شیشه تشکیل شده‌اند. این مواد عموماً عایق عبور الکتریسته و حرارت بوده و بیشتر از فلزات و پولیمرها مقاوم در مقابل دماهای بالا و محیط‌های سخت هستند. از نظر رفتار مکانیکی، سرامیکها سخت ولی شکننده هستند.

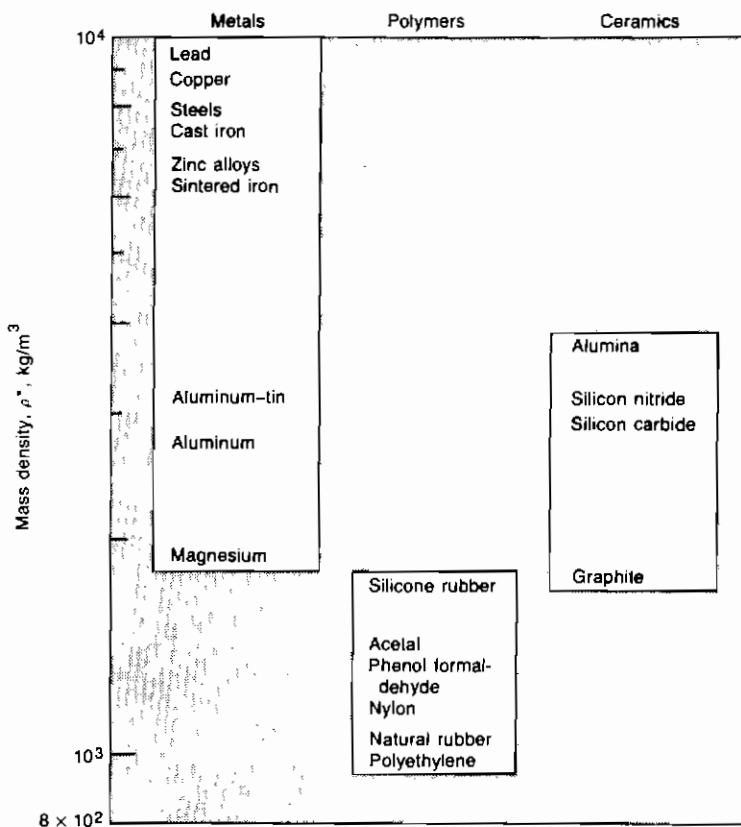
- پولیمرها: پولیمرها شامل مواد پلاستیکی و لاستیک هستند. خیلی از پولیمرها ترکیبات آلی هستند که از نظر شیمیایی بر مبنای کربن، هیدروژن، و دیگر اجزاء غیر فلزی می‌باشند. به علاوه آنها دارای ساختار مولکولی خیلی بزرگی هستند. این مواد عموماً دارای دانسته پایین و بسیار قابل انعطاف می‌باشند.

- مواد مرکب: آنها دارای بیش از یک نوع ماده هستند. فایبرگلاس مثالی است که در آن الیاف شیشه در داخل یک ماده پولیمری جا داده می‌شود. یک ماده مرکب به این جهت طراحی می‌شود که ترکیبی از بهترین مشخصه‌های از مواد مشکله را به نمایش بگذارد. فایبرگلاس مقاومتش را از شیشه و قابلیت انعطاف‌پذیری از پولیمر بدست می‌آورد.

اگرچه مواد مرکب موضوع این کتاب نیستند؛ ولی خواص سه طبقه بندی اصلی دیگر مواد، همراه با تعدادی از مواد شامل این طبقه بندی، بررسی خواهند شد.

۱-۶-۵ دانسته جرمی

همان طور که در قسمت ۴-۵ خاطرنشان شد، دانسته جرمی یک ماده صلب، عبارت است از جرم تقسیم بر حجم؛ بدین جهت واحد متريک برابر با کیلوگرم بر متر مکعب را دارد. مقادیر معمولی بین 10^3 و 10^4 kg/m^3 و قرار می‌گيرد. شکل ۴-۵، دانسته جرم فلزات مختلف، پولیمرها، و سرامیکها را و جدول ۵-۸ مقادیر دانسته جرم مواد مختلف در دمای اندازه (20°C) را نشان می‌دهند.



شکل ۴-۵- نمایش دانسیته جرمی برای فلزات مختلف، پولیمرها، و سرامیکها در درجه حرارت اتاق (۶۸°F، ۲۰°C)

آلیاژ شدن دانسیته جرم را فقط به مقدار کمی تغییر می دهد؛ تا تقریب درجه اول، دانسیته جرم یک آلیاژ (جامد فلزی، تبیجه شده از تجزیه دو یا بیشتر از فلزات ذوب شده در یکدیگر) توسط «قانون مخلوطها» داده شود (مثلاً، درونیابی خطی بین دانسیته های جرم اجزاء آلیاژ).

۴-۶-۲ مدول کشسانی و ضریب پویسان^۱
یک بار کششی ساده اعمال شده بر یک میله، تنش ۱۵ و کرنش ۱۴ که :

۱- Poisson's ratio

$$\sigma_1 = \frac{\text{بار}}{\text{مساحت سطح مقطع}}$$

نش در جهت محوری

$$\epsilon_1 = \frac{\text{تفییر در طول}}{\text{طول اولیه}}$$

کرنش در جهت محوری

ثابت کشسانی، یا مدول کشسانی (بعضی اوقات به عنوان «مدول یانگ^۱» نامیده می‌شود) را می‌توان نوشت:

$$E = \frac{\sigma_1}{\epsilon_1} \quad (5-1)$$

گرچه نشی در جهت عمود بر جهت محوری عمل نمی‌کند، به هر حال تغییرات ابعادی در این جهت وجود دارد؛ زیرا ضمن کشیده شدن میله در جهت محوری، در جهت عرضی، جمع خواهد شد. کرنش مربوط به جهت عرضی^۲، توسط نسبت پویسان^۳ به کرنشهای محوری مربوط می‌شوند، به طوری که داریم:

$$\epsilon_2 = -\nu \epsilon_1 \quad (5-2)$$

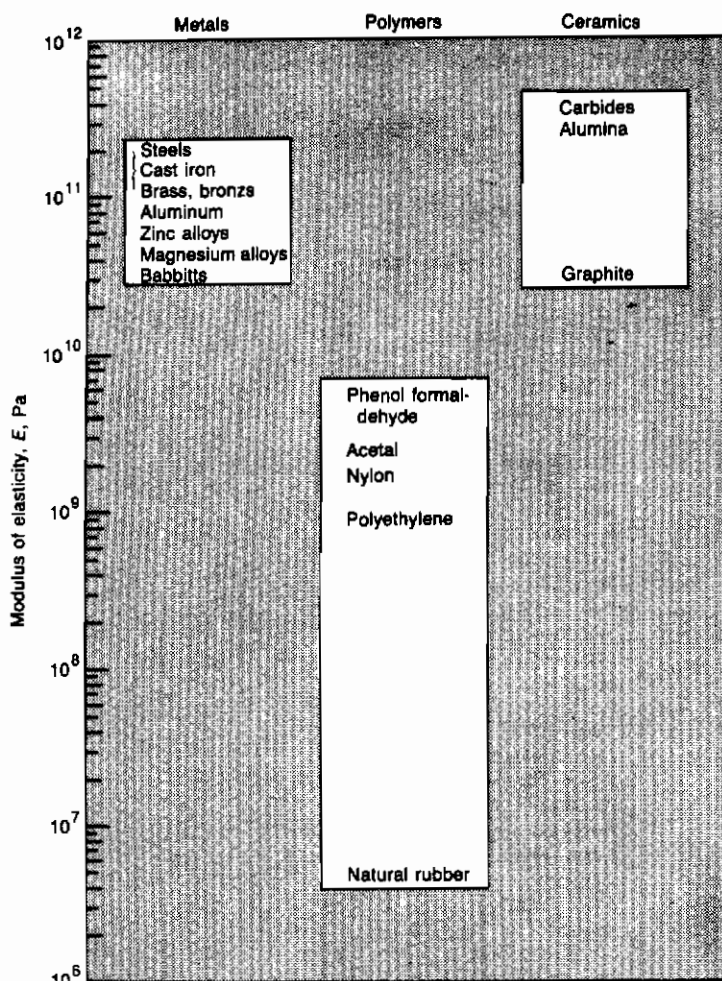
که در آن علامت منفی بدین معنی است که تغییرشکل عرضی در جهت مخالف با تغییر شکل محوری است. واحد متريک مدول کشسانی، نيوتن بر متر مربع يا پاسکال است و نسبت پویسان بدون بعد می‌باشد.

شکل ۵-۵، مقادير مدول کشسانی برای فلزات مختلف، پوليمرها، و سراميكها را در درجه حرارت اتاق (۲۰°C) نمایش می‌دهد. جدول کشسانی برای فلزات و سراميكها کاملاً مشابه هستند؛ ولی برای پوليمرها به مقدار قابل ملاحظه ای پايين تر هستند. جداول ۵-۶ و ۵-۷ مقادير عددی مدولهای کشسانی و نسبت پویسان را به ترتيب برای فلزات مختلف، پوليمرها، و سراميكها در دمای اتاق را نشان می‌دهند.

جدول ۸-۰ - دانسیته جرم فلزات مختلف، پولیمرها، و سرامیکها در دمای اتاق

Material	Mass density, ρ^*	
	kg/m ³	lbm/in. ³
Metals:		
Aluminum and its alloys ^a	2.7×10^3	0.097
Aluminum tin	3.1	.11
Babbitt, lead-based white metal	10.1	.36
Babbitt, tin-based white metal	7.4	.27
Brasses	8.6	.31
Bronze, aluminum	7.5	.27
Bronze, leaded	8.9	.32
Bronze, phosphor (cast) ^b	8.7	.31
Bronze, porous	6.4	.23
Copper	8.9	.32
Copper lead	9.5	.34
Iron, cast	7.4	.27
Iron, porous	6.1	.22
Iron, wrought	7.8	.28
Magnesium alloys	1.8	.065
Steels ^c	7.8	.28
Zinc alloys	6.7	.24
Polymers:		
Acetal (polyformaldehyde)	1.4	.051
Nylons (polyamides)	1.14	.041
Polyethylene, high density	.95	.034
Phenol formaldehyde	1.3	.047
Rubber, natural ^d	1.0	.036
Rubber, silicone	1.8	.065
Ceramics:		
Alumina (Al_2O_3)	3.9	.14
Graphite, high strength	1.7	.061
Silicon carbide (SiC)	2.9	.10
Silicon nitride (Si_3N_4)	3.2	.12

^aStructural alloys.^bBar stock typically 8.8×10^3 kg/m³ (0.30 lbm/in.³).^cExcluding "refractory" steels.^d"Mechanical" rubber.



شکل ۵-۵- نمایش مدولهای کشسانی برای فلزات مختلف پرلیسیرها ، و سرامیکها در دمای اتاق (۶۸° F ، ۲۰° C)

جدول ۰-۹ - مدول کشسانی برای فلزات مختلف، پولیمرها، و سرامیکها در دمای اتاق (۶۸ F ، ۲۰°C)

Material	Modulus of elasticity, E	
	GPa	Mlbf/in. ²
Metals:		
Aluminum	62	9.0
Aluminum alloys ^a	70	10.2
Aluminum tin	63	9.1
Babbitt, lead-based white metal	29	4.2
Babbitt, tin-based white metal	52	7.5
Brasses	100	14.5
Bronze, aluminum	117	17.0
Bronze, leaded	97	14.1
Bronze, phosphor	110	16.0
Bronze, porous	60	8.7
Copper	124	18.0
Iron, gray cast	109	15.8
Iron, malleable cast	170	24.7
Iron, spheroidal graphite ^b	159	23.1
Iron, porous	80	11.6
Iron, wrought	170	24.7
Magnesium alloys	41	5.9
Steel, low alloys	196	28.4
Steel, medium and high alloys	200	29.0
Steel, stainless ^c	193	28.0
Steel, high speed	212	30.7
Zinc alloys ^d	50	7.3
Polymers:		
Acetal (polyformaldehyde)	2.7	.39
Nylons (polyamides)	1.9	.28
Polyethylene, high density	.9	.13
Phenol formaldehyde ^e	7.0	1.02
Rubber, natural ^f	.004	.0006
Ceramics:		
Alumina (Al ₂ O ₃)	390	56.6
Graphite	27	3.9
Cemented carbides	450	65.3
Silicon carbide (SiC)	450	65.3
Silicon nitride (Si ₃ N ₄)	314	45.5

^aStructural alloys.^bFor bearings.^cPrecipitation-hardened alloys up to 211 GPa (30 lbf/in.²).^dSome alloys up to 96 GPa (14 lbf/in.²).^eFilled.^f25-Percent-carbon-black "mechanical" rubber.

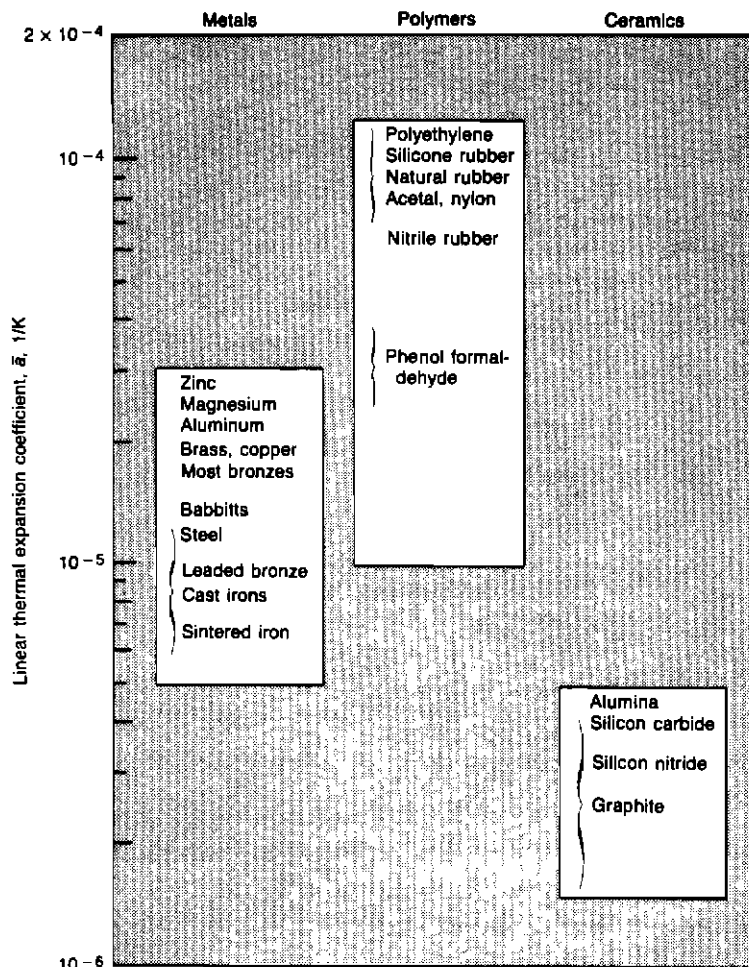
جدول ۵-۱۰ - نسبت پرسان برای فلزات مختلف، پولیمرها، و سرامیکها در دمای اتاق (20°C ، 68°F)

Material	Poisson's ratio, ν
Metals:	
Aluminum and its alloys*	.033
Aluminum tin	----
Babbitt, lead-based white metal	----
Babbitt, tin-based white metal	----
Brasses	.33
Bronze	.33
Bronze, porous	.22
Copper	.33
Copper lead	----
Iron, cast	.26
Iron, porous	.20
Iron, wrought	.30
Magnesium alloys	.33
Steels	.30
Zinc alloys	.27
Polymers:	
Acetal (polyformaldehyde)	----
Nylons (polyamides)	.40
Polyethylene, high density	.35
Phenol formaldehyde	----
Rubber	.50
Ceramics:	
Alumina (Al_2O_3)	.28
Graphite, high strength	----
Cemented carbides	.19
Silicon carbide (SiC)	.19
Silicon nitride (Si_3N_4)	.26

* Structural alloys.

۵-۶-۳ ضریب انبساط خطی حرارتی

مواد مختلف در اثر حرارت با نرخ متفاوتی منبسط می‌شوند. طول یک جسم صلب برای هر درجه افزایش دما به اندازه معینی افزایش می‌یابد. این نتیجه برای محدوده نسبتاً بزرگی از دما، دقیق است. ضریب انبساط خطی حرارتی را می‌توان برای تغییر دمای انبساط یک جسم به کار برد. این مقدار برای هر ماده توسط عددی به نام «انبساط خطی» یا «ضریب انبساط خطی حرارتی» α نامیده می‌شود. واحد متریک α ، برابر با معکوس کلوین است.



شکل ۶-۵- نایاش ضرب انبساط خطی حرارتی برای فلزات مختلف، پولیمرها، و سرامیکها در محدوده دمای ۲۰ تا ۲۰۰°C (۳۹۲°F تا 68°F)

شکل ۵-۶، ضریب انبساط خطی حرارتی برای فلزات مختلف، پولیمرها، و سرامیکها در محدوده دمای ۲۰۰ تا 200°C را نشان می‌دهد. پولیمرها بالاترین مقدار را دارند و بعد از آن فلزات و سپس سرامیکها هستند. جدول ۵-۱۱ مقادیر ضریب انبساط خطی حرارتی برای فلزات مختلف، پولیمرها و سرامیکها را از ۲۰ تا 200°C نشان می‌دهد.

جدول ۵-۱۱، ضریب انبساط خطی حرارتی برای فلزات مختلف، پولیمرها، و سرامیکها در محدوده دمای ۲۰ تا 200°C (۳۹۲°F تا 68)

Material	Linear thermal expansion coefficient, α	
	1/K	1/°F
Metals:		
Aluminum	23×10^{-6}	12.8×10^{-6}
Aluminum alloys ^a	24	13.3
Aluminum tin	24	13.3
Babbitt, lead-based white metal	20	11
Babbitt, tin-based white metal	23	13
Brasses	19	10.6
Bronzes	18	10.0
Copper	18	10.0
Copper lead	18	10.0
Iron, cast	11	6.1
Iron, porous	12	6.7
Iron, wrought	12	6.7
Magnesium alloys	27	15
Steel, alloy ^b	11	6.1
Steel, stainless	17	9.5
Steel, high speed	11	6.1
Zinc alloys	27	15
Polymers:		
Thermoplastics ^c	$(60-100) \times 10^{-6}$	$(33-56) \times 10^{-6}$
Thermosets ^d	$(10-80) \times 10^{-6}$	$(6-44) \times 10^{-6}$
Acetal (polyformaldehyde)	90×10^{-6}	50×10^{-6}
Nylons (polyamides)	100	56
Polyethylene, high density	126	70
Phenol formaldehyde ^e	$(25-40) \times 10^{-6}$	$(14-22) \times 10^{-6}$
Rubber, natural ^f	$(80-120) \times 10^{-6}$	$(44-67) \times 10^{-6}$
Rubber, nitrile ^f	34×10^{-6}	62×10^{-6}
Rubber, silicone	57	103
Ceramics:		
Alumina (Al_2O_3)	5.0	2.8
Graphite, high strength	4.5	.8-2.2
Silicon carbide (SiC)	4.3	2.4
Silicon nitride (Si_3N_4)	3.2	1.8

^aStructural alloys.

^bCast alloys can be up to $15-10^{-6}/\text{K}$.

^cTypical bearing materials.

^d $25 \times 10^{-6}/\text{K}$ to $80 \times 10^{-6}/\text{K}$ when reinforced.

^eMineral filled.

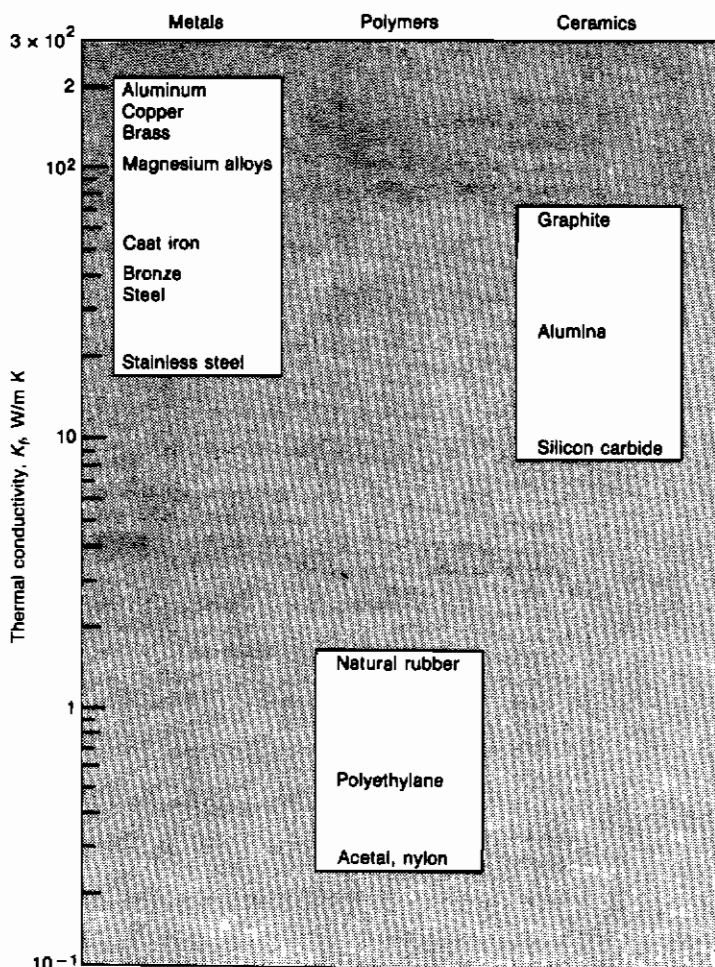
^fFillers can reduce coefficients.

^gVaries with composition.

^h0 to 200°C .

۴-۶-۵ ضریب هدایت حرارتی

وقتی دو جسم با دماهای متفاوت را به یکدیگر بچسبانیم، مولکولهای جسم گرمتر که سریعتر حرکت می‌کنند با مولکولهای جسم سردتر که آهسته‌تر حرکت می‌کنند برخورد نموده و مقداری از حرکتشان را به این مولکولها منتقل می‌کنند. جسم گرمتر انرژی از دست داده (دما پایین می‌آید)، ضمناً این که جسم سردتر انرژی کسب می‌کند (دما بالا می‌رود). این فرایند انتقال، وقتی که دو جسم به یک دما می‌رسند، متوقف می‌شود. این انتقال حرکت مولکولی در میان یک ماده به نام «ضریب هدایت حرارتی» نامیده می‌شود. مواد مختلف دارای سرعتهای انتقال مختلف می‌باشند. واحد متریک ضریب هدایت حرارتی K ، وات بر متر- Kelvin می‌باشد.



شکل ۷-۵- نمایش ضریب هدایت حرارتی برای فلزات مختلف، پولیمرها و سرامیکها

شکل ۵-۷، ضریب هدایت حرارتی فلزات مختلف، پولیمرها، و سرامیکها را نمایش می‌دهد. فلزات و سرامیکها عموماً هدایت دهنده‌های خوبی هستند و پولیمرها عایقهای خوبی می‌باشند. جدول ۱۲-۵ مقادیر عددی ضریب هدایت حرارتی داده شده در شکل ۵-۷ را نشان می‌دهد. در شکل ۵-۷ و جدول ۱۲-۵، بجز در موقع ذکر شده منظور از دما، دمای اتاق (20°C ، 68°F) می‌باشد.

۵-۶-۵ ظرفیت ویژه حرارتی

طبیعت یک ماده تعیین کننده مقدار حرارت منتقل شده به، یا از یک جسم، وقتی که دمای آن به اندازه معینی تغییر می‌کند، است. تصور کنید که در یک آزمایش، یک توب چدنی و یک توب از جنس بایت (فلز سفید بر مبنای سرب) به اندازه یکسان را در نظر گرفته و هردو را تا دمای آب جوشان حرارت داده و سپس آنها را بروی موم قرار می‌دهیم. خواهید دید که توب چدنی مقدار قابل توجهی از موم را ذوب می‌کند؛ ولی توب از جنس بایت هرچند که جرمش بیشتر است، اما هیچ مقداری از موم را نمی‌تواند ذوب کند. بنابراین به نظر می‌رسد که مواد مختلف، در سردکردن در محدوده یکسانی از دما، مقدار حرارت متفاوتی را از دست می‌دهند.

مقدار انرژی حرارتی اتلافی و یا دریافتی، وقتی که یک جسم دمایش تغییر می‌کند متناسب با جرم جسم، مقدار تغییر دما و عدد مشخصه به نام «ظرفیت حرارتی ویژه» که ماده از آن تشکیل شده، می‌باشد.

$$\therefore \hat{Q} = C_p m_o (\Delta t_m) \quad (5-3)$$

مقدار حرارت بر حسب $J = \hat{Q}$ که در آن داریم :

$C_p = J / (\text{kg} \cdot \text{K})$ حرارت ویژه ماده بر حسب

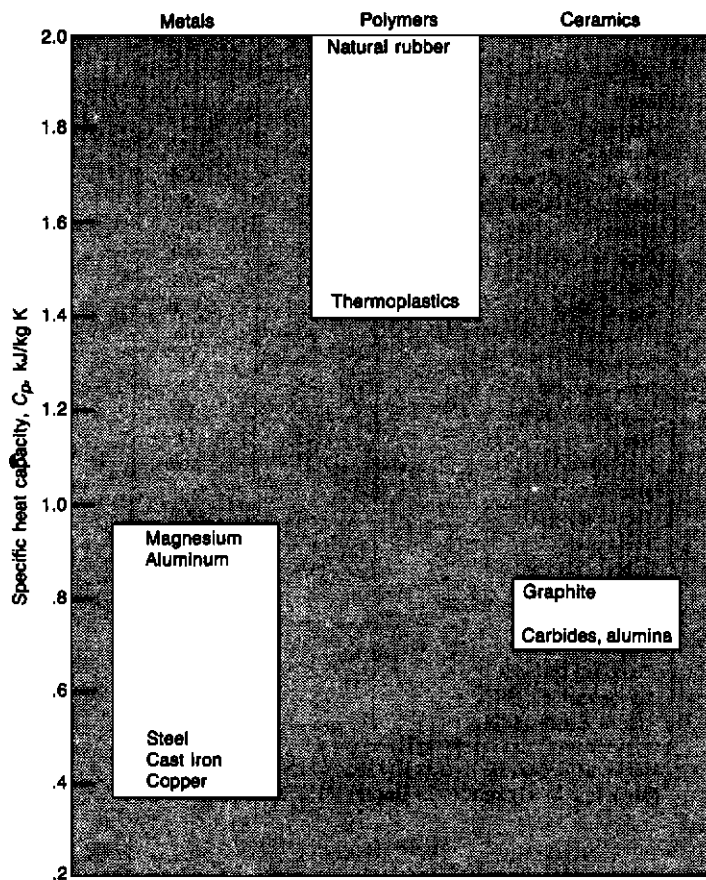
$m_o = \text{kg}$ جرم جسم بر حسب

$\Delta t_m = K$ تغییر دما بر حسب

جدول ۱۲-۰- ضریب هدایت حرارتی برای فلزات مختلف، پولیمرها، سرامیکها

Material	Thermal conductivity, K_f	
	W/m K	Btu/ft hr °F
Metals:		
Aluminum	209	120
Aluminum alloys, casting ^a	146	84
Aluminum alloys, silicon ^b	170	98
Aluminum alloys, wrought ^c	151	87
Aluminum tin	180	100
Babbitt, lead-based white metal	24	14
Babbitt, tin-based white metal	56	32
Brasses ^d	120	69
Bronze, aluminum ^e	50	29
Bronze, leaded	47	27
Bronze, phosphor (cast) ^f	50	29
Bronze, porous	30	17
Copper ^g	170	98
Copper lead	30	17
Iron, gray cast	50	29
Iron, spheroidal graphite	30	17
Iron, porous	28	16
Iron, wrought	70	40
Magnesium alloys	110	64
Steel, low alloy ^c	35	20
Steel, medium alloy	30	17
Steel, stainless ^h	15	8.7
Zinc alloys	110	64
Polymers:		
Acetal (polyformaldehyde)	.24	.14
Nylons (polyamides)	.25	.14
Polyethylene, high density	.5	.29
Phenol formaldehyde	-----	-----
Rubber, natural	1.6	.92
Ceramics:		
Alumina (Al_2O_3) ⁱ	25	14
Graphite, high strength	125	72
Silicon carbide (SiC)	15	8.6
Silicon nitride (Si_3N_4)	-----	-----

^aAt 100°C.^bAt 100°C (~ 150 W/m K at 25°C).^c20 to 100°C.^dBar stock typically 69 W/m K.^eTypically 22 W/m K at 200°C.^fTypically 12 W/m K at 400°C.



شکل ۸-۰- نمایش ظرفیت حرارتی ویژه برای فلزات مختلف، پولیمرها، و سرامیکها در درجه حرارت اتاق (20°C تا 68°F)

جدول ۱۳-۵- ظرفیت حرارتی ویژه برای فلزات مختلف، پولیمرها، و سرامیکها در دمای اتاق

Material	Specific heat capacity, C_p	
	kJ/kg K	Btu/lb °F
Metals:		
Aluminum and its alloys	0.9	0.22
Aluminum tin	.96	.23
Babbitt, lead-based white metal	.15	.036
Babbitt, tin-based white metal	.21	.05
Brasses	.39	.093
Bronzes	.38	.091
Copper ^a	.38	.091
Copper lead	.32	.076
Iron, cast	.42	.10
Iron, porous	.46	.11
Iron, wrought	.46	.11
Magnesium alloys	1.0	.24
Steels ^b	.45	.11
Zinc alloys	.4	.096
Polymers:		
Thermoplastics	1.4	.33
Thermosets	----	----
Rubber, natural	2.0	.48
Ceramics:		
Alumina (Al_2O_3)	----	----
Graphite	.8	.2
Cemented carbides	.7	.17
Silicon carbide (SiC)	----	----
Silicon nitride (Si_3N_4)	----	----

^aAluminum bronze up to 0.48 kJ/kg K (0.12 Btu/lb °F).^bRising to 0.55 kJ/kg K (0.13 Btu/lb °F) at 200°C (392°F).

شکل ۱۳-۵، ظرفیت ویژه حرارتی فلزات مختلف، پولیمرها و سرامیکها را در دمای اتاق (20°C) نشان می‌دهد. پولیمرها دارای گرمای ویژه کاملاً بالاتری از فلزات و سرامیکها هستند. جدول ۱۳-۵ مقادیر عددی اطلاعات ارائه شده در شکل ۱۳-۵ را نشان می‌دهند.

۱۳-۷ مؤخره

در این فصل، مشخصه‌های عمومی مواد یاتاقانها معین و بحث شد. بعضی از مشخصه‌های مطلوب بررسی شده در این فصل عبارتند از: قابلیت سازگاری با مواد در حال

تماس متقابل، قابلیت جذبی ذرات آشغال و فرسایدگی، و تغیر مکانها در ساختار، مقاومت، مقاومت در مقابل خوردگی، و مقاومت در مقابل خستگی هستند. انواع مختلف جنس یاتاقان که اکنون در دسترس هستند، بر حسب این مشخصه‌ها ارزش یابی شده‌اند. این مواد شامل فلزات (بایتها، برنزها، آلیاژهای آلمینیوم، فلزات متخلخل، و جایگزین فلز مثل نقره و ایندیوم) یا غیر فلزات (پلاستیکها، لاستیک، گرافیک کربنی، سرامیکها، کاربیدهای سیمانی، و اکسیدهای فلزی) هستند. مواد یاتاقانی قابل کاربرد در سطوح همدیسی که روان کاری هیدرودینامیکی در آن اتفاق می‌افتد و همچنین در مورد سطوح غیرهمدیسی که روان کاری الاستو هیدرودینامیکی اتفاق می‌افتد، بحث شدند. تنشهای اعمال شده روی سطوح همدیسی و غیرهمدیسی به مقدار قابل ملاحظه ای متفاوت هستند؛ بنابراین احتیاجات سطح جامد کاملاً متفاوت می‌باشند. مقادیر خواص تعدادی از مواد، صلب لازم در ارزیابی یاتاقانهای فیلم سیال را لیست می‌کند. این خواص شامل دانسته جرم، مدول کشسانی، نسبت پویسان، ضربه انبساط خطی حرارتی، ضربه هدایت حرارتی، و ظرفیت حرارتی ویژه هستند. مقادیر این پارامترها برای فلزات مختلف، پولیمرها، سرامیکها در دمای اتاق مشخص شدند. موضوع توضیح داده شده و بسط یافته در این فصل، در فصلهای بعدی نیز مورد استفاده قرار خواهد گرفت.

۵-۸ مسائل

۵-۸-۱ انواع اصلی موادی که برای استفاده در یک یاتاقان ژورنال ساده، وقتی که یک روغن یا یک چربی به عنوان یک روان‌کننده غیر مطلوب در دسترس است را تشریح و مقایسه کنید.

۵-۹ فهرست منابع و مأخذ

- Anderson, N. E., and Zaretsky, E. V. (1975): Short-Term Hot-Hardness Characteristics of Five Case-Hardened Steels. *NASA Tech. Note D-8031*.
- Bamberger, E. N. (1970): Effect of Materials—Metallurgy Viewpoint. *Interdisciplinary Approach to the Lubrication of Concentrated Contacts*, P. M. Ku (ed.), *NASA Spec. Publ. 237*, pp. 409–437.
- Bamberger, E. N., Zaretsky, E. V., and Signer, H. (1976): Endurance and Failure Characteristics of Main-Shaft Jet Engine Bearing at 3×10^6 DN. *J. Lubr. Technol.*, vol. 98, no. 4, pp. 580–585.
- Bamberger, E. N., et al. (1980): Materials for Rolling Element Bearings. *Bearing Design—Historical*

- Aspects, Present Technology and Future Problems*, W. J. Anderson (ed.), ASME, New York, pp. 1-46.
- Booser, E. R. (1966): Bearing Materials and Properties. *Mach. Des.*, vol. 38, Mar., pp. 22-28.
- Clauser, H. R. (1948): Bearing Metals. (*Materials and Methods Manual 40*), *Mater. Methods*, vol. 28, no. 2, pp. 75-86.
- Cundill, R. T., and Giordano, F. (1982): Lightweight Materials for Rolling Elements in Aircraft Bearings. *Problems in Bearings and Lubrication*, AGARD/Conf. Proc. 323, pp. 6-1 to 6-11.
- Dowson, D. (1979): *History of Tribology*, Longman, London and New York.
- Engineering Sciences Data Unit (ESDU) (1984): *Properties of Common Engineering Materials*. Item 84041, London.
- Kaufman, H. N. (1980): Bearing Materials. *Tribology-Friction, Lubrication, and Wear*, A. Z. Szeri (ed.). Hemisphere Publishing Corp., Washington, D. C., pp. 477-505.
- O'Conner, J. J., Boyd, J., and Avellone, E. A. (eds.) (1968): *Standard Handbook of Lubrication Engineering*. McGraw-Hill, New York.
- Sibley, L. B. (1982): *Silicon Nitride Bearing Elements for High-Speed High-Temperature Applications*. AGARD/Conf. Proc. 323, pp. 5-1 to 5-15.
- Zaretsky, E. V., and Anderson, W. J. (1966): Material Properties and Processing Variables and Their Effect on Rolling-Element Fatigue. *NASA Tech. Memo. X-52227*.

فصل ششم

جريان لزج

مطالب این فصل در باره جنبه هایی از مکانیک سیالات است، که در درک روان کاری فیلم سیال اهمیت دارند. چهار جنبه از جریان لزج که دارای اهمیت هستند، عبارتند از:

- ۱- نیروی مقاوم لزجت ناشی از سیال، با نرخ تغییر شکل افزایش می یابد.^۱ برای به حرکت در آوردن سیال با سرعت بیشتر، به نیروی بزرگتری نیاز است.
- ۲- هنگامی که نیروی وارد بر سیال حذف می شود، مولکولها به موقعیت اولیه خود بر نمی گردند. جریان سیال به صورت یک تغییر حالت برگشت ناپذیر است و کاری که برای به حرکت در آوردن سیال لزج انجام می شود، به حرارت تبدیل می گردد.
- ۳- لزجت یک مایع با افزایش دما کاهش می یابد. هرچه انرژی حرارتی بیشتر باشد، آزادی حرکت مولکولها بیشتر است. (نیروی خارجی کمتری برای شتاب دادن آنها لازم است).
- ۴- لزجت مایع با افزایش فشار مثلاً در اتصالات ناهمدیسی^۲ معمولاً افزایش می یابد. این افزایش لزجت ممکن است که تا چندین برابر لزجت اولیه باشد. این امر یک نکته مثبت محسوب می شود، زیرا بدان معنی است که هرچه که فشار بیشتری برای به خارج راندن یک روان کننده وارد شود، لزجت آن افزایش یافته و در مقابل خارج شدن مقاومت بیشتری از خود نشان می دهد.

۶-۱ معادله پتروف^۱

در این بخش فرضیه نیوتن^۲ (قسمت ۳-۴) برای یک یاتاقان ژورنال کامل و متحdalمرکز (شکل ۶-۱) به کار گرفته می شود. سپس نشان داده خواهد شد که ژورنال فقط هنگامی به صورت متحdalمرکز کار خواهد کرد که یکی از شرایط ذیل برقرار باشد:

۱- بار شعاعی واردہ بر یاتاقان برابر با صفر باشد.

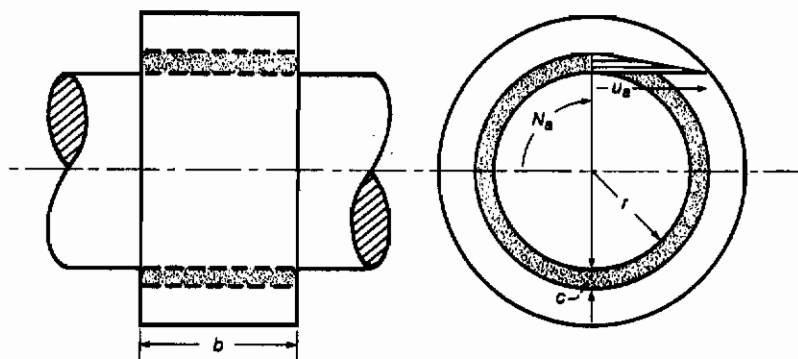
۲- لزجت روان کننده بی نهایت باشد.

۳- سرعت ژورنال بی نهایت باشد. هیچ کدام از این شرایط عملأ وجود ندارند؛ ولی اگر بار به اندازه کافی سبک، بوده و سرعت ژورنال هم به قدر کافی زیاد باشد و همچنین لزجت سیال به اندازه کافی بالا باشد، در آن صورت خارج از مرکزی ژورنال نسبت به یاتاقان ممکن است آنقدر کوچک باشد که بتوان ضخامت فیلم روغن اطراف ژورنال را عملأ یکنواخت در نظر گرفت.

در یک یاتاقان ژورنال، همیشه فیلم روغن نسبت به شعاع ژورنال نازک است. بنابراین انحنای سطح یاتاقان را می توان نادیده گرفت و این فیلم را به صورت لایه جامدی با ضخامتی برابر با القی شعاعی^۳ و طولی برابر با $2\pi r$ و پهنایی برابر با b یا عرض یاتاقان در نظر گرفت (شکل ۶-۲). فرض کنید که لزجت در سرتاسر فیلم روغن ثابت باشد؛ در شکل ۶-۲، سطح تحتانی ثابت و سطح فوقانی با سرعت ثابت^۴ در حال حرکت است. پتروف (۱۸۸۳)، برای به دست آوردن معادله خود، شرط بدون لغزش بودن در فصل مشترک بین روان کننده و سطوح جامد را در نظر گرفت.

با به کار گیری فرض نیوتن به صورت معادله (۴-۲)، نیروی اصطکاک در یک ژورنال متحdalمرکز به صورت:

$$f = \eta_0 A \frac{u_a}{c} = \eta_0 2\pi r b \frac{2\pi r N_a}{c} = \frac{4\pi^2 \eta_0 r^2 b N_a}{c} \quad (6-1)$$



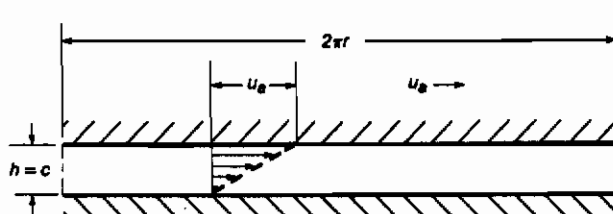
شکل ۶-۶- یاتاقان ژورنال متعددالمرکز

بدست می آید که در آن، سرعت بر حسب دور در ثانیه و لزحت در $p = 0$ و دمای ثابت است. ضریب اصطکاک برای یک یاتاقان ژورنال متعددالمرکز را می توان به صورت:

$$\mu = \frac{f}{w_z} = \frac{4\pi^2\eta_0 r^2 b N_a}{c w_z} \quad (6-2)$$

نوشت که در آن ω بار عمودی اعمال شده است. گشتاور اصطکاک برای یک یاتاقان ژورنال متعددالمرکز را می توان به صورت:

$$t_q = fr = \frac{4\pi^2\eta_0 r^3 b N_a}{c} = \frac{2\pi\eta_0 r^3 b \omega}{c} \quad (6-3)$$



شکل ۶-۶- سطوح باز شده یاتاقان و ژورنال برای یک یاتاقان ژورنال متعددالمرکز

نوشت که در آن، $\omega = 2\pi N_a$ سرعت زاویه‌ای برحسب را ویان بر ثانیه می‌باشد. معادله (۶-۳) معمولاً «معادله پتروف» نامیده می‌شود (به نام کسی که معادله مشابهی برای گشتاور، در تحقیقات خود که در سال ۱۳۸۳ منتشر شد، پیشنهاد کرد).

اتلاف قدرت برابر با سرعت ضرب در نیروی اصطکاک است. این اتلاف قدرت، برای یک یاتاقان ژورنال متعدد مرکز (با پار سپک)، را می‌توان برحسب توان اسپ و به صورت:

$$H_p = \frac{8\pi^3}{(12)(550)} \frac{\eta_0 r^3 b N_a^2}{c} = (0.03758) \frac{\eta_0 r^3 b N_a^2}{c} \quad (6-4)$$

بیان کرد، که در آن؛ لزجت در $p = 0$ و دمای ثابت، برحسب $\text{lbf} \cdot \text{s} / \text{in}^2$

r شعاع ژورنال برحسب اینچ

b پهنای ژورنال برحسب اینچ

N_a سرعت برحسب ثانیه - دور

c لقی شعاعی برحسب اینچ

توجه شود که معادله (۶-۴) فقط برای این واحدها معتبر است.

۶-۲ معادلات ناویر - استوکس

در تجزیه و تحلیل روانکاری هیدرودینامیکی و در بسیاری از تجزیه و تحلیلهای مربوط به روانکاری الاستو هیدرودینامیکی، روان کننده‌ها به صورت سیالی نیوتونی فرض می‌شوند. همان طور که در فصل ۴ آورده شده است، در این نوع سیالات تنش برشی رابطه بین نرخ تغییر شکل زاویه‌ای و به صورت خطی است. علاوه بر فرض رفتار نیوتونی سیال، همچنین فرض کنید که جریان آرام وجود دارد. برای این شرایط، با در نظر گرفتن خواص مولکولی سیال و استفاده از فرضیه لزجت نیوتون، ناویر^۱ (۱۸۲۳) معادلات حرکت سیالات لزج را بدست آورد. همچنین، معادلات حاکم بر جریان سیالات لزج، به صورتی که فرم آنها مختصراً تفاوتی با معادلات ناویر داشت، توسط استوکس^۲ (۱۸۴۵) بدست آمد؛ لذا این معادلات با عنوان «معادلات حرکت ناویر - استوکس» شناخته می‌شوند.

معادلات ناوير- استوکس را می توان با در نظر گرفتن تعادل دینامیکی یک المان سیال بدست آورد. برای این منظور، لازم است که نیروهای اینرسی (یا شتاب دهنده)، نیروهای جرمی و نیروهای سطحی در نظر گرفته شوند.

۱-۲-۶ نیروهای سطحی

شکل ۳-۶، بعضی از تنشهای وارد بر سطوح المانی از یک سیال لزج را نشان می دهد. بر روی هریک از سه سطح عمود بر یکدیگر، سه تنش وجود دارد که جمعبانه مؤلفه تنش را بدست می دهد. از هر سه تنش عمل کننده روی یک سطح، تنش عمودی با τ_0 و تنش برشی با τ_z مشخص شده اند. به منظور جلوگیری از شلوغی شکل، تنشهای روی سطح عمود بر محور در شکل نشان داده نشده اند. اولین اندیس در تنشهای برشی، جهت عمود بر صفحه ای را نشان می دهد که تنش بر روی آن عمل می کند و دومین اندیس نیز جهت تنش را مشخص می کند. در مورد تنشهای سطحی به پنج رابطه زیر باید توجه شود:

۱- برای برقراری تعادل گشتاورهای نیروهای وارد بر المان سیال، تنشها باید متقاضن باشند؛ یعنی جای اندیسها در تنشهای برشی را می توان تغییر داد:

$$\tau_{xy} = \tau_{yx} \quad \tau_{xz} = \tau_{zx} \quad \tau_{yz} = \tau_{zy} \quad (6-5)$$

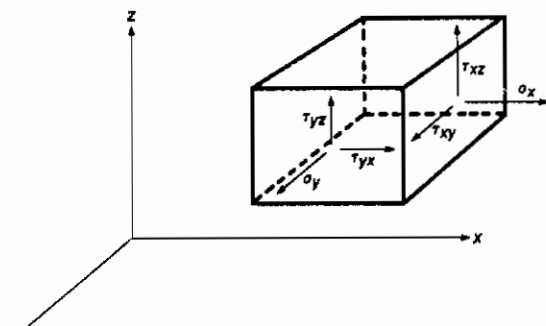
۲- فشار هیدرولاستاتیک سیال برابر با متوسط سه مؤلفه تنش عمودی در نظر گرفته می شود:

$$\sigma_x + \sigma_y + \sigma_z = -3p \quad (6-6)$$

علامت منها به کار برده می شود؛ زیرا که فشار هیدرولاستاتیکی به صورت تنش فشاری است، در صورتی که تنشهای مشتب کششی هستند.

۳- اندازه تنشهای برشی به نرخ تغییر شکل سیال بستگی دارد. برای بیشتر سیالات این وابستگی به صورت:

$$\tau_{ij} = \eta \left(\frac{\partial u_i}{\partial x_j} + \frac{\partial u_j}{\partial x_i} \right) \quad (6-7)$$



شکل ۶-۳- تنشهای روی دو سطح از یک المان سیال

$$\eta = N \cdot s / m^2$$

می باشد، که در آن :

$$u_i = m/s \quad (\text{ مؤلفه های بردار سرعت بر حسب } u_x = u, u_y = v, u_z = w)$$

$$x_i = m \quad (\text{ مؤلفه های بردار مختصات بر حسب } x_x = x, x_y = y, x_z = z)$$

به شماحت معادله (۶-۷) و فرض نیوتون [معادله (۴-۱)] توجه کنید. جملات داخل پرانتز در معادله (۶-۷) به اندازه تغییر شکل المان سیالی ارتباط دارند.

۴- تنشهای عمودی را می توان به صورت :

$$\sigma_i = -p + \lambda_a \xi_a + 2\eta \frac{\partial u_i}{\partial x_i} \quad (6-8)$$

نوشت، که در آن :

$$\xi_a = \frac{\partial u}{\partial x} + \frac{\partial v}{\partial y} + \frac{\partial w}{\partial z} \quad (6-9)$$

و λ ضریب دوم لزجت می باشد. λ ، دیورژانس بردار سرعت، نرخی را که سیال از هر نقطه به خارج جاری می شود، یعنی تغییر حجم^۱ یا انبساط سیال را اندازه می گیرد.

۵- از معادله (۶-۸) :

$$\sigma_x = -p + \lambda_a \xi_a + 2\eta \frac{\partial u}{\partial x}$$

$$\sigma_y = -p + \lambda_a \xi_a + 2\eta \frac{\partial v}{\partial y}$$

$$\sigma_z = -p + \lambda_a \xi_a + 2\eta \frac{\partial w}{\partial z}$$

با جای گذاری این عبارات در معادله (۶-۶) داریم:

$$-3p + 3\lambda_a \xi_a + 2\eta \left(\frac{\partial u}{\partial x} + \frac{\partial v}{\partial y} + \frac{\partial w}{\partial z} \right) = -3p$$

$$3\lambda_a \xi_a + 2\eta \xi_a = 0$$

یا:

$$\therefore \lambda_a = -2\eta/3 \quad (6-10)$$

بنابراین ضریب دوم لزجت را می‌توان به سادگی بر حسب لزجت مطلق بیان کرد.

نتیجه گیری در مورد تنشهای سطحی را می‌توان به صورت:

$$\tau_{ij} = \tau_{ji} \quad (6-11)$$

$$\tau_{ij} = \eta \left(\frac{\partial u_i}{\partial x_j} + \frac{\partial u_j}{\partial x_i} \right) \quad (6-12)$$

$$\sigma_i = -p - 2\eta \xi_a/3 + 2\eta \frac{\partial u_i}{\partial x_i} \quad (6-13)$$

بیان کرد. تنشهای عمودی و برشی سبب به حرکت درآمدن المان در جهتهای x ، y ، و z می‌شوند. نیروهای سطحی حاصل از این تنشها را می‌توان به صورت:

$$\frac{\partial \sigma_i}{\partial x_i} dx dy dz \quad (6-14-الف)$$

و:

$$\frac{\partial \tau_{ij}}{\partial x_j} dx dy dz \quad (6-14-ب)$$

بیان کرد.

۶-۲-۲ نیروهای جرمی

قسمتی از نیروهای لازم جهت به شتاب درآوردن یک المان سیال را می‌توان توسط میدان نیروهای خارجی، مانند گرانش، که به تمام جرم المان بستگی دارد، فراهم آورد. اگر مؤلفه‌های میدان نیروی خارجی برای هر واحد جرم X_a ، Y_a ، و Z_a باشند، مقدار این نیروها که بر یک المان وارد می‌شوند، عبارتند از:

$$X_a \rho dx dy dz \quad Y_a \rho dx dy dz \quad Z_a \rho dx dy dz \quad (6-15)$$

توجه کنید که واحدهای X_a ، Y_a ، Z_a متر بر مجدور ثانیه هستند، زیرا که جرم مخصوص نیرو دارای واحد نیوتن - مجدور ثانیه بر متر به توان چهار است.

۶-۲-۳ نیروهای اینرسی

سه مشتق کلی Dw/Dt ، Dv/Dt ، Du/Dt سه مؤلفه شتاب سیال را تشکیل می‌دهند. آنچه که در ذیل می‌آید اهمیت مشتق کلی را مشخص می‌کند. فقط مؤلفه سرعت درجهت x را در نظر بگیرید:

$$\therefore u = f(x, y, z, t) \quad (6-16)$$

مقدار تغییر u که در فاصله زمانی dt اتفاق می‌افتد، عبارت است از:

$$Du = \frac{\partial u}{\partial t} dt + \frac{\partial u}{\partial x} dx + \frac{\partial u}{\partial y} dy + \frac{\partial u}{\partial z} dz \quad (6-17)$$

در حده هشمن این که $0 \rightarrow dt$ ، داریم: $dw/dt = w$ ، $dv/dt = v$ ، $du/dt = u$. بنابراین اگر معادله (6-17) بر dt تقسیم شود، مشتق کلی برای مؤلفه u را می‌توان به صورت:

$$\frac{Du}{Dt} = \frac{\partial u}{\partial t} + u \frac{\partial u}{\partial x} + v \frac{\partial u}{\partial y} + w \frac{\partial u}{\partial z} \quad (6-18)$$

نوشت. به طور مشابه نیز برای مؤلفه‌های سرعت v و w ، داریم:

$$\frac{Dv}{Dt} = \frac{\partial v}{\partial t} + u \frac{\partial v}{\partial x} + v \frac{\partial v}{\partial y} + w \frac{\partial v}{\partial z} \quad (6-19)$$

$$\frac{Dw}{Dt} = \frac{\partial w}{\partial t} + u \frac{\partial w}{\partial x} + v \frac{\partial w}{\partial y} + w \frac{\partial w}{\partial z} \quad (6-20)$$

مشتق کلی تغییر سرعت یک المان سیال را ضمن حرکت در فضای نشان می‌دهد. عبارت $\frac{\partial}{\partial t}$ به عنوان «مشتق موضعی»^۱ شناخته می‌شود، زیرا که تغییرات سرعت به زمان در یک نقطه ثابت را نشان می‌دهد، سه جمله بعدی با یکدیگر دسته بندی شده و «دیفرانسیل جابجایی»^۲ نامیده می‌شوند.

بنابراین، نیروهای لازم برای شتاب دادن المان سیال در جهتهای x و y عبارتند از:

$$\rho \frac{Du}{Dt} dx dy dz \quad \rho \frac{Dv}{Dt} dx dy dz \quad \rho \frac{Dw}{Dt} dx dy dz \quad (6-21)$$

۶-۲-۴ تعادل

با تعریف نیروهای سطحی، جرمی، و اینرسی واردۀ بر روی یک المان سیال، حال لزوم تعادل دینامیکی را می‌توان به صورت ریاضی نوشت. وقتی که جمله مشترک $dx dy dz$ از هر جمله حذف شود و متجه نیروی اینرسی برابر با مجموع نیروهای جرمی و سطحی قرارداده شوند:

$$\rho \frac{Du}{Dt} = \rho X_a + \frac{\partial \sigma_x}{\partial x} + \frac{\partial \tau_{xy}}{\partial y} + \frac{\partial \tau_{xz}}{\partial z} \quad (6-22)$$

$$\rho \frac{Dv}{Dt} = \rho Y_a + \frac{\partial \tau_{yx}}{\partial x} + \frac{\partial \sigma_y}{\partial y} + \frac{\partial \tau_{yz}}{\partial z} \quad (6-23)$$

$$\rho \frac{Dw}{Dt} = \rho Z_a + \frac{\partial \tau_{zx}}{\partial x} + \frac{\partial \tau_{zy}}{\partial y} + \frac{\partial \sigma_z}{\partial z} \quad (6-24)$$

با استفاده کردن از معادلات (۶-۱۱) تا (۶-۱۳)، معادلات ناویر-استوکس در مختصات کارتزین، عبارتند از:

$$\begin{aligned} \rho \frac{Du}{Dt} &= \rho X_a - \frac{\partial p}{\partial x} - \frac{2}{3} \frac{\partial}{\partial x} (\eta \xi_a) + 2 \frac{\partial}{\partial x} \left(\eta \frac{\partial u}{\partial x} \right) \\ &\quad + \frac{\partial}{\partial y} \left[\eta \left(\frac{\partial u}{\partial y} + \frac{\partial v}{\partial x} \right) \right] + \frac{\partial}{\partial z} \left[\eta \left(\frac{\partial u}{\partial z} + \frac{\partial w}{\partial x} \right) \right] \end{aligned} \quad (6-25)$$

$$\rho \frac{Dv}{Dt} = \rho Y_a - \frac{\partial p}{\partial y} - \frac{2}{3} \frac{\partial}{\partial y} (\eta \xi_a) + 2 \frac{\partial}{\partial y} \left(\eta \frac{\partial v}{\partial y} \right) + \frac{\partial}{\partial x} \left[\eta \left(\frac{\partial u}{\partial y} + \frac{\partial v}{\partial x} \right) \right] + \frac{\partial}{\partial z} \left[\eta \left(\frac{\partial v}{\partial z} + \frac{\partial w}{\partial y} \right) \right] \quad (6-26)$$

$$\rho \frac{Dw}{Dt} = \rho Z_a - \frac{\partial p}{\partial z} - \frac{2}{3} \frac{\partial}{\partial z} (\eta \xi_a) + 2 \frac{\partial}{\partial z} \left(\eta \frac{\partial w}{\partial z} \right) + \frac{\partial}{\partial x} \left[\eta \left(\frac{\partial u}{\partial z} + \frac{\partial w}{\partial x} \right) \right] + \frac{\partial}{\partial y} \left[\eta \left(\frac{\partial v}{\partial z} + \frac{\partial w}{\partial y} \right) \right] \quad (6-27)$$

عبارات سمت چپ این معادلات نماینده اثرات اینزرسی و عبارات سمت راست به ترتیب نیروی جرمی، گرادیان فشار و جملات مربوط به لزجت هستند. معادلات (6-۲۵) تا (6-۲۷) عمومی‌ترین شکل معادلات ناویر-استوکس بیان شده در دستگاه مختصات کارتزین برای یک سیال نیوتینی است. این معادلات در مکانیک سیالات نقش اساسی را بازی می‌کنند و تقریباً همه کارهای تحلیلی در گیرباسیال لزج، بر مبنای آنها است. این معادلات هنوز به جرم مخصوص ثابت یا لزجت ثابت محدود نشده است. آنها، برای جریان متراکم لزج، با لزجت متغیر معتبر هستند. توجه داشته باشید که اگر از جملات مربوط به اینزرسی در معادلات (6-۲۵) تا (6-۲۷) چشم پوشی شوند (سمت چپ این معادلات برابر با صفر قرار گیرند)، این شکل از معادلات، بعضی اوقات به عنوان «معادلات استوکس» نامیده می‌شوند.

۱-۴-۶ شکل‌های استاندارد

برای تمام فرمهای معادلات ناویر-استوکس که در این قسمت ارائه می‌شوند، فرض براین است که لزجت ثابت است ($\eta = \eta_0$) .

۱-۵-۶ مختصات کارتزین

اگر لزجت ثابت فرض شود، معادلات ناویر-استوکس در دستگاه مختصات کارتزین را می‌توان ساده کرده و به صورتهای زیرنوشت:

$$\rho \frac{Du}{Dt} = \rho X_a - \frac{\partial p}{\partial x} + \eta_0 \left(\frac{\partial^2 u}{\partial x^2} + \frac{\partial^2 u}{\partial y^2} + \frac{\partial^2 u}{\partial z^2} \right) + \frac{\eta_0}{3} \frac{\partial \xi_a}{\partial x} \quad (6-28)$$

$$\rho \frac{Dv}{Dt} = \rho Y_a - \frac{\partial p}{\partial y} + \eta_0 \left(\frac{\partial^2 v}{\partial x^2} + \frac{\partial^2 v}{\partial y^2} + \frac{\partial^2 v}{\partial z^2} \right) + \frac{\eta_0}{3} \frac{\partial \xi_a}{\partial y} \quad (6-29)$$

$$\rho \frac{Dw}{Dt} = \rho Z_a - \frac{\partial p}{\partial z} + \eta_0 \left(\frac{\partial^2 w}{\partial x^2} + \frac{\partial^2 w}{\partial y^2} + \frac{\partial^2 w}{\partial z^2} \right) + \frac{\eta_0}{3} \frac{\partial \xi_a}{\partial z} \quad (6-30)$$

حال اگر علاوه بر لزجت، دانسیته نیرو نیز ثابت باشد ($\rho = \rho_0$) ، آنوقت آخرین جمله در سمت راست این معادلات صفر می شود. قبلاً [معادله (6-9)] $\xi_a = \partial u / \partial x + \partial v / \partial y + \partial w / \partial z$ به عنوان تغییر حجم یا اندازه گیر نرخی که در آن سیال از هر نقطه خارج می شود، یعنی اندازه گیر ان بواسطه سیال، تعریف شد. اگر جرم مخصوص سیال برابر با دانسیته نیرو در $0 = \rho_0$ در دمای ثابت باشد ($\rho = \rho_0$) ، سپس $\xi_a = 0$ است.

۶-۲-۵-۶ مختصات استوانه ای

در سیستم مختصات استوانه ای با $x = r \sin \theta$ ، $y = r \cos \theta$ ، r ، θ ، z به ترتیبی که در معادلات ناویر-استوکس برای لزجت و جرم مخصوص ثابت را می توان باشد، مختصات استوانه ای با r ، θ ، z به صورت زیر نوشت:

$$\rho_0 \left(\frac{\partial v_r}{\partial t} + v_r \frac{\partial v_r}{\partial r} + \frac{v_\theta}{r} \frac{\partial v_r}{\partial \theta} + v_z \frac{\partial v_r}{\partial z} - \frac{v_\theta^2}{r} \right) = \rho_0 X_c - \frac{\partial p}{\partial r} + \eta_0 \left(\nabla^2 v_r - \frac{v_r}{r^2} - \frac{2}{r^2} \frac{\partial v_\theta}{\partial \theta} \right) \quad (6-31)$$

$$\rho_0 \left(\frac{\partial v_\theta}{\partial t} + v_r \frac{\partial v_\theta}{\partial r} + \frac{v_\theta}{r} \frac{\partial v_\theta}{\partial \theta} + v_z \frac{\partial v_\theta}{\partial z} + \frac{v_r v_\theta}{r} \right) = \rho_0 Y_c - \frac{1}{r} \frac{\partial p}{\partial \theta} + \eta_0 \left(\nabla^2 v_\theta - \frac{v_\theta}{r^2} + \frac{2}{r^2} \frac{\partial v_r}{\partial \theta} \right) \quad (6-32)$$

$$\rho_0 \left(\frac{\partial v_z}{\partial t} + v_r \frac{\partial v_z}{\partial r} + \frac{v_\theta}{r} \frac{\partial v_z}{\partial \theta} + v_z \frac{\partial v_z}{\partial z} \right) = \rho_0 Z_c - \frac{\partial p}{\partial z} + \eta_0 \nabla^2 v_z \quad (6-33)$$

که در آن:

$$\nabla^2 = \frac{\partial^2}{\partial r^2} + \frac{1}{r} \frac{\partial}{\partial r} + \frac{1}{r^2} \frac{\partial^2}{\partial \theta^2} + \frac{\partial^2}{\partial z^2} \quad (6-34)$$

است.

۶-۲-۵-۶ مختصات کروی

معادلات قابل مقایسه با (6-۳۱) تا (6-۳۴) برای معادلات ناویر-استوکس در مختصات کروی r, θ, ϕ که در آن:

$$x = r \sin \theta \cos \phi$$

$$y = r \sin \theta \sin \phi \quad (6-35)$$

$$z = r \cos \theta$$

عبارتند از:

$$\frac{\partial v_r}{\partial t} + v_r \frac{\partial v_r}{\partial r} + \frac{v_\theta}{r} \frac{\partial v_r}{\partial \theta} + \frac{v_\phi}{r \sin \theta} \frac{\partial v_r}{\partial \phi} - \frac{v_\theta^2 + v_\phi^2}{r} \\ = X_s + \frac{1}{\rho_0} \frac{\partial p}{\partial r} + \frac{\eta_0}{\rho_0} \left(\nabla^2 v_r - \frac{2v_r}{r^2} - \frac{2}{r^2} \frac{\partial v_\theta}{\partial \theta} - \frac{2v_\theta \cot \theta}{r^2} - \frac{2}{r^2 \sin \theta} \frac{\partial v_\phi}{\partial \phi} \right) \quad (6-36)$$

$$\frac{\partial v_\theta}{\partial t} + v_r \frac{\partial v_\theta}{\partial r} + \frac{v_\theta}{r} \frac{\partial v_\theta}{\partial \theta} + \frac{v_\phi}{r \sin \theta} \frac{\partial v_\theta}{\partial \phi} + \frac{v_r v_\theta}{r} - \frac{v_\phi^2 \cot \theta}{r} \\ = Y_s - \frac{1}{\rho_0} \frac{1}{r} \frac{\partial p}{\partial \theta} + \frac{\eta_0}{\rho_0} \left(\nabla^2 v_\theta + \frac{2}{r^2} \frac{\partial v_r}{\partial \theta} - \frac{v_\theta}{r^2 \sin^2 \theta} - \frac{2 \cos \theta}{r^2 \sin^2 \theta} \frac{\partial v_\phi}{\partial \phi} \right) \quad (6-37)$$

$$\frac{\partial v_\phi}{\partial t} + v_r \frac{\partial v_\phi}{\partial r} + \frac{v_\theta}{r} \frac{\partial v_\phi}{\partial \theta} + \frac{v_\phi}{r \sin \theta} \frac{\partial v_\phi}{\partial \phi} + \frac{v_\phi v_r}{r} + \frac{v_\theta v_\phi \cot \theta}{r} \quad (6-38)$$

$$= Z_s - \frac{1}{\rho_0} \frac{1}{r \sin \theta} \frac{\partial p}{\partial \phi}$$

$$+ \frac{\eta_0}{\rho_0} \left(\nabla^2 v_\phi - \frac{v_\phi}{r^2 \sin^2 \theta} + \frac{2}{r^2 \sin \theta} \frac{\partial v_r}{\partial \phi} + \frac{2 \cos \theta}{r^2 \sin^2 \theta} \frac{\partial v_\theta}{\partial \phi} \right) \quad (6-39)$$

که در آن:

$$\nabla^2 = \frac{1}{r^2} \frac{\partial}{\partial r} \left(r^2 \frac{\partial}{\partial r} \right) + \frac{1}{r^2 \sin \theta} \frac{\partial}{\partial \theta} \left(\sin \theta \frac{\partial}{\partial \theta} \right) + \frac{1}{r^2 \sin^2 \theta} \frac{\partial^2}{\partial \phi^2} \quad (6-39)$$

می باشد.

۴-۲-۵-۶ جریان مغشوش- مختصات کارتزین

تا اینجا، فرض بر آرام بودن جریان بوده است؛ لذا بیشتر این کتاب فقط درمورد جریان آرام خواهد بود. ولی تشریح معادلات ناویر-استوکس در جریان مغشوش نیز لازم و مهم است. در جریان آرام الگوی سرعت یکنواخت و قابل پیش‌بینی است، در صورتی که برای جریان مغشوش الگوی سرعت در جایی که ادیها^۱ و گردابه‌ها^۲ وجود دارند، تغییر می‌کند و جریان نامنظم است. بنابراین خواص جریان از قبیل سرعتها و فشار، نسبت به زمان و مکان تغییرات اتفاقی نشان می‌دهند. به این دلیل، مقدار لحظه‌ای اهمیت کاربردی کمی دارد و مقدار متوسط، قابل توجه است.^۳ بنابراین ممکن است که ما فشار و سرعتها را به صورت ذیل بیان کنیم:

$$\begin{aligned} p &= p^* + p' & v &= v^* + v' \\ u &= u^* + u' & w &= w^* + w' \end{aligned} \quad (6-40)$$

که در آن مقادیر ستاره دار مقدار متوسط و مقادیر پریم دار انحراف از مقدار متوسط هستند. با جایگذاری معادله (6-۴۰) در معادلات (6-۲۸) تا (6-۳۰)، و با پیروی کردن از طرز عمل، مثلاً، سزری^۴ (۱۹۸۰) داریم:

$$\begin{aligned} \rho^* \frac{\partial u^*}{\partial t} + \rho^* u^* \frac{\partial u^*}{\partial x} + \rho^* v^* \frac{\partial u^*}{\partial y} + \rho^* w^* \frac{\partial u^*}{\partial z} \\ = \rho^* X_a - \frac{\partial p^*}{\partial x} + \eta_0 \frac{\partial^2 u^*}{\partial z^2} - \frac{\partial}{\partial x} [\rho^* (u' u')^*] \\ - \frac{\partial}{\partial y} [\rho^* (u' v')^*] - \frac{\partial}{\partial z} [\bar{\rho} (u' w')^*] \end{aligned} \quad (6-41)$$

$$\begin{aligned} & \rho^* \frac{\partial v^*}{\partial t} + \rho^* u^* \frac{\partial v^*}{\partial x} + \rho^* v^* \frac{\partial v^*}{\partial y} + \rho^* w^* \frac{\partial v^*}{\partial z} \\ &= \rho^* Y_a - \frac{\partial p^*}{\partial y} + \eta_0 \frac{\partial^2 v^*}{\partial z^2} - \frac{\partial v^*}{\partial x} [\rho^* (u' v')^*] \\ &\quad - \frac{\partial}{\partial y} [\rho^* (v' v')^*] - \frac{\partial}{\partial z} [\rho^* (v' w')^*] \end{aligned} \quad (6-42)$$

$$\begin{aligned} & \rho^* \frac{\partial w^*}{\partial t} + \rho^* u^* \frac{\partial w^*}{\partial x} + \rho^* v^* \frac{\partial w^*}{\partial z} + \rho^* w^* \frac{\partial w^*}{\partial z} \\ &= \rho^* Z_a - \frac{\partial p^*}{\partial z} + \eta_0 \frac{\partial^2 w^*}{\partial z^2} - \frac{\partial}{\partial x} [\rho^* (u' w')^*] \\ &\quad - \frac{\partial}{\partial y} [\rho^* (v' w')^*] - \frac{\partial}{\partial z} [\rho^* (w' w')^*] \end{aligned} \quad (6-43)$$

اگر ما از جملات اینرسی و نیروی جرمی صرف نظر کرده و فقط تنشهای مغشوش غالب را نگهداشیم، معادلات بالا می‌شوند.

$$0 = - \frac{\partial p^*}{\partial x} + \eta_0 \frac{\partial^2 u^*}{\partial z^2} - \frac{\partial}{\partial z} [\rho^* (u' w')^*] \quad (6-44)$$

$$0 = - \frac{\partial p^*}{\partial y} + \eta_0 \frac{\partial^2 v^*}{\partial z^2} - \frac{\partial}{\partial z} [\rho^* (v' w')^*] \quad (6-45)$$

$$0 = - \frac{\partial p^*}{\partial z} + \eta_0 \frac{\partial^2 w^*}{\partial z^2} - \frac{\partial}{\partial z} [\rho^* (w' w')^*] \quad (6-46)$$

معادلات (6-44) تا (6-46) نشان می‌دهند که برخلاف جریان آرام، در جریان مغشوش گستره فشار در عرض فیلم دیگر هیدرواستاتیک نیست.

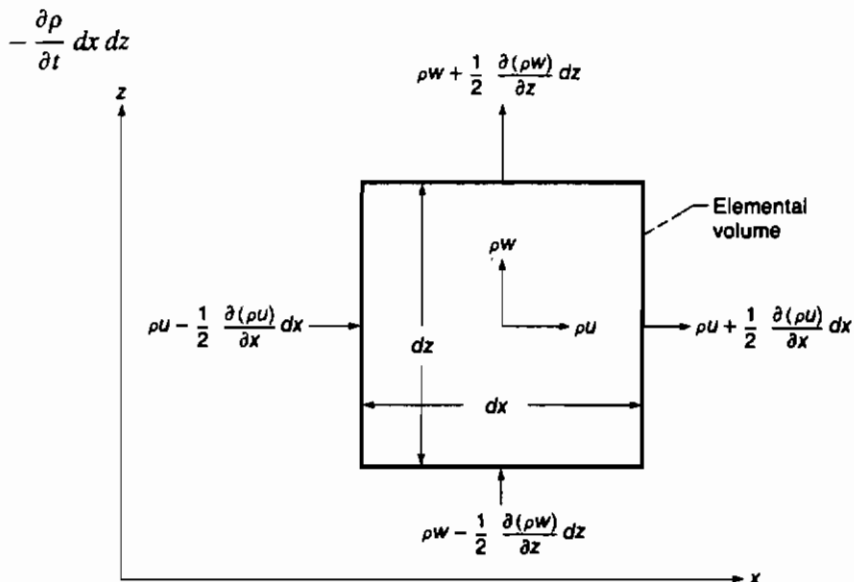
۶-۳ معادله پیوستگی

معادلات ناویر-استوکس شامل سه معادله و چهار مجهول هستند: u ، v ، w و p .

لزجت و جرم مخصوص را می‌توان به عنوان تابعی از فشار و دما نوشت. چهارمین معادله توسط «معادله پیوستگی» فراهم می‌شود. اصل بقاء جرم ایجاب می‌کند که، جرم مؤثر خارج شده از یک حجم سیال، باید برابر با کاهش جرم داخل این حجم باشد. این امر به سادگی با مراجعه به شکل ۶-۴، محاسبه می‌شود. جریان جرم در واحد زمان و مساحت، از داخل یک سطح، برابر با حاصل ضرب سرعت عمود براین سطح و جرم مخصوص است. بنابراین مؤلفه شار جرم در واحد سطح در مرکز حجم، ρu است. ولی این شار، همان طوری که در شکل ۶-۴ نشان داده شده است، از یک نقطه تا نقطه دیگر تغییر می‌کند؛ بنابراین جرم مؤثر خارج شونده در واحد زمان برابر با:

$$\left[\rho u + \frac{1}{2} \frac{\partial(\rho u)}{\partial x} dx \right] dz + \left[\rho w + \frac{1}{2} \frac{\partial(\rho w)}{\partial z} dz \right] dx - \left[\rho u - \frac{1}{2} \frac{\partial(\rho u)}{\partial x} dx \right] dz - \left[\rho w - \frac{1}{2} \frac{\partial(\rho w)}{\partial z} dz \right] dx$$

است، و این مقدار باید برابر با نزخ جرم کاهش شونده در داخل المان باشد؛ یعنی داریم:



شکل ۶-۴- تعادل سرعتها و جرم‌های مخصوص برای جریان جرم از داخل یک المان دو بعدی شار حجمی

با ساده‌سازی این مقدار برابر است با:

$$\frac{\partial \rho}{\partial t} + \frac{\partial}{\partial x}(\rho u) + \frac{\partial}{\partial z}(\rho w) = 0$$

که وقتی جهت z در آن گنجانده شود معادله پیوستگی حاصل می‌گردد:

$$\frac{\partial \rho}{\partial t} + \frac{\partial}{\partial x}(\rho u) + \frac{\partial}{\partial y}(\rho v) + \frac{\partial}{\partial z}(\rho w) = 0 \quad (6-47)$$

اگر دانسته نیرو ثابت باشد، معادله پیوستگی می‌شود:

$$\frac{\partial u}{\partial x} + \frac{\partial v}{\partial y} + \frac{\partial w}{\partial z} = 0 \quad (6-48)$$

اعتبار این معادله، بستگی به تابعیت سرعت از زمان ندارد.

معادله پیوستگی در مختصات استوانه‌ای که $x = r \sin \theta$ ، $y = r \cos \theta$ ، $z = z$ است را می‌توان به صورت زیر نوشت:

$$\frac{\partial \rho}{\partial t} + \frac{1}{r} \frac{\partial}{\partial r}(\rho r v_r) + \frac{1}{r} \frac{\partial}{\partial \theta}(\rho v_\theta) + \frac{\partial}{\partial z}(\rho v_z) = 0 \quad (6-49)$$

معادله پیوستگی در مختصات کروی (r, θ, ϕ) و با استفاده از معادله (6-۳۵) به صورت زیر است:

$$\frac{\partial \rho}{\partial t} + \frac{1}{r^2} \frac{\partial}{\partial r}(\rho r^2 v_r) + \frac{1}{r \sin \theta} \frac{\partial}{\partial \theta}(\rho v_\theta \sin \theta) + \frac{1}{r \sin \theta} \frac{\partial}{\partial \phi}(\rho v_\phi) = 0 \quad (6-50)$$

این معادله پیوستگی برای جریان مغذوش می‌شود:

$$\frac{\partial \rho^*}{\partial t} + \frac{\partial(\rho^* u^*)}{\partial x} + \frac{\partial(\rho^* v^*)}{\partial y} + \frac{\partial(\rho^* w^*)}{\partial z} = 0 \quad (6-51)$$

حال که عبارات عمومی برای معادلات ناویر-استوکس و معادله پیوستگی به دست آمدند، چهار قسمت بعدی نشان خواهند داد که چگونه شکل ساده شده این معادلات را می‌توان برای کاربردهای ویژه به کار گرفت.

۶-۴ جریان بین صفحات تخت موازی

نرخ جریان در لقی بین دو سطح موازی مطابق شکل ۶-۵ را در نظر بگیرید. سطح بالائی با سرعت "u" در حال حرکت، و سطح پایینی در حالت سکون است.

فرضهای ذیل اعمال می‌شوند:

۱- اثر اینرسی کوچک است.

۲- عبارات نیروی جرمی می‌توانند صرف نظر شوند.

۳- لزجت و جرم مخصوص را می‌توان ثابت در نظر گرفت.

$$\frac{dp}{dz} = \frac{dp}{dy} = 0 \quad (6-4)$$

۴- ضخامت فیلمی، خیلی کوچکتر از ابعاد دیگر است.

برای این گونه کاربردها، معادله ناویر-استوکس به صورت تعديل می‌باشد:

$$\frac{\partial^2 u}{\partial z^2} = \frac{1}{\eta_0} \frac{dp}{dx}$$

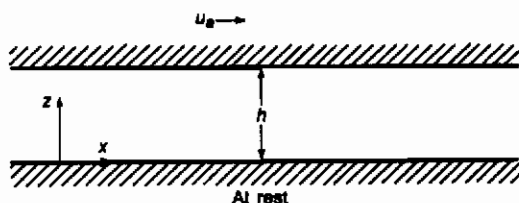
با دوبار انتگرال گیری داریم:

$$u = \frac{1}{\eta_0} \frac{dp}{dx} \frac{z^2}{2} + \bar{A}z + \bar{B} \quad (6-5)$$

که در آن \bar{A} و \bar{B} ثابت‌های انتگرال هستند. شرایط مرزی، بدون لغزش، اعمال می‌شوند:

$$z = 0, u = 0 \quad (6-6)$$

$$z = h, u = u_a \quad (6-7)$$



شکل ۶-۶- جریان بین ضخامت تخت موازی

از شرط مرزی ۱ داریم، $B = 0$. شرط مرزی ۲ می‌دهد.

$$\tilde{A} = \frac{u_a}{h} - \frac{h}{2\eta_0} \frac{dp}{dx} \quad (6-53)$$

$$\therefore u = \frac{1}{2\eta_0} \frac{dp}{dx} (z^2 - zh) + \frac{u_a z}{h}$$

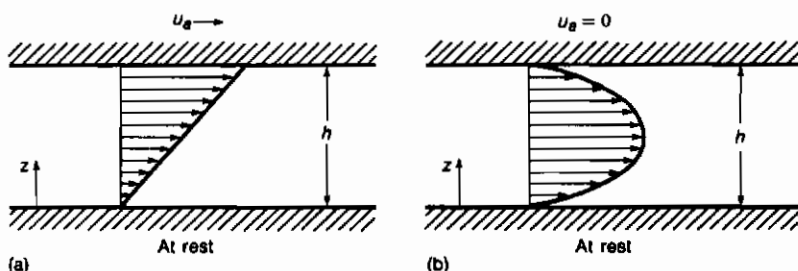
برای $0 = dp / dx$ عبارت کوئت^۱ برابر با $u_a z / h$ است. برای $0 = u$ عبارت پویزیل^۲ برابر با $(dp / dx) z (h - z) / 2\eta_0$ می‌شود. شکل ۶-۶ گستره سرعت کوئت و پویزیل را نشان می‌دهد. گرادیان سرعت را می‌توان به صورت زیر نوشت:

$$\frac{du}{dz} = \frac{1}{2\eta_0} \frac{dp}{dx} (2z - h) + \frac{u_a}{h} \quad (6-54)$$

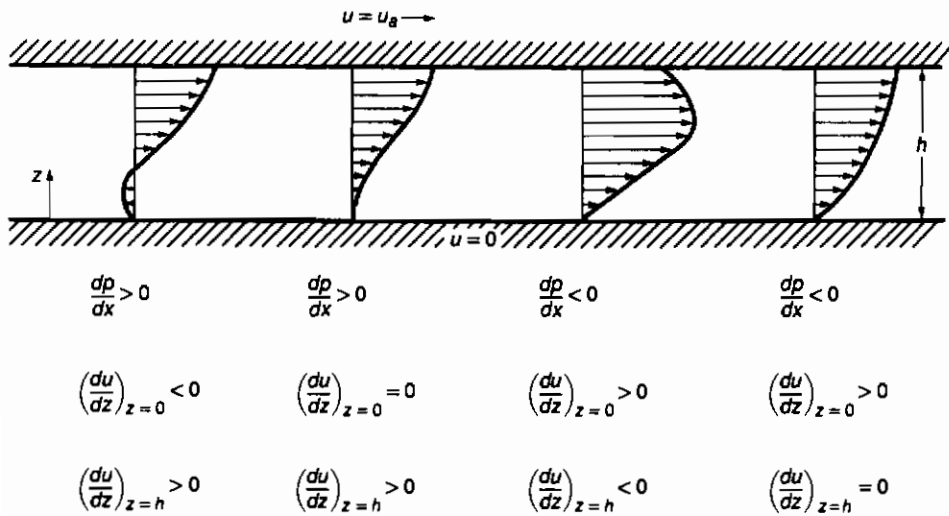
$$\left(\frac{du}{dz} \right)_{z=0} = -\frac{h}{2\eta_0} \frac{dp}{dx} + \frac{u_a}{h} \quad (6-55)$$

$$\left(\frac{du}{dz} \right)_{z=h} = \frac{h}{2\eta_0} \frac{dp}{dx} + \frac{u_a}{h} \quad (6-56)$$

دیگر گستره‌های سرعت جالب توجه، در شکل ۶-۷ نشان داده می‌شوند.



شکل ۶-۶-الف. کوئت ب. گستره سرعت پویزیل



شکل ۷-۶ - چند گستره سرعت جالب توجه

نرخ جریان حجمی در واحد عرض را می‌توان به صورت زیر نوشت:

$$q' = \int_0^h u \, dz \quad (6-57)$$

با جایگذاری معادله (6-53) در این معادله داریم:

$$\begin{aligned}
 q' &= \frac{1}{2\eta_0} \frac{dp}{dx} \left(\frac{z^3}{3} - \frac{z^2 h}{2} \right) \Big|_{z=0}^{z=h} + \frac{u_a}{h} \left(\frac{z^2}{2} \right) \Big|_{z=0}^{z=h} \\
 &= - \frac{h^3}{12\eta_0} \frac{dp}{dx} + \frac{u_a h}{2} \\
 &\quad \text{Poiseuille} \quad \text{Couette} \quad (6-58)
 \end{aligned}$$

۶-۵ جریان در یک لوله مدور

جریان در یک لوله مدور، مطابق شکل ۶-۸، را در نظر بگیرید؛ مختصات استوانه‌ای با مبدأ، منطبق بر مرکز لوله مورد استفاده قرار می‌گیرد. سرعت سیال در دیواره‌های لوله صفر

است. فشار در انتهای چپ لوله، بیشتر از فشار در انتهای راست بوده، و در طول لوله به صورت تدریجی افت می‌کند. این فشار باعث می‌شود که سیال از چپ به راست جریان یابد.

فرضهای ذیل اعمال می‌شوند:

۱- لزجت و جرم مخصوص را می‌توان ثابت در نظر گرفت.

۲- اثر اینرسی کوچک است.

۳- از عبارات نیروی جرمی می‌توان چشم پوشی کرد.

$$\frac{dp}{dr} = \frac{dp}{d\theta} = 0 \quad (6-4)$$

$$v_z = f(r) \quad v_r = v_\theta = 0 \quad (6-5)$$

با این فرضیات، معادلات ناویر-استوکس در مختصات استوانه‌ای یعنی معادلات (۶-۳۱) تا (۶-۳۳)، به صورت معادلات ذیل تعدیل می‌یابند:

$$0 = -\frac{\partial p}{\partial z} + \eta_0 \left(\frac{d^2 v_z}{dr^2} + \frac{1}{r} \frac{dv_z}{dr} \right)$$

یا

$$\frac{r}{\eta_0} \frac{dp}{dz} = r \frac{d^2 v_z}{dr^2} + \frac{dv_z}{dr} = \frac{d}{dr} \left(r \frac{dv_z}{dr} \right)$$

یک بار انتگرال‌گیری می‌دهد:

$$\frac{dv_z}{dr} = \frac{r}{2\eta_0} \frac{dp}{dz} + \frac{\tilde{A}}{r} \quad (6-59)$$

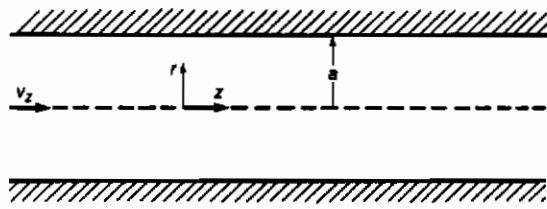
با انتگرال‌گیری دوباره داریم:

$$v_z = \frac{r^2}{4\eta_0} \frac{dp}{dz} + \tilde{A} \ln r + \tilde{B} \quad (6-60)$$

شرط مربوطی عبارتند از:

$$v_z = 0 \quad \text{وقتی } r = a$$

۲- با در نظر گرفتن تقارن، $\frac{dv_z}{dr} = 0$ وقتی که $r = 0$ است.



شکل ۶-۸- جریان در یک لوله مدور

به کارگیری شرط مرزی ۲ و معادله (۶-۵۹)، نتیجه $\tilde{A} = 0$ را می دهد. از به کارگیری شرط مرزی ۱ داریم:

$$\tilde{B} = -\frac{a^2}{4\eta_0} \frac{dp}{dz} \quad (6-61)$$

$$\therefore v_z = -\frac{1}{4\eta_0} \frac{dp}{dz} (a^2 - r^2)$$

نرخ جریان حجمی را می توان به صورت زیر نوشت:

$$q = 2\pi \int_0^a v_z r dr$$

با جایگذاری معادله (۶-۶۱) در این معادله داریم:

$$q = -\frac{\pi}{2\eta_0} \frac{dp}{dz} \int_0^a (a^2 r - r^3) dr$$

یا

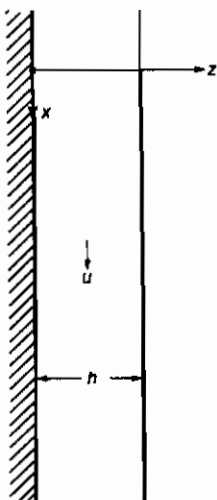
$$q = -\frac{\pi a^4}{8\eta_0} \frac{dp}{dz} \quad (6-62)$$

توجه داشته باشید که گرادیان فشار منفی در بدست آوردن جریان مثبت در جهت Z لازم است.

۶- چریان به سمت پایین روی یک صفحه عمودی

شکل ۶-۹، یک صفحه عمودی و سیالی که در اثر نیروی گرانش روی این صفحه

به سمت پایین حرکت می‌کند را نشان می‌دهد. این سیال ضخامت یکنواخت h در طول صفحه را دارد.



شکل ۹-۶- جریان به سمت پایین روی یک صفحه عمودی

فرضهای ذیل اعمال می‌شوند:

- ۱- لزجت و جرم مخصوص، ثابت در نظر گرفته می‌شوند.
- ۲- اثر اینرسی کوچک است.
- ۳- عبارت نیروی جرمی در جهت x ، شامل شتاب مربوط به گرانش است و جملات نیروی جرمی در جهات y و z صفر هستند ($Y_a = Z_a = 0$).
- ۴- گرادیان فشار وجود ندارد.
- ۵- سرعت سیال فقط در جهت z تغییر می‌کند.
- ۶- ضخامت فیلمی، خیلی کوچکتر از ابعاد دیگر است.

با این فرضها معادلات ناویر-استوکس ارائه شده در معادلات (۶-۲۸) تا (۶-۳۰)،

به صورت زیر تعديل می‌شود:

$$\frac{d^2u}{dz^2} = - \frac{\rho_0 g}{\eta_0}$$

با انتگرال گیری داریم:

$$\frac{du}{dz} = -\frac{\rho_0 g}{\eta_0} z + \tilde{A} \quad (6-63)$$

با انتگرال گیری مجدد داریم:

$$u = -\frac{\rho_0 g}{\eta_0} \frac{z^2}{2} + \tilde{A}z + \tilde{B} \quad (6-64)$$

شرط مرزی عبارتند از:

$$u = 0 \quad \text{و } z = 0$$

۲- با فرض این که مقاومت هوا قابل صرف نظر است، تنش برشی روی سطح آزاد،

باید صفر باشد:

$$\therefore \frac{du}{dz} = 0 \quad \text{when } z = h$$

از شرط مرزی ۲ و معادله (6-63) داریم:

$$\tilde{A} = \frac{\rho_0 gh}{\eta_0} \quad (6-65)$$

$$\therefore u = -\frac{\rho_0 g}{\eta_0} \frac{z^2}{2} + \frac{\rho_0 ghz}{\eta_0} + \tilde{B}$$

از شرط مرزی ۱ ، $\tilde{B} = 0$ و داریم:

$$\therefore u = \frac{\rho_0 gz}{2\eta_0} (2h - z) \quad (6-66)$$

نرخ جریان حجمی در واحد عرض را می توان به صورت زیر نوشت:

$$q' = \int_0^h u dz$$

جای گذاری معادله (6-66) در این معادله می دهد:

$$q' = \frac{\rho_0 gh^3}{3\eta_0} \quad (6-67)$$

هدف اصلی از ارائه سه مثال ساده جریان لزج، که بدان اشاره شد، نشان دادن اهمیت جملات مختلف در معادلات ناویر- استوکس است. این حلها ساده، همچنین در قسمت بعدی

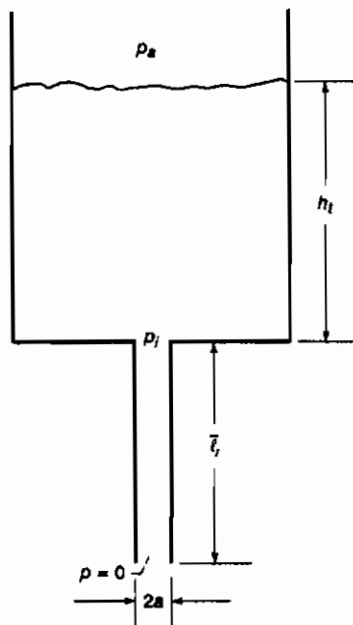
در تشریح انواع مختلف لزجت سنج به کار گرفته می‌شوند.

۱-۶-۶ لزجت سنجها

lezjet سیالات را می‌توان توسط روش‌های مختلف که براساس اصول متفاوتی هستند، اندازه گرفت. فقط معمول ترین یا مهم‌ترین نوع لزجت سنجها در این بخش بحث می‌شوند. همچنین تأکید بر اصولی است که این لزجت سنجها با تکیه بر آنها عمل می‌کنند. طبقه‌بندیهای زیر از لزجت سنجها را در نظر می‌گیریم: کاپیلاری، چرخشی و سقوط ساقمه. هر کدام از این موارد را به طور جداگانه در نظر گرفته و بحث می‌کنیم.

۱-۶-۶-۱ لزجت سنج کاپیلاری

این نوع لزجت سنج (در شکل ۱-۶-۱۰) نشان داده شده است) براساس اندازه گیری نرخ سیالی است که از داخل لوله‌ای با قطر کوچک عبور می‌کند. معمولاً این روش، اندازه گیری زمان لازم برای کلیه مقدار معینی از سیال است.



شکل ۱-۶-۱۰- جنبه‌های مهم یک لزجت سنج کاپیلاری

از قسمت جریان در یک لوله مدور که قبل از فصل [معادله (۶-۲۴)] بحث شد، داریم:

$$\frac{dp}{dz} = -\frac{8\eta_0 q}{\pi a^4}$$

اگر فشار ورودی لوله کاپلاری و \bar{l}_i طول این لوله باشد، داریم:

$$-\frac{dp}{dz} = \frac{p_i}{\bar{l}_i}$$

$$\therefore p_i = \frac{8\eta_0 q \bar{l}_i}{\pi a^4}$$

ولی هد فشار بوجود آمده به سادگی عبارت است از:

$$p_i = \rho_0 g h_i$$

که در آن h_i ارتفاع لوله کاپلاری و ρ_0 دانسته نیرو در $0 = p$ و دمای ثابت است.

$$\therefore \rho_0 g h_i = \frac{8\eta_0 q \bar{l}_i}{\pi a^4}$$

یا:

$$h_i = \frac{8\eta_0 q \bar{l}_i}{\pi a^4 \rho_0 g} = A^* \eta_{k,0} q \quad (6-68)$$

که در آن $\eta_0 / \rho_0 = \eta_{k,0}$ لزجت سینماتیکی در $0 = p$ و دمای ثابت و

$$A^* = \frac{8 \bar{l}_i}{\pi g a^4}$$

است. به یادآورید که q نرخ جریان حجمی در واحد زمان می‌باشد.

$$q \propto \frac{1}{t} \quad (6-69)$$

$$\therefore \eta_{k,0} = \frac{h_i}{A^* q} = B^* t$$

که در آن B^* ثابتی است که تابع دستگاهی است که با آن کار می‌کنیم.

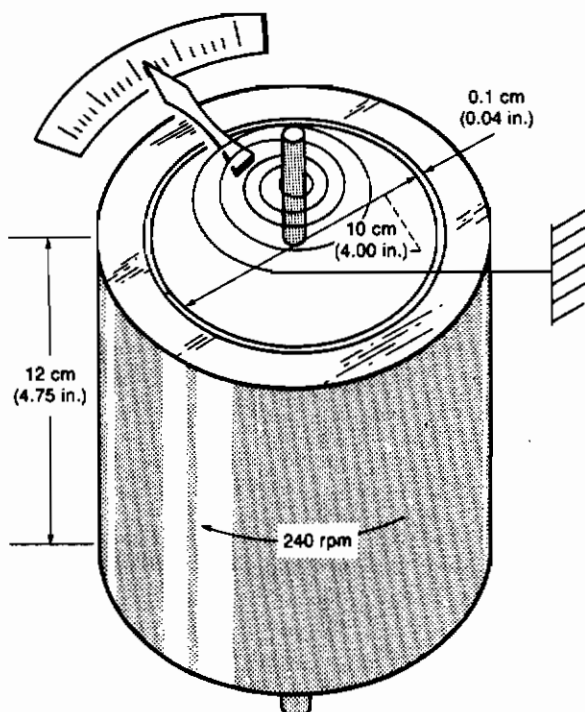
۲-۷-۶ لزجت سنج چرخشی

دو نوع مختلف از لزجت سنج چرخشی در نظر گرفته می‌شود: لزجت سنج چرخشی استوانه‌ای و لزجت سنج شامل مخروط و صفحه.

۱-۷-۶ لزجت سنج چرخشی استوانه‌ای

همان طور که در شکل ۶-۱۱ نشان داده می‌شود، لزجت سنج چرخشی استوانه‌ای شامل دو استوانه متحدم‌المرکز، با سیالی مابین آنها است. استوانه خارجی می‌چرخد و گشتاور در روی استوانه داخلی اندازه گیری می‌شود. فرض کنید که داریم:

- r_1 شعاع استوانه داخلی
- r_0 شعاع استوانه خارجی



شکل ۶-۱۱- لزجت سنج چرخشی استوانه‌ای

- l_a طول قاب دایره
 c شعاع لقی ، ($c \ll r_i$)
 ω سرعت زاویه‌ای

از فرضیه نیوتن [معادله (۴-۲)] داریم:

$$f = \eta_0 A \frac{u}{c} \quad (4-2)$$

مساحت ، $A = 2\pi r_0 l_a$ که در آن:

سرعت ، $u = r_0 \omega$

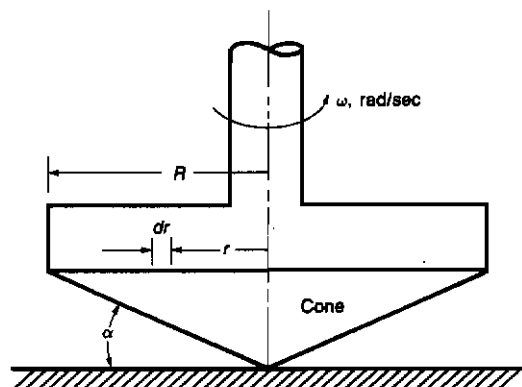
$$\therefore f = \eta_0 (2\pi r_0 l_a) \frac{\omega r_0}{c}$$

گشتاور روی استوانه داخلی:

$$t_q = fr_i = \frac{2\pi \eta_0 \omega r_0^2 r_i l_a}{c} \quad \text{یا:}$$

$$\eta_0 = \frac{t_q c}{2\pi \omega r_0^2 r_i l_a} \quad (6-70)$$

است.



شکل ۶-۱۲- لزجت سنج مغروط و صفحه

۶-۷-۲-۲ لزجت سنج شامل مخروط و صفحه

شکل ۶-۱۲ ملزومات در یک لزجت سنج مخروط و صفحه را نشان می‌دهد. زاویه α کوچک است. سرعت سطح مخروط در هر شعاعی مثل r ، برابر با $u = \omega r$ است. ضخامت فیلمی، $h = r \tan \alpha$ می‌باشد. از فرضیه نیوتون داریم:

$$f = \eta_0 A \frac{u}{h} = \int_0^R \eta_0 (2\pi r dr) \frac{\omega r}{r \alpha} = \int_0^R \frac{2\pi \eta_0 \omega}{\alpha} r dr$$

و گشتاور برابر است با.

$$I_q = \frac{2\pi \eta_0 \omega}{\alpha} \int_0^R r^2 dr = \frac{2\pi \eta_0 \omega R^3}{3\alpha} \quad (6-71)$$

$$\therefore \eta_0 = \frac{3I_q \alpha}{2\pi \omega R^3}$$

۶-۷-۳ لزجت سنج ساقمه‌ای با سقوط آزاد

lezjet مطلق η_0 مربوط به یک سیال در $p = 0$ و در دمای ثابت را می‌توان با اندازه‌گیری زمان لازم برای سقوط آزاد یک ساقمه از داخل لوله بدست آورد. (ترجیحاً شیشه‌ای به ترتیبی که بتوان به سادگی توپ را مشاهده کرد). اگر ساقمه‌ای تحت یک نیروی ثابت از داخل سیالی سقوط کند، دارای سرعت ثابتی خواهد بود. فرمول استوکس را می‌توان برای یک ساقمه درحال حرکت از میان یک سیال نامحدود، به کار گرفت. ساقمه‌ای که تحت نیروی کرانش به طور آزاد در یک مایع سقوط می‌کند، سرعت "به دست می‌آورد که به صورت زیر داده می‌شود:

$$u_a = \frac{2r^2(\rho_s - \rho_f)g}{\eta_0} \quad (6-72)$$

شعاع کره به متر:

در این ارتباط داریم:

$$\rho_s = N \cdot s^2 / m^2$$

$$\rho_f = N \cdot s^2 / m^4$$

$$g = m / s^2$$

$$\text{لزجت مطلق در } p = 0 \text{ و دمای ثابت، بر حسب}$$

فرمول استوکس ارائه شده در معادله (۶-۷۲) برای یک سیال نامحدود بوده و مثل مورد لزجت سنج سقوط ساچمه، برای یک سیال در داخل یک لوله شیشه‌ای نیست. تصحیح در نظر گرفته شده برای قطر لوله عبارت است از:

$$u_a = \frac{2r^2(\rho_s - \rho_f)g}{\eta_0} c_f \quad (6-73)$$

که در آن:

$$c_f = 1 - 2.104\left(\frac{r}{R}\right) + 2.09\left(\frac{r}{R}\right)^3 - 0.9\left(\frac{r}{R}\right)^5 \quad (6-74)$$

و R شعاع لوله است.

اگر این ساچمه با سرعت ثابت $u = \bar{h}t / t$ سقوط کند، در این ارتباط \bar{h} این ارتفاعی است که از آن ساچمه سقوط کرده و زمانی است که سقوط در این فاصله طول می‌کشد، لزجت مطلق در $p = 0$ و دمای ثابت را می‌توان به صورت زیر نوشت:

$$\eta_0 = \frac{2r^2(\rho_s - \rho_f)gtc_f}{\bar{h}} \quad (6-75)$$

به دلیل این که تمام پارامترهای دیگر برای این لزجت سنج ثابت هستند، برای یک لزجت سنج با سقوط یک ساچمه، مقدار لزجت مطلق، مستقیماً متناسب با زمانی است که صرف می‌شود تا ساچمه یک فاصله ثابت را طی کند.

۶-۸ موجوه

مطالب این فصل در مورد جریان سیال لزج بود که در درک روان کاری فیلم سیال مهم است. معادله پتروف به دست آورده شد که گشتاور اصطکاکی در یک یاتاقان ژورنال متحدم‌المرکز را تعیین نمود. شکل کلی معادلات ناویر-استوکس بدست آمد و تعادل دینامیکی یک المان سیال را فراهم آورد. لازم بود که نیروهای سطحی، نیروهای جرمی، و اینرسی المان سیال در نظر گرفته شود. معادله پیوستگی نیز با به کارگیری اصل بقاء جرم یک المان سیال، به دست آمد. معادلات ناویر-استوکس و معادله پیوستگی در دستگاه‌های مختصات کارتزین،

استوانه‌ای و کره‌ای نیز ارائه شدند.

با داشتن عبارات کلی برای معادلات ناویر-استوکس و پیوستگی، کار بعدی در این فصل نمایش چگونگی به کارگیری این معادلات برای شرایط فیزیکی مختلف بود. بعضی از این شرایط فیزیکی، جریان بین صفحات تخت موازی، جریان در یک لوله، جریان به سمت پائین روی یک صفحه عمودی؛ و انواع مختلف لزجت سنجها بودند. تأکید در به کارگیری این موارد، خاطر نشان کردن اهمیت جملات مختلف در معادلات ناویر-استوکس بود. همچنین بر حضور عبارات کوئت و پویزیل در سرعت و جریان، تأکید شد.

۶-۹ مسائل

۶-۹-۱ یک سیال لزج، موازی با محور، در فضای تاج دایره بین دو استوانه هم محور، با شعاعهای R_1 و R_2 و طول بین نهایت، جریان دارد. نشان دهید که نرخ جریان بین این استوانه‌های هم محور، وقتی که هردو استوانه ساکن بوده و گرادیان فشار محوری وجود دارد، برابر با:

$$q = -\frac{\pi R_1^4}{8\eta_0} \frac{dp}{dz} \left\{ \left(\frac{R_2}{R_1} \right)^4 - 1 - \frac{\left[(R_2/R_1)^2 - 1 \right]^2}{\ln(R_2/R_1)} \right\}$$

۶-۹-۲ دو مایع مخلوط نشدنی با لزجتهای η_1 و η_2 ، با یکدیگر به سمت پائین در روی یک صفحه عمودی در لایه‌های متفاوت با ضخامت‌های h_1 و h_2 جریان دارند. فرض براین است که سیال نازکتر به صفحه نزدیکتر است.

شرایط مرزی که تعیین کننده گستره سرعت می‌باشند، کدامند؟ نرخ سرعت و جریان را برای این دوناحیه تعیین کنید. برای حالت خاص $\eta_1 = 2\eta_2$ ، $\rho_1 = \rho_2$ و $h_1 = h_2$ نشان دهید که $q_2/q_1 = 2$ است.

۶-۹-۳ سیال لزجی بین دو صفحه تخت موازی به فاصله h از یکدیگر قرار دارد. یکی از این صفحات، در راستای خود و با سرعت u_1 و دیگری در جهت مخالف و سرعت "حرکت می‌کند. اگر جریان در جهت حرکت صفحه سریعتر، $u_2 > u_1$ در واحد عرض باشد، گرادیان فشار را تعیین کند.

۶-۹-۴ سیال لزجی بین دو صفحه تخت موازی به فاصله h از یکدیگر قرار دارد. یکی از این

صفحات ثابت، در حالی که دیگری در راستای خود و با سرعت \ll حرکت می‌کند؛
گرادیان فشار dp/dx ، در جهت حرکت وجود دارد؛ نشان دهد که گستره سرعت را
می‌توان به شکل زیر بیان کرد:

$$\frac{u}{u_a} = \lambda(\zeta - \zeta^2) + \zeta$$

که در آن:

$$\zeta = \frac{z}{h} \quad \lambda = 6 \frac{u_m}{u_a}$$

و \ll سرعت متوسط و تنها در اثر گرادیان فشار است. مقدار λ ، مربوط به وضعیت‌های

زیر را پیدا کنید:

الف- جریان کوئت

ب- جریان پویزیل

ج- جریانی که برای آن نرخ جریان حجمی صفر است.

د- تنش برشی روی صفحه ساکن صفر است.

ه- تنش برشی روی صفحه در حال حرکت صفر است.

۶-۹-۵ سیالی با جریان آرام در لوله‌ای به شعاع a که نسبت به افق زاویه α دارد، در حال حرکت است. معادلات ناویر- استوکس مناسب را تعریف کنید؛ سرعت (v)، سرعت متوسط (V_2) و نرخ جریان حجمی در لوله را تعیین کنید؛ همچنین نشان دهد که وقتی:

$$\alpha = \sin^{-1} \frac{8\eta_0 \tilde{v}_z}{\rho_0 g a^2}$$

باشد؛ فشار در طول لوله ثابت باقی خواهد ماند. لزجت (η_0) و جرم مخصوص (ρ_0) در سرتاسر لوله ثابت فرض می‌شوند.

۶-۹-۶ میله‌ای به شعاع R_1 در داخل بوشی به شعاع R_2 ، هم محور نگه داشته می‌شود. اگر این محور ساکن باشد، ضمن این که آستین سرعت محوری v_0 حرکت می‌کند، معادله‌ای برای نرخ جریان حجمی در این مورد تعیین کنید. همچنین نیروی لازم در واحد طول برای به حرکت درآوردن آستین چیست؛ گرادیان فشار

درجہت حرکت، صفر فرض می شود. فرض براین است کہ لرجن و جرم مخصوص ثابتند. از جملات اینرسی و نیروی جرمی چشم پوشی می شود. فرض کنید $10^{-3} \times (R_2 - R_1) / R_1$ است.

۶-۱۰ فهرست منابع و مأخذ

- Navier, C. L. M. H. (1823): Memoire sur les lois du mouvement des fluides. *Mem. Acad. Sci. Inst. Fr.*, vol. 6, pp. 389–416.
- Petrov, N. P. (1883): Friction in Machines and the Effect of the Lubricant. *Inzh. Zh. St. Petersburg*, vol. 1, pp. 71–140; vol. 2, pp. 227–279; vol. 3, pp. 377–463; vol. 4, pp. 535–564.
- Stokes, G. G. (1845): On the Theories of the Internal Friction of Fluids in Motion, and of the Equilibrium and Motion of Elastic Solids. *Trans. Cambridge Philos. Soc.*, vol. 8, pp. 287–341.
- Szeri, A. Z. (ed.) (1980): *Tribology—Friction, Lubrication, and Wear*. Hemisphere Publishing Corp., Washington, D.C.

فصل هفتم

معادله رینولدز

معادلات کامل ناویر-استوکس ارائه شده در فصل قبلی، که در آن جملات اینرمی، جرمی، فشار، ولزجت شرکت می‌کنند، به اندازه کافی پیچیده است که در اکثر مسایل عملی، حل‌های تحلیلی به دست ندهد. ولی دسته‌ای از شرایط جریان، به نام «حرکت لزج آهسته» وجود دارد که در آن جملات فشار و لزجت، غالب هستند. مسایل روان‌کاری فیلم سیال، از این دسته هستند. ابتدا نشان داده خواهد شد که در واقع جملات فشار و لزجت در معادلات ناویر-استوکس از مهم‌ترین جملات آنها می‌باشند.

۷-۱ اعداد بدون بعد

پارامترهای مشخصه زیر، ممکن است تعریف شوند:

b_0	مشخصه طول در جهت z ، بر حسب m
h_0	مشخصه طول در جهت z ، بر حسب m
l_0	مشخصه طول در جهت x ، بر حسب m
t_0	مشخصه زمان، بر حسب s
u_0	مشخصه سرعت درجهت x ، بر حسب m/s
v_0	مشخصه سرعت درجهت z ، بر حسب m/s
w_0	مشخصه سرعت درجهت y ، بر حسب m/s

$$\rho_0 \quad \text{مشخصه جرم مخصوص نیرو، بر حسب} \\ \eta_0 \quad \text{مشخصه لزجت مطلق، بر حسب}$$

این مشخصه های پارامتری، برای تعریف پارامترهای بدون بعد زیر مورد استفاده قرار می گیرند.

$$X = \frac{x}{\ell_0} \quad Y = \frac{y}{b_0} \quad Z = \frac{z}{h_0} \quad T = \frac{t}{t_0} \quad \bar{u} = \frac{u}{u_0} \\ \bar{v} = \frac{v}{v_0} \quad \bar{w} = \frac{w}{w_0} \quad \bar{\rho} = \frac{\rho}{\rho_0} \quad \bar{\eta} = \frac{\eta}{\eta_0} \quad P = \frac{h_0^2 p}{\eta_0 u_0 \ell_0} \quad (7-1)$$

با جای گذاری معادلات (7-۱) در اولین معادله ناویر-استوکس ارائه شده در معادله (۶-۲۵)، ضمن استفاده از معادلات (۶-۹) و (۶-۱۸) و همچنین "X" در عبارت نیروی جرمی معادل با شتاب نیروی گرانش g ، می دهد:

$$\frac{\ell_0}{u_0 t_0} \frac{\partial \bar{u}}{\partial T} + \bar{u} \frac{\partial \bar{u}}{\partial X} + \frac{\ell_0}{b_0} \frac{v_0}{u_0} \bar{v} \frac{\partial \bar{u}}{\partial Y} + \frac{\ell_0}{h_0} \frac{w_0}{u_0} \bar{w} \frac{\partial \bar{u}}{\partial Z} \\ = \frac{\ell_0 g}{u_0^2} - \frac{\eta_0}{\rho_0 u_0 \ell_0} \left(\frac{\ell_0}{h_0} \right)^2 \frac{1}{\bar{\rho}} \frac{\partial P}{\partial X} - \frac{2}{3} \frac{\eta_0}{\rho_0 u_0 \ell_0} \frac{1}{\bar{\rho}} \\ \times \frac{\partial}{\partial X} \left[\bar{\eta} \left(\frac{\partial \bar{u}}{\partial X} + \frac{v_0}{u_0} \frac{\ell_0}{b_0} \frac{\partial \bar{v}}{\partial Y} + \frac{w_0}{u_0} \frac{\ell_0}{h_0} \frac{\partial \bar{w}}{\partial Z} \right) \right] \\ + 2 \frac{\eta_0}{\rho_0 u_0 \ell_0} \frac{1}{\bar{\rho}} \frac{\partial}{\partial X} \left(\bar{\eta} \frac{\partial \bar{u}}{\partial X} \right) + \frac{\eta_0}{\rho_0 u_0 \ell_0} \left(\frac{\ell_0}{b_0} \right)^2 \frac{1}{\bar{\rho}} \\ \times \frac{\partial}{\partial Y} \left[\bar{\eta} \left(\frac{\partial \bar{u}}{\partial Y} + \frac{v_0}{u_0} \frac{b_0}{\ell_0} \frac{\partial \bar{v}}{\partial X} \right) \right] + \frac{\eta_0}{\rho_0 u_0 \ell_0} \left(\frac{\ell_0}{h_0} \right)^2 \frac{1}{\bar{\rho}} \\ \times \frac{\partial}{\partial Z} \left[\bar{\eta} \left(\frac{\partial \bar{u}}{\partial Z} + \frac{w_0}{u_0} \frac{h_0}{\ell_0} \frac{\partial \bar{w}}{\partial X} \right) \right] \quad (7-2)$$

اثرات ایترسی، فشار، لزجت و کرانش از معادله (۷-۲) در تعریف چندین عدد بدون بعد، مقایسه می شوند.

۱-۱-۷ عدد رینولدز

در هر مسئله جریان اهمیت نیروی ایترسی به نیروی لزجت را می توان از مقدار عدد رینولدز \mathcal{R} قضاوت کرد.

$$\mathcal{R} = \frac{\text{inertia}}{\text{viscous}} = \frac{\rho_0 u_0 l_0}{\eta_0} \quad (7-3)$$

توجه داشته باشید که در سرتاسر معادله (۷-۲) معکوس عدد رینولدز ظاهر می شود. عدد رینولدز ارائه شده در معادله (۷-۳)، عدد رینولدز متداولی است که در مکانیک سیالات به کار می رود. ولی در روان کاری فیلم سیالها به دلیل غلبه جمله لزجت $\partial^2 \bar{u} / \partial Z^2$ ، عدد رینولدز تعديل یافته \mathcal{R}_x به کار گرفته می شود. این عدد به صورت زیر تعریف می شود.

$$\mathcal{R}_x = \frac{\text{inertia}}{\text{viscous}} = \frac{\rho_0 u_0 h_0^2}{\eta_0 l_0} \quad (7-4)$$

به ظهر عدد رینولدز تعديلی در معادله (۷-۲) توجه کنید. اعداد رینولدز تعديلی در جهت های x و z به صورت

$$\mathcal{R}_y = \frac{\rho_0 v_0 h_0^2}{\eta_0 b_0} \quad (7-5)$$

$$\mathcal{R}_z = \frac{\rho_0 w_0 h_0}{\eta_0} \quad (7-6)$$

نیز تعریف می شوند. عدد فشردگی نیز به صورت زیر تعریف می شود.

$$\sigma_s = \frac{\rho_0 h_0^2}{\eta_0 t_0} \quad (7-7)$$

به خاطر داشته باشید که \mathcal{R}_x ، \mathcal{R}_y ، \mathcal{R}_z ، σ_s ، همگی بدون بعد و از مرتبه h_0 / l_0 می باشند.

دو مسئله نمونه، این واقعیت را نمایش می‌دهند:

مسانه نمونه ۷-۱: پاتالان زورنال معمولی: مقادیر متداول پارامترهای استفاده شده در تعریف اعداد رینولدز برای یاتاقان ژورنال عبارتند از:

$$d = 0.05 \text{ m}$$

$$\ell_0 \approx \pi d = 0.157 \text{ m}$$

$$\eta_0 = 0.5 \text{ N} \cdot \text{s/m}^2$$

$$\rho_0 = 850 \text{ N} \cdot \text{s}^2/\text{m}^4$$

$$N_a = 2000 \text{ r/min}$$

$$u_0 = 2000 \text{ r/min} (\pi d / 1 \text{ r})(1 \text{ min} / 60 \text{ s}) = 5.24 \text{ m/s}$$

$$h_0 = c = d / 1000 = 5 \times 10^{-5} \text{ m}$$

از معادله (۷-۴) داریم:

$$\mathcal{R}_x = \frac{\rho_0 u_0 h_0^2}{\eta_0 \ell_0} = \frac{(850)(5.24)(5 \times 10^{-5})^2}{(0.5)(0.157)} = 0.142 \times 10^{-3}$$

مسانه نمونه ۷-۲: بالشتک بالالان گرد متداول:

$$\ell_0 = 0.03 \text{ m}$$

$$h_0 / \ell_0 = 1 \times 10^{-3}$$

$$u_0 = 20 \text{ m/s}$$

$$\eta_0 = 0.5 \text{ N} \cdot \text{s/m}^2$$

$$\rho_0 = 850 \text{ N} \cdot \text{s}^2/\text{m}^4$$

از معادله (۷-۴) داریم:

$$\mathcal{R}_x = \frac{\rho_0 u_0 h_0^2}{\eta_0 \ell_0} = \frac{(850)(20)(0.03)(10^{-6})}{(0.5)} = 1.02 \times 10^{-3}$$

در هردو مسأله نمونه، عدد رینولدز تغییر شده به مقدار قابل توجهی از یک کمتر بوده و از مرتبه h_0/l_0 است. واضح است که در یاتاقانهای روان کاری شده به صورت هیدرودینامیکی، نیروهای لزجت به مقدار خیلی زیادی از نیروهای اینرسی بزرگتر هستند. با جایگذاری معادلات (۷-۴) تا (۷-۷) در معادله (۷-۲) اولین معادله ناویر-استوکس را به صورت زیر به دست می دهد:

$$\begin{aligned} \sigma_s \frac{\partial \bar{u}}{\partial T} + \mathcal{R}_x \bar{u} \frac{\partial \bar{u}}{\partial X} + \mathcal{R}_y \bar{v} \frac{\partial \bar{u}}{\partial Y} + \mathcal{R}_z \bar{w} \frac{\partial \bar{u}}{\partial Z} \\ = g \frac{\ell_0}{u_0^2} \mathcal{R}_x - \frac{1}{\bar{\rho}} \frac{\partial P}{\partial X} + \frac{1}{\bar{\rho}} \frac{\partial}{\partial Z} \left(\bar{\eta} \frac{\partial \bar{u}}{\partial Z} \right) - \frac{2}{3} \left(\frac{h_0}{\ell_0} \right)^2 \frac{1}{\bar{\rho}} \\ \times \frac{\partial}{\partial X} \left[\bar{\eta} \left(\frac{\partial \bar{u}}{\partial X} + \frac{v_0}{u_0} \frac{\ell_0}{b_0} \frac{\partial \bar{v}}{\partial Y} + \frac{w_0}{u_0} \frac{\ell_0}{h_0} \frac{\partial \bar{w}}{\partial Z} \right) \right] + \left(\frac{h_0}{b_0} \right)^2 \frac{1}{\bar{\rho}} \\ \times \frac{\partial}{\partial Y} \left[\bar{\eta} \left(\frac{\partial \bar{u}}{\partial Y} + \frac{v_0}{u_0} \frac{b_0}{\ell_0} \frac{\partial \bar{v}}{\partial X} \right) \right] + 2 \left(\frac{h_0}{\ell_0} \right)^2 \frac{1}{\bar{\rho}} \\ \times \frac{\partial}{\partial Z} \left(\bar{\eta} \frac{\partial \bar{u}}{\partial Z} \right) + \frac{1}{\bar{\rho}} \frac{\partial}{\partial Z} \left(\bar{\eta} \frac{w_0}{u_0} \frac{h_0}{\ell_0} \frac{\partial \bar{w}}{\partial X} \right) \end{aligned} \quad (7-8)$$

در معادله (۷-۸) عبارات اینرسی و عبارات مربوط به گرانش، از مرتبه h_0/l_0 هستند. عبارت ω_0/u_0 نیز از مرتبه h_0/l_0 است. عبارت گرادیان فشار و عبارت اول مربوط به لزجت، از مرتبه ۱ هستند. بقیه عبارات مربوط به لزجت، از مرتبه $(h_0/l_0)^2$ یا $(h_0/b_0)^2$ می باشند. بنابراین با صرف نظر کردن از عبارات از مرتبه $(h_0/b_0)^2$ یا $(h_0/l_0)^2$ در معادله (۷-۸) داریم:

$$\sigma_s \frac{\partial \bar{u}}{\partial T} + \mathcal{R}_x \bar{u} \frac{\partial \bar{u}}{\partial X} + \mathcal{R}_y \bar{v} \frac{\partial \bar{u}}{\partial Y} + \mathcal{R}_z \bar{w} \frac{\partial \bar{u}}{\partial Z} = \frac{g \ell_0}{u_0^2} \mathcal{R}_x - \frac{1}{\bar{\rho}} \frac{\partial P}{\partial X} + \frac{1}{\bar{\rho}} \frac{\partial}{\partial Z} \left(\bar{\eta} \frac{\partial \bar{u}}{\partial Z} \right) \quad (7-9)$$

به طور مشابه برای دومین و سومین معادله ناویر-استوکس، با چشم پوشی از جملات از مرتبه $(h_0/b_0)^2$ یا $(h_0/l_0)^2$ داریم:

$$\sigma_s \frac{\partial \bar{v}}{\partial T} + \mathcal{R}_x \bar{u} \frac{\partial \bar{v}}{\partial X} + \mathcal{R}_y \bar{v} \frac{\partial \bar{v}}{\partial Y} + \mathcal{R}_z \bar{w} \frac{\partial \bar{v}}{\partial Z} = \frac{gb_0}{v_0^2} \mathcal{R}_y - \frac{1}{\bar{\rho}} \frac{\partial P}{\partial Y} + \frac{1}{\bar{\rho}} \frac{\partial}{\partial Z} \left(\bar{\eta} \frac{\partial \bar{v}}{\partial Z} \right) \quad (7-10)$$

$$\frac{\partial P}{\partial Z} = 0 \quad \rightarrow \quad P = f(X, Y, T) \quad (7-11)$$

همچنین معادله پیوستگی را می توان به صورت زیر نوشت :

$$\sigma_s \frac{\partial \bar{p}}{\partial T} + \mathcal{R}_x \frac{\partial}{\partial X} (\bar{p} \bar{u}) + \mathcal{R}_y \frac{\partial}{\partial Y} (\bar{p} \bar{v}) + \mathcal{R}_z \frac{\partial}{\partial Z} (\bar{p} \bar{w}) = 0 \quad (7-12)$$

بنابراین معادلات (7-۹) تا (7-۱۲)، معادلات ناویر-استوکس و پیوستگی هستند که ، مثل فصل ۱۵ ، وقی اثرات از مرتبه های بالاتر موردنظرند ، باید استفاده شوند .

۷-۱-۲ عدد تیلور

در یاتاقانهای ژورنال ، قبل از تبدیل شدن جریان آرام به مغشوش ، ممکن است که یک جریان گردابه‌ای حلقوی^۱ اتفاق افتد . این پدیده ، توسط ج-آی-تیلور^۲ در ارتباط با استوانه‌ای هم مرکز مطالعه شد؛ او در سال ۱۹۲۳ گزارش داد که گردابه‌ها در عدد رینولدزی برابر با :

$$\frac{\rho_0 u_0 c}{\eta_0} > 41.3 \left(\frac{r_o}{c} \right)^{1/2} \quad (7-13)$$

تشکیل شدند . بنابراین عدد تیلور (T_a) که شروع جریان گردابه‌ای را توضیح می دهد به صورت ذیل بیان می شود :

$$T_a = \frac{\rho_0 u_0^2 c^3}{r_o \eta_0^2} \geq 1700 \quad (7-14)$$

این عدد ، «عدد تیلور» نامیده شده و نشان می دهد که چه موقع گردابه‌ها ظهور می کنند . با مربوط ساختن این عدد به عدد رینولدز تعديلی تعریف شده در معادله (7-۴) ، ایجاب می کند که دو طرف معادله (7-۱۳) در c/h_0^2 ضرب شود ، که می دهد :

$$\mathcal{R}_z = \frac{\rho_0 u_0 \ell_0}{\eta_0} \left(\frac{h_0}{\ell_0} \right)^2 > 41.3 \left(\frac{r_o}{c} \right)^{1/2} \frac{h_0^2}{c \ell_0} \quad (7-15)$$

اگر $c = h_0 / r_0$ باشد، داریم:

$$R_x = \frac{\rho_0 u_0 \ell_0}{\eta_0} \left(\frac{h_0}{\ell_0} \right)^2 > 1$$

این دلالت برآن دارد که وقتی که جملات اینرسی به سمت جملات لزجت میل کنند، دیگر شرایط جریان آرام وجود نداشته و گردابه ها تشکیل می شوند.

۱-۳-۷ عدد فرود^۱

تنها نیروهای جرمی که معمولاً در روان کاری با آن رو برو می شویم، نیروهای گرانش و مغناطیسی هستند. «عدد فرود» نسبت نیروهای اینرسی به گرانش را نشان می دهد.

$$\text{Froude number} = \frac{\text{inertia}}{\text{gravity}} = \frac{u_0^2}{g \ell_0} \quad (7-16)$$

نسبت مستقیم نیروهای گرانش به لزجت، با تقسیم «عدد رینولدز» توسط «عدد فرود» به دست آورد:

$$\frac{\text{Reynolds number}}{\text{Froude number}} = \frac{\frac{\text{inertia}}{\text{viscous}}}{\frac{\text{inertia}}{\text{gravity}}} = \frac{\text{gravity}}{\text{viscous}} = \frac{\rho_0 h_0^2 g}{\eta_0 u_0} \quad (7-17)$$

برای مثال، در یک یاتا قان ژورنال متداول، علاوه بر اطلاعات داده شده در قبل $g = 9.8 \text{ m/s}^2$ ، بنابراین داریم:

$$\therefore \text{Froude number} = \frac{u_0^2}{g \ell_0} = \frac{(5.24)^2}{(9.8)(0.157)} = 17.8$$

این دلالت برآن دارد که نیروهای اینرسی از نیروهای گرانش بزرگتر هستند. همچنین داریم:

$$\frac{\text{Reynolds number}}{\text{Froude number}} = \frac{\rho_0 h_0^2 g}{\eta_0 u_0} = \frac{(850)(25 \times 10^{-10})(9.8)}{(0.5)(5.24)} = 0.8 \times 10^{-5}$$

1- Froude

بنابر این نیروهای گرانش نسبت به نیروهای لزجت قابل چشم پوشی هستند.

۴-۱-۷ عدد اولر^۱

اهمیت عبارت فشار، نسبت به جمله اینرسی را می‌توان از روی مقدار «عدد اولر» که به صورت زیر تعریف می‌شود، قضاؤت کرد:

$$\text{Euler number} = \frac{\text{pressure}}{\text{inertia}} = \frac{p_0}{\rho_0 u_0^2} \quad (7-18)$$

نسبت مستقیم فشار به نیروهای لزجت را می‌توان با ضرب کردن عدد اولر با عدد رینولدز به دست آورد:

$$\begin{aligned} (\text{Euler number})(\text{Reynolds number}) &= \frac{\text{pressure}}{\text{inertia}} \frac{\text{inertia}}{\text{viscous}} = \frac{\text{pressure}}{\text{viscous}} \\ &= \frac{p_0}{\rho_0 u_0^2} \frac{\rho_0 u_0 \ell_0}{\eta_0} \left(\frac{h_0}{\ell_0} \right)^2 = \frac{p_0 \ell_0}{\eta_0 u_0} \left(\frac{h_0}{\ell_0} \right)^2 \end{aligned} \quad (7-19)$$

برای مثال، برای یک یاتاقان ژورنال معمولی، علاوه بر اطلاعات داده شده در قبل، $p_0 = 5 \text{ MPa} = 5 \times 10^6 \text{ N/m}^2$ است؛ بنابراین داریم:

$$\therefore \text{Euler number} = \frac{p_0}{\rho_0 u_0^2} = \frac{5 \times 10^6}{(850)(5.24)^2} = 214.3$$

پس جمله فشار، خیلی بزرگتر از جمله اینرسی است. علاوه از معادله (۷-۱۹) داریم:

$$(\text{Euler number})(\text{Reynolds number}) = \frac{(5 \times 10^6)(0.157)}{(3142)^2(0.5)(5.24)} = 0.03$$

بنابراین جمله لزجت بزرگتر از جمله فشار است؛ ولی هردو جمله باید در نظر گرفته شوند. به علاوه، در روان‌کاری الستو هیدرودینامیکی در فصل ۱، نشان دادیم که معمولاً فشار تا حدود سه برابر از روان‌کاری هیدرودینامیکی بزرگتر است و همچنین ممکن است پی بیریم که، جمله فشار با اهمیت تراز از جمله لزجت است.

۷-۲ معادله رینولدز به دست می‌آید

معادله دیفرانسیل حاکم بر گستره فشار در روان کاری فیلم سیال، به عنوان «معادله رینولدز» شناخته می‌شود. این معادله ابتدا در مقاله بسیار جالب آزمون رینولدز در سال ۱۸۶۶، بیان شد. مقاله قدیمی رینولدز، نه تنها معادله دیفرانسیل اساسی روان کاری فیلم سیال را در برداشت، بلکه شامل یک مقایسه مستقیم بین پیش‌گوییهای تئوری او با نتایج تجربی به دست آمده توسط تاور (۱۸۸۳) نیز بود. ولی رینولدز تجزیه و تحلیل خوبیش را محدود به سیال غیرقابل تراکم نمود، اگرچه که محدودیت لازم نیست؛ و هریسون^۱ (۱۹۱۳) اثر قابلیت تراکم را اضافه نمود. در این قسمت، معادله رینولدز از دو روش متفاوت، از معادلات ناویر-استوکس و پیوستگی و نیز مستقیماً از اصل بقاء جرم به دست می‌آید.

۱-۲-۲ از معادلات ناویر-استوکس و پیوستگی

از تجزیه و تحلیل بعدی در قسمت قبلی، یافته‌یم که معادلات عمومی ناویر-استوکس ارائه شده با معادلات (۶-۲۵) تا (۶-۲۷)، با چشم پوشی جملات از مرتبه $(h_0/b_0)^2$ و (h_0/b_0) و کوچکتر، تبدیل به معادلات (۷-۹) تا (۷-۱۱) می‌شوند. این امر، نقطه شروع به دست آوردن این معادله است. با چشم پوشی بیشتر، جملات از مرتبه h_0/b_0 یا h_0/b_0^2 و نگهداشتن جملات فقط از مرتبه ۱، معادلات (۶-۲۵) تا (۶-۲۷) را تبدیل به روابط زیر می‌کند:

$$\frac{\partial p}{\partial x} = \frac{\partial}{\partial z} \left(\eta \frac{\partial u}{\partial z} \right) \quad (7-20)$$

$$\frac{\partial p}{\partial y} = \frac{\partial}{\partial z} \left(\eta \frac{\partial v}{\partial z} \right) \quad (7-21)$$

از معادله (۷-۱۱) برای شرایط حالت یکنواخت، نشان داده شده است که فشار فقط تابعی از x و y باشد. بنابراین معادلات (۷-۲۰) و (۷-۲۱) را می‌توان مستقیماً انتگرال گرفته و ارتباطهای عام زیر را برای گرادیان سرعتها به دست آورد:

$$\frac{\partial u}{\partial z} = \frac{z}{\eta} \frac{\partial p}{\partial x} + \frac{\bar{A}}{\eta} \quad (7-22)$$

$$\frac{\partial v}{\partial z} = \frac{z}{\eta} \frac{\partial p}{\partial y} + \frac{\tilde{C}}{\eta} \quad (7-23)$$

که در آن \tilde{A} و \tilde{C} ثابت‌های انتگرال هستند.

لزجت روان‌کننده به خاطر تغییرات دمایی که در بعضی از مسایل یاتاقان پیش می‌آید، ممکن است که در عرض فیلم نازک (جهت z) تغییر قابل ملاحظه‌ای داشته باشد. در این مورد پیشرفت به سمت یک معادله رینولدز ساده، به صورت قابل ملاحظه‌ای پیچیده می‌شود.

رهیافتی که در غالباً کاربردهای فیلم سیال نتیجه رضایت‌بخشی می‌دهد، به حساب آوردن η به عنوان مقدار متوسط لزجت در عرض فیلم است. توجه داشته باشید که این امر تغییرات لزجت درجه‌های x و y را محدود نمی‌کند. این رهیافت در این بخش دنبال می‌شود.

با η از گریک مقدار متوسط از لزجت در عرض فیلم و با انتگرال گیری معادلات $(7-22)$ و $(7-23)$ مؤلفه‌های سرعت به شکل زیر را به دست می‌دهد:

$$u = \frac{z^2}{2\eta} \frac{\partial p}{\partial x} + \tilde{A} \frac{z}{\eta} + \tilde{B} \quad (7-24)$$

$$v = \frac{z^2}{2\eta} \frac{\partial p}{\partial y} + \tilde{C} \frac{z}{\eta} + \tilde{D} \quad (7-25)$$

اگر در فصل مشترک سیال-جامد، شرط بدون لغزش را فرض کنیم، مقادیر مرزی برای سرعت عبارتند از:

$$1. z = 0, u = u_b, v = v_b$$

$$2. z = h, u = u_a, v = v_a$$

اندیشهای a و b به ترتیب به شرایط سطوح بالایی (منحنی) و پایینی (صفحه) ارجاع می‌دهند.

بنابراین u_b ، v_b و u_a به ترتیب به مؤلفه‌های سرعت سطح بالایی جهت‌های x ، y ، z اشاره کرده و u_b ، v_b و u_a به مؤلفه‌های سرعت سطح پایینی در همان جهتها ارجاع می‌دهند.

با اعمال شرایط مرزی در معادلات $(7-24)$ و $(7-25)$ ، گرادیان سرعت و مؤلفه‌های سرعت عبارتند از:

$$\frac{\partial u}{\partial z} = \left(\frac{2z - h}{2\eta} \right) \frac{\partial p}{\partial x} - \frac{u_b - u_a}{h} \quad (7-26)$$

$$\frac{\partial v}{\partial z} = \left(\frac{2z - h}{2\eta} \right) \frac{\partial p}{\partial y} - \frac{v_b - v_a}{h} \quad (6-27)$$

$$u = -z \left(\frac{h - z}{2\eta} \right) \frac{\partial p}{\partial x} + u_b \frac{h - z}{h} + u_a \frac{z}{h} \quad (7-28)$$

$$v = -z \left(\frac{h - z}{2\eta} \right) \frac{\partial p}{\partial y} + v_b \frac{h - z}{h} + v_a \frac{z}{h} \quad (7-29)$$

توجه داشته باشید که اگر $u = 0$ باشد ، معادله (7-26) دقیقاً معادله (6-54) و معادله (7-28) دقیقاً معادله (6-53) هستند . با این عبارات برای گرادیانهای سرعت و مولفه های سرعت می توان عبارات مربوط به تنشهای برشی سطحی و نرخ جریان حجمی را به دست آورد . تنشهای برشی لزج اعمال شونده روی جامدات ، به شکل تعریف شده آن در معادله (6-7) را می توان به صورت زیر بیان کرد :

$$\tau_{zx} = \eta \left(\frac{\partial w}{\partial x} + \frac{\partial u}{\partial z} \right)$$

$$\tau_{zy} = \eta \left(\frac{\partial w}{\partial y} + \frac{\partial v}{\partial z} \right)$$

با در نظر گرفتن تعیین بعدی ، $\partial w / \partial x$ و $\partial w / \partial y$ و $\partial u / \partial z$ و $\partial v / \partial z$ به مراتب کوچکتر از $\partial u / \partial x$ و $\partial v / \partial y$ هستند . بنابراین داریم :

$$\tau_{zx} = \eta \frac{\partial u}{\partial z} \quad (7-30)$$

$$\tau_{zy} = \eta \frac{\partial v}{\partial z} \quad (7-31)$$

و تنشهای برشی لزج اعمال شونده روی سطوح جامد و با استفاده از معادلات (7-26) و (7-27) را می توان به صورت زیر نوشت :

$$(\tau_{zx})_{z=0} = \left(\eta \frac{\partial u}{\partial z} \right)_{z=0} = -\frac{h}{2} \frac{\partial p}{\partial x} - \frac{\eta(u_b - u_a)}{h} \quad (7-32)$$

$$(-\tau_{zx})_{z=h} = -\left(\eta \frac{\partial u}{\partial z}\right)_{z=h} = -\frac{h}{2} \frac{\partial p}{\partial x} + \frac{\eta(u_b - u_a)}{h} \quad (7-33)$$

$$(\tau_{zy})_{z=0} = \left(\eta \frac{\partial v}{\partial z}\right)_{z=0} = -\frac{h}{2} \frac{\partial p}{\partial y} - \frac{\eta(v_b - v_a)}{h} \quad (7-34)$$

$$(-\tau_{zy})_{z=h} = -\left(\eta \frac{\partial v}{\partial z}\right)_{z=h} = -\frac{h}{2} \frac{\partial p}{\partial y} + \frac{\eta(v_b - v_a)}{h} \quad (7-35)$$

علامتهای منفی روی تنش برش لزج دلالت بر این دارد که جهت عمل کرد آنها مخالف با جهت حرکت است.

نرخهای جریان حجمی در واحد عرض درجهتهای x و y به صورت زیر تعریف می‌شوند:

$$q'_x = \int_0^h u dz \quad (7-36)$$

$$q'_y = \int_0^h v dz \quad (7-37)$$

با جایگذاری معادلات (7-۲۸) و (7-۲۹) در این معادلات داریم:

$$q'_x = -\frac{h^3}{12\eta} \frac{\partial p}{\partial x} + \frac{u_a + u_b}{2} h \quad (7-38)$$

$$q'_y = -\frac{h^3}{12\eta} \frac{\partial p}{\partial y} + \frac{v_a + v_b}{2} h \quad (7-39)$$

توجه داشته باشید که اگر $u_b = 0$ باشد ، معادله (7-۳۸) ، دقیقاً معادله (6-۵۸) به دست آمده برای نرخ جریان حجمی بین صفحات تخت موازی است . اولین جمله در سمت راست معادلات (7-۳۸) و (7-۳۹) نماینده جریان شناخته شده پویزیل^۱ (یا فشار) و عبارت دوم ، نماینده جریان کوئت^۲ (یا سرعت) است .

با بازگشت به معادلات (7-۲۸) و (7-۲۹) ، معادله رینولدز توسط معرفی این عبارات در معادله پیوستگی به دست آمده در معادله (6-۴۷) ، شکل می‌گیرد . قبل از انجام این عمل ،

راحت‌تر است که معادله پیوستگی به شکل انتگرالی بیان شود.

$$\int_0^h \left[\frac{\partial \rho}{\partial t} + \frac{\partial}{\partial x}(\rho u) + \frac{\partial}{\partial y}(\rho v) + \frac{\partial}{\partial z}(\rho w) \right] dz = 0$$

یک قانون عمومی انتگرال گیری عبارت است از:

$$\int_0^h \frac{\partial}{\partial x} [f(x, y, z)] dz = -f(x, y, h) \frac{\partial h}{\partial x} + \frac{\partial}{\partial x} \left[\int_0^h f(x, y, z) dz \right] \quad (7-40)$$

بنابراین اگر ρ دانسته نیروی متوسط در عرض فیلم فرض شود (همان‌طور که قبلًا برای لزجت در عرض فیلم انجام گرفت)، جمله مؤلفه w در معادله پیوستگی انتگرال گرفته شده برابر است با:

$$\int_0^h \frac{\partial}{\partial x} (\rho u) dz = -(\rho u)_{z=h} \frac{\partial h}{\partial x} + \frac{\partial}{\partial x} \left(\int_0^h \rho u dz \right) = -\rho u_a \frac{\partial h}{\partial x} + \frac{\partial}{\partial x} \left(\rho \int_0^h u dz \right)$$

به طور مشابه برای مؤلفه v داریم:

$$\int_0^h \frac{\partial}{\partial y} (\rho v) dz = -\rho v_a \frac{\partial h}{\partial y} + \frac{\partial}{\partial y} \left(\rho \int_0^h v dz \right)$$

جمله مؤلفه w را می‌توان مستقیماً انتگرال گرفت؛ سپس داریم:

$$\int_0^h \frac{\partial}{\partial z} (\rho w) dz = \rho(w_a - w_b)$$

بنابراین معادله پیوستگی انتگرال گرفته شده و می‌شود:

$$h \frac{\partial \rho}{\partial t} - \rho u_a \frac{\partial h}{\partial x} + \frac{\partial}{\partial x} \left(\rho \int_0^h u dz \right) - \rho v_a \frac{\partial h}{\partial y} + \frac{\partial}{\partial y} \left(\rho \int_0^h v dz \right) + \rho(w_a - w_b) = 0 \quad (7-41)$$

انتگرال‌ها در این معادله نماینده نرخهای جریان حجمی در واحد عرض ($\frac{q}{A}$ و $\frac{q}{A}$)، تشریح شده در معادلات (7-38) و (7-39) هستند. با معرفی این عبارات مربوط به نرخ جریان در معادله پیوستگی انتگرال گرفته شده، معادله عمومی رینولز به دست می‌آید:

$$0 = \frac{\partial}{\partial x} \left(-\frac{\rho h^3}{12\eta} \frac{\partial p}{\partial x} \right) + \frac{\partial}{\partial y} \left(-\frac{\rho h^3}{12\eta} \frac{\partial p}{\partial y} \right) + \frac{\partial}{\partial x} \left[\frac{\rho h(u_a + u_b)}{2} \right] + \frac{\partial}{\partial y} \left[\frac{\rho h(v_a + v_b)}{2} \right] + \rho(w_a - w_b) - \rho u_a \frac{\partial h}{\partial x} - \rho v_a \frac{\partial h}{\partial y} + h \frac{\partial \rho}{\partial t} \quad (V-42)$$

۷-۲-۷ از قوانین جریان لزج و اصل بقاء جرم

معادله رینولدز را می‌توان، مستقیماً با در نظر گرفتن یک حجم کنترل ثابت در فضا و امتدادیافته در عرض فیلم روان‌کاری شونده، به دست آورد. نرخ جریان جرم از داخل مستطیلی به ابعاد Δx و Δy را در نظر بگیرید، مطابق شکل ۷-۱، سیستم مختصات را ثابت در نظر گرفته و فیلم روان‌کاری شونده بین سطوح امتداد دارد. توجه کنید که یک سطح با صفحه $z = 0$ و دیگری با سطح منحنی ارائه می‌شود، به ترتیبی که ضخامت فیلم در هر لحظه فقط تابعی از x و y است. این دقیقاً همان سیستم مختصات به کار گرفته شده در قبل برای به دست آوردن معادله رینولدز است.

جرم روان‌کننده در حجم کنترل در هر لحظه، $\rho h \Delta x \times \Delta y$ است. نرخ تغییر در داخل حجم کنترل از تغییر تفاوت بین نرخ جرم جاری به داخل حجم کنترل و نرخ خارج شونده از حجم کنترل ایجاد می‌شود که برابر با $(\partial \rho q'_x / \partial x) \times \Delta y \times \Delta x - (\partial \rho q'_y / \partial y) \times \Delta x \times \Delta y$ در جهت x و y است.

طبق اصل بقاء جرم نرخی که در آن جرم در حجم کنترل انبار می‌شوند، یعنی $\partial(\rho h)/\partial t$ ، باید برابر با تفاوت بین نرخهای خروجی و ورودی جرم باشد؛ بنابراین داریم:

$$-\frac{\partial \rho q'_x}{\partial x} - \frac{\partial \rho q'_y}{\partial y} = \frac{\partial}{\partial t}(\rho h) \quad (V-43)$$

ولی داریم:

$$\frac{\partial}{\partial t}(\rho h) = \rho \frac{\partial h}{\partial t} + h \frac{\partial \rho}{\partial t}$$

$$\frac{\partial}{\partial t}(\rho h) = \rho \left(w_a - w_b - u_a \frac{\partial h}{\partial x} - v_a \frac{\partial h}{\partial y} \right) + h \frac{\partial \rho}{\partial t} \quad (7-44)$$

که با استفاده از معادلات (7-۳۸) و (7-۴۴) و (7-۳۹) ، معادله (7-۴۳) می شود .

$$0 = \frac{\partial}{\partial x} \left(-\frac{\rho h^3}{12\eta} \frac{\partial p}{\partial x} \right) + \frac{\partial}{\partial y} \left(-\frac{\rho h^3}{12\eta} \frac{\partial p}{\partial y} \right) + \frac{\partial}{\partial x} \left[\frac{\rho h(u_a + u_b)}{2} \right] + \frac{\partial}{\partial y} \left[\frac{\rho h(v_a + v_b)}{2} \right] + \rho(w_a - w_b) - \rho u_a \frac{\partial h}{\partial x} - \rho v_a \frac{\partial h}{\partial y} + h \frac{\partial \rho}{\partial t} \quad (7-45)$$

این دقیقاً معادله (7-۴۲) یعنی معادله رینولدز عمومی به دست آمده از معادلات ناویر - استوکس و پیوستگی است .

۷-۳ اهمیت فیزیکی جملات در معادله رینولدز

دو جمله اول معادله (7-۴۵) ، عبارات پویزیل بوده و نرخهای خالص جریان به خاطر گرادیان های فشار از داخل سطح روان کاری شونده را تشریع می کنند . عبارات سوم و چهارم ، عبارات کوتلت بوده و نرخهای خالص جریان ادغام شونده به علت سرعتهای سطحی را تشریع می کنند . عبارات پنجم تا هفتم ، نرخهای خالص و جریان به خاطر حرکت فشرده‌گی و عبارت آخری نرخ خالص جریان به علت انبساط محلی را تشریع می کنند . جریانها یا «عملهای» را می توان بدون از دست دادن حالت عمومی آن ، با حذف عبارات نشت کناری^(۱ / ∂y / ∂x) در معادله (7-۴۵) در نظر گرفت .

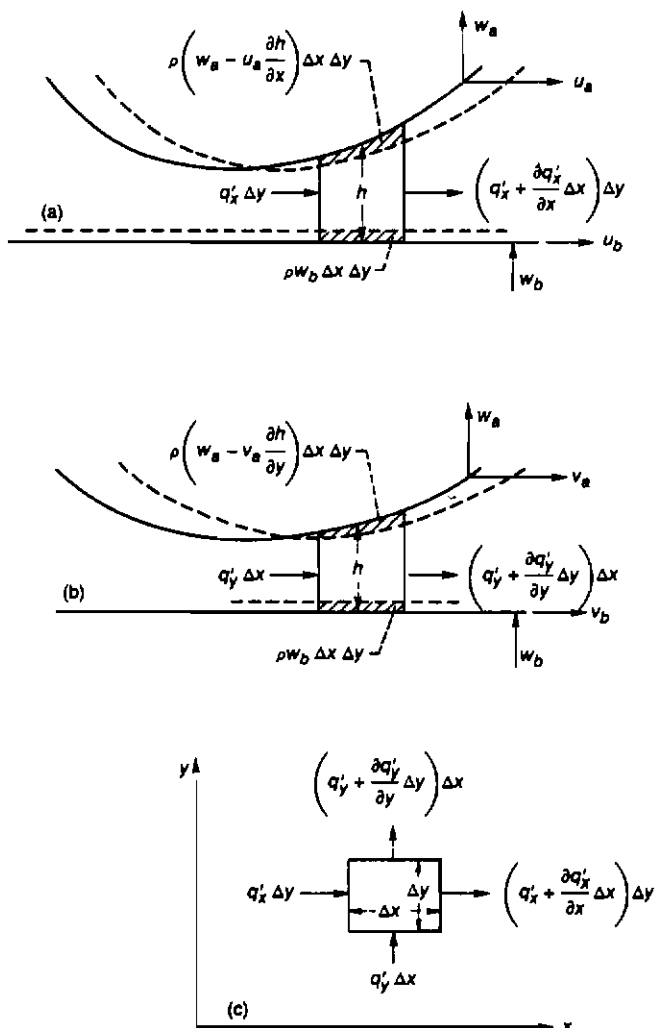
$$\frac{\partial}{\partial x} \left(\frac{\rho h^3}{12\eta} \frac{\partial p}{\partial x} \right) = \frac{\partial}{\partial x} \left[\frac{\rho h(u_a + u_b)}{2} \right] + \rho \left(w_a - w_b - u_a \frac{\partial h}{\partial x} \right) + h \frac{\partial \rho}{\partial t}$$

↑ ↑ ↑ ↑
 Poiseuille Couette Squeeze Local
 expansion

$$\frac{h(u_a + u_b) \frac{\partial \rho}{\partial x}}{2} \quad \frac{\rho h \frac{\partial}{\partial x}(u_a + u_b)}{2} \quad \frac{\rho(u_a + u_b) \frac{\partial h}{\partial x}}{2}$$

↑ ↑ ↑
 Density wedge Stretch Physical wedge

1- Side-leakage terms



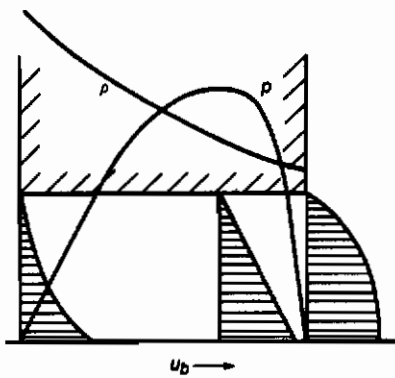
شکل ۱-۷- جزیان جرم از داخل سطح منقطع مستطیلی حجم کنترل . الف- صفحه x ، ب- صفحه y و z ، ج- صفحه x و y . از [از همراه و داوسون (۱۹۸۱)]

می توان دید که جمله کوئت منجر به سه عمل متفاوت می شود . حال اهمیت فیزیکی هر جمله در معادله رینولدز به طور مفصل بحث می شود .

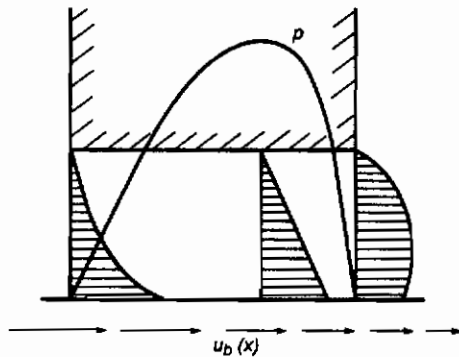
۱-۳-۷ عبارت گوهه ای جرم مخصوص ($(u_a + u_b) h / 2)(\partial \rho / \partial x)$)

عمل گوهه ای جرم مخصوص مربوط به نرخی است که در آن ، جرم مخصوص روان کننده ، مطابق شکل ۷-۲ ، در جهت لغزش تغییر می کند . اگر جرم مخصوص روان کننده در جهت لغزش کاهش یابد ، جریانهای جرمی کوئت برای هر کدام از متعلقاتی سه نمایه سرعت در شکل ۷-۲ ، فرق می کند . برای پیوستگی جریان جرم ، این تفاوت باید با تولید یک جریان پویزیل موازن کننده کننده ، حذف شود .

توجه داشته باشید که از شکل ۷-۲ ، برای تولید فشارهای مثبت ، جرم مخصوص باید در جهت لغزش کاهش یابد . این اثر را می توان با افزایش دمای روان کننده ضمن عبور از داخل یاتاقان ایجاد کرد . مکانیزم گوهه ای جرم مخصوص (بعضی اوقات « گوهه ای حرارتی » نامیده می شود) ، در اکثر یاتاقانها بی اهمیت است . گفته شده است که این مکانیزم می تواند نقش مهمی در عملکرد یاتاقانها کف گرد با سطوح موازی و در جایی که عملهای اصلی تولید فشار غایبند داشته باشد .



شکل ۷-۲- گوهه ای جرم مخصوص



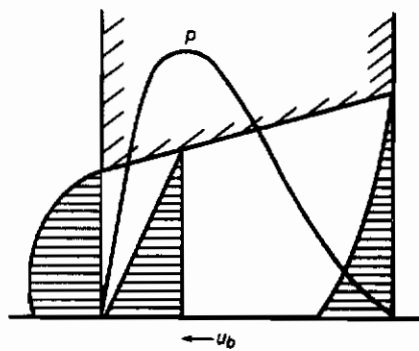
شکل ۷-۳-۲- مکانیزم کشیدگی

۷-۳-۲ عبارت کشیدگی^۱

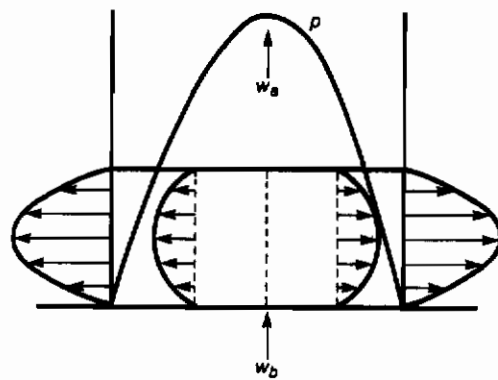
عمل کشیدگی ، نرخی را که در آن سرعت سطحی در جهت لغزش تغییر می‌کند ، در نظر می‌گیرد . این اثر وقتی تولید می‌شود که جامدات محدود کننده کشسان بوده و اندازه‌ای که این سطوح کشیده می‌شوند ، در داخل یاتاقان تغییر کند . برای تولید فشارهای ثابت ، مطابق شکل ۷-۳ سرعتهای سطحی مجبور به کاهش در جهت لغزش هستند . این عمل در یاتاقانهای معمولی به وجود نمی‌آید .

۷-۳-۳ جمله گوه‌ای فیزیکی $(\rho h / 2)[\partial(u_e + u_b) / \partial x]$

عمل گوه فیزیکی ، خیلی مهم بوده و بهترین وسیله برای تولید فشار است . این عمل در شکل ۷-۴ و برای مورد یک صفحه لغزنده و یک کفشهک یاتاقان ساکن ، نشان داده شده است . در هر سه قسمت ، نرخ جریان حجمی کوئت متناسب با مساحت مثلث با ارتفاع h و قاعده h است . چون h در طول یاتاقان تغییر می‌کند ، نرخ جریان کوئت در هر قسمت متفاوت بوده و پیوستگی جریان فقط نهایی به دست می‌آید که یک جریان پویز موازن کننده اضافه شود . برای یک ظرفیت حمل بار ثابت ، ضخامت فیلم روان کننده باید در جهت لغزش کاهش یابد .



شکل ۷-۴- مکانیزم گوه فیزیکی



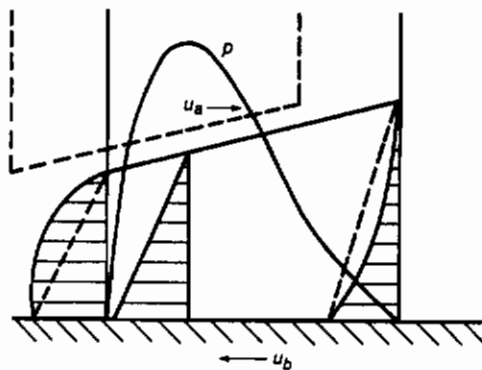
شکل ۷-۵- مکانیزم فشردگی عادی

۷-۳-۴ عبارت فشردگی معمولی ($w_b - w_a$)

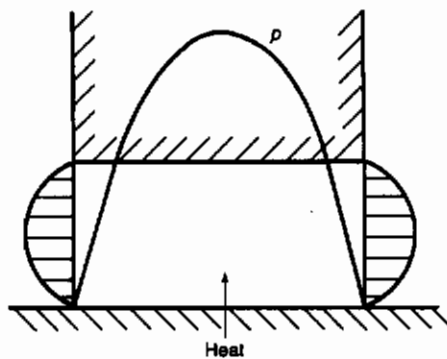
عمل فشردگی معمولی ، وقتی که سطوح یاتاقان تمايل به تماس به يكديگر داشته باشند ، اثر بالشتکي بالارزشی را فراهم می آورد . فشارهای مثبت وقتی تولید خواهد شد که ضخامت فیلم به تدریج تعدیل یابد . اعمال گوه فیزیکی و فشردگی عادی ، دو وسیله اصلی تولید فشار در یاتاقانهای هیدرودینامیکی یا فیلم سیال خود عمل کننده ، هستند . در غیاب لغزش ، مطابق شکل ۷-۵ ، این اثر مستقیماً از تفاوت سرعتهای عمودی ($w_b - w_a$) حاصل می شود . به طور آشکار فشارهای مثبت زمانی به دست خواهند آمد که ضخامت فیلم در حال کاهش باشد ($w_a > w_b$) .

۷-۳-۵ جمله فشردگی انتقال ($\partial h / \partial x$)

عمل انتقال فشردگی ، نتیجه‌ای است از انتقال سطوح شیدار . ضخامت موضعی فیلم ممکن است مثل شکل ۷-۶ ، بالغزش سطح شیدار یا تاقان فشرده شود . نرخی که در آن ضخامت فیلم کاهش می‌یابد ، در شکل نشان داده شده است . توجه داشته باشید که در این مورد ، نمایه فشار روی فضای پوشیده شده توسط سیستم مختصات ثابتی که فشار در هر نقطه ثابت آن تابع زمان است ، در حال حرکت است .



شکل ۷-۶- مکانیزم انتقال فشردگی



شکل ۷-۷- مکانیزم انبساط محلی

۶-۳-۷ جمله انبساط موضعی ($\rho/\partial t$)

نرخ محلی زمانی تغییر جرم مخصوص ، حاکم بر جمله انبساط محلی است . مطابق شکل ۷-۷ ، مکانیزم تولید فشار را می توان با در نظر گرفتن انبساط حرارتی روان کننده بین سطوح ساکن یاتاقان ، تصور کرد . اگر حرارت به روان کننده اضافه شود ، منبسط شده و حجم اضافی مجبور است که از فضای بین سطوح یاتاقان خارج شود . در غیاب سرعهای سطحی ، حجم اضافی روان کننده باید توسط یک عمل جریان فشار (پویزیل) خارج شود . بنابراین فشارها در روان کننده تولید شده و برای یک ظرفیت حمل بار مثبت : $\rho/\partial t$ باید منفی باشد (مثلاً حجم جرم داده شده روان کننده باید افزایش باید) . انبساط محلی ، که یک مکانیزم انتقال تولید فشار است ، معمولاً در تجزیه و تحلیل یاتاقان بی اهمیت است .

۷-۴ شکلهای تعديل یافته استاندارد معادله رینولدز

فقط برای حرکت مماسی که در آن : $w_a = u_a \frac{\partial h}{\partial x} + v_a \frac{\partial h}{\partial y}$ و $w_a = 0$ است :

معادله رینولدز ارائه شده با رابطه (۷-۴۵) می شود :

$$\frac{\partial}{\partial x} \left(\frac{\rho h^3}{\eta} \frac{\partial p}{\partial x} \right) + \frac{\partial}{\partial y} \left(\frac{\rho h^3}{\eta} \frac{\partial p}{\partial y} \right) = 12 \tilde{u} \frac{\partial(\rho h)}{\partial x} + 12 \tilde{v} \frac{\partial(\rho h)}{\partial y} \quad (7-47)$$

که در آن :

$$\tilde{u} = \frac{u_a + u_b}{2} = \text{constant} \quad \tilde{v} = \frac{v_a + v_b}{2} = \text{constant}$$

است . این معادله برای روان کاری الاستوہیدرودینامیکی ، قابلیت کاربرد دارد . برای روان کاری هیدرودینامیکی ، خواص سیال در سرتاسر یاتاقان تغییر قابل توجهی نکرده ؛ بنابراین می تواند ثابت در نظر گرفته شود . همچنین برای روان کاری هیدرودینامیکی ، حرکت کاملاً لغزشی بوده به ترتیبی که ۰ صفر است . بنابراین ، معادله رینولدز مربوط می شود به :

$$\frac{\partial}{\partial x} \left(h^3 \frac{\partial p}{\partial x} \right) + \frac{\partial}{\partial y} \left(h^3 \frac{\partial p}{\partial y} \right) = 12 \tilde{u} \eta_0 \frac{\partial h}{\partial x} \quad (7-48)$$

معادله (۷-۴۷) نه تنها فقط اجازه می‌دهد که خواص سیال در جهت‌های x و y تغییر کند، بلکه همچنین اجازه می‌دهد که سطوح یاتاقان در جهت y طول معین داشته باشد. نشت کناری یا سریان در جهت y ، مرتبط با جمله دوم در معادلات (۷-۴۷) و (۷-۴۸) است. اگر فشار در فیلم روان کننده مجبور به در نظر گرفته شدن به عنوان تابعی از x و y باشد، حل معادله (۷-۴۷) به صورت تحلیلی بشرط قابل به دست آمدن است.

در خیلی از سیال‌روان کاری متدالوں، از نشت کناری می‌توان چشم پوشی کرد که این امر غالباً به راه حل تحلیلی می‌انجامد. اگر از نشت کناری صرف نظر شود، معادله (۷-۴۷) می‌شود:

$$\frac{\partial}{\partial x} \left(\frac{\rho h^3}{\eta} \frac{\partial p}{\partial x} \right) = 12\bar{u} \frac{\partial(\rho h)}{\partial x} \quad (7-49)$$

این معادله را می‌توان نسبت به x انتگرال گرفت، تا داشته باشیم:

$$\frac{1}{\eta} \frac{dp}{dx} = \frac{12\bar{u}}{h^2} + \frac{\bar{A}}{\rho h^3} \quad (7-50)$$

با به کارگیری شرایط مرزی زیر:

$$\frac{dp}{dx} = 0 \quad \text{when } x = x_m \quad \rho = \rho_m \quad h = h_m$$

داریم:

$$\bar{A} = -12\bar{u}\rho_m h_m$$

با جایگذاری این مقدار در معادله (۷-۵۰)، می‌دهد:

$$\frac{dp}{dx} = 12\bar{u}\eta \frac{\rho h - \rho_m h_m}{\rho h^3} \quad (7-51)$$

این شکل انتگرال گرفته شده معادله رینولدز است. توجه داشته باشید که اندیس m به شرط $dp/dx = 0$ در تمام نقاط ارجاع می‌دهد. مثال آن نقطه فشار بیشینه است. هیچ فرضی در مورد جرم مخصوصی یا لزجت سیال در معادله (۷-۵۱) انجام نگرفت. اگر جرم مخصوص در سرتاسر اتصال تغییرزیادی نکند می‌توان آن را ثابت در نظر گرفته؛ و معادله (۷-۵۱)

به شکل زیر تعديل یابد :

$$\frac{dp}{dx} = 12\bar{\mu}\eta \frac{h - h_m}{h^3} \quad (7-52)$$

معادله رینولدز که برای یاتاقانهای روان کاری شونده توسط گاز معتبر است ، در این قسمت مورد بحث قرار می‌گیرد . معادله حالت برای یک گاز کامل عبارت است از :

$$p = \rho \bar{R} t_m \quad (7-53)$$

که در آن :

where \bar{R} = gas constant (universal gas constant ÷ molecular weight)
 t_m = absolute temperature

است ؛ بنابراین از معادله (7-53) داریم :

$$\rho = \frac{p}{\bar{R} t_m} \quad (7-54)$$

با جایگذاری این معادله در رابطه (7-47) ، معادله رینولدزی به دست می‌آید که معمولاً برای یاتاقانهای روان کاری شونده توسط گاز و فقط برای حرکت مماسی به کار می‌رودن . به دلیل این که لزجت یک گاز تغییر زیادی نمی‌کند ، می‌توان آن را ثابت در نظر گرفت .

$$\frac{\partial}{\partial x} \left(ph^3 \frac{\partial p}{\partial x} \right) + \frac{\partial}{\partial y} \left(ph^3 \frac{\partial p}{\partial y} \right) = 12\bar{\mu}\eta_0 \frac{\partial(p h)}{\partial x} \quad (7-55)$$

معادله قابل مقایسه با (7-47) ، در سیستم مختصات استوانه‌ای عبارت است از :

$$\frac{\partial}{\partial r} \left(\frac{rph^3}{\eta} \frac{\partial p}{\partial r} \right) + \frac{1}{r} \frac{\partial}{\partial \theta} \left(\frac{ph^3}{\eta} \frac{\partial p}{\partial \theta} \right) = 12 \left[\tilde{v}_r \frac{\partial}{\partial r} (\rho rh) + \tilde{v}_\theta \frac{\partial}{\partial \theta} (\rho h) \right] \quad (7-56)$$

که در آن : $2 \tilde{v}_r = (\tilde{v}_{\theta a} + \tilde{v}_{\theta b}) / 2$ و $2 \tilde{v}_\theta = (\tilde{v}_{ra} + \tilde{v}_{rb}) / 2$ می‌باشد . اگر لزجت و جرم مخصوص ثابت فرض شوند ، این معادله به صورت زیر تعديل می‌شود :

$$\frac{\partial}{\partial r} \left(rh^3 \frac{\partial p}{\partial r} \right) + \frac{1}{r} \frac{\partial}{\partial \theta} \left(h^3 \frac{\partial p}{\partial \theta} \right) = 12\eta_0 \left[\tilde{v}_r \frac{\partial}{\partial r} (rh) + \tilde{v}_\theta \frac{\partial h}{\partial \theta} \right] \quad (7-57)$$

باید خاطر نشان ساخت که معادلات (۷-۵۶) و (۷-۵۷)، معادله رینولدز برای مختصات استوانه‌ای برای یک یاتاقان کف‌گرد که در آن مسیر فیلم در جهت z بوده و ابعاد یاتاقان در r و θ هستند، می‌باشد. اگر کسی مایل به ارائه آن در مختصات استوانه‌ای در به کارگیری برای یاتاقان ژورنال باشد، معادله رینولدز متفاوت خواهد بود و در آن θ و z ابعاد این یاتاقان و r شکل فیلم را تشریح می‌کنند.

معادله رینولدز به دست آمده برای ارائه عمومی معادله (۷-۴۵)، به صورت زیر می‌باشد:

$$\frac{\partial}{\partial x} \left(\frac{\rho h^3}{12\eta} \frac{\partial p}{\partial x} \right) + \frac{\partial}{\partial y} \left(\frac{\rho h^3}{12\eta} \frac{\partial p}{\partial y} \right) = \frac{\partial}{\partial x} \left[\frac{\rho h(u_a + u_b)}{2} \right] + \frac{\partial}{\partial y} \left[\frac{\rho h(v_a + v_b)}{2} \right] + \frac{\partial(\rho h)}{\partial t} \quad (7-58)$$

این معادله دقیقاً مشابه (۷-۴۵) است؛ اگر داشته باشیم:

$$\rho(w_a - w_b) - \rho u_a \frac{\partial h}{\partial x} - \rho v_a \frac{\partial h}{\partial y} + h \frac{\partial \rho}{\partial t} = \frac{\partial(\rho h)}{\partial t}$$

این دلالت بر آن دارد که:

$$\frac{\partial h}{\partial t} = w_a - w_b - u_a \frac{\partial h}{\partial x} - v_a \frac{\partial h}{\partial y} \quad (7-59)$$

است. سعی خواهد شد که واقعیت معادله (۷-۵۹) اثبات شود. در ابتدا توجه داشته باشید که ضخامت فیلم h تابع x ، y و t است.

$$h = f(x, y, t)$$

از تعریف مشتق کلی داریم:

$$Dh = \frac{\partial h}{\partial t} dt + \frac{\partial h}{\partial x} dx + \frac{\partial h}{\partial y} dy$$

یا

$$\frac{Dh}{Dt} = \frac{\partial h}{\partial t} + \frac{\partial h}{\partial x} \frac{dx}{dt} + \frac{\partial h}{\partial y} \frac{dy}{dt}$$

ولی :

$$u_a = \frac{dx}{dt} \quad v_a = \frac{dy}{dt} \quad \text{and} \quad \frac{Dh}{Dt} = w_a - w_b$$

با

$$\begin{aligned} \therefore w_a - w_b &= \frac{\partial h}{\partial t} + u_a \frac{\partial h}{\partial x} + v_a \frac{\partial h}{\partial y} \\ \frac{\partial h}{\partial t} &= w_a - w_b - u_a \frac{\partial h}{\partial x} - v_a \frac{\partial h}{\partial y} \end{aligned} \quad (7-60)$$

بنابراین اثبات می شود که معادلات (7-۴۵) و (7-۵۸) یکسان هستند.

با استفاده از معادلات (6-۵۱) و (6-۴۶) تا (6-۴۴)، و پیروی از روش سزری (1980)، معادله رینولدز برای جریان مغشوش به صورت زیر است:

$$\frac{\partial}{\partial x} \left(\frac{h^3}{\eta k_x} \frac{\partial p^*}{\partial x} \right) + \frac{\partial}{\partial y} \left(\frac{h^3}{\eta k_y} \frac{\partial p^*}{\partial y} \right) = \frac{u^*}{2} \frac{\partial h}{\partial x} \quad (7-61)$$

معادله (7-۶۱) برای یاتاقانهای کف گرد و ژورنال به کار می رود. کونستانتیسکو^۷ (1962) ثابت کرده:

$$k_x = 12 + 0.53(k^2 R_{eh})^{0.725} \quad (7-62)$$

$$k_y = 12 + 0.296(k^2 R_{eh})^{0.65} \quad (7-63)$$

هستند؛ که در آن داریم:

$$R_{eh} = \frac{rwh\rho}{\eta} \quad (7-64)$$

$$k \approx 0.125 R_{eh}^{0.07} \quad (7-65)$$

۷-۵ حرکتهای مختلف عمودی فشرده و لغزشی

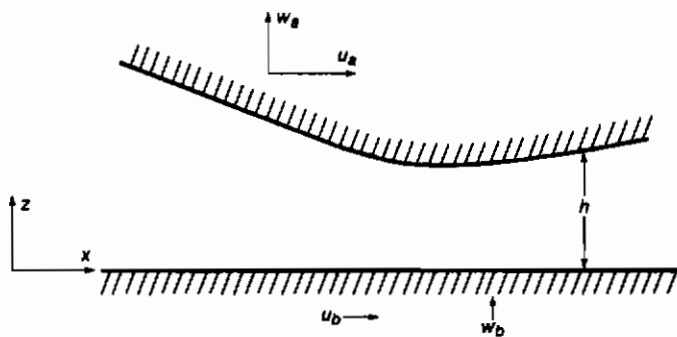
در قسمت قبلی معادلات مختلف رینولوز ، تنها زمانی که حرکت مماسی وجود دارد ، مورد بحث قرار گرفتند . در این قسمت چگونگی تغییر دادن معادله رینولوز ، وقتی که مؤلفه های مختلف مماسی و عمودی سرعت فشرده که در نظر گرفته می شود ، تشریح می گردد . مؤلفه های سرعت و مختصات به کار گرفته شده در شکل ۷-۸ ، نشان داده می شوند . اگر برای سادگی ، جرم مخصوص ثابت فرض شده و از نشت کناری صرف نظر شود ، معادله رینولوز ارائه شده در معادله (۷-۴۵) را می توان به صورت زیر نوشت :

$$\frac{\partial}{\partial x} \left(\frac{h^3}{12\eta} \frac{\partial p}{\partial x} \right) = \frac{u_a + u_b}{2} \frac{\partial h}{\partial x} + \frac{h}{2} \frac{\partial}{\partial x} (u_a + u_b) + w_a - w_b - u_a \frac{\partial h}{\partial x}$$

با جمع آوری جملات داریم :

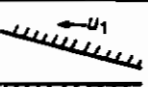
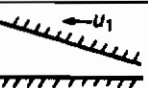
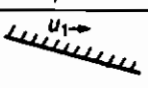
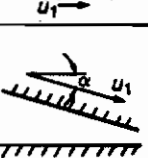
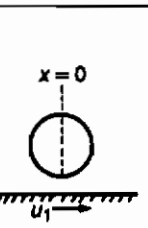
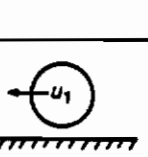
$$\frac{\partial}{\partial x} \left(\frac{h^3}{12\eta} \frac{\partial p}{\partial x} \right) = \underbrace{\frac{u_b - u_a}{2} \frac{\partial h}{\partial x}}_{I} + \underbrace{\frac{h}{2} \frac{\partial}{\partial x} (u_a + u_b)}_{II} + \underbrace{w_a - w_b}_{III} \quad (7-66)$$

تعداد متفاوتی از حرکتهای مماسی و عمودی فشرده ممکن است اتفاق یافتد که در جدول ۷-۱ نشان داده می شود . جملات سمت راست معادله (۷-۶۶) با I ، II ، III مشخص می شوند . همان طور که جدول نشان می دهد ، باید دقت شود که حرکت فیزیکی انجام شونده در کاربرد بخصوص توسط معادله رینولوز مناسب با آن ارائه می شود . توجه داشته باشید که وضعیتهای هندسی و سرعتهای کاملاً متفاوت ، معادله یکسانی تولید می کنند ؛ ولی در که چرا این چنین است ، برای جلوگیری از برداشت غیر مناسب مهم است .

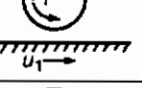
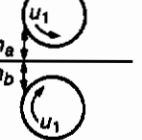


شکل ۷-۸- فشرده عردی و سرعتهای لغزشی

جدول ۷-۱ - حرکتها بی مختلط مماسی و عمودی فشرده که در یاتاقانها اتفاق می‌افتد

	$u_a = w_a = 0$ $u_b = u_1, w_b = 0$	$I + II + III = \frac{u_1}{2} \frac{dh}{dx} + 0 + 0 = \frac{u_1}{2} \frac{dh}{dx}$
	$u_a = -u_1, w_a = 0$ $u_b = 0, w_b = 0$	$I + II + III = \frac{u_1}{2} \frac{dh}{dx} + 0 + 0 = \frac{u_1}{2} \frac{dh}{dx}$
	$u_a = -u_1, w_a = 0$ $u_b = u_1, w_b = 0$	$I + II + III = \frac{u_1 + u_1}{2} \frac{dh}{dx} + 0 + 0 = u_1 \frac{dh}{dx}$
	$u_a = u_1, w_a = 0$ $u_b = u_1, w_b = 0$	$I + II + III = \frac{u_1 - u_1}{2} \frac{dh}{dx} + 0 + 0 = 0$
	$u_a = u_1 \cos \alpha \approx u_1$ $w_a = -u_1 \sin \alpha = u_1 \frac{dh}{dx}$ $u_b = 0, w_b = 0$	$I + II + III = -\frac{u_1}{2} \frac{dh}{dx} + 0 + u_1 \frac{dh}{dx} = \frac{u_1}{2} \frac{dh}{dx}$
	$u_a = 0, w_a = 0$ $u_b = u_1, w_b = 0$ Note that: $x < 0 \quad \frac{dh}{dx} < 0$ $x > 0 \quad \frac{dh}{dx} > 0$	$I + II + III = \frac{u_1}{2} \frac{dh}{dx} + 0 + 0 = \frac{u_1}{2} \frac{dh}{dx}$
	$u_a = -u_1, w_a = 0$ $u_b = 0, w_b = 0$	$I + II + III = \frac{u_1}{2} \frac{dh}{dx} + 0 + 0 = \frac{u_1}{2} \frac{dh}{dx}$

ادامه جدول ۷-۱

	$u_a = u_1, w_a = u_1 \frac{\partial h}{\partial x}$ $u_b = 0, w_b = 0$	$I + II + III = -\frac{u_1}{2} \frac{dh}{dx} + 0 + u_1 \frac{dh}{dx} = \frac{u_1}{2} \frac{dh}{dx}$
	$u_a = -u_1 + u_1 = 0,$ $w_a = u_1 \frac{\partial h}{\partial x}$ $u_b = 0, w_b = 0$	$I + II + III = 0 + 0 + u_1 \frac{dh}{dx} = u_1 \frac{dh}{dx}$
	$u_a = u_1, w_a = u_1 \frac{\partial h}{\partial x}$ $u_b = u_1, w_b = 0$	$I + II + III = \frac{u_1 - u_1}{2} + 0 + u_1 \frac{\partial h}{\partial x} = u_1 \frac{\partial h}{\partial x}$
	$u_a = u_1, w_a = u_1 \frac{dh_a}{dx}$ $u_b = u_1, w_b = u_1 \frac{dh_b}{dx}$	$I + II + III = \frac{u_1 - u_1}{2} \frac{dh}{dx} + 0 + u_1 \frac{dh_a}{dx} + u_1 \frac{dh_b}{dx} = u_1 \frac{dh}{dx}$
	$u_a = u_1, w_a = u_1 \frac{dh_a}{dx}$ $u_b = -u_1, w_b = -u_1 \frac{dh_b}{dx}$	$I + II + III = \frac{-u_1 - u_1}{2} \frac{dh}{dx} + 0 + u_1 \frac{dh_a}{dx} + u_1 \frac{dh_b}{dx} = 0$
	$u_a = u_1, w_a = u_1 \frac{dh}{dx}$ $u_b = 0, w_b = 0$	$I + II + III = -\frac{u_1}{2} \frac{dh}{dx} + 0 + u_1 \frac{dh}{dx} = \frac{u_1}{2} \frac{dh}{dx}$

۷-۶ موضعه

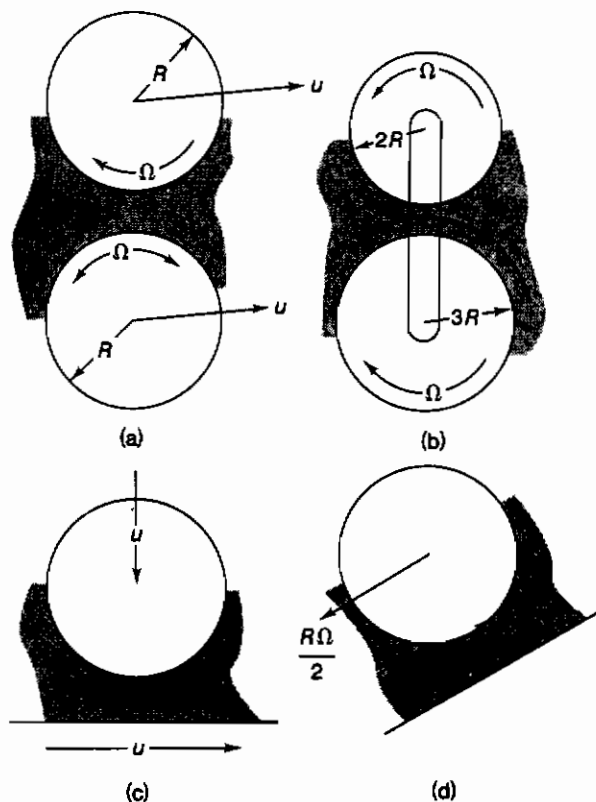
این فصل با کاوش در اعداد بدون بعد مختلف، که تشریح کننده اهمیت عبارات شرکت کننده در معادله رینولدز هستند، آغاز شد. عدد رینولدز، جملات اینرسی و لزجت را مقایسه می‌کند و عدد فرود، جملات اینرسی و گرانش را. نسبت عدد رینولدز به عدد فرود نیز، جملات مربوط به گرانش و لزجت را مقایسه می‌نماید.

معادله رینولدز از به هم پیوستن معادلات ناویر-استوکس و معادله پیوستگی و نیز با استفاده از قوانین جریان لزج و اصل بقاء جرم به دست آمد. معادله رینولدز شامل جملات

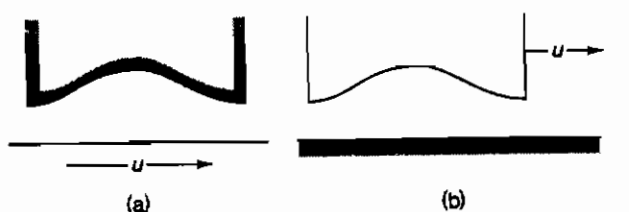
پویزل ، گوه فیزیکی ، کشیدگی ، تراکم موضعی و فشردگی عمودی و عرضی است . هر کدام از این عبارات ، حرکت فیزیکی از نوع بخصوصی را تشريع می کنند که اهمیت فیزیکی هر جمله بحث شد . شکلهای استاندارد معادلات رینولدز که در سرتاسر این کتاب مورد استفاده قرار می گیرند نیز مورد بحث قرار گرفتند . این فصل با تشريع ۱۳ حرکت مختلف لغزشی و یا فشردگی عمودی با معادله رینولدز مربوطه ، به اتمام رسید .

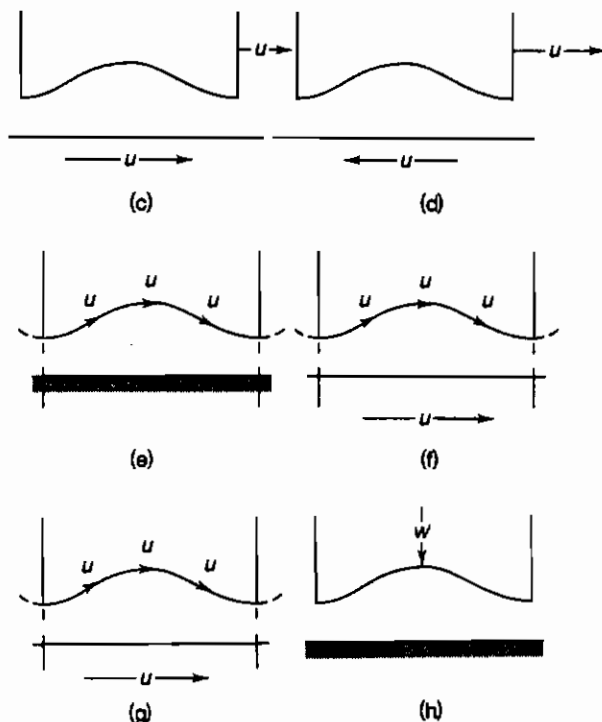
۷-۷ مسائل

- ۷-۷-۱ با شروع از معادلات ناویر- استوکس ارائه شده در مختصات استوانه ای [معادلات (۶-۳۱) و (۶-۳۳)] ، معادله رینولدز ارائه شده در معادله (۷-۵۶) را به دست آورید . فرض کنید که شما مختصات استوانه ای (r, θ, z) را در مورد یاتاقان کف گرد که z در جهت فیلم روان کننده (h) و $r \geq h$ است را به کار می برید .
- ۷-۷-۲ از روابط بین مختصات کارتزین و استوانه ای ثابت کنید که معادله (۷-۴۷) وقتی که لزجت و جرم مخصوص ثابت باشد ($\rho_0 = \rho$ و $\eta_0 = \eta$) معادل معادله (۷-۵۷) است .
- ۷-۷-۳ معادله رینولدز برای شرایط جریان آرام را با شرایط مناسب برای جریان مغذوش مقایسه کنید . همچنین شرایط کاری و کاربردی که در آن اغتشاش در گستره فیلم سیال بیشترین احتمال اتفاق را دارد ، لیست کنید .
- ۷-۷-۴ یک یاتاقان زورناال روان کاری شونده با آب دریک پمپ تغذیه دیگ دارای میله 0.10 m بوده که در $t/10$ می چرخد . لزجت سینماتیک در ناحیه فیلم سیال کامل را می توان مستقیماً متناسب با ضخامت فیلم در نظر گرفته و مقدار $m^2/\text{s} = 10^{-7} \times 4$ در یک ضخامت فیلم برابر بالقی ساعی 0.1 mm دارد . تعیین کنید که آیا این یاتاقان در ناحیه جریان آرام یا مغذوش کار می کند ؟ اگر جریان آرام پیش بینی می شود ، چه تغییری در این شرایط کاری ، شروع جریان گردابه ای را تولید می کند .
- ۷-۷-۵ معادله رینولدز برای موقعیت های نشان داده شده در زیر را بنویسید . دو ایر ، نماینده استوانه های بی نهایت طویل بوده و تمام سرعتها نسبت به یک سیستم ثابت هستند . روان کننده را می توان نیوتونی ، غیرقابل تراکم ، و لزجت ثابت فرض کنید .



۷-۷-۶ برای هر وضعیت تشریح شده که در نمودارهای زیر آمده است ، معادله رینولدز مناسب را بیان کرده و گستردگی‌های فشار انتظار رونده را ترسیم کنید . می‌توان فرض کرد که یاتاقانها عرض بی‌نهایت داشته و روان‌کننده نیوتینی ، لزجت ثابت ، و غیرقابل تراکم بوده و کاویتاسیونی وجود ندارد . اجزاء نشان داده شده در نمودارها به صورت سایه ، ساکن هستند .





فهرست منابع و مأخذ ۷-۸

- Constantinescu, V. N. (1962): Analysis of Bearings Operating in Turbulent Regime, Trans of ASME, Series D, *J. of Basic Engr.*, vol. 84, no. 1, pp. 139-151.
- Hamrock, B. J., and Dowson, D. (1981): *Ball Bearing Lubrication—The Elastohydrodynamics of Elliptical Contacts*. Wiley-Interscience, New York.
- Harrison, W. J. (1913): The Hydrodynamical Theory of Lubrication With Special Reference to Air as a Lubricant. *Trans. Cambridge Philos. Soc.*, xxii (1912-1925), pp. 6-54.
- Reynolds, O. (1886): On the Theory of Lubrication and Its Application to Mr. Beauchamp Tower's Experiments, Including an Experimental Determination of the Viscosity of Olive Oil. *Philos. Trans. R. Soc.*, vol. 177, pp. 157-234.
- Szeri, A. Z. (ed.) (1980): *Tribology-Friction, Lubrication, and Wear*. Hemisphere Publishing Corp., Washington, D.C.
- Taylor, G. I. (1923): Stability of a Viscous Liquid Contained Between Two Rotating Cylinders. *Philos. Trans. R. Soc. London Ser. A*, vol. 223, pp. 289-343.
- Tower, B. (1883): First Report on Friction Experiments (Friction of Lubricated Bearings). *Proc. Inst. Mech. Eng. (London)*, pp. 632-659.

فصل نشسته

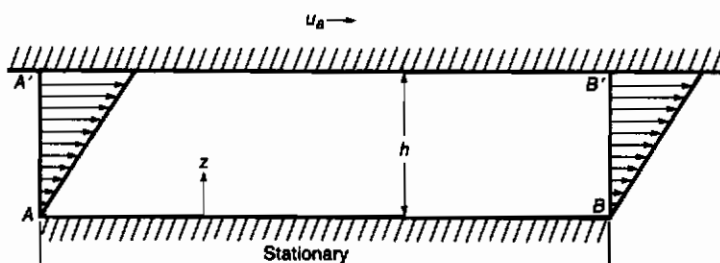
یاتاقانهای کف گرد هیدرودینامیکی حلهای تحلیلی

یک یاتاقان روان کاری شونده هیدرودینامیکی ، یاتاقانی است که ظرفیت حمل بار را به واسطه حرکت نسبی دو سطح جدا شده توسط فیلم سیال به وجود می آورد . فرآیندهای اتفاق افتاده در یک یاتاقان با روان کاری فیلم سیال را می توان با در نظر گیری کیفیت توسعه فشار روغن بهتر درک نمود .

۱-۱ مکانیزم توسعه فشار

درک توسعه فشارهای حمل بار در یاتاقانهای هیدرودینامیکی را می توان از نظر فیزیکی با در نظر گرفتن شرایط هندسی و حرکت لازم برای توسعه این فشار به دست آورد . درک وضعیت فیزیکی می تواند ریاضی روان کاری هیدرودینامیکی را خیلی با معنی تر کند . تنها با در نظر گرفتن این که چه اتفاقی باید بیفتد تا پوستگی جریان برقرار باشد ، می توان بیشتر آنچه که معادلات ریاضی بعداً در این فصل به ما می گویند را به دست آورد .

شکل ۱-۱ نمایه های سرعت برای دو سطح صاف جدا شده توسط یک ضخامت ، ثابت فیلم روان کاری کننده را نشان می دهد . این صفحات کاملاً پهن هستند ؛ به طوری که می توان از جریان نشت کناری (به داخل و خارج از صفحه کاغذ) صرف نظر کرد . صفحه بالائی با سرعت A' در حرکت و صفحه پایینی به صورت ساکن نگه داشته می شود . لغزش صفر در سطوح وجود دارد . سرعت به طور یکنواخت از صفر در سطح AB تا B' در سطح A' می



شکل ۱-۱-۱ نمایه‌های سرعت در یک یاتاقان کشویی با سطوح موازی

تفییر می‌کند، بنابراین دلالت بر آن دارد که نرخ برش du/dz در سرتاسر فیلم روغن ثابت است. حجم سیال جاری شونده در عرض مقطع 'AA' در واحد زمان، برابر با سیال جاری شونده در عرض مقطع 'BB' است. جریان عبورکننده از دو مرز، فقط از گرادیانهای سرعت نتیجه شده و چون آنها با هم برابرند لزوم پیوستگی جریان بدون به وجود آمدن فشار در داخل فیلم به دست می‌آید. چون توان یک فیلم روان کاری شونده در حمایت از باربستگی به فشار تولید شده در فیلم دارد، یک یاتاقان کشویی با سطوح موازی نمی‌تواند این بار را توسط یک فیلم سیال تحمل کند. اگر باری به سطح AB وارد شود، ماده روان کاری کننده با فشار خارج شده و این یاتاقان تحت شرایط روان کاری مرزی عمل خواهد کرد.

حال مورد دو صفحه ناموازی نشان داده شده در شکل ۱-۲ (الف) را در نظر بگیرید.

در این مورد نیز پهناهی صفحات در جهت عمود بر حرکت بزرگ است، به ترتیبی که جریان روان کاری کننده در این جهت بسیار کوچک است. حجم روان کاری کننده که سطح 'B' سعی بر انتقال به داخل فضای بین سطوح AB و 'B' A از طریق مقطع 'AA' در واحد زمان می‌کند، برابر 'AC' A است. حجم روان کاری کننده که این سطوح سعی بر خارج کردن از این فضا در مقطع 'BB' در همین زمان می‌کند، برابر با 'BD' B است. چون فاصله 'AA' بزرگتر از فاصله 'BB' است، حجم 'AC' A به اندازه 'AEC' از حجم 'BD' B بزرگتر است. طبق پیوستگی جریان، حجم واقعی روغن حمل شده به داخل این فضا باید برابر با حجم خارج شده از این فضا باشد. می‌توان به سادگی حدس زد که فشار تولیدشونده‌ای در فیلم روان کاری کننده تا ارتفاع پیوستگی جریان وجود خواهد داشت. نمایه‌های سرعت به خاطر جریان «پویزیل»^۱

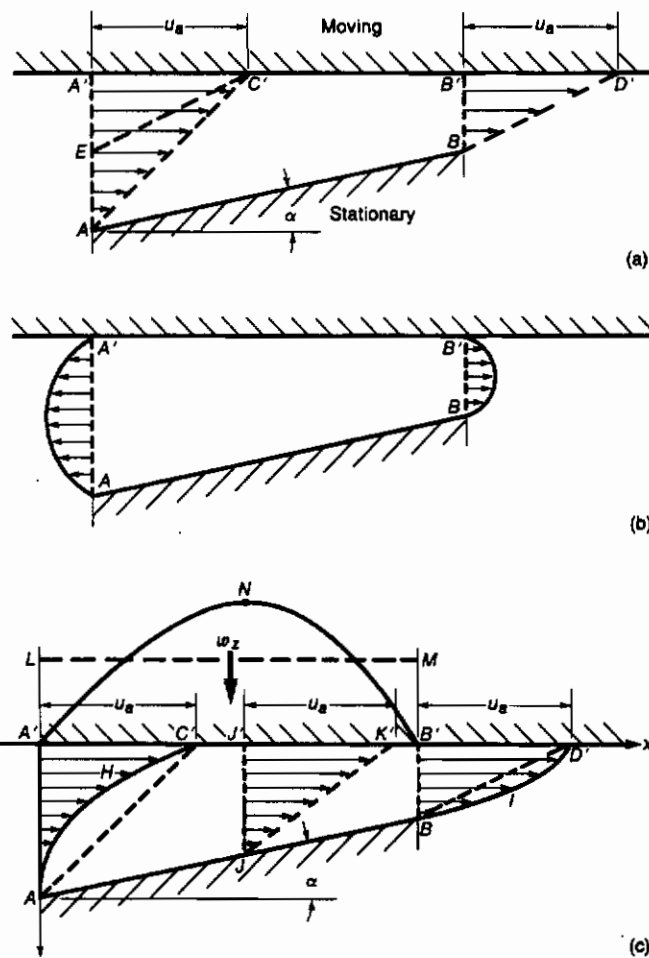
در شکل ۸-۲ (ب) ، نشان داده می شوند . این جریان از هر دو لبه های انتهایی و جلویی یاتاقان به سمت خارج است ؛ زیرا همیشه جریان از یک ناحیه با فشار بالاتر به ناحیه با فشار پایین تر خواهد بود . توجه داشته باشید که جریان فشار در مرز 'AA در جهت مخالف با جریان سرعت است ، ولی جریان فشار در 'BB در جهت جریان سرعت می باشد .

نتیجه بر هم نهش جریانهای کوتلت 'و پویزیل در شکل ۸-۲ (ج) نشان داده می شوند . شکل منحنیهای توزیع سرعت به دست آمده از این طریق باید شرط این که نرخ جریان از مقطع 'AA برابر با نرخ جریان در مقطع 'BB باشد را ، برآورده کند . بنابراین مساحت 'AHC'A باید برابر با مساحت 'BID'B باشد . مساحت بین خط راست نقطه چین 'AC و منحنی 'AHC در مقطع 'AA و مساحت بین خط نقطه چین 'BD و منحنی 'BID جریان القایی فشاری از داخل این مساحتها را ارائه می دهدند .

این فشار در مقطع 'JJ جانی بین مقاطع 'AA و 'BB بیشینه است . چون گرادیان فشار در مقطع 'JJ صفر بوده و تمام جریان کوتلت می باشد ، بنابراین جریان پویزیل در این مقطع نقشی ندارد . توجه داشته باشید که پیوستگی جریان در مثلث 'JK'J ، که برابر با مساحتهاي 'BID' و 'B'AHC'A است ، برآورده می شود .

۸-۲ تئوری عمومی یاتاقان کف گرد

حلهای معادله رینولدز برای وضعیتهاي واقعی یاتاقان معمولاً به شکل تقریب عددی به دست می آیند . حلهای تحلیلی فقط برای آسانترین مسایل امکان پذیرند . با محدود کردن جریان به دو بعد ، مثل صفحه xy ، حلهای تحلیلی برای خیلی از اشکال یاتاقانهای متداول ، قابل دسترس می شوند . مقدار کمی این راه حلها محدود است ؛ زیرا جریان در بعد سوم ، مثلاً لکه به نام «نشست کناری» شناخته می شود ، در عملکرد یاتاقان فیلم سیال نقش مهمی ایفا می کند . چون حلهای دو بعدی مقدار زیادی اطلاعات درباره مشخصه های عمومی یاتاقانها به دست می دهند که منجر به تصویر فیزیکی واضحی از عملکرد فیلمهای روان شونده می شوند ، ارزشمند هستند .



شکل A-۲- جریان داخل یک یاتاقان کشوبی با شب ثابت : الف . جریان کوئن ،
ب . جریان پوزل ، ج . نمایه سرعت منتهی

علاوه بر نادیده گرفتن نشت کناری ، ساده سازی دیگری با چشم پوشی اثرات فشار و دمای خواص روان کاری کننده مانند لزجت و دانسیته ، به دست می آید . لزجت روان کننده های رایج به طور خاص به دما حساس بوده و چون حرارت تولید شده در یاتاقانهای هیدرودینامیکی معمولاً زیاد است ، محدودیت ایجاد شده توسط این فرض به طور سریع معلوم می شود .

با معرفی لزجت و دانسته متغیر، حتی در مرور دتجزیه و تحلیل جریان دو بعدی، مشکلات فراوانی به وجود می آورند . افزایش دما در داخل فیلم را می توان با فرض این که تمام حرارت تولید شده توسط عمل لزجت با روان کننده انتقال می یابد (فرض آدیاباتیک) ، محاسبه کرد . از فصل ۷ ، معادله (۷-۵۲) ، معادله رینولدز دو بعدی بیان شده به شکل انتگرالی برای جرم مخصوص ثابت را می توان این گونه نوشت :

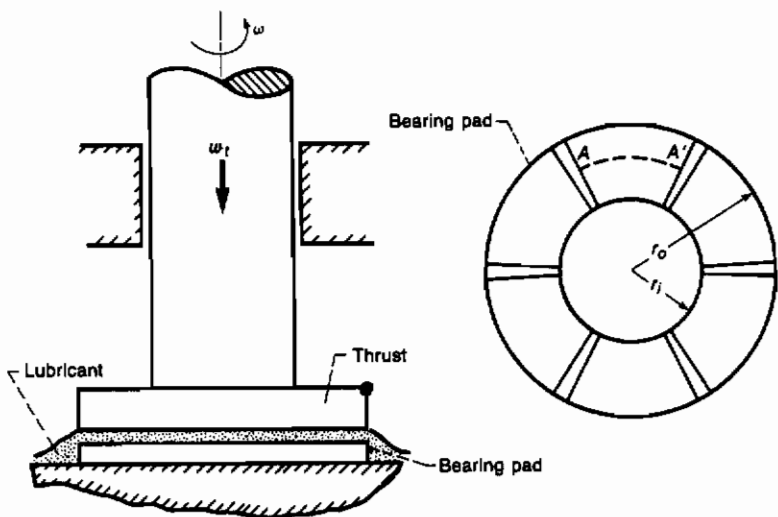
$$\frac{dp}{dx} = 12\bar{u}\eta \frac{h - h_m}{h^3} \quad (7-52)$$

در این فصل این معادله به عنوان نقطه شروع برای وضعیتهای مختلف یاتاقان کف گرد به کار گرفته می شود . قبل از ادامه بررسی موقعیتهای متفاوت فیلم در یاتاقنهای کف گرد ، لازم به بحث بیشتر در مورد یاتاقنهای کف گرد به طور عموم است .

خیلی از بارهایی که توسط ماشینهای چرخشی حمل می شوند ، مؤلفه هایی دارند که در جهت چرخش محور اصلی عمل می کنند . این بارهای کف گرد عموماً توسط یاتاقنهای خود عمل کننده یا هیدرودینامیکی نشان داده شده در شکل ۸-۳ ، صورت می پذیرند . یک صفحه کف گرد متصل شده یا تشکیل دهنده قسمتی از محور چرخنده ، توسط یک فیلم روان کننده از کفشهای یاتاقان به شکل قطاعی جدا می شود . ظرفیت حمل بار این یاتاقان کاملاً از فشارهای تولید شده توسط هندسه این صفحه کف گرد روی کفشهای یاتاقان به وجود می آید . چیزی که قبلاً به طور فیزیکی در این فصل مشاهده گردید به صورت تحلیلی نشان داده خواهد شد . عمل روان کاری فقط وقتی انجام می شود که فضای لقی بین مؤلفه های ساکن و در حال حرکت با شکلهای هندسی بخصوص فراهم شوند .

واضح است که جریان روان کننده بین صفحه کف گرد و کفشهای یاتاقان ، یک مسئله جریان سه بعدی را ارائه می دهد . به هر حال برای این منظور ، از جریان در جهتشعاعی صرف نظر می شود . در این فصل هر کفشك در طول یک قسمت تشکیل یافته توسط قوس AA که در شکل ۸-۳ نشان داده شده تجزیه و تحلیل می شود . از اثر اتحنا در مورد این قسمت صرف نظر می شود ؛ زیرا هندسه فیلم روغن با صفحه کف گرد . این ارائه ساده ، اجزاء می دهد تا ظرفیت حمل بار یاتاقان کف گرد به صورت :

$$w_r = N_0 w_z (r_o - r_i) \quad (8-1)$$

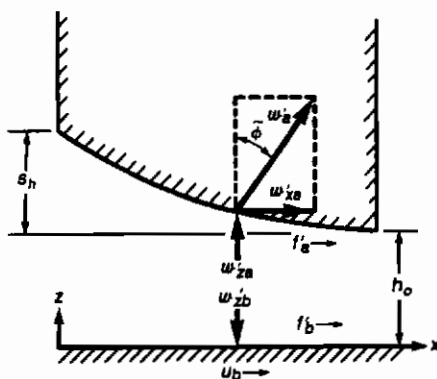


شکل ۳-۸- هندسه یاتاقان کف گرد

نوشته شود که در آن $\frac{N}{\text{ عدد کف گرهای یاتاقان کف گرد و } \frac{\omega}{w} \text{ ظرفیت حمل بار عمودی}} \text{ در واحد عرض یک کف گرد بر حسب N/m است.}$

این عبارت متنهی به تخمین اضافی ظرفیت حمل بار برای یک ضخامت فیلم روغن معین می شود؛ زیرا جریان روان کننده درجهتشعاعی (جهت نشت کناری) سعی در کاهش فشار متوسط فیلم روغن خواهد شد. اثرات نشت کناری در فصل ۹ مورد بحث قرار خواهد گرفت. نتایج تجزیه و تحلیل وضعیتهای مختلف یاتاقان، جهت راحتی در مقایسه مشخصه های مهم یاتاقان به شکل بدون بُعد بیان می شوند. تعاریف عمومی و روابط زیر مورد استفاده قرار می گیرند. این تعاریف باید مرتبط با شکل هندسی یاتاقان نشان داده شده در شکل ۴-۸ باشد.

نیروهای عمل کننده روی سطوح صلب، در دو گروه می توانند در نظر گرفته شود. بارهایی که درجهت عمود به سطح عمل می کنند، بارهای قائمی به دست می دهند که به دو مؤلفه w و $\frac{\omega}{w}$ تجزیه می شوند. تنشهای سطحی لزج که درجهت مماس بر سطح عمل می کند، نیروهای برشی روی سطوح جامد به وجود می آورد که مؤلفه های x درجهت x دارد. مؤلفه نیروهای برشی درجهت z را می توان نادیده گرفت.



شکل ۴-۴- مؤلفه‌های نیرو و شکل هندسی فیلم روغن در یک قطاع کف گرد روغن کاری شده به صورت هیدرودینامیکی

وقتی فشار برای یک وضعیت فیلم بخصوص از معادله رینولدز به دست آمد، فشار و مؤلفه‌های نیروی زیر بر روی سطوح جامد اعمال خواهند شد.

$$w'_{za} = w'_{zb} = \int_0^t p \, dx \quad (4-2)$$

$$\dot{w}'_{xb} = 0 \quad (4-3)$$

$$w'_{za} = - \int_{h_o + s_h}^{h_o} p \, dh = - \int_0^t p \frac{dh}{dx} \, dx \quad (4-4)$$

$$\therefore w'_{za} = -(ph)'_0 + \int_0^t h \frac{dp}{dx} \, dx = \int_0^t h \frac{dp}{dx} \, dx$$

$$w'_b = (w'^2_{zb} + w'^2_{za})^{1/2} = w'_{zb} \quad (4-5)$$

$$w'_a = (w'^2_{za} + w'^2_{xa})^{1/2} \quad (4-6)$$

$$\tilde{\phi} = \tan^{-1} \frac{w'_{xa}}{w'_{za}} \quad (4-7)$$

نیروهای برشی در واحد عرض عمل کننده بر روی این سطوح جامد عبارتند از:

$$f'_b = \int_0^t (\tau_{xz})_{z=0} \, dx$$

با جایگذاری معادله (۷-۳۲) در این معادله داریم:

$$f'_b = \int_0^t \left(-\frac{h}{2} \frac{dp}{dx} - \frac{\eta u_b}{h} \right) dx$$

با استفاده از معادله (۸-۴) ، به دست می آید :

$$f'_b = -\frac{\omega'_{xa}}{2} - \int_0^t \frac{\eta u_b}{h} dx \quad (8-8)$$

به طور مشابه نیروی برشی در واحد عرض عمل کننده روی سطح جامد a :

$$f'_a = -\int_0^t (\tau_{zx})_{z=h} dx = -\frac{\omega'_{xa}}{2} + \int_0^t \frac{\eta u_b}{h} dx \quad (8-9)$$

است . توجه کنید که از شکل ۸-۸ داریم :

$$f'_b + f'_a + \omega'_{xa} = 0 \quad (8-10)$$

$$\omega'_{zb} - \omega'_{za} = 0 \quad (8-11)$$

این معادلات شرط تعادل ایستاتیکی را ارائه می دهند .

نشهای لزج تولیدشده توسط برش فیلم روان کننده ، نیروی مقاوم با مقدار f - را بر روی سطح در حال حرکت به وجود می آورند . نرخ کاری در مقابل نشهای لزجت ، یا افت قدرت برای یک کفشهک :

$$k_p = -f_b u_b = -f'_b (r_o - r_i) u_b \quad (8-12)$$

است . کار انجام شده در مقابل نشهای لزج به صورت حرارت در داخل روان کننده ظاهر می شود . مقداری از این حرارت ممکن است به صورت تشعشع یا هدایت به محیط اطراف انتقال یابد ، یا توسط جریان روان کننده از فضای لقی به صورت جابجایی خارج شود .

افزایش دمای کلی روان کننده برای سوردی که در آن تمام حرارت به صورت جابجایی خارج می شود به عنوان «افزایش دمای آدیباتیک» شناخته می شود . این افزایش دمای کلی را می توان با مساوی قرار دادن نرخ حرارت تولیدی در داخل روان کننده با نرخ حرارت انتقال یافته توسط جابجایی به دست آورد :

$$k_p = J \rho q C_p (\Delta t_m) g$$

یا افزایش دمای آدیاباتیک بر حسب درجه سلسیوس را می‌توان به صورت زیر بیان کرد :

$$\Delta t_m = \frac{h_p}{J\rho q C_p g} \quad (8-13)$$

حرارت معادل مکانیکی ژول بر حسب $J = N.m/J$

$\rho = N.s^2/m^2$ جرم مخصوص نیروی روان کننده بر حسب

$q = m^3/s$ نرخ جریان حجمی در جهت حرکت بر حسب

$C_p = J/(N \cdot {}^\circ C)$ گرمای ویژه ماده در فشار ثابت بر حسب

$g = 9.8 m/s^2$ شتاب ثقل

که در آن :

است .

با تعریف بعضی از معادلات که در تجزیه و تحلیل یاتاقان کف گرد مورد استفاده قرار می‌گیرند، سه یاتاقان کشویی زیر توجه را به خود جلب می‌نمایند :

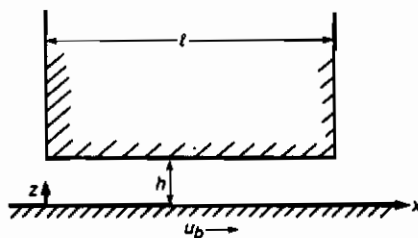
- ۱- سطح موازی
- ۲- شبیب ثابت
- ۳- پله موازی .

بدون بُعد کردن برای تعریف پارامترهای عملکرد متوجه جهت هر سه نوع یاتاقان به طور یکسان به کار گرفته می‌شود، به طوری که آنها را بتوان مستقیماً مقایسه کرد . در سرتاسر این فصل فرض می‌کنیم که مکانیزم تولید فشار، گوه فیزیکی بحث شده در قسمت ۷-۳-۳ است .

۸-۳ یاتاقان کشویی با سطوح موازی

شکل ۸-۵ یک یاتاقان کشویی با سطوح موازی را نشان می‌دهد . ضخامت فیلم برای طول یاتاقان ثابت است . با استفاده از معادله رینولدز تعریف شده در معادله (۷-۴۸) و در ضمن چشم پوشی از جمله نشت کناری و فرض ضخامت فیلم ثابت معادله رینولدز تعدیل شده به صورت زیر به دست می‌آید :

$$\frac{d^2 p}{dx^2} = 0 \quad (8-14)$$



شکل ۸-۵- یاتاقان کشویی با سطح موازی

با دو بار انتگرال گیری داریم :

$$p = \tilde{A}x + \tilde{B}$$

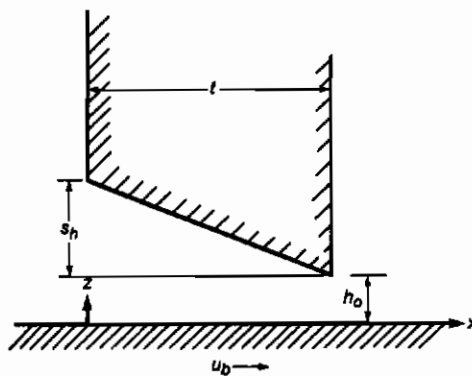
شرایط مرزی عبارتند از :

1. $p = 0$ at $x = 0$.
2. $p = 0$ at $x = \ell$.

با استفاده از این شرایط مرزی ، $p = 0$ می شود . بنابراین یک یاتاقان کشویی با سطح موازی ، به صورت مکانیزم گوه فیزیکی فشار تولید نمی کند . عدم وجود تولیدکننده فشار ، دلال بر این است که این دسته از یاتاقانها نمی توانند بار شعاعی تحمل کنند . این همان نتیجه ای است که قبلاً در فصل (قسمت ۱-۸) از بحث فیزیکی به آن رسیدیم .

۸-۴ یاتاقان کشویی با شیب ثابت

شکل ۸-۶ یک یاتاقان کشویی با شیب ثابت را نشان می دهد . یک کشویی با شیب ثابت شامل دو سطح غیرموازی جدا شده توسط یک فیلم روغن می باشد . یک سطح ثابت است ، در حالی که دیگری با سرعت یکنواخت حرکت می کند . جهت حرکت و شیب سطح طوری هستند که یک فیلم روغن همگرا بین سطوح تشکیل شده و مکانیزم تولید فشار گوه فیزیکی (تشریح شده در قسمت ۷-۳-۳) در فیلم روغن توسعه می یابد . این مکانیزم تولید فشار است که یاتاقان را قادر به تحمل بار می کند .



شکل ۶-۸- یاتاقان کثربی با شبب ثابت

۸-۴-۱ توزیع فشار

تجزیه و تحلیل این نوع یاتاقان با شکل انتگرالی معادله رینولدز که توسط معادله (۷-۵۲) انجام می شود . تنها تغییر در این معادله $0 = \eta_a$ و لزجت ثابت η_0 فرض می شود .

$$\frac{dp}{dx} = 6\eta_0 u_b \frac{h - h_m}{h^3} \quad (8-15)$$

که h ضخامت فیلم در $dp/dx = 0$ است .

ضخامت فیلم روغن را می توان بر حسب تابعی از x نوشت :

$$h = h_o + s_h \left(1 - \frac{x}{\ell} \right) \quad (8-16)$$

انتخاب ضخامت فیلم و فشار بر حسب عبارات بدون بُعد زیر :

$$P = \frac{ps_h^2}{\eta_0 u_b \ell} \quad H = \frac{h}{s_h} \quad H_m = \frac{h_m}{s_h} \quad H_o = \frac{h_o}{s_h} \quad X = \frac{x}{\ell} \quad (8-17)$$

باعث می شود که معادلات (۸-۱۵) و (۸-۱۶) به این شکل درآیند :

$$\frac{dP}{dX} = 6 \left(\frac{H - H_m}{H^3} \right) \quad (8-18)$$

$$H = \frac{h}{s_h} = H_o + 1 - X \quad (\text{A-۱۹})$$

$$\frac{dH}{dX} = -1 \quad (\text{A-۲۰})$$

با انتگرال گیری از معادله (A-۱۸) داریم :

$$P = 6 \int \left(\frac{1}{H^2} - \frac{H_m}{H^3} \right) dX$$

همچنین با به کار گیری معادله (A-۲۰) در معادله قبلی ، داریم :

$$\begin{aligned} P &= -6 \int \left(\frac{1}{H^2} - \frac{H_m}{H^3} \right) dH \\ \therefore P &= 6 \left(\frac{1}{H} - \frac{H_m}{2H^2} \right) + \tilde{A} \end{aligned} \quad (\text{A-۲۱})$$

شرط مربوط عبارتند از :

1. $P = 0$ when $X = 0 \rightarrow H = H_o + 1$.
2. $P = 0$ when $X = 1 \rightarrow H = H_o$.

با استفاده از شرایط مربوط ۱ و ۲ داریم :

$$H_m = \frac{2H_o(1 + H_o)}{1 + 2H_o} \quad (\text{A-۲۲})$$

و

$$\tilde{A} = -\frac{6}{1 + 2H_o} \quad (\text{A-۲۳})$$

با جایگذاری معادلات (A-۲۲) و (A-۲۳) در (A-۲۱) این نتیجه را داریم :

$$P = \frac{6X(1 - X)}{(H_o + 1 - X)^2(1 + 2H_o)} \quad (\text{A-۲۴})$$

توجه داشته باشید که فشار بدون بُعد ، تابعی از X و H_o است . تغییرات P با X برای مقادیر مختلف H_o ، در شکل A-۷ نشان داده شده است . در آنجا می توان دید که توزیع فشار با

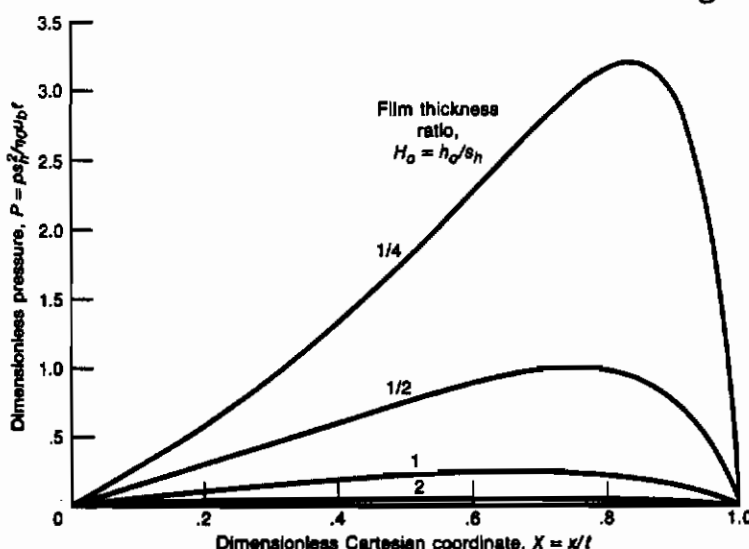
کاهش H_0 افزایش می‌یابد . به خاطر داشته باشید که $H_0 = h_0 / s_h$ است . بنابراین اگر ارتفاع پله ، s_h ، ثابت باقی بماند ، شکل ۸-۷ دلالت بر این دارد که در ضمن کوچکتر شدن ضخامت فیلم خروجی h_0 ، نمایه فشار ، بدون محدودیت افزایش می‌یابد . این شکل همچنین نشان می‌دهد که برای H_0 بزرگ ، تولید فشار کمی در یاتاقان کف گرد با شبیث ثابت وجود دارد . محاسبه ضخامت فیلم در مقطعی که گرادیان فشار برابر با صفر است ، می‌شود :

$$H_m = H_o + 1 - X_m$$

با استفاده از معادله (۸-۲۲) داریم :

$$X_m = \frac{1 + H_o}{1 + 2H_o} \quad (8-25)$$

ضمن $0 \rightarrow H_0$ ، مقطع فشار بیشینه ، $1 \rightarrow X_m \rightarrow \frac{1}{2}$ ، $H_0 \rightarrow \infty$ میل کرده ، ولی ضمن $\infty \rightarrow 0$ دلالت بر این دارد که $0 \rightarrow H_0 \rightarrow 0$ یا $h_0 \rightarrow \infty$ یا $s_h \rightarrow \infty$ و لی میل می‌کند . توجه داشته باشید که $0 \rightarrow H_0 \rightarrow 0$ دلالت بر این دارد که $0 \rightarrow h_0 \rightarrow 0$ یا $s_h \rightarrow 0$ و لی $\infty \rightarrow H_0 \rightarrow \infty$ دلالت بر این دارد که $0 \rightarrow h_0 \rightarrow \infty$ یا $s_h \rightarrow 0$ میل می‌کند . وضعیت $0 \rightarrow h_0 \rightarrow \infty$ دلالت برموازی بودن سطوح دارد ؛ ولی همانطور که در قسمت ۳-۸ نتیجه گرفتیم ، سطوح موازی فشار تولید نمی‌کنند .



شکل ۸-۷- توزیع فشار در یاتاقان کشی با شبیث ثابت

با تعریف مقطع فشار بیشینه توسط معادله (۸-۲۵) ، این فشار بیشینه را می توان مستقیماً از معادله (۸-۲۴) پیدا کرد که وقتی $X_m = X$ باشد ، داریم :

$$P_m = \frac{3}{2H_o(1+H_o)(1+2H_o)} \quad (8-26)$$

توجه داشته باشید که ضمن $0 \rightarrow \infty$ ، $H_0 \rightarrow 0$ و این که ضمن $\infty \rightarrow 0$ میل می کند . این نتیجه منطبق بر نتیجه گیری قبلی ، ضمن بحث شکل ۸-۷ می باشد . معادله (۸-۲۶) می تواند به شکل بدون بعد زیر بیان شود :

$$P_m = \frac{3\eta_0 u_b \ell s_h}{2h_o(s_h + h_o)(s_h + 2h_o)} \quad (8-27)$$

از معادله (۸-۲۷) مشاهده می شود که وقتی $s_h \rightarrow 0$ که منطبق بر فیلم موازی است و وقتی $\infty \rightarrow s_h$ میل می کند ، هر دو باعث $P_m = 0$ می شوند . ارتفاع پله که تولید فشار بیشینه می کند را می توان از رابطه $0 = \partial P_m / \partial s_h$ به دست آورد . با محاسبه این مقدار داریم :

$$(s_h)_{opt} = \sqrt{2} h_o \quad (8-28)$$

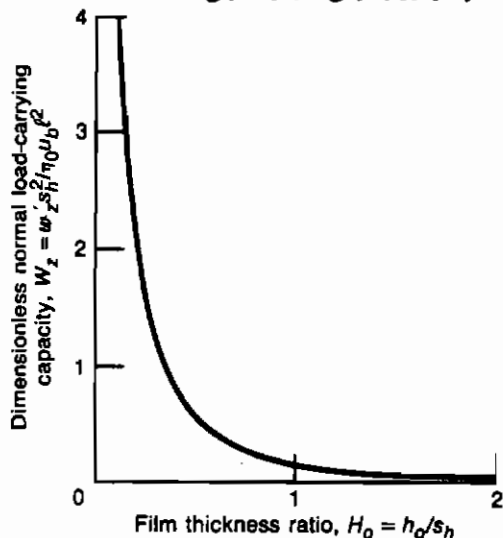
معادله (۸-۲۸) در طراحیهای عملی کاربرد دارد ؛ به این دلیل که اگر جزئیات سطحی را بدانیم آن وقت می توان پیش بینی کرد که (مثالاً از جدول ۹-۲) ضخامت فیلم خروجی کمیه چه مقداری باید باشد . این ارتفاع شانه سپس با استفاده از یک فاکتور اطمینان و معادله (۸-۲۸) می تواند برقرار شود .

۸-۴-۲ مؤلفه بار عمودی بار عمودی در واحد عرض را می توان این گونه نوشت :

$$w_z' = \int_0^t p dx$$

این معادله را می توان با استفاده از معادله (۸-۱۷) به شکل بدون بعد زیر نیز بیان کرد :

$$W_z = \frac{w_z' s_h^2}{\eta_0 u_b \ell^2} = \int_0^1 P dX$$



شکل ۸-۸- اثر نسبت ضخامت فیلم روی ظرفیت حمل بار عمودی

چون $-dH/dX = -1$ ، همانطور که معادله (۸-۲۰) نشان می‌دهد، داریم:

$$W_z = - \int_{H_0+1}^{H_0} P dH \quad (8-29)$$

با جایگذاری معادلات (۸-۲۱) و (۸-۲۳) در این معادله، داریم:

$$W_z = 6 \ln \left(\frac{H_0 + 1}{H_0} \right) - \frac{12}{1 + 2H_0} \quad (8-30)$$

تفییرات W_z با H_0 ، در شکل ۸-۸ نشان داده شده، بیان می‌دارد که ضمن $0 \rightarrow H_0$ این یاتاقان، پتانسیل بسیار زیادی برای حمایت از بار شعاعی دارد. این نتایج باید با داشتن فرضیات اعمال شده در گرفتن این نتیجه تعديل شوند. در این فرضیات نشت کناری نادیده انگاشته شده و سطوح صاف و شرایط تک دمایی در نظر گرفته شدند.

۸-۴-۳ مؤلفه‌های نیروی محاسی

نیرو در واحد عرض در جهت حرکت به دلیل فشار، عبارت است از:

$$w'_{xb} = 0$$

$$w'_{xa} = - \int_{h_0+s_h}^{h_0} p dh$$

با استفاده از معادله (۸-۱۷) این معادله را می‌توان به صورت بدون بُعد ، به شکل زیر نوشت :

$$W_{xa} = \frac{w'_{xa}}{\eta_0 u_b} \frac{s_h}{\ell} = - \int_{H_o+1}^{H_o} P dH = W_z \quad (8-31)$$

۸-۴-۴ مؤلفه‌های نیروی برشی

مؤلفه‌های نیروی برشی در واحد عرضن اعمال شونده بر روی سطوح جامد عبارتند از :

$$f'_b = \int_0^t (\tau_{zx})_{z=0} dx = \int_0^t \left(\eta_0 \frac{\partial u}{\partial z} \right)_{z=0} dx$$

$$f'_a = \int_0^t (-\tau_{zx})_{z=h} dx = - \int_0^t \left(\eta_0 \frac{\partial u}{\partial z} \right)_{z=h} dx$$

تشهای برشی لزج در فصل ۷ (معادلات (۷-۳۲) و (۷-۳۳)) تعریف شدند . با استفاده از این معادلات و با فرض لزجت ثابت و این که $u_a = 0$ باشد ، داریم :

$$f'_b = - \int_0^t \left(\frac{h}{2} \frac{dp}{dx} + \frac{u_b \eta_0}{h} \right) dx$$

$$f'_a = - \int_0^t \left(\frac{h}{2} \frac{dp}{dx} - \frac{u_b \eta_0}{h} \right) dx$$

این معادلات را می‌توان با استفاده از معادله (۸-۱۷) بدون بُعد کرد :

$$F_b = \frac{f'_b}{\eta_0 u_b} \frac{s_h}{\ell} = - \int_0^1 \left(\frac{H}{2} \frac{dP}{dX} + \frac{1}{H} \right) dX$$

$$F_a = \frac{f'_a}{\eta_0 u_b} \frac{s_h}{\ell} = - \int_0^1 \left(\frac{H}{2} \frac{dP}{dX} - \frac{1}{H} \right) dX$$

با استفاده از معادلات (۸-۱۸) و (۸-۱۹) ، این معادلات به صورت زیر بیان می‌شوند :

$$F_b = 4 \ln \left(\frac{H_o}{H_o + 1} \right) + \frac{6}{1 + 2H_o} \quad (8-32)$$

$$F_a = 2 \ln \left(\frac{H_o}{H_o + 1} \right) + \frac{6}{1 + 2H_o} \quad (8-33)$$

مؤلفه‌های نیروی بدون بُعد W_m ، F_b ، و F_a بر حسب تابعی از H_o در شکل ۸-۹ نشان داده می‌شود. توجه داشته باشید که مؤلفه‌های نیروی برون بُعد W_m ، F_b ، و F_a جمله $sh \parallel F_a$ در صورتی که W_m جمله $(sh/l)^2$ را دارا هستند.

۸-۴-۵ ضریب اصطکاک

ضریب اصطکاک را می‌توان به شکل زیر بیان کرد:

$$\mu = -\frac{f'_b}{w'_{zb}} = \frac{f'_a + w'_{xa}}{w'_{za}}$$

با استفاده از معادلات (۸-۳۰) و (۸-۳۲) داریم:

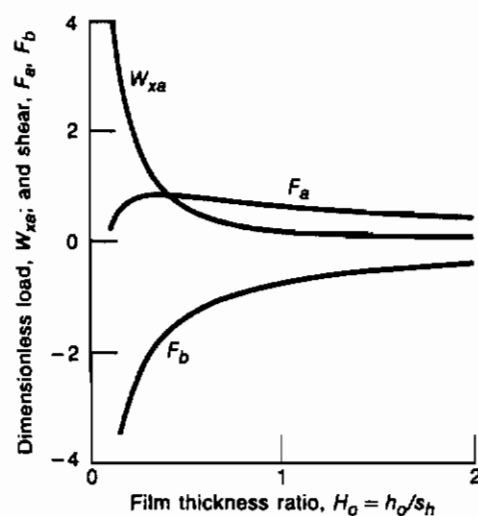
$$\mu = \frac{2s_h \ln \left(\frac{H_o}{H_o + 1} \right) + \frac{3s_h}{1 + 2H_o}}{3\ell \ln \left(\frac{H_o}{H_o + 1} \right) + \frac{6\ell}{1 + 2H_o}} \quad (8-34)$$

تفصیرات s_h با H_o در شکل ۸-۱۰ نشان داده شده می‌شود. توجه داشته باشید که ضمن $0 \rightarrow h_0$ ، ضریب اصطکاک به صفر متغیر می‌شود. این دلیلی است بر این که مؤلفه بار عمودی در ضمن کاهش h_0 به مقدار خیلی زیادی بیشتر از مؤلفه بار محاسبه می‌شود.

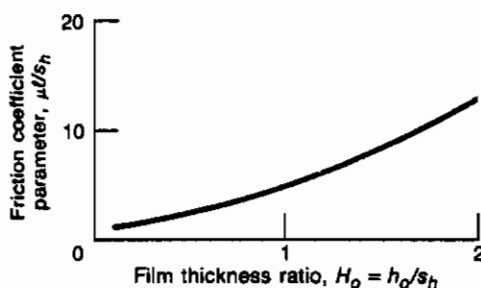
۸-۴-۶ نرخ جریان حجمی

نرخ جریان حجمی در واحد عرض از فصل ۷ را می‌توان به صورت زیر بیان کرد:

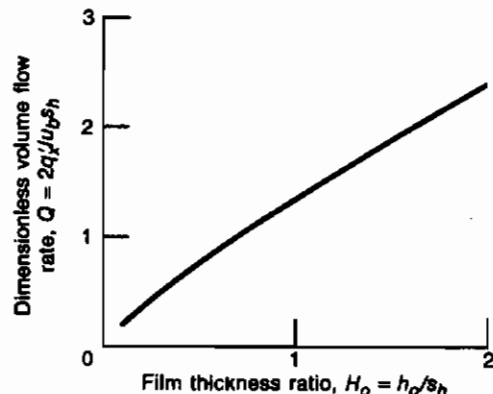
$$q'_x = -\frac{h^3}{12\eta} \frac{\partial p}{\partial x} + \frac{h(u_b + u_a)}{2} \quad (7-38)$$



شکل ۸-۹- اثر نسبت ضخامت فیلم روی مؤلفه های نیرو



شکل ۸-۱۰- اثر نسبت ضخامت فیلم روی پارامتر ضرب اصطکاک



شکل ۸-۱۱- اثر نسبت ضخامت فیلم روی نرخ جریان حجمی بدون بُعد

محاسبه نرخ جریان در جایی که $0 = dp/dx$ و برقرار کردن $0 = u$ "نرخ جریان حجمی به صورت زیر به دست می‌آید :

$$q'_x = \frac{u_b h_m}{2} \quad (8-35)$$

نرخ جریان حجمی بدون بُعد را می‌توان به صورت زیر بیان کرد :

$$Q = \frac{2q'_x}{u_b s_h} = H_m = \frac{2H_o(1 + H_o)}{1 + 2H_o} \quad (8-36)$$

نرخ جریان حجمی بدون بُعد Q بر حسب تابع H_0 در شکل ۸-۱۱ ترسیم می‌شود . این شکل نشان می‌دهد که ضمن افزایش H_0 نرخ جریان حجمی بدون بُعد افزایش می‌باید .

۸-۴-۷ آفت قدرت و افزایش دما

نرخ کلی کار در مقابل تنشهای لزج یا آفت قدرت را می‌توان از معادله (۸-۱۲) بیان کرد :

$$\dot{h}_p = -f_b u_b = -f'_b(r_o - r_i) u_b \quad (8-12)$$

که به صورت بدون بُعد به این شکل است :

$$H_p = \frac{\dot{h}_p s_h}{\eta_0 u_b^2 \ell (r_o - r_i)} = -\frac{f'_b s_h}{\eta_0 u_b \ell} = -F_b = -4 \ln \left(\frac{H_o}{H_o + 1} \right) - \frac{6}{1 + 2H_o} \quad (8-37)$$

فرض می‌شود که تمام حرارت تولید شده توسط برش لزج توسط روان‌کننده دفع شود (شرط آدیباتیک) . افزایش دمای کلی با مساوی قرار دادن نرخ حرارت تولیدی در داخل روان‌کننده با نرخ حرارت انتقال یافته از طریق جابجایی محاسبه می‌شود . بنابراین از معادله (۸-۱۳) افزایش دمای روان‌کننده به قرار زیر است :

$$\Delta t_m = \frac{\dot{h}_p}{J \rho_0 q'_x C_p g} = \frac{2 u_b \ell \eta_0}{J \rho_0 C_p s_h^2 g} \frac{H_p}{Q} \quad (8-13)$$

حرارت معادل مکانیکی ژول بر حسب $J = N.m/J$ که در آن :

$$\rho_0 = N \cdot s^2 / m^4$$

$$q' = m^2 / s$$

$$C_p = J / (N \cdot ^\circ C)$$

$$g = 9.8 \text{ m} / \text{s}^2$$

افزایش دمای بدون بُعد را می توان به صورت زیر بیان کرد :

$$\frac{gJ\rho_0 C_p s_h^2}{2u_b \ell \eta_0} \Delta t_m = \frac{H_p}{Q} = \frac{2(1 + 2H_o)}{H_o(1 + H_o)} \ln \left(\frac{H_o + 1}{H_o} \right) - \frac{3}{(1 + H_o)H_o} \quad (A-38)$$

شکل ۱۲-۸ اثر نسبت ضخامت فیلم و افزایش دمای آدیباتیک بدون بُعد را نشان می دهد .

ضمن ۰ → H_o افزایش دمای آدیباتیک بدون بُعد به سمت بی نهایت میل می کند .

۱-۴-۸ مرکز فشار

محل مرکز فشار x_{cp} دلالت بر موقعیت عمل متوجه نیرو دارد . عبارت ذیل محاسبه موقعیت مرکز فشار را نشان می دهد :

$$w'_z x_{cp} = \int_0^{\ell} px dx = \frac{\eta_0 u_b \ell^3}{s_h^2} \int_0^1 P X dX$$

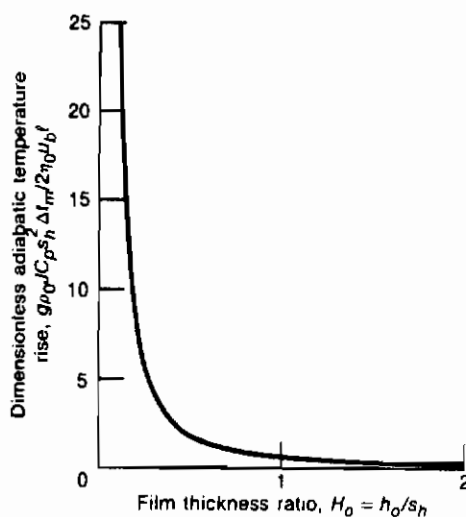
بنابراین مرکز فشار بدون بُعد را می توان این گونه نوشت :

$$X_{cp} = \frac{x_{cp}}{\ell} = \frac{1}{W_z} \int_0^1 P X dX \quad (A-39)$$

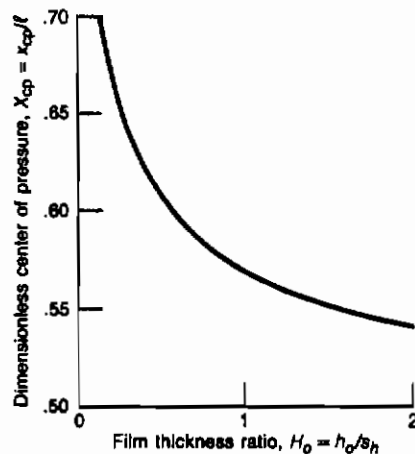
با جایگذاری معادلات (A-۱۹) تا (A-۲۱) در (A-۳۹) داریم :

$$X_{cp} = \frac{-6}{W_z(1 + 2H_o)} \left[(H_o + 1)(3H_o + 1) \ln \left(\frac{H_o}{H_o + 1} \right) + 3H_o + \frac{5}{2} \right] \quad (A-40)$$

شکل ۱۳-۸ اثر ضخامت فیلم روی مرکز فشار را نشان می دهد . همیشه موقعیت مرکز فشار بیشتر به سمت خروج است تا به سمت محل ورودی ($X_{cp} > 0.5$) .



شکل A-۱۲- اثر نسبت ضخامت فیلم روی افزایش درجه حرارت آدیاباتیک بدون بُعد



شکل A-۱۳- اثر نسبت ضخامت فیلم روی مرکز فشار بدون بُعد

A-۴-۹ نمایه سرعت و تابع جریان

از معادله (A-۲۸) برای یک سطح بالائی ثابت ($u_z = 0$) ، سرعت سیال را می توان

این گونه نوشت :

$$u = - \frac{z(h-z)}{2\eta_0} \frac{dp}{dx} + \frac{u_b(h-z)}{h} \quad (A-41)$$

با استفاده از معادله (۸-۱۷) این معادله را می‌توان به صورت بدون بُعد زیر بیان کرد :

$$\frac{u}{u_b} = \left(1 - \frac{Z}{H}\right) \left(1 - \frac{ZH}{2} \frac{dP}{dX}\right) \quad (8-42)$$

که در آن :

$$Z = \frac{z}{s_h} \quad \text{and} \quad 0 \leq Z \leq H \quad (8-43)$$

از معادله (۸-۴۲) $u/u_b = 0$ است، وقتی که :

۱. $Z_{cr} = H$

یا در سطح بالایی :

$$2. Z_{cr} = \frac{2}{H(dP/dX)} \quad (8-44)$$

توجه داشته باشید که شرط ۲ تنها زمانی وجود دارد که $dP/dX > 0$ و بنابراین زمانی که $X < X_m$ باشد.

با جایگذاری معادله (۸-۴۴) در معادله (۸-۱۸) و ضمن اطمینان از برابری نابرابری در معادله (۸-۴۳) خواهیم داشت :

$$0 \leq 2H - 3H_m \quad (8-45)$$

با استفاده از معادلات (۸-۱۹) و (۸-۲۲) این نابرابری می‌شود :

$$X \leq \frac{1 - H_o^2}{2H_o + 1} \quad (8-46)$$

این نابرابری تنها زمانی برقرار است که اگر $H_0 \leq 1$ باشد؛ و دلیلی است بر این که جریان معکوس وقتی وجود دارد که :

$$H_o \leq 1 \quad \text{and} \quad X \leq \frac{1 - H_o^2}{2H_o + 1} \quad (8-47)$$

باشد. اگر این نابرابریها برقرار باشند، سپس $X < X_m$ و $dP/dX > 0$ می‌شود.

جایگذاری این معادله (۸-۱۸) در معادله (۸-۴۲) نتیجه می‌دهد :

$$\frac{u}{u_b} = \left(1 - \frac{Z}{H}\right) \left[1 - \frac{3Z}{H} \left(1 - \frac{H_o}{H}\right)\right] \quad (8-48)$$

که در آن :

$$\frac{Z}{H} = \frac{Z}{H_o + 1 - X} \quad (8-49)$$

$$\frac{H_o}{H} = \frac{2H_o(1 + H_o)}{(1 + 2H_o)(H_o + 1 - X)} \quad (8-50)$$

بنابراین u/u_b فقط تابعی از X ، Z و H_o است .

یک «خط جریان» نوعی منحنی است که جهت تشریح جریان سیال مورد استفاده قرار می‌گیرد . به طور بخصوص ، خط جریان ، منحنی است که در همه جا موازی با جهت جریان سیال است . سطوح مرزی ، خطوط جریان هستند ؛ زیرا سیال نمی‌تواند از این سطوح مرزی عبور کند . تعریف یک خط جریان را ممکن است به صورت ریاضی بیان کرد ، که اگر از جمله نشت کناری صرف نظر شود ، داریم :

$$\frac{dx}{u} = \frac{dz}{w} \quad (8-51)$$

معادله پیوستگی بیان شده توسط معادله (۶-۴۸) ضمن صرف نظر کردن از جمله نشت کناری توسط معرفی یک تابع جدید به صورت زیر می‌تواند بیان شود :

$$u = \frac{\partial \bar{\phi}}{\partial z} \quad \text{and} \quad w = -\frac{\partial \bar{\phi}}{\partial x} \quad (8-52)$$

که در آن $\bar{\phi}$ تابعی از x و z است و «تابع جریان» نامیده می‌شود . با استفاده از قانون مشتق زنجیره‌ای مشتق جزئی ، مشتق کلی $\bar{\phi}$ را می‌توان به صورت زیر بیان کرد :

$$d\bar{\phi} = \frac{\partial \bar{\phi}}{\partial x} dx + \frac{\partial \bar{\phi}}{\partial z} dz \quad (8-53)$$

با استفاده از معادله (۸-۵۲) داریم :

$$d\bar{\phi} = -w dx + u dz \quad (A-54)$$

اگر $d\bar{\phi}$ را برابر با صفر قرار دهیم ، تعریف خط جریان در معادله (A-51) به دست می آید .
یعنی خطوط با $\bar{\phi}$ ثابت ، خطوط جریان را از آن می دهند .

معادله (A-52) نیز می تواند بر حسب جملات بدون بعد یک تابع جریان $\bar{\Phi}$ به صورت زیر بیان شود :

$$\frac{u}{u_b} = \frac{1}{u_b} \frac{\partial \bar{\Phi}}{\partial z} = \frac{\partial \bar{\Phi}}{\partial Z} \quad (A-55)$$

که در آن $u_b s_h / \bar{\Phi}$ است . با جایگذاری معادله (A-42) در این معادله و انتگرال گیری داریم :

$$\bar{\Phi}(X, Z) = \frac{Z^3}{6} \frac{dP}{dX} - \frac{Z^2}{2H} \left(1 + \frac{H^2}{2} \frac{dP}{dX} \right) + Z = \text{constant} \quad (A-56)$$

این معادله را می توان به آسانی با استفاده از معادلات (A-18) ، (A-19) و (A-22) به دست آورد .

همچنین از معادله پیوستگی ، ضمن چشم پوشی از جمله نشت کناری ، سرعت درجهت Z را می توان این گونه نوشت :

$$w = \int \left(-\frac{\partial u}{\partial x} \right) dz = \frac{s_h u_b}{\ell} \int \left[-\frac{\partial(u/u_b)}{\partial X} \right] dZ$$

$$\therefore \frac{w}{u_b s_h} = - \int_0^Z \left[\frac{\partial(u/u_b)}{\partial H} \right] \frac{\partial H}{\partial X} dZ = \int_0^Z \left[\frac{\partial(u/u_b)}{\partial H} \right] dZ$$

با جایگذاری معادله (A-48) در این معادله داریم :

$$\frac{w\ell}{u_b s_h} = \left(Z^2 - \frac{Z^3}{H} \right) \left(\frac{2}{H^2} - \frac{3H_m}{H^3} \right) = \frac{Z^2}{H^4} (Z - H)(3H_m - 2H) \quad (A-57)$$

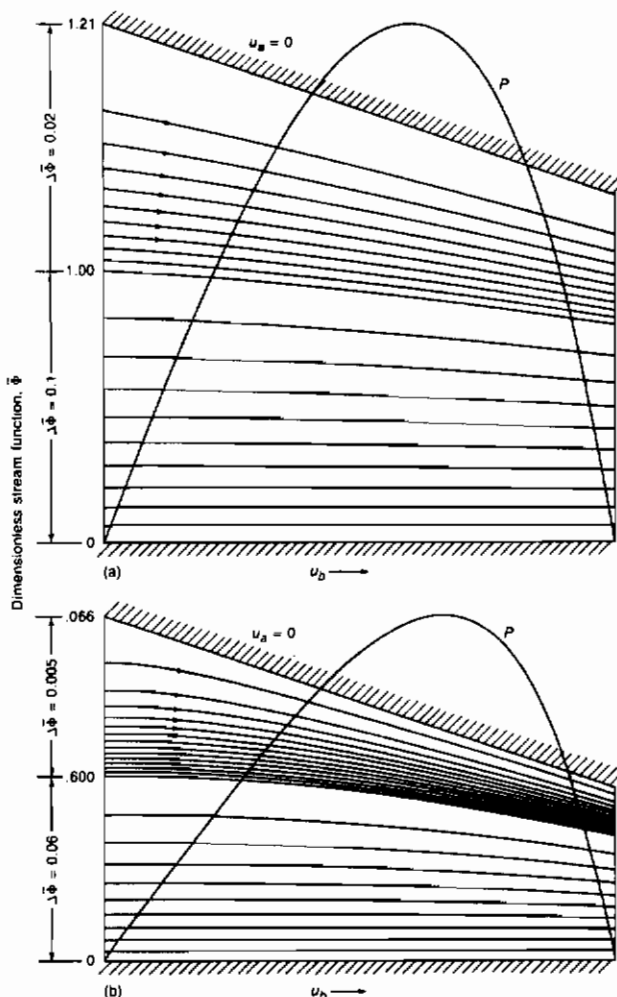
توجه داشته باشیم که از این معادله $w / u_b (l / s_h) = 0$ وقتی $Z = H$ و $Z = 0$ و در $H = \frac{3}{2}H_m$ است . استفاده از معادلات (A-19) و (A-22) مقدار بحرانی x در $H = \frac{3}{2}H_m$ را به دست می دهد :

$$X_{cr} = \frac{1 - H_o^2}{1 + 2H_o} \quad (A-58)$$

توجه داشته باشیم که وقتی $0 \leq X_{cr} \leq 1$ ، $H_0 \leq 1$ است .

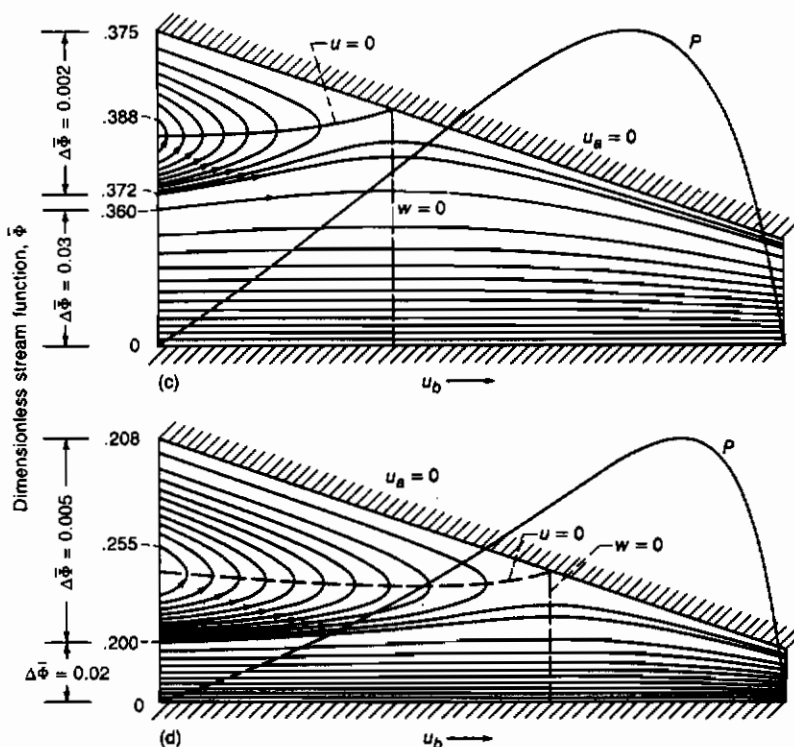
با استفاده از معادله (۸-۵۲) تابع جریان را می‌توان این‌گونه نوشت :

$$\frac{w\ell}{u_b s_h} = - \frac{\partial \bar{\Phi}}{\partial X} = - \frac{\partial \bar{\Phi}}{\partial H} \frac{\partial H}{\partial X} = \frac{\partial \bar{\Phi}}{\partial H} \quad (8-59)$$



شکل ۸-۱۴- توابع جریان برای پاتاقان با شیب ثابت در چهار نسبت ضخامت فبلم H_0

. الف . ب . $H_0 = 1$ ، $H_0 = 2$ (مقدار بحرانی) .

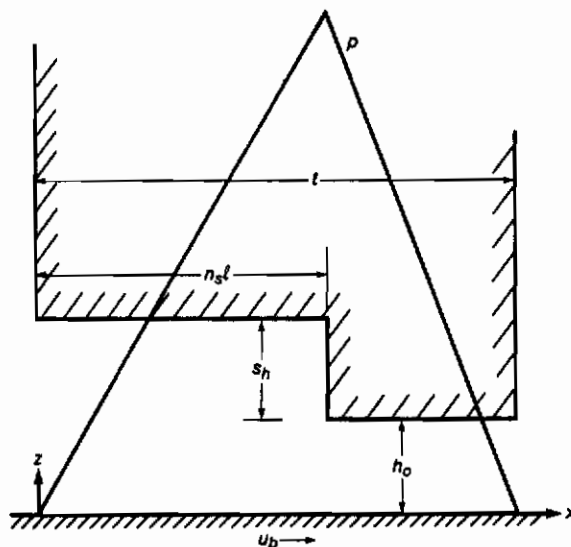
شکل ۸-۱۴-ج. $H_0 = 0.25$ ، $H_2 = 0.5$.

شکل ۸-۱۴ خطوط جریان در داخل فیلم روان کننده برای چهار نسبت ضخامت فیلم را نشان می‌دهد. در این شکل مقدار $\Delta\bar{\Phi}$ دلالت بر نمودار $\bar{\Phi}$ بین مقادیر معین $\bar{\Phi}$ را دارد. جریان معکوسی در قسمتهای (الف) و (ب) اتفاق نمی‌افتد که به ترتیب مربوط به $H_0 = 2$ و $H_0 = 1$ است؛ ولی جریان معکوس در قسمتهای (ج) و (د) که به ترتیب مربوط به $H_0 = 0.5$ و $H_0 = 0.25$ هستند، وجود دارند. همچنین در این شکل توزیع فشار در داخل یاتاقان و همچنین موقعیت $w = 0$ نشان داده شده است. خط راست نشان داده شده برای $w = 0$ وقتی موقعت $w = 0$ نشان داده شده است. خط منحنی نشان داده شده است که $H = \frac{3}{2}H_m$ است که معادله (۸-۵۸) به دست می‌آید. وقتی این نشان داده شده است که $w = 0$ و معادله (۸-۴۴) محاسبه می‌شود. نتایج شکل ۸-۱۴ بیان می‌دارد که ضمن کوچکتر شدن H_0 برای سیال مشکلت‌تر می‌شود که از داخل یاتاقان بگذرد.

۸-۵ یاتاقان کشویی پله موازی

لرد رایلی^۱ در ۱۹۱۸ بیان نمود که شکل هندسی یک یاتاقان پله موازی وقتی که نشت کناری نادیده گرفته شود ، ظرفیت حمل بار بهینه را تولید می کند ؛ ولی این یاتاقان از پیشرفت و کاربردی مثل یاتاقان کشویی کفسک پرچی برخوردار نیست . غفلت پیشین از این وضعیت قابل توجه از لحاظ ریاضی به خاطر شک در باره اهداف نسبی این یاتاقان است ، وقتی که نشت کناری مورد نظر قرار می گیرد . شکل ۸-۱۵ شکل هندسی فیلم در این یاتاقان و همچنین یک نمایه فشار نمونه حاصله از تجزیه و تحلیل را به دست می دهد .

یاتاقان کشویی پله موازی در اینجا توسط دو یاتاقان با سطوح موازی مرتبط تجزیه و تحلیل می شوند . زیرنویسهای او به ترتیب برای مشخص کردن شرایط در فیلمهای ورودی و خروجی به کار گرفته می شوند .



شکل ۸-۱۵- یاتاقان کشویی پله موازی

۱-۵-۸ توزیع فشار

از معادله (۷-۴۸) و با صرف نظر کردن از نشت کناری و ضخامت فیلم ثابت در نواحی ورودی و خروجی، معادله رینولدز مناسب عبارت است از:

$$\frac{d^2 p}{dx^2} = 0$$

اگر از این معادله انتگرال بگیریم، داریم:

$$\frac{dp}{dx} = \text{constant}$$

این نتیجه نشان می‌دهد که گرادیانهای فشار در نواحی ورودی و خروجی ثابت هستند. چون ضخامت‌های فیلم در دو ناحیه متفاوتند گرادیانهای فشار آنها نیز مختلف هستند. بنابراین چون در پله هیچ گونه ناپوستگی فشار به وجود نخواهد آمد، داریم:

$$p_m = n_s \ell \left(\frac{dp}{dx} \right)_i = -(\ell - n_s \ell) \left(\frac{dp}{dx} \right)_o \quad (8-60)$$

همچنین نرخ جریان در پله باید یکسان، یا $q'_{x,i} = q'_{x,o}$ باشد. با استفاده از معادله (۷-۳۸) و مساوی قرار دادن جریان برای نواحی ورودی و خروجی در ضمن فرض ثابت بودن لزجت داریم:

$$-\frac{(h_o + s_h)^3}{12\eta_0} \left(\frac{dp}{dx} \right)_i + \frac{u_b(h_o + s_h)}{2} = -\frac{h_o^3}{12\eta_0} \left(\frac{dp}{dx} \right)_o + \frac{u_b h_o}{2} \quad (8-61)$$

معادلات (۸-۶۰) و (۸-۶۱) نماینده یک جفت معادلات همزمان با مجهولات (dx/dx) و (dp/dx) هستند. صورتهای حل شده این معادلات عبارتند از:

$$\left(\frac{dp}{dx} \right)_i = \frac{6\eta_0 u_b (1 - n_s) s_h}{(1 - n_s)(h_o + s_h)^3 + n_s h_o^3} \quad (8-62)$$

$$\left(\frac{dp}{dx} \right)_o = \frac{-6\eta_0 u_b n_s s_h}{(1 - n_s)(h_o + s_h)^3 + n_s h_o^3} \quad (8-63)$$

فشار بیشینه (در پله) رامی توان مستقیماً با جایگذاری معادلات (۸-۶۲) و (۸-۶۳) در (۸-۶۰)

پیدا کرد :

$$P_m = \frac{6\eta_0 u_b \ell n_s (1 - n_s) s_h}{(1 - n_s)(h_o + s_h)^3 + n_s h_o^3} \quad (8-64)$$

با استفاده از معادله (8-۱۷) ، معادله (8-۶۴) را می‌توان به شکل بدون بُعد زیر نوشت :

$$P_m = \frac{P_m s_h^2}{\eta_0 u_b \ell} = \frac{6n_s(1 - n_s)}{(1 - n_s)(H_o + 1)^3 + n_s H_o^3} \quad (8-65)$$

وضعیت یاتاقانی که بزرگترین P_m را به دست می‌دهد ، وقتی است که داشته باشیم :

$$\frac{\partial P_m}{\partial n_s} = 0 \quad \text{and} \quad \frac{\partial P_m}{\partial s_h} = 0$$

با استفاده از این شرایط در معادله (8-۶۴) داریم :

$$0 = (1 - n_s)^2(h_o + s_h)^3 - n_s^2 h_o^3 \quad (8-66)$$

و :

$$0 = (1 - n_s)(h_o + s_h)^2(h_o - 2s_h) + n_s h_o^3 \quad (8-67)$$

با حل کردن برای n_s و s_h از این معادلات داریم :

$$H_o = \frac{h_o}{s_h} = 1.155 \quad (8-68)$$

$$n_s = 0.7182 \quad (8-69)$$

این وضعیت بهینه یاتاقان پله موازی است که لرد رایلی (1918) در مقاله ذکرشده اش شرح داد . با دانستن فشار بیشینه و این که گرادیانهای فشار ثابت هستند ، می‌توان فشار بدون بُعد در نواحی ورودی و خروجی را به صورت زیر نوشت :

$$P_i = \frac{XP_m}{n_s} = \frac{6X(1 - n_s)}{(1 - n_s)(H_o + 1)^3 + n_s H_o^3} \quad 0 \leq X \leq n_s \quad (8-70)$$

$$P_o = \frac{(1-X)P_m}{1-n_s} = \frac{6(1-X)n_s}{(1-n_s)(H_o+1)^3 + n_s H_o^3} \quad n_s \leq X \leq 1 \quad (\text{A-71})$$

توزیع فشار به شکل نمودار در شکل ۱۵-۸ نشان داده شده است . توجه داشته باشید که اگر $n_s = 0$ یا $H_o = 0$ باشد در همه جا $P = 0$ می شود . همچنین توجه داشته باشید که دلالت بر این دارد که $s_h \rightarrow 0$ (یک فیلم موازی) یا این که $h_o \rightarrow \infty$ میل می کند .

۱-۵-۲ مؤلفه های بار عمودی و مماسی

بار عمودی در واحد عرض به آسانی برای این شکل ساده توزیع فشار تعیین می شود .

یعنی w مستقیماً متناسب با مساحت مثلث تشکیل شده توسط توزیعات فشار است .

$$w_z' = \frac{P_m \ell}{2} = \frac{3\eta_0 u_b \ell^2 n_s (1-n_s) s_h}{(1-n_s)(h_o+s_h)^3 + n_s h_o^3} \quad (\text{A-72})$$

بار عمودی بدون بُعد را می توان به شکل زیر بیان کرد :

$$W_z = \frac{w_z'}{\eta_0 u_b} \left(\frac{s_h}{\ell} \right)^2 = \frac{3n_s(1-n_s)}{(1-n_s)(H_o+1)^3 + n_s H_o^3} = \frac{P_m}{2} \quad (\text{V-73})$$

توجه داشته باشید که اگر $n_s = 0$ یا $H_o = 0$ باشد ، $W_z = 0$ و بنابراین تابعی از n_s و H_o است .

مؤلفه های بار مماسی در واحد عرض عمل کننده روی این یاتاقان در جهت حرکت برابر با فشار در پله ، ضرب در ارتفاع پله است :

$$w_{xb}' = W_{xb} = 0 \quad (\text{A-74})$$

$$w_{xa}' = - \int_{h_o+s_h}^{h_o} p dh = P_m s_h \quad \text{با}$$

$$w_{xa}' = \frac{6\eta_0 u_b \ell n_s (1-n_s) s_h^2}{(1-n_s)(h_o+s_h)^3 + n_s h_o^3}$$

در شکل بدون بُعد ، این معادله به گونه زیر خواهد بود :

$$W_{xa} = \frac{w'_{xa}}{\eta_0 u_b} \frac{s_h}{\ell} = \frac{6n_s(1-n_s)}{(1-n_s)(H_o + 1)^3 + n_s H_o^3} = P_m \quad (A-75)$$

توجه داشته باشید که اگر $\infty \rightarrow W_{xa} = 0$ یا $n_s = 0$ یا $H_o = 0$ باشد ، داریم عبارت عمومی برای نیروی برشی در واحد عرض در سطح در حال حرکت را می توان این گونه نوشت :

$$f'_b = \int_0^{n_s \ell} (\tau_{zx,i})_{z=0} dx + \int_{n_s \ell}^{\ell} (\tau_{zx,o})_{z=0} dx$$

با استفاده از معادله (A-۳۴) ، داریم :

$$f_b = \left[-\frac{h_o + s_h}{2} \left(\frac{dp}{dx} \right)_i - \frac{\eta_0 u_b}{h_o + s_h} \right] n_s \ell + \left[-\frac{h_o}{2} \left(\frac{dp}{dx} \right)_o - \frac{\eta_0 u_b}{h_o} \right] (1 - n_s) \ell$$

استفاده از معادله (A-۶۰) نیز می دهد :

$$f'_b = -\frac{p_m s_h}{2} - \eta_0 u_b \ell \left(\frac{n_s}{h_o + s_h} - \frac{1 - n_s}{h_o} \right)$$

با استفاده از معادله (A-۷۴) نیز داریم :

$$f'_b = -\frac{w'_{xa}}{2} - \frac{\eta_0 u_b \ell [n_s h_o + (1 - n_s)(h_o + s_h)]}{h_o(h_o + s_h)} \quad (A-76)$$

به طور مشابه ،

$$f'_a = -\frac{w'_{xa}}{2} + \frac{\eta_0 u_b \ell [n_s h_o + (1 - n_s)(h_o + s_h)]}{h_o(h_o + s_h)} \quad (A-77)$$

معادلات (A-۷۶) و (A-۷۷) به شکل بدون بُعد ، عبارتند از :

$$F_b = \frac{f'_b}{\eta_0 u_b} \frac{s_h}{\ell} = -\frac{P_m}{2} - \frac{H_o + 1 - n_s}{H_o(1 + H_o)} \quad (A-78)$$

$$F_a = \frac{f'_a}{\eta_0 u_b} \frac{s_h}{\ell} = -\frac{P_m}{2} + \frac{H_o + 1 - n_s}{H_o(1 + H_o)} \quad (A-79)$$

۴-۵-۳ ضریب اصطکاک و نرخ جریان حجمی

ضریب اصطکاک برای یک یاتاقان کشوبی پله موازی را می‌توان مستقیماً از معادلات (۴-۷۳) و (۴-۷۸)، به صورت زیر بیان کرد:

$$\mu = -\frac{f'_b}{w'_x} = -\frac{s_h}{\ell} \frac{F_b}{W_x} = \frac{s_h}{\ell} \left[1 + \frac{2(H_o + 1 - n_s)}{P_m H_o (1 + H_o)} \right] \quad (4-80)$$

سپس با استفاده از معادلات (۴-۳۸) و (۴-۶۰) می‌توان نرخ جریان حجمی در واحد عرض را به صورت زیر بیان کرد:

$$q'_x = -\frac{(h_o + s_h)^3 p_m}{12 \eta_0 n_s \ell} + \frac{u_b (h_o + s_h)}{2}$$

این نرخ جریان حجمی به صورت بدون بُعد به این شکل است:

$$Q = \frac{2q'_x}{u_b s_h} = -\frac{P_m (H_o + 1)^3}{6 n_s} + H_o + 1 \quad (4-81)$$

اگر $\infty \rightarrow H_0$ یا $n_s = 1$ باشد، این عبارت به نتیجه یاتاقان کشوبی پله موازی ساده (۱ = Q) تبدیل می‌شود، که مرتبط با جریان کوئت بین صفحات تخت است.

۴-۵-۴ آفت قدرت، افزایش دما، و مرکز فشار

نرخ کار تولید شده در مقابل برش لزج یا آفت قدرت را می‌توان از معادله (۴-۱۲) به صورت بدون بُعد این گونه بیان کرد:

$$H_p = \frac{k_p s_h}{\eta_0 u_b^2 \ell (r_o - r_i)} = -\frac{f'_b s_h}{\eta_0 u_b \ell} = -F_b \quad (4-82)$$

افزایش دمای آدیباتیک را می‌توان از معادله (۴-۱۳) نوشت:

$$\Delta t_m = \frac{k_p}{J \rho_0 q'_x C_p g} = \frac{2 u_b \ell \eta_0}{J \rho_0 C_p g s_h^2} \frac{H_p}{Q} \quad (4-13)$$

از معادلات (۴-۸۲) و (۴-۸۱) در این معادله استفاده شد. می‌توان مرکز فشار را وقتی که

هردو نواحی ورودی و خروجی در نظر گرفته شوند ، به صورت زیر بیان کرد :

$$w'_x x_{cp} = \int_0^{n_s} p_i x dx + \int_{n_s}^t p_o x dx$$

این معادله به صورت بدون بعد عبارت است از :

$$W_x X_{cp} = \int_0^{n_s} P_i X dX + \int_{n_s}^1 P_o X dX$$

با استفاده از معادلات (۸-۷۰) و (۸-۷۱) ، و (۸-۷۳) داریم :

$$\begin{aligned} X_{cp} &= \frac{x_{cp}}{\ell} = \frac{2}{n_s} \int_0^{n_s} X^2 dX + \frac{2}{1-n_s} \int_{n_s}^1 X(1-X) dX \\ &\therefore X_{cp} = \frac{1+n_s}{3} \end{aligned} \quad (۸-۸۳)$$

بنابراین وقتی $n_s = \frac{1}{2}$ است ، مرکز فشار بر موقعیت پله منطبق می شود . همچنین $\frac{1}{3} \rightarrow X_{cp} \rightarrow \frac{2}{3} n_s \rightarrow 0$ و $n_s \rightarrow 1$ می باشد . این نتایج مرتبط با نمایه های فشاری است که در کفشهای دارای پله ها در نزدیکی انتهای آنها متغیر به شکل مثلثهای قائم می شوند .

۸-۶ مؤخره

در این فصل شکل فیلم در سه یاتاقان کشویی مختلف در نظر گرفته شده است : سطح موازی ، شب ثابت و پله موازی . فقط جریان در صفحه xz یا در جهت حرکت در نظر گرفته شده است . خواص روان کننده مثل جرم مخصوص و لزجت ثابت فرض شدند . یک نمایه فشار ثابت از اثر گوه فیزیکی برای تمام شکلهای فیلم بجزیک فیلم موازی که در آن فشار در مسیر طول یاتاقان صفر است به دست آمد . معادله رینولدز مناسب برای به دست آوردن این اشکال فیلم عبارت بودند از :

$$\frac{d}{dx} \left(h^3 \frac{dp}{dx} \right) = 6\eta_0 \mu_b \frac{\partial h}{\partial x}$$

$$\frac{dp}{dx} = \frac{6\eta_0 u_b (h - h_m)}{h^3}$$

از این معادله نمایه فشار تعیین و شکل فیلم به دست آمد؛ سپس برای محاسبه مؤلفه های بار، مؤلفه های نیروی برشی، افت قدرت، افزایش دمای آدیباتیک، ضریب اصطکاک، نرخ جریان حجمی، توابع جریان و مرکز فشار مورد استفاده قرار گرفت.

از تمام این محاسبات مهمترین عامل در اغلب طراحیها ظرفیت حمل بار عمودی در واحد عرض، $\frac{w'}{w}$ ، می باشد. برای یاتاقان کشویی با شبیث ثابت، این ظرفیت حمل بار عمودی بدون بعد این گونه به دست آمد:

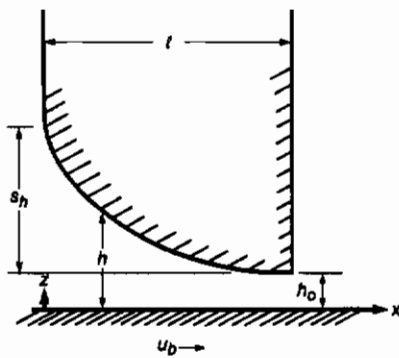
$$W_z = \frac{w'_z}{\eta_0 u_b} \left(\frac{s_h}{\ell} \right)^2 = f(H_o)$$

این دلیلی است بر این که بار اعمال شده عمودی در واحد عرض مستقیماً متناسب با لزجت η_0 ، سرعت w ، و طول ℓ مربع بوده؛ در ضمن این که همچنین به طور معکوس متناسب با ارتفاع شانه s_h مربع می باشد. نسبت ضخامت فیلم به صورت $H_o = h_0/s_h$ تعریف می شود. توابع جریان در داخل فیلم روان شده در یک یاتاقان کشویی با شبیث ثابت بی نهایت بلند ارائه می شوند. موقعیتهای جریان معکوس در داخل این اتصال به وضوح قابل رویت هستند.

برای یک یاتاقان کشویی پله موازی، بار اعمال شده عمودی بدون بعد تابعی نه فقط از نسبت ضخامت فیلم، مثل آنچه برای یاتاقان کشویی با شبیث ثابت پیدا شد، بلکه همچنین تابع موقعیت پله می باشد. به خاطر داشته باشد که در این فصل نشت کناری نادیده انگاشته شد و از آن صرف نظر گردید.

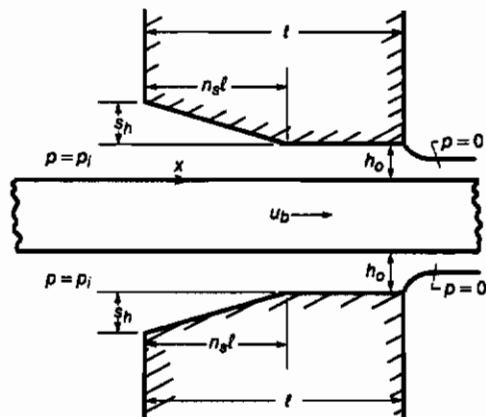
۸-۷ مسائل

- ۸-۷-۱ شکل نمایی فیلم یک یاتاقان کشویی مطابق شکل زیر بوده و ضخامت فیلم نیز به صورت $e^{ax} (h_0 + s_h) = h$ تعریف می شود. یک سیال غیرقابل تراکم فرض شده و جریان بدون لغزش در نظر گرفته می شود (فقط جریان در صفحه xz).



فشار در داخل یاتاقان و همچنین مؤلفه های بار عمودی ، مؤلفه های نیروی برشی ، ضریب اصطکاک ، نرخ جریان حجمی ، آنت قدرت ، و افزایش دمای آدیاباتیک در داخل یاتاقان را تعیین کنید ؟

۸-۷-۲ یک نوار تخت فلزی از حمام مایعی با لزجت n_s و فشار p_i بالای محیط اطراف خارج شده و دارای سرعت u_b در عبور از داخل سوراخی به شکل زیر می باشد . در قسمت همگرای اولیه این سوراخ ضخامت فیلم به صورت خطی از h_0 تا $h_0 + s_h$ روی یک طول $n_s l$ روی هر طرف این نوار کاهش می یابد . در قسمت آخری این سوراخ فیلم در هر طرف این نوار ضخامت ثابت h_0 روی یک طول $(1 - n_s)l$ دارد .



به طور روشن و آشکار شرایط مرزی لازم برای تعیین توزیع فشار در طول این سوراخ در جهت کشوبی را تعیین کنید ، با این فرض که مایع لزجت ثابت و غیرقابل تراکم بوده و این سوراخ عرض بی نهایت دارد .

همچنین توزیع فشار در طول محور x را رسم کرده و نشان دهید که نرخ جریان حجمی در واحد عرض که q در هر طرف این نوار را می‌توان برحسب بدون n_s بعد به شکل زیر نوشت :

$$Q = \frac{2q'_x}{u_b s_h} = \frac{(H_o^3 P_i / 3)(H_o + 1)^2 + 2H_o(H_o + 1)(1 + H_o - n_s)}{n_s H_o (2H_o + 1) + 2(1 - n_s)(H_o + 1)^2}$$

که در آن :

$$P_i = \frac{p_i s_h^2}{\eta_0 u_b \ell} \quad \text{and} \quad H_o = \frac{h_o}{s_h}$$

است .

نشان دهید که برای P_i برابر با صفر ، عبارت Q تبدیل به فرمی مناسب برای یاتاقان سطح موازی و سطح با شیب ثابت ، ضمن میل کردن n_s به ترتیب به سمت صفر بی نهایت می‌باشد .

مقدار کمینه P_i لازم را به گونه‌ای تعیین کنید که این اطمینان را به دست می‌دهد که بیشینه فشار در این سوراخ در ورودی جانی که $s_h = h_0 + \frac{1}{2} h$ اگر $h_0 = 1$ می‌باشد .

۸-۷-۳ در طراحی کفشك کف گرد خود عمل کننده با شیب ثابت ، وقتی که عرض این کفشك خیلی بزرگتر از طول است ، می‌خواهیم بدانیم که مقدار و محل فشار بیشینه چیست ؟ لزجت روان کننده $0.05 \text{ N} / \text{m}^2$ و سرعت کشوبی 10 m/s و طول کفشك 0.3 m ، ضخامت فیلم کمینه $15 \mu\text{m}$ و ضخامت فیلم ورودی دو برابر ضخامت فیلم خروجی است .

۸-۷-۴ در زیر یک یاتاقان کف گرد پله موازی نشان داده می‌شود . از نشت کناری صرف نظر شده است . فشار ورودی از صفر بزرگتر ، از p_i فشار در پله کمتر است . فشار خروجی صفر است . سرعت سیال در عرض فیلم ضمن وجود در نواحی ورودی و

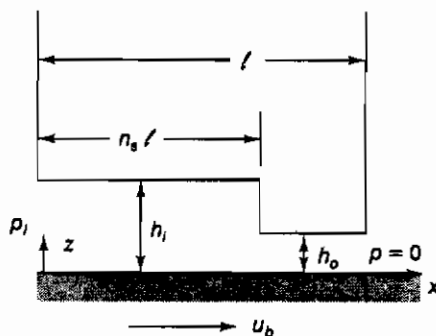
خروجی را تعیین کنید ؟ یعنی :

$$U_i = \frac{u_i}{u_b} = f(Z, P_i, P_m, H_i, n_s)$$

$$U_0 = \frac{u_0}{u_b} = g(Z, P_i, P_m, H_i, n_s)$$

که در آن :

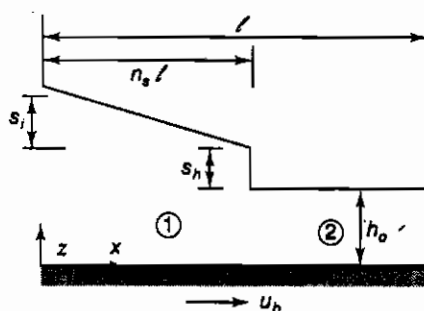
$$Z = \frac{z}{h_o} \quad P_i = \frac{p_i h_o^2}{\eta_0 u_b \ell} \quad P_m = \frac{p_m h_o^2}{\eta_0 u_b \ell} \quad H_i = \frac{h_i}{h_o}$$



۸-۷-۴ از نتایج مسئله ۸-۷-۴، نمایه سرعت در نواحی ورودی و خروجی وقته $n_s = 0.75$

و $P_i = 0.5$ و $P_m = 1.0$ ، $H_i = 2.0$ را تعیین و ترسیم کنید .

۸-۷-۶ تجزیه و تحلیل یاتاقان کف گرد بر روی یاتاقان نشان داده شده است در زیر باید انجام گیرد . فشار در $x = 0$ و در $x = l$ صفر است .



این تجزیه و تحلیل باید شامل در نظر گیری روان‌کاری در دو ناحیه مجزای $0 \leq x \leq n, l$ ① و $n, l < x \leq \ell$ ② و برابر در مرز متداول $(x = n, l)$ باشد . نشت کناری باید صرف نظر شود . با شروع از معادله رینولدز مناسب ، فشار در سرتاسر یاتاقان را تعیین کنید . همچنین نشان دهید که فشار در مرز مشترک $(l = n, l)$ وقتی $s = 0$ است ، دقیقاً معادله $(\Delta-70)$ یا $(\Delta-71)$ برای یاتاقان پله موازی است .

A-A فهرست متألف و مأخذ

Lord Rayleigh (1918): Notes on the Theory of Lubrication, *Philos. Mag.*, vol. 35, no. 1, pp. 1-12.

فصل نهم

یاتاقانهای کف‌گرد هیدرودینامیکی - حلهاي عددی

در فصل ۸، با تجزیه و تحلیل یاتاقانهای کشویی کف‌گرد، جریان روان‌کننده را به دو جهت (x, z) محدود کردیم. جریان روان‌کننده (۷) به نام «نشت کناری» شناخته می‌شود. محور x درجهت کشویی، z درجهت متقابل جهت حرکت کشویی و y متقابل با فیلم سیال است. این فصل مربوط به اثر نشت کناری در یاتاقانهای کشویی می‌باشد.

برای یاتاقانهای با پهنه‌ای معین، فشار در طول لبه‌های کناری یاتاقان برابر فشار محیط است و اگر فشارهای هیدرودینامیکی در داخل فیلم روان‌کننده به دلیل مکانیزم گوه فیزیکی به وجود آید، مقداری جریان درجهت سوم (۷) رخ خواهد داد. در این مورد، جریان عمود بر جریان حرکت در اثر نشت کناری باید همراه باشد و معادله رینولدز مناسب، معادله (۷-۴۸) با $u_0 = 0$ است:

$$\frac{\partial}{\partial x} \left(h^3 \frac{\partial p}{\partial x} \right) + \frac{\partial}{\partial y} \left(h^3 \frac{\partial p}{\partial y} \right) = 6\eta_0 u_b \frac{\partial h}{\partial x} \quad (9-1)$$

حلهای تحلیلی برای یاتاقان کشویی که نشت کناری را در نظر می‌گیرند، معمولاً در دسترس نمی‌باشند. عموماً حلهاي عددی را وقتی که جهت نشت کناری در نظر گرفته می‌شود، به کار می‌گیریم. تعداد کمی حلهاي تحلیلی برای یاتاقان کشویی پله موازی در دسترس نمی‌باشند.

برای یک یاتاقان کف‌گرد، که در فصل ۸ و نیز در این فصل در نظر گرفته می‌شود،

یک صفحه کف گرد متصل به ، یا تشکیل دهنده قسمتی از محور چرخنده از کفشکهای یاتاقان قطاع شکل (شکل ۸-۳ را بینید) ، توسط یک فیلم روان کننده مجزا می شود . ظرفیت حمل بار این یاتاقان به طور کامل از فشار تولید شده توسط صفحه کف گرد روی این کفشکهای یاتاقان به وجود می آید . این عمل فقط اگر فضای لقی بین مؤلفه های ساکن و در حال حرکت درجهت حرکت همگرا باشد (مکانیزم تولید فشار گوه فیزیکی) به دست می آید .

پارامترهای هندسی کفشک در تولید فشار مؤثر بوده و بنابراین ظرفیت حمل بار این یاتاقان عبارت است از : (۱) نسبت طول به عرض کفشک $\lambda = l/b$ ، (۲) نسبت ضخامت فیلم H_0/s_h ، (۳) پارامتر موقعیت پله یا اللوا n ، هستند . این آخرین پارامتر ، در مورد یک یاتاقان کف گرد با شیب ثابت کاربرد ندارد . به خاطر داشته باشید که نسبت طول به عرض کفشک در فصل ۸ ظاهر نشد ، زیرا نشت کناری صرف نظر شد . نشت کناری در این فصل درنظر گرفته می شود و سه نوع مختلف از یاتاقان کف گرد مورد بررسی قرار خواهد گرفت : دونوع با کفشک ثابت (مثل یک پله موازی و یک شیب ثابت) و یک یاتاقان کفشک لولایی می باشند .

۹-۱ یاتاقان کشویی کفشک پله ای موازی با عرض معین

یاتاقان کشویی پله موازی در شکل ۹-۱ نشان داده شده است . در حل ، نواحی ورودی و خروجی ابتدا به طور مجزا و سپس به صورت ترکیبی در مرز مشترک مورد نظر قرار می گیرند . بنابراین ضخامت فیلم در این دو ناحیه ثابت در نظر گرفته می شود .

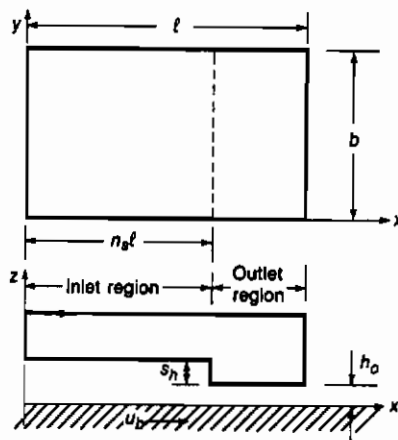
۹-۱-۱ توزیع فشار

معادله رینولدز داده شده در معادله (۹-۱) به شکل زیر تعديل می یابد .

$$\frac{\partial^2 p}{\partial x^2} + \frac{\partial^2 p}{\partial y^2} = 0 \quad (9-2)$$

که در آن ضخامت فیلم ثابت است . معادله (۹-۲) یک معادله با مشتقهای جزئی لاپلاس است . انتخاب پارامترهای زیر :

$$x = \ell X \quad y = bY \quad \lambda = \frac{\ell}{b} \quad p = \frac{\eta_0 u_b \ell}{s_h^2} P \quad (9-3)$$



شکل ۱-۹-۱- یاتاقان کشی کف گرد پله موازی معین

باعث تبدیل معادله (۹-۲) به این شکل می گردد :

$$\frac{\partial^2 P}{\partial X^2} + \lambda^2 \frac{\partial^2 P}{\partial Y^2} = 0 \quad (9-4)$$

فشار روی مرزهای خارجی نواحی ورودی و خروجی صفر است ، ولی فشار بر روی مرز مشترک شناخته نیست . فشار در مرز مشترک ، توسط سری فوریه سینوسی زیر فرض می شود :

$$(P)_{X=n_s} = \sum_{j=1,3,\dots}^{\infty} F_j^* \sin(j\pi Y) \quad (9-5)$$

این مجموعه به خاطر تقارن برای مقادیر فرد ، بوده و F_j^* ضریب فوریه است که بعداً به دست می آید .

حل عمومی برای P را می توان برای ناحیه ورودی به شکل زیر در نظر گرفت :

$$P_i = \sum_{j=1,3,\dots}^{\infty} [\tilde{A}_j \cos(j\pi Y) + \tilde{B}_j \sin(j\pi Y)] \times [\tilde{C}_j \cosh(j\pi \lambda X) + \tilde{D}_j \sinh(j\pi \lambda X)] \quad (9-6)$$

توجه داشته باشید که معادله (۹-۶) معادله (۹-۴) را برابر آورده می‌کند.
شرایط مرزی برای ناحیه ورودی عبارتند از:

وقتی $X = 0$ برای تمام مقادیر Y باشد.

وقتی $Y = 0$ برای تمام مقادیر X باشد.

وقتی $Y = 1$ برای تمام مقادیر X باشد.

$$\therefore P_i = \sum_{j=1,3,\dots}^{\infty} F_j^* \sin(j\pi Y) \quad (9-4)$$

از شرط مرزی ۱ و ۲، $\tilde{A}_j = \tilde{C}_j = 0$ است. از شرط مرزی ۴

$$\begin{aligned} \sum_{j=1,3,\dots}^{\infty} F_j^* \sin(j\pi Y) &= \sum_{j=1,3,\dots}^{\infty} \tilde{B}_j \tilde{D}_j \sin(j\pi Y) \sinh(j\pi \lambda n_s) \\ \therefore \tilde{B}_j \tilde{D}_j &= \frac{F_j^*}{\sinh(j\pi \lambda n_s)} \end{aligned} \quad (9-5)$$

$$\therefore P_i = \sum_{j=1,3,\dots}^{\infty} \frac{F_j^* \sin(j\pi Y) \sinh(j\pi \lambda X)}{\sinh(j\pi \lambda n_s)} \quad 0 \leq X \leq n_s \quad (9-6)$$

توجه داشته باشید که شرط مرزی ۳ به صورت خودبخود توسط معادله (۹-۸) ایفا می‌شود.

برای ناحیه خروجی حل را همانند معادله (۹-۶) در نظر می‌گیریم:

$$\begin{aligned} P_o &= \sum_{j=1,3,\dots}^{\infty} [\tilde{E}_j \cos(j\pi Y) + \tilde{G}_j \sin(j\pi Y)] \\ &\times [\tilde{H}_j \cosh(j\pi \lambda X) + \tilde{I}_j \sinh(j\pi \lambda X)] \end{aligned} \quad (9-9)$$

شرایط مرزی برای ناحیه خروجی عبارتند از:

وقتی $X = 0$ برای تمام مقادیر Y باشد.

وقتی $Y = 0$ برای تمام مقادیر X باشد.

وقتی $Y = 1$ برای تمام مقادیر X باشد.

$$\therefore P_0 = \sum_{j=1,3,\dots}^{\infty} F_j^* \sin(j\pi Y) \quad (9-4)$$

از شرط مرزی ۲ ، $E_j = 0$ است . از شرط مرزی ۱ داریم :

$$\tilde{H}_j = -\tilde{I}_j \tanh(j\pi\lambda) \quad (9-10)$$

بنابراین ، معادله (۹-۹) را می توان این گونه نوشت :

$$P_o = \sum_{j=1,3,\dots}^{\infty} \tilde{G}_j \tilde{I}_j \sin(j\pi Y) [\sinh(j\pi\lambda X) - \tanh(j\pi\lambda) \cosh(j\pi\lambda X)] \quad (9-11)$$

از شرط مرزی ۴ ، داریم :

$$\begin{aligned} \sum_{j=1,3,\dots}^{\infty} F_j^* \sin(j\pi Y) &= \sum_{j=1,3,\dots}^{\infty} \tilde{G}_j \tilde{I}_j \sin(j\pi Y) \\ &\times [\sinh(j\pi\lambda n_s) - \tanh(j\pi\lambda) \cosh(j\pi\lambda n_s)] \\ \therefore \tilde{G}_j \tilde{I}_j &= \frac{F_j^*}{\sinh(j\pi\lambda n_s) - \tanh(j\pi\lambda) \cosh(j\pi\lambda n_s)} \end{aligned} \quad (9-12)$$

با جایگذاری معادله (۹-۱۲) در (۹-۱۱) خواهیم داشت :

$$P_o = \sum_{j=1,3,\dots}^{\infty} \frac{F_j^* \sin(j\pi Y) \sinh[j\pi\lambda(1-X)]}{\sinh[j\pi\lambda(1-n_s)]} \quad n_s \leq X \leq 1 \quad (9-13)$$

توجه داشته باشید که شرط مرزی ۳ خودبخود توسط معادله (۹-۱۳) ایفا می شود . برای محاسبه فشار ، ضریب فوریه F_j^* باید به دست آید . این کار را با استفاده از اصل پیوستگی جریان انجام می گیرد . خواهیم دید که در هر نقطه در مرز مشترک ($X = n_s$) ، نرخ حجمی جریان ورودی یکسان با نرخ حجمی جریان خروجی است :

$$\therefore q_{xi}|_{X=n_s} = q_{xo}|_{X=n_s} \quad (9-14)$$

با استفاده از معادله (۷-۳۸) ضمن انتخاب $u_a = 0$ و فرض لزجت ثابت ، داریم :

$$-\frac{(h_o + s_h)^3}{12\eta_0} \left(\frac{dp_i}{dx} \right)_{n_s, t} + \frac{u_b(h_o + s_h)}{2} = -\frac{h_o^3}{12\eta_0} \left(\frac{dp_o}{dx} \right)_{n_s, t} + \frac{u_b h_o}{2}$$

سپس با استفاده از معادله (۹-۳) نیز داریم :

$$-H_o^3 \left(\frac{dP_o}{dX} \right)_{X=n_s} + (1+H_o)^3 \left(\frac{dP_i}{dX} \right)_{X=n_s} = 6 \quad (9-15)$$

که در آن $H_o = h_0 / s_h$ است. از معادلات (۹-۸) و (۹-۱۳) خواهیم داشت:

$$\left(\frac{\partial P_i}{\partial X} \right)_{X=n_s} = \sum_{j=1,3,\dots}^{\infty} \frac{j\pi\lambda F_j^* \sin(j\pi Y)}{\tanh(j\pi\lambda n_s)} \quad (9-16)$$

$$\left(\frac{\partial P_o}{\partial X} \right)_{X=n_s} = \sum_{j=1,3,\dots}^{\infty} -\frac{j\pi\lambda F_j^* \sin(j\pi Y)}{\tanh[j\pi\lambda(1-n_s)]} \quad (9-17)$$

با جایگذاری معادلات (۹-۱۶) و (۹-۱۷) در (۹-۱۵) می‌دهد:

$$H_o^3 \sum_{j=1,3,\dots}^{\infty} \frac{j\pi\lambda F_j^* \sin(j\pi Y)}{\tanh[j\pi\lambda(1-n_s)]} + (1+H_o)^3 \sum_{j=1,3,\dots}^{\infty} \frac{j\pi\lambda F_j^* \sin(j\pi Y)}{\tanh(j\pi\lambda n_s)} = 6 \quad (9-18)$$

ولی داریم:

$$6 = \sum_{j=1,3,\dots}^{\infty} 6 \frac{4}{j\pi} \sin(j\pi Y) \quad (9-19)$$

سپس با جایگذاری معادله (۹-۱۹) در معادله (۹-۱۸) می‌دهد:

$$\sum_{j=1,3,\dots}^{\infty} j\pi\lambda F_j^* \sin(j\pi Y) [H_o^3 \coth[j\pi\lambda(1-n_s)] + (1+H_o)^3 \coth(j\pi\lambda n_s)]$$

$$= \sum_{j=1,3,\dots}^{\infty} \frac{24 \sin(j\pi Y)}{j\pi} \quad (9-20)$$

$$\therefore F_j^* = \frac{24}{j^2\pi^2\lambda [H_o^3 \coth[j\pi\lambda(1-n_s)] + (1+H_o)^3 \coth(j\pi\lambda n_s)]}$$

توجه داشته باشید که ضمن $\rightarrow \infty$ که یک پاتاقان باسطح موازی است، $P \rightarrow 0$ و $F_j^* \rightarrow 0$ میل می‌کند. وقتی که عبارتی برای ضریب فوریه در نظر گرفته شد، فشار ناحیه ورودی و خروجی را می‌توان با جایگذاری معادله (۹-۲۰) در معادلات (۹-۸) و (۹-۱۳) بدست آورد.

به دست آورد.

۹-۱-۲ مؤلفه عمودی بار

بار واردۀ عمودی را می‌توان این گونه نوشت:

$$w_z = \int_0^b \int_0^{n_s \ell} p_i \, dx \, dy + \int_0^b \int_{n_s \ell}^{\ell} p_0 \, dx \, dy$$

این معادله به صورت بدون بُعد را می‌توان به صورت زیر بیان کرد:

$$W_z = \frac{w_z}{\eta_0 u_b b} \left(\frac{s_h}{\ell} \right)^2 = \int_0^1 \int_0^{n_s} P_i \, dX \, dY + \int_0^1 \int_{n_s}^1 P_o \, dX \, dY \quad (9-21)$$

با جایگذاری معادلات (۹-۸) و (۹-۱۳) در این معادله داریم:

$$\begin{aligned} W_z &= \frac{w_z}{\eta_0 u_b b} \left(\frac{s_h}{\ell} \right)^2 \\ &= \sum_{j=1,3,\dots}^{\infty} \frac{2F_j^*}{j^2 \pi^2 \lambda} \left\{ \frac{\cosh(j\pi\lambda n_s) - 1}{\sinh(j\pi\lambda n_s)} + \frac{\cosh[j\pi\lambda(1-n_s)] - 1}{\sinh[j\pi\lambda(1-n_s)]} \right\} \end{aligned} \quad (9-22)$$

معادلات (۹-۲۰) و (۹-۲۲) نشان می‌دهند که وقتی نشت کناری در نظر گرفته شود، بار واردۀ عمودی بدون بُعد W_z تابعی از λ و همچنین H_0 و n است.

۹-۱-۳ نتایج

در نظر گیری اثرات نشت کناری یک پارامتر اضافی، نسبت طول به عرض $l/b = \lambda$ را معرفی کرده است. شکل ۹-۲ اثر نسبت ضخامت فیلم H_0 روی ظرفیت حمل بار بدون بُعد W_z برای پنج موقعیت n و چهار مقدار λ ($\frac{1}{2}, \frac{1}{4}, 1$ و 2) را نشان می‌دهد. از شکل ۹-۲ نتایج زیر به دست می‌آید:

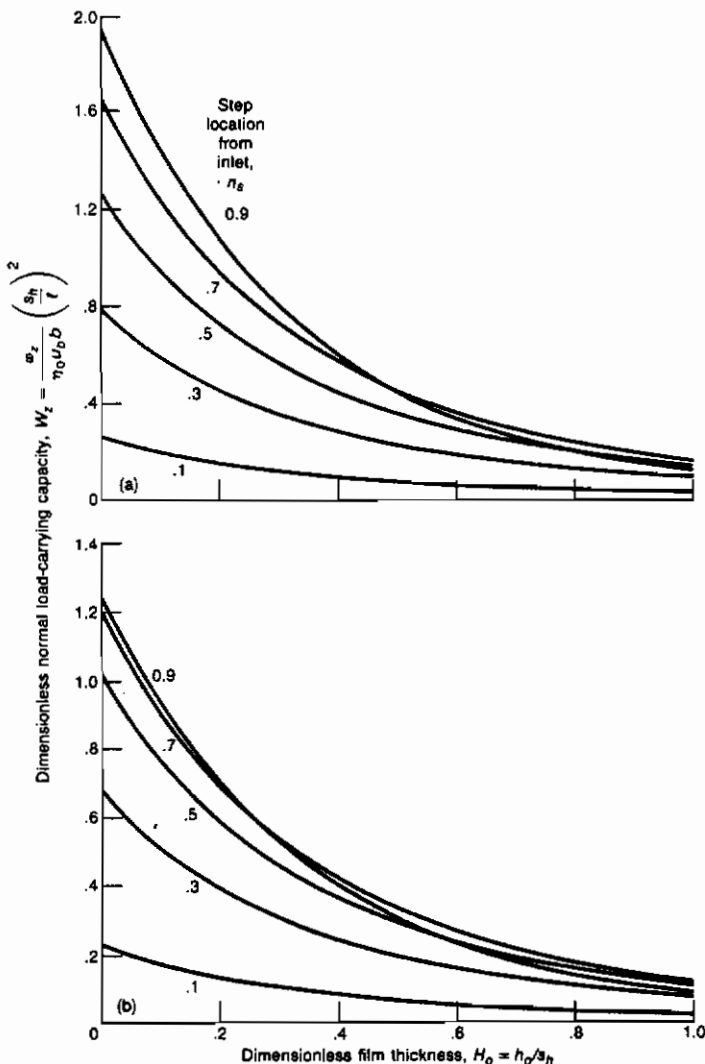
- ۱- برای هر ترکیبی از H_0 و λ شرط بیشینه بار وقتی که موقعیت پله کمتر از ۰.۵ است هرگز ظاهر نمی‌شود. موقعیت پله باید نزدیکتر به خروجی باشد

تا ورودی .

- برای λ کوچک که نشت کناری اهمیت کمتری دارد ، موقعیت پله که بار بدون بُعدیشینه تولید می‌کند ، بزرگتر از وقتی است که نشت کناری در نظر گرفته شود .

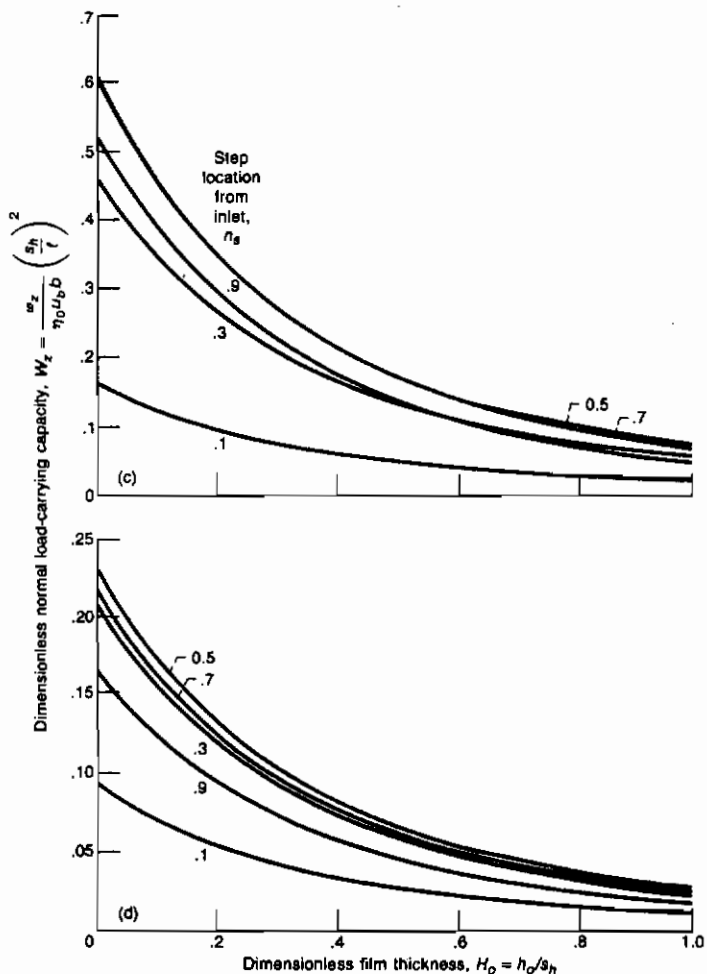
جدول ۹-۱ نتایج شکل ۹-۲ برای $0 \rightarrow H_0$ و همچنین نتایج برای سه λ اضافی را نشان می‌دهد . از این جدول مشاهده می‌شود که با کوچکتر شدن λ ، بار بیشینه افزایش می‌یابد . این منطبق با نتایج فصل ۸ (معادله ۸-۷۳) است ، که دلالت بر این داشت که وقتی نشت کناری صرف نظر شود و $\infty \rightarrow H_0$ میل کند ، ظرفیت حمل بار عمودی بدون بُعد به سمت صفر میل می‌کند .

یاتاقان پله موازی نشان داده شده در شکل ۹-۱ مقدار زیادی نشت کناری دارد ، بخصوص برای λ بزرگ ، که ظرفیت حمل بار عمودی آن کاهش می‌یابد . بعضی اوقات وسایل کمکی برای محدود کردن این نشت کناری به کار گرفته شده و بدین ترتیب ظرفیت حمل بار عمودی یاتاقان را افزایش می‌دهد . دو نمونه از این یاتاقانها در شکل ۹-۳ نشان داده می‌شوند : یاتاقان تصحیح شده پله نیم دایره‌ای (شکل ۹-۳ الف) دارای شعاع پله $1/2$ و نسبت ضخامت فیلم ۱.۴۳ و نسبت طول به عرض ۱ است . ظرفیت بار عمودی نتیجه شده برای این یاتاقان در مقایسه با یاتاقان کف گرد پله موازی تصحیح نشده در حالت بهینه ، ۴۵ درصد افزایش نشان می‌دهد . برای یک یاتاقان پله مستطیلی تصحیح شده (شکل ۹-۳ ب) با $W_z = 0.89$ ، $H_0 = 0.89$ نتیجه شده در مقایسه با یک یاتاقان بدون تصحیح ۶۷ درصد افزایش نشان می‌دهد .



شکل ۷-۲- اثر ضخامت فیلم روی ظرفیت حمل بار عمودی بدون بعد در پنج موقعیت

پله n_s و چهار نسبت طول به عرض λ ، الف . ب . $\lambda = \frac{1}{2}$ ، ب . $\lambda = \frac{1}{4}$

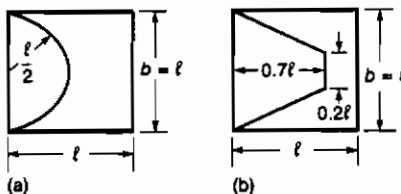


. $\lambda = 2$. د . $\lambda = 1$. ج

جدول ۹-۱ - ظرفیت حمل بار عمودی بدون بعد بیشینه

[Dimensionless outlet film thickness $H_o \rightarrow 0$]

Step location, n_s	Length-to-width ratio, λ						
	1/100	1/4	1/2	3/4	1	3/2	2
Maximum dimensionless normal load-carrying capacity, W_c							
0.1	0.298570	0.264269	0.228659	0.194657	0.164811	0.120508	0.092064
.2	.597193	.529825	.459748	.391479	.329074	.230908	.165224
.3	.895500	.787513	.675112	.564927	.463443	.305444	.205006
.4	1.193245	1.031140	.862610	.700004	.555898	.346178	.223081
.5	1.490253	1.256341	1.014517	.791103	.607007	.362142	.228742
.6	1.786400	1.460020	1.127112	.839600	.622694	.359732	.225744
.7	2.081597	1.640043	1.200150	.850630	.609714	.342147	.214448
.8	2.375785	1.795099	1.236016	.830670	.574190	.311116	.193714
.9	2.668928	1.924660	1.238860	.786357	.521621	.268646	.162993



شکل ۹-۲ - یاتاقانهای کشوبی پله‌ای تصحیح شده، (الف) پله نیم‌دایره‌ای، (ب) پله مستطیلی

۹-۲ یاتالان کشوبی با گفتشک با شیب ثابت

ساده‌ترین شکل یاتاقان کف گرد با گفتشک ثابت، تنها حرکت خط مستقیم به وجود می‌آورد و شامل یک سطح تخت است که روی یک گفتشک ثابت می‌لغزد و نمایه‌ای مشابه با شکل ۹-۴ می‌باشد. عمل این یاتاقان با گفتشک ثابت وابسته به این است که روان‌کننده به داخل یک فضای گوه شکل کشیده شود؛ و بنابراین تولید فشاری بکند که در برابر بار اعمال شده مقابله کرده و از تماس بین قسمتهای لغزنه جلوگیری می‌کند. چون عمل گوه تنها زمانی انجام می‌پذیرد که سطح لغزنه در جهتی حرکت کند که در آن جهت فیلم روان‌کننده همگرا است، یاتاقان با شیب ثابت (شکل ۹-۴) می‌تواند بار را در این جهت حمل کند. اگر برگشت پذیری مطلوب باشد، ترکیبی از دو یا بیشتر گفتشک با سطوحی شیب دار در جهات مخالف لازم

است . کفشهای با شیب ثابت به صورت چندتایی مثل یاتاقان کف گرد شکل ۹-۵ به کار گرفته می شوند .

رهیافت زیر در طراحی یک یاتاقان کف گرد با کفشك با شیب ثابت کمک می کند :

۱ - یک نسبت طول به عرض کفشك انتخاب کند . یک کفشك مربع ($\lambda = 1$) به نظر می رسد که عموماً عملکرد خوبی دارد . اگر بدانیم که آیا بار بیشینه یا آفت توان کمینه در کاربرد بخصوص مهم تر است ، یک مقدار برای نسبت ضخامت فیلم کمینه می تواند از شکل ۹-۶ تعیین شود .

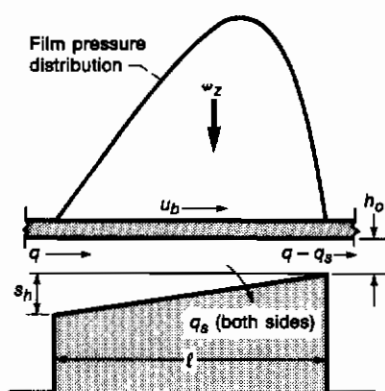
۲ - دمای روان کننده را تعیین کنید ؛ دمای روان کننده می تواند به صورت زیر بیان شود :

$$t_m = t_i + \frac{\Delta t_m}{2} \quad (9-23)$$

که در آن : دمای ورودی t_i

تغییر در دما به خاطر گرمایش لزجت برشی Δt_m

معمولآً دمای ورودی قبل معلوم است ؛ ولی تغییر دما به خاطر گرمایش لزجت برشی ، باید در ابتدا حدس زده شود . وقتی که دمای "اشناخته شده باشد ، می توان آن را در شکل ۴-۶ به کار گرفته تا لزجت SAE روغنها را تعیین کرد .



شکل ۹-۴ - تصویر جانبی یاتاقان با کفشك شیبدار ثابت

۳- ضخامت فیلم خروجی را تعیین کنید . وقتی لزجت را بدانیم ، پارامتر بعدی که کمترین احتمال از قبل تعیین شدن را داشته باشد ، ضخامت فیلم خروجی است . یعنی وقتی یک نسبت طول به عرض λ و ضخامت فیلم کمینه بدون بُعد (از شکل ۹-۷) شناخته شده باشد ، می توان باربدون بُعدرا تعیین کرد . ضخامت فیلم خروجی را می توان از رابطه زیر تعیین کرد :

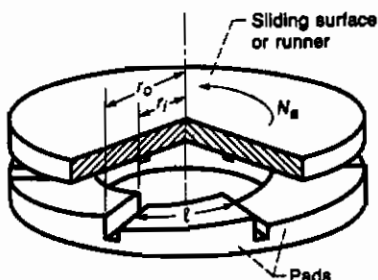
$$h_o = H_o \ell \left(\frac{W_z \eta_0 u_b b}{w_z} \right)^{1/2} \quad (9-24)$$

۴- با توجه به جدول ۹-۲ بینید که آیا ضخامت فیلم (خروجی) کمینه برای پیش بینی مقدار صافی سطح کافی است . اگر جدول ۹-۲ ($h_0 \geq$ محدوده ۹-۲۲) باشد به مرحله ۵ بروید . اگر جدول ۹-۲ ($h_0 <$ محدوده ۹-۲۲) باشد مراحل زیر را در نظر بگیرید .

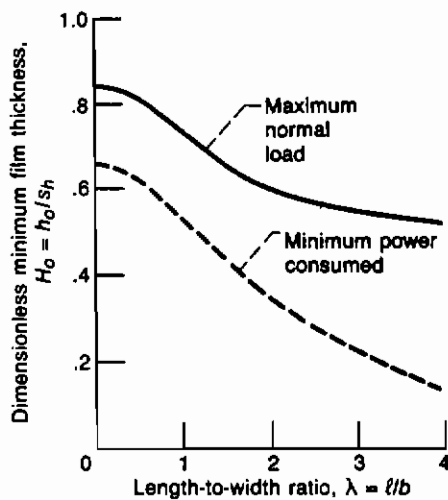
الف - سرعت یاتاقان را افزایش دهید .

ب - بار یا صافی سطح ، یا دمای ورودی را کاهش دهید .
با انجام این تغییر به مرحله ۲ برگردید .

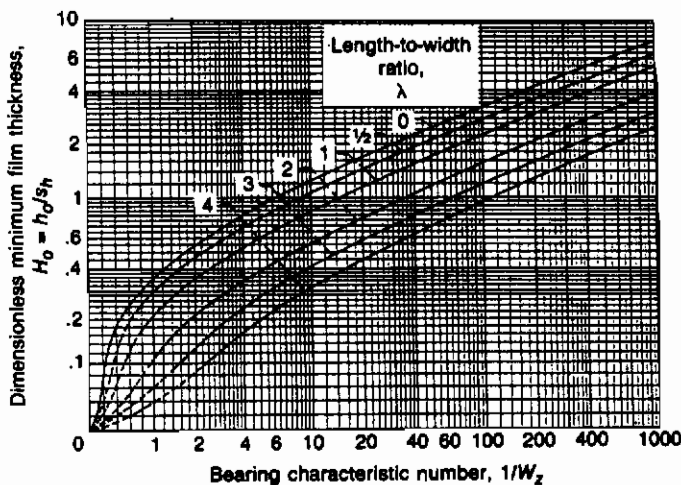
۵- از شکل ۹-۸ افزایش دما به خاطر گرمای برشی برای یک نسبت طول به عرض ، عدد مشخصه یاتاقان را تعیین کنید . از قسمت ۴-۸ به خاطر داشته باشید که گرمای ویژه حجمی $C_p = \rho C_v$ که بر حسب پارامتر افزایش دمای بدون بُعد است ، نسبتاً برای روغنهای معدنی ثابت و برابر با $C_p = 1.36 \times 10^6 \text{ N/m}^2$ می باشد . اگر افزایش دمای کسب شده از شکل ۹-۸ در محدوده ۵ درصد مقدار قبلی است ، به مرحله ۶ بروید ، در غیراین صورت یا یک مقدار افزایش دمای جدید به مرحله ۲ برگردید .



شکل ۹-۰ - شکل یاتاقان کف گرد با کنشک شیبدار ثابت چندتایی



شکل ۹-۶- جدول برای تعیین ضخامت فیلم کمینه مربوط به بار بیشینه یا افت توان کمینه برای نسبت‌های مختلف کفشدک . یاتاقان کفشدک با شب ثابت

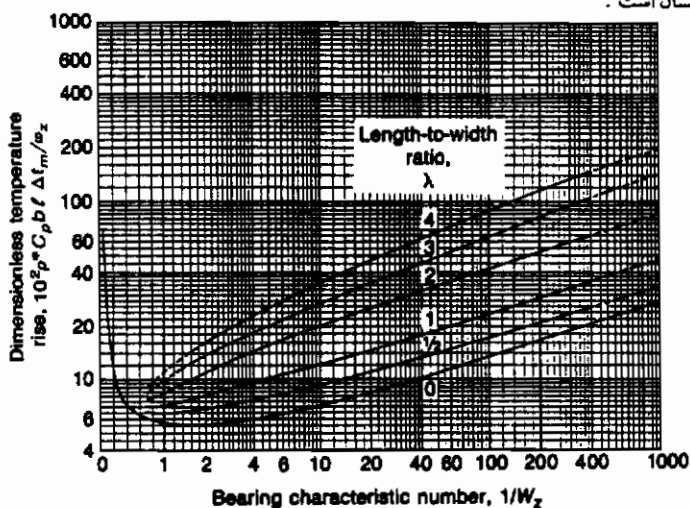


شکل ۹-۷- جدول برای تعیین ضخامت فیلم کمینه‌ای برای یاتاقانهای کف گرد با کفشدک شبیبدار ثابت

جدول ۹-۲- ضخامت‌های فیلم خروجی کمینه مجاز برای یک سطح صاف داده شده

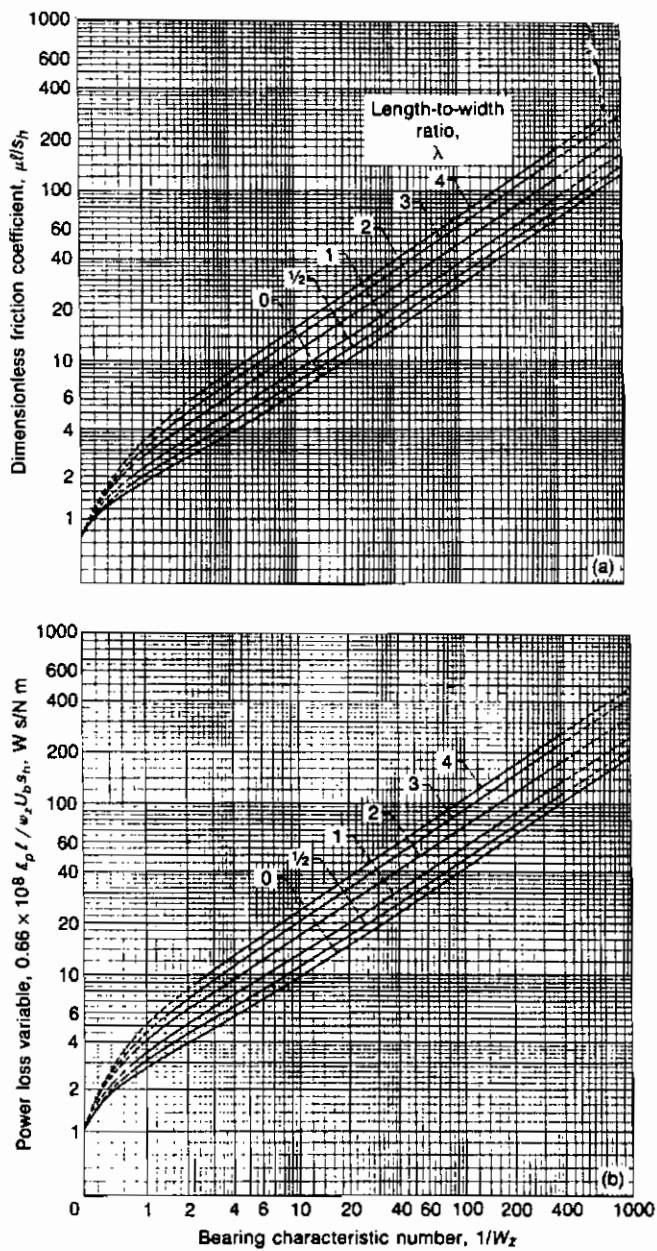
Surface finish (centerline average, R_a)		Description of surface	Examples of manufacturing methods	Approximate relative costs	Allowable minimum outlet film thickness ^a , h_o	
μm	$\mu\text{in.}$				μm	$\mu\text{in.}$
0.1-0.2	4-8	Mirror-like surface without toolmarks; close tolerances	Grind, lap, and super- finish	17-20	2.5	100
.2-.4	8-16	Smooth surface with- out scratches; close tolerances	Grind and lap	17-20	6.2	250
.4-.8	16-32	Smooth surface; close tolerances	Grind, file, and lap	10	12.5	500
.8-1.6	32-63	Accurate bearing sur- face without toolmarks	Grind, preci- sion mill, and file	7	25	1000
1.6-3.2	63-125	Smooth surface with- out objectionable tool- marks; moderate tolerances	Shape, mill, grind, and turn	5	50	2000

^a مقادیر ضخامت فیلم فقط برای راهنمایی داده می‌شوند. آنها دلالت بر ضخامت فیلم لازم برای جلوگیری از تماس نثار به فلز تحت شرایط روغن تمیز با هم معوری کامل دارد. ممکن است لازم باشد، یک ضخامت فیلم را بزرگتر از آنچه مشخص شده در نظر گرفت (مثلًا برای به دست آوردن یک افزایش دمای قابل تبول). فرض شده است که صافی سطح متوسط کفشدکها با قسمت دونده یکسان است.



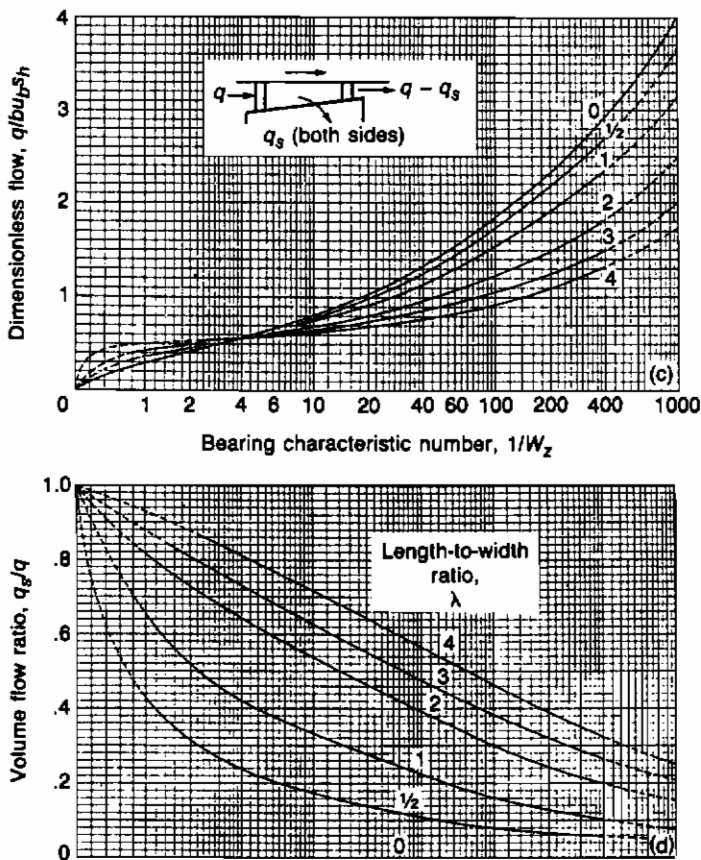
شکل ۹-۸- جدول برای تعیین افزایش دما به خاطر گرما دادن بر روی زنجی روان کننده در

یاتاقانهای کف گرد کفشدک دار با شبیب ثابت



شکل ۹-۹- جدول برای تعیین عملکرد پارامترهای یاتاقانهای کف‌گرد کفشدک دار، با

شبب ثابت . الف. ضرب اصطکاک ، ب. آنت قدرت



شکل ۹-۹-ج . جریان روان کننده ، د . جریان جانبی روان کننده

۶- پارامترها را به دست آورید . وقتی ضخامت فیلم کمیته کافی و دمای روان کننده مناسب تعیین شدند ، پارامترهای عملکرد می توانند محاسبه شوند . بخصوص از شکل ۹-۹ می توان افت قدرت ، ضریب اصطکاک و جریان کلی و جانبی را تعیین کرد .

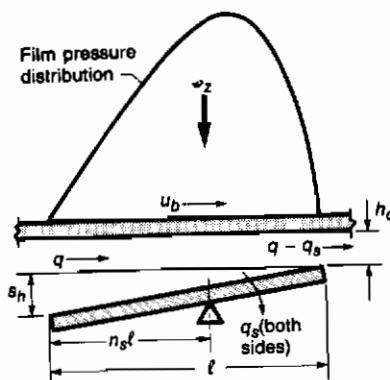
۹-۴ یاتاقان گشوبی کفشک لولایی

ساده ترین شکل یاتاقان کفشک لولایی ایجاد حرکت روی خط مستقیم کرده است و شامل یک سطح تخت لغزنده روی یک کفشک لولایی مطابق شکل ۹-۱۰ می باشد . اگر

فرض شود که کفشدک تحت شرایط کاری معینی در حال تعادل است ، هر تغییری در این شرایط ، از قبیل تغییر در بار ، سرعت ، یا لزجت ، توزیع فشار را تغییر خواهد داد ؛ بنابراین به صورت لحظه‌ای مرکز فشار را جابجا کرده و گشتواری به وجود می‌آورد که باعث تغییر شیب و ارتفاع شانه یا کفشدک می‌شود . بنابراین یک یاتاقان کشویی کفشدک لولایی در یک نقطه حمایت می‌شود تا این که زاویه شیب تغییر کند و تحت شرایط کاری متغیری دارای پایداری بهتری از یک کشویی با شیب ثابت باشد . موقعیت نقطه لولایی کفش را می‌توان از تعادل گشتوارهای عمل کننده روی کفش حول این نقطه یافت . برای تمام مظاهرهای عملی ، فقط دونیروی مهم در این تعادل گشتوار ممکن است در نظر گرفته شود : منتجه به خاطر فشار فیلم و عکس العمل نیرو عمود بر سطح کفش . از نیروی مربوط به اصطکاک در لولا صرف نظر می‌شود .

کفشدکهای لولایی بعضی اوقات به صورت چندتایی در یاتاقانهای کف‌گرد کفشدک لولایی ، مطابق شکل ۹-۱۱ ، به کار گرفته می‌شوند . محاسبات برای یک کفشدک به تنهایی انجام می‌شود و خواص برای یاتاقان کامل توسط ترکیب این محاسبات با روش مناسبی ، طبق بحث قسمت ۹-۴ ، صورت می‌گیرد .

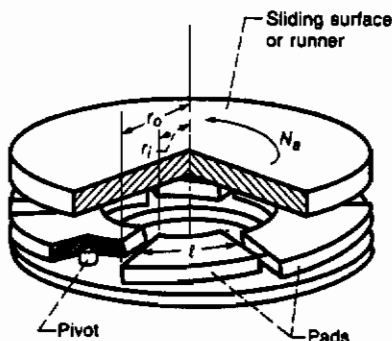
معمولایی کفشدک لولایی فقط وقتی بار حمل می‌کند که این لولا جایی بین مرکز کفشدک و لبه خروجی ($0.5 \leq n \leq 1.0$) قرار داده شود . برای عمل دو جهته ، این لولا در مرکز کفشدک یا در $n = 0.5$ قرار داده می‌شود .



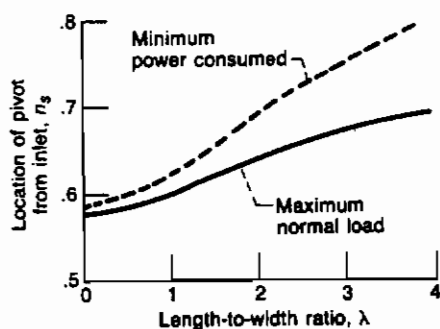
شکل ۹-۱۰- تصویر جانشین یاتاقان کف‌گرد کفشدک لولایی

رهیافت زیر در طراحی یاتاقانهای کف گرد کفشدک لولاپی کمک می کند :

- ۱- با برقرار کردن این که آیا قدرت کمبینه یا بار بیشینه در کاربرد بخصوصی بحرانی تر است و انتخاب یک نسبت طول به عرض کفشدک ، از شکل ۹-۶ موقعیت لولا را تعیین کنید .
- ۲- همان طور که برای یک یاتاقان کف گرد با شیب ثابت انجام گرفت ، با استفاده از معادله (۹-۲۳) دمای روان کننده را برقرار کنید . وقتی این دما شناخته شد ، لزجت را می توان از شکل ۴-۶ به دست آورد .
- ۳- بار بدون بُعد را از شکل ۹-۱۳ تعیین کرده و ضخامت فیلم کمبینه یا خروجی از معادله (۹-۲۴) تعیین کنید .



شکل ۹-۱۱- وضعیت یاتاقان کف گرد کفشدک لولاپی چندتایی



شکل ۹-۱۲- جدول برای تعیین موقعیت لولا مربوط به بیشینه یا قدرت کمبینه برای نسبتهای مختلف کفشدک

۴- ضمن مشاهده مجدد جدول ۹-۲ ، بیینید که آیا ضخامت فیلم خروجی برای پیش‌بینی صافی سطح کافی است یا خیر . اگر جدول ۹-۲ $(h_{01}) \geq$ ماده ۹-۲۲ باشد به مرحله ۵ بروید .

اگر جدول ۹-۲ $(h_{01}) <$ ماده ۹-۲۲ باشد موارد زیر را در نظر بگیرید .

الف- سرعت یاتاقان را افزایش دهید .

ب- دمای ورودی یاتاقان را کاهش دهید .

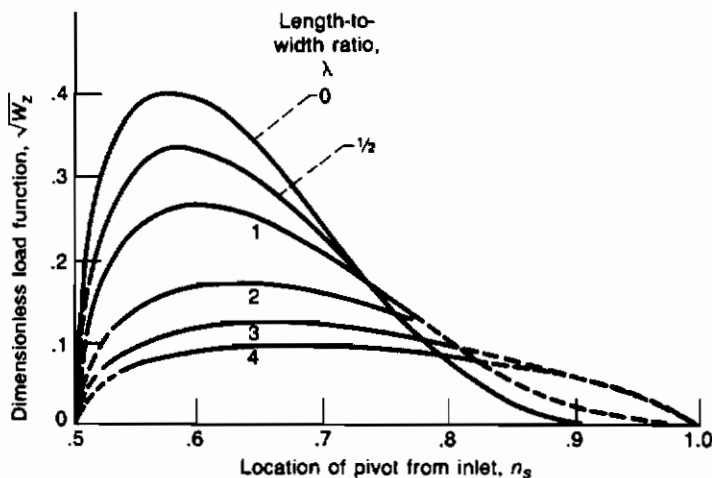
ج- بار ورودی یاتاقان را کاهش دهید .

۵- ماشین کاری روی یاتاقان سطوح روان‌شونده را کاهش داده در نتیجه آنها را صافتر کنید .

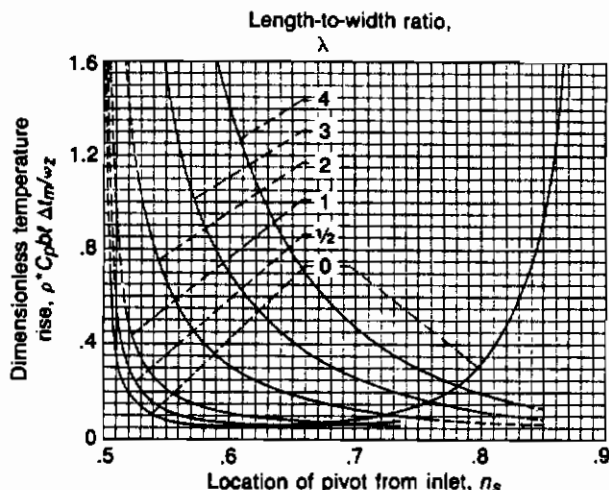
پس از این تغییر به مرحله ۲ برگردید .

۶- از شکل ۹-۱۴ افزایش دما را به خاطر گرمایش برشی برای یک نسبت طول به عرض داده شده و عدد مشخصه یاتاقان تعیین کنید . اگر این مقدار در محدوده ۵ درصد از مقدار حدس زده شده است ، به مرحله ۶ بروید ، در غیر این صورت اجازه دهید که این مقدار افزایش دما مقدار جدید حدس باشد و به مرحله ۲ برگردید .

۷- پارامترهای عملکرد را وقتی که ضخامت فیلم کمینه و دمای روان‌کننده کافی تعیین شده است حساب کنید . بخصوص از شکل ۹-۱۵ نسبت ضخامت فیلم $H_0 = h_0/s_h$ ، ضریب اصطکاک μ ، جریان کلی q ، جریان جانبی q_s ، و افت قدرت h_p می‌تواند محاسبه شود .

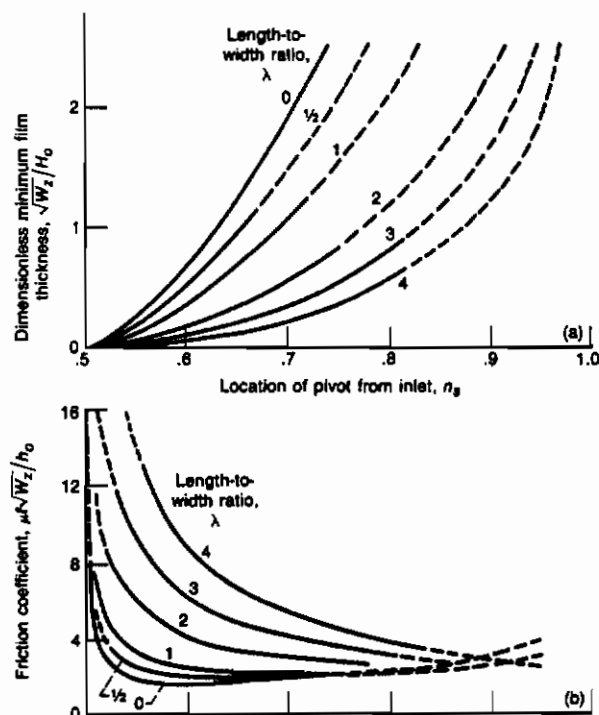


شکل ۹-۱۳- ترسیمه برای تعیین ضخامت فیلم خروجی برای یاتاقانهای کف‌گرد کفشهک لولایی



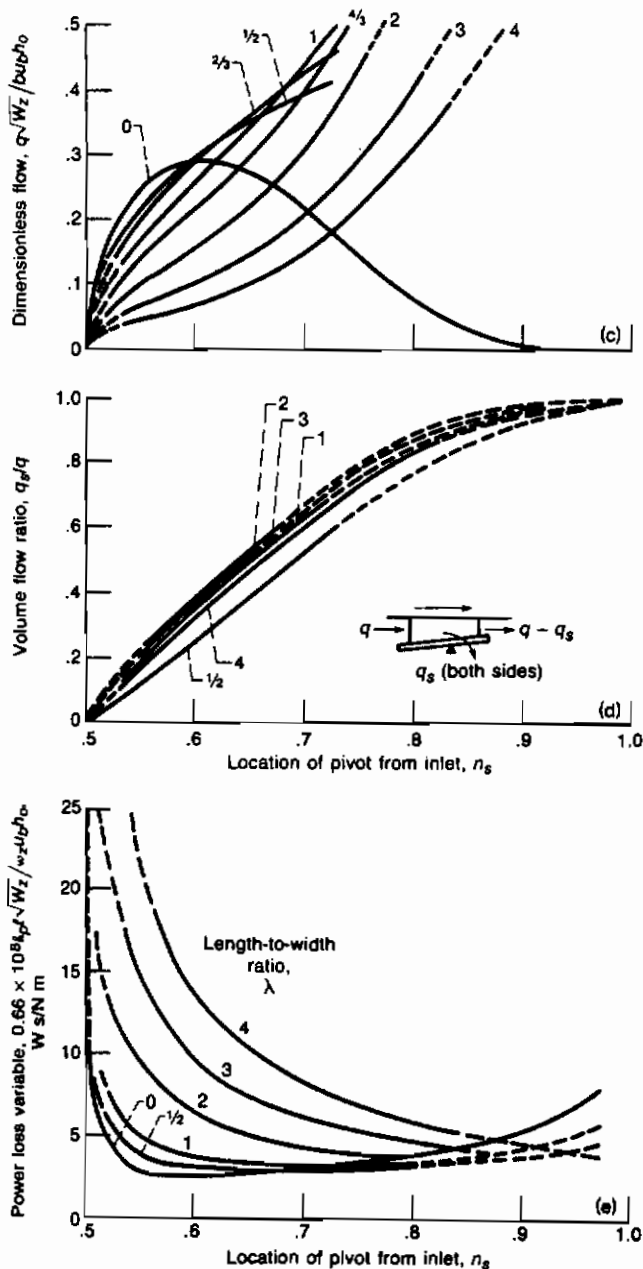
شکل ۹-۱۴- ترسیمه برای تعیین افزایش دمای بدون بُعد بد خاطر لزجت گرم کردن بر شر

روان گفته شده برای یاتاقنهای کف گرد کنشک لولایی



شکل ۹-۱۵- ترسیمه برای تعیین پارامترهای عملکرد یاتاقنهای کف گرد کنشک

لولایی. الف. نسبت ضخامت فیلم ، ب. ضرب اصطکاک



شکل ۱۵-۹-ج. جریان روان کننده، د. جریان جانبی روان کننده، ه. آلت قدرت

مسئله نمونه ۹-۱- یک کفشک کف گرد متمایل طول و عرض ۱ اینچ دارد . موقعیت لولا ، وقتی که این یاتاقان با مصرف کمیته کار کند ، تعیین کنید . تعیین کنید که وقتی بار اعمال شده عمودی lbf ۲۰۰۰ در یک سرعت سطح in/s ۳۰۰ است ، ضخامت فیلم کمیته چیست ؟ لزجت روان کننده در $reyn$ $10^6 \times 5$ ثابت فرض می شود . آیا اگر ماشین کاری سطح $20\mu in$ باشد ، ضخامت فیلم کمیته به دست آمده از محاسبات شما کافی است ؟ اگر جواب منفی است ، می توانید پیشنهادی بدهید که این نیاز را برطرف سازد ؟

حل. از شکل ۹-۱۲ برای $\lambda = 1$ و مصرف قدرت کمیته فرض می شود :

$$n_s = 0.62$$

$$\text{از شکل ۹-۱۳ برای } n_s = 0.62 \text{ و } \lambda = 1$$

$$\sqrt{W_z} = 0.26$$

$$W_z = (0.26)^2 = 0.0676$$

یا

$$W_z = \frac{w_z}{\eta_0 u_b b} \left(\frac{s_h}{\ell} \right)^2$$

ولی ، می دانیم که :

$$\eta_0 = 5 \times 10^{-6} \text{ reyn} = 5 \times 10^{-6} \text{ lbf} \cdot \text{s/in}^2$$

$$w_z = 2000 \text{ lbf}$$

$$u_b = 300 \text{ in/s}$$

$$\ell = b = 1 \text{ in}$$

$$\therefore (s_h)^2 = \frac{W_z \eta_0 u_b b \ell^2}{w_z} = \frac{(0.0676)(5)(10^{-6})(300)(1)}{2000}$$

$$= 5.07 \times 10^{-8} \text{ in}^2$$

$$s_h = 2.25 \times 10^{-4} \text{ in}$$

$$\text{از شکل ۹-۱۵ برای } n_s = 0.62 \text{ و } \lambda = 1 \text{ ، و } \sqrt{W_z} \text{ داریم :}$$

$$\sqrt{W_z} H_o = 0.45$$

یا

$$H_o = \frac{0.45}{0.26} = 1.73$$

$$H_o = \frac{h_o}{s_h}$$

$$\begin{aligned} \therefore h_o &= H_o s_h = (1.73)(2.25)(10^{-4}) \text{ in} \\ &= 3.89 \times 10^{-4} \text{ in} \end{aligned}$$

از جدول ۹-۲ برای یک سطح ماشین کاری شده $\text{min} 20$ ، ضخامت فیلم کمینه مجاز $\text{min} 500$ است. بنابراین

$$(h_o)_{\min} = 5 \times 10^{-4} \text{ in}$$

چون ضخامت فیلم کمینه، که ما را از معادله (۹-۲۴) حساب کردیم کمتر از ضخامت فیلم کمینه مجازی (h_o) به دست آمده از جدول ۹-۲ است، این کفشهک باید دوباره طراحی شود. پیشنهادات احتمالی جهت طراحی دوباره، عبارتند از:

- ۱- ماشین کاری سطح را از ۲۰ به $\text{min} 12$ تغییر دهید.
- ۲- لزجت سیال را از $10^6 \times 5 \text{ reyn}$ به $10^5 \times 2$ افزایش دهید.
- ۳- سرعت را از ۳۰۰ in/s به ۱۲۰۰ افزایش دهید.
- ۴- بار را از ۲۰۰۰ به 500 lbf کاهش دهید.

فقط یکی از این تغییرات برای رسیدن به احتیاج لازم است، ولی ترکیبی از این تغییرات، طراحی در باره را ساده تر می کند.

۹-۴ هندسه یاتاقان کف گرد

در این فصل و همچنین فصل ۸، کارکرد یک کفشهک مربوط به یک یاتاقان کف گرد را مطالعه کردیم. معمولاً همان طور که برای مثال در شکل‌های ۹-۵ و ۹-۱۱ نشان داده شد، تعدادی از کفشهک‌های مشابه در یک یاتاقان کف گرد قرار می گیرند (مونتاژ می شوند). طول، عرض، سرعت و بار یک کفشهک می توانند مرتبط با شکل هندسی یک یاتاقان کف گرد به وسیله فرمول زیر باشد:

$$b = r_o - r_i \quad (9-25)$$

$$\ell = \frac{r_o + r_i}{2} \left(\frac{2\pi}{N_0} - \frac{\pi}{36} \right) \quad (9-26)$$

$$u_b = \frac{(r_o + r_i)\omega}{2} \quad (9-27)$$

$$w_i = N_0 w_z \quad (9-28)$$

وقتی که N_0 تعداد کفشهای مشابه در یاتاقان کف گرد (معمولًا N_0 بین ۳ و ۲۰) است . قسمت $\pi/36$ معادله (۹-۲۶) مربوط به شیارهای تغذیه بین کفشهای است . اینها شیارهای عمیق هستند که اطمینان می دهند که فشار محیط بین کفشهای باقی می ماند . همچنین معادله (۹-۲۸) ۷ بار کف گرد کلی روی یاتاقان است .

در طراحی یاتاقانهای کف گرد ، ظرفیت حمل تمامی بار عمودی w و سرعت زاویه لای γ معمولًا همراه با ابعاد کلی یاتاقان مثل r_o و r_i معین می شوند . این روان کننده معمولًا طوری تعریف می شود تا احتیاجات طراحی مؤلفه های همراه یاتاقان ژورنال را برآورده سازد . بنابراین فقط باید تعداد کفشهای N_0 دهنده کفشک (H_0 ، n ، γ) را تعیین کنیم . سپس می توان مشخصه های عملکرد یاتاقان را محاسبه کرد ، تا مشاهده گردد که این طراحی مشخصات لازم را داشته باشد .

۹-۵ هم‌غره

شکل مناسب معادله رینولدز برای یک یاتاقان کف گرد روان کاری شده به صورت هیدرودینامیکی وقتی نشت کناری در نظر گرفته شود ، عبارت است از :

$$\frac{\partial}{\partial x} \left(h^3 \frac{\partial p}{\partial x} \right) + \frac{\partial}{\partial y} \left(h^3 \frac{\partial p}{\partial y} \right) = 6\eta u_b \frac{\partial h}{\partial x}$$

تنها شکل فیلمی که می تواند با در نظر گیری نشت کناری به صورت تحلیلی حل شود ، برای یک یاتاقان کشویی پله موازی است . چون شکل فیلم در داخل نواحی ورودی و خروجی ثابت است ، معادله قبلی به یک معادله لاپلاس تبدیل شده ، که می تواند به سادگی برای فشار حل شود . با انتگرال گیری فشار روی مساحت یاتاقان می توان بار اعمال شده عمودی را به دست آورد . نشت کناری که ظرفیت حمل بار عمودی را کاهش می دهد ، برای یک یاتاقان پله موازی

قابل ملاحظه است . بنابراین پیشنهاد شد تا وسایل تصحیح کننده در اطراف قرار گیرند تا نشت کناری را محدود کرده و بدین وسیله ظرفیت حمل بار یاتاقان افزایش یابد .

نتایج برای یاتاقانهای کف گرد کفشک لولایی و کفشک با شیب ثابت از محاسبه عددی معادله رینولدز ارائه شدند . راه حلی پیشنهاد شد که در طراحی این یاتاقانها کمک می کند . این راه حلها وضعیت کفشک بهیته را فراهم کرده و همچنین پارامترهای عملکردی از قبیل بار اعمال شده عمودی ، ضریب اصطکاک ، آفت قدرت ، جربان روان کننده از داخل یاتاقان را شرح و توضیح می دهد .

۶-۹ مسائل

۹-۶-۱ بار اعمال شده عمودی بدون بُعد W برای سه نوع کفشک کف گرد زیر را مقایسه کنید : الف - پله موازی ، ب - شیب ثابت ، ج - کفشک متمایل برای $b/a = \lambda$ برابر با $\frac{1}{4}$ ، $\frac{1}{2}$ ، ۱ و ۲ . اثرات نشت کناری را در نظر بگیرید . برای هر نوع کفشک در هر λ ، هندسه بهینه را استفاده کنید . همچنین این نتایج را با W وقتی نشت کناری صرف نظر می شود ، مقایسه کنید .

۹-۶-۲ نمایه فشار یک کفشک پله موازی تصحیح نشده برای $1 \leq H_0 \leq 1.5$ ، $\lambda = 0.5$ و $Y = 0.5$ برای $X = 0.1, 0.2, \dots, 0.9$ را رسم کنید . معادلات (۹-۸) و (۹-۱۳) را در محاسباتتان به کار ببرید . مقادیر عددی فشار در مقادیر مختلف X را بدھید . همچنین برای شکل فیلم داده شده ، بار اعمال شده عمودی بدون بُعد W را تعیین نمایید .

۹-۶-۳ یک یاتاقان کف گرد بار $N = 50,000$ را در سرعت چرخشی 2000 r/min حمل می کند . این یاتاقان شعاع خارجی $m = 0.25$ و شعاع داخلی $m = 0.15$ را دارد . ماشین کاری سطح $CLA = 1 \mu\text{m}$ توصیه می شود . روغن با $SAE = 10$ بوده و دمای ورودی کار $T = 50^\circ\text{C}$ است . یک یاتاقان کفشک متمایل مناسب برای بار کف گرد بیشینه طراحی کنید . شکل هندسی کفشک انتخاب شده ، موقعیت لولا ، تعداد کفشکها و ضخامت فیلم کمینه همراه با تخمین $\Delta t_{\text{ضخ}}$ ، μ ، h_p ، q و q_s باید بیان شود .

۹-۶-۴ برای یک یاتاقان کف گرد کشویی با کفشک با شیب ثابت با $W = 3600 \text{ lbf}$ ، $b = 3 \text{ in}$ ، $t = 3 \text{ in}$ ، $u_b = 1200 \text{ in/s}$ ، $SAE = 10$ و روغن 10°C با دمای ورودی

- ۹-۶-۵ موارد زیر را برای بار عمودی بیشینه تعیین کنید : q_s ، q ، h_p ، μ ، Δt_m ، s_h ، $t_i = 100^\circ\text{F}$ ، SAE 10 روغن ، $l/b = 1$ ، $w = 30 \text{ r/s}$ ، $r_i = 2 \text{ in}$ ، $r_0 = 4 \text{ in}$ برای یک یاتاقان کف گرد ، با کفشک با شیب ثابت با بار عمودی کلی 12000 lbf
- ۹-۶-۶ موارد زیر را تعیین کنید : q_s ، q ، h_p ، μ ، Δt_m ، s_h ، N_0 برای داده های پارامترهای مسأله ۹-۶-۵ پارامترهای خروجی در مسأله ۹-۶-۵ را تعیین کنید ، ولی برای یاتاقان کف گرد کفشک لولایی متمایل .
- ۹-۶-۷ با شروع این معادله (۹-۲۲) نشان دهید که $\lambda \rightarrow 0$ ، یا ضمن میل و ضعیت به حالتی که نشت کناری بتواند صرف نظر شود ، بار عمودی همان مقدار به دست آمده در فصل ۸ ، یعنی معادله (۸-۷۳) است .

۹-۷ نهرست هنایع و هآخذ

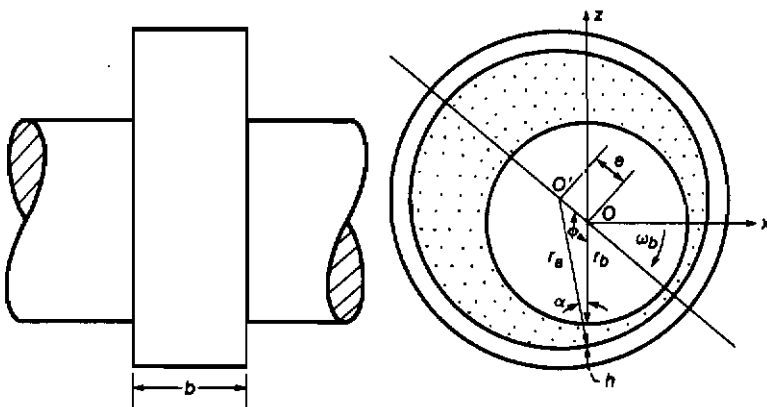
- Engineering Sciences Data Unit (ESDU) (1967): *General Guide to the Choice of Thrust Bearing Type*. Item 67033. Institution of Mechanical Engineers, London.
- Raimondi, A. A., and Boyd, J. (1955): Applying Bearing Theory to the Analysis and Design of Pad-Type Bearings. *ASME Trans.*, vol. 77, no. 3, pp. 287-309.

فصل دهم

یاتاقانهای ژورنال هیدرودینامیکی حلهاي تحلیلی

در دو فصل قبلی کفشهای یاتاقان کشوبی تحت عنوان یاتاقانهای کف گرد، مورد بررسی قرار گرفتند. سطوح یاتاقانهای کف گرد، همان طور که در شکل ۸-۳ نشان داده می‌شود، عمود بر محور چرخش هستند. این فصل و فصل دیگر یاتاقانهای ژورنال را مورد بررسی قرار می‌دهند، که در آنها سطوح یاتاقان با محور چرخش موازی هستند. یاتاقانهای ژورنال برای حمایت محورها و حمل بارهای شعاعی با اقتدارتر کمینه و خورددگی کمینه به کار گرفته می‌شوند. یاتاقان ژورنال می‌تواند توسط یک آستری سیلندری ساده (بوش) پیچیده حول ژورنال (محور) باشد؛ ولی یاتاقانها می‌توانند به شکلهای مختلف باشند. روان کننده از نقطه مناسبی در این یاتاقان و از طریق یک سوراخ یا یک شبیار تعییه می‌شود. اگر یاتاقان حول 360° کامل ادامه داشته باشد، به عنوان «یاتاقان ژورنال کامل» نامیده می‌شود. اگر زاویه پوشش از 360° کمتر باشد، عبارت «یاتاقان ژورنال جزئی» به کار برده می‌شود.

یاتاقانهای ژورنال ممکن است به حرکت محور برای تولید فشارهای متتحمل شونده بار در فیلم روان کننده هستند. شکل هندسی یاتاقان ژورنال در شکل ۱۰-۱ نشان داده می‌شود. محور معمولاً هم مرکزی یاتاقان نمی‌چرخد. خارج از مرکزی محور نسبت به مرکز یاتاقان به عنوان «خارج از مرکز» شناخته می‌شود. موقعیت متحدد المرکز محور در داخل لقی یاتاقان توسط بار حمل شونده تحت تأثیر قرار می‌گیرد. مقدار این خارج از مرکزی خودش را تنظیم می‌کند تا بار با فشار تولید شده در فیلم



شکل ۱-۱- شکل هندسی یاتاقان ژورنال هیدرودینامیکی

روان کننده همگراشونده موازن نه شود. خط رسم شده از مرکز محور و مرکز یاتاقان «خط مرکزها» نامیده می شود.

فشار تولید شده ، در نتیجه ظرفیت حمل بار یاتاقان بستگی به خارج از مرکزی محور ، سرعت زاویه ای ، لزجت مؤثر روان کننده و ابعاد و لقی یاتاقان دارد .

$$\omega_z = f(e, \omega, \eta_0, r, b, c)$$

بار و سرعت زاویه ای معمولاً مشخص می شوندو قطر کمینه محور معمولاً از قبل تعیین می شود . برای تکمیل طراحی ، لازم است ابعاد یاتاقان و لقی محاسبه شده و اگر قبل از مشخص نشده ، یک روان کننده مناسب انتخاب شود .

رهیافت استفاده شده در این فصل ارائه دو راه حل تقریبی برای یاتاقان ژورنال است :

(۱) یک حل با عرض بی نهایت (صرف نظر شده از نشت کناری) ، (۲) تئوری یاتاقان ژورنال با عرض کوتاه ، این دو راه حل تقریبی خیلی از مشخصه های مهم یاتاقانهای ژورنال را اشان خواهند داد .

۱-۱۰ راه حل یاتاقان ژورنال با عرض بی نهایت

برای راه حل یک یاتاقان ژورنال با عرض بی نهایت ، فشار در جهت محوری ثابت

فرض می شود. این رهیافت برای نسبت‌های قطر به عرض ($\lambda_b = 2r_b/b$) کمتر از ۰.۵ معتبر است. شکل انتگرال گرفته معادله رینولدز (۷-۵۲) ضمن فرض لرجه ثابت می تواند به صورت زیر نوشته شود:

$$\frac{dp}{dx} = \frac{6\eta_0 r_b \omega_b (h - h_m)}{h^3} \quad (7-52)$$

که در آن h_m دلالت بر ضخامت فیلم وقتی $dp/dx = 0$ ، دارد . حال :

$$dx = r_b d\phi$$

$$\therefore \frac{dp}{d\phi} = \frac{6\eta_0 r_b^2 \omega_b (h - h_m)}{h^3} \quad (10-1)$$

حالت گذرا از معادله (۷-۵۲) تا (۱۰-۱) قابل قبول است ؛ زیرا ضخامت فیلم نسبت به شعاع محور کوچک است و انحنای فیلم روان کننده می تواند صرف نظر شود . این دلیلی است بر آن که شکل فیلم را می توان از اطراف محور باز کرده و آن را به عنوان یک نمایه ساکن متناظر با طول موج $2\pi r_b$ در نظر گرفت و این که سطح صفحه محور طبق شکل ۱۰-۲ با سرعت $r\omega$ می چرخد . از شکل ۱۰-۱ ، داریم :

$$\cos \alpha = \frac{1}{r_a} [h + r_b + e \cos(\pi - \phi)] \quad (10-2)$$

$$\therefore h = r_a \cos \alpha - r_b + e \cos \phi$$

از قانون سینوسها ، می توان نوشت :

$$\frac{e}{\sin \alpha} = \frac{r_a}{\sin \phi}$$

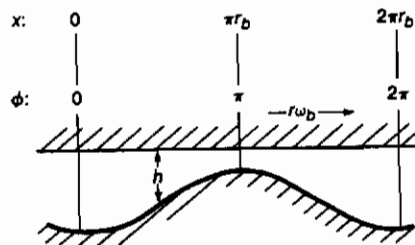
$$\therefore \sin \alpha = \frac{e \sin \phi}{r_a}$$

و

$$\cos \alpha = (1 - \sin^2 \alpha)^{1/2} = \left[1 - \left(\frac{e}{r_a} \right)^2 \sin^2 \phi \right]^{1/2} \quad (10-3)$$

با جایگذاری معادله (۱۰-۳) در معادله (۱۰-۲) می دهد :

$$h = r_a \left[1 - \left(\frac{e}{r_a} \right)^2 \sin^2 \phi \right]^{1/2} - r_b + e \cos \phi$$



شکل ۱۰-۲- شکل فیلم باز شده در یک باتاقان ژورنال

ولی :

$$\left[1 - \left(\frac{e}{r_a} \right)^2 \sin^2 \phi \right]^{1/2} = 1 - \frac{1}{2} \left(\frac{e}{r_a} \right)^2 \sin^2 \phi - \frac{1}{8} \left(\frac{e}{r_a} \right)^4 \sin^4 \phi - \dots$$

$$\therefore h = r_a \left[1 - \frac{1}{2} \left(\frac{e}{r_a} \right)^2 \sin^2 \phi - \frac{1}{8} \left(\frac{e}{r_a} \right)^4 \sin^4 \phi - \dots \right] - r_b + e \cos \phi$$

$$\text{یا : } r_a - r_b = c$$

$$h = c + e \left[\cos \phi - \frac{1}{2} \left(\frac{e}{r_a} \right) \sin^2 \phi - \frac{1}{8} \left(\frac{e}{r_a} \right)^3 \sin^4 \phi - \dots \right] \quad (10-4)$$

چون نسبت e/r_a از درجه بزرگی 10^{-3} است ، می توان معادله (۱۰-۴) را با اطمینان به شکل زیر ساده کرد :

$$h = c(1 + \varepsilon \cos \phi) \quad (10-5)$$

که :

$$\varepsilon = \frac{e}{c} \quad (10-6)$$

نسبت خارج از مرکزی است . توجه داشته باشید که $1 \leq \varepsilon \leq 0$ است .

با جایگذاری ضخامت فیلم ، معادله (۱۰-۵) در معادله (۱۰-۱) می دهد :

$$\frac{dp}{d\phi} = 6\eta_0 \omega_b \left(\frac{r_b}{c} \right)^2 \left[\frac{1}{(1 + \varepsilon \cos \phi)^2} - \frac{h_m}{c(1 + \varepsilon \cos \phi)^3} \right] \quad (10-7)$$

با انتگرال گیری مستقیم از معادله (۱۰-۷) می‌توان عبارتی برای توزیع فشار به دست آورد :

$$p = 6\eta_0\omega_b \left(\frac{r_b}{c}\right)^2 \int \left[\frac{1}{(1 + \epsilon \cos \phi)^2} - \frac{h_m}{c(1 + \epsilon \cos \phi)^3} \right] d\phi + \bar{A} \quad (10-8)$$

۱۰-۱-۱ حل کامل سامرفیلد^۱

روش محاسبه انتگرالهای از نوع زیر :

$$\int \frac{d\phi}{(1 + \epsilon \cos \phi)^\pi}$$

معرفی یک متغیر جدید $\gamma = \tan(\phi/2)$ است . با این روش فشار می‌تواند محاسبه شود ، ولی این عبارت به طور بخصوص مفید نیست ؛ زیرا مشکل است که مؤلفه‌های بار را با ادامه انتگرال گیری به دست آورد .

سامرفیلد ، در سال ۱۹۰۴ به خوبی با استفاده از جایگذاری زیر این مشکل را برطرف ساخت :

$$1 + \epsilon \cos \phi = \frac{1 - \epsilon^2}{1 - \epsilon \cos \gamma} \quad (10-9)$$

این رابطه به نام «جایگذاری سامرفیلد» نامیده شده و γ به عنوان «متغیر سامرفیلد» شناخته می‌شود . جدول ۱۰-۱ رابطه بین محور محیطی زاویه ϕ و γ تعدادی از نسبتهای خارج از مرکز رانشان می‌دهند . از معادله (۱۰-۹) موارد زیر را می‌توان نوشت :

$$\sin \phi = \frac{(1 - \epsilon^2)^{1/2} \sin \gamma}{1 - \epsilon \cos \gamma} \quad (10-10)$$

$$\cos \phi = \frac{\cos \gamma - \epsilon}{1 - \epsilon \cos \gamma} \quad (10-11)$$

$$\sin \gamma = \frac{(1 - \epsilon^2)^{1/2} \sin \phi}{1 + \epsilon \cos \phi} \quad (10-12)$$

$$\cos \gamma = \frac{\varepsilon + \cos \phi}{1 + \varepsilon \cos \phi} \quad (10-13)$$

$$d\phi = \frac{(1 - \varepsilon^2)^{1/2} d\gamma}{1 - \varepsilon \cos \gamma} \quad (10-14)$$

با به کار گیری جایگذاری سامر فیلد و شرط مرزی متنابه، داریم:

$$p - p_0 = \frac{6\eta_0\omega_b(r_b/c)^2 \varepsilon \sin \phi (2 + \varepsilon \cos \phi)}{(2 + \varepsilon^2)(1 + \varepsilon \cos \phi)^2} \quad (10-15)$$

که در آن p_0 فشار در نقطه ضخامت فیلم بیشینه است. این معادله راه حل سامر فیلد برای توزیع فشار در یک یاتاقان ژورنال کامل را ارائه می‌دهد. این معادله به شکل بدون بعد می‌شود:

$$P = \frac{p - p_0}{\eta_0\omega_b} \left(\frac{c}{r_b} \right)^2 = \frac{6\varepsilon \sin \phi (2 + \varepsilon \cos \phi)}{(2 + \varepsilon^2)(1 + \varepsilon \cos \phi)^2} \quad (10-16)$$

بوکر^۱ (۱۹۶۵)، جدول مفیدی از انتگرالهای لازم در تجزیه و تحلیل یاتاقان ژورنال را فراهم آورده است.

توزیع فشار در حل کامل معادله در سامر فیلد شکل ۱۰-۳ نشان شده است. توجه داشته باشید که فشارهای مثبت در فیلم همگراشونده ($\phi \leq \pi$) و فشارهای منفی در فیلم واگراشونده ($\pi \leq \phi \leq 2\pi$) تولیدی هستند. شکل ۱۰-۳ نشان می‌دهد که توزیع فشار وقتی مقادیر عددی فشارهای بیشینه و کمینه و موقعیتی‌ها آنها نسبت به ضخامت فیلم کمینه آن نقطه برابر باشند، به صورت متقارن منفی است. در به دست آوری معادله (۱۰-۱۵)، که خود مسأله‌ای است در پایان این فصل، داریم:

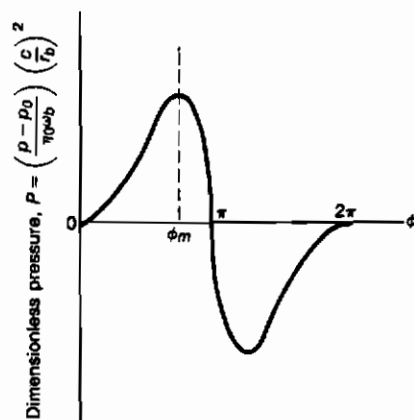
$$h_m = \frac{2c(1 - \varepsilon^2)}{2 + \varepsilon^2} \quad (10-17)$$

با استفاده از معادلات (۱۰-۱۷) و (۱۰-۱۵) مقدار ϕ که در آن $dp/dx = 0$ است، به صورت زیر به دست می‌آید:

$$\phi_m = \cos^{-1} \frac{-3\varepsilon}{2 + \varepsilon^2} \quad (10-18)$$

جدول ۱۰-۱ - رابطه بین زاویه ϕ و متغیر سامرفلد γ برای نسبتهاي خارج از مرکزی مختلف ϵ
 [وقتی $\gamma(-\phi) = -\gamma(\phi)$ ، $\epsilon = 1$ ، $\gamma = 0$ ، $\phi = 0$ ، $\phi = 360^\circ$ ، $\gamma = 180^\circ$ رابطه $\gamma(\phi) = \epsilon \sin \phi$]

Circumferential coordinate angle, ϕ , deg	Eccentricity ratio, ϵ							
	0.2	0.4	0.5	0.6	0.7	0.8	0.9	0.95
	Sommerfeld variable, γ , deg							
0	0	0	0	0	0	0	0	0
10	8.172	6.556	5.783	5.010	4.210	3.341	2.300	1.605
20	16.385	13.169	11.626	10.077	8.473	6.727	4.633	3.235
30	24.681	19.899	17.588	15.261	12.844	10.208	7.035	4.914
40	33.102	26.804	23.735	20.628	17.368	13.835	9.546	6.671
50	41.688	33.952	30.136	26.249	22.166	17.670	12.212	8.541
60	50.479	41.410	36.870	32.204	27.266	21.787	15.090	10.564
70	59.515	49.253	44.024	38.591	32.782	26.276	18.252	12.795
80	68.832	57.562	51.696	45.521	38.834	31.253	21.793	15.305
90	78.463	66.422	60.000	53.130	45.573	36.870	28.842	18.195
100	88.436	75.922	69.061	61.579	53.188	43.331	30.583	21.608
110	98.769	86.149	79.014	71.059	61.923	50.914	36.282	25.763
120	109.471	97.181	90.000	81.787	72.080	60.000	43.342	31.003
130	120.538	109.076	102.147	93.994	84.030	71.117	52.393	37.905
140	131.948	121.854	115.544	107.895	98.187	84.969	64.448	47.494
150	143.663	135.482	130.208	123.626	114.937	102.412	81.140	61.726
160	155.628	149.851	146.034	141.149	134.460	124.244	104.909	84.487
170	167.768	164.776	162.767	160.150	156.471	150.587	138.251	122.699
180	180.000	180.000	180.000	180.000	180.000	180.000	180.000	180.000



شکل ۳-۱۰ - توزیع فشار برای حل کامل معادله سامرفلد

توجه داشته باشید که $2/\pi \rightarrow \pm\phi_m$ ضمن $0 \rightarrow \varepsilon$ و $\pm\pi \rightarrow \phi_m$ ضمن میل $1 \rightarrow \varepsilon$ است . از شکل ۱۰-۳ فشار بیشینه در ربع دوم اتفاق می‌افتد و فشار کمینه در ربع سوم رخ می‌دهد . فشارهای بیشینه و کمینه از خط مرکزها به یک فاصله هستند .

فشار بیشینه بدون بعد را می‌توان از معادله (۱۰-۶) این گونه نوشت :

$$P_m = \frac{p_m - p_0}{\eta_0 \omega_b} \left(\frac{c}{r_b} \right)^2 = \frac{6\varepsilon \sin \phi_m (2 + \varepsilon \cos \phi_m)}{(2 + \varepsilon^2)(1 + \varepsilon \cos \phi_m)^2}$$

با استفاده از معادله (۱۰-۱۸) و رابطه زیر :

$$\sin \phi_m = (1 - \cos^2 \phi_m)^{1/2} = \frac{(4 - 5\varepsilon^2 + \varepsilon^4)^{1/2}}{2 + \varepsilon^2}$$

داریم

$$P_m = \frac{3\varepsilon (4 - 5\varepsilon^2 + \varepsilon^4)^{1/2} (4 - \varepsilon^2)}{2(2 + \varepsilon^2)(1 - \varepsilon^2)^2} \quad (10-19)$$

توجه داشته باشید که $0 \rightarrow P_m$ ضمن $0 \rightarrow \varepsilon$ و $\infty \rightarrow P_m$ ضمن $1 \rightarrow \varepsilon$ است .

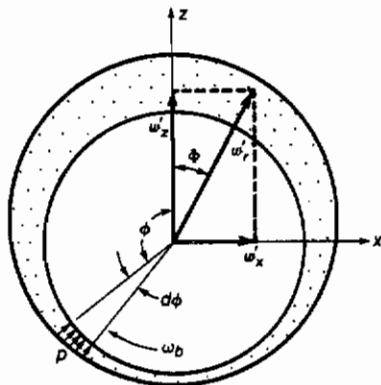
وقتی فشار معلوم باشد ، مؤلفه‌های بار را می‌توان محاسبه کرد . به سادگی می‌توان مؤلفه‌های متنجه بار را در طول عمود بر خط مرکز تعیین کرد . محورهای مختصات و مؤلفه‌های بار در شکل ۱۰-۴ نشان داده می‌شوند ، که در آن :

ω = مؤلفه بار برابر واحد عرض عمود بر خط مرکزها بر حسب . N/m

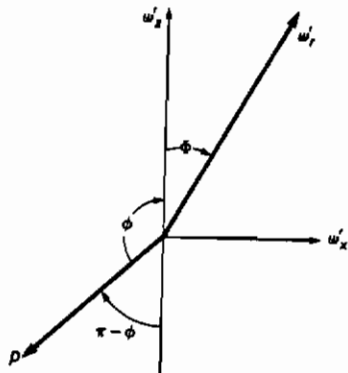
ω = مؤلفه بار برابر واحد عرض عمود در طول خط مرکزها بر حسب . N/m

ω = بار متنجه بر واحد عرض (برابر ، ولی عمل کننده در جهت مخالف بار اعمال شده) ، بر حسب . N/m

Φ = زاویه جهت وضعی (زاویه‌ای که در آن بردار بار باید در جهت چرخش ژورنال چرخانده شود تا در خط مرکزها قرار گیرد) .



شکل ۱۰-۴- محور مختصات و مؤلفه‌های نیرو در یک یاتاقان ژورنال



شکل ۱۰-۵- نیروهای بردار عمل کننده روی یک ژورنال

از شکل ۱۰-۵ ، که نشان می دهد که نیروهای برداری روی ژورنال عمل می کنند ،

داریم :

$$w_x' = \int_0^{2\pi} pr_b \sin(\pi - \phi) d\phi$$

$$w_z' = \int_0^{2\pi} pr_b \cos(\pi - \phi) d\phi$$

این معادلات به صورت زیر تبدیل می شوند :

$$w_x' = \int_0^{2\pi} pr_b \sin \phi d\phi \quad (10-20)$$

$$w'_z = - \int_0^{2\pi} p r_b \cos \phi \, d\phi \quad (11-21)$$

معادلات (۱۰-۲۰) و (۱۰-۲۱) را می‌توان با انتگرال گیری جزء به جزء به صورت زیر به دست آورد :

$$w'_x = r_b \int_0^{2\pi} \cos \phi \frac{dp}{d\phi} \, d\phi \quad (10-22)$$

$$w'_x = r_b \int_0^{2\pi} \sin \phi \frac{dp}{d\phi} \, d\phi \quad (10-23)$$

با جایگذاری معادله (۱۰-۷) در این معادلات داریم :

$$w'_x = 6\eta_0 \omega_b r_b \left(\frac{r_b}{c} \right)^2 \int_0^{2\pi} \left[\frac{\cos \phi}{(1 + \varepsilon \cos \phi)^2} - \frac{h_m \cos \phi}{c(1 + \varepsilon \cos \phi)^3} \right] d\phi \quad (10-24)$$

$$w'_z = 6\eta_0 \omega_b r_b \left(\frac{r_b}{c} \right)^2 \int_0^{2\pi} \left[\frac{\sin \phi}{(1 + \varepsilon \cos \phi)^2} - \frac{h_m \sin \phi}{c(1 + \varepsilon \cos \phi)^3} \right] d\phi \quad (10-25)$$

حال :

$$\int_0^{2\pi} \frac{\cos \phi}{(1 + \varepsilon \cos \phi)^2} d\phi = \frac{1}{\varepsilon} \left[\frac{\gamma}{(1 - \varepsilon^2)^{1/2}} - \frac{\gamma - \varepsilon \sin \gamma}{(1 - \varepsilon^2)^{3/2}} \right]_{\gamma=0}^{\gamma=2\pi}$$

$$\begin{aligned} & \int_0^{2\pi} \frac{\cos \phi \, d\phi}{(1 + \varepsilon \cos \phi)^3} \\ &= \frac{1}{\varepsilon} \left[\frac{\gamma - \varepsilon \sin \gamma}{(1 - \varepsilon^2)^{3/2}} + \frac{-2\gamma(2 + \varepsilon^2) + 8\varepsilon \sin \gamma - \varepsilon^2 \sin 2\gamma}{4(1 - \varepsilon^2)^{5/2}} \right]_{\gamma=0}^{\gamma=2\pi} \end{aligned}$$

$$\int_0^{2\pi} \frac{\sin \phi \, d\phi}{(1 + \varepsilon \cos \phi)^2} = \left[\frac{1}{\varepsilon(1 + \varepsilon \cos \phi)} \right]_{\phi=0}^{\phi=2\pi}$$

$$\int_0^{2\pi} \frac{\sin \phi \, d\phi}{(1 + \varepsilon \cos \phi)^3} = \left[\frac{1}{2\varepsilon(1 + \varepsilon \cos \phi)^2} \right]_{\phi=0}^{\phi=2\pi}$$

با جایگذاری این انتگرالها در معادلات (۱۰-۲۴) و (۱۰-۲۵) داریم :

$$\begin{aligned} w'_x &= 6\eta_0\omega_b r_b \left(\frac{r_b}{c}\right)^2 \frac{1}{\varepsilon} \left[\frac{\gamma}{(1-\varepsilon^2)^{1/2}} - \frac{\gamma - \varepsilon \sin \gamma}{(1-\varepsilon^2)^{3/2}} \right] - \frac{h_m}{c\varepsilon} \\ &\times \left[\frac{\gamma + \varepsilon \sin \gamma}{(1-\varepsilon^2)^{3/2}} + \frac{-2\gamma(2+\varepsilon^2) + 8\varepsilon \sin \gamma - \varepsilon^2 \sin 2\gamma}{4(1-\varepsilon^2)^{5/2}} \right]_{\gamma=0}^{\gamma=2\pi} \\ w'_z &= 6\eta_0\omega_b r_b \left(\frac{r_b}{c}\right)^2 \left[-\frac{2\pi\varepsilon}{(1-\varepsilon^2)^{3/2}} + \frac{3\pi\varepsilon h_m}{c(1-\varepsilon^2)^{5/2}} \right] \end{aligned}$$

با استفاده از معادله (۱۰-۱۷) نیز ، داریم :

$$w'_x = 12\pi\eta_0\omega_b r_b \left(\frac{r_b}{c}\right)^2 \frac{\varepsilon}{(2+\varepsilon^2)(1-\varepsilon^2)^{1/2}} \quad (10-26)$$

و

$$w'_z = 6\eta_0\omega_b r_b \left(\frac{r_b}{c}\right)^2 \left[\frac{1}{\varepsilon(1+\varepsilon \cos \phi)} - \frac{h_m}{2c\varepsilon(1+\varepsilon \cos \phi)^2} \right]_{\phi=0}^{\phi=2\pi} \quad (10-27)$$

این نتیجه نشان می دهد که برای حل کامل معادله سامر فیلد ، منتجه بار عمودی به صورت قائم بر خط مرکزها عمل می کند ؛ یعنی زاویه فراز برابر 90° است . ضمن وارد آوردن بار به یاتاقان ، مرکز ژورنال از مرکز یاتاقان در زاویه قائم نسبت به بردار بار دور می شود :

$$\therefore \Phi = 90^\circ \quad (10-28)$$

$$w'_r = w'_x \quad (10-29)$$

با استفاده از معادله (۱۰-۱۷) داریم :

$$W_r = \frac{w'_r}{r_b \omega_b \eta_0} \left(\frac{c}{r_b}\right)^2 = \frac{12\pi\varepsilon}{(2+\varepsilon^2)(1-\varepsilon^2)^{1/2}} \quad (10-30)$$

که ظرفیت حمل بار منتجه بدون بعد تنها تابعی از نسبت خارج از مرکزی است .
به دو مورد مهم برای حلها کامل سامر فیلد توجه کنید :

$$\rightarrow \epsilon \text{ ضمن } 0 \rightarrow W_r .$$

$$\rightarrow \epsilon \text{ ضمن } \infty \rightarrow 1-2 .$$

اولین مورد نشان می‌دهد که وقتی محور نسبت به یاتاقان متحددالمرکز است (لقی ثابت در حول یاتاقان) ، یاتاقان دارای ظرفیت حمل باری نیست . مورد دوم پتانسیل بسیار زیادی از یک یاتاقان ژورنال فیلم سیال برای حمایت بارهای شعاعی را نشان می‌دهد . نتیجه بیان می‌دارد که افزایش‌های بار را می‌توان با عمل در نسبتهاخیارج از مرکزی بیشتری جای دارد ، ولی این پیشنهاد باید توسط دانش این که نشت کناری صرف نظر شده است ، که سطوح یاتاقان کاملاً صاف نیستند ، و این که به طور محدود دماهای بالا در فیلمهای نازک روغن اتفاق خواهد افتاد که در خارج از مرکزیهای بالا وجود دارد ، مورد مطالعه قرار گیرد . خارج از مرکزی عمل باید با نکات دیگر طراحی انتخاب شود ، ولی به عنوان یک راهنمای طراحی ارزشمند است . توجه شود که بیشتر یاتاقانهای ژورنال یا نسبتهاخیارج از مرکزی بین ۰.۵ و ۰.۸ عمل می‌کنند .

۱۰-۲ حل نیمه سامر فیلد

متوجه شده ایم که حل سامر فیلد برای یک یاتاقان ژورنال 360° متنه به توزیع فشار منفی متقارن نشان داده در شکل ۱۰-۳ می‌شود . فشارها در فیلم واگرا همه پایین تر از فشار محیط هستند . این فشارها بندرت در یاتاقانهای واقعی پیش می‌آیند . روغنهاي معدني شامل ۸ تا ۱۲ درصد هوای حل نشده هستند . این هوا وقتی که فشار زیر فشار اشباع باشد ، شروع به بیرون آمدن از محلول می‌کند . در خیلی از وضعیتها این فشار اشباع مشابه فشار محیط اطراف یاتاقان است و در این موارد آزادسازی گاز ، فشار در فضای لقی واگرا را در سطح نزدیک به محیط نگه می‌دارد .

این سرگردانی برای پیش‌بینی فشارهای زیر محیط توسط تجزیه و تحلیل معمولی سامر فیلد متنه به این پیشنهاد شده که فشارهای پیش بینی شده زیر محیط توسط این تجزیه و تحلیل نباید در نظر گرفته شود . این رهیافت که تجزیه و تحلیل را محدود به فیلم همگرا می‌کند ، به عنوان «حل نیمه سامر فیلد» شناخته می‌شود . این تقریب در واقع متنه به پیش‌بینی‌های واقعی تری از بعضی مشخصه‌های یاتاقان می‌شود ، ولی این رهیافت ساده متنه به عدم رعایت شرط پیوستگی جریان جرم در انتهای منحنی فشار می‌شود . شرط مرزی اعمال شونده در انتهای خروجی منحنی فشار ، یعنی جایی که فیلم روان‌کننده کامل راه به فیلم

گسیخته شده مرکب از یک مخلوط گاز و مایع که بعداً بحث خواهد شد ، می دهد .
توزیع فشار فرض شده برای حل نیمه سامر فیلد دقیقاً در شکل ۱۰-۳ نماینده $\phi = 0$
تا π نشان داده شده است . ولی از $\phi = \pi$ تا 2π ، به جای فشار منفی نشان داده شده در این
شکل ، فشارها صفر هستند .

$$\therefore P = \frac{p - p_0}{\eta_0 \omega_b} \left(\frac{c}{r_b} \right)^2 = \frac{6\varepsilon \sin \phi (2 + \varepsilon \cos \phi)}{(2 + \varepsilon^2)(1 + \varepsilon \cos \phi)^2} \quad \text{for } 0 \leq \phi \leq \pi \quad (10-31)$$

و

$$P = 0 \quad \text{for } \pi \leq \phi \leq 2\pi \quad (10-32)$$

معادلات برای ضخامت فیلم در موقعیت فشار بیشینه h_m ، زاویه فشار بیشینه ϕ_m ، و فشار
بدون بُعد بیشینه P_m دقیقاً همان مقادیر برای حل کامل سامر فیلد می باشد . یعنی معادلات
(۱۰-۱۷) تا (۱۰-۱۹) مقادیر h_m ، ϕ_m ، و P_m برای حل نیمه سامر فیلد را فراهم می آورند .
مؤلفه های بار برابر واحد عرض ω و ω داده شده در معادلات (۱۰-۲۰) و (۱۰-۲۱) داریم
دقیقاً همان مقادیر برای حل نیمه سامر فیلد هستند ، بجز این که حدود انتگرال باید از ۰ تا π
نوشته شود . وقتی این کار انجام شد مؤلفه های بار به صورت زیر به دست می آیند :

$$w'_x = 6\eta_0 \omega_b r_b \left(\frac{r_b}{c} \right)^2 \left[\frac{-\pi\varepsilon}{(1 - \varepsilon^2)^{3/2}} + \frac{3\pi\varepsilon h_m}{2c(1 - \varepsilon^2)^{5/2}} \right] \quad (10-33)$$

$$w'_z = 6\eta_0 \omega_b r_b \left(\frac{r_b}{c} \right)^2 \left[\frac{2}{1 - \varepsilon^2} - \frac{2h_m}{c(1 - \varepsilon^2)^2} \right] \quad (10-34)$$

با معرفی معادله (۱۰-۱۷) برای h_m در معادلات (۱۰-۳۳) و (۱۰-۳۴) ، داریم

$$w'_x = 6\eta_0 \omega_b r_b \left(\frac{r_b}{c} \right)^2 \frac{\pi\varepsilon}{(2 + \varepsilon^2)(1 - \varepsilon^2)^{1/2}} \quad (10-35)$$

$$w'_z = 12\eta_0 \omega_b r_b \left(\frac{r_b}{c} \right)^2 \frac{\varepsilon^2}{(2 + \varepsilon^2)(1 - \varepsilon^2)} \quad (10-36)$$

توجه داشته باشید که w در معادله (۱۰-۳۵) نصف حل کامل سامر فیلد می باشد ، زیرا متوجه

اثر فشارهای زیر محیط عمود بر خط مرکزها در این مورد صرف نظر می‌شود . به علاوه توجه داشته باشید که برای حل نیمه سامر فیلد ، ^(۷) مثل حل کامل سامر فیلد صفر نیست ، زیرا اثرات فیلمهای همگرا و واگرا در این حالت یکدیگر را حذف نمی‌کنند .
شکل بدون بُعد این مؤلفه‌ها می‌شوند :

$$W_x = \frac{w'_x}{\eta_0 \omega_b r_b} \left(\frac{c}{r_b} \right)^2 = \frac{6\pi\varepsilon}{(2 + \varepsilon^2)(1 - \varepsilon^2)^{1/2}} \quad (10-37)$$

$$W_z = \frac{w'_z}{\eta_0 \omega_b r_b} \left(\frac{c}{r_b} \right)^2 = \frac{12\varepsilon^2}{(2 + \varepsilon^2)(1 - \varepsilon^2)} \quad (10-38)$$

بار متوجه عبارت است از :

$$w'_r = (w'^2_x + w'^2_z)^{1/2} = \eta_0 \omega_b r_b \left(\frac{r_b}{c} \right)^2 \frac{6\varepsilon [\pi^2 - \varepsilon^2(\pi^2 - 4)]^{1/2}}{(2 + \varepsilon^2)(1 - \varepsilon^2)} \quad (10-39)$$

شکل بدون بُعد این بار متوجه عبارت است از :

$$W_r = \frac{w'_r}{\eta_0 \omega_b r_b} \left(\frac{c}{r_b} \right)^2 = \frac{6\varepsilon [\pi^2 - \varepsilon^2(\pi^2 - 4)]^{1/2}}{(2 + \varepsilon^2)(1 - \varepsilon^2)} \quad (10-40)$$

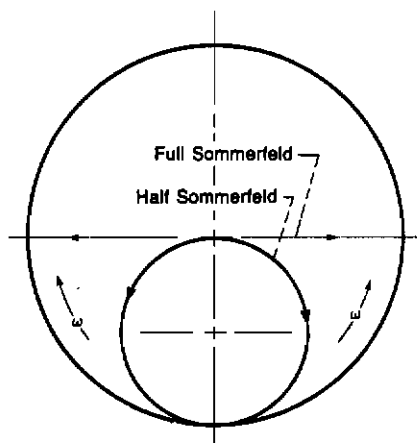
زاویه جهت وضعی را می‌توان نوشت :

$$\Phi = \tan^{-1} \frac{w'_x}{w'_z} = \tan^{-1} \left[\frac{\pi}{2\varepsilon} (1 - \varepsilon^2)^{1/2} \right] \quad (10-41)$$

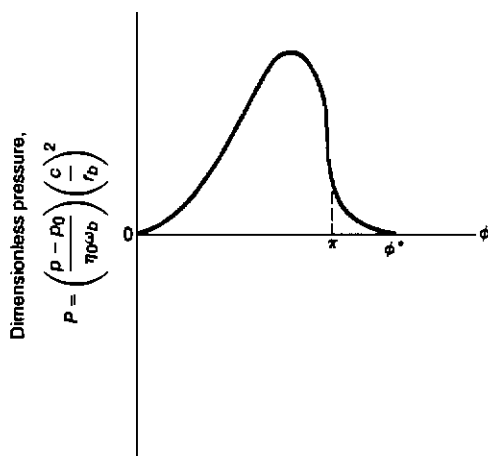
توجه داشته باشید که $\phi = 90^\circ$ وقتی $\varepsilon = 0$ و $\phi = 0^\circ$ وقتی $\varepsilon = 1$ است . محور در بارهای خیلی سبک شروع به حرکت در زاویه قائم به بار اعمال شده می‌کند ، ولی در نهایت محور یاتاقان در طول خط بار ، بخورد می‌کند . مکان هندسی مرکز محور برای شرایط کامل سامر فیلد و نیمه در شکل در شکل ۱۰-۶ نشان داده می‌شود .

۱۰-۱۰-۳ شرایط مرزی رینولدز

همان طور که قبلاً توضیح داده شد حل نیمه سامر فیلد ، نتیجه پیش‌بینی واقعی تری از مؤلفه‌های بار را می‌دهند ، ولی این رهیافت ساده ، منتهی به عدم رعایت پوستگی جریان جرم



شکل ۶-۱۰- مکان هندسی مرکز محور برای حلهای یاتاقان زورنال نیمه سامرفلد و کامل



شکل ۷-۱۰- نمایه نشار برای یک یاتاقان زورنال با استفاده از شرط مرزی رینولدز

در انتهای خروجی منحنی فشار می شود . یعنی در شکل ۳-۱۰ فشار به طور ناگهانی در $\phi = \pi$ صفر می شود و سپس از π تا 2π در صفر باقی می ماند . توزیع فشار میل کننده به مقدار π شرط پیوستگی جریان جرم رعایت نخواهد شد . یک شرط مرزی بهتر ، شرط مرزی رینولدز است ؛ در جایی که داریم :

$$p = 0 \quad \text{and} \quad \frac{dp}{dx} = 0 \quad \text{at } \phi = \phi^* \quad (10-42)$$

شکل ۷-۱۰ یک نمایه فشار برای یاتاقانی است که شرط مرزی رینولدز در آن استفاده شده است.

۱۰-۲ تئوری یاتاقان ژورنال با عرض کوتاه

در فصل ۹، ملاحظه شد که برای یاتاقانهای کف گرد نشت کناری سبب کاهش زیادی در مقدار تئوری ظرفیت حمل بار فیلم سیال یاتاقان می‌شود. حل کامل معادله رینولدز (معادله ۷-۴۸) برای جریان سه بعدی معمولاً کار عددی قابل ملاحظه‌ای می‌برد. یک حل تحلیلی تقریبی مفید، که نشت کناری را در برداشته باشد، در سال ۱۹۵۳ توسط دوبویث^۱ و اکویرک^۲ ارائه شد.

وقتی $0 = u_b = v_b$ و ثابت بودن لزجت، معادلات (۷-۳۸) و (۷-۳۹) می‌شوند:

$$q'_\phi = - \frac{h^3}{12\eta_0 r_b} \frac{\partial p}{\partial \phi} + \frac{hr_b \omega_b}{2} \quad (10-43)$$

$$q'_y = - \frac{h^3}{12\eta_0} \frac{\partial p}{\partial y} \quad (10-44)$$

دوبویث و اکویرک (۱۹۵۳) بیان نمودند که برای یاتاقانهای ژورنال با عرض کوتاه، جمله $(\partial p / \partial \phi) / (h^3 / 12\eta_0 r_b)$ در معادله (۱۰-۴۳) نسبت به $2 / hr_b \omega_b$ کوچک است. یعنی برای یاتاقانهای ژورنال با عرض کوتاه جریان القاء شده توسط فشار درجهت محیطی نسبت به جمله جریان کوتلت، کوچک است. بنابراین آنها فرض کردند که:

$$q'_\phi = \frac{hr_b \omega_b}{2} \quad (10-45)$$

باید تأکید کرد که این فرض دلالت بر آن ندارد که $0 = \partial p / \partial x$ بلکه بیان کننده آن است که $(\partial p / \partial \phi) / (h^3 / 12\eta_0 r_b)$ در عبارات $2 / hr_b \omega_b$ برای یاتاقانهای ژورنال با عرض کم کوچک است. به علاوه این فرض دلالت بر این دارد که جریان (فشار) پویزیل در جهت y ، اهمیت خیلی بیشتری در مقایسه با جهت محیطی (ϕ) دارد. نتیجه این فرض، این است که معادله

رنولزد داده شده در معادله (۷-۴۸) به شکل زیر کاوش می‌یابد:

$$\frac{\partial}{\partial y} \left(h^3 \frac{\partial p}{\partial y} \right) = 6\eta_0 \omega_b \frac{\partial h}{\partial \phi} \quad (10-46)$$

تئوری یاتاقان ژورنال با عرض کوتاه، تاوقتی معتبر است که نسبت قطر به عرض از ۲ بزرگتر باشد ($2 > \lambda$). البته هر چه λ بزرگتر باشد، مقایسه بهتری با تئوری دقیق وجود دارد.

با فرض این که خارج از محوری وجود ندارد، ضخامت فیلم فقط تابعی از y می‌باشد؛ بنابراین قسمت سمت راست معادله (۱۰-۴۶) مستقل از y است. با دوبار انگرال گیری داریم:

$$p = \frac{6\eta_0 \omega_b}{h^3} \frac{\partial h}{\partial \phi} \frac{y^2}{2} + \frac{\tilde{A}y}{h^3} + \tilde{B} \quad (10-47)$$

حال محور y را در مرکز یاتاقان به ترتیبی فرض می‌کنیم که شرایط مرزی را ضمن ارتباطشان با محور y ، بتوان به صورت زیر نوشت:

$$p = 0 \quad \text{when } y = \pm \frac{b}{2}$$

با استفاده از این شرایط مرزی نتیجه می‌شود:

$$\begin{aligned} \tilde{A} &= 0 \\ \tilde{B} &= -\frac{6\eta_0 \omega_b}{h^3} \frac{\partial h}{\partial \phi} \frac{b^2}{8} \\ p &= \frac{3\eta_0 \omega_b}{h^3} \frac{\partial h}{\partial \phi} \left(y^2 - \frac{b^2}{4} \right) \end{aligned} \quad (10-48)$$

ضخامت فیلم در یاتاقان ژورنال، با معادله (۱۰-۵) تعریف شد. گرادیان ضخامت فیلم را می‌توان بدین صورت نوشت:

$$\frac{dh}{d\phi} = -e \sin \phi \quad (10-49)$$

با جایگذاری معادلات (۱۰-۵) و (۱۰-۴۹) در (۱۰-۴۸) داریم :

$$p = \frac{3\eta_0\omega_b\epsilon}{c^2} \left(\frac{b^2}{4} - y^2 \right) \frac{\sin \phi}{(1 + \epsilon \cos \phi)^3} \quad \text{for } 0 \leq \phi \leq \pi \quad (10-50)$$

این معادله را نشان می دهد که تابع سهموی حاکم بر تغییرات محوری فشار است ؟ در جایی که تابع مثلثاتی تغییرات فشار محیط را بیان می کند ، از فشارهای زیر محیطی پیش بینی شده توسط معادله (۱۰-۵۰) صرف نظر نموده و فرض می شود که ناحیه فشار مثبت از $\phi = \pi$ تا $\phi = 0$ بار کلی یاتاقان را تحمل می کند (فرض نیمه سامر قیلد) .

موقعیت فشار بیشینه در $0 / \partial x = \partial p / \partial x$ به دست می آید . از معادله (۱۰-۴۸) داریم :

$$\frac{\partial p}{\partial \phi} = 3\eta_0\omega_b \left(y^2 - \frac{b^2}{4} \right) \frac{\partial}{\partial \phi} \left(\frac{1}{h^3} \frac{\partial h}{\partial \phi} \right) = 0$$

یا

$$-3h^{-4} \left(\frac{\partial h}{\partial \phi} \right)^2 + h^{-3} \frac{\partial^2 h}{\partial \phi^2} = 0$$

با جایگذاری معادلات (۱۰-۵) و (۱۰-۴۹) در این معادله ، می دهد :

$$3\epsilon \sin^2 \phi_m + \cos \phi_m (1 + \epsilon \cos \phi_m) = 0$$

ولی ؛ $\sin^2 \phi_m = 1 - \cos^2 \phi_m$ ، بنابراین داریم :

$$\therefore \phi_m = \cos^{-1} \left[\frac{1 - (1 + 24\epsilon^2)^{1/2}}{4\epsilon} \right] \quad (10-51)$$

توجه داشته باشید که $\phi_m / 2 \rightarrow \pm \pi$ ضمن $0 \rightarrow \epsilon \rightarrow 1$ است . فشار بیشینه وقتی $\phi_m = 0$ و $y = 0$ بیاخد ، اتفاق می افتد . بنابراین از معادله (۱۰-۵۰) ، معادله برای فشار بیشینه می شود :

$$p_m = \frac{3\eta_0\omega_b\epsilon b^2 \sin \phi_m}{4c^2(1 + \epsilon \cos \phi_m)^3} \quad (10-52)$$

مؤلفه‌های بار متوجه از توسعه فشار موازی و عمود بر خط مرکزها تحت فرض نیمه سامرفلد عبارتند از :

$$w_x = 2 \int_0^{\pi} \int_0^{b/2} p r_b \sin \phi \, dy \, d\phi \quad (10-53)$$

$$w_z = -2 \int_0^{\pi} \int_0^{b/2} p r_b \cos \phi \, dy \, d\phi \quad (10-54)$$

با جایگذاری معادله (10-48) در این معادلات ، می دهد :

$$w_x = \frac{\eta_0 \omega_b \epsilon r_b b^3}{2c^2} \int_0^{\pi} \frac{\sin^2 \phi \, d\phi}{(1 + \epsilon \cos \phi)^3}$$

$$w_z = -\frac{\eta_0 \omega_b \epsilon r_b b^3}{2c^2} \int_0^{\pi} \frac{\sin \phi \cos \phi}{(1 + \epsilon \cos \phi)^3} \, d\phi$$

وقتی جایگذاری سامرفلد داده شده در معادله (10-49) استفاده می شود ، داریم

$$w_x = \frac{\eta_0 \omega_b \epsilon r_b b^3}{2c^2 (1 - \epsilon^2)^{3/2}} \int_0^{\pi} \sin^2 \gamma \, d\gamma$$

$$w_z = -\frac{\eta_0 \omega_b \epsilon r_b b^3}{2c^2 (1 - \epsilon^2)^2} \int_0^{\pi} (\sin \gamma \cos \gamma - \epsilon \sin \gamma) \, d\gamma$$

با انجام این انتگرهای معین ، داریم :

$$w_x = \frac{\eta_0 \omega_b r_b b^3}{4c^2} \frac{\pi \epsilon}{(1 - \epsilon^2)^{3/2}} \quad (10-55)$$

$$w_z = \frac{\eta_0 \omega_b r_b b^3}{c^2} \frac{\epsilon^2}{(1 - \epsilon^2)^2} \quad (10-56)$$

بردار بار متوجه برابر است با :

$$w_r = (w_x^2 + w_z^2)^{1/2} = \frac{\eta_0 \omega_b r_b b^3}{4c^2} \frac{\epsilon}{(1 - \epsilon^2)^2} [16\epsilon^2 + \pi^2(1 - \epsilon^2)]^{1/2} \quad (10-57)$$

زاویه جهت موضعی عبارت است از :

$$\Phi = \tan^{-1} \frac{w_x}{w_z} = \tan^{-1} \frac{\pi(1 - \epsilon^2)^{1/2}}{4\epsilon} \quad (10-58)$$

توجه داشته باشید که زاویه فراز بستگی مستقیم به نرخ خارج از مرکزی ϵ دارد ، به ترتیبی که یک منحنی قطبی ϵ در مقابل ϕ برای تمام نسبتها قطر به عرض ($l/b = \lambda_2 = 2r_b$) به کاربرده می شود . معادلات (۱۰-۵۵) تا (۱۰-۵۷) را به صورت بدون بعد می توان این گونه نوشت :

$$W_x = \frac{\omega_x}{\eta_0 \omega_b r_b b} \left(\frac{c}{r_b} \right)^2 = \left(\frac{b}{r_b} \right)^2 \frac{\pi \epsilon}{4(1 - \epsilon^2)^{3/2}} \quad (10-59)$$

$$W_z = \frac{\omega_z}{\eta_0 \omega_b r_b b} \left(\frac{c}{r_b} \right)^2 = \left(\frac{b}{r_b} \right)^2 \frac{\epsilon^2}{(1 - \epsilon^2)^2} \quad (10-60)$$

$$W_r = \frac{\omega_r}{\eta_0 \omega_b r_b b} \left(\frac{c}{r_b} \right)^2 = \left(\frac{b}{r_b} \right)^2 \frac{\epsilon}{4(1 - \epsilon^2)^2} [16\epsilon^2 + \pi^2(1 - \epsilon^2)]^{1/2} \quad (10-61)$$

جریان حجم روان کننده فراهم شده به یاتاقان از طریق یک سوراخ مرکزی با شیار باید برابر با نرخ خالص جریان خارج رونده در طول محور یاتاقان (جهت y) باشد . نشت کلی از اطراف یاتاقان در ناحیه فیلم همگرا (فرض نیمه سامر فیلد) را می توان بیان کرد :

$$q_y = -2r_b \int_0^\pi \left(\frac{h^3}{12\eta_0} \frac{\partial p}{\partial y} \right)_{y=b/2} d\phi$$

با معرفی معادله (۱۰-۴۸) ، داریم :

$$q_y = -\frac{\omega_b r_b b}{2} \int_0^\pi \frac{\partial h}{\partial \phi} d\phi$$

با استفاده از معادله (۱۰-۴۹) می دهد :

$$q_y = \frac{\omega_b r_b b e}{2} \int_0^\pi \sin \phi d\phi = -\frac{\omega_b r_b b e}{2} (\cos \phi)_{\phi=0}^{\phi=\pi} = \omega_b r_b b e \quad (10-62)$$

به صورت بدون بعد این معادله می شود :

$$Q_y = \frac{2q_y \pi}{\omega_b r_b b c} = 2\epsilon \pi \quad (10-63)$$

از این معادله می توان تتجه گرفت که $0 \rightarrow q_y \rightarrow \epsilon$ ضمن $0 \rightarrow$ (بدون نشت کناری) و

ضمن $1 \rightarrow 6$ (نشت کناری کامل) است.

ظرفیت حمل بار به دست آمده از حل یاتاقان با عرض بلند را می‌توان با نتایج تئوری یاتاقان عرض کوتاه مقایسه کرد. یعنی مقایسه معادلات (۱۰-۴۰) و (۱۰-۶۱) تا داشته باشیم:

$$\frac{W \text{ (short-width bearing)}}{W \text{ (long-width bearing)}} = \left(\frac{b}{r_b} \right)^2 \frac{(2 + \varepsilon^2)[16\varepsilon^2 + \pi^2(1 - \varepsilon^2)]^{1/2}}{24(1 - \varepsilon^2)[\pi^2 - \varepsilon^2(\pi^2 - 4)]^{1/2}} \quad (10-64)$$

توجه داشته باشید که از این معادله نسبتهاي بار، توابع b/r_b و ε هستند. تجزیه و تحلیل یاتاقان با عرض بلند، ظرفیت حمل باربرای تمام ε را تخمین اضافی می‌زند و باید برای $\lambda_b < 0.5$ استفاده شود. تئوری یاتاقان عرض کوتاه تخمین خیلی بهتری برای یاتاقانهای معین با نسبتهاي قطربه عرض بزرگتر از $2 \lambda_b = 2rb/b > 2$ فراهم می‌آورد. محدوده مفید b/r_b برای تئوری یاتاقان عرض کوتاه، بستگی به نسبت خارج از مرکزی دارد. تئوری یاتاقان عرض کوتاه، متنه به ظرفیتهاي حمل بار زیاد (بعضی اوقات بیشتر از مقادیر یاتاقان با عرض بلند) در نسبتهاي قطربه عرض کوچک ($\lambda_b = 2rb$) می‌شود.

۱۰-۴ مؤخوه

دقیقاً مثل یاتاقانهای کف‌گرد در فصل ۸، در این فصل معادلات رینولدز برای یاتاقانهای ژورنال تنها به شکل تقریبی به دست آمدند. حلهای تحلیلی فقط برای آسانترین سائل محتمل بودند. یکی از حلها (حل با عرض بی‌نهایت) با محدود کردن جریان به دور بعد، جهات محیطی و عمود بر فیلم و با چشم پوشی از جریان محوری، به دست آمد. حلهای دور بعدی مقدار معینی دارند، زیرا مقدار خیلی زیادی اطلاعات در باره مشخصه‌های عمومی یاتاقان ژورنال فراهم می‌آورند. سه نوع شرط مرزی روی حلهای دور بعدی اعمال شدند. حل کامل سامرفلد، توزیع فشار با تقارن منحنی تولید کرد. کلیه فشارها در فیلم واگرا، پایین تر از فشار محیط بودند و به ندرت با چنین فشارهایی در یاتاقانهای واقعی روبرو می‌شویم. این نتیجه متنه شد به حل نیمه سامرفلد که به سادگی فشار منفی را برابر صفر قرار می‌دهد. حل نیمه سامرفلد در پیش‌بینی مشخصه‌های یاتاقان ژورنال، واقعی‌تر از حل کامل سامرفلد است، ولی این رهیافت ساده متنه به عدم رعایت پوستگی جریان جرم در خروج می‌شود.

این عدم رعایت پوستگی جریان جرم متهی به شرط مرزی سومی در تجزیه و تحلیل یاتاقنهای ژورنال به نام شرایط مرزی رینولدز $dp/dx = 0$ در انتهای خروجی به کار گرفته می‌شود . این نوع شرط مرزی مقایسه بسیار خوبی با نتایج تجربی را نشان می‌دهد .

یک رهیافت تحلیلی تقریبی کامل نیز در این فصل انجام گرفت ، که تصوری یاتاقان ژورنال با عرض کوتاه بود . نتیجه گرفته شد که عبارت جریان پویازل محیطی ، اهمیت کمتری در یاتاقنهای ژورنال با عرض کوتاه در مقایسه با جمله جریان پویازل محوری یا عبارت جریان کوت داشته ؛ بنابراین می‌تواند صرف نظر شود . برای نسبتها قدر به عرض بزرگتر از $2 \lambda_b > 2rb$ (یاتاقنهای ژورنال با عرض کوتاه تخمین خوبی از ظرفیت حمل بار برای یاتاقنهای ژورنال با عرض معین می‌دهد . به هر حال محدوده مفید تصوری یاتاقان ژورنال با عرض کوچک نه فقط بستگی به $2rb/\lambda_b$ ، بلکه همچنین به نسبت خارج از مرکز ϵ دارد . تصوری یاتاقان با عرض کوتاه ظرفیتها حمل بار زیادی را پیش‌بینی می‌کند که بعضی اوقات از حل یاتاقان با عرض بلند در مقدار کوچک $2rb/\lambda_b$ بزرگتر است . شرایط مرزی نیمه سامر فیلد ، استفاده شده برای یاتاقان با عرض بی‌نهایت ، ظرفیت حمل بار عمودی برای تمام نسبتها خارج از مرکز را تخمین اضافی می‌زند .

۱۰-۴ مسائل

۱۰-۴-۱ با شروع از معادله (۱۰-۷) تمام مراحل را در رسیدن به معادله (۱۰-۱۵) ، با استفاده از جایگذاری سامر فیلد ، نشان دهید .

۱۰-۴-۲ نشان دهید چگونه ظرفیت حمل بار متوجه در استفاده از حل کامل سامر فیلد متفاوت با حل نیمه سامر فیلد ، وقتی یاتاقان با عرض بی‌نهایت را به کار می‌گیریم ، است . نتایج را به شکل جدول و رسمی برای نسبتها خارج از مرکز $1 \leq \epsilon \leq 0$ و محدوده کامل نشان دهید

۱۰-۴-۳ نشان دهید چگونه متوجه ظرفیت حمل بار وقی تجزیه و تحلیل یاتاقان با عرض بی‌نهایت و عرض کوتاه را ضمن در نظر گیری محدوده کامل نسبتها خارج از مرکز $1 \leq \epsilon \leq 0$ با یکدیگر متفاوت است . شرط مرزی نیمه سامر فیلد برای هر دو تجزیه و تحلیل در نظر بگیرید . نتایج را به صورت جدول رسمی برای نسبتها قطر به عرض (λ_b) ۱ ، ۲ و ۴ نشان دهید .

۱۰-۵ فهرست منابع و مأخذ

- Booker, J. F. (1965): A Table of the Journal-Bearing Integrals. *J. Basic Eng.*, vol. 87, no. 2, pp. 533-535.
- DuBois, G. B., and Ocvirk, F. W. (1953): Analytical Derivation and Experimental Evaluation of Short-Bearing Approximation for Full Journal Bearings. *NACA Rep.* 1157.
- Sommerfeld, A. (1904): Zur Hydrodynamischen Theorie der Schmiermittelreibung. *Z. Angew. Math. Phys.*, vol. 50, pp. 97-155.

فصل یازدهم

یاتاقانهای ژورنال با بار دینامیکی

در فصل ۱۰ روشهای طراحی برای یاتاقانهای ژورنال با بارگذاری یکنواخت داده شده است و طراح را قادر به تخمین پارامترهای عملکرد بر حسب پارامترهای کار می کند . برای مثال زاویه فراز و نسبت خارج از مرکز را می توان برای هر حالت کاری پایدار محاسبه کرد . از این مقادیر ضخامت فیلم کمینه ، مهمترین کمیت تأثیر گذارنده بر عملکرد یاتاقان را می توان محاسبه نمود .

در خیلی از وضعیتهای کاری مهم یاتاقان ، مقدار و جهت معمولاً به طور متناوب تغییر می کند . مثالهای این مورد شامل ماشینهای رفت و برگشتی مثل موتورهای بخار ، گازوئیل و بنزینی و کمپرسورهای گازی رفت و برگشتی و ماشینهای چرخنده خارج از تعادل از قبیل چرخنده های توربین هستند . یاتاقانها معمولاً به صورت دینامیکی بارگذاری می شوند . به علاوه باید تأکید شود که یاتاقانهای ژورنال معمولاً متعدد نیستند . برای ترکیبات بخصوصی از پارامترهای حالت پایدار عمل ، خود عمل کننده پیچشی ژورنال را می توان حفظ نمود . اگر این اتفاق بیفتند و مورد با بار متغیر باشد ، مدار این پیچش به سرعت افزایش خواهد یافت تا ژورنال و آستین با یکدیگر تماس پیدا کنند . پایداری یاتاقان ژورنال در ماشینهای چرخنده با سرعت زیاد پدیده مهمی است و در نتیجه عملهای ناپایدار همیشه باید مورد اجتناب قرار گیرند . در یاتاقانهای ژورنال با بار دینامیکی ، خارج از مرکزی و زاویه جهت وضعی در سرتاسر دوره بارگذاری تغییر خواهد کرد و باید موازن بود و مطمئن شد که ترکیب بار و سرعت ، یک

ضخامت فیلم کمینه کوچک خطرناکی ایجاد نکند . بیان یک مقدار مطمئن و یکه ضخامت فیلم کمینه فرض آسانی نیست ؛ زیرا به مقدار زیادی بستگی به رهیافت ساخت ، هم محوری اجزاء ماشین مرتبط با این یاتاقانها ، و شرایط عمودی کار شامل محیط این ماشین دارد .

همچنین مهم است که تفاوت بین اثرات دینامیکی در یاتاقانهای روان شونده هیدرودینامیکی و یاتاقانهای با اجزاء چرخنده ، که در فصل ۲۴ آن رابرنسی خواهیم نمود ، تشخیص داده شود . گرچه ساختار حمایتی تشکیل شده توسط اجزاء چرخنده ناپیوسته و درحال حرکت است ، خود یاتاقان راهنمای ممکن است که به عنوان یک جزء صلب ، کشسان و شبیه فنری در نظر گرفت . ثابت‌های فنر برای یاتاقانهای با اجزاء چرخنده معمولاً در جهت کاربرد بار در محدوده $10^8 \times 1$ تا $10^8 \times 4$ فرامی گیرد . اجزاء چرخنده با محور به طور سری عمل کرده و ازشقی حمایت کرده و طبق معادله مجموعه رفت و برگشتی ترکیب می‌شوند . بنابراین اثرات دینامیکی ضمن ارتباط با اثرات فیلم سیال در یاتاقانهای با اجزاء چرخنده ، مهم نیستند و معمولاً در نظر گرفته نمی‌شوند .

یاتاقانهای فیلم سیال هیدرودینامیکی کاملاً مسأله دیگری هستند و بدین جهت موضوع مورد بحث این فصل می‌باشد . متأسفانه آنها نمی‌توانند به عنوان یک فنر مستقیم ساده در نظر گرفته شوند . گرچه یاتاقان فیلم سیال هیدرودینامیکی مقاومت شبیه فنر نشان می‌دهد که بستگی به جابجایی ژورنال نسبت به آستین دارد ، این نیرو به طور خطی با جابجایی ارتباط نداشته و حتی هم خط با آن هم نیست . یک یاتاقان فیلم سیال هیدرودینامیکی اثرات ضربه گیری نشان می‌دهد که نقش مهمی در پایداری این نوع یاتاقان ، دارد .

بیشتر این فصل راه حل داده شده در لاند^۱ (۱۹۶۶ ، ۱۹۷۹ ، ۱۹۸۷) را مورد بحث قرار می‌دهد .

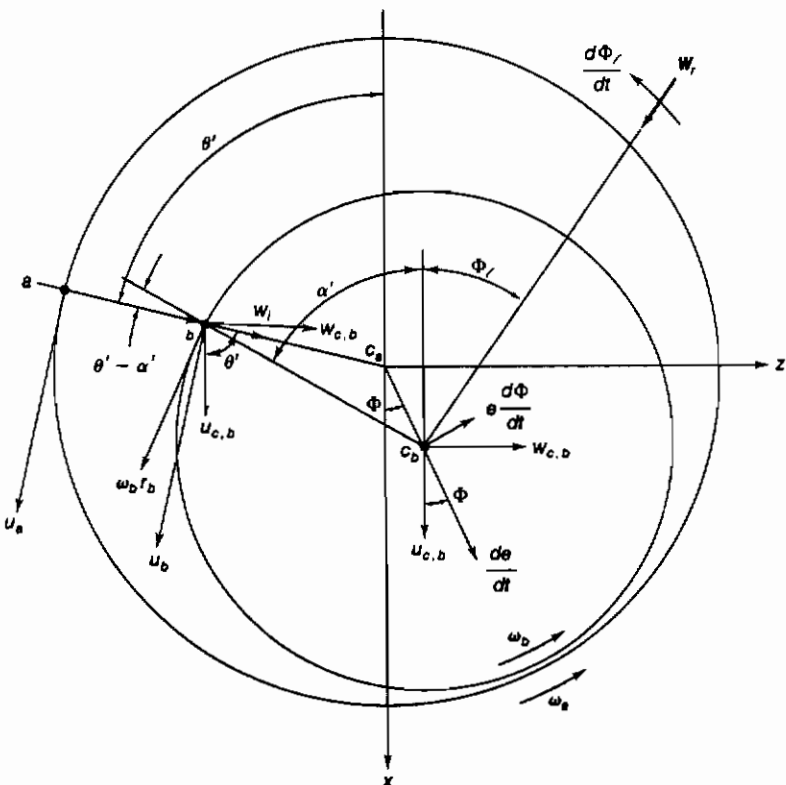
۱۱-۱ معادله رینولدز مربوطه

از معادله (۷-۴۵) معادله عمومی رینولدز را می‌توان این گونه نوشت :

$$\begin{aligned} \frac{\partial}{\partial x} \left(\frac{\rho h^3}{12\eta} \frac{\partial p}{\partial x} \right) + \frac{\partial}{\partial y} \left(\frac{\rho h^3}{12\eta} \frac{\partial p}{\partial y} \right) &= \frac{\partial}{\partial x} \left[\frac{\rho h(u_a + u_b)}{2} \right] + \frac{\partial}{\partial y} \left[\frac{\rho h(v_a + v_b)}{2} \right] \\ + \rho(w_a - w_b) - \rho u_a \frac{\partial h}{\partial x} - \rho v_a \frac{\partial h}{\partial y} + h \frac{\partial \rho}{\partial t} \end{aligned} \quad (۷-۴۵)$$

شکل هندسی فیلم و مؤلفه های سرعت در یک یاتاقان ژورنال با بار دینامیکی در شکل ۱۱-۱ نشان داده می شود . این شکل یک پارامتر، Φ ، جهت تابع زمان بار نسبت به محور مختصات ثابت را معرفی می کند . توجه داشته باشید که زاویه فراز از محور x ثابت اندازه گیری می شود، بنابراین محور x باید درجهت قسمت حالت پایدار بار قرار گرفته شود ، به ترتیبی که با مفهوم زوایای فراز معرفی شده در فصل ۱۰ موافقت داشته باشد . همچنین به تفاوت بین محور x به کار گرفته شده در معادله (۷-۴۵) ، که در جهت ضخامت فیلم پیچیده نشده (شکل ۱۰-۲ را بینید) است ، و محور استفاده شده در شکل ۱۱-۱ توجه کنید . ضخامت فیلم در این فصل از $\theta = 0$ تا $2\pi = \theta$ تشریح خواهد شد ، در جایی که θ به محور ϕ استفاده شده در فصل ۱۰ مطابق :

$$\theta' = \phi + \Phi \quad (11-1)$$



شکل ۱۱-۱- شکل هندسی فیلم و مؤلفه های سرعت در یاتاقان ژورنال با بار دینامیکی

مرتبط می شود . این معادله ، موقعیت در ضخامت فیلم نسبت به محور مختصات ثابت و مستقل از زاویه وضعی بالا فاصله را تعیین می کند . همچنین از شکل ۱۱-۱ مشخص است که شعاع آستین c برابر با شعاع ژورنال b به علاوه لقی شعاع c است .

معادله عمومی رینولدز ، معادله (۷-۴۵) ، می تواند برای هر قسمت از فیلم روغن به کار گرفته شود . سرعتهای سطحی در نقاط a و b در شکل ۱۱-۱ را می توان به صورت زیر نوشت :

$$u_a = \omega_a r_a \quad (11-2)$$

$$u_b = \omega_b r_b \cos(\theta' - \alpha') + u_{c,b} \sin \theta' - w_{c,b} \cos \theta' \quad (11-3)$$

$$v_a = v_b = 0 \quad (\text{بدون حرکت در جهت } y) \quad (11-4)$$

$$w_a = 0 \quad (\text{آستین حول مرکز خودش می چرخد}) \quad (11-5)$$

$$w_b = -\omega_b r_b \sin(\theta' - \alpha') + u_{c,b} \cos \theta' + w_{c,b} \sin \theta' \quad (11-6)$$

سرعت در مرکز ژورنال موازی با محور x که در آن

سرعت در مرکز ژورنال عمود بر محور x

توجه داشته باشید که از شکل ۱۱-۱ خارج از مرکزی مشخص شده با e ، فاصله بین مرکز ژورنال c و مرکز آستین c است . از شکل ۱۱-۱ داریم :

$$u_{c,b} = \frac{de}{dt} \cos \Phi - e \frac{d\Phi}{dt} \sin \Phi \quad (11-7)$$

$$w_{c,b} = \frac{de}{dt} \sin \Phi + e \frac{d\Phi}{dt} \cos \Phi \quad (11-8)$$

شکل ۱۱-۱ نیز نشان می دهد که رابطه زیر بین θ' و α' وجود دارد :

$$r_b \cos \alpha' = e \cos \Phi + |c_a a| \cos \theta' \quad (11-9)$$

$$r_b \sin \alpha' = e \sin \Phi + |c_a a| \sin \theta' \quad (11-10)$$

با ضرب کردن معادله (۱۱-۹) توسط $\sin \theta$ ، ضرب کردن معادله (۱۱-۱۰) توسط $\cos \theta$ و تغزیق این مقدار داریم :

$$r_b \sin(\theta' - \alpha') = e \sin(\theta' - \Phi) \quad (11-11)$$

با جایگذاری معادلات (۱۱-۱) ، (۱۱-۷) ، و (۱۱-۸) در معادلات (۱۱-۳) و (۱۱-۶) خواهیم داشت :

$$u_b = \omega_b r_b \left[1 - \frac{e^2}{r_b^2} \sin^2(\theta' - \Phi) \right]^{1/2} + \frac{de}{dt} \sin(\theta' - \Phi) - e \frac{d\Phi}{dt} \cos(\theta' - \Phi) \quad (11-12)$$

$$w_b = -\omega_b e \sin(\theta' - \Phi) + \frac{de}{dt} \cos(\theta' + \Phi) + e \frac{d\Phi}{dt} \sin(\theta' - \Phi) \quad (11-13)$$

ضخامت فیلم را می توان از معادلات (۱۰-۵) و (۱۱-۱) شرح داد :

$$h = c + e \cos(\theta' - \Phi) \quad (11-14)$$

توجه داشته باشید که در معادله (۱۱-۱۴) ، تمام جملات از اندازه e^2/r^2 صرف نظر شده است . همین طور در معادله (۱۱-۱۲) با صرف نظر کردن از جملات با بزرگی e^2/r^2 داریم :

$$u_b = \omega_b r_b + \frac{de}{dt} \sin(\theta' - \Phi) - e \frac{d\Phi}{dt} \cos(\theta' - \Phi) \quad (11-15)$$

به علاوه با صرف نظر کردن انحصار فیلم ، محور x در فیلم پیچیده نشده را به صورت زیر داریم :

$$x = r_a \theta'$$

بنابراین :

$$dx = r_a d\theta' \quad (11-16)$$

با جایگذاری معادلات (۱۱-۲) ، (۱۱-۴) ، (۱۱-۵) ، (۱۱-۱۳) ، (۱۱-۱۵) و (۱۱-۶) در معادله (۷-۴۵) ضمن فرض سیال غیرقابل تراکم ، داریم :

$$\begin{aligned}
 & \frac{1}{r_a^2} \frac{\partial}{\partial \theta'} \left(\frac{h^3}{12\eta} \frac{\partial p}{\partial \theta'} \right) + \frac{\partial}{\partial y} \left(\frac{h^3}{12\eta} \frac{\partial p}{\partial y} \right) \\
 &= \frac{1}{2r_a} \frac{\partial}{\partial \theta'} \left\{ h \left[\omega_b(r_a - c) + \frac{de}{dt} \sin(\theta' - \Phi) - e \frac{d\Phi}{dt} \cos(\theta' - \Phi) + \omega_a r_a \right] \right\} \\
 &\quad - \omega_b e \sin(\theta' - \Phi) + \frac{de}{dt} \cos(\theta' - \Phi) + e \frac{d\Phi}{dt} \sin(\theta' - \Phi) \\
 &\quad - \frac{1}{r_a} \frac{\partial h}{\partial \theta'} \left[\omega_b(r_a - c) + \frac{de}{dt} \sin(\theta' - \Phi) - e \frac{d\Phi}{dt} \cos(\theta' - \Phi) \right] \quad (11-17)
 \end{aligned}$$

نهایا با نگهداشتن جملات از درجه اول در سمت راست این معادله ، داریم :

$$\begin{aligned}
 & \frac{1}{r_a^2} \frac{\partial}{\partial \theta'} \left(\frac{h^3}{12\eta} \frac{\partial p}{\partial \theta'} \right) + \frac{\partial}{\partial y} \left(\frac{h^3}{12\eta} \frac{\partial p}{\partial y} \right) \\
 &= \frac{1}{2} (\omega_a + \omega_b) \frac{\partial h}{\partial \theta'} + \frac{de}{dt} \cos(\theta' - \Phi) + e \frac{d\Phi}{dt} \sin(\theta' - \Phi) \quad (11-18 \text{ الف})
 \end{aligned}$$

یا

$$\begin{aligned}
 & \frac{1}{r_a^2} \frac{\partial}{\partial \theta'} \left(\frac{h^3}{12\eta} \frac{\partial p}{\partial \theta'} \right) + \frac{\partial}{\partial y} \left(\frac{h^3}{12\eta} \frac{\partial p}{\partial y} \right) \\
 &= \left[\frac{1}{2} (\omega_a + \omega_b) - \omega \right] \frac{\partial h}{\partial \theta'} + \frac{de}{dt} \cos(\theta' - \Phi) \quad (11-18 \text{ ب})
 \end{aligned}$$

که در آن : سرعت چرخشی ژورنال حول مرکز آستین ، وقتی $\omega = d\Phi/dt$ نسبت خارج از مرکز ثابت است .

معادله (11-18) معادله حاکم برای توزیع فشار در یاتاقانهای ژورنال با در نظر گیری موقعیت ژورنال وابسته به زمان است . این معادله برای موقع بخصوص به شکلها می‌زیر ساده می‌شود .

۱-۱-۱۱ شرایط حالت یکنواخت

برای $de/dt = d\Phi/dt = 0$ ، معادله (۱۱-۱۸) می‌شود :

$$\frac{1}{r_a^2} \frac{\partial}{\partial \theta'} \left(\frac{h^3}{12\eta} \frac{\partial p}{\partial \theta'} \right) + \frac{\partial}{\partial y} \left(\frac{h^3}{12\eta} \frac{\partial p}{\partial y} \right) = \frac{1}{2} (\omega_a + \omega_b) \frac{\partial h}{\partial \theta'} \quad (11-19)$$

این شکل معادله رینولدز به کار گرفته شده در تجزیه و تحلیل یاتاقانهای ژورنال با بار ناپایدار است که در فصل ۱۰ (معادله ۱۰-۱) در نظر گرفته شد ، ولی با صرف نظر کردن از جمله نشت کناری است . با استفاده از فرضهای یاتاقان ژورنال با عرض کوتاه ، معادله (۱۰-۴۶) از شکل (۱۱-۹) تنها زمانی که یک سطح در حال حرکت باشد ، ساده می‌شود . توجه داشته باشید که معادله (۱۱-۱۹) سه عمل فیزیکی مختلف ژورنال نسبت به آستین را شرح می‌دهد :

- ۱ اگر آستین و ژورنال در یک جهت بچرخدن ، جمله کوت افزایش یافته و ظرفیت حمل بار بیشتری را باعث می‌شود .
- ۲ اگر ω_a و ω_b ، در جهتهای مخالف هستند ، ظرفیت حمل بار کاهش می‌یابد .
- ۳ اگر $\omega_a = -\omega_b$ ، یعنی این که سرعتها مساوی ، ولی با علامت مخالف ، این یاتاقان هیچ ظرفیت حمل بار نخواهد داشت .

۱-۱-۱۲ نبودن چرخش

برای $\omega_a = \omega_b = 0$ و :

$$\omega = \frac{\partial \Phi}{\partial t} = 0 \quad (11-20)$$

معادله (۱۱-۱۸) تبدیل به شکل زیر می‌شود :

$$\frac{\partial}{\partial \phi} \left(\frac{h^3}{\eta} \frac{\partial p}{\partial \phi} \right) + r_a^2 \frac{\partial}{\partial y} \left(\frac{h^3}{\eta} \frac{\partial p}{\partial y} \right) = 12r_a^2 \frac{\partial e}{\partial t} \cos(\theta' - \Phi) \quad (11-21)$$

این معادله مربوط به فیلم فشرده معمولی برای یک یاتاقان ژورنال است .

۱۱-۱-۳ پیچش نیمه متناوب

اگر مرکز ژورنال حول مرکز آستین ، ضمن این که خارج از مرکزی ثابت باقی مانده و آستین ساکن باشد با نصف سرعت چرخشی محور بچرخد ، پیچش نیمه متناوب رخ می دهد .

$$\therefore \frac{de}{dt} = \omega_a = 0 \quad \text{and} \quad \omega = \frac{\partial \Phi}{\partial t} = \frac{\omega_b}{2} \quad (11-22)$$

وقتی این اتفاق می افتد ، سمت راست معادله (۱۱-۱۸) به صفر تقلیل یافته و داریم :

$$\frac{\partial}{\partial \phi} \left(\frac{h^3}{\eta} \frac{\partial p}{\partial \phi} \right) + r_a^2 \frac{\partial}{\partial y} \left(\frac{h^3}{\eta} \frac{\partial p}{\partial y} \right) = 0 \quad (11-23)$$

این مشخص کننده یک فشار ثابت (صفر) در سرتاسر یاتاقان است . اگر محور حول مرکز یاتاقان با سرعت چرخشی برابر با نصف سرعت محور بچرخد ، ظرفیت حمل بار توری صفر است و این پدیده «پیچش نیمه سرعت» نامیده می شود .

۱۱-۲ حل سامرفلید یاتاقان ژورنال با عرض بی نهایت

حلهای تحلیلی برای معادله (۱۱-۱۸) برای هر دو فرضهای یاتاقان با عرض بی نهایت و عرض کوتاه ، که در فصل ۱۰ بحث شد ، ممکن است . در این فصل فقط حمل یاتاقان ژورنال با عرض بی نهایت و بارگذاری دینامیکی ارائه خواهد شد . اگر از جمله نشت کناری صرف نظر شود ، معادله (۱۱-۱۸) را می توان نوشت :

$$\frac{\partial}{\partial \phi} \left(\frac{h^3}{\eta} \frac{\partial p}{\partial \phi} \right) = 12r_a^2 \left[\left(\frac{\omega_a + \omega_b}{2} - \omega \right) \frac{\partial h}{\partial \theta'} + \frac{de}{dt} \cos(\theta' - \Phi) \right] \quad (11-24)$$

با انتگرال گیری معادله (۱۱-۲۴) ضمن استفاده از معادلات (۱۱-۱۴) و (۱۱-۱) می دهد :

$$\frac{\partial p}{\partial \phi} = \frac{12\eta \left(\frac{r_a}{c} \right)^2 \left[\frac{\partial e}{\partial t} \sin \phi - \varepsilon \cos \phi \left(\omega - \frac{\omega_a + \omega_b}{2} \right) - \tilde{A} \right]}{(1 + \varepsilon \cos \phi)^3} \quad (11-25)$$

با انتگرال گیری دوباره ، ضمن فرض این که لزجت در جهت محاطی تغییر می کند ، نتیجه می دهد :

$$p = 12\eta_0 \left(\frac{r_a}{c}\right)^2 \int \frac{\frac{\partial \varepsilon}{\partial t} \sin \phi - \varepsilon \cos \phi \left(\omega - \frac{\omega_a + \omega_b}{2}\right) - \tilde{A}}{(1 + \varepsilon \cos \phi)^3} d\phi + \text{constant} \quad (11-26)$$

از جایگذاری سامر فیلد ارائه شده در فصل ۱۰ ، فشار را می توان نوشت :

$$p = 12\eta_0 \left(\frac{r_a}{c}\right)^2 \left\{ \begin{aligned} & \frac{\partial \varepsilon / \partial t}{2\varepsilon(1 + \varepsilon \cos \phi)^2} - \left(\omega - \frac{\omega_a + \omega_b}{2}\right) \\ & \times \left[\frac{\gamma - \varepsilon \sin \gamma}{(1 - \varepsilon^2)^{3/2}} - \frac{\left(\frac{2 + \varepsilon^2}{2}\right)\gamma - 2\varepsilon \sin \gamma + \frac{\varepsilon^2}{4} \sin 2\gamma}{(1 - \varepsilon^2)^{5/2}} \right] \\ & - \frac{\tilde{A} \left[\frac{(2 + \varepsilon^2)}{2} - 2\varepsilon \sin \gamma + \frac{\varepsilon^2}{4} \sin 2\gamma \right]}{(1 - \varepsilon^2)^{5/2}} + \tilde{B} \end{aligned} \right\} \quad (11-27)$$

شرط مرزی برای حل کامل معادله سامر فیلد فرض می کند که یک فیلم روغن پیوسته در اطراف این یاتاقان به طور کامل (مثلث بدون کاویتاسیون) وجود دارد . بنابراین $\pi = p_\phi + 2\pi$ در تمام نقاط شامل $\phi = 0$ است . از معادله (11-27) داریم :

$$(p)_{\phi=0, \gamma=0} = 12\eta_0 \left(\frac{r_a}{c}\right)^2 \left[\frac{\partial \varepsilon / \partial t}{2\varepsilon(1 + \varepsilon)^2} + \bar{B} \right] \quad (11-28)$$

$$(p)_{\phi=2\pi, \gamma=2\pi} = 12\eta_0 \left(\frac{r_a}{c}\right)^2 \left[\frac{\partial \varepsilon / \partial t}{2\varepsilon(1 + \varepsilon)^2} + \frac{3\pi\varepsilon^2 \left(\omega - \frac{\omega_a + \omega_b}{2}\right)}{(1 - \varepsilon^2)^{5/2}} - \frac{\pi(2 + \varepsilon^2)\tilde{A}}{(1 - \varepsilon^2)^{5/2}} + \tilde{B} \right] \quad (11-29)$$

بنابراین اگر $(p)_{\phi=0} = (p)_{\phi=2\pi} = p_0$ ، داریم :

$$\tilde{A} = \frac{3\varepsilon^2}{2 + \varepsilon^2} \left(\omega - \frac{\omega_a + \omega_b}{2}\right) \quad (11-30)$$

$$\tilde{B} = \frac{p_0}{12\eta_0(r_a/c)^2} - \frac{\partial \varepsilon / \partial t}{2\varepsilon(1 + \varepsilon)^2} \quad (11-31)$$

بنابراین با جایگذاری معادلات (۱۱-۳۰) و (۱۱-۳۱) در (۱۱-۲۷) ، می دهد :

$$p - p_0 = 6\eta_0 \left(\frac{r_a}{c} \right)^2 \left\{ \frac{\partial \varepsilon / \partial t}{\varepsilon} \left[\frac{1}{(1 + \varepsilon \cos \phi)^2} - \frac{1}{(1 + \varepsilon)^2} \right] + [2\omega - (\omega_a + \omega_b)] \frac{\varepsilon \sin \gamma (\varepsilon \cos \gamma - 2 + \varepsilon^2)}{(2 + \varepsilon^2)(1 - \varepsilon^2)^{3/2}} \right\} \quad (11-32)$$

با تبدیل متغیر سامر فیلد از γ به ϕ فشار را به صورت زیر داریم :

$$p - p_0 = 6\eta_0 \left(\frac{r_a}{c} \right)^2 \left\{ \frac{\partial \varepsilon / \partial t}{\varepsilon} \left[\frac{1}{(1 + \varepsilon \cos \phi)^2} - \frac{1}{(1 + \varepsilon)^2} \right] + (\omega_a + \omega_b - 2\omega) \frac{\varepsilon \sin \phi (2 + \varepsilon \cos \phi)}{(2 + \varepsilon^2)(1 + \varepsilon \cos \phi)^2} \right\} \quad (11-33)$$

توجه داشته باشید که اگر به جای حل کامل سامر فیلد حل نیمه سامر فیلد مورد نظر باشد ، معادله (۱۱-۳۳) تا وقتی $p > 0$ است معتبر می باشد . اگر $p < 0$ باشد فشار برابر با صفر قرار می گیرد ($p = 0$) . معادله (۱۱-۳۳) قادر خواهد بود که فشار را در یک یاتاقان ژورنال با بار دینامیکی محاسبه نماید ، وقتی $d\varepsilon / dt = 0$ و $d\Phi / dt = 0$ بوده $\omega = d\Phi / dt$ در هر نسبت خارج از مرکز شناخته هستند را قادر به تعیین می کند . معادله (۱۱-۳۳) اگر $\partial\varepsilon / \partial t = 0$ و $\omega_a = \omega_b = 0$ باشد ، به معادله (۱۰-۱۵) ، معادلات حالت یکنواخت برای حل سامر فیلد کلی ، تقلیل می یابد .

مؤلفه های نیروی عمود و در طول خط مرکزها را می توان از معادلات (۱۰-۲۲) و (۱۰-۲۳) نوشت . با جایگذاری معادلات (۱۱-۲۵) و (۱۱-۳۰) در این معادلات ، ضمن استفاده از جایگذاری سامر فیلد بحث شده در فصل ۱۰ ، داریم :

$$\dot{w}_x' = 12\pi\eta_0 r_a \left(\frac{r_a}{c} \right)^2 \frac{\varepsilon(\omega_a + \omega_b - 2\omega)}{(2 + \varepsilon^2)(1 - \varepsilon^2)^{1/2}} \quad (11-34)$$

$$\dot{w}_z' = 12\pi\eta_0 r_a \left(\frac{r_a}{c} \right)^2 \frac{\partial\varepsilon / \partial t}{(1 - \varepsilon^2)^{3/2}} \quad (11-35)$$

این معادلات برای حل کامل سامر فیلد داده شده در معادلات (۱۰-۲۶) و (۱۰-۲۷) وقتی $\omega = \omega_a = \omega_b = \partial\varepsilon / \partial t = 0$ باشد ، به شکل حالت یکنواخت تقلیل می یابد .

از شکل ۱-۱۱ عبارات زیر را می توان بیان کرد :

$$w'_z = \frac{w_r}{b} \sin \Phi,$$

$$w'_x = \frac{w_r}{b} \cos \Phi,$$

مور迪ک چرخنده با جرم m_2 ، حمایت شده در دو یاتاقان ژورنال مشابه و کاملاً هم مرکز را در نظر بگیرید . با استفاده از تقریب یاتاقان با عرض بی نهایت ، معادله حرکت برای این ژورنال را می توان نوشت :

$$\begin{Bmatrix} m_a & 0 \\ 0 & m_a \end{Bmatrix} \frac{\partial^2}{\partial t^2} \begin{Bmatrix} e \cos \Phi \\ e \sin \Phi \end{Bmatrix} = \begin{Bmatrix} w_r \cos \Phi \\ w_r \sin \Phi \end{Bmatrix} - \begin{Bmatrix} w_x \\ w_z \end{Bmatrix} \quad (11-36)$$

که در آن ω و $\dot{\omega}$ از معادلات (11-۳۴) و (11-۳۵) به دست می آیند . این معادلات ، حتی اگر ω و Φ توابع معلومی از زمان باشند خیلی غیرخطی هستند . عبارات مشرووحه برای e و Φ را نمی توان به دست آورد . زمانی که تشوری یاتاقان ژورنال با عرض کوتاه را در نظر بگیریم ، همین مشکلات را خواهیم داشت .

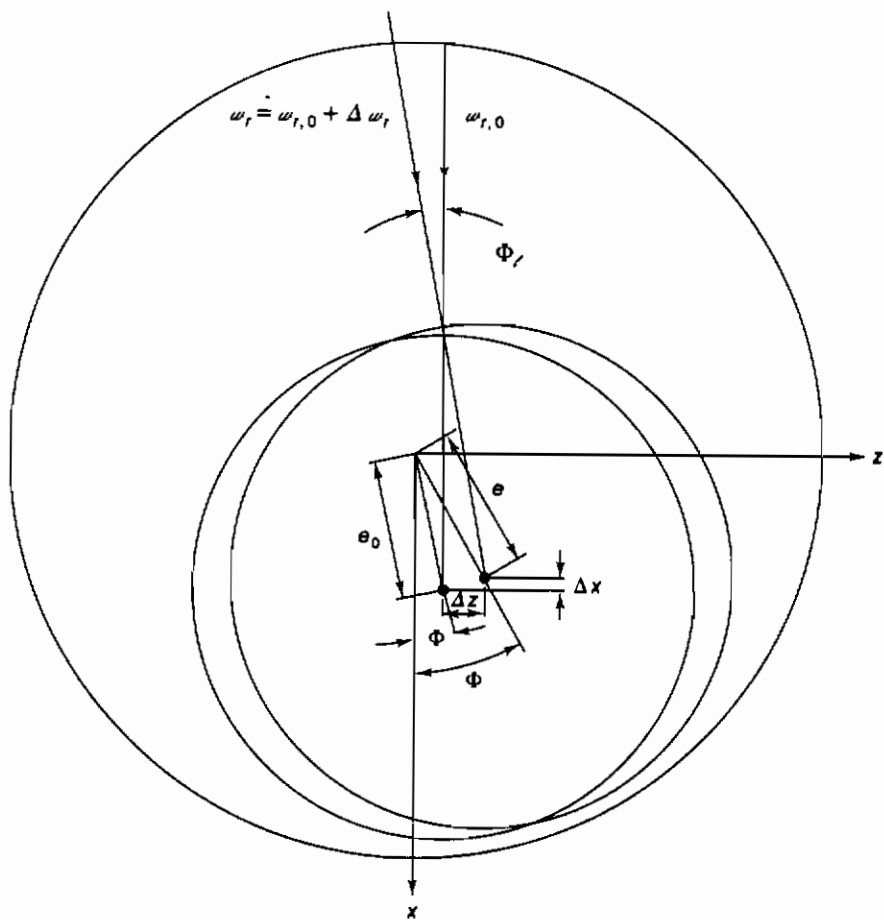
۱۱-۳ خطی سازی عکس العمل یاتاقان

یک روش برای مقابله با معادلات خیلی غیرخطی حرکت تشریح شده در قسمت قبلی ، خطی کردن عکس العمل یاتاقان حول یک موقعیت ژورنال شبه پایدار است . شکل ۱۱-۲ اثر تغییر بار روی موقعیت محور یاتاقان را نشان می دهد . پارامترهای مرتبط با این تغییرات نیز در این شکل نشان داده می شوند که در آن زیرنویس ۰ به موقعیت نیمه حالت یکنواخت اشاره کرده ، و Δx و Δz جابجایی محور ، دور از این موقعیت می باشند .

نتجه بار عکس العمل ارائه شده در شکل ۱۱-۲ ، مؤلفه های ω و $\dot{\omega}$ دارند . با انجام یک بسط تیلور از مرتبه اول برای این مؤلفه ها داریم :

$$w_x = (w_x)_0 + \left(\frac{\partial w_x}{\partial x} \right)_0 \Delta x + \left(\frac{\partial w_x}{\partial z} \right)_0 \Delta z + \left(\frac{\partial w_x}{\partial \dot{x}} \right)_0 \Delta \dot{x} + \left(\frac{\partial w_x}{\partial \dot{z}} \right)_0 \Delta \dot{z} \quad (11-37)$$

$$w_z = (w_z)_0 + \left(\frac{\partial w_z}{\partial x} \right)_0 \Delta x + \left(\frac{\partial w_z}{\partial z} \right)_0 \Delta z + \left(\frac{\partial w_z}{\partial \dot{x}} \right)_0 \Delta \dot{x} + \left(\frac{\partial w_z}{\partial \dot{z}} \right)_0 \Delta \dot{z} \quad (11-38)$$



شکل ۱۱-۲- اثر تغییر بار روی موقعیت محور یاتاقان و پارامترهای مربوطه با این تغییرات

که در آن علامت (۰) دلالت بر مشتق نسبت به زمان دارد . به خاطر داشته باشید که جهت محور طوری انتخاب شده که $\omega_0 = 0$ باشد . با انتخاب :

$$\begin{aligned}
 k_{xx} &= \left(\frac{\partial w_x}{\partial x} \right)_0 & k_{xz} &= \left(\frac{\partial w_x}{\partial z} \right)_0 & k_{zx} &= \left(\frac{\partial w_z}{\partial x} \right)_0 & k_{zz} &= \left(\frac{\partial w_z}{\partial z} \right)_0 \\
 b_{xx} &= \left(\frac{\partial w_x}{\partial \dot{x}} \right)_0 & b_{xz} &= \left(\frac{\partial w_x}{\partial \dot{z}} \right)_0 & b_{zx} &= \left(\frac{\partial w_z}{\partial \dot{x}} \right)_0 & b_{zz} &= \left(\frac{\partial w_z}{\partial \dot{z}} \right)_0
 \end{aligned} \tag{11-۳۹}$$

اجازه می دهد که معادلات (۱۱-۳۷) و (۱۱-۳۸) به صورت زیر بیان شوند :

$$\begin{pmatrix} w_x \\ w_z \end{pmatrix} = \begin{pmatrix} (w_x)_0 \\ 0 \end{pmatrix} + \begin{pmatrix} k_{xx} & k_{xz} \\ k_{zx} & k_{zz} \end{pmatrix} \begin{pmatrix} \Delta x \\ \Delta z \end{pmatrix} + \begin{pmatrix} b_{xx} & b_{xz} \\ b_{zx} & b_{zz} \end{pmatrix} \begin{pmatrix} \Delta \dot{x} \\ \Delta \dot{z} \end{pmatrix} \quad (11-40)$$

این نوع معادلات خطی شده را می توان به سادگی با تعیین ضرایب خطی کننده k_{ij} و b_{ij} حل کرد.

بسط مرتبه اول مشابهی از نمایه فشار را در نظر بگیرید :

$$p = (p)_0 + \left(\frac{\partial p}{\partial x} \right)_0 \Delta x + \left(\frac{\partial p}{\partial z} \right)_0 \Delta z + \left(\frac{\partial p}{\partial \dot{x}} \right)_0 \Delta \dot{x} + \left(\frac{\partial p}{\partial \dot{z}} \right)_0 \Delta \dot{z} \quad (11-41)$$

برای سادگی علامت ، فرض کنید :

$$(p)_0 = p_0 \quad \left(\frac{\partial p}{\partial x} \right)_0 = p_x \quad \left(\frac{\partial p}{\partial z} \right)_0 = p_z \quad \left(\frac{\partial p}{\partial \dot{x}} \right)_0 = p_{\dot{x}} \quad \left(\frac{\partial p}{\partial \dot{z}} \right)_0 = p_{\dot{z}}$$

مؤلفه های عکس العمل یاتاقان بالاتگرال گیری معادله (۱۱-۴۱) روی مساحت یاتاقان پیدامی شوند :

$$\begin{pmatrix} w_x \\ w_z \end{pmatrix} = \int_y \int_{\theta'} (p_0 + p_x \Delta x + p_z \Delta z + p_{\dot{x}} \Delta \dot{x} + p_{\dot{z}} \Delta \dot{z}) \begin{pmatrix} \cos \theta' \\ \sin \theta' \end{pmatrix} r_a d\theta' dy \quad (11-42)$$

جملات پر تریشن Δx ، Δz ، $\Delta \dot{x}$ و $\Delta \dot{z}$ مستقل از متغیرهای انتگرال بوده؛ بنابراین، از معادلات (۱۱-۴۰) و (۱۱-۴۲) داریم :

$$\begin{pmatrix} (w_x)_0 \\ 0 \end{pmatrix} = \begin{pmatrix} \int_y \int_{\theta'} p_0 \cos \theta' r_a dy d\theta' \\ \int_y \int_{\theta'} p_0 \sin \theta' r_a dy d\theta' \end{pmatrix} \quad (11-43)$$

$$\begin{pmatrix} k_{xx} & k_{xz} \\ k_{zx} & k_{zz} \end{pmatrix} = \begin{pmatrix} \int_y \int_{\theta'} p_x \cos \theta' r_a dy d\theta' & \int_y \int_{\theta'} p_z \cos \theta' r_a dy d\theta' \\ \int_y \int_{\theta'} p_x \sin \theta' r_a dy d\theta' & \int_y \int_{\theta'} p_z \sin \theta' r_a dy d\theta' \end{pmatrix} \quad (11-44)$$

$$\begin{Bmatrix} b_{xx} & b_{xz} \\ b_{zx} & b_{zz} \end{Bmatrix} = \begin{Bmatrix} \int_y \int_{\theta'} p_i \cos \theta' r_a dy d\theta' & \int_y \int_{\theta'} p_i \cos \theta' r_a dy d\theta' \\ \int_y \int_{\theta'} p_i \sin \theta' r_a dy d\theta' & \int_y \int_{\theta'} p_i \sin \theta' r_a dy d\theta' \end{Bmatrix} \quad (11-45)$$

معادله (۱۱-۴۳) حل حالت یکنواخت است . از این معادلات ما احتیاج داریم که p_z و \dot{p}_z را تعیین کنیم .

از شکل ۱۱-۲ داریم :

$$e_0 \cos \Phi_0 + \Delta x = e \cos \Phi \quad (11-46)$$

$$e_0 \sin \Phi_0 + \Delta z = e \sin \Phi \quad (11-47)$$

با جایگذاری معادلات (۱۱-۴۶) و (۱۱-۴۷) در معادله (۱۱-۱۴) می‌دهد :

$$h = h_0 + \Delta x \cos \theta' + \Delta z \sin \theta' \quad (11-48)$$

که در آن ، داریم :

$$h_0 = c + e_0 \cos(\theta' - \Phi_0) \quad (11-49)$$

همچنین از معادله (۱۱-۱۴) ، می‌دهد :

$$\frac{dh}{dt} = \frac{de}{dt} \cos(\theta' - \Phi) + e \frac{d\Phi}{dt} \sin(\theta' - \Phi) \quad (11-50)$$

یا مستقیماً از معادله (۱۱-۴۸) ، می‌دهد :

$$\frac{dh}{dt} = \Delta \dot{x} \cos \theta' + \Delta \dot{z} \sin \theta' \quad (11-51)$$

وقتی هیچ گونه خارج از محوری وجود ندارد ، ($y \neq f$) ، $h = 0$ باشد ، معادله (۷-۵۸) را می‌توان به صورت غیرقابل تراکم فرض شود و

زیربیان کرد:

$$\frac{1}{r_a^2} \frac{\partial}{\partial \theta'} \left(\frac{h^3}{12\eta} \frac{\partial p}{\partial \theta'} \right) + h^3 \frac{\partial}{\partial y} \left(\frac{1}{12\eta} \frac{\partial p}{\partial y} \right) = \frac{\omega_b}{2} \frac{\partial h}{\partial \theta'} + \frac{\partial h}{\partial t} \quad (11-52)$$

این معادله وقتی $\omega_b = 0$ و با استفاده از معادله (الف ۱۱-۵۰) معادل معادله (۱۱-۵۰) است. با استفاده از معادلات (۱۱-۴۱) و (۱۱-۴۸)، معادله (۱۱-۵۲) را به صورت زیر داریم:

$$\begin{aligned} & \frac{1}{r_a^2} \frac{\partial}{\partial \theta'} \left[\frac{(h_0 + \Delta x \cos \theta' + \Delta z \sin \theta')^3}{12\eta} \right. \\ & \quad \times \left. \frac{\partial}{\partial \theta'} (p_0 + p_x \Delta x + p_z \Delta z + p_{\dot{x}} \Delta \dot{x} + p_{\dot{z}} \Delta \dot{z}) \right] \\ & \quad + (h_0 + \Delta x \cos \theta' + \Delta z \sin \theta')^3 \\ & \quad \times \frac{\partial}{\partial y} \left[\frac{1}{12\eta} \frac{\partial}{\partial y} (p_0 + p_x \Delta x + p_z \Delta z + p_{\dot{x}} \Delta \dot{x} + p_{\dot{z}} \Delta \dot{z}) \right] \\ & = \frac{\omega_b}{2} \frac{\partial}{\partial \theta'} (h_0 + \Delta x \cos \theta' + \Delta z \sin \theta') + \Delta \dot{x} \cos \theta' + \Delta \dot{z} \sin \theta' \quad (11-53) \end{aligned}$$

جمع آوری جملات با مرتبه مساوی، می دهد:

$$\frac{1}{r_a^2} \frac{\partial}{\partial \theta'} \left(\frac{h_0^3}{12\eta} \frac{\partial p_0}{\partial \theta'} \right) + h_0^3 \frac{\partial}{\partial y} \left(\frac{1}{12\eta} \frac{\partial p_0}{\partial y} \right) = \frac{\omega_b}{2} \frac{\partial h_0}{\partial \theta'} \quad (11-54)$$

$O(\Delta x)$:

$$\begin{aligned} & \frac{1}{r_a^2} \frac{\partial}{\partial \theta'} \left(\frac{h_0^3}{12\eta} \frac{\partial p_x}{\partial \theta'} \right) + h_0^3 \frac{\partial}{\partial y} \left(\frac{1}{12\eta} \frac{\partial p_x}{\partial y} \right) \\ & = -\frac{1}{2} \omega_b \sin \theta' - \left[\frac{1}{r_a^2} \frac{\partial}{\partial \theta'} \left(\frac{3h_0^2}{12\eta} \cos \theta' \frac{\partial p_0}{\partial \theta'} \right) + 3h_0^2 \cos \theta' \frac{\partial}{\partial y} \left(\frac{1}{12\eta} \frac{\partial p_0}{\partial y} \right) \right] \quad (11-55) \end{aligned}$$

$O(\Delta z)$:

$$\begin{aligned} & \frac{1}{r_a^2} \frac{\partial}{\partial \theta'} \left(\frac{h_0^3}{12\eta} \frac{\partial p_z}{\partial \theta'} \right) + h_0^3 \frac{\partial}{\partial y} \left(\frac{1}{12\eta} \frac{\partial p_z}{\partial y} \right) \\ & = \frac{1}{2} \omega_b \cos \theta' - \left[\frac{1}{r_a^2} \frac{\partial}{\partial \theta'} \left(\frac{3h_0^2}{12\eta} \sin \theta' \frac{\partial p_0}{\partial \theta'} \right) + \frac{h_0^2}{4} \frac{\partial}{\partial y} \left(\frac{\sin \theta'}{\eta} \frac{\partial p_0}{\partial y} \right) \right] \quad (11-56) \end{aligned}$$

$$O(\Delta \dot{x}): \quad \frac{1}{r_a^2} \frac{\partial}{\partial \theta'} \left(\frac{h_0^3}{12\eta} \frac{\partial p_{\dot{x}}}{\partial \theta'} \right) + h_0^3 \frac{\partial}{\partial y} \left(\frac{1}{12\eta} \frac{\partial p_{\dot{x}}}{\partial y} \right) = \cos \theta' \quad (11-57)$$

$$O(\Delta \dot{z}): \quad \frac{1}{r_a^2} \frac{\partial}{\partial \theta'} \left(\frac{h_0^3}{12\eta} \frac{\partial p_{\dot{z}}}{\partial \theta'} \right) + h_0^3 \frac{\partial}{\partial y} \left(\frac{1}{12\eta} \frac{\partial p_{\dot{z}}}{\partial y} \right) = \sin \theta' \quad (11-58)$$

با بسط جملات دوم و سوم سمت راست معادله (11-56) داریم :

$$\begin{aligned} & \frac{1}{r_a^2} \frac{\partial}{\partial \theta'} \left(\frac{3h_0^2}{12\eta} \sin \theta' \frac{\partial p_0}{\partial \theta} \right) + \frac{h_0^2}{4} \frac{\partial}{\partial y} \left(\frac{\sin \theta'}{\eta} \frac{\partial p_0}{\partial y} \right) \\ & = \frac{3 \cos \theta'}{h_0} \left[\frac{1}{r_a^2} \frac{\partial}{\partial \theta'} \left(\frac{h_0^3}{12\eta} \frac{\partial p_0}{\partial \theta'} \right) + h_0^3 \frac{\partial}{\partial y} \left(\frac{1}{12\eta} \frac{\partial p_0}{\partial y} \right) \right] \\ & + \frac{h_0^3}{12\eta} \left[\frac{3}{r_a^2} \frac{\partial p_0}{\partial \theta'} \frac{\partial}{\partial \theta'} \left(\frac{\cos \theta'}{h_0} \right) \right] \quad (11-59) \end{aligned}$$

دو جمله اول سمت راست معادله (11-59) دقیقاً دو جمله سمت چپ معادله (11-54) هستند . بنابراین معادله (11-59) می‌شود :

$$\begin{aligned} & \frac{1}{r_a^2} \frac{\partial}{\partial \theta'} \left(\frac{h_0^3}{12\eta} \frac{\partial p_{\dot{x}}}{\partial \theta'} \right) + h_0^3 \frac{\partial}{\partial y} \left(\frac{1}{12\eta} \frac{\partial p_{\dot{x}}}{\partial y} \right) \\ & = -\frac{\omega_b}{2} \left(\sin \theta' + \frac{3 \cos \theta'}{h_0} \frac{\partial h_0}{\partial \theta'} \right) - \frac{h_0^3}{4\eta r_a^2} \frac{\partial p_0}{\partial \theta'} \frac{\partial}{\partial \theta'} \left(\frac{\cos \theta'}{h_0} \right) \quad (11-60) \end{aligned}$$

با ادامه این رهیافت ، موارد زیر صحیح است :

$$\begin{aligned}
 & \left[\frac{1}{r_a^2} \frac{\partial}{\partial \theta'} \left(\frac{h_0^3}{12\eta_0} \frac{\partial}{\partial \theta'} \right) + h_0^3 \frac{\partial}{\partial y} \left(\frac{1}{12\eta_0} \frac{\partial}{\partial y} \right) \right] \begin{Bmatrix} p_0 \\ p_x \\ p_z \\ p_{\dot{x}} \\ p_{\dot{z}} \end{Bmatrix} \\
 & = \begin{Bmatrix} \frac{\omega_b}{2} \frac{\partial h_0}{\partial \theta'} \\ -\frac{\omega_b}{2} \left(\sin \theta' + \frac{3 \cos \theta' \frac{\partial h_0}{\partial \theta'}}{h_0} - \frac{h_0^3}{4\eta r_b^2} \frac{\partial p_0}{\partial \theta'} \frac{\partial}{\partial \theta'} \left(\frac{\cos \theta'}{h_0} \right) \right) \\ \frac{\omega_b}{2} \left(\cos \theta' - \frac{3 \sin \theta' \frac{\partial h_0}{\partial \theta'}}{h_0} - \frac{h_0^3}{4\eta r_b^2} \frac{\partial p_0}{\partial \theta'} \frac{\partial}{\partial \theta'} \left(\frac{\sin \theta'}{h_0} \right) \right) \\ \cos \theta' \\ \sin \theta' \end{Bmatrix} \quad (11-61)
 \end{aligned}$$

بنابراین وقتی فشار در حالت پایدار به دست آمد ، می توان آن را در به دست آوری فشار پرتورییشن به کار گرفت . به علاوه وقتی فشارهای پرتورییشن شناخته شده باشند ، ضرایب دینامیکی داده شده در معادلات (11-۴۴) و (11-۴۵) می توانند محاسبه شوند .

با گرفتن مشتق دوم نسبت به زمان در معادلات (11-۴۶) و (11-۴۷) ، می دهد :

$$\frac{\partial}{\partial t^2} \begin{Bmatrix} e \cos \Phi \\ e \sin \Phi \end{Bmatrix} = \begin{Bmatrix} \Delta \ddot{x} \\ \Delta \ddot{z} \end{Bmatrix}$$

با جایگذاری این معادله و همچنین عکس العمل یاتاقان خطی شده معادله (11-۴۰) ، در معادله حرکت داده شده در معادله (11-۳۶) ضمن جمع آوری تمام جملات شامل موقعیت دینامیکی در سمت چپ معادله ، داریم :

$$\begin{aligned}
 & \begin{Bmatrix} m_a & 0 \\ 0 & m_a \end{Bmatrix} \begin{Bmatrix} \Delta \ddot{x} \\ \Delta \ddot{z} \end{Bmatrix} + \begin{Bmatrix} b_{xx} & b_{xz} \\ b_{zx} & b_{zz} \end{Bmatrix} \begin{Bmatrix} \Delta \dot{x} \\ \Delta \dot{z} \end{Bmatrix} + \begin{Bmatrix} k_{xx} & k_{xz} \\ k_{zx} & k_{zz} \end{Bmatrix} \begin{Bmatrix} \Delta x \\ \Delta z \end{Bmatrix} \\
 & = \begin{Bmatrix} w_r \cos \Phi_r \\ w_r \sin \Phi_r \end{Bmatrix} - \begin{Bmatrix} (w_x)_0 \\ 0 \end{Bmatrix} \quad (11-62)
 \end{aligned}$$

این یک معادله دیفرانسیل خطی است که برای آن روش‌های متفاوتی را می‌توان استفاده کرد تا قرارگیری دینامیکی برای مقادیر معلوم ω و Φ را به دست آورد.

معادله حرکت داده شده در (۱۱-۶۲) و متنج شده از خطی کردن عکس العمل یاتاقان، تقریب خوبی برای جابجایی‌های کوچک از موقعیت اولیه داده شده توسط ϵ_0 و Φ_0 است. برای جابجایی‌های خیلی بزرگ، اثرات غیرخطی بودن غالب می‌شود ولی برای بسیاری از اهداف عملی، حل کردن معادله (۱۱-۶۲) تقریب خوبی خواهد بود. این هشت ضریب دینامیکی فقط توابع پارامترهای عمل یاتاقان هستند که توسط نسبت خارج از مرکز تعادل ایستایی و زاویه فراز مشخص می‌شوند. بنابراین، خطی کردن نیروهای عکس العمل یاتاقان، امتیاز بارز جداسازی قسمت چرخنده و یاتاقان را دارد. در یک تجزیه و تحلیل دقیق، که نیروهای یاتاقان غیرخطی هستند، معادلات قسمت چرخنده باید همزمان با معادلات روان‌کنندگی انتگرال گیری شوند؛ ولی با خطی کردن نیروها به یاتاقان اجازه داده می‌شود که بدون هرگونه در نظر گیری قسمت چرخنده بخصوصی، حل شود.

۱۱-۴ پایداری یاتاقان ژورنال

یک کاربرد مهم روش خطی کردن ارائه شده در قسمت ۱۱-۳ تجزیه و تحلیل پایداری برای یاتاقانهای ژورنال عمل کننده در شرایط حالت پایدار است.

دوباره، محوری با جرم m_a^2 که توسط دو یاتاقان ژورنال کاملاً هم محور حمایت می‌شوند را در نظر بگیرید. فرض کنید که بار ساکن، و $\omega_r = \omega_0 = \Phi_0 = 0$ باشد. بنابراین معادله خطی شده حرکت ژورنال (۱۱-۶۲) به شکل زیر تقلیل می‌یابد:

$$\begin{pmatrix} m_a & 0 \\ 0 & m_a \end{pmatrix} \begin{pmatrix} \Delta \ddot{x} \\ \Delta \ddot{z} \end{pmatrix} + \begin{pmatrix} b_{xx} & b_{xz} \\ b_{zx} & b_{zz} \end{pmatrix} \begin{pmatrix} \Delta \dot{x} \\ \Delta \dot{z} \end{pmatrix} + \begin{pmatrix} k_{xx} & k_{xz} \\ k_{zx} & k_{zz} \end{pmatrix} \begin{pmatrix} \Delta x \\ \Delta z \end{pmatrix} = \begin{pmatrix} 0 \\ 0 \end{pmatrix} \quad (11-63)$$

منحنی و ضرایب ضربه گیری را می‌توان توسط معادلات زیر بدون بُعد کرد:

$$\begin{pmatrix} K_{xx} & K_{xz} \\ K_{zx} & K_{zz} \end{pmatrix} = \frac{c}{w_r} \begin{pmatrix} k_{xx} & k_{xz} \\ k_{zx} & k_{zz} \end{pmatrix} \quad (11-64)$$

$$\begin{pmatrix} B_{xx} & B_{xz} \\ B_{zx} & B_{zz} \end{pmatrix} = \frac{c\omega_b}{w_r} \begin{pmatrix} b_{xx} & b_{xz} \\ b_{zx} & b_{zz} \end{pmatrix} \quad (11-65)$$

با جایگذاری معادلات (۱۱-۶۴) و (۱۱-۶۵) در معادله (۱۱-۶۳) ، می‌دهد :

$$\begin{cases} m_a & 0 \\ 0 & m_a \end{cases} \begin{pmatrix} \Delta \ddot{x} \\ \Delta \ddot{z} \end{pmatrix} + \frac{\omega_r}{c\omega_b} \begin{pmatrix} B_{xx} & B_{xz} \\ B_{zx} & B_{zz} \end{pmatrix} \begin{pmatrix} \Delta \dot{x} \\ \Delta \dot{z} \end{pmatrix} + \frac{\omega_r}{c} \begin{pmatrix} K_{xx} & K_{xz} \\ K_{zx} & K_{zz} \end{pmatrix} \begin{pmatrix} \Delta x \\ \Delta z \end{pmatrix} = \begin{pmatrix} 0 \\ 0 \end{pmatrix} \quad (11-66)$$

معادله (۱۱-۶۶) دارای حل واضح است که با شرایط $\Delta x = \Delta z = \Delta \dot{x} = \Delta \dot{z} = \Delta \ddot{x} = \Delta \ddot{z} = 0$ حالت یکنواخت موافق است . ما معادله (۱۱-۶۶) را حل نموده و نشان خواهیم داد که تحت شرایط بخصوصی یک حل غیر واضح وجود دارد .

حل معادله (۱۱-۶۶) این گونه است :

$$\begin{pmatrix} \Delta x \\ \Delta z \end{pmatrix} = \begin{pmatrix} x_h \\ z_h \end{pmatrix} \exp(\bar{\Omega}t\omega_b) \quad (11-67)$$

با جایگذاری معادله (۱۱-۶۷) در معادله (۱۱-۶۶) ، داریم :

$$\begin{pmatrix} M_a + \bar{\Omega}B_{xx} + K_{xx} & \bar{\Omega}B_{xz} + K_{xz} \\ \bar{\Omega}B_{zx} + K_{zx} & M_a + \bar{\Omega}B_{zz} + K_{zz} \end{pmatrix} \begin{pmatrix} x_h \\ z_h \end{pmatrix} \exp(\bar{\Omega}t\omega_b) = \begin{pmatrix} 0 \\ 0 \end{pmatrix} \quad (11-68)$$

که :

$$M_a = \frac{cm_a\Omega^2}{\omega_r} \quad \text{and} \quad \bar{\Omega} = \frac{\Omega}{\omega_b} \quad (11-69)$$

بنابراین یا $x_h = z_h = 0$ که حل واضح حالت یکنواخت است ، یا :

$$(M_a + \bar{\Omega}B_{xx} + K_{xx})(M_a + \bar{\Omega}B_{zz} + K_{zz}) - (\bar{\Omega}B_{xz} + K_{xz})(\bar{\Omega}B_{zx} + K_{zx}) = 0 \quad (11-70)$$

حل داده شده در معادله (۱۱-۷۰) ، یک مسئله مقدار ویژه بوده و بیان می‌کند که اگر سیستم خودش را از موقعیت حالت یکنواخت باید جدا سازد ، یک ارتعاش گذرا نتیجه خواهد داد گرچه که بار خارجی ثابت باشد .

مقدار ویژه $\bar{\Omega}$ معمولاً مختلط خواهد بود ، به ترتیبی که :

$$\bar{\Omega} = -\bar{\Omega}_d + i\bar{\Omega}_v \quad (11-71)$$

و حرکت محور گذرا می‌شود :

$$\begin{pmatrix} \Delta x \\ \Delta z \end{pmatrix} = \begin{pmatrix} x_h \\ z_h \end{pmatrix} \exp(-\bar{\Omega}_d t \omega_b) [\cos(\bar{\Omega}_v t \omega_b) + i \sin(\bar{\Omega}_v t \omega_b)] \quad (11-72)$$

که در آن x و z نیز مختلط هستند . سمت چپ معادله (11-72) ، حقیقی است ، به ترتیبی که فقط قسمت حقیقی سمت راست لازم خواهد بود تا حرکت فیزیکی شرح داده شود . توجه داشته باشید که وقتی $0 < \bar{\Omega}$ ، جابجایی محور دور از موقعیت پایداری ، به طور پیوسته کاهش می‌یابد ، زیرا x و z ثابت هستند و بالاخره به موقعیت حالت پایدار می‌رسند . چنین رفتاری به وضوح پایداری است که در آن تغییرات از شرایط حالت پایدار به خاطر عمل ضربه‌گیری فیلم هیدرودینامیک از بین می‌رود .

وقتی $0 < \bar{\Omega}$ ، ارتعاش محور افزایش یافته و فقط توسط آستین یاتاقان محدود می‌شود . ناپایداری یاتاقان تحت این شرایط رخ می‌دهد و عبور از پایداری ($0 < \bar{\Omega}$) به ناپایداری ($0 < \bar{\Omega}$) به نام «دروازه ناپایداری» نامیده می‌شود ، که در $0 = \bar{\Omega}$ رخ می‌دهد . شرط حالت پایدار در $0 < \bar{\Omega}$ ممکن نیست .

با جایگذاری معادله (11-71) در معادله (11-70) ، دو معادله زیر را نتیجه می‌دهد ، که اولی برای قسمت حقیقی و دومی برای قسمت مجازی است :

$$\begin{aligned} M_a^2 - M_a \bar{\Omega}_d (B_{zz} + B_{xx}) + M_a (K_{zz} + K_{xx}) + \bar{\Omega}_d^2 (B_{xx} B_{zz} - B_{xz} B_{zx}) \\ + \bar{\Omega}_d (-B_{xx} K_{zz} - B_{zz} K_{xx} + B_{zx} K_{xz} + B_{xz} K_{zx}) \\ + \bar{\Omega}_v^2 (B_{xx} B_{zz} - B_{xz} B_{zx}) + K_{xx} K_{zz} - K_{xz} K_{zx} = 0 \end{aligned} \quad (11-73)$$

$$\begin{aligned} M_a (B_{xx} + B_{zz}) + 2\bar{\Omega}_d (B_{xz} B_{zx} - B_{xx} B_{zz}) \\ + B_{xx} K_{zz} + K_{zz} B_{xx} - B_{xz} K_{zz} - B_{zz} K_{xz} = 0 \end{aligned} \quad (11-74)$$

در دروازه ناپایداری ، $0 = \bar{\Omega}_d$ و معادله (۱۱-۷۴) می‌شود :

$$(M_a)_{cr} = \left(\frac{cm_a \omega_b^2}{w_r} \right) (\bar{\Omega}_v)_{cr}^2 = \frac{B_{xx} K_{zz} + K_{xx} B_{zz} - B_{xz} K_{zz} - B_{zz} K_{xz}}{B_{xx} + B_{zz}} \quad (11-75)$$

با استفاده از معادله (۱۱-۷۳) در رابطه دروازه ناپایداری ($\bar{\Omega}_d = 0$) ، می‌دهد :

$$(\bar{\Omega}_v)_{cr}^2 = \frac{[K_{xx} - (M_a)_{cr}][K_{zz} - (M_a)_{cr}] - K_{xz} K_{zz}}{B_{xx} B_{zz} - B_{xz} B_{zz}} \quad (11-76)$$

اگر M_a از $(M_a)_{cr}$ کمتر باشد ، سیستم متعادل خواهد بود ($\bar{\Omega}_d > 0$) ، ولی وقتی از $(M_a)_{cr}$ بزرگتر است ناپایدار خواهد بود . بنابراین آیا این که یاتاقان در معرض ناپایداری است ؟ به وضوح بستگی به مقادیر ضرایب یاتاقان ، که به نوع خود بستگی به نوع یاتاقان و پارامترهای عملکرد متفاوت این یاتاقانها است ، داردند .

در تمامی این فصل فقط یاتاقانهای ژورنال ساده بحث می‌شوند ، ولی روش خطی کردن برای هر وضعیت یاتاقان شامل قطعات دایره‌ای شکل کاربرد دارد . این محدودیت به خاطر استفاده از معادله (۱۱-۱۴) برای تشرییح ضخامت فیلم باید اعمال شود .

۱۱-۵ خطی‌سازی عکس العمل یاتاقان در به کارگیری یاتاقانهای ژورنال با عرض کوتاه
 تئوری یاتاقان ژورنال با عرض کوتاه توسعه یافته در قسمت ۱۰-۲ در تعریف عکس العمل یاتاقان استفاده خواهد شد . از فصل ۱۰ به خاطر داشته باشید که تئوری یاتاقان ژورنال با عرض کوتاه برای نسبت‌های قطر به عرض بزرگتر از ۲ ($2 > \lambda_c = 2rb/lb$) معتبر هستند .
 برای این تئوری ، معادله (۱۱-۶۱) به شکل زیر تقلیل می‌باید :

$$h_0^3 \frac{\partial}{\partial y} \left(\frac{1}{12\eta} \frac{\partial}{\partial y} \right) \begin{Bmatrix} p_0 \\ p_x \\ p_z \end{Bmatrix} = \begin{Bmatrix} \frac{\omega_b}{2} \frac{\partial h_0}{\partial \theta'} \\ -\frac{\omega_b}{2} \left(\sin \theta' + \frac{3 \cos \theta'}{h_0} \frac{\partial h_0}{\partial \theta'} \right) \\ \frac{\omega_b}{2} \left(\cos \theta' - \frac{3 \sin \theta'}{h_0} \frac{\partial h_0}{\partial \theta'} \right) \\ \cos \theta' \\ \sin \theta' \end{Bmatrix} \quad (11-77)$$

توجه داشته باشید که سمت راست معادله (۱۱-۷۷) از فشار پرتوربیشن، p مستقل است . این وضعیت برای معادله (۱۱-۶۱) وجود ندارد .

فرض می‌شود هیچ گونه نامحوری در یاتاقان رخ نمی‌دهد ، بنابراین نمایه فشار حول صفحه مرکز ، نامتقارن است یا :

$$\left(\frac{\partial p}{\partial y} \right)_{y=0} = 0 \quad (11-78)$$

همچنین :

$$(p)_{y=b/2} = 0 \quad (11-79)$$

با دوباره بیان کردن شرط مرزی قبلی در جملات معادله (۱۱-۴۱) ، می‌دهد :

$$\frac{\partial p_0}{\partial y} = \frac{\partial p_x}{\partial y} = \frac{\partial p_z}{\partial y} = \frac{\partial p_{\dot{x}}}{\partial y} + \frac{\partial p_{\dot{z}}}{\partial y} = 0 \quad \text{at } y = 0 \quad (11-80)$$

$$p_0 = p_x = p_z = p_{\dot{x}} = p_{\dot{z}} = 0 \quad \text{at } y = \frac{b}{2} \quad (11-81)$$

با جایگذاری این عبارات در معادله (۱۱-۷۷) ، داریم :

$$\begin{Bmatrix} p_0 \\ p_x \\ p_z \\ p_{\dot{x}} \\ p_{\dot{z}} \end{Bmatrix} = \frac{6\eta_0}{h_0^3} \left(y^2 - \frac{b^2}{4} \right) \begin{Bmatrix} \frac{\omega_b}{2} \frac{\partial h_0}{\partial \theta'} \\ -\frac{\omega_b}{2} \left(\sin \theta' + \frac{3 \cos \theta'}{h_0} \frac{\partial h_0}{\partial \theta'} \right) \\ \frac{\omega_b}{2} \left(\cos \theta' - \frac{3 \sin \theta'}{h_0} \frac{\partial h_0}{\partial \theta'} \right) \\ \cos \theta' \\ \sin \theta' \end{Bmatrix} \quad (11-82)$$

از فعل ۱۰ به خاطر داشته باشید که برای یک یاتاقان ژورنال با عرض کوتاه با استفاده از شرط مرزی نیمه سامر فیلد ، داریم :

$$\frac{1}{W_r \lambda_k^2} = \frac{(1 - \varepsilon_0^2)^2}{\varepsilon_0 [16\varepsilon_0^2 + \pi^2 (1 - \varepsilon_0^2)]^{1/2}} \quad (10-61)$$

$$\tan \Phi_0 = \frac{\pi(1 - \varepsilon_0^2)^{1/2}}{4\varepsilon_0} \quad (11-58)$$

که در آن $\lambda_k = 2rb/b$ است . از معادله (11-۴۹) ، داریم :

$$\frac{\partial h_0}{\partial \theta'} = -e_0 \sin(\theta' - \Phi_0) \quad (11-83)$$

از معادلات (11-۸۲) ، (11-۴۹) و (11-۸۳) ، داریم :

$$\begin{aligned} p_x &= \left(\frac{\partial p}{\partial x} \right)_0 \\ &= -\frac{3\eta_0 \omega_b}{c^3} \frac{y^2 - b^2/4}{[1 + \varepsilon_0 \cos(\theta' - \Phi_0)]^3} \left[\sin \theta' - \frac{3\varepsilon_0 \cos \theta' \sin(\theta' - \Phi_0)}{1 + \varepsilon_0 \cos(\theta' - \Phi_0)} \right] \end{aligned} \quad (11-84)$$

به همین ترتیب می توان p_z ، $p_{\dot{x}}$ و $p_{\dot{z}}$ را به دست آورد .

شرط مرزی نیمه سامرفیلد بحث شده در فصل ۱۰ فرض می کند که وقتی ضخامت فیلم یاتاقان و اگر است ، فشار صفر است . ضریب سختی دینامیکی k_{xx} را می توان با استفاده از معادله (11-۴۴) داد :

$$k_{xx} = 2 \int_0^{b/2} \int_{\Phi_0}^{\pi + \Phi_0} \frac{3\eta_0 \omega_b}{c^3} \left(y^2 - \frac{b^2}{4} \right) \frac{\left[\frac{3\varepsilon_0 \cos \theta' \sin(\theta' - \Phi_0)}{1 + \varepsilon_0 \cos(\theta' - \Phi_0)} - \sin \theta' \right]}{[1 + \varepsilon_0 \cos(\theta' - \Phi_0)]^3} \cos \theta' r_b d\theta' dy$$

با برگشت به محور ϕ ، با استفاده از معادله (11-۱) ، و با انتگرال گیری نسبت به dy ضمن استفاده از معادله (11-۶۴) برای بیان بدون بعد ، داریم :

$$\begin{aligned} K_{xx} &= \frac{1}{W_r} \left(\frac{b}{r_b} \right)^2 \int_0^\pi \left[\frac{3\varepsilon_0 (\cos \phi \cos \Phi_0 - \sin \phi \sin \Phi_0)^2 \sin \phi}{(1 + \varepsilon_0 \cos \phi)^4} \right. \\ &\quad \left. - \frac{(\sin \phi \cos \Phi_0 + \cos \phi \sin \Phi_0)(\cos \phi \cos \Phi_0 - \sin \phi \sin \Phi_0)}{(1 + \varepsilon_0 \cos \phi)^3} \right] d\phi \end{aligned}$$

با

$$K_{xx} = \frac{4}{W_r \lambda_k^2} \left[\frac{\varepsilon_0 \sin^2 \Phi_0}{(1 - \varepsilon_0^2)^2} + \frac{3\pi \varepsilon_0^2 \sin \Phi_0 \cos \Phi_0}{4(1 - \varepsilon_0^2)^{5/2}} + \frac{2\varepsilon_0(1 + \varepsilon_0^2) \cos^2 \Phi_0}{(1 - \varepsilon_0^2)^3} \right] \quad (11-85)$$

با روش مشابه و با استفاده از معادلات (11-۴۴)، (11-۴۵) و (11-۸۲) داریم :

$$K_{xz} = \frac{4}{W_r \lambda_k^2} \left[\frac{\pi(1 + 2\varepsilon_0^2)}{4(1 - \varepsilon_0^2)^{5/2}} \sin^2 \Phi_0 + \frac{\varepsilon_0(1 + 3\varepsilon_0^2)}{(1 - \varepsilon_0^2)^3} \sin \Phi_0 \cos \Phi_0 + \frac{\pi \cos^2 \Phi_0}{4(1 - \varepsilon_0^2)^{3/2}} \right] \quad (11-86)$$

$$K_{zx} = \frac{4}{W_r \lambda_k^2} \left[-\frac{\pi \sin^2 \Phi_0}{4(1 - \varepsilon_0^2)^{3/2}} + \frac{\varepsilon_0(1 + 3\varepsilon_0^2)}{(1 - \varepsilon_0^2)} \sin \Phi_0 \cos \Phi_0 - \frac{\pi(1 + 2\varepsilon_0^2) \cos^2 \Phi_0}{4(1 - \varepsilon_0^2)^{5/2}} \right] \quad (11-87)$$

$$K_{zz} = \frac{4}{W_r \lambda_k^2} \left[\frac{2\varepsilon_0(1 + \varepsilon_0^2)}{(1 - \varepsilon_0^2)^3} \sin^2 \Phi_0 - \frac{3\pi \varepsilon_0^2 \sin \Phi_0 \cos \Phi_0}{4(1 - \varepsilon_0^2)^{5/2}} + \frac{\varepsilon_0 \cos^2 \Phi_0}{(1 - \varepsilon_0^2)^2} \right] \quad (11-88)$$

$$B_{xx} = \frac{4}{W_r \lambda_k^2} \left[\frac{\pi \sin^2 \Phi_0}{2(1 - \varepsilon_0^2)^{3/2}} + \frac{4\varepsilon_0 \sin \Phi_0 \cos \Phi_0}{(1 - \varepsilon_0^2)^2} + \frac{\pi(1 + 2\varepsilon_0^2) \cos^2 \Phi_0}{2(1 - \varepsilon_0^2)^{5/2}} \right] \quad (11-89)$$

$$B_{zx} = B_{xz} = \frac{4}{W_r \lambda_k^2} \left[\frac{-4\varepsilon_0 \sin^2 \Phi_0}{(1 - \varepsilon_0^2)^2} + \frac{3\pi \varepsilon_0^2 \sin \Phi_0 \cos \Phi_0}{2(1 - \varepsilon_0^2)^{5/2}} - \frac{\varepsilon_0 \cos^2 \Phi_0}{2(1 - \varepsilon_0^2)^2} \right] \quad (11-90)$$

$$B_{zz} = \frac{4}{W_r \lambda_k^2} \left[\frac{\pi(1 + 2\varepsilon_0^2) \sin^2 \Phi_0}{2(1 - \varepsilon_0^2)^{5/2}} - \frac{4\varepsilon_0 \sin \Phi_0 \cos \Phi_0}{(1 - \varepsilon_0^2)^2} + \frac{\pi \cos^2 \Phi_0}{2(1 - \varepsilon_0^2)^{3/2}} \right] \quad (11-91)$$

مراحل پیروی شونده در برقراری این که اگر یک یاتاقان پایدار است، عبارتنداز :

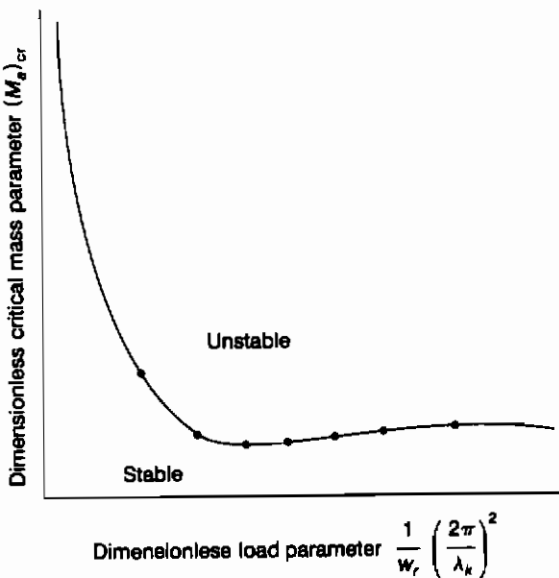
۱- مطمئن شوید یاتاقان ژورنال شما یک یاتاقان ژورنال با عرض کوتاه است، یعنی $2rb/lb = \lambda_k > 2$ است.

۲- برای یک نسبت خارج از مرکز حالت پایدار ثابت، زاویه فراز حالت پایدار و بار متوجه بدون بعد را به ترتیب از معادلات (10-۵۸) و (10-۶۱) محاسبه کنید.

- ضرایب ضربه گیر بدون بعد K_{xx} ، B_{xx} ، B_{zz} و ضرایب سختی بدون بعد K_{zz} ، B_{zz} را با استفاده از معادلات (۱۱-۸۵) تا (۱۱-۹۱) محاسبه کنید .
 - K_{xx} و K_{zz} را به ترتیب از معادلات (۱۱-۷۵) و (۱۱-۷۶) محاسبه کنید . برای عمل پایدار مطمئن شوید که M_a از $(M_a)_{cr}$ بزرگتر نیست .

این محاسبات در جدول ۱۱-۱ برای محدوده‌ای از نسبت‌های خارج از مرکز حالت پایدار داده می‌شوند .

شکل ۱۱-۳ نقشه پایداری برای یک یاتاقان ژورنال با عرض کوتاه را نشان می‌دهد . از این شکل مشاهده می‌شود که تصوری یاتاقان ژورنال با عرض کوتاه پیش‌بینی می‌کند که یاتاقانهای ژورنال ساده وقتی که در بالای یک نسبت خارج از مرکزی حدود ۰.۷۵۶ کار می‌کنند، کلاً پایدارند . این یک خارج از مرکز کاملاً بزرگ برای شرط کاری می‌باشد ، و بدین جهت پایداری مهم می‌شود .



شکل ۱۱-۳- نقشه پایداری برای یاتاقانهای ژورنال ساده با عرض کوتاه

جدول ۱-۱-۱ پارامترهای دینامیکی و حالت پایدار برای باتاقان ژورنال با عرض کوتاه ساده

Steady-state parameters		Dynamic parameters										
		Eccentricity ratio	Dimensionless load parameter	Dimensionless critical mass parameter	Dimensionless speed parameter	Dimensionless stiffness coefficients	Dimensionless damping coefficients					
e_0	$\frac{1}{W_r} \left(\frac{2\pi}{\lambda_s} \right)^2$	Φ_0	$(M_s)_{cr}$	$(\tilde{\Omega}_r)_{cr}$	K_{xx}	K_{xz}	K_{zx}	K_{zz}	B_{xx}	B_{xz}	B_{zx}	B_{zz}
.02	15.90	88.54	7.634	.5001	1.275	50.08	-49.95	2.546	100.1	2.546	2.546	99.96
.1	3.110	82.71	7.515	.5029	1.328	10.38	-9.758	2.531	20.49	2.532	2.532	19.79
.2	1.449	75.43	7.190	.5106	1.498	5.763	-4.520	2.485	10.98	2.492	2.492	9.587
.3	.8551	68.18	6.790	.5194	1.795	4.482	-2.625	2.413	8.153	2.427	2.427	6.061
.4	.5355	60.94	6.475	.5238	2.249	4.048	-1.571	2.319	7.022	2.343	2.343	4.216
.5	.3332	53.68	6.460	.5146	2.923	3.977	-8577	2.210	6.615	2.245	2.245	3.054
.6	.1964	46.32	7.295	.4740	3.951	4.138	-.3071	2.092	6.651	2.138	2.138	2.239
.7	.1036	38.70	13.16	.3446	5.659	4.535	.1734	1.970	7.099	2.027	2.027	1.624
.8	.04362	30.50			9.042	5.326	.6739	1.848	8.177	1.915	1.915	1.128
.9	.01041	20.83			19.10	7.264	1.421	1.729	11.00	1.806	1.806	.6869

۱۱-۶ مؤخره

معادلات تحریج کننده حرکت محور یاتاقان ژورنال، خیلی غیرخطی هستند. با خطی کردن عکس العمل یاتاقان می‌توان حرکت محور را تقریب زد، ولی این فقط برای جابجایی‌های کوچک است. مدل خطی برای برقراری پدیده پایداری کافی است، زیرا پیچش پایدار از وضعیت حالت پایدار که $\Delta x = \Delta z = 0$ است، شروع می‌شود. تجزیه و تحلیل پایداری فقط اجازه می‌دهد که یک مقدار ویژه‌ای از جرم در شرایط عمل داده شده یاتاقان ژورنال حمایت شود. در عمل W^{-1} پارامتری است که باید نظاره شود، ولی گول زننده است؛ زیرا (M_{cr}) بستگی به همان پارامترهای دارد که W^{-1} وابسته است. یک روش سریع انتگرال گیری حرکت محور ضمن در نظر گیری این که اثرات غیرخطی هنوز وجود دارد، شامل جدیدنمودن ضرایب دینامیکی بدون بعد (K و B) در هر نمو زمان است.

۱۱-۷ مسافت

۱۱-۷-۱ معادله دقیق حرکت برای تئوری یاتاقان ژورنال با عرض کوتاه را تعیین کنید.
مؤلفه‌های بار x و z را ضمن یک میکل زیر تعیین کنید:

$$x = x_0 + \Delta x \cos \omega t$$

$$z = z_0 + \Delta z \sin \omega t$$

با داشتن ω ، Δz ، Δx نتایج را یا عکس العمل یاتاقان خطی شده به دست آمده در متن مقایسه کنید.

۱۱-۷-۲ ضرایب دینامیکی (K و B) برای یک یاتاقان ژورنال با عرض بی‌نهایت را به دست آورید. فرض کنید که $p_0 = 0$ و فرض نیمه سامرفلد رانیز قبول کنید. را با تئوری یاتاقان ژورنال با عرض کوتاه وقتی $b / 2r_b = 0.5$ است، مقایسه کنید.

۱۱-۸ فهرست منابع و مأخذ

- Lund, J. W. (1966): "Self-Excited, Stationary Whirl Orbits of a Journal in a Sleeve Bearing." Ph.D. thesis. Rensselaer Polytechnic Institute, Troy, N.Y.
- Lund, J. W. (1979): "Rotor-Bearing Dynamics." Lecture notes. Technical University of Denmark, ISBN 83-04-00267-1.
- Lund, J. W. (1987): Review of the Concept of Dynamic Coefficients for Fluid Film Journal Bearings. *ASME Trans., J. Tribology*, vol. 109, no. 1, pp. 37-41.

فصل دوازدهم

یاتاقانهای ژورنال هیدرودینامیکی - حلهای عددی

موضوع دو فصل قبلی و این فصل مربوط به یاتاقانهای ژورنال روان شونده به صورت هیدرودینامیکی هستند. در فصل ۱۰ حلهای آمده بود که می‌توانست به صورت تحلیلی به دست آیند. اینها شامل یک یاتاقان ژورنال با عرض بی‌نهایت (قابل به کارگیری برای نسبتها) قطربه عرض کمتر از ($\frac{1}{2} < \frac{b}{r_b} = \lambda_k$) و یاتاقانهای ژورنال با عرض کوتاه (قابل به کارگیری برای نسبتها) قطربه عرض بزرگتر از ($2 > \frac{b}{r_b} = \lambda_k$) بودند. در فصل ۱۱، همین حلهای تحلیلی مورد استفاده بودند، اما اثرات بار دینامیکی مورد نظر قرار گرفتند؛ در صورتی که در فصل ۱۰ بارگذاری پایدار فرض شد. بایاتاقانهای ژورنال بارگذاری شده دینامیکی، خارج از مرکزی و زاویه فراز در سرتاسر سیکل بارگذاری تغییر می‌کند. این فصل حلهای عددی را در به دست آوردن نتایج برای محدوده کامل نسبتها قطربه عرض به کار می‌گیرد. شرایط بارگذاری پایدار تقریباً در تمامی این فصل در نظر گرفته می‌شود، اما در قسمت پایانی آن اثرات بارگذاری دینامیکی بررسی خواهد شد.

۱-۲-۱ پارامترهای کار و عملکرد

از معادله (۷-۴۸)، معادله مناسب رینولدز با در نظر گیری یاتاقان ژورنال معین را می‌توان به صورت زیر بیان کرد:

$$\frac{\partial}{\partial x} \left(h^3 \frac{\partial p}{\partial x} \right) + \frac{\partial}{\partial y} \left(h^3 \frac{\partial p}{\partial y} \right) = 12 \bar{u} \eta_0 \frac{\partial h}{\partial x} \quad (7-48)$$

حال برای یک یاتاقان ژورنال $x = r_b \phi / 2$ و $\ddot{x} = u_b / 2 = r_b \omega_b / 2$ ، داریم :

$$\therefore \frac{\partial}{\partial \phi} \left(h^3 \frac{\partial p}{\partial \phi} \right) + r_b^2 \frac{\partial}{\partial y} \left(h^3 \frac{\partial p}{\partial y} \right) = 6\eta_0 \omega_b r_b^2 \frac{\partial h}{\partial \phi} \quad (12-1)$$

در فصل ۱۰ ضخامت فیلم در اطراف ژورنال به صورت زیر شده است :

$$h = c(1 + \epsilon \cos \phi) \quad (10-5)$$

بنابراین معادله (۱۲-۱) را می‌توان به صورت زیر بیان نمود :

$$\frac{\partial}{\partial \phi} \left(h^3 \frac{\partial p}{\partial \phi} \right) + r_b^2 h^3 \frac{\partial^2 p}{\partial y^2} = -6\eta_0 \omega_b r_b^2 \epsilon \sin \phi \quad (12-2)$$

حلهای تحلیلی معادله (۱۲-۲) معمولاً در دسترس نیستند و روش‌های عددی مورد نیاز می‌باشند . معادله (۱۲-۲) غالباً توسط استفاده از یک روش آسایش (Relaxation method) حل می‌شود . در فرآیند آسایش ، قدم اول عوض کردن مشتقها در معادله (۱۲-۲) با تقریب‌های تفاضل محدود است . مساحت روان‌کاری توسط یک شبکه پوشیده شده و روش عددی براین واقعیت تکیه دارد که یک تابع می‌تواند با دقت کافی در یک محدوده کوچک توسط یک عبارت درجه دوم ارائه شود . شرط مرزی رینولدز بحث شده در قسمت ۱۰-۳ استفاده می‌شود . فقط نتایج استفاده شده از این روش عددی در این فصل ارائه می‌شود .

سه گروه بدون بُعد زیر ، غالباً برای تعریف پارامترهای عمل در یاتاقانهای ژورنال مورد

استفاده قرار می‌گیرند :

۱- نسبت خارج از مرکز c/e .

۲- گسترش زاویه‌ای ژورنال (کامل یا جزئی) .

۳- نسبت قطر به عرض $\lambda_c = 2r_b/b$.

از فصل ۱۰ به خاطر داشته باشید که وقتی عبارت نشت کناری در معادله (۱۲-۲) صرف نظر شد ، λ_c در فرموله کردن وجود نداشت . در صورتی که برای تئوری یاتاقان با عرض کوتاه تمام سه پارامتر ظاهر شدند ؛ گرچه ناحیه مورد کاربرد تا حدودی محدود بود . نتایج ارائه شده در این فصل برای محدوده کامل پارامترهای عمل معابر هستند .

این فصل دربرگیرنده پارامترهای عملکردی زیر است :

$$1 - \text{بار بدون بُعد} [r_b/c]^2 . W_r = \omega_r / [\eta_0 \omega_b b r_b]$$

۲- موقعیت ضخامت فیلم کمینه ، بعضی اوقات به نام «زاویه فراز» Φ .

۳- ضریب اصطکاک μ .

۴- جریان کلی و جانبی q_x و q_y .

۵- زاویه فشار پیشینه Φ_{ff} .

۶- موقعیت پایانی فشار Φ_e .

۷- افزایش دما به خاطر برش روان کننده Δt .

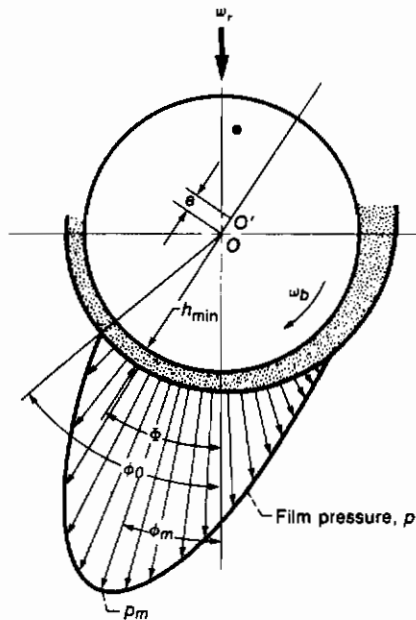
پارامترهای Φ ، Φ_{ff} و Φ_e در شکل ۱۲-۱ تشریح شده‌اند که توزیع فشار اطراف یک یاتاقان ژورنال را نشان می‌دهد. توجه داشته باشید که از این شکل ، اگر یاتاقان هم مرکز باشد ($e = 0$) ، شکل فیلم اطراف ژورنال ثابت و برابر است و هیچ گونه فشار فیلم سیالی به وجود نمی‌آید. در انتهای دیگر ، در بارهای سنگین ژورنال به سمت پایین مجبور به حرکت شده و موقعیت نهایی وقتی $0 = h$ و $e = c$ باشد، به دست می‌آید و آن زمانی است که ژورنال یاتاقان را لمس می‌کند.

افزایش دما به خاطر روان کننده برشی در این فصل ، همانطور که در فصل ۸ برای یاتاقان کف گرد در نظر گرفته شد ، انجام می‌شود . در معادله (۱۲-۲) لزجت روان کننده مرتبط با لزجت $0 = \tau$ می‌شود ، ولی به صورت تابعی از دما می‌تواند تغییر کند. چون کار روی روان کننده ضمن برشی روی سیال انجام می‌پذیرد ، دمای روان کننده وقتی اتصال راترک می‌کند ، بالاتر از ورودی است . در فصل ۴ (شکل‌های ۴-۵ و ۴-۶) نشان داده شد که لزجت روغنها با افزایش دما به مقدار زیادی افت می‌کند . این پدیده توسط استفاده متوسط دمای ورودی و خروجی جبران می‌شود .

$$t_m = t_i + \frac{\Delta t_m}{2} \quad (12-3)$$

درجه حرارت ورودی t_i که در آن :

افزایش دمای روان کننده از ورودی تا خروجی Δt_{ff}



شکل ۱۲-۱- توزیع فشار اطراف یک یاتاقان ژورنال

لزجت استفاده شده در پارامتر بار بدون W_r و دیگر پارامترهای عملکرد ، متوسط دما \bar{t} است . افزایش دمای روان کننده از ورودی تا خروجی Δt ، را می توان از جداول عملکرد فراهم شده در این فصل تعیین کرد .

۱۲-۲ نتایج پارامتر عملکرد

با تعریف کردن پارامترهای عملکرد ، نتایج بر حسب تابعی از پارامترهای عمل کننده که قبل ابحث شد ، ارائه خواهد شد . نتایج ارائه شده برای یک یاتاقان ژورنال کامل است . نتایج برای یک یاتاقان ژورنال جزئی را می توان از ریموندی^۱ و بوید^۲ (۱۹۸۵) بدست آورد .

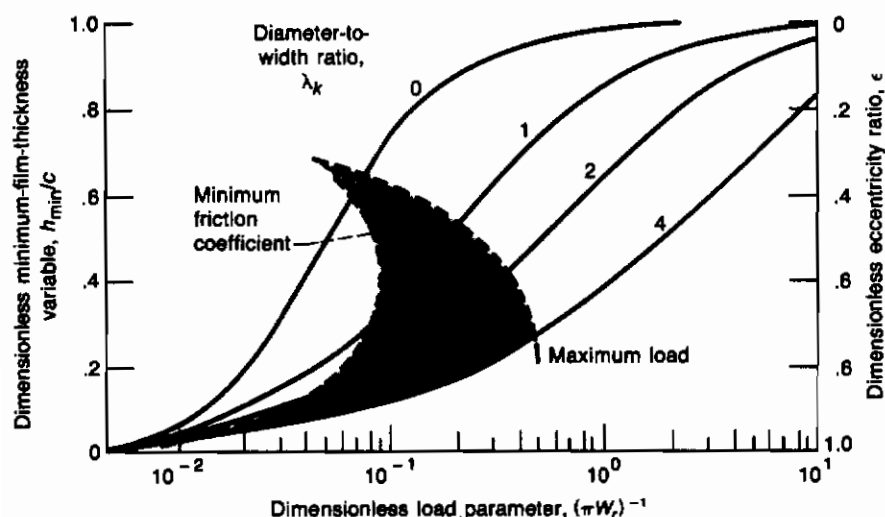
شکل ۱۲-۲ اثر پارامتر بار بدون W_r (بعد πW_r) روی ضخامت کمینه سیپ را نشان می دهد ، که در آن $e = c - h$ برای h برابر با ۰ ، ۱ ، ۲ و ۴ است . به خاطر داشته باشید که بار به این صورت بدون بعد می شود : $[W_r / (\eta_0 \omega_b b r_b)]^2 = (r_b/c)^2$. در این شکل یک نسبت

خارج از مرکز عمل توصیه شده یا ضخامت فیلم کمینه و همچنین ناحیه ترجیحی عملکرد، نشان داده می شود . مرز چپ ناحیه هاشورزده ، نسبت خارج از مرکز بهینه برای یک ضرب اصطکاک کمینه و مرز راست ، نسبت خارج از مرکز بهینه برای بار پیشینه را تعریف می کند . خارج از مرکز عمل توصیه شده بین این دو مرز می باشد .

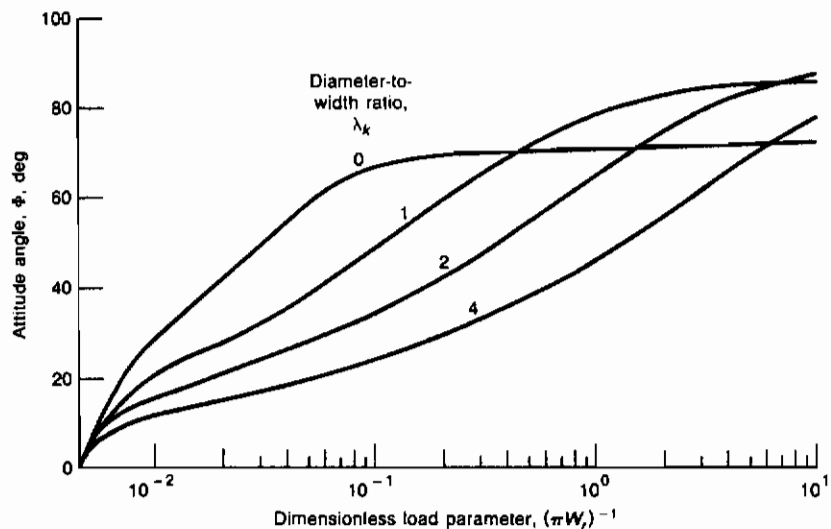
شکل ۱۲-۳ اثر پارامتر بار بدون بعد روی زاویه وضعی Φ برای $\lambda_k = 0$ مختلف (زاویه بین جهت بار و خط رسم شده از مرکز یاتاقان و ژورنال (شکل ۱۲-۱) را نشان می دهد . این زاویه محل ضخامت فیلم کمینه و پیشینه در داخل یاتاقان را بقرار می سازد .

شکل ۱۲-۴ اثر پارامتر بار بدون بعد روی ضرب اصطکاک برای چهار مقدار از λ_k را نشان می دهد . این اثر برای محدوده کامل پارامترهای بار بدون بعد کوچک است .

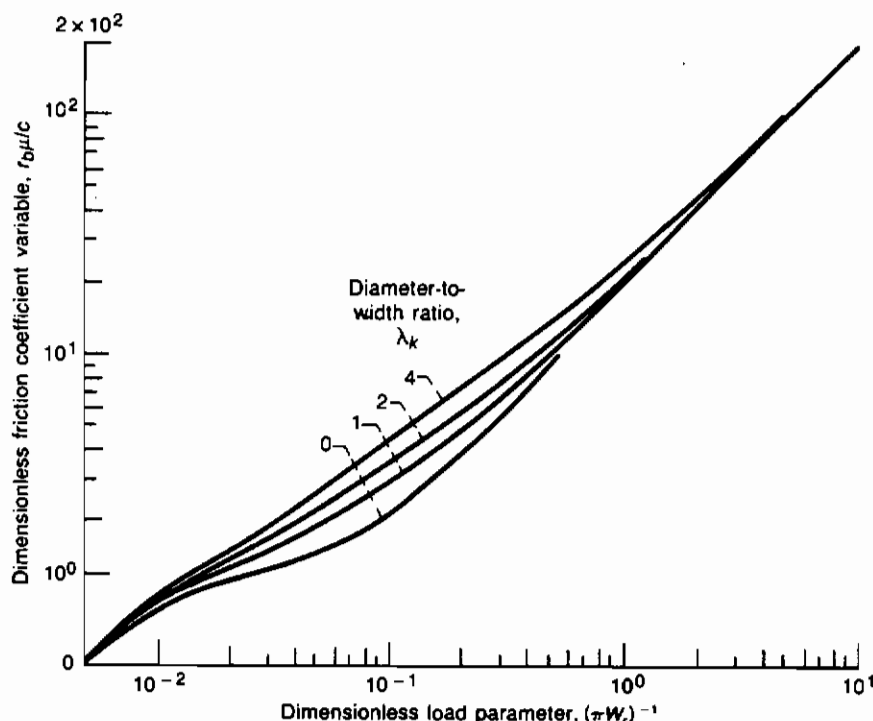
شکل ۱۲-۵ اثر پارامتر بار بدون بعد روی نرخ جریان حجمی بدون بعد $Q = 2\pi q/r_{c,b}a_0$ برای چهار مقدار از λ_k را نشان می دهد . نرخ جریان حجمی بدون بعد Q را که به داخل فضای همگرا توسط ژورنال چرخنده پمپ می شود ، می توان از این شکل به دست آورد . از حجم رونمایش q پمپ شده توسط ژورنال چرخنده ، مقدار q از دو انتهای خارج شده و بنابراین «جریان نشت کناری» نامیده می شود . این نشت کناری از نسبت جریان حجم q/q_s در شکل ۱۲-۶ می تواند محاسبه شود .



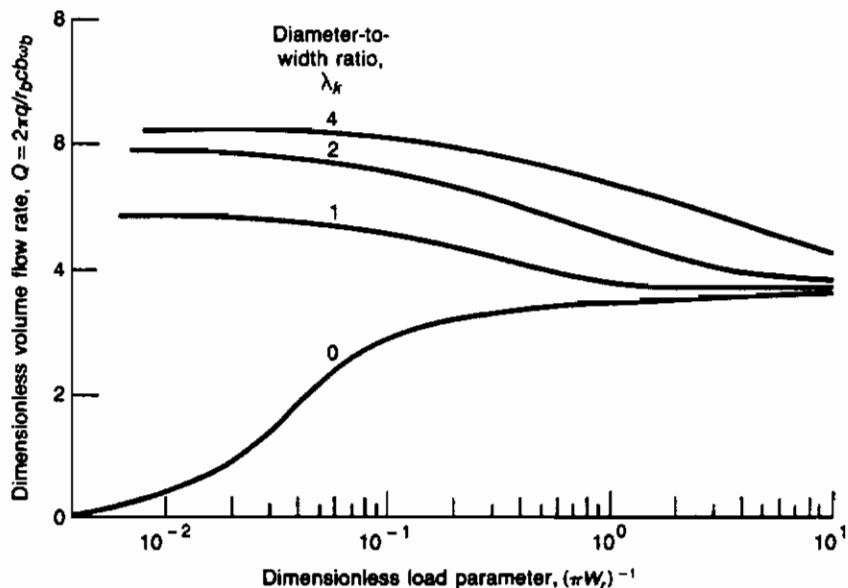
شکل ۱۲-۲ - اثر پارامتر بار بدون بعد روی ضخامت فیلم کمینه برای چهار نسبت قطر به عرض



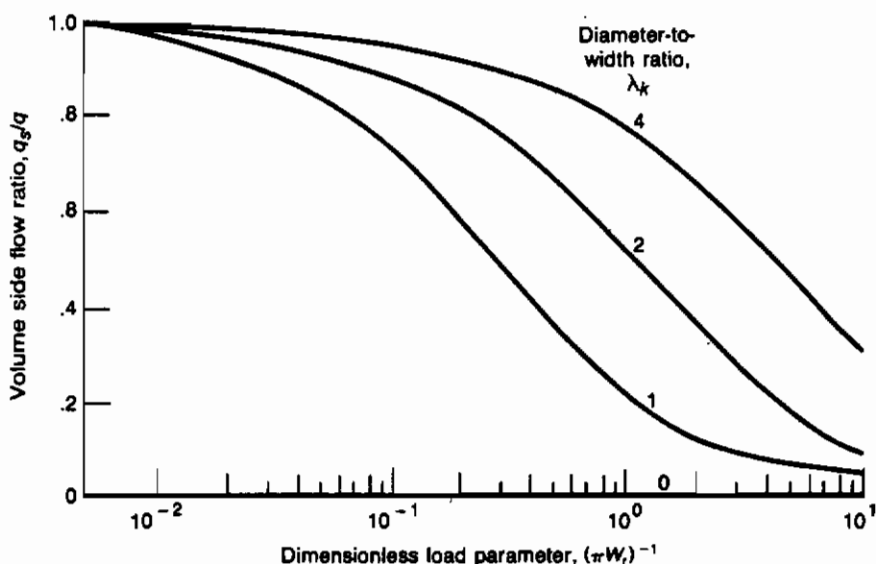
شکل ۳-۱۲-۳- اثر پارامتر بار بدون بعد روی زاویه وضعی برای چهار نسبت قطر به عرض



شکل ۳-۱۲-۴- اثر پارامتر بار بدون بعد روی ضریب اصطکاک برای نسبتهای چهار تظریه عرض



شکل ۱۲-۵ - اثر پارامتر بار بدون بعد روی نرخ جریان حجمی بدون بعد برای چهار نسبت قطر به عرض



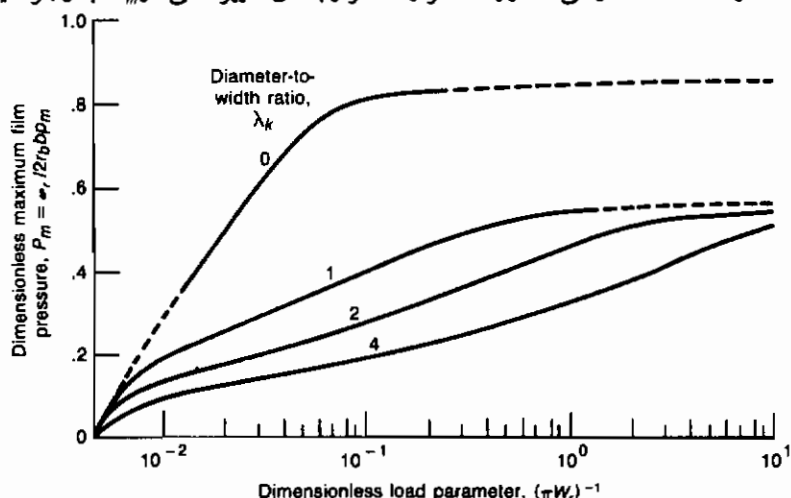
شکل ۱۲-۶ - اثر پارامتر بار بدون بعد روی نسبت جریان جانبی حجمی برای چهار نسبت قطر به عرض

شکل ۱۲-۷ فشار بیشینه توسعه یافته در یاتاقان ژورنال را نشان می‌دهد. در این شکل فشار بیشینه با بار در واحد مساحت بدون بعد می‌شود. فشار بیشینه و موقعیت آن در شکل ۱۲-۱ نشان داده شده است. شکل ۱۲-۸ اثر پارامتر بار بدون بعد روی موقعیت فشارهای پایانی و بیشینه برای چهار مقدار λ_k را نشان می‌دهد.

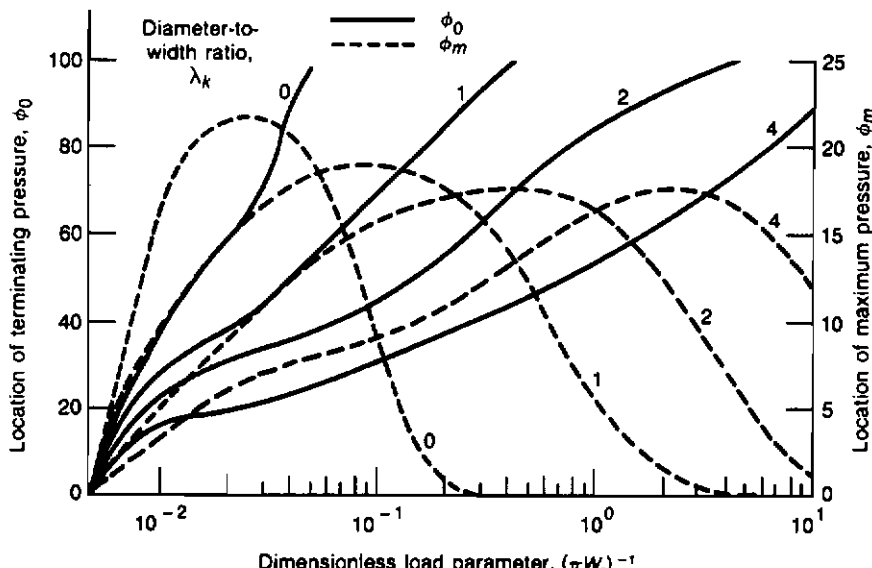
افزایش دما بر حسب درجه سلسیوس روان کننده از ورودی تا خروجی می‌تواند از شیگلی^۱ و میشل^۲ (۱۹۸۳) به دست آید:

$$\Delta t_m = \frac{8.3 W_r^*(r_b/c)\mu}{Q(1 - 0.5q_s/q)} \quad (12-4)$$

که در آن $b = \omega_r / 2r_b$ بر حسب مگاپاسکال است. بنابراین افزایش دما را می‌توان مستقیماً توسط جایگذاری مقادیر μ (r_b/c) به دست آمده از شکل ۱۲-۴، Q از شکل ۱۲-۵ و q_s/q از شکل ۱۲-۶ در معادله (۱۲-۴) به دست آورد. اگر مقدار Δt_m با مقدار فرض شده اولیه فرق داشته باشد، دمای متوسط در اتصال را از معادله (۱۲-۳) دوباره حساب نموده و لزجت جدید را از شکل ۱۲-۵ یا ۱۲-۶ به دست آورید. وقتی لزجت معلوم باشد، بار بدون بعد می‌تواند محاسبه و سپس پارامترهای عملکرد را از شکلهای ۱۲-۲ تا ۱۲-۴ و از معادله (۱۲-۴) به دست آورد. این رهیافت را ادامه داده تا وقتی که از یک تکرار تا تکرار بعدی تغییر کمی در Δt_m به وجود آید.



شکل ۱۲-۷- اثر پارامتر بار بدون بعد روی فشار فیلم بیشینه بدون بعد، برای چهار نسبت قطر به عرض



شکل ۱۲-۸- اثر پارامتر بار بدون بُعد روی موقعیت نشارهای پایانی و بیشینه برای چهار نسبت قطر به عرض

نتایج ارائه شده تا به حال برای λ_k برابر ۰، ۱، ۲، و ۴ بوده‌اند. اگر λ_k مقدار دیگری باشد، فرمول زیر را برای برقراری پارامتر عملکرد به کار گیرید:

$$y = \frac{1}{(b/2r_b)^3} \left[-\frac{1}{8} \left(1 - \frac{b}{2r_b} \right) \left(1 - \frac{b}{r_b} \right) \left(1 - 2\frac{b}{r_b} \right) y_0 + \frac{1}{3} \left(1 - \frac{b}{r_b} \right) \left(1 - \frac{2b}{r_b} \right) y_1 - \frac{1}{4} \left(1 - \frac{b}{2r_b} \right) \left(1 - \frac{2b}{r_b} \right) y_2 + \frac{1}{24} \left(1 - \frac{b}{2r_b} \right) \left(1 - \frac{b}{r_b} \right) y_4 \right] \quad (12-5)$$

که در آن عهرکدام از پارامترهای عملکرد (W_r ، Q ، r_b ، μ/c ، ϕ ، p_m ، q_s/q ، ϕ_0 ، ϕ_m ، یا y) بوده و زیرنویس y مقدار λ_k است. برای مثال، برای $y=1$ محاسبه شده در $\lambda_k = 1$ است. تمام نتایج ارائه شده در اینجا برای یک یاتاقان ژورنال کامل معتبر است. اگر یک یاتاقان ژورنال جزئی (180° یا 120°) مطلوب باشد، از ریموندی و بوید^۱ (۱۹۸۵) استفاده نمایید. همان روش توسعه یافته برای یاتاقان ژورنال کامل باید برای یاتاقان ژورنال جزئی نیز به کار گرفته شود.

مساهه نهونه ۱۲-۱- با داشتن یک یاتاقان ژورنال کامل با مشخصات $\eta_0 = 4 \mu \text{ reyn}$ ، $\eta_0 = 4 \mu \text{ reyn}$ ، $b = 4 \text{ cm}$ ، $c = 40 \mu \text{ m}$ ، $r_b = 2 \text{ cm}$ ، $\omega_b = 2220 \text{ N}$ ، $N_a = 30 \text{ r/s}$ اشکال داده شده در این فصل ، پارامترهای عمل و عملکرد برای این یاتاقان را برقرار سازید .

حل : (از جدول ۴-۶)

$$\lambda_k = \frac{2r_b}{b} = \frac{2(2)}{4} = 1$$

پارامتر بار بدون بار عبارت است از :

$$W_r = \frac{\omega_r}{\eta_0 \omega_b b r_b (r_b/c)^2} = \frac{(2.2)(10^3)}{(0.0276)(60\pi)(0.04)(0.02)(2 \times 10^{-2}/4 \times 10^{-5})^2} \\ = 2.358$$

$$\therefore (\pi W_r)^{-1} = 0.151$$

برای $\lambda_k = 1$ و $(\pi W_r)^{-1} = 0.151$ به دست می آوریم :

الف - از شکل ۱۲-۲ داریم :

$$\epsilon = e/c = 0.55 \quad \text{or} \quad \frac{h_{\min}}{c} = 0.45$$

ب - از شکل ۱۲-۳ ، که زاویه فراز 54° است ، داریم :

ج - از شکل ۱۲-۴ داریم :

$$\frac{r_b \mu}{c} = 3.8$$

یا

$$\mu = 7.6 \times 10^{-3}$$

د - از شکل ۱۲-۵ ، نرخ جریان حجمی بدون بعد می شود :

$$Q = \frac{2\pi q}{b r_b c \omega_b} = 4.5$$

یا :

$$q = \frac{4.3 b r_b c \omega_b}{2\pi} = \frac{(4.5)(0.04)(0.02)(4 \times 10^{-5})(60\pi)}{2\pi}$$

$$= 4.32 \times 10^{-6} \text{ m}^3/\text{s}$$

ه- از شکل ۱۲-۶ ، داریم :

$$\frac{q_s}{q} = 0.67$$

$$q_s = 2.89 \times 10^{-6} \text{ m}^3/\text{s}$$

و- از شکل ۱۲-۷ ، داریم :

$$P_m = \frac{\omega_r}{2r_b b p_m} = 0.43$$

$$p_m = \frac{\omega_r}{2(0.43)r_b b} = \frac{2,200}{2(0.43)(0.02)(0.04)}$$

$$= 3.2 \text{ MPa}$$

ز- از شکل ۱۲-۸ ، داریم :

$$\phi_0 = 77.5^\circ \quad \phi_m = 18.7^\circ$$

ح- رشد دما به خاطر برش روان کننده عبارت است از :

$$\Delta t_m = 0.83 \frac{\omega_r}{2r_b b} \frac{(r_b/c)\mu}{Q}$$

ولی :

$$\frac{\omega_r}{2r_b b} = \frac{(2.2)(10^{-1})}{2(2)(10^{-2})(4)(10^{-2})} = 1.375 \text{ MPa}$$

به خاطر داشته باشید که در محاسبه رشد دما $2r_b b / \omega_r$ باید بر حسب مگاپاسکال بیان شود:

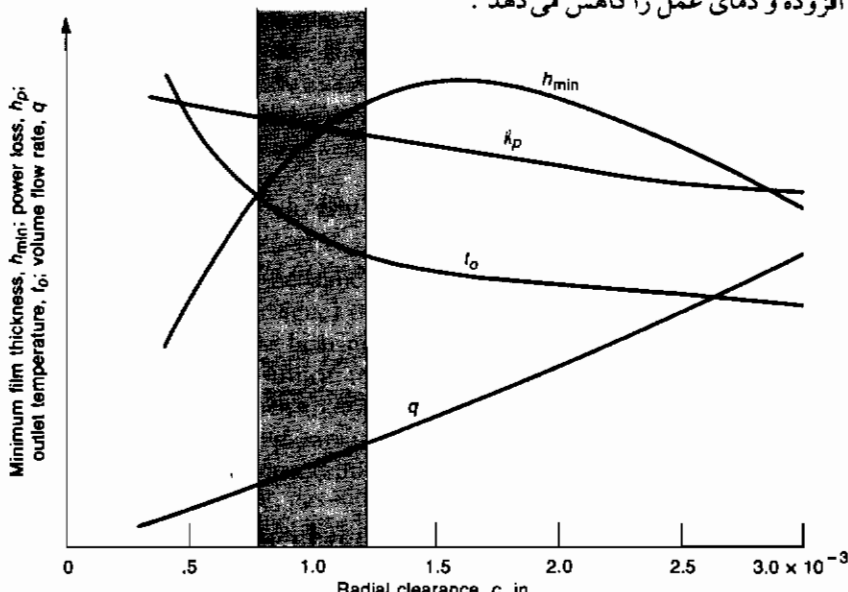
$$\Delta t_m = 8.3(1.375) \left(\frac{3.8}{4.5} \right) = 9.6^\circ\text{C}$$

۱۲-۳. روش‌های پیوینه‌سازی

مشکلترین عامل کنترل پارامترها در شرایط عمل ، لق شعاع c است . کنترل دقیق

شعاعی در ضمن ساخت مشکل است و به دلیل خوردگی ممکن است افزایش باید. شکل ۱۲-۹ عملکرد یک یاتاقان بخصوص محاسبه شده برای یک محدوده لقیهای شعاعی را نشان می‌دهد و با لقی شعاعی بر حسب متغیر مستقل رسم می‌شود. اگر لقی خیلی کم باشد، دما خیلی بالا خواهد بود و ضخامت فیلم کمینه خیلی پایین می‌رود. دمای بالا ممکن است توسط خستگی یاتاقان باعث شکست شود. اگر فیلم روغن زیاد نازک باشد، ذرات آشغال نمی‌توانند بدون ایجاد دمای خراش عبور کرده یا ممکن است در یاتاقان جمع شوند. در هر صورت ساییدگی و اصطکاک زیادی به وجود خواهد آمد که نتیجه آن دمای بالا و احتمال شکست (گرپیاز) است. در حالت لقی بزرگ این امکان وجود دارد که ذرات آشغال عبور کرده و همچنین جریان زیادی از روغن را فراهم می‌آورد. این وضعیت، دمای پایین آورده و عمر یاتاقان را زیاد می‌کند. به هر حال اگر لقی خیلی زیاد شود. یاتاقان پرسروصدا شده و ضخامت فیلم کمینه دوباره شروع به کاهش می‌کند.

شکل ۱۲-۹ بهترین حالت است برای وقتی که لقی تولید و فرسایش آینده در مورد یاتاقان در نظر گرفته می‌شود تا محدوده لقی کمی در سمت چپ بالای منحنی ضخامت فیلم کمینه باشد. از این طریق فرسایش آینده، نقطه عمل را به راست حرکت داده و ضخامت فیلم، را افزوده و دمای عمل را کاهش می‌دهد.



شکل ۱۲-۹- اثر لقی شعاعی روی بعضی از پارامترهای عملکرد برای یک مرود بخصوص

۱۲-۴ وضعیتهای غیرساده

تا به حال مطالب این فصل در برگیرنده یاتاقانهای ژورنال کامل ساده بوده است . ضمن تقاضا برای کاربردهای با سرعتهای بالاتر ، مسائل ارتعاش به خاطر سرعتهای بحرانی ، نامتعادل بودن ، و ناپایداری ، احتیاج برای اشکال هندسی یاتاقان ژورنال غیر از یاتاقانهای ژورنال ساده را به وجود آورده است . این هندسه‌ها ، الگوهای متفاوتی از متغیر لقی دارند تا ضخامت‌های فیلم کفشد که ناحیه‌های واگرا و همگرای قوی تری دارند را خلق کنند . شکل ۱۲-۱۰ یاتاقانهای سهموی نیمه جابه‌جا شده ، سه‌دایره‌ای ، و چهاردادیره‌ای را نشان می‌دهد . این یاتاقانهای با یاتاقان ژورنال ساده متفاوتند . یک بحث بسیار جالب از عملکرد این یاتاقانهای در الیر^۱ و فلاک^۲ (۱۹۸۰) آمده است که بعضی از محاسبات آنها را در اینجا می‌آوریم . در شکل ۱۲-۱۰ هر کفشد که سمت مرکز یاتاقان به اندازه کسری از لقی کفشد حرکت داده می‌شود تا ضخامت فیلم سیال را از آنچه در یک یاتاقان ژورنال ساده اتفاق می‌افتد ، بیشتر همگرا و واگرا کند . مرکز انحنای کفشد توسط یک علامت (x) مشخص می‌شود . عموماً این یاتاقانهای ناپایداری در سیستم ایجاد می‌کنند ، ولی در سرعتهای بالا می‌توانند تحت ارتعاشات همزمانی قرار گیرند . آنها همیشه دقیق ساخته نمی‌شوند .

پارامتر اصلی استفاده شده در تشریع این یاتاقانهای کسر طولی است که در آن ضخامت فیلم تا طول کامل کفشد به نام «فاکتور جابجایی» همگرا بوده و این گونه تعریف می‌شود :

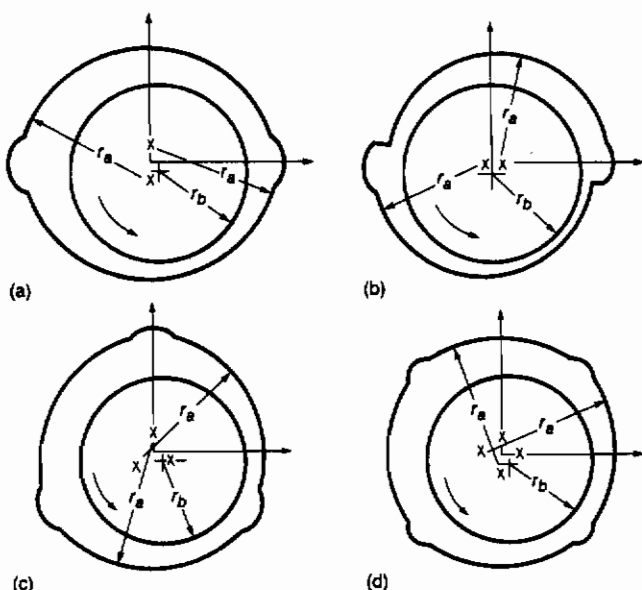
$$\alpha_a = \frac{\text{length of pad with converging film thickness}}{\text{full pad length}}$$

در یک یاتاقان سهموی (شکل ۱۲-۱۰ الف) مراکز کفشد انحنای در طول محور عمودی حرکت داده می‌شوند . این کار باعث خلق یک کفشد با نصف شکل فیلم همگرا و نصف دیگر واگرا (اگر این شکل مرکزی بود) می‌شود ، که مرتبط با فاکتور جابجایی $\alpha_a = 0.5$. یاتاقانهای نیمه جابجایی (شکل ۱۲-۱۰ ب) یک یاتاقان با شیار دو محوری است که با حرکت نیمه بالایی به صورت افقی باز می‌شود . این کار باعث سختی عمودی پایین می‌شود . عموماً مشخصه‌های ارتعاشی این یاتاقان طوری است که از پیچش روغن جلوگیری کرده و می‌تواند

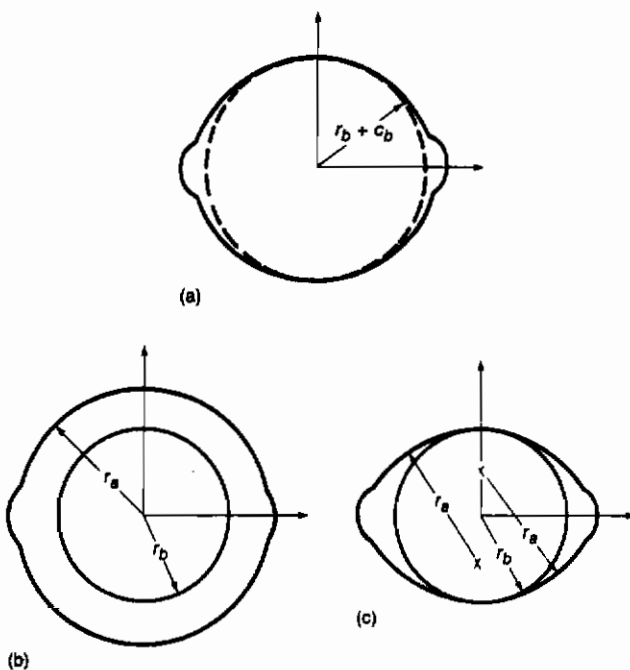
یک ماشین را ناپایدار کند . یاتاقان نیمه جابجا شده دارای یک ضخامت فیلم همگرای خالص با یک کفشک همگرا شده طول قوس 160° است و نقطه مقابل اتحانه مرکز در 180° می باشد .

هردو یاتاقانهای سه دایره‌ای و چهار دایره‌ای (شکل‌های ۱۲-۱۰ ج و د) $\alpha_a = 0.5$ دارند .

وقتی کفشکها به داخل آورده می شوند تقلیل کسری لقی فیلم «فاکتور از قبل بارگذاری شده» m_p نامیده می شود . فرض کنید که لقی یاتاقان در ضخامت فیلم کمینه کفشک (با مرکز محور) با c_b مشخص شود . شکل ۱۲-۱۱ الف نشان می دهد که بزرگترین محوری که می تواند در یاتاقان قرار داده شود . شعاعی برابر با $c_b + r_b$ داشته و بنابراین تعریف c_b در این جا پایه گذاری می شود . فاکتور از قبل بارگذاری شده m_p برابر است با :



شکل ۱۲-۱۰- انواع یاتاقان ژورنال بارگذاری شده با کفشک شبب ثابت و فاکتورهای انحراف α_a . فاکتور بارگذاری $m_p = 0.4$ (الف) یاتاقان سه‌موی ($\alpha_a = 0.5$) ، (ب) یاتاقان نیمه‌جابجا شده ($\alpha_a = 1.125$) ، (ج) یاتاقان سه‌دایره‌ای ($\alpha_a = 0.5$) ، (د) یاتاقان چهار دایره‌ای ($\alpha_a = 0.5$)

شکل ۱۲-۱۱- اثر فاکتور از قبل بارگذاری شده m_p روی یاتاقنهای دایره‌ای.(الف) بزرگترین محور که در یاتاقنهای جای می‌گیرد . (ب) $m_p = 0$ بندگترین محور . لقییاتاقان $c_b = 1.0$ ، (ج) $m_p = 1.0$ بندگترین محور r_b : لقی یاتاقان $= 0$

یک فاکتور از قبل بارگذاری شده برابر با صفر ، مربوط است به تمام مراکز کفشدک ، انحنای که بر مرکز یاتاقان منطبق شده باشند و یک فاکتور بارگذاری ۱.۰ مربوط است به تمام کفشدکها که محور را المس می‌کنند. شکلهای ۱۲-۱۱ (ب) و (ج) این موقعیتهای مقابل به هم را نشان می‌دهند. برای انواع مختلف یاتاقان ژورنال ثابت نشان داده شده در شکل ۱۰-۱۰ این فاکتور ۰.۴ است.

تاكنو وضعيتهای غیرساده بحث شده در این فصل را می‌توان وقتی بار دینامیکی در نظر گرفته می‌شود محاسبه کرد. این روش خیلی شبیه روشی است که در فصل ۱۱ آمده است. به خاطر پیچیدگی شکل هندسی فیلم و شیارهای فیلم روان کننده ، توزیع فشار باید قبل از

ضرایب دینامیکی به صورت عددی تعیین شوند و ظرفیت حمل بار ، جریان ، افت قدرت اصطکاک ، و دما می تواند محاسبه شود . لاند (۱۹۷۹) یاتاقانهای ساده ، سهموی ، استوانه‌ای ، جابه‌جا شده ، و سه دایره‌ای را که قبلاً بحث شد ، مورد بررسی قرار داد . نتایج برای محاسبه عددی اثرات بار دینامیکی برای این چهار نوع یاتاقان در جداول ۱۲-۱ تا ۱۲-۴ داده می شوند . هر جدول دو قسمت برای نسبتهای قطر به عرض 2λ را دارد . فاکتور از قبل بارگذاری شده برای این جداول برابر با 0.5 قرار داده شد ($m_p = 0.5$) . ضرایب دینامیکی ، عدد یاتاقان ، نسبت خارج از مرکزی ، و زاویه فرازنیز در هر کدام از این جداول داده می شوند .

جدول ۱۲-۱ - پارامترهای دینامیکی و حالت دانش برای یک یاتاقان ژورنال ساده با شیارهای دو محوری 180° جدا از هم و ادامه هر کدام 20° محیطی

Steady-state parameters			Dynamic parameters							
Eccentricity ratio	Dimensionless load parameter	Altitude angle, deg	Dimensionless stiffness coefficients				Dimensionless damping coefficients			
ϵ_0	$\frac{1}{W_r} \left(\frac{2\pi}{\lambda_A} \right)^2$	Φ_0	K_{xx}	K_{xz}	K_{zx}	K_{zz}	B_{xx}	$B_{xz} = B_{zx}$	B_{zz}	
(a) Diameter-to-width ratio is 2 ($\lambda_d = 2.0$)										
0.071	6.430	81.89	1.55	14.41	-6.60	1.88	28.75	1.89	13.31	
0.114	3.037	77.32	1.57	9.27	-4.20	1.89	18.44	1.93	8.58	
0.165	2.634	72.36	1.61	6.74	-3.01	1.91	13.36	2.00	6.28	
0.207	2.030	68.75	1.65	5.67	-2.50	1.93	11.18	2.07	5.33	
0.244	1.656	65.85	1.69	5.06	-2.20	1.95	9.93	2.15	4.80	
0.372	0.917	57.45	2.12	4.01	-1.30	1.85	7.70	2.06	3.23	
0.477	0.580	51.01	2.67	3.70	-0.78	1.75	6.96	1.94	2.40	
0.570	0.375	45.43	3.33	3.64	-0.43	1.68	6.76	1.87	1.89	
0.655	0.244	40.25	4.21	3.74	-0.13	1.64	6.87	1.82	1.54	
0.695	0.194	37.72	4.78	3.84	0.01	1.62	7.03	1.80	1.40	
0.734	0.151	35.29	5.48	3.98	0.15	1.61	7.26	1.79	1.27	
0.753	0.133	33.93	5.89	4.07	0.22	1.60	7.41	1.79	1.20	
0.751	0.126	33.42	6.07	4.11	0.25	1.60	7.48	1.79	1.18	
0.772	0.116	32.65	6.36	4.17	0.30	1.60	7.59	1.79	1.15	
0.809	0.086	30.04	7.51	4.42	0.47	1.59	8.03	1.79	1.03	
0.879	0.042	24.41	11.45	5.23	0.92	1.60	9.48	1.80	0.82	
(b) Diameter-to-width ratio is 1 ($\lambda_d = 1.0$)										
0.103	1.470	75.99	1.53	10.14	-3.01	1.50	20.34	1.53	6.15	
0.150	0.991	70.58	1.56	7.29	-2.16	1.52	14.66	1.58	4.49	
0.224	0.635	63.54	1.62	5.33	-1.57	1.56	10.80	1.70	3.41	
0.352	0.358	55.41	1.95	3.94	-0.97	1.48	8.02	1.63	2.37	
0.460	0.235	49.27	2.19	3.57	-0.80	1.55	7.36	1.89	2.19	
0.559	0.159	44.33	2.73	3.36	-0.48	1.48	6.94	1.78	1.74	
0.650	0.108	39.72	3.45	3.34	-0.23	1.44	6.89	1.72	1.43	
0.734	0.071	35.16	4.49	3.50	0.03	1.44	7.15	1.70	1.20	
0.773	0.056	32.82	5.23	3.65	0.18	1.45	7.42	1.71	1.10	
0.793	0.050	31.62	5.69	3.75	0.26	1.45	7.60	1.71	1.06	
0.811	0.044	30.39	6.22	3.88	0.35	1.46	7.81	1.72	1.01	
0.883	0.024	25.02	9.77	4.69	0.83	1.53	9.17	1.78	0.83	

جدول ۱۲-۲ - پارامترهای دینامیکی و حالت پایدار برای یک یاتاقان سهموی (شکل ۱۲-۱۰ الف) با بارگذاری از قبل ۰.۵ ($m_p = 0.5$) ادامه زاویه‌ای دو شیار $^{\circ}$ است

Steady-state parameters			Dynamic parameters							
Eccentricity ratio	Dimensionless load parameter	Altitude angle, deg	Dimensionless stiffness coefficients				Dimensionless damping coefficients			
ϵ_0	$\frac{1}{W_r} \left(\frac{2\pi}{\lambda_k} \right)^2$	Φ_0	K_{xx}	K_{xz}	K_{zz}	K_{zx}	$B_{xz} = B_{zx}$	B_{zz}	B_{xx}	
(a) Diameter-to-width ratio is 2 ($\lambda_k = 2.0$).										
0.024	7.079	88.79	91.58	40.32	-57.12	1.29	159.20	-63.29	45.50	
0.061	2.723	88.58	35.54	15.77	-22.03	0.74	61.63	-23.96	17.80	
0.086	1.889	88.33	24.93	11.18	-15.33	0.71	43.14	-16.31	12.59	
0.127	1.229	87.75	16.68	7.66	-10.03	0.78	28.65	-10.11	8.57	
0.155	0.976	87.22	13.59	6.39	-7.99	0.84	23.20	-7.66	7.08	
0.176	0.832	86.75	11.88	5.69	-6.82	0.90	20.14	-6.23	6.23	
0.254	0.494	84.36	8.11	4.28	-3.99	1.09	13.26	-2.76	4.27	
0.323	0.318	81.08	6.52	3.82	-2.34	1.23	10.03	-0.81	3.15	
0.364	0.236	78.09	6.07	3.76	-1.49	1.31	8.80	0.11	2.54	
0.391	0.187	75.18	6.03	3.82	-0.92	1.37	8.23	0.66	2.13	
0.410	0.153	72.26	6.21	3.92	-0.52	1.41	7.98	1.02	1.82	
0.424	0.127	69.31	6.53	4.04	-0.21	1.45	7.91	1.26	1.58	
0.444	0.090	63.24	7.55	4.33	0.23	1.50	8.11	1.54	1.23	
(b) Diameter-to-width ratio is 1 ($\lambda_k = 1.0$).										
0.050	1.442	93.91	38.58	22.65	-22.14	-1.29	79.05	-28.14	18.60	
0.100	0.698	93.12	18.93	11.25	-10.79	-0.24	38.73	-12.97	9.40	
0.150	0.442	91.97	12.28	7.45	-6.87	0.26	25.00	-7.50	6.36	
0.200	0.308	90.37	8.93	5.58	-4.79	0.58	17.99	-4.50	4.82	
0.213	0.282	89.87	8.30	5.24	-4.38	0.66	16.66	-3.91	4.53	
0.220	0.271	89.61	8.03	5.09	-4.20	0.69	16.08	-3.64	4.40	
0.226	0.261	89.37	7.79	4.96	-4.03	0.72	15.57	-3.41	4.28	
0.239	0.240	88.80	7.31	4.70	-3.70	0.77	14.54	-2.93	4.04	
0.250	0.224	88.28	6.95	4.51	-3.43	0.82	13.74	-2.55	3.86	
0.260	0.211	87.79	6.65	4.36	-3.21	0.86	13.09	-2.23	3.70	
0.304	0.161	83.29	5.63	3.84	-2.32	1.01	10.75	-1.02	3.07	
0.350	0.120	81.80	4.99	3.54	-1.52	1.14	9.04	-0.01	2.49	
0.381	0.097	78.65	4.82	3.46	-1.01	1.21	8.26	0.56	2.10	
0.403	0.081	75.63	4.87	3.47	-0.65	1.26	7.87	0.92	1.82	
0.419	0.069	72.65	5.06	3.52	-0.38	1.31	7.71	1.17	1.60	
0.432	0.060	69.69	5.36	3.60	-0.16	1.34	7.67	1.34	1.42	
0.451	0.045	63.70	6.25	3.83	0.19	1.40	7.88	1.56	1.16	

جدول ۱۲-۳ - پارامترهای دینامیکی و حالت پایدار برای یک یاتاقان سه‌دایره‌ای (شکل ۱۲-۱۰) ج را ببینید) با بارگذاری از قبل $0.5 (m_p = 0.5)$ ادامه زاویه‌ای هر شیار تغذیه 20° است

Steady-state parameters			Dynamic parameters								
Eccentricity ratio	Dimensionless load parameter	Attitude angle, deg	Dimensionless stiffness coefficients				Dimensionless damping coefficients				
ϵ_0	$\frac{1}{W_r} \left(\frac{2\pi}{\lambda_k} \right)^2$	Φ_0	K_{xx}	K_{xz}	K_{zx}	K_{zz}	B_{xx}	$B_{xz} = B_{zx}$	B_{zz}		
(a) Diameter-to-width ratio is 2 ($\lambda_k = 2.0$).											
0.018	6.574	55.45	34.58	45.43	-46.78	31.32	97.87	-1.46	93.55		
0.031	3.682	56.03	20.35	25.35	-26.57	17.08	56.10	-1.35	51.73		
0.045	2.523	56.57	14.75	17.41	-18.48	11.48	39.52	-1.22	35.06		
0.070	1.621	57.35	10.53	11.38	-12.20	7.25	26.81	-1.01	22.25		
0.094	1.169	57.95	8.56	8.49	-9.06	5.26	20.62	-0.79	15.96		
0.144	0.717	58.62	6.85	5.85	-5.92	3.49	14.74	-0.37	9.93		
0.192	0.491	58.63	6.27	4.75	-4.34	2.77	12.07	0.02	7.12		
0.237	0.356	58.14	6.15	4.26	-3.35	2.41	10.67	0.36	5.51		
0.278	0.267	57.30	6.29	4.05	-2.63	2.19	9.87	0.66	4.46		
0.314	0.203	56.18	6.62	4.00	-2.05	2.04	9.43	0.91	3.68		
0.347	0.156	54.85	7.11	4.05	-1.55	1.90	9.23	1.12	3.06		
0.360	0.141	54.26	7.35	4.10	-1.36	1.85	9.20	1.20	2.84		
0.377	0.121	53.31	7.77	4.19	-1.09	1.78	9.20	1.30	2.54		
0.402	0.093	51.55	8.63	4.39	-0.67	1.67	9.30	1.44	2.10		
0.441	0.055	47.10	11.07	4.94	0.14	1.49	9.91	1.61	1.29		
(b) Diameter-to-width ratio is 1 ($\lambda_k = 1.0$).											
0.020	3.256	59.21	28.31	43.30	-43.40	25.25	94.58	-1.11	88.33		
0.035	1.818	59.68	16.74	24.39	-24.34	13.70	54.59	-0.98	48.27		
0.050	1.243	60.09	12.21	16.93	-16.72	9.18	38.75	-0.84	32.37		
0.076	0.796	60.62	8.82	11.26	-10.82	5.80	26.62	-0.61	20.18		
0.103	0.574	60.95	7.24	8.55	-7.90	4.24	20.73	-0.37	14.27		
0.155	0.383	61.00	5.91	6.07	-5.02	2.89	15.15	0.06	8.70		
0.203	0.245	60.44	5.48	5.01	-3.60	2.36	12.59	0.43	6.16		
0.246	0.181	59.46	5.41	4.49	-2.74	2.09	11.20	0.73	4.73		
0.285	0.138	58.22	5.54	4.22	-2.12	1.92	10.39	0.98	3.81		
0.320	0.108	56.80	5.83	4.10	-1.65	1.80	9.91	1.18	3.16		
0.351	0.085	55.23	6.25	4.08	-1.26	1.71	9.64	1.35	2.67		
0.379	0.068	53.54	6.82	4.13	-0.92	1.62	9.54	1.48	2.29		
0.389	0.062	52.82	7.09	4.17	-0.79	1.59	9.54	1.52	2.16		
0.403	0.054	51.68	7.56	4.25	-0.57	1.54	9.57	1.57	1.92		
0.441	0.034	47.19	9.70	4.65	0.11	1.42	10.03	1.67	1.23		

جدول ۱۲-۴ - پارامترهای دینامیکی و حالت پایدار برای یک یاتا قان تیمه جابه جا شده
 (شکل ۱۲-۱۰ ب را ببینید) با بار از قبل بارگذاری شده $m_p = 0.5$ (ادامه زاویه ای هر شیار تغذیه 30° است

Steady-state parameters			Dynamic parameters						
Eccentricity ratio	Dimensionless load parameter	Attitude angle, deg	Dimensionless stiffness coefficients				Dimensionless damping coefficients		
ϵ_0	$\frac{1}{W_r} \left(\frac{2\pi}{\lambda_k} \right)^2$	Φ_0	K_{xx}	K_{xz}	K_{zx}	K_{zz}	B_{xx}	$B_{xz} = B_{zx}$	B_{zz}
(a) Diameter-to-width ratio of 2 ($\lambda_k = 2.0$)									
0.025	8.519	-4.87	47.06	82.04	5.48	64.74	97.59	45.00	59.71
0.050	4.240	-4.82	23.60	41.06	2.64	32.32	49.04	22.62	29.94
0.075	2.805	-4.72	15.81	27.42	1.65	21.49	32.97	15.22	20.06
0.100	2.081	-4.59	11.93	20.61	1.12	16.05	25.01	11.56	15.15
0.150	1.339	-4.14	8.08	13.79	0.54	10.56	17.15	7.98	10.25
0.200	0.953	-3.47	6.18	10.39	0.20	7.78	13.34	6.31	7.83
0.250	0.717	-2.76	5.14	8.45	-0.05	6.15	11.29	5.43	6.51
0.300	0.585	-2.02	4.63	7.20	-0.09	5.00	10.00	4.76	5.38
0.325	0.493	-1.78	4.56	6.72	0.01	4.53	9.49	4.38	4.74
0.400	0.383	-1.70	4.63	5.78	0.22	3.53	8.51	3.56	3.40
0.450	0.284	-2.00	4.85	5.40	0.33	3.08	8.17	3.18	2.79
0.500	0.228	-2.51	5.18	5.15	0.42	2.74	7.99	2.88	2.34
0.551	0.182	-3.19	5.65	5.01	0.51	2.48	7.95	2.65	1.98
0.576	0.162	-3.58	5.93	4.97	0.55	2.37	7.97	2.53	1.82
0.601	0.143	-4.02	6.26	4.95	0.60	2.27	8.02	2.46	1.69
0.627	0.126	-4.49	6.64	4.95	0.65	2.19	8.10	2.38	1.56
(b) Diameter-to-width ratio of 1 ($\lambda_k = 1.0$)									
0.025	3.780	-3.21	52.13	83.73	8.14	56.69	113.96	42.08	47.10
0.051	1.883	-3.16	26.11	41.89	3.99	28.31	57.20	21.13	23.61
0.076	1.247	-8.08	17.45	27.95	2.57	18.83	38.38	14.19	15.81
0.101	0.927	-7.96	13.13	20.99	1.83	14.08	29.04	10.75	11.93
0.151	0.596	-7.46	8.74	13.89	1.05	9.22	19.61	7.33	8.00
0.201	0.418	-6.58	6.44	10.17	0.62	6.68	14.73	5.64	5.96
0.251	0.316	-5.85	5.22	8.13	0.33	5.26	12.18	4.78	4.90
0.301	0.248	-5.10	4.49	6.87	0.11	4.35	10.71	4.30	4.28
0.351	0.198	-4.29	4.08	6.02	-0.04	3.70	9.80	3.99	3.83
0.401	0.160	-3.59	4.00	5.40	0.01	3.17	9.07	3.57	3.22
0.451	0.130	-3.27	4.13	4.96	0.12	2.76	8.55	3.15	2.65
0.501	0.107	-3.28	4.37	4.68	0.22	2.46	8.23	2.84	2.22
0.551	0.087	-3.54	4.74	4.50	0.31	2.23	8.08	2.60	1.89
0.576	0.078	-3.76	4.98	4.45	0.36	2.14	8.06	2.50	1.75
0.601	0.070	-4.03	5.25	4.42	0.41	2.06	8.07	2.42	1.63

۱۲-۵ ملخه

در این فصل عبارت «نشت کناری» در معادله رینولدز ، برای یک یاتاقان ژورنال درنظر گرفته شد. معمولاً حل تحلیلی این شکل مبادله رینولدز در دسترس نیست و از روش‌های عددی استفاده می‌شود. وقتی نشت کناری در نظر گرفته شود ، یک پارامتر عمل اضافی وجود دارد که نسبت قطر به عرض آن β است. نتایج از حل عددی معادله رینولدز ارائه شدند. این نتایج متمرکز بر روی یاتاقان ژورنال کامل ، چهارمقدار β ، و یک محدوده کامل از نسبتهای خارج از مرکز یا ضخامت فیلم کمیته بودند . پارامترهای عملکرد ارائه شده برای این محدوده از پارامترهای عمل ، عبارتند از :

- ۱- بار بدون بعد .
- ۲- زاویه فراز .
- ۳- ضریب اصطکاک .
- ۴- جریان کلی و کناری .
- ۵- فشار بیشینه و نقطه عمل آن .
- ۶- موقعیت فشار پایانی .
- ۷- رشد دما به دلیل حالت برشی روان کننده .

این پارامترهای عملکرد ، به اشکال که بتوان به سادگی برای طراحی یاتاقانهای ژورنال ساده به کار گرفته شود ، ارائه شدند. یک فرمول تقریبی به گونه‌ای فراهم شد که اگر β مقدار غیر از چهار مقدار معین شده باشد ، محدوده کامل β می‌تواند در نظر گرفته شود . وضعیت ژورنال غیرساده نیز در نظر گرفته شد . معلوم شد که طراحی یاتاقان با ضخامت فیلم بیشتر همگراشونده و کمتر و اگراشونده ناپایداری سیستم را پایان می‌دهد . پارامترهای دینامیکی و حالت یکنواخت ، برای یک یاتاقان ژورنال ساده و سه یاتاقان ژورنال غیرساده داده می‌شوند .

۱۲-۶ مسائل

- ۱۲-۶-۱ برای یاتاقان در نظر گرفته شده در مسئله نمونه ۱۲-۱ ، تعیین کنید که پارامترهای عملکرد و کارآئی چه هستند ؟ وقتی که : (الف) تئوری یاتاقان ژورنال بی‌نهایت بلند نیمه سامرفیلد موجود در فصل ۱۰ ، استفاده شود ، (ب) تئوری یاتاقان ژورنال با عرض کوتاه موجود در فصل ۱۰ ، استفاده شود . نتایج را مقایسه کنید .

۱۲-۶-۲ برای چهار نوع یاتاقان در نظر گرفته شده در جداول ۱۲-۱ تا ۱۲-۴ ، جرم بحرانی بدون بعد (M_{cr}) و سرعت بحرانی بدون بعد (Ω_{cr}) برای هر نسبت خارج از مرکز ϵ داده شده در جداول ۱۲-۱ تا ۱۲-۴ را تعیین کنید . همچنین این نتایج بر حسب ϵ (Ω_{cr}) را برای این چهار نوع یاتاقان رسم کنید . چه نتیجه‌ای از این نتایج ، ضمن ارتباط آنها با پایداری این یاتاقانها ، می‌توانید بگیرید ؟

۱۲-۶-۳ فرآیند حالت گذرا به مغشوش در جریان بین استوانه‌های هم مرکز ، وقتی استوانه خارجی در حالت سکون و استوانه داخلی می‌چرخد را شرح دهد . این رهیافت چگونه تحت تأثیر : (الف) خارج از مرکزی ، (ب) یک جریان محوری برهمنش شده ، قرار می‌گیرند ؟

۱۲-۶-۴ یک یاتاقان ژورنال ساده دارای قطر $in\ 2$ و طول $in\ 1$ است . یاتاقان ژورنال کامل باید در سرعت $r/min\ 2000$ کار کرده و بار $lbf\ 750$ را تحمل نماید . اگر روغن SAE 10 در دمای ورودی $110^{\circ}F$ استفاده می‌شود ، لقی شعاعی برای ظرفیت حمل بار بهینه چه باید باشد ؟ همچنین سطح ، که کافی و در ضمن ارزانتر است را توصیف کنید . و نیز مشخص کنید رشد دما ، ضریب اصطکاک ، نرخ جریان ، نرخ جریان کناری ، وزاویه موضعی چه هستند ؟

۱۲-۶-۵ با توجه به دستورالعلم‌های رایلی پایداری جریان بین استوانه‌های در حال چرخش هم محور را بحث کنید . مراحل در گیر راهیافت حالت گذرا به مغشوش از طریق ناحیه گردابه تیلور در جریان را شرح داده و با توجه به دستورالعمل رایلی اعداد تیلور بحرانی به دست آمده به صورت تجربی را با نتایج تجزیه و تحلیل مقایسه نمایید .

۱۲-۷ فهرست منابع و مأخذ

- Allaire, P. E., and Flack, R. D. (1980): Journal Bearing Design for High Speed Turbomachinery. *Bearing Design—Historical Aspects, Present Technology and Future Problems*. W. J. Anderson (ed.). American Society of Mechanical Engineers, New York, pp. 111-160.
- Lund, J. W. (1979): "Rotor-Bearing Dynamics," Lecture notes. Technical University of Denmark, ISBN 83-04-00267-1.
- Raimondi, A. A., and Boyd, J. (1958): A Solution for the Finite Journal Bearing and Its Application to Analysis and Design—I, -II, and -III. *ASLE Trans.*, vol. 1, no. 1, I- pp. 159-174; II- pp. 175-193; III- pp. 194-209.
- Shigley, J. E., and Mitchell, L. D. (1983): *Mechanical Engineering Design*, 4th ed. McGraw-Hill, New York.

فصل سیزدهم

ياتاقانهای فیلم فشرده شده هیدرودینامیکی

همان گونه که در فصل ۱ اشاره شد (شکل ۱-۴) ، یک فشار مشبت در سیال بین دو سطح وقتی می تواند تولید شود که این سطوح به سمت یکدیگر در حرکت باشند . زمان معینی برای فشردن سیال به سمت خارج از میان یک شکاف لازم است و این عمل یک اثر بالشتکی مفید در یاتاقانها دارد . اثر معکوس آن وقتی اتفاق می افتد که سطوح از یکدیگر جدا شده و منتهی به کاویتاسیون در فیلم مایع شود . برای یاتاقانهای با فیلم فشرده شده ، رابطه ای بین بار و سرعت عمودی در هر لحظه مورد نیاز است . سپس زمان لازم برای تغییر در جداسازی سطوح به مقدار مشخصی را می توان با یک انتگرال ساده نسبت به زمان تعیین کرد .

نقطه شروع تجزیه و تحلیل ، مثل روان کاری هیدرودینامیکی ژورنال و یاتاقانهای کف گرد ، از معادله رینولدز است . اگر این حرکت محدود به رهیافت معمولی که در آن سرعتهای لغزشی صفر هستند ، باشد ($u_a = u_b = v_a = v_b = 0$) ، معادله عمومی رینولدز داده شده در معادله (۷-۵۸) به شکل زیر تقلیل می یابد .

$$\frac{\partial}{\partial x} \left(\frac{\rho h^3}{12\eta} \frac{\partial p}{\partial x} \right) + \frac{\partial}{\partial y} \left(\frac{\rho h^3}{12\eta} \frac{\partial p}{\partial y} \right) = \frac{\partial(\rho h)}{\partial t} \quad (13-1)$$

اگر جرم مخصوص و لزجت ثابت فرض شوند ، معادله (۱۳-۱) می‌شود :

$$\frac{\partial}{\partial x} \left(h^3 \frac{\partial p}{\partial x} \right) + \frac{\partial}{\partial y} \left(h^3 \frac{\partial p}{\partial y} \right) = 12 \eta_0 \frac{\partial h}{\partial t} = -12 \eta_0 w \quad (13-2)$$

که در آن $w = -\frac{\partial h}{\partial t}$ سرعت فشرده شدن است .

در محورهای استوانه‌ای قطبی معادله (۱۳-۱) را می‌توان به صورت زیر بیان کرد :

$$\frac{\partial}{\partial r} \left(\frac{\rho h^3}{12 \eta} r \frac{\partial p}{\partial r} \right) + \frac{1}{r} \frac{\partial}{\partial \theta} \left(\frac{\rho h^3}{12 \eta} \frac{\partial p}{\partial \theta} \right) = r \frac{\partial(\rho h)}{\partial t} \quad (13-3)$$

برای جرم مخصوص و لزجت ثابت این معادله ، می‌شود :

$$\frac{\partial}{\partial r} \left(r h^3 \frac{\partial p}{\partial r} \right) + \frac{1}{r} \frac{\partial}{\partial \theta} \left(h^3 \frac{\partial p}{\partial \theta} \right) = 12 \eta_0 r \frac{\partial h}{\partial t} = -12 \eta_0 rw \quad (13-4)$$

اینها معادلات رینولدزی هستند که معمولاً در تجزیه و تحلیل یاتاقانهای با فیلم فشرده به کار گرفته می‌شوند . این فصل محدود به وضعیتهای است که جرم مخصوص و لزجت ثابت فرض می‌شوند (معادلات (۱۳-۲) و (۱۳-۴)) .

۱۳-۱ یاتاقان با سطوح موازی و با عرض بی‌نهایت

وقتی از نشت کناری صرف نظر شده و فیلم موازی فرض می‌شود ، معادله (۱۳-۲)

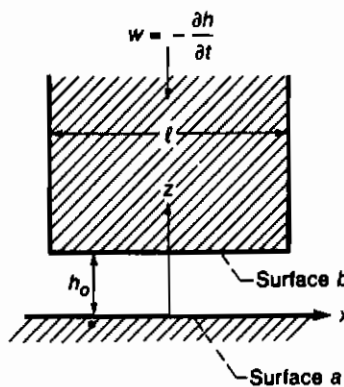
می‌شود :

$$\frac{\partial^2 p}{\partial x^2} = -\frac{12 \eta_0 w}{h_o^3} \quad (13-5)$$

در شکل ۱۳-۱ یک یاتاقان با فیلم فشرده با سطح موازی و محور مختصات استفاده شونده نشان داده شده است . تقارن هندسی فیلم روغن ، در نظر گرفتن مرکز محورهای مختصات را در نقطه میانی یاتاقان مناسب می‌کند .

انتگرال گیری معادله (۱۳-۵) می‌دهد :

$$\frac{dp}{dx} = -\frac{12 \eta_0 w}{h_o^3} x + \bar{A} \quad (13-6)$$



شکل ۱۲-۱ - یاتاقان نیلم فشرده شده با سطح موازی

با انتگرال گیری دوباره داریم :

$$p = - \frac{6\eta_0 w}{h_o^3} x^2 + \tilde{A}x + \tilde{B} \quad (13-7)$$

شرط مربوط عبارتند از :

$$p = 0 \quad \text{when } x = \pm \frac{\ell}{2}$$

با استفاده از این شرایط مرزی می‌دهد : $\tilde{B} = 6\eta_0 w \ell^2 / 4h_o^3$ و $\tilde{A} = 0$. با جایگذاری این ثابتها در معادلات (۱۳-۶) و (۱۳-۷)، می‌دهد :

$$\frac{dp}{dx} = - \frac{12\eta_0 wx}{h_o^3} \quad (13-8)$$

و

$$p = \frac{3\eta_0 w}{2h_o^3} (\ell^2 - 4x^2) \quad (13-9)$$

با فرض :

$$P = \frac{ph_o^3}{\eta_0 \ell^2 w} \quad \text{and} \quad X = \frac{x}{\ell} \quad (13-10)$$

معادله (۱۳-۹) می شود :

$$P = \frac{ph_o^3}{\eta_0 \ell^2 w} = \frac{3}{2}(1 - 4X^2) \quad (13-11)$$

که در آن $\frac{1}{2} \leq X \leq \frac{1}{2}$ است .

توزیع فشار ، سهموی بوده و حول مرکز یاتاقان متقاض است و فشار بیشینه می شود .

$$P_m = \frac{p_m h_o^3}{\eta_0 \ell^2 w} = \frac{3}{2} \quad (13-12)$$

یا :

$$p_m = \frac{3\eta_0 \ell^2 w}{2h_o^3} \quad (13-13)$$

ظرفیت حمل بار مماسی ، طبق تعریف در شروع فصل ۸ را می توان به صورت زیر بیان کرد :

$$w_{xa} = w_{xb} = 0 \quad (13-14)$$

ظرفیت حمل بار عمودی را می توان نوشت :

$$w_z' = w_{za}' = w_{zb}' = \int_{-\ell/2}^{\ell/2} p dx = \frac{3\eta_0 w}{2h_o^3} \int_{-\ell/2}^{\ell/2} (\ell^2 - 4x^2) dx = \frac{\eta_0 \ell^3 w}{h_o^3} \quad (13-15)$$

به صورت بدون بُعد ، داریم :

$$W_{xa} = W_{xb} = 0 \quad (13-16)$$

$$W_z = \frac{w_z' h_o^3}{\eta_0 \ell^3 w} = 1 \quad (13-17)$$

نش برشی عمل کننده روی سطوح صلب را می توان این گونه نوشت :

$$(\tau_{zx})_{z=0} = \left(\eta \frac{\partial u}{\partial z} \right)_{z=0} = \frac{6\eta_0 w x}{h_o^2} \quad (13-18)$$

$$(\tau_{zx})_{z=h} = - \left(\eta \frac{\partial u}{\partial z} \right)_{z=h} = - \frac{6\eta_0 wx}{h_o^2} \quad (13-19)$$

نیروهای برشی در سطوح صلب را می‌توان این گونه داد :

$$f_b = b \int_{-\ell/2}^{\ell/2} (\tau_{zx})_{z=0} dx = 0 \quad (13-20)$$

$$f_a = b \int_{-\ell/2}^{\ell/2} (\tau_{zx})_{z=h} dx = 0 \quad (13-21)$$

نرخ جريان حجمی را با استفاده از معادلات (۷-۳۸) و (۱۳-۸) می‌توان نوشت :

$$q_x = \frac{h_o^3 b}{12 \eta_0} \frac{12 \eta_0 wx}{h_o^3} = bwx \quad (13-22)$$

نرخ جريان حجمی از صفر در مرکز یاتاقان با مقدار بیشینه $wbl / 2$ در لبه یاتاقان افزایش می‌یابد. نرخ جريان حجمی بدون بعد با استفاده از معادله (۱۳-۱۰) می‌شود :

$$Q = \frac{2q_x}{wb\ell} = 2X \quad (13-23)$$

که در آن $\frac{1}{2} \leq X \leq \frac{1}{2}$ است.

برای بارهای مستقل از زمان (ω' تابعی از t نباشد)، معادله (۱۳-۱۵) را می‌توان برای تعیین زمان لازم برای تقلیل سطوح موازی بین شکاف به اندازه معینی، مورد استفاده قرار دارد. چون t است، از معادله (۱۳-۱۵) داریم :

$$w'_z = - \frac{\eta_0 \ell^3}{h_o^3} \frac{\partial h_o}{\partial t} \quad (13-24)$$

با جابه جایی عبارات و انتگرال گیری داریم :

$$\begin{aligned} - \frac{w'_z}{\eta_0 \ell^3} \int_{t_1}^{t_2} dt &= \int_{h_{o,1}}^{h_{o,2}} \frac{dh_o}{h_o^3} \\ \therefore \Delta t = t_2 - t_1 &= \frac{\eta_0 \ell^3}{2 w'_z} \left(\frac{1}{h_{o,2}^2} - \frac{1}{h_{o,1}^2} \right) \end{aligned} \quad (13-25)$$

ضخامت فیلم خروجی انتهایی $h_{o,2}$ را می‌توان بر حسب ضخامت فیلم خروجی اولیه $h_{o,1}$ و نموزمان Δt به صورت بیان کرد :

$$h_{o,2} = \frac{h_{o,1}}{\left[1 + \left(2\omega_z' \Delta t h_{o,1}^2 / \eta_0 \ell^3\right)\right]^{1/2}} \quad (13-26)$$

مسئله نمونه ۱۳-۱ - سرعت جدایی لازم به صورت تئوری برای تقلیل فشار فیلم روغن بین دو صفحه موازی 0.025 m طول و عرض بی‌نهایت تا فشار صفر مطلق را حساب کنید ، اگر فیلم روغن جداشونده از صفحات به ضخامت $25 \mu\text{m}$ و لزجت 0.5 N.s/m داشته باشد .

حل : با تقلیل فشار تا صفر مطلق بدان معنی است که $p_m = -0.1 \text{ MPa}$ در معادله (۱۳-۱۳) و :

$$\frac{\partial h_o}{\partial t} = -\frac{2h_o^3}{3\eta_0 \ell^2 p_m} = \frac{-2(25)^3 (10^{-6})^3 (-0.1)(10^6)}{3(0.5)(0.025)^2} = 0.33 \times 10^{-4} \text{ m/s}$$

از این حل واضح است که یک سرعت جدایی بی‌نهایت کوچک متنه به کاویتاپیون و شکست فیلم روغن خواهد بود .

مسئله نمونه ۱۳-۲ - اگر بار عرض ω برابر با $20,000 \text{ N/m}$ در شرایط موجود در مسئله نمونه ۱۳-۱ اعمال شود، زمان لازم برای تقلیل ضخامت فیلم به (الف) $2.5 \mu\text{m}$ ، (ب) $2.5 \mu\text{m}$ و (ج) صفر را محاسبه کنید .

حل : (الف) با استفاده از معادله (۱۳-۲۵) داریم :

$$\begin{aligned} \Delta t &= \frac{\eta_0 \ell^3}{2\omega_z'} \left(\frac{1}{h_{o,2}^2} - \frac{1}{h_{o,1}^2} \right) = \frac{0.5(0.025)^3}{2(20,000)} \left[\frac{1}{(2.5 \times 10^{-6})^2} - \frac{1}{(25 \times 10^{-6})^2} \right] \\ &= 1.95 \times 10^{-10} (0.16 - 0.0016) 10^{12} = 30.9 \text{ s} \end{aligned}$$

(ب)

$$\begin{aligned} \Delta t &= 1.95 \times 10^{-10} \left[\frac{1}{(0.25 \times 10^{-6})^2} - \frac{1}{(25 \times 10^{-6})^2} \right] \\ &= 3120 \text{ s} \end{aligned}$$

$$\Delta t = 1.95 \times 10^{-10} \left[\frac{1}{0} - \frac{1}{(25 \times 10^{-6})^2} \right] = \infty \quad (ج)$$

این مشخص می کند که به صورت تئوری روغن هرگز از فضای بین صفحات موازی با فشار خارج نخواهد شد.

تفاوت روش بدون بُعد کردن بار برای عمل فشردگی معمولی در برابر با روش بدون بُعد کردن برای یک یاتاقان کشیی باید ملاحظه شود . برای عمل فشردگی معمولی ، ضمن حرکت سطوح یاتاقان به سمت یکدیگر ، سیال لزج از خود اکراه زیادی در به صورت فشرده خارج شدن از جوانب یاتاقان نشان می دهدن . سختی فیلم فشرده خیلی قابل ملاحظه است و بقاء خیلی از یاتاقانهای مدرن بستگی به این پدیده دارد . عبارت ظرفیت حمل بار عمودی بدون بُعد برای یک یاتاقان تحت عمل فشرده شدن را می توان نوشت :

$$(W_z)_{squeeze} = \frac{w'_z}{\eta_0 w} \left(\frac{h_o}{\ell} \right)^3 = O[1] \quad (13-27)$$

در فصل ۸ ، ظرفیت حمل بار عمودی برای یک یاتاقان کشیی بدین طریق بدون بُعد گردید :

$$(W_z)_{sliding} = \frac{w'_z}{\eta_0 u_b} \left(\frac{h_o}{\ell} \right)^2 = O[1] \quad (13-28)$$

به تفاوت نما در عبارت $// h_0$ در معادلات (۱۳-۲۷) و (۱۳-۲۸) توجه کنید .

نکته دیگری که باید در باره نتایجی که تاکنون ارائه شده است ، بدان اشاره نمود مربوط به جدایی سطوح است . سرعتهای جدایی خیلی خیلی کوچک می توانند فشارهای خیلی خیلی پایین ایجاد نموده و احتمال کاویتاسیون به صورت آزادسازی گاز یا جوشش در فشارهای تقلیل یافته را افزایش می دهد . یکی از متدائل ترین احتمالات ضرر کاویتاسیون جذی در یاتاقانها ، مربوط به تغییرات در شرایط عملی است که سعی در کشیدن سطوح یاتاقان به دور از هم در حضور روان کننده دارد .

۱۳-۲ یاتاقان ژورنال

در غیاب چرخش ، از فصل ۱۱ (معادلات (۱۱-۲۰) و (۱۱-۲۱)) ، داریم :

$$\omega = \frac{\partial \Phi}{\partial t} = 0 \quad (11-20)$$

و :

$$\frac{\partial}{\partial \phi} \left(h^3 \frac{\partial p}{\partial \phi} \right) + r_a^2 \frac{\partial}{\partial y} \left(\frac{h^3}{\eta} \frac{\partial p}{\partial y} \right) = 12 r_a^2 \frac{\partial e}{\partial t} \cos(\theta' - \Phi) \quad (11-21)$$

اگر از نشت کناری صرف نظر شده و لزجت ثابت در نظر گرفته شود ، این معادله به شکل زیر تقلیل می‌یابد :

$$\frac{\partial}{\partial \phi} \left(h^3 \frac{\partial p}{\partial \phi} \right) = 12 r_a^2 \eta_0 \frac{\partial e}{\partial t} \cos(\theta' - \Phi) \quad (13-29)$$

ولی ضخامت فیلم در یک یاتاقان ژورنال در فصل ۱۰ به صورت زیر تعریف شده است :

$$h = c(1 + \epsilon \cos \phi) \quad (10-5)$$

توجه داشته باشید که این ضخامت فیلم معادل با مقدار داده شده در فصل ۱۱ (معادله ۱۱-۱۴) است ؛ زیرا $\Phi' - \theta = \phi$ می‌باشد . با استفاده از معادله (۱۰-۵) ، معادله (۱۳-۱) به شکل زیر نتیجه می‌دهد :

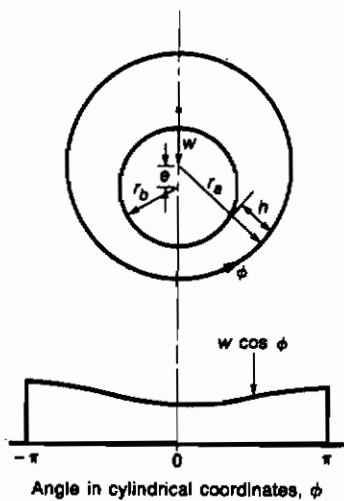
$$\frac{\partial}{\partial \phi} \left(h^3 \frac{\partial p}{\partial \phi} \right) = 12 \eta_0 r_a^2 \frac{\partial h}{\partial t} = -12 \eta_0 r_a^2 w \quad (13-30)$$

که در آن $w = -\partial h / \partial t$ سرعت فشردگی عمودی است .

شکل فیلم بیان شده در معادله (۱۰-۵) و نشان داده شده در شکل ۱۱-۱ نشان می‌دهد که ضخامت فیلم در $\phi = 0$ بزرگترین مقدار را دارد . جهت شرط حرکت فشردگی معمولی در یک یاتاقان ژورنال ، شکل ۱۳-۲ می‌تواند مورد استفاده قرار گیرد . در اینجا محور ϕ در ضخامت فیلم کمینه شروع می‌شود . بنابراین شکل فیلم به صورت زیر تعریف می‌شود :

$$h = c(1 - \epsilon \cos \phi) \quad (13-31)$$

این تغییر ، معادله رینولدز بیان شده در معادله (۱۳-۳۰) را تحت تأثیر قرار نمی‌دهد .



شکل ۱۳-۲ - یاتاقان ژورنال با عمل فشردگی فیلم عمودی . سرعتهای چرخشی همه صفر هستند

وقتی ژورنال مثل شکل ۱۳-۲ باز شود ، می توان دید که نرخی که در آن ضخامت فیلم داده شده توسط معادله (۱۳-۳۱) به خاطر حرکت فشردگی عمودی در حال تقلیل است ، برابر با $w \cos \phi$ می باشد . بنابراین برای ژورنال به صورت باز شده ، معادله رینولدز می شود :

$$\frac{d}{d\phi} \left(h^3 \frac{dp}{d\phi} \right) = - 12 \eta_0 r_a^2 w \cos \phi \quad (13-32)$$

با انتگرال گیری نسبت به ϕ داریم :

$$\frac{dp}{d\phi} = - \frac{12 \eta_0 r_a^2 w \sin \phi}{h^3} + \tilde{A}$$

تقارن حول خط مرکز ، ایجاب می کند که وقتی $dp/d\phi = 0$ ، $\phi = 0$ باشد ؛ بنابراین $\tilde{A} = 0$ و :

$$\frac{dp}{d\phi} = - \frac{12 \eta_0 r_a^2 w \sin \phi}{h^3} \quad (13-33)$$

عبارت ضخامت فیلم داده شده در معادله (۱۳-۳۱) به صورت زیر است :

$$\frac{dp}{d\phi} = - \frac{12\eta_0 r_a^2 w \sin \phi}{c^3 (1 - \varepsilon \cos \phi)^3}$$

با انتگرال گیری داریم :

$$p = \frac{6\eta_0 r_a^2 w}{\varepsilon c^3 (1 - \varepsilon \cos \phi)^2} + \tilde{B} \quad (13-34)$$

اگر فشار p باید مقدار معینی، وقتی $0 \rightarrow \varepsilon$ میل می‌کند، داشته باشد؛ لازم است که :

$$\tilde{B} = - \frac{6\eta_0 r_a^2 w}{\varepsilon c^3} \quad (13-35)$$

$$\therefore p = \frac{6\eta_0 r_a^2 w}{c^3} \frac{\cos \phi (2 - \varepsilon \cos \phi)}{(1 - \varepsilon \cos \phi)^2} \quad (13-36)$$

ظرفیت حمل بار عمودی را می‌توان نوشت :

$$w'_z = 2 \int_0^\pi p r_a \cos \phi \, d\phi$$

با جایگذاری معادله (۱۳-۳۶) در این معادله، داریم :

$$w'_z = \frac{12\eta_0 r_a^3 w}{c^3} \int_0^\pi \frac{\cos^2 \phi (2 - \varepsilon \cos \phi) \, d\phi}{(1 - \varepsilon \cos \phi)^2}$$

این رابطه به شکل زیر تقلیل می‌یابد :

$$w'_z = \frac{12\pi\eta_0 r_a^3 w}{c^3 (1 - \varepsilon^2)^{3/2}} \quad (13-37)$$

شکل ۱۳-۲ نشان می‌دهد که ضخامت فیلم وقتی $\phi = 0$ باشد، یک مقدار کمینه است. بنابراین از معادله (۱۳-۳۱) داریم :

$$h_{\min} = c(1 - \varepsilon) \quad (13-38)$$

$$\therefore \frac{dh_{\min}}{dt} = -c \frac{de}{dt} \quad (13-39)$$

زمان این رهیافت را می‌توان این گونه نوشت :

$$w = - \frac{dh_{\min}}{dt} = c \frac{de}{dt} \quad (13-40)$$

با جایگذاری معادله (13-40) در معادله (13-37) داریم :

$$\begin{aligned} \frac{\omega'_z c^2}{12\pi\eta_0 r_a^3} \int_{t_1}^{t_2} dt &= \int_{e_1}^{e_2} \left[\frac{de}{(1-e^2)^{1/2}} \right] = \left[\frac{e}{(1-e^2)^{1/2}} \right]_{e_1}^{e_2} \\ \therefore t_2 - t_1 &= \Delta t = \frac{12\pi\eta_0 r_a^3}{\omega'_z c^2} \left[\frac{e_2}{(1-e_2^2)^{1/2}} - \frac{e_1}{(1-e_1^2)^{1/2}} \right] \end{aligned} \quad (13-41)$$

مساهه نموده ۱۳-۳ - زمان لازم برای افزایش نسبت خارج از مرکز از ۰.۶ تا ۰.۹ در یک یاتاقان ژورنال با قطر ۵ cm و دارای لقی شعاعی $25\mu m$ ، لزجت روان کننده P ۱ ، و بار برابر واحد عرض N/m را محاسبه کنید .

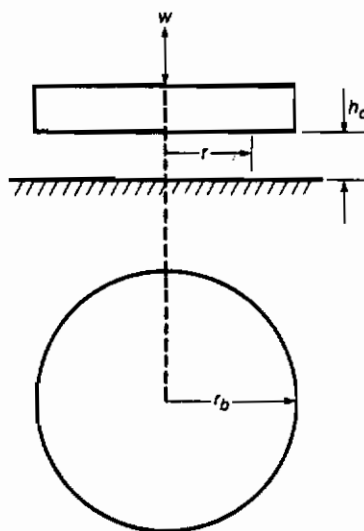
حل : از معادله (13-41) :

$$\begin{aligned} \Delta t &= \frac{12\pi(0.1)(0.025)^3}{(25)^2(10^{-12})(20,000)} \left[\frac{0.9}{(0.19)^{1/2}} - \frac{0.6}{(0.64)^{1/2}} \right] s \\ &= 4.71(2.064 - 0.750) s \\ &= 6.2 s \end{aligned}$$

۱۳-۴ صفحه مدور موازی

شکل هندسی یک صفحه مدور ، میل کننده به سمت یک صفحه در یک موقعیت موازی در شکل ۱۳-۳ نشان داده شده است . معادله رینولدز مناسب برای محورهای استوانه ای ، در معادله (13-۴) بیان می‌شود . اگر این سطوح موازی باشند ، تقارن محوری وجود داشته و فشار فقط تابعی از شعاع است . بنابراین :

$$\frac{d}{dr} \left(rh_o^3 \frac{dp}{dr} \right) = -12\eta_0 rw \quad (13-42)$$



شکل ۱۲-۳ - صفحه مدور موازی متغیر به سمت یک سطح صفحه‌ای

با انتگرال گیری داریم :

$$\frac{dp}{dr} = -\frac{6\eta_0 rw}{h_o^3} + \frac{\bar{A}}{rh_o^3}$$

چون $r = 0$ در $dp/dr = 0$ مقدار بی نهایت به دست نخواهد داد ، سپس $\bar{A} = 0$ است . بنابراین :

$$\frac{dp}{dr} = -\frac{6\eta_0 rw}{h_o^3} \quad (12-43)$$

با انتگرال گیری بیشتر داریم :

$$p = -\frac{3\eta_0 r^2 w}{h_o^3} + \bar{B}$$

شرط مرزی $r = r_b$ ، $p = 0$ است ، بنابراین داریم :

$$\therefore \bar{B} = \frac{3\eta_0 r_b^2 w}{h_o^3}$$

$$p = \frac{3\eta_0 w}{h_o^3} (r_b^2 - r^2) \quad (13-44)$$

$$p_m = \frac{3\eta_0 w r_b^2}{h_o^3} \quad (13-45)$$

مؤلفه بار عمودی را می توان نوشت :

$$w_z = \int_0^{r_b} 2\pi r p dr = \frac{6\pi\eta_0 w}{h_o^3} \left(\frac{r_b^2 r^2}{2} - \frac{r^4}{4} \right)_{r=0}^{r=r_b}$$

$$\therefore w_z = \frac{3\pi\eta_0 r_b^4 w}{2h_o^3} \quad (13-46)$$

زمان تمايل را می توان از اين معادله $w = -dh/dt$ به دست آورد :

$$\int dt = - \frac{3\pi\eta_0 r_b^4}{2w_z} \int_{h_{o,1}}^{h_{o,2}} \frac{dh}{h^3}$$

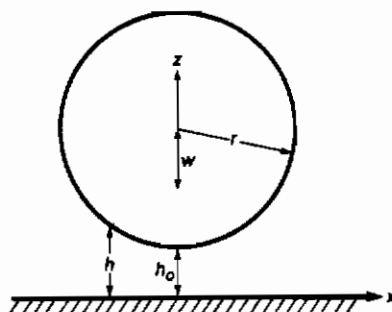
$$\Delta t = \frac{3\pi\eta_0 r_b^4}{4w_z} \left(\frac{1}{h_{o,2}^2} - \frac{1}{h_{o,1}^2} \right) \quad \text{پا} \quad (13-47)$$

۱۳-۴ سیلندر بی نهایت بلند نزدیک یک صفحه

تاکنون در این فصل شکل هندسی سطوح صلب روان کاري شده توسط حرکت فشرده عمودی مربوط به سطوح همدیسی بوده است . در این قسمت سطوح ناهمدیسی سیلندری بی نهایت بلند در يك صفحه مورد بررسی قرار می گيرد . شکل هندسی اين سطوح و محور مختصات مربوطه در شکل ۱۳-۴ نشان داده شده است . طول اين سیلندر نسبت به شعاعش بزرگ فرض می شود ، به گونه ای که از نشت کتاری بتوان صرف نظر کرد . مانند تمامی موارد دیگر در این فصل ، لزجت و جرم مخصوصاً ثابت و سطوح جامد ، صلب فرض می شوند .

معادله رینولدز مناسب عبارت است از :

$$\frac{d}{dx} \left(h^3 \frac{dp}{dx} \right) = -12\eta_0 w$$



شکل ۱۳-۴ - سیلندر صلب متمایل به سمت یک سطح موازی

یک بار انتگرال گیری ، می دهد :

$$\frac{dp}{dx} = -12\eta_0 w \frac{x}{h^3} + \bar{A}$$

با استفاده از شرط مرزی $dp/d\phi = 0$ وقتی $x = 0$ نتیجه می دهد که $\bar{A} = 0$ است . با انتگرال گیری دوبار داریم :

$$p = -12\eta_0 w \int \frac{x}{h^3} dx + \bar{B} \quad (13-48)$$

ضخامت فیلم در شکل ۱۳-۴ را می توان نوشت :

$$h = h_o + r - (r^2 - x^2)^{1/2} = h_o + r - r \left[1 - \left(\frac{x}{r} \right)^2 \right]^{1/2}$$

جمله آخر در سمت راست این معادله را می توان بر حسب سری این گونه بیان کرد :

$$h = h_o + r - r \left[1 - \frac{1}{2} \left(\frac{x}{r} \right)^2 - \frac{1}{8} \left(\frac{x}{r} \right)^4 - \frac{1}{16} \left(\frac{x}{r} \right)^6 - \dots \right]$$

$$h = h_o + \frac{1}{2} \left(\frac{x^2}{r} \right) \left[1 + \frac{1}{4} \left(\frac{x}{r} \right)^2 + \frac{1}{8} \left(\frac{x}{r} \right)^4 + \dots \right] \quad (13-49)$$

چون در ناحیه روان کاری $x < r$ ، به ترتیبی که $x^2/r^2 < 1$ ، این معادله می شود :

$$h = h_o + \frac{x^2}{2r} \quad (13-50)$$

یا :

$$dh = \frac{x dx}{r} \quad (13-51)$$

بنابراین معادله (13-48) می شود :

$$\begin{aligned} p &= -12\eta_0 wr \int \frac{dh}{h^3} + \tilde{B} \\ &= \frac{6\eta_0 wr}{h^2} + \tilde{B} \end{aligned}$$

با استفاده از این شرط مرزی که h وقتی فشار صفر است بزرگ می شود ، نتیجه $\tilde{B} = 0$ را می دهد ، بنابراین داریم :

$$\therefore p = \frac{6\eta_0 wr}{h^2} = \frac{6\eta_0 wr}{h_o^2} \frac{1}{(1 + x^2/2rh_o)^2} \quad (13-52)$$

مؤلفه بار عمودی را می توان نوشت :

$$\omega_z' = \int_{-r}^r p dx = \frac{6\eta_0 wr}{h_o^2} \int_{-r}^r \frac{dx}{(1 + x^2/2rh_o)^2} \quad (13-53)$$

فرض کنید که $x^2/2rh_o$ ، سپس داریم :

$$dx = (2rh_o)^{1/2} \sec^2 \psi d\psi \quad (13-54)$$

$$\left(1 + \frac{x^2}{2rh_o}\right)^2 = (1 + \tan^2 \psi)^2 = \sec^4 \psi$$

$$\therefore \int_{-r}^r \frac{dx}{\left(1 + x^2/2rh_o\right)^2} = (2rh_o)^{1/2} \int_{-\pi/2}^{\pi/2} \cos^2 \psi d\psi = \frac{\pi}{2} (2rh_o)^{1/2} \quad (13-55)$$

و

$$\omega'_z = \frac{3\pi\eta_0 wr}{h_o} \left(\frac{2r}{h_o}\right)^{1/2} \quad (13-56)$$

زمان میل کردن را می‌توان مستقیماً از این معادله خمن استفاده از این حقیقت که $w = -dh_0/dt$ است، این گونه نوشت:

$$\begin{aligned} \frac{\omega'_z}{3\pi\eta_0 r\sqrt{2r}} \int dt &= - \int_{h_{o,1}}^{h_{o,2}} \frac{dh_o}{h_o^{3/2}} = \left(\frac{2}{h_o^{1/2}}\right)_{h_o=h_{o,1}}^{h_o=h_{o,2}} \\ \therefore \Delta t &= \frac{6\sqrt{2}\pi\eta_0 r}{\omega'_z} \left[\left(\frac{r}{h_{o,2}}\right)^{1/2} - \left(\frac{r}{h_{o,1}}\right)^{1/2} \right] \end{aligned} \quad (13-57)$$

اگر $h_{o,2} \ll h_{o,1}$ باشد، داریم:

$$\Delta t = \frac{6\sqrt{2}\pi\eta_0 r}{\omega'_z} \left(\frac{r}{h_{o,2}}\right)^{1/2} \quad (13-58)$$

۱۳-۵ مؤخره

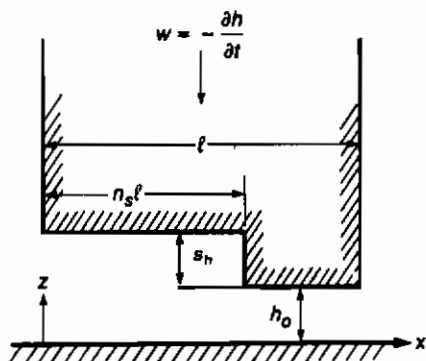
ایجاد فشار مشبت در یک سیال بین دو سطح، وقتی سطوح به طرف یکدیگر در حرکتند، به دست آمد. زمان معینی جهت تخلیه سیال از این شکاف لازم است. این عمل یک اثر مفید بالشتکی در یاتاقان فراهم می‌آورد. اثر معکوس، یعنی که سطوح از یکدیگر جدا می‌شوند اتفاق می‌افتد، می‌تواند متنه‌ی به کاویتاسیون در فیلم مایع شود.

دریافتیم که یک شکل فیلم موازی، بزرگترین ظرفیت حمل بار عمودی، در تمام حالات ممکن از فیلم را به وجود آورد. این نتیجه مخالف با نتایج یاتاقان کشویی داده شده

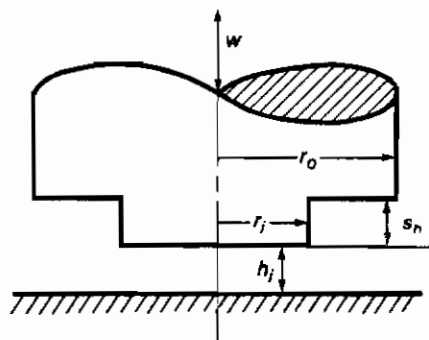
در فصل ۸ است ، که در آن فیلم موازی را نشان داده شد که فشار مثبت تولیدنکرده و بنابراین ظرفیت حمل بار به وجود نمی آورد . همچنین نتیجه گرفتیم که در عمل فشرده‌گی عمودی ، ضمن حرکت سطوح یاتاقان به سمت یکدیگر ، سیال لزج اکراه زیادی از این که بخواهد با فشار از جوانب یاتاقان خارج می شود ، از خود نشان می دهد . سختی یک فیلم فشرده شده قابل توجه است و بقاء خیلی از یاتاقانهای مدرن بستگی به این پدیده دارد . و نیز دریافتیم که یک سرعت میل نسبتاً کوچک ، یک ظرفیت حمل بار کاملاً بزرگی تولید می کند . اشکال هندسی گوناگون که موردن بررسی قرار گرفتند ، یک یاتاقان با سطح موازی ، یک یاتاقان ژورنال ، یک صفحه مدور موازی ، و یک سیلندر بی نهایت بلند نزدیک یک صفحه بودند . برای هر کدام از این شکلها نه تنها فشار بلکه ظرفیت حمل بار و زمان میل نیز داده می شود .

۱۳-۶ مسائل

۱۳-۶-۱ در یاتاقان پله موازی داده شده زیر ، از نشت کناری صرف نظر کرده و فرض کنید که فقط یک حرکت فشرده‌گی عمودی وجود دارد . توزیع فشار برای نواحی ورودی و خروجی را تعیین کنید . همچنین موقعیت فشار بیشینه ، ظرفیت حمل بار عمودی ، و نرخ جریان حجمی را تعیین کنید .



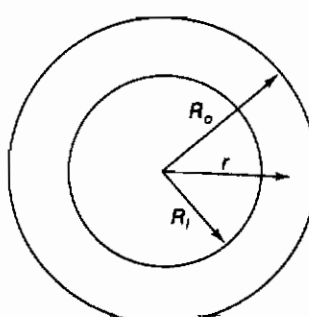
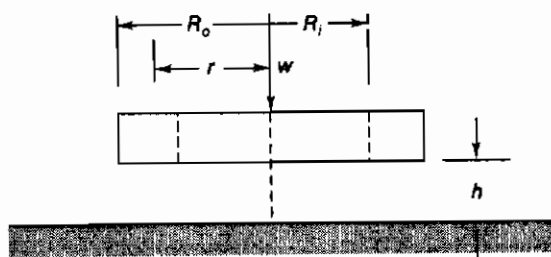
۱۳-۶-۲ عباراتی برای توزیع فشار ، ظرفیت حمل بار و زمان میل کردن برای وضعیت فیلم فشرده شده و شکل هندسی زیر به دست آورید :



در مختصات استوانه ای قطبی ، معادله رینولدز برای شرایط غیرقابل تراکم ، لزجت ثابت در معادله (۱۳-۴) بیان می شود . در این مسئله تقارن محوری فرض شده که نتیجه می دهد ، فشار فقط تابعی از شعاع است . بنابراین معادله رینولدز به صورت زیر تقلیل می یابد :

$$\frac{\partial}{\partial r} \left(r h^3 \frac{\partial p}{\partial r} \right) = - 12 \eta_0 r w$$

۱۳-۶-۳ برای یاتاقان فیلم فشرده شده عمودی نشان داده شده زیر ، عباراتی برای توزیع فشار ، ظرفیت حمل بار عمودی ، و زمان میل کردن به دست آورید :



تقارن محوری فرض کرده و فشار در $r = R_0$ و $r = 0$ صفر است.

۱۳-۶-۴ معادله رینولدز برای عمل فیلم فشرده در یک روان کننده غیرقابل تراکم موجود بین دو سطح یاتاقان غیر موازی با عرض بی نهایت میل کننده به سمت یکدیگر با سرعت :

$$\frac{d}{dx} \left(h^3 \frac{dp}{dx} \right) = 12\eta_0 w_0$$

است. از نشت کناری صرف نظر می شود. عبارتی برای زمان کاهش ضخامت فیلم کمینه در یک یاتاقان با کفشد کشیب دار از مقدار اولیه $h_{0,1}$ به مقدار انتهایی $h_{0,2}$ تحت عمل یک بار ثابت در واحد عرض ω بیابید. در تجزیه و تحلیل فرضیه ها باید به وضوح بیان شوند.

اگر ارتفاع شانه در ابتدا برابر با ضخامت فیلم خروجی روی یک کفشد کمینه را از ۰.۰۰۱ اینچ به ۰.۰۰۰۱ اینچ تقلیل دهد، به دست آورید؛ اگر لزجت روان کننده P باشد.

فصل چهاردهم

روان کاری هیدرولاستاتیکی

در فصلهای ۸ تا ۱۲ روان کاری هیدرودینامیکی ، که در آن سطح یاتاقان کاملاً توسط یک فیلم سیال از یکدیگر جدا می شوند ، مورد بررسی قرار گرفتند . با استفاده از عمل لغزندگی جدایی فیلم به دست آمد تا با مکانیزم تولید فشار گره فیزیکی ، فشار داخل یاتاقان توسعه یابد . چنین یاتاقانهای علاوه بر داشتن نیروی بازدارنده از حرکت اصطکاکی پایین و نیز افت قدرت پایین ، از امتیاز بسیار خوب ساده بودن ، برخوردارند . لذا قابل اعتماد و ارزان بوده و نگهداری آنها راحت است ، یاتاقانهای کشوبی روان کاری شونده به صورت هیدرودینامیکی خود عمل کننده هستند ، اگرچه که از معایب مهم و بخصوص زیر ، برخوردارند :

- ۱- اگر سرعت طراحی پایین باشد ، ممکن است تولید فشار هیدرودینامیکی لازم ، امکان پذیر نباشد .
- ۲- روان کاری فیلم سیال ممکن است در زمان شروع ، تغییر جهت داده و یا قطع شود .
- ۳- در یاتاقان زورناال در نظر گرفته شده در فصلهای ۱۰ تا ۱۲ ، محور به طور هم مرکزی کارکرده و موقعیت یاتاقان با بار تغییر می کند ؛ بنابراین دلالت بر شقی پایین دارد .

در یاتاقانهای روان کاری شونده هیدرولاستاتیکی (همچنین «تحت فشار از خارج» نامیده می شود) ، سطوح یاتاقان توسط یک فیلم سیال نگه داشته شده توسط یک منبع فشار در خارج

این یاتاقان جدا می شوند . یاتاقانهای هیدرواستاتیکی معایب ۱ و ۲ را نداشته و تغییرات موقعیت یاتاقان با بار ذکر شده در معایب ۳ را تقلیل می دهند . مشخصه های یاتاقانهای روان کاری شونده به صورت هیدرواستاتیکی عبارتند از :

- ۱- اصطکاک خیلی خیلی پایین .
- ۲- ظرفیت حمل بار بسیار بالا در سرعتهای پایین .
- ۳- دقت جایگذاری خیلی بالا در سرعت بالا و کاربرد بار سبک .
- ۴- یک سیستم روان کاری پیچیده تر از آن برای یاتاقانهای خود عمل کننده (در نظر گرفته شده در فصلهای ۸ تا ۱۲) .

بنابراین یاتاقانهای روان کاری شونده هیدرواستاتیکی زمانی مورد استفاده قرار می گیرند ، که نیاز مبرمی به آنها باشد ؛ مثل تلسکوپهای بزرگ و واحدهای جستجوکننده رادار ، که در آنها بارهای خیلی سنگین و سرعتهای خیلی خیلی پایین استفاده می شوند ، یا در ماشین ابزارها و ژیروسکوپها ، که در آنها سرعتهای خیلی بالا ، بارهای سبک و روان کننده های گازی استفاده می شوند .

۱۴-۱ تشکیل فیلم سیال

شکل ۱۴-۱ چگونگی تشکیل یک فیلم سیال در یک سیستم یاتاقان روان شونده هیدرواستاتیکی رانشان می دهد . در یک سیستم یاتاقان ساده بدون فشار (شکل ۱۴-۱ الف) ، قسمت چرخنده که تحت تأثیر بار p_1 است ، روی کفشك یاتاقان قرار داده می شود . ضمن افزایش فشار منبع (شکل ۱۴-۱ ب) ، فشار در تورفتگی کفشك نیز افزایش می یابد . فشار قسمت تورفتگی تا نقطه ای افزایش می یابد (شکل ۱۴-۱ ج) که فشار روی قسمت چرخنده بر روی مساحتی برابر با مساحت تورفتگی کفشك به اندازه کافی برای بلند کردن بار باشد . این ، به طور متدائل «بالابری فشار» p_2 نامیده می شود . درست بعد از این که قسمت چرخنده از کفشك یاتاقان جدا می شود (شکل ۱۴-۱ د) ، فشار تورفتگی کمتر از مقدار لازم برای بلند کردن چرخنده یاتاقان است ($p_2 < p_1$) . پس از بلند شدن ، جریان به داخل سیستم وارد می شود . بنابراین یک افت فشار بین منبع فشار و یاتاقان و از (در عرض محدود کننده) تورفتگی تا خروجی یاتاقان وجود دارد . اگر بار بیشتری به یاتاقان اضافه شود (شکل ۱۴-۱ ه) ، ضخامت فیلم کاهش یافته و فشار تورفتگی بالا خواهد رفت تا فشار انتگرال گرفته شده در عرض

زمین با بار برابر شود . اگر بار سپس به کمتر از مقدار اولیه تقلیل یابد (شکل ۱۴-۱) ، ضخامت فیلم تا مقدار بالاتری افزایش خواهد یافت و فشار تورفتگی مطابق با آن کاهش می یابد . بار بیشینه که می تواند توسط کفشد حمایت شود ، از لحاظ توری ، وقتی که فشار تورفتگی برابر با فشار منبع است ، به دست خواهد آمد اگر باری بزرگتر از این به کار گرفته شود ، یاتاقان خواهد نشست ، و همانطور نشسته باقی می ماند تا بار تقلیل یابد و دوباره توسط فشار منبع حمایت می شود .

۱۴-۲ توزیع فشار و جریان

یاتاقان شکل ۱۴-۲ را در نظر بگیرید ، در این یاتاقان بار p توسط یک سیال به تورفتگی در r تحمل شده و جریان روان کننده شعاعی است . تورفتگیها یا جیبها روی یکی از سطوح به عمق Δ تعبیه می شوند تا فشار متوجه را افزایش دهند . فشار در تورفتگی برروی تمام مساحت جیبها ثابت است ، اگر برای روان کننده های مایع $10 > h_0 / \Delta$ باشد . فرض کنید در سرتاسر تورفتگی $p = p$ است .

با فرض این که در هر وضعیت شعاعی با زاویه ای ضخامت فیلم یکسان است ، و این که فشار در جهت θ تغییر نمی کند ، از معادله (۷-۵۷) معادله رینولدز مناسب عبارت است از :

$$\frac{\partial}{\partial r} \left(r \frac{\partial p}{\partial r} \right) = 0$$

با یک بار انتگرال گیری می دهد :

$$\frac{dp}{dr} = \bar{A}$$

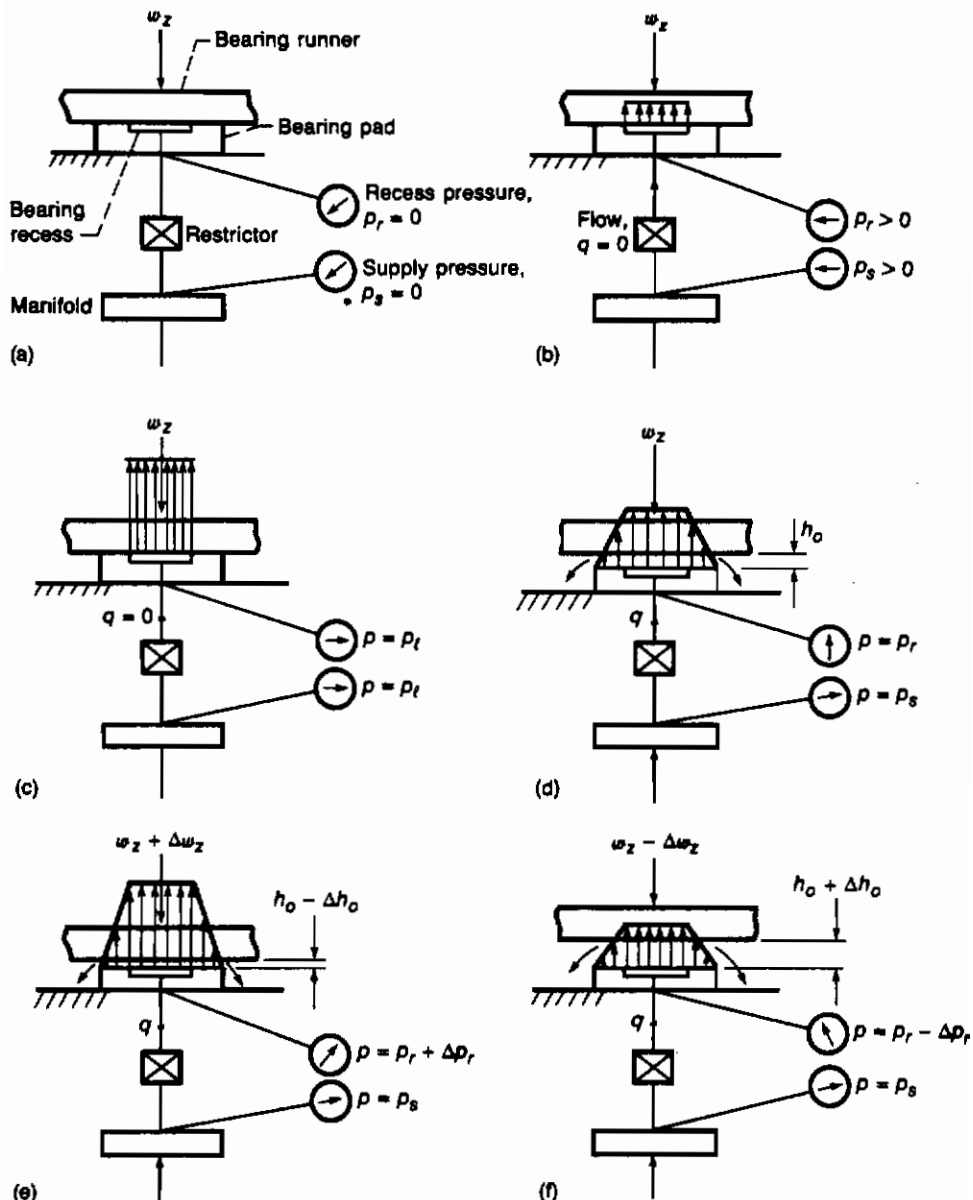
با انتگرال گیری مجدد داریم :

$$p = \bar{A} \ln r + \bar{B} \quad (14-1)$$

شرط مرزی برای یاتاقان کف گرد مدور نشان داده شده در شکل ۱۴-۲ ، عبارتند از :

$$\cdot r = r_i \text{ در } p = p_i - 1$$

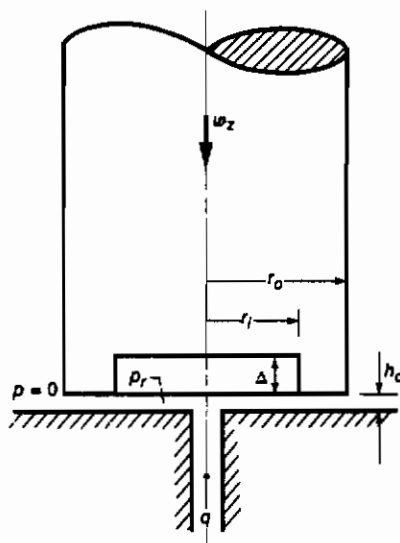
$$\cdot r = r_0 \text{ در } p = 0 - 2$$



شکل ۱-۱-۱: تشکیل سیال در سیستم یاتاقان هیدرولاستاتیک. (الف) پیپ خاموش ،

(ب) فشار در حال افزایش ، (ج) فشار ضرب در مساحت تورفتگی برابر با بار عمردی اعمال شده ،

(د) یاتاقان در حال عمل ، (ه) بار افزوده شده ، (و) بار کاهش داده شده



شکل ۱۴-۲ - پاتاقان گفته هیدرولاستاتیک جریان شعاعی با گفتش پله ای مدور

با استفاده از این شرایط مرزی ، داریم :

$$p = p_r \frac{\ln(r/r_o)}{\ln(r_i/r_o)} \quad (14-2)$$

و :

$$\frac{dp}{dr} = \frac{p_r}{r \ln(r_i/r_o)} \quad (14-3)$$

نرخ جریان حجمی شعاعی بر محیط به صورت زیر داده می شود :

$$q'_r = - \frac{h_o^3}{12\eta_0} \frac{dp}{dr} = - \frac{h_o^3 p_r}{12\eta_0 r \ln(r_i/r_o)} \quad (14-4)$$

نرخ جریان حجمی کلی می شود :

$$q = 2\pi r q'_r = - \frac{\pi h_o^3 p_r}{6\eta_0 \ln(r_i/r_o)} = \frac{\pi h_o^3 p_r}{6\eta_0 \ln(r_o/r_i)} \quad (14-5)$$

۱۴-۳ مؤلفه بار عمودی

با استفاده از معادله (۱۴-۲) ، توزیع فشار در یک یاتاقان کف گرد هیدرواستاتیکی با جریان شعاعی (نشان داده شده در شکل ۱۴-۳) را می توان به دست آورد . مؤلفه بار عمودی توسط نیروی فشار کلی متعادل می شود و یا خواهیم داشت :

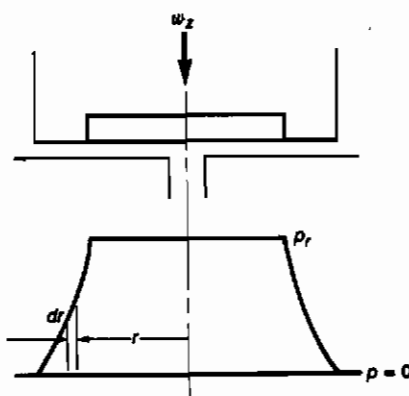
$$w_z = \pi r_i^2 p_r + \int_{r_i}^{r_o} \frac{p_r \ln(r/r_o)}{\ln(r_i/r_o)} 2\pi r dr$$

این عبارت ، به صورت زیر تقلیل می یابد :

$$w_z = \frac{\pi p_r (r_o^2 - r_i^2)}{2 \ln(r_o/r_i)} \quad (14-6)$$

توجه داشته باشید که بار تابعی از لزجت نیست ؛ بنابراین نمی توان از هر میالی که ماده یاتاقان را از بین نمی برد استفاده کرد . در جایی که میال از قبل در دستگاه وجود دارد ، این یک روان کننده ایده آل است . مثال :

- ۱- نفت در موتورهای هوایپما .
- ۲- آب در ماشینهای هیدرولیکی .
- ۳- اکسیژن مایع در موتور راکت .



شکل ۱۴-۳- توزیع فشار در یاتاقان کف گرد هیدرواستاتیکی با جریان شعاعی

ملاحظاتی دیگر در باره معادلات توسعه یافته :

- ۱ - اگر $\omega = (\pi r^2)$ (فشار بالابری) باشد ، «بلندشدن» رخ می دهد که در طراحی یاتاقانهای هیدرواستاتیکی این کنترل اهمیت دارد .
- ۲ - از معادلات (۱۴-۵) و (۱۴-۶) می توان دریافت که برای یک هندسه یاتاقان سیال ، داریم :

$$w_z \propto p_r, \quad \text{and} \quad p_r \propto \frac{q}{h_o^3}$$

$$\therefore q \propto w_z h_o^3$$

بنابراین برای یک نرخ جریان سیال ثابت ، ظرفیت حمل بار ω ضمن کاهش ضخامت فیلم افزایش می یابد . این بدان معنی است که یک یاتاقان با نرخ جریان ثابت ، خود جبران کننده است . بار حدی عملکردی q/h_o به اندازه زیری سطح تقلیل می یابد ، به دست می آید .

۱۴-۳ گشتاور اصطکاکی و آلت توان

با فرض این که : ۱ - مؤلفه محیطی سرعت سیال در عرض فیلم به صورت خطی تغییر می کند ، ۲ - اصطکاک لزجت در داخل تورنگی صرف نظر می شود ؛ از معادله (۱۴-۶) نیروی برشی روی یک المان سیال را می توان به صورت زیر نوشت :

$$f = \eta_0 A \frac{u}{h_o} = \eta_0 (r d\phi dr) \frac{\omega r}{h_o} = \frac{\eta_0 \omega r^2 dr d\phi}{h_o}$$

گشتاور اصطکاکی برابر است با :

$$t_q = \frac{\eta_0 \omega}{h_o} \int_0^{2\pi} \int_{r_i}^{r_o} r^3 dr d\phi = \frac{\pi \eta_0 \omega}{2h_o} (r_o^4 - r_i^4) \quad (14-7)$$

آلت قدرت کلی لازم از دو قسمت تشکیل می شود :

۱ - اتلاف لزجت :

$$H_v = \omega t_q = \frac{\pi \eta_0 \omega^2}{2h_o} (r_o^4 - r_i^4) \quad (14-8)$$

-۲- افت پمپاژ :

$$\bar{H}_p = p_r q = \frac{\pi h_o^3 p_r^2}{6\eta_0 \ln(r_o/r_i)} \quad (14-9)$$

بنابراین افت قدرت کلی رامی توان به صورت زیر بیان کرد :

$$H_t = H_v + \bar{H}_p = \frac{\pi \eta_0 \omega^2}{2h_o} (r_o^4 - r_i^4) + \frac{\pi h_o^3 p_r^2}{6\eta_0 \ln(r_o/r_i)} \quad (14-10)$$

توجه داشته باشید که H_t از این معادله به طور معکوس متناسب با h_0 بوده و \bar{H}_p متناسب با p_r^2 است.

غالباً سرعتهای یاتاقان کم بوده و فقط قدرت پمپاژ قابل توجه است . با فرض این که قطر خارجی یاتاقان $2r_0$ به خاطر محدودیتهای فیزیکی ثابت می شود ، بسیاری از ترکیبات اندازه تورفتگی یاتاقان و فشار ، بار را حمایت خواهد کرد . برای یاتاقانهای هیدرواستاتیکی بزرگ ، کمینه کردن قدرت می تواند مهم باشد . یعنی ما دوست داریم بدانیم که اندازه تورفتگی بهینه برای قدرت پمپاژ کمینه چیست .

با بیان فشار تورفتگی از معادله (14-6) به صورت زیر :

$$p_r = \frac{2w_z \ln(r_o/r_i)}{\pi(r_o^2 - r_i^2)}$$

و با استفاده از معادله (14-5) ، افت فشار را به دلیل قدرت پمپاژ ، به صورت زیر داریم

$$\bar{H}_p = p_r q = \frac{\pi h_o^3}{6\eta_0 \ln(r_o/r_i)} \frac{4w_z^2 [\ln(r_o/r_i)]^2}{\pi^2 (r_o^2 - r_i^2)^2} = \frac{2h_o^3 w_z^2 \ln(r_o/r_i)}{3\pi \eta_0 (r_o^2 - r_i^2)^2}$$

با مشتق گیری بر حسب r_i و برابر قرار دادن با صفر ، ضمن فرض یک بار ثابت داریم :

$$\frac{\partial \bar{H}_p}{\partial r_i} = 0 \quad \text{and} \quad \ln \frac{r_o}{r_i} = \frac{1}{4} \left(\frac{r_o^2}{r_i^2} - 1 \right)$$

بنابراین $r_i/r_0 = 0.53$ می شود . این افت قدرت پمپاژ کمینه را به وجود می آورد :

مسانده نهوده ۱۴-۱- طبق شکل ۱۴-۲ یک یاتاقان کف گرد پله ای مدور به صورت

هیدرواستاتیکی روان کاری می شود ، و این مقادیر را داریم :

$$r_o = 7.5 \text{ cm}$$

$$r_i = 5.0 \text{ cm}$$

$$w_z = 50 \text{ kN}$$

$$N_a = 15 \text{ r/s}$$

$$\eta_0 = 2.4 \times 10^{-2} \text{ N} \cdot \text{s/m}^2$$

اگر ضخامت فیلم مطلوب $100\mu\text{m}$ باشد ، فشار تورفتگی ، نرخ جریان ، و افت قدرت برای این یاتاقان را تعیین کنید .

حل : از معادله (۱۴-۶) بار عمودی می شود :

$$w_z = \frac{\pi p_r (r_o^2 - r_i^2)}{2 \ln(r_o/r_i)}$$

از این معادله ، فشار تورفتگی را می توان به صورت زیر بیان کرد :

$$\begin{aligned} p_r &= \frac{2 w_z \ln(r_o/r_i)}{\pi(r_o^2 - r_i^2)} \\ &= \frac{2(50)(10^3) \ln(7.5/5)}{\pi \times 10^{-4} [(7.5)^2 - (5)^2]} \\ &= 0.413 \times 10^7 \text{ N/m}^2 = 4.13 \text{ MPa} \end{aligned}$$

از معادله (۱۴-۵) نرخ جریان حجمی کلی می شود :

$$\begin{aligned} q &= \frac{\pi h_o^3 p_r}{6 \eta_0 \ln(r_o/r_i)} = \frac{\pi (100 \times 10^{-6})^3 (4.13 \times 10^6)}{6(2.4)(10^{-2}) \ln(7.5/5)} \\ &= 0.0133 \text{ m}^3/\text{min} = 0.8 \text{ m}^3/\text{h} \end{aligned}$$

از معادله (۱۴-۱۰) ، افت قدرت کلی را می توان به صورت زیر بیان کرد :

$$H_t = H_r + H_p = \frac{\pi \eta_0 \omega^2}{2 h_o} (r_o^4 - r_i^4) + \frac{\pi h_o^3 p_r^2}{6 \eta_0 \ln(r_o/r_i)}$$

بنابراین افت قدرت به دلیل افت لزجت ، می شود :

$$\begin{aligned} H_r &= \frac{\pi (2.4 \times 10^{-2})}{2(100 \times 10^{-6})} [(15)(2\pi)]^2 (10^{-4}) (10^{-4}) [(7.5)^4 - 5^4] \\ &= 85 \text{ W} = \underline{0.085 \text{ kW}} \end{aligned}$$

أفت قدرت به دلیل أفت پمپاژ ، می شود :

$$H_p = \frac{\pi(100 \times 10^{-6})^3 (0.413 \times 10^7)^2}{6(2.4 \times 10^{-2}) \ln(7.5/5)}$$

$$= 0.092 \times 10^4 \text{ W} = \underline{0.92 \text{ kW}}$$

$$H_t = 0.085 + 0.92 = \underline{1.005 \text{ kW}}$$

توجه داشته باشید که $H_p \approx H_t$ و $H_t \approx H_o$ است .

۱۴-۵ ضرایب کفشد

معادلات (۱۴-۵) ، (۱۴-۶) ، و (۱۴-۹) جریان ، بار ، و افت قدرت برای یک کفشد یاتاقان پله موازی را بیان می کنند . بدون در نظر گیری شکل یا اندازه ظرفیت حمل بار یک کفشد یاتاقان را می توان به شکل کلی تری بیان کرد :

$$w_z = q_b A_p p_r \quad (14-11)$$

که در آن q_b = ضریب بار کفشد یاتاقان بدون بُعد .

A_p = کل تصویر مساحت کفشد ، بر حسب m^2 .

مقدار جریان روان کننده در عرض یک کفشد و از میان لقی یاتاقان ، می شود :

$$q = q_b \frac{w_z}{A_p} \frac{h_o^3}{\eta_0} \quad (14-12)$$

که در آن q_b ضریب بدون بُعد جریان کفشد یاتاقان است . قدرت پمپاژ لازم برای کفشد هیدرواستاتیکی را می توان توسط حاصل ضرب فشار تورفتگی و جریان به دست آورد . فرض کنید که سرعت زاویه ای صفر است به ترتیبی که افت لزجت به خاطر افت توان صفر است :

$$\bar{H}_p = p_r q = H_b \left(\frac{w_z}{A_p} \right)^2 \frac{h_o^3}{\eta_0} \quad (14-13)$$

که در آن $H_b = q_b/a_b$ ضریب بدون بعد قدرت کفشدگی یاتاقان است . بنابراین طراح یاتاقانهای هیدرولاستاتیکی در ابتدا سه ضریب بدون بعد یاتاقان (a_b ، q_b ، و H_b) را مورد رسیدگی قرار می دهد . مقادیر هر دو ضریب از این ضرایب برای تعیین سومی کافی است . ضرایب یاتاقان ، کمیتهای بدون بعدی هستند که مشخصه های عملکرد بار ، جریان و قدرت را به پارامترهای فیزیکی مربوط می کنند . ضرایب یاتاقان برای چندین نوع کفشدگی یاتاقان در نظر گرفته خواهد شد .

۱۴-۵-۱ کفشدگی یاتاقان پله ای مدور

با دوباره نویسی معادلات (۱۴-۵) ، (۱۴-۶) ، و (۱۴-۹) بر حسب معادلات (۱۴-۱۳) تا (۱۴-۱۳) ، به ترتیب داریم :

$$a_b = \frac{1 - (r_i/r_o)^2}{2 \ln(r_o/r_i)} \quad (14-14)$$

$$q_b = \frac{\pi}{3[1 - (r_i/r_o)^2]} \quad (14-15)$$

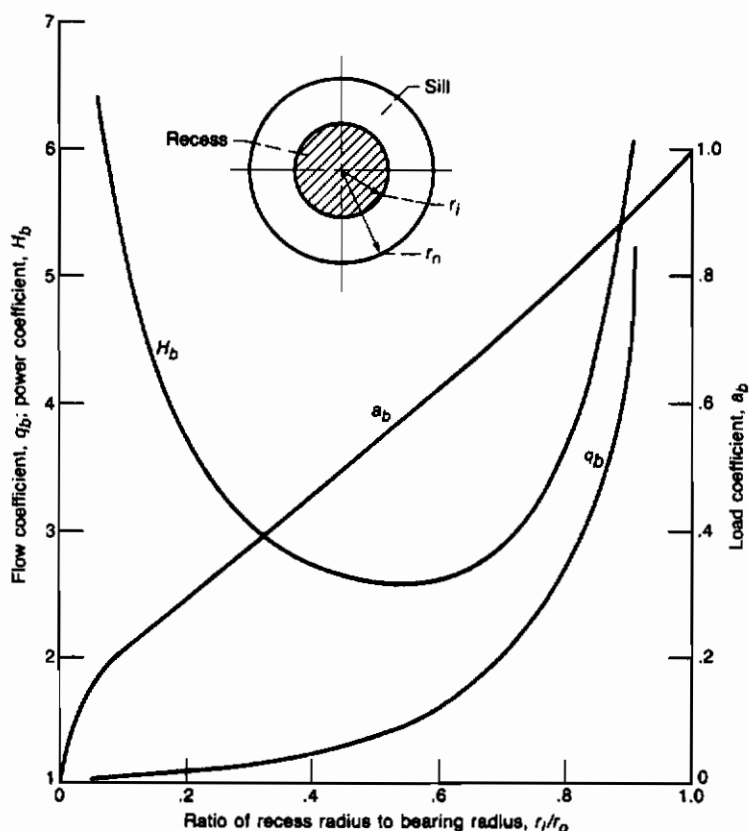
$$H_b = \frac{2\pi \ln(r_o/r_i)}{3[1 - (r_i/r_o)^2]^2} \quad (14-16)$$

مساحت تصویرشده کلی کفشدگی ، عبارت است از :

$$A_p = \pi r_o^2 \quad (14-17)$$

در شکل ۱۴-۴ سه ضریب کفشدگی یاتاقان برای نسبتهای مختلف شعاع تورفتگی به شعاع یاتاقان برای یک یاتاقان کف گرد پله مدور نشان داده می شود . ضریب بار کفشدگی یاتاقان a_b از صفر برای تورفتگیهای خیلی کوچک تا واحد برای یاتاقانهای دارای تورفتگیهای بزرگ نسبت به ابعاد کفشدگی تغییر می کند . در واقع a_b اندازه گیر راندمان یاتاقان در استفاده از فشار تورفتگی برای حمایت از بار اعمالی است . ضریب جریان کفشدگی یاتاقان q_b از مقدار واحد برای تورفتگیهای نسبتاً کوچک تامقداری نزدیک به بی نهایت برای یاتاقانهای با تورفتگیهای خیلی بزرگ ، تغییر می کند . به طور فیزیکی ضمن بزرگ شدن تورفتگی نسبت به یاتاقان ، مقاومت هیدرولیکی به جریان سیال کاهش می یابد و لذا جریان افزایش

پیدامی کند . همچنین از شکل (۱۴-۴) ، ضریب قدرت H_b برای تورفتگی‌های خیلی کوچک به سمت بی‌نهایت میل می‌کند و ضمن افزایش اندازه تورفتگی به یک مقدار کمینه کاهش می‌یابد ؛ و سپس برای تورفتگی‌های خیلی بزرگ دوباره به سمت بی‌نهایت میل می‌کند . برای یک یاتاقان کف‌گرد پله‌ای مدور ، مقدار کمینه H_b در $r_i/r_o = 0.53$ اتفاق می‌افتد .



شکل ۱۴-۴ - جدول برای تعیین ضرایب کنشک یاتاقان برای یاتاقان کف‌گرد پله‌ای مدور

۱۴-۵-۲ یاتاقان کف گرد حلقه‌ای

شکل (۱۴-۵) یک یاتاقان کف گرد حلقه‌ای با چهار شعاع مختلف برای تعریف تورفتگی و کفی را نشان می‌دهد. در این یاتاقان، روان کننده از تورفتگی حلقه‌ای روی کفیهای داخلی و خارجی جریان پیدا می‌کند. یک تجزیه و تحلیل مشابه با قسمتهای ۱۴-۲ و ۱۴-۴ برای یک یاتاقان کف گرد پله مدور، عبارات زیر را برای ضرایب کفشاپ به دست می‌دهد:

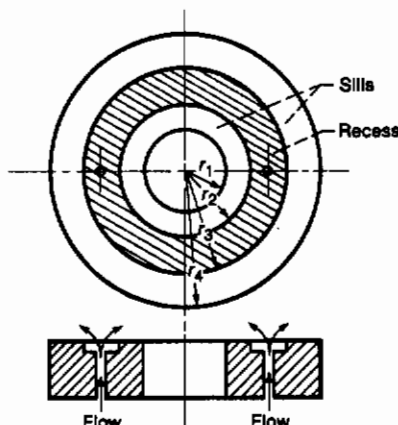
$$a_b = \frac{1}{2(r_4^2 - r_1^2)} \left[\frac{r_4^2 - r_3^2}{\ln(r_4/r_3)} - \frac{r_2^2 - r_1^2}{\ln(r_2/r_1)} \right] \quad (14-18)$$

$$q_b = \frac{\pi}{6a_b} \left[\frac{1}{\ln(r_4/r_3)} + \frac{1}{\ln(r_2/r_1)} \right] \quad (14-19)$$

$$H_b = \frac{q_b}{a_b} \quad (14-20)$$

برای این نوع یاتاقان مساحت تصویر شده کفشاپ عبارت است از:

$$A_p = \pi(r_4^2 - r_1^2) \quad (14-21)$$



شکل ۱۴-۵-۲ وضعیت یاتاقان کف گرد حلقه‌ای

شکل ۱۴-۶ ضرایب کفشاک برای یک یاتاقان کفشاک کف گرد حلقه‌ای برای رانشان می‌دهد. این نتایج مستقیماً توسط محاسبه معادلات (۱۴-۱۸) تا (۱۴-۲۰) به دست می‌آیند. برای این شکل فرض می‌شود که تورفتگی حلقه‌ای به صورت مرکزی در داخل عرض یاتاقان واقع می‌شود. بنابراین دلالت بر این دارد که $r_1 + r_4 = r_2 + r_3$ است. توجه کنید که منحنی برای ضریب بار، a_b برای تمام نسبتهاي r_i / r_1 به کار گرفته می‌شود.

۱۴-۵-۳ قطاعهای مستطیلی

اگر افت فشار در عرض کافی قطاع مستطیلی خطی باشد، ضرایب کفشاک را می‌توان محاسبه کرد. شکل ۱۴-۷ یک قطاع مستطیلی همراه با توزیع فشار خطی رانشان می‌دهد. ضرایب کفشاک برای قطاع مستطیلی عبارتند از:

$$a_b = \frac{1}{2} \left(1 + \frac{A_r}{A_s} \right) = 1 - \frac{b}{B} - \frac{\ell}{L} + \frac{2b\ell}{BL} \quad (14-22)$$

$$q_b = \frac{1}{6a_b} \left(\frac{B-b}{\ell} + \frac{L-\ell}{b} \right) \quad (14-23)$$

$$H_b = \frac{q_b}{a_b} \quad (14-24)$$

مساحتهاي یاتاقان، تورفتگی و کافی عبارتند از:

$$A_r = (L - 2\ell)(B - 2b) \quad (14-25)$$

$$A_s = A_b - A_r \quad (14-26)$$

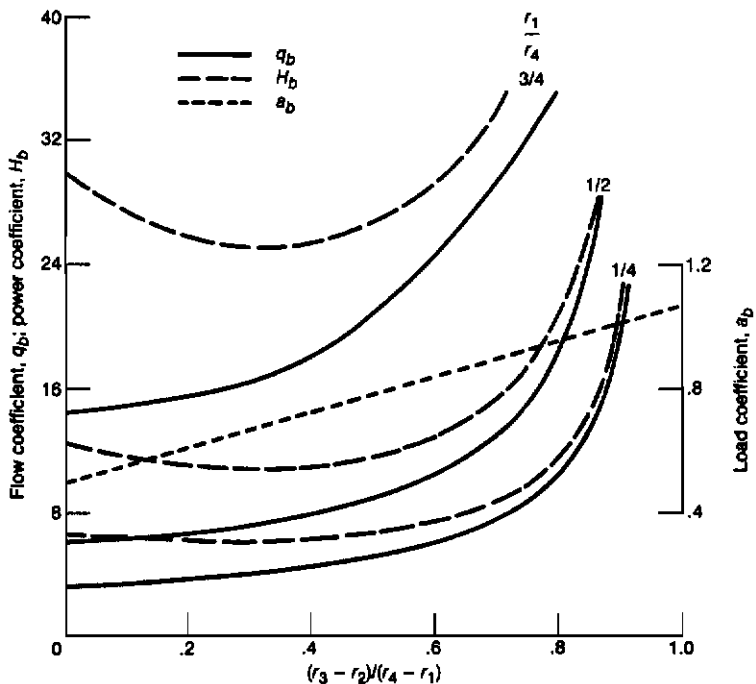
$$A_b = LB$$

معادله (۱۴-۲۳) یک نرخ جریان پاینده و بارهای بزرگتر از آنچه عملأً تجربه می‌کند را تولید می‌کند. معادله (۱۴-۲۲) بارهای تولید می‌کند که کمی کوچکتر هستند.

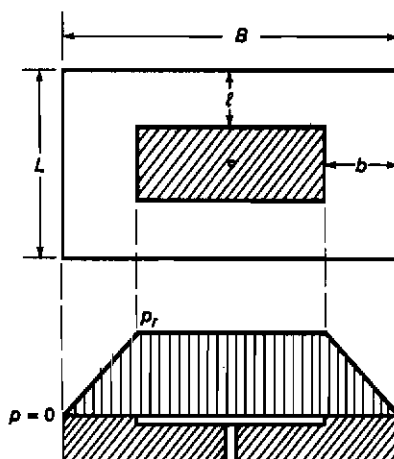
با فرض این که چهارگوشه نقشی ندارند:

$$a_b = 1 - \frac{\ell}{L} - \frac{b}{B} \quad (14-26)$$

$$q_b = \frac{1}{6a_b} \left(\frac{B-2b}{\ell} + \frac{L-2\ell}{b} \right) \quad (14-27)$$



شکل ۱۴-۶- جدول برای تعیین ضرایب گفتشک برای پاتاقانهای گفتشکی کف گرد حلقه‌ای



شکل ۱۴-۷- گفتشک هیدرولاستاتیکی مستطیلی

معادلات (۱۴-۲۶) و (۱۴-۲۷) بر معادلات (۱۴-۲۲) و (۱۴-۲۳) ترجیح داده می شوند؛ زیرا آنها نتایج نزدیکتر به آنهایی را که عملاً تجربه می شوند به دست می دهند. برای مثال، یک قطاع مربعی دارای $L = B/4$ و $b = l = B/4$ را در نظر بگیرید. سپس:

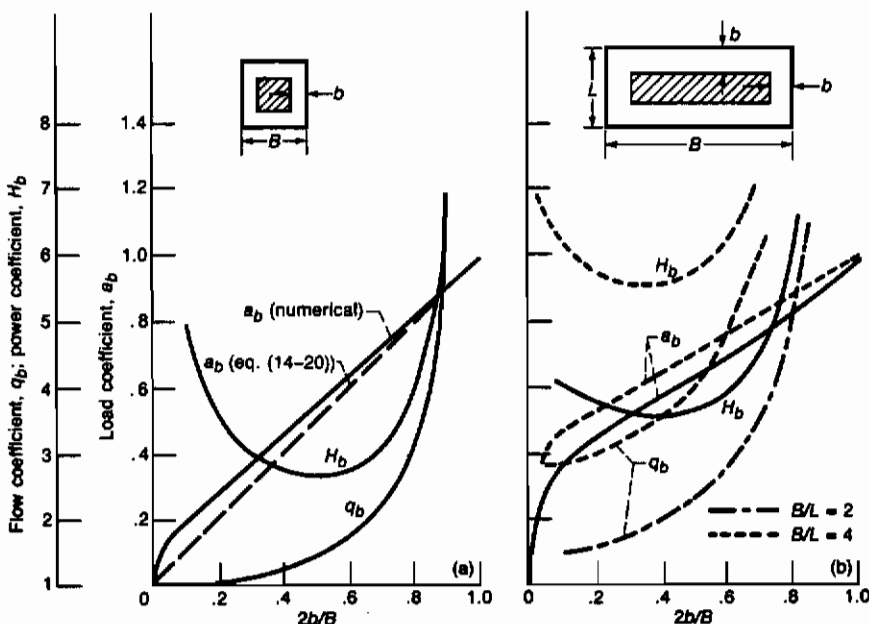
-۱ از معادله (۱۴-۲۲) $a_b = 0.625$ است.

-۲ از معادله (۱۴-۲۶) $a_b = 0.50$ است.

-۳ $a_b = 0.54$ (مقدار دقیق).

در نتیجه فرمول (۱۴-۲۶) در محاسبه ضریب بار ترجیح داده می شود. نتایج مشابه از معادله (۱۴-۲۷) به دست می آیند.

شکل (۱۴-۸) ضرایب کفشدک مربعی و برای یک کفشدک مستطیلی با $b = l$ و $B = 2L$ را نشان می دهد. ضرایب آفت قدرت بهینه در این شکل به وضوح مشخص می شوند.



شکل ۱۴-۸- ضرایب کفشدک. (الف) کفشدک مربعی، (ب) کفشدک مستطیلی با $B = 2L$ و $b = l$

یاتاقانهای هیدرواستاتیکی در نظر گرفته شده در این کتاب ، محدود به یاتاقانهای بارگذاری شده کف گرد تخت بوده‌اند . اطلاعات طراحی در مورد کفسکهای مخروطی ، کروی ، و استوانه‌ای را می‌توان از ریپل^۱ (۱۹۶۳) به دست آورد . برای یاتاقانهای بارگذاری شده کف گرد تخت ، به دست آوری ضرایب کفسک برای هندسه‌های پیچیده‌تر ، رهیافت یکسانی مورد استفاده قرار می‌گیرد .

۱۴-۶ اجزاء جبرانی

یاتاقانهای هیدرواستاتیکی از سیستمهای نسبتاً پیچیده‌تری از یاتاقانهای روان کاری شده به صورت هیدرودینامیکی که در فصلهای قبل مورد بحث قرار گرفتند ، برخوردار هستند . علاوه بر کفسک یاتاقان ، این سیستم شامل یک پمپ و یک جزء جبرانی یا محدودکننده است . سه نوع متدالو از اجزاء جبرانی برای یاتاقانهای هیدرواستاتیکی لوله مویین ، روزنه لبه تیز و شیر جبرانی جریان ثابت هستند . نقش جزء جبران کننده ، آوردن یک سیال فشرده شده از محفظه ورودی به قسمت تورفتگی است . نوع جبران ، برکمیت سیال در تورفتگی تأثیر خواهد گذاشت .

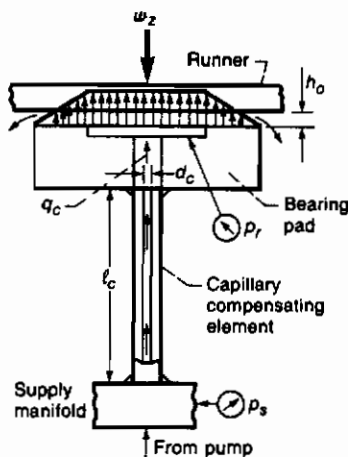
۱۴-۶-۱ جبران مویینی

شکل (۱۴-۹) ، یاتاقان هیدرواستاتیک جبران شده مویینی به دست آمده از ریپل (۱۹۶۳) را نشان می‌دهد . قطر کوچک لوله مویین محدودیت و اقت فشار متوجه ای در کفسک یاتاقان فراهم می‌آورد . جنبه مشخصه جبران مویینی لوله بلند با قطر نسبتاً کوچک ($d_c < l_c$) است . جریان آرام سیال از داخل چنین لوله‌ای ، وقتی اثرات ورودی و خروجی و تغییرات لزجت به خاطر دما و فشار صرف نظر شوند ، رامی توان این گونه نوشت :

$$q_c = \frac{k_c(p_s - p_r)}{\eta_0} \quad (14-28)$$

که در آن :

$$k_c = \frac{\pi d_c^4}{128 \ell_c} \quad (14-29)$$



شکل ۱۴-۹ - یاتاقان هیدروداستاتیک جریان شده موینی

برای یک لوله موین داده شده k ثابت بیان شده بر حسب متر مکعب است . بنابراین از معادله (۱۴-۲۸) جریان در داخل یک لوله موین به صورت خطی مرتبط به آفت فشار در عرض آن است . در یک یاتاقان هیدروداستاتیک با جبران موینی و یک فشار تولیدی ثابت ، جریان از میان یاتاقان با افزایش بار کاهش خواهد یافت ؛ زیرا فشار تورفتگی p ، متناسب با بار است . برای برآوردن جریان آرام ، وقتی عدد رینولدز به صورت زیر بیان شود باید کمتر از 2000 باشد :

$$\mathcal{R} = \frac{4\rho q_c}{\pi d_c \eta_0} < 2000 \quad (14-30)$$

که در آن ρ جرم مخصوص نیروی روان کننده بر حسب $\text{m}^2 / \text{s}^2 \cdot \text{N}$ است . سوزن لوله‌ای هایپردرمیک به عنوان لوله موین به طور کامل برای یاتاقانهای هیدروداستاتیک کار می کند . لوله با قطر خیلی کوچک در دسترس است ؛ با این حال قطرهای کمتر از $10^{-4} \text{ m} \times 6$ باید مورد استفاده قرار گیرند ، زیرا احتمال گرفتگی دارند .

۱۴-۶-۲ جبران روزنه ای

جبران روزنه ای در شکل (۱۴-۱۰) نشان داده می شود . جریان یک سبال غیرقابل تراکم از میان یک روزنه لبه تیز می توان به صورت زیر بیان کرد :

$$q_o = k_o (p_s - p_r)^{1/2} \quad (14-31)$$

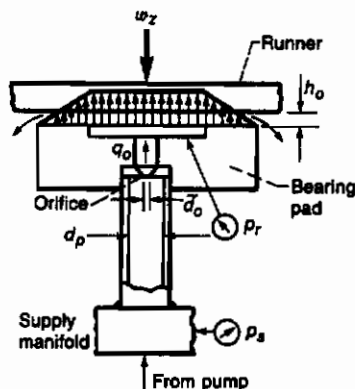
که در آن :

$$k_o = \frac{\pi c_d (\tilde{d}_o)^2}{\sqrt{8\rho}} \quad (14-32)$$

و c_d ضریب تخلیه روزنه است . برای یک اندازه روزنه داده شده و یک روان کننده معین ، k_o یک ثابت است که بر حسب $(N \cdot s)^{1/2} / m^3$ بیان می شود . بنابراین از معادله (۱۴-۳۱) ، جریان از میان یک روزنه متناسب با جذر تفاوت فشار در عرض روزنه است .

ضریب تخلیه روزنه c_d تابعی از عدد رینولدز است . برای یک روزنه عدد رینولدز عبارت است از :

$$\mathcal{R} = \frac{\tilde{d}_o}{\eta_0} [2\rho(p_s - p_r)]^{1/2} \quad (14-33)$$



شکل ۱۴-۱۰ - یاتاقان هیدررواستاتیکی جبران شده روزنه ای

برای یک عدد رینولدز تقریباً بزرگتر از 15 ، که متداول در یاتاقانهای هیدرواستاتیک روزنهاست جبرانی است ، برای $c_d < 0.1$ حدود 0.6 می باشد . برای یک عدد رینولدز کمتر از 15 ، ضریب تخلیه حدوداً عبارت است از :

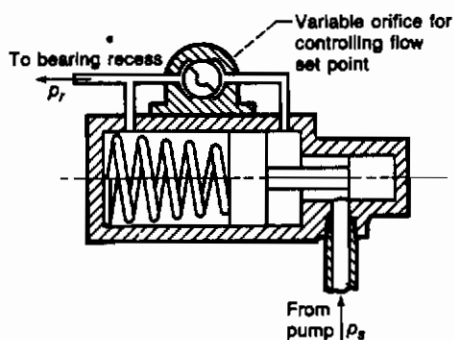
$$c_d = 0.2\sqrt{R} \quad (14-34)$$

قطر لوله d در روزنه باید حداقل 10 برابر قطر آن روزنه باشد . روزنه های لبه تیز ، بسته به قطر شان ، متمایل به گرفتگی هستند . بنابراین آن کمتر از $5 \times 10^{-4} \text{ m}^2$ باید مورد اختبار قرار گیرد .

۱۴-۶-۳ شیر جبرانی با جریان ثابت

شیر جبرانی با جریان ثابت در شکل (14-11) نمایش داده شده است . این نوع مانع بدون در نظر گرفتن تفاوت فشار در عرض شیر ، دارای جریان ثابت است . بنابراین جریان مستقل از فشار تورفتگی است .

مرتبه نسبی سه نوع اجزاء جبرانی از نظر تعداد مورد نظر در جدول (14-1) داده شده است . مرتبه ۱ در این جدول دلیلی است نیز این که بهترین یا مطلوب‌ترین نوع جبران برای یک کاربرد بخصوص است . کلاً هر نوع جزء جبرانی می‌تواند در داخل یک سیستم یاتاقان هیدرواستاتیک طراحی شود اگر که باز روی این یاتاقان هرگز تغییر نکند . ولی اگر شقی ، بار ، یا جریان تغییر کند ، انتخاب جزء جبرانی مناسب ، مشکل‌تر می‌شود و خواننده باید مجدداً به ریپل (۱۹۶۳) مراجعه نماید .



شکل ۱۴-۱۱ - یاتاقان هیدرواستاتیک با شیر جبرانی و جریان ثابت

جدول ۱۴-۱ - مرتبه اجزا، جبرانی

Consideration	Compensating element		
	Capillary	Orifice	Constant-flow valve
Initial cost	2	1	3
Cost to fabricate and install	2	3	1
Space required	2	1	3
Reliability	1	2	3
Useful life	1	2	3
Commercial availability	2	3	1
Tendency to clog	1	2	3
Serviceability	2	1	3
Adjustability	3	2	1

*Ranking of 1 denotes best or most desirable element for that particular consideration.

۱۴-۷ مؤخره

یاتاقانهای هیدرواستاتیک ، امتیازهای کاری بخصوصی در مقایسه با انواع یاتاقان ارائه می دهند . شاید مفیدترین مشخصه یاتاقانهای هیدرواستاتیکی ، ظرفیت حمل بار بالا و اصطکاک معمولی پایین در هر سرعت ، حتی صفر می باشد . اصول و مفاهیم اساسی تشکیل فیلم موربد بحث قرار گرفت ، یک وضعیت کفشک کف گرد پله مدور تجزیه و تحلیل گردید . عبارات برای جریان ، ظرفیت حمل بار عمودی و آفت قدرت پمپاژ برای یک وضعیت کفشک کف گرد پله مدور ، عبارتند از :

$$q = \frac{\pi h_o^3 p_r}{6\eta_0 \ln(r_o/r_i)} \quad (14-5)$$

$$w_z = \frac{\pi p_r (r_o^2 - r_i^2)}{2 \ln(r_o/r_i)} \quad (14-6)$$

$$\bar{H}_p = \frac{\pi h_o^3 p_r^2}{6\eta_0 \ln(r_o/r_i)} \quad (14-7)$$

معادله (14-6) نشان می دهد که ظرفیت حمل بار ، مستقل از حرکت یاتاقان و لزجت روان کننده است . مسأله سایدگی سطح تماس در قطع و وصل ، مانند یاتاقانهای کشویی نیست .

راه عمومی تر برای بیان معادلات (۱۴-۵) ، (۱۴-۶) و (۱۴-۹) ، عبارت است از :

$$q = q_b \frac{w_z}{A_p} \frac{h_o^3}{\eta_0} \quad (14-12)$$

$$w_z = a_b A_p p_r \quad (14-11)$$

$$\bar{H}_p = H_b \left(\frac{w_z}{A_p} \right)^2 \frac{h_o^3}{\eta_0} \quad (14-13)$$

که در آن q_b ، a_b ، H_b تنها توابعی از شکل هندسی کفشه که در نظر گرفته شده و A_p مساحت کل تصویر شده کفشه است . نتایج برای کفشه یاتاقان پله مدور ، یک یاتاقان کف گرد حلقه ای ، و قطاعهای مستطیلی ارائه شده اند .

سه نوع متدائل اجزاء جبرانی برای یاتاقانهای هیدرواستاتیک در نظر گرفته شدند ، که عبارتند از : لوله مویین ، روزنه لبه تیز و شیر جبران کننده با جریان ثابت .

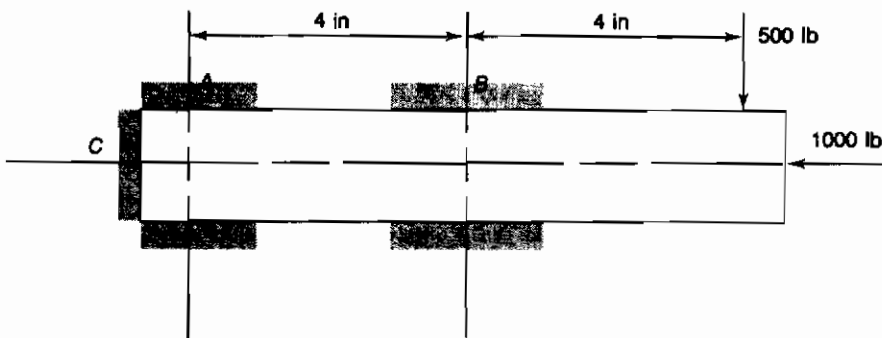
۱- جبران مویین ، دلیلی است بر این که طول لوله ℓ خیلی بزرگتر از قطر مویین است ($\ell > 20d_c$) . جریان متناسب با $(p_r - p_c)$ به دست آمد .

۲- در جبران روزنه ای جریان متناسب با $(p_r - p_c)^{1/2}$ دریافت گردید .

۱۴-۸ مسائل

۱۴-۸-۱ برای یک یاتاقان کف گرد حلقه ای ، طبق شکل ۱۴-۵ ، با معادله رینولدز مناسب شروع و جریان بار ، افت قدرت پمپاژ برای این یاتاقان را تعیین کنید . و نیز ثابت کنید که معادلات (۱۴-۱۸) تا (۱۴-۲۰) معتبر هستند .

۱۴-۸-۲ یک محور با قطر ۲ اینچ که به صورت پرج در یک ماشین پزووهشی عمل می کند ، یک بار شعاعی بیشینه ۵۰۰ lb و یک بار محوری ۱۰۰۰ lb را حمل می نماید . این میله یک جفت یاتاقان ژورنال هیدرواستاتیک را حمایت می کند ؛ در A و B متعرکز شده ، و در C یک یاتاقان کف گرد وجود دارد .

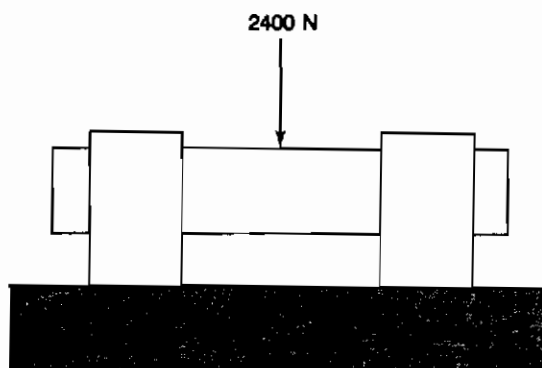


روغن در فشار 1500 lb/in^2 و لزجت روغن می تواند $P = 0.8$ فرض شود .

لقی شعاعی اسمی 0.001 in c است . اندازه پاکتهای مناسب ، عرض کف ، و ابعاد مویین برای یاتاقان ژورنال به گونه ای انتخاب کنید که حرکت شعاعی در نقطه عملکرد بار از 0.001 in بیشتر نشده (به غیر از هر تغییر مکان به خاطر خم شدن محور) و یک اندازه مناسب پاکت برای این یاتاقان کف گرد انتخاب نمایید .

همچنین احتیاجات بار کامل و بار صفر جریان را تعیین کنید . در مورد نتایج به دست آمده ، هر فرض انجام گرفته ، و هر اطلاع اضافی را که در طراحی این یاتاقان مطلوب است ، مورد بحث قرار دهید .

۱۴-۸-۳ یک محور در دو یاتاقان هیدرولاستاتیک قرار می گیرد و در مرکز توسط یک نیروی 2400 N ، طبق شکل بارگذاری می شود .



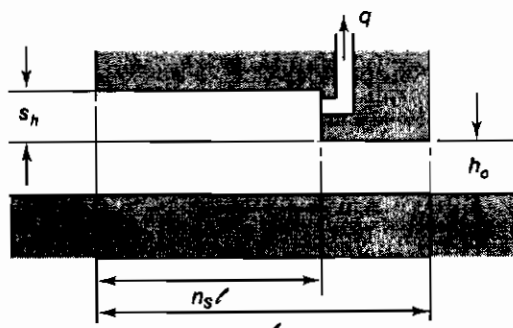
این محور نمی‌چرخد ، ولی به عنوان یک پرج با اصطکاک پایین برای حرکت نوسانی خیلی کوچک استفاده می‌شود . قطر این محور 50 mm است و هر یاتاقان 50 طول داشته و دارای پاکت می‌باشد . لقی یاتاقان $40 \mu\text{m}$ و فشار باید زیر 2.4 MN/m^2 باشد .

ابعاد کف این یاتاقان را چه انتخاب می‌کنید ؟ ضخامت فیلم کمیته تحت بار (از تغییر مکان محور صرف نظر کنید) چه خواهد بود ؟ اگر لزجت روغن 0.05 N.s/m^2 باشد ، نرخ جریان سیال برای این دو یاتاقان چیست ؟ محدودکننده مویین را به عنوان جبران کننده استفاده کنید و اندازه آنها را مشخص کنید (گرانش مخصوص روغن 0.9 است) .

۱۴-۸-۴ یاتاقان پله موازی که در زیر نشان داده شده ، باید به عنوان یک پمپ با نرخ جریان حجمی کوچک q بر واحد عرض یاتاقان یک روان کننده غیرقابل تراکم با جرم مخصوص ρ و لزجت η کشیده شونده در موقعیت پله استفاده می‌شود . رابطه بین نرخ جریان و فشار را ضمن صرف نظر کردن از نشت کناری و استفاده از گروههای بدون بُعد زیر ، به دست آورید :

$$Q = \frac{2q'}{\mu s_h} \quad P_s = \frac{s_h^2 p_s}{\eta \mu l} \quad H = \frac{h_o}{s_h}$$

امکان عملی بودن این وسیله را بحث کرده و پیشنهادهای خود را جهت مفیدنمودن این دستگاه ، بنویسید . همچنین هر کاربردهای احتمالی را برای این دستگاه توصیف کنید .



- ۱۴-۸-۵ (الف) شما در یک یاتا قان تحت فشار از خارج مدور با محدودکننده موین چه نسبت شعاع r_0/r_1 ، جهت نقطه شروع برای طراحی انتخاب می کنید، چرا؟
- (ب) معمولاً چه نسبتی برای p_r/p_c وقتی که p_r فشار تورفتگی و p_c فشار ورودی است، انتخاب می کنید؟ برای انتخاب خود دلیل بیاورید.
- (ج) سختی با ضخامت فیلم کاهش چگونه تغییر می کند؟
- (د) اگر بار اعمالی ضمن ثابت نگه داشتن فشار ورودی تقلیل یابد، برای فشار تورفتگی و ضخامت فیلم چه اتفاقی می افتد.
- (ه) اگر محدودکننده موین قطرش به اندازه نصف مقدار قبلی کاهش یابد، ضخامت فیلم انتهایی کفشه کشک چه ضربی از ضخامت فیلم ابتدایی خواهد بود؟

۱۴-۹ لیست منابع و هاخذ

Rippel, H. C. (1963): *Cast Bronze Hydrostatic Bearing Design Manual*, 2d ed. Cast Bronze Bearing Institute, Inc., Cleveland.

فصل پانزدهم

یاتاقانهای هیدرودینامیکی در نظرگیری اثرات موقبه بالاتر

در فصل ۷ ، عدد رینولدز Re به عنوان نسبت اثرات اینرسی به اثرات لزجت تعریف گردید . دریافتیم که در یاتاقانهای ژورنال و کف گرد روان کاری شده به صورت هیدرودینامیکی ، اثرات اینرسی نسبت به اثرات لزجت کوچکتر هستند . به هر حال اثرات اینرسی گاهی می توانند مهم باشند ، برای مثال :

- ۱- هر تغییری در فشار در ناحیه ورودی یک یاتاقان می تواند به مقدار زیادی بر رفتار سرتاسری یاتاقان اثر بگذارد . اگر سرعت سیال و اینرسی به اندازه کافی بالا باشند تغییرات در فشار می تواند با اثرات اینرسی ایجاد شود . مؤلفه فشاری $(\frac{1}{2} \rho u^2)$ قابل مقایسه است با فشار یاتاقان ایجاد کننده T/r_0 که در آن T کشش است .
- ۲- اگر یک حباب جدایی وقتي که جریان وارد فیلم در دوربیک گوشه لبه تیز می شود ، وجود داشته باشد اثرات اینرسی می تواند قابل ملاحظه باشد . این مورد در یاتاقانهای هیدرواستاتیک (همچنین اشاره شده به عنوان «تحت فشار خارجی») وقتي جریان از ناحیه تورفتگی به ناحیه یاتاقان می رود اتفاق می افتد . این اثر همان اثر «وناکتراتکتا»^۱ است که در هنگام جریان ، از میان روزنه های لبه تیز اتفاق می افتد . عدد رینولدز معمولاً برای یاتاقانهای هیدرواستاتیک ، بزرگتر از هر نوع یاتاقان هیدرودینامیک است ، به خاطر این واقعیت که ضخامت فیلم ، بخصوص در ناحیه تورفتگی بزرگتر است .

این دو مثال نمونه‌ای است از کاربردهای حالت‌هایی که ممکن است اثرات اینرسی احتیاج به بررسی داشته باشند . به علاوه ضمن افزایش سرعت عمل یاتاقانها ، اثرات اینرسی مهم‌تر می‌شود .

علاوه بر اهمیت عبارات اینرسی در معادلات ناویر-استوکس ، جملات لزجت صرف نظر شده در به دست آوری معادله رینولدز نیز می‌تواند در بعضی از وضعیتها مهم قلمداد شود . دو مثال در مایلر آپ^۱ و همراک^۲ (۱۹۹۲) آمده است : اولین مثال برای هر سطحی است که متوجه به شکل هندسی فیلمی می‌شود که در آن $\frac{d^2h}{dx^2} = 0$ (۱) یا $\frac{dh}{dx} = 0$ (۱)

است . نقطه منفرد پدیدآمده از انحنای جدیت کمتری نسبت به نقطه منفرد پدیدآمده از گرادیان فیلم دارد ، ولی در هر دو مرور استفاده معادله رینولدز اجازه نخواهد داد که انتباط مناسبی بین نواحی سیال انجام گیرد . مثال دومی که معادله رینولدز عاجز از تشریح این است که چه اتفاقی در اتصال روان‌کننده می‌افتد ، وقتی که یک ذره جامد در این اتصال وجود داشته باشد ؟

مطلوب در برگیرنده این فصل در مورد چگونگی در نظرگیری جملات اینرسی صرف نظر شده در معادلات ناویر-استوکس می‌باشد ، زیرا به طور کلی مشخص شده است که در نظرگیری اضافی جملات لزجت در معادلات ناویر-استوکس از جمله موضوعات پژوهش روز است . این تجزیه و تحلیل به اندازه کافی عمومی است و در انتهای فصل نیز کاربردی در مرور یاتاقان کشویی با شیب ثابت آورده شده است . برای نشان دادن نتایج در نظرگیری اثرات اینرسی ، یک مرور ساده بررسی می‌شود ، در صورتی که :

۱- لزجت ثابت فرض می‌شود .

۲- شرایط حالت پایدار وجود دارد .

۳- از اثرات نشت کناری صرف نظر می‌شود .

۴- نیروهای حجمی وجود ندارند .

۵- سیال غیرقابل تراکم فرض می‌شود .

معادلات ناویر-استوکس قابل به کار گیری تحت این شرایط را می‌توان از معادلات (۶-۲۸) تا (۶-۳۰) این گونه نوشت :

$$u \frac{\partial u}{\partial x} + w \frac{\partial u}{\partial z} = - \frac{1}{\rho_0} \frac{\partial p}{\partial x} + \frac{\eta_0}{\rho_0} \left(\frac{\partial^2 u}{\partial x^2} + \frac{\partial^2 u}{\partial z^2} \right) \quad (15-1)$$

$$u \frac{\partial w}{\partial x} + w \frac{\partial w}{\partial z} = - \frac{1}{\rho_0} \frac{\partial p}{\partial z} + \frac{\eta_0}{\rho_0} \left(\frac{\partial^2 w}{\partial x^2} + \frac{\partial^2 w}{\partial z^2} \right) \quad (15-2)$$

معادله پیوستگی مربوطه ، تحت این شرایط می شود :

$$\frac{\partial u}{\partial x} + \frac{\partial w}{\partial z} = 0 \quad (15-3)$$

مؤلفه های سرعت بر حسب توابع جریان تعریف می شوند که در قسمت ۹-۴-۸ معرفی شدند . بنابراین معادلات پیوستگی و ناویر-استوکس به قرار زیر بدون بُعد می شوند :

$$x = \ell X \quad z = h_o Z \quad u = u_o \bar{\Phi}_z(X, Z) \quad \bar{\Phi}_z = \frac{\partial \bar{\Phi}}{\partial Z} \quad (15-4)$$

$$p = \frac{\eta_0 \ell u_o}{h_o^2} P \quad w = - \frac{u_o h_o}{\ell} \bar{\Phi}_X(X, Z) \quad \bar{\Phi}_X = \frac{\partial \bar{\Phi}}{\partial X}$$

مقیاس سرعتها بدین ترتیب انجام گرفته تا مطمئن شویم که جمله $\partial w / \partial z$ حذف نمی شود ؛ زیرا وجود آن لازم است تا از نظر فیزیکی حلها معنی دار داشته باشیم .

با جایگذاری معادلات (۱۵-۴) در معادلات (۱۵-۳) تا (۱۵-۱) ضمن استفاده از معادله (۷-۴) ، داریم :

$$\mathcal{R}_z \left(\bar{\Phi}_z \bar{\Phi}_{ZX} - \bar{\Phi}_X \bar{\Phi}_{ZZ} \right) = - \frac{\partial P}{\partial X} + \left(\frac{h_o}{\ell} \right)^2 \bar{\Phi}_{ZXX} + \bar{\Phi}_{ZZZ} \quad (15-5)$$

$$\mathcal{R}_z \left(\frac{h_o}{\ell} \right)^2 \left(\bar{\Phi}_X \bar{\Phi}_{XZ} - \bar{\Phi}_Z \bar{\Phi}_{XX} \right) = - \frac{\partial P}{\partial Z} - \left(\frac{h_o}{\ell} \right)^2 \left[\bar{\Phi}_{XZZ} + \left(\frac{h_o}{\ell} \right)^2 \bar{\Phi}_{XXX} \right] \quad (15-6)$$

$$\bar{\Phi}_{ZX} = \bar{\Phi}_{XZ} \quad (15-7)$$

بنابراین این معادلات به ترتیب اولین و سومین معادلات ناویر-استوکس و معادله پیوستگی برای موقعیت تعریف شده قبلی هستند .

دیپریما^۱ و استوارت^۲ (۱۹۷۲) روش حل زیر را برای مسأله غیرخطی تشریح شده

در این معادلات پیشنهاد نموده‌اند :

$$\begin{aligned} \bar{\Phi} = \bar{\Phi}_{00}(X, Z) + \left(\frac{h_o}{\ell}\right)^2 \bar{\Phi}_{01}(X, Z) + \mathcal{R}_x \bar{\Phi}_{10}(X, Z) + \left(\frac{h_o}{\ell}\right)^4 \bar{\Phi}_{02}(X, Z) \\ + \left(\frac{h_o}{\ell}\right)^2 \mathcal{R}_x \bar{\Phi}_{11}(X, Z) + \mathcal{R}_x^2 \bar{\Phi}_{20}(X, Z) + \dots \end{aligned} \quad (15-8)$$

$$\begin{aligned} P = P_{00}(X, Z) + \left(\frac{h_o}{\ell}\right)^2 P_{01}(X, Z) + \mathcal{R}_x P_{10}(X, Z) + \left(\frac{h_o}{\ell}\right)^4 P_{02}(X, Z) \\ + \left(\frac{h_o}{\ell}\right)^2 \mathcal{R}_x P_{11}(X, Z) + \mathcal{R}_x^2 P_{20}(X, Z) + \dots \end{aligned} \quad (15-9)$$

با جایگذاری معادلات (۸) و (۹) در معادله (۵-۵)، داریم :

$$\begin{aligned} \mathcal{R}_x & \left\{ \left[\frac{\partial \bar{\Phi}_{00}}{\partial Z} + \left(\frac{h_o}{\ell}\right)^2 \frac{\partial \bar{\Phi}_{01}}{\partial Z} + \mathcal{R}_x \frac{\partial \bar{\Phi}_{10}}{\partial Z} + \dots \right] \right. \\ & \times \left[\frac{\partial^2 \bar{\Phi}_{00}}{\partial Z \partial X} + \left(\frac{h_o}{\ell}\right)^2 \frac{\partial^2 \bar{\Phi}_{01}}{\partial Z \partial X} + \mathcal{R}_x \frac{\partial^2 \bar{\Phi}_{10}}{\partial Z \partial X} + \dots \right] \\ & - \left[\frac{\partial \bar{\Phi}_{00}}{\partial X} + \left(\frac{h_o}{\ell}\right)^2 \frac{\partial \bar{\Phi}_{01}}{\partial X} + \mathcal{R}_x \frac{\partial \bar{\Phi}_{10}}{\partial X} + \dots \right] \\ & \times \left. \left[\frac{\partial^2 \bar{\Phi}_{00}}{\partial Z^2} + \left(\frac{h_o}{\ell}\right)^2 \frac{\partial^2 \bar{\Phi}_{01}}{\partial Z^2} + \mathcal{R}_x \frac{\partial^2 \bar{\Phi}_{10}}{\partial Z^2} + \dots \right] \right\} \\ & = - \frac{\partial P_{00}}{\partial X} - \left(\frac{h_o}{\ell}\right)^2 \frac{\partial P_{01}}{\partial X} - \mathcal{R}_x \frac{\partial P_{10}}{\partial X} + \left(\frac{h_o}{\ell}\right)^2 \\ & \times \left[\frac{\partial^3 \bar{\Phi}_{00}}{\partial Z \partial X^2} + \left(\frac{h_o}{\ell}\right)^2 \frac{\partial^3 \bar{\Phi}_{01}}{\partial Z \partial X^2} + \mathcal{R}_x \frac{\partial^3 \bar{\Phi}_{10}}{\partial Z \partial X^2} + \dots \right] \\ & + \frac{\partial^3 \bar{\Phi}_{00}}{\partial Z^3} + \left(\frac{h_o}{\ell}\right)^2 \frac{\partial^3 \bar{\Phi}_{01}}{\partial Z^3} + \mathcal{R}_x \frac{\partial^3 \bar{\Phi}_{10}}{\partial Z^3} + \dots \end{aligned} \quad (15-10)$$

با جمع آوری جملات (۱) ، $O(h_0 / l)^2$ ، $O(\mathcal{R}_x)$ و $O(1)$ به ترتیب می دهد :

$$0 = -\frac{\partial P_{00}}{\partial X} + \frac{\partial^3 \bar{\Phi}_{00}}{\partial Z^3} \quad (15-11)$$

$$0 = -\frac{\partial P_{01}}{\partial X} + \frac{\partial^3 \bar{\Phi}_{00}}{\partial Z \partial X^2} + \frac{\partial^3 \bar{\Phi}_{01}}{\partial Z^3} \quad (15-12)$$

$$\frac{\partial \bar{\Phi}_{00}}{\partial Z} \frac{\partial^2 \bar{\Phi}_{00}}{\partial Z \partial X} - \frac{\partial \bar{\Phi}_{00}}{\partial X} \frac{\partial^2 \bar{\Phi}_{00}}{\partial Z^2} = -\frac{\partial P_{10}}{\partial X} + \frac{\partial^3 \bar{\Phi}_{10}}{\partial Z^3} \quad (15-13)$$

این عبارات از اولین معادله ناویر- استوکس هستند. از معادله سوم ناویر- استوکس (معادله ۱۵-۶) :

به طور مشابه ما جملات (۱) ، $O(h_0 / l)^2$ ، $O(\mathcal{R}_x)$ را به ترتیب زیر به دست می آوریم :

$$0 = -\frac{\partial P_{00}}{\partial Z} \rightarrow P_{00} = P_{00}(X) \quad (15-14)$$

$$0 = -\frac{\partial P_{01}}{\partial Z} - \frac{\partial^3 \bar{\Phi}_{00}}{\partial X \partial Z^2} \quad (15-15)$$

$$0 = -\frac{\partial P_{10}}{\partial Z} \rightarrow P_{10} = P_{10}(X) \quad (15-16)$$

شرایط مرزی مرتبط با معادلات (۱۱) تا (۱۶) عبارتند از :

۱- وقتی $Z = z/h_0 = 0$ یا $z = 0$ ، سپس $u = u_0$ است .

۲- وقتی $Z = h/h_0 = H$ یا $z = h$ ، سپس $u = 0$ است .

با استفاده از عبارات بدون بُعدداده شده در معادله (۱۴) و به کارگیری شرط مرزی ۱ ، داریم :

$$u = u_0 \frac{\partial \bar{\Phi}}{\partial Z} = u_0 \quad \text{when } Z = 0 \quad (15-17)$$

با یادآوری معادله (۸) نیز داریم :

$$\frac{\partial \bar{\Phi}}{\partial Z} = \frac{\partial \bar{\Phi}_{00}}{\partial Z} + \left(\frac{h_0}{l} \right)^2 \frac{\partial \bar{\Phi}_{01}}{\partial Z} + \mathcal{R}_x \frac{\partial \bar{\Phi}_{10}}{\partial Z} + \dots = 1 \quad \text{when } Z = 0$$

این دلیلی است بر این که :

$$\frac{\partial \bar{\Phi}_{00}}{\partial Z} = 1 \quad \frac{\partial \bar{\Phi}_{01}}{\partial Z} = \frac{\partial \bar{\Phi}_{10}}{\partial Z} = 0 \quad \text{when } Z = 0 \quad (15-18)$$

نتیجه معادله (۱۵-۱۷)، بیان می دارد که :

$$\bar{\Phi} = \bar{\Phi}_{00} = \bar{\Phi}_{01} = \bar{\Phi}_{10} = 0 \quad \text{when } Z = 0 \quad (15-19)$$

با استفاده از معادله (۱۵-۴) و شرط مرزی ۲ داریم :

$$u = u_o \frac{\partial \bar{\Phi}}{\partial Z} = 0 \quad \text{when } Z = H$$

با استفاده از معادله (۱۵-۸)، نیز داریم :

$$u = u_o \left[\frac{\partial \bar{\Phi}_{00}}{\partial Z} + \left(\frac{h_o}{\ell} \right)^2 \frac{\partial \bar{\Phi}_{01}}{\partial Z} + \mathcal{R}_x \frac{\partial \bar{\Phi}_{10}}{\partial Z} + \dots \right] = 0 \quad \text{when } Z = H$$

$$\therefore \frac{\partial \bar{\Phi}_{00}}{\partial Z} = \frac{\partial \bar{\Phi}_{01}}{\partial Z} = \frac{\partial \bar{\Phi}_{10}}{\partial Z} = 0 \quad \text{when } Z = H \quad (15-20)$$

$$\left. \begin{array}{l} \bar{\Phi}_{00} = \text{constant} = d_{00} \quad \text{when } Z = H \\ \bar{\Phi}_{01} = \text{constant} = d_{01} \quad \text{when } Z = H \\ \bar{\Phi}_{10} = \text{constant} = d_{10} \quad \text{when } Z = H \end{array} \right\} \quad (15-21)$$

۱۵-۱ حل‌های از مرتبه ۱ و P_{00}

با سه بار انتگرال‌گیری از معادله (۱۵-۱۱) نسبت به dz داریم :

$$\bar{\Phi}_{00}(X, Z) = \frac{1}{6} Z^3 \frac{dP_{00}}{dX} + \bar{A}_{00}(X) Z^2 + \bar{B}_{00}(X) Z + \bar{C}_{00}(X) \quad (15-22)$$

استفاده از شرایط مرزی در معادلات (۱۵-۱۹) و (۱۵-۱۸) گویای این است که به ترتیب

$\bar{B}_{00}(X) = 1$ و $\bar{C}_{00}(X) = 0$ می‌باشند. بنابراین معادله (۱۵-۲۲) می‌شود:

$$\bar{\Phi}_{00}(X, Z) = \frac{Z^3}{6} \frac{dP_{00}}{dX} + \bar{A}_{00}(X) Z^2 + Z \quad (15-23)$$

با استفاده از شرط مرزی بیان شده در معادله (۱۵-۲۰) داریم :

$$0 = \frac{H^2}{2} \frac{dP_{00}}{dX} + 2\bar{A}_{00}(X)H + 1$$

یا

$$\bar{A}_{00}(X) = -\frac{1}{2H} \left(1 + \frac{H^2}{2} \frac{dP_{00}}{dX} \right) \quad (15-24)$$

با جایگذاری معادله (15-24) در معادله (15-23)، می‌دهد:

$$\bar{\Phi}_{00}(X, Z) = \frac{Z^3}{6} \frac{dP_{00}}{dX} - \frac{Z^2}{2H} \left(1 + \frac{H^2}{2} \frac{dP_{00}}{dX} \right) + Z \quad (15-25)$$

با استفاده از شرط مرزی بیان شده در معادله (15-21) نیز داریم:

$$\bar{\Phi}_{00}(X, Z) = d_{00} = \frac{H^3}{6} \frac{dP_{00}}{dX} - \frac{H}{2} \left(1 + \frac{H^2}{2} \frac{dP_{00}}{dX} \right) + H$$

یا

$$d_{00} = -\frac{H^3}{12} \frac{dP_{00}}{dX} + \frac{H}{2} = \text{constant} \quad (15-26)$$

با مشتق گیری نسبت به dX ، داریم:

$$\frac{d}{dX} \left(H^3 \frac{dP_{00}}{dX} \right) = 6 \frac{dH}{dX} \quad (15-27)$$

این معادله رینولوز تشریح کننده تغییرات فشار P_{00} نسبت به X است. همچنین توجه داشته باشید که معادله (15-27) دقیقاً معادله رینولوز استفاده شده در فصل ۸ (معادله ۸-۱۵))، ضمن درنظر گرفتن یاتاقانهای کف گرد و صرف نظر کردن جملات اینرسی و نشت کناری، است. از تعریف داده شده در معادله (۴-۴)، داریم:

$$\frac{u}{u_o} = \bar{\Phi}_Z = \frac{\partial \bar{\Phi}}{\partial Z} = \frac{\partial \bar{\Phi}_{00}}{\partial Z} + \text{HOT}$$

که در آن HOT، دلالت بر جملات از مرتبه بالاتر دارد. با در نظر گرفتن جملات از مرتبه بالاتر، ضمن استفاده از معادله (15-25) داریم:

$$\frac{u}{u_o} = \frac{Z^2}{2} \frac{dP_{00}}{dX} - \frac{Z}{H} \left(1 + \frac{H^2}{2} \frac{dP_{00}}{dX} \right) + 1$$

یا

$$\frac{u}{u_o} = \left(1 - \frac{Z}{H} \right) - \frac{ZH}{2} \frac{dP_{00}}{dX} \left(1 - \frac{Z}{H} \right)$$

↑ ↑
 Couette term Poiseuille term

(۱۵-۲۸)

این مؤلفه سرعت، سرعت صفحه‌ای یا سرعت در جهت لغزیدن است. سرعت در جهت فیلم را می‌توان از معادله (۱۵-۴) این گونه نوشت:

$$\frac{w}{u_o} = - \frac{h_o}{\ell} \bar{\Phi} = - \frac{h_o}{\ell} \frac{\partial \bar{\Phi}}{\partial X}$$
(۱۵-۲۹)

۱۵-۴ حل‌های از مرتبه ۲ (P_{01} و $\bar{\Phi}_{01}$)، (h_o / ℓ و $\bar{\Phi}_{01}$) با انتگرال‌گیری معادله (۱۵-۵) نسبت به dZ می‌دهد:

$$P_{01}(X, Z) = - \frac{\partial^2 \bar{\Phi}_{00}}{\partial Z \partial X} + \bar{A}_{01}(X)$$
(۱۵-۳۰)

با جایگذاری معادله (۱۵-۳۰) در معادله (۱۵-۱۲) نیز داریم:

$$\frac{\partial^3 \bar{\Phi}_{01}}{\partial Z^3} = \frac{d\bar{A}_{01}}{dX} - 2 \frac{\partial^3 \bar{\Phi}_{00}}{\partial Z \partial X^2}$$

با جایگذاری معادله (۱۵-۲۵) در این معادله داریم:

$$\frac{\partial^3 \bar{\Phi}_{01}}{\partial Z^3} = \frac{d\bar{A}_{01}}{dX} - Z^2 \frac{d^3 P_{00}}{dX^3} + 2Z \frac{d^2}{dX^2} \left(\frac{H}{2} \frac{dP_{00}}{dX} + \frac{1}{H} \right)$$

با سه بار انتگرال‌گیری نسبت به dZ خواهیم داشت:

$$\begin{aligned} \bar{\Phi}_{01}(X, Z) = & \frac{Z^3}{6} \frac{d\bar{A}_{01}}{dX} - \frac{Z^5}{60} \frac{d^3 P_{00}}{dX^3} + \frac{Z^4}{12} \frac{d^2}{dX^2} \left(\frac{H}{2} \frac{dP_{00}}{dX} + \frac{1}{H} \right) \\ & + \bar{B}_{01}(X) Z^2 + \bar{C}_{01}(X) Z + \bar{E}_{01}(X) \end{aligned}$$
(۱۵-۳۱)

با استفاده از شرایط مرزی بیان شده در معادلات (۱۵-۱۸) و (۱۵-۱۹) به ترتیب نتیجه $\bar{E}_{01} = 0$ و $\bar{C}_{01} = 0$ می‌دهد. با استفاده از شرط مرزی بیان شده در معادله (۱۵-۲۰) داریم:

$$0 = \frac{H^2}{2} \frac{d\bar{A}_{01}}{dX} - \frac{H^4}{12} \frac{d^3P_{00}}{dX^3} + \frac{H^3}{3} \frac{d^2}{dX^2} \left(\frac{H}{2} \frac{dP_{00}}{dX} + \frac{1}{H} \right) + 2H\bar{B}_{01} \quad (15-32)$$

با جایگذاری شرط مرزی بیان شده در معادله (۱۵-۲۱) خواهیم داشت :

$$d_{01} = \frac{H^3}{6} \frac{d\bar{A}_{01}}{dX} - \frac{H^5}{60} \frac{d^3P_{00}}{dX^3} + \frac{H^4}{12} \frac{d^2}{dX^2} \left(\frac{H}{2} \frac{dP_{00}}{dX} + \frac{1}{H} \right) + H^2\bar{B}_{01} \quad (15-33)$$

معادلات (۱۵-۳۲) و (۱۵-۳۳) دو معادله و دو مجهول $d\bar{A}_{01}/dx$ و \bar{B}_{01} هستند . با ضرب معادله (۱۵-۳۲) توسط $H/2$ و معادله (۱۵-۳۳) توسط H ضمن تفیق از معادله (۱۵-۳۴) داریم :

$$d_{01} = -\frac{H^3}{12} \frac{d\bar{A}_{01}}{dX} + \frac{H^5}{40} \frac{d^3P_{00}}{dX^3} - \frac{H^4}{12} \frac{d^2}{dX^2} \left(\frac{H}{2} \frac{dP_{00}}{dX} + \frac{1}{H} \right) \quad (15-34)$$

با مشتق گیری معادله (۱۵-۳۴) نسبت به X تبدیل به یک معادله خطی از مرتبه دوم غیرهمگن برای $\bar{A}_{01}(X)$ می‌شود :

$$\frac{d\bar{A}_{01}}{dX} = -\frac{H^2}{5} \frac{d^3P_{00}}{dX^3} - H \frac{dH}{dX} \frac{d^2P_{00}}{dX^2} - \frac{H}{2} \frac{d^2H}{dX^2} \frac{dP_{00}}{dX} - H \frac{d^2}{dX^2} \left(\frac{1}{H} \right) - \frac{12d_{01}}{H^3} \quad (15-35)$$

از معادله (۱۵-۲۷) :

$$H^3 \frac{d^2P_{00}}{dX^2} + 3H^2 \frac{dH}{dX} \frac{dP_{00}}{dX} = 6 \frac{dH}{dX} \quad (15-36)$$

$$H^3 \frac{d^3P_{00}}{dX^3} + 6H^2 \frac{dH}{dX} \frac{d^2P_{00}}{dX^2} + \frac{dP_{00}}{dX} \frac{d}{dX} \left(3H^2 \frac{dH}{dX} \right) = 6 \frac{d^2H}{dX^2} \quad (15-37)$$

از معادله (۱۵-۳۶) :

$$\frac{d^2P_{00}}{dX^2} = \frac{6}{H^3} \frac{dH}{dX} - \frac{3}{H} \frac{dH}{dX} \frac{dP_{00}}{dX} \quad (15-38)$$

با جایگذاری معادله (۱۵-۳۸) در معادله (۱۵-۳۷) داریم :

$$\frac{d^3P_{00}}{dX^3} = \frac{dP_{00}}{dX} \left[\frac{18}{H^2} \left(\frac{dH}{dX} \right)^2 - \frac{1}{H^3} \frac{d}{dX} \left(3H^2 \frac{dH}{dX} \right) \right] + \frac{6}{H^3} \frac{d^2H}{dX^2} - \frac{36}{H^4} \left(\frac{dH}{dX} \right)^2 \quad (15-39)$$

مشتقهای دوم و سوم در معادله (۱۵-۳۵) را می‌توان با استفاده از معادلات (۱۵-۳۸) و (۱۵-۳۹) حذف کرد تا داشته باشیم :

$$\frac{d\bar{A}_{01}}{dX} = \frac{dP_{00}}{dX} \left[\frac{3}{5} \left(\frac{dH}{dX} \right)^2 + \frac{H}{10} \frac{d^2H}{dX^2} \right] - \frac{4}{5H^2} \left(\frac{dH}{dX} \right)^2 - \frac{1}{5H} \frac{d^2H}{dX^2} - \frac{12d_{01}}{H^3} \quad (15-40)$$

معادله (۱۵-۳۲) را می‌توان نوشت :

$$0 = \frac{H^2}{2} \frac{d\bar{A}_{01}}{dX} + \frac{H^4}{12} \frac{d^3P_{00}}{dX^3} + \frac{H^3}{3} \frac{dH}{dX} \frac{d^2P_{00}}{dX^2} + \frac{H^3}{6} \frac{d^2H}{dX^2} \frac{dP_{00}}{dX} \\ + \frac{2}{3} \left(\frac{dH}{dX} \right)^2 - \frac{H}{3} \frac{d^2H}{dX^2} + 2H\bar{B}_{01}$$

برای عبارات d^2P_{00}/dX^2 و $d\bar{A}_{01}/dX$ توسعه یافته، به ترتیب در معادلات (۱۵-۴۰)، (۱۵-۳۹)، (۱۵-۳۸) و (۱۵-۳۷)، معادله قبلی را می‌توان به صورت زیر بازنویسی نمود:

$$0 = \frac{H^2}{2} \frac{dP_{00}}{dX} \left[\frac{3}{5} \left(\frac{dH}{dX} \right)^2 + \frac{H}{10} \frac{d^2H}{dX^2} \right] - \frac{2}{5} \left(\frac{dH}{dX} \right)^2 - \frac{H}{10} \frac{d^2H}{dX^2} - \frac{6d_{01}}{H} \\ + \frac{H^4}{12} \frac{dP_{00}}{dX} \left[\frac{18}{H^2} \left(\frac{dH}{dX} \right)^2 - \frac{3}{H} \frac{d^2H}{dX^2} - \frac{6}{H^2} \left(\frac{dH}{dX} \right)^2 \right] + \frac{H}{2} \frac{d^2H}{dX^2} - 3 \left(\frac{dH}{dX} \right)^2 \\ + \frac{H^3}{3} \frac{dH}{dX} \left(\frac{6}{H^3} \frac{dH}{dX} - \frac{3}{H} \frac{dH}{dX} \frac{dP_{00}}{dX} \right) + \frac{H^3}{6} \frac{d^2H}{dX^2} \frac{dP_{00}}{dX} + \frac{2}{3} \left(\frac{dH}{dX} \right)^2 \\ - \frac{H}{3} \frac{d^2H}{dX^2} + 2H\bar{B}_{01}$$

همچنین این معادله را می‌توان این گونه نوشت :

$$\bar{B}_{01} = \frac{dP_{00}}{dX} \left[-\frac{3H}{20} \left(\frac{dH}{dX} \right)^2 + \frac{H}{60} \frac{d^2H}{dX^2} \right] + \frac{11}{30H} \left(\frac{dH}{dX} \right)^2 - \frac{1}{30} \frac{d^2H}{dX^2} + \frac{3d_{01}}{H^2} \quad (15-41)$$

با داشتن عبارتی برای \bar{B}_{01} و همچنین معادلات (۱۵-۳۵)، (۱۵-۳۶) و (۱۵-۳۹) ضمن پادآوری این که $\bar{C}_{01} = \bar{E}_{01} = 0$ ، می‌توانیمتابع جریان (X, Z) داده شده در معادله

(۱۵-۳۱) را محاسبه کنیم .

۱۵-۳ تصحیح اینرسی (P_{10} و $\bar{\Phi}_{10}$)

با جایگذاری معادله (۱۵-۲۵) در (۱۵-۱۳) ضمن به خاطر داشتن (۱۵-۱۶) داریم :

$$\begin{aligned} & \left[\frac{Z^2}{2} \frac{dP_{00}}{dX} - \frac{Z}{H} \left(1 + \frac{H^2}{2} \frac{dP_{00}}{dX} \right) + 1 \right] \left[\frac{Z^2}{2} \frac{d^2P_{00}}{dX^2} - Z \frac{d}{dX} \left(\frac{1}{H} + \frac{H}{2} \frac{dP_{00}}{dX} \right) \right] \\ & - \left[\frac{Z^3}{6} \frac{d^2P_{00}}{dX^2} - \frac{Z^2}{2} \frac{d}{dX} \left(\frac{1}{H} + \frac{H}{2} \frac{dP_{00}}{dX} \right) \right] \left[Z \frac{dP_{00}}{dX} - \frac{1}{H} \left(1 + \frac{H^2}{2} \frac{dP_{00}}{dX} \right) \right] \\ & = - \frac{\partial P_{10}}{\partial X} + \frac{\partial^3 \bar{\Phi}_{10}}{\partial Z^3} \end{aligned}$$

با بسط این معادله خواهیم داشت :

$$\begin{aligned} & \frac{Z^4}{12} \left(\frac{dP_{00}}{dX} \right) \left(\frac{d^2P_{00}}{dX^2} \right) - \frac{Z^3}{3} \left(\frac{1}{H} + \frac{H}{2} \frac{dP_{00}}{dX} \right) \frac{d^2P_{00}}{dX^2} + \frac{Z^2}{2} \left(\frac{1}{H} + \frac{H}{2} \frac{dP_{00}}{dX} \right) \\ & \times \frac{d}{dX} \left(\frac{1}{H} + \frac{H}{2} \frac{dP_{00}}{dX} \right) + \frac{Z^2}{2} \frac{d^2P_{00}}{dX^2} - Z \frac{d}{dX} \left(\frac{1}{H} + \frac{H}{2} \frac{dP_{00}}{dX} \right) \\ & = - \frac{dP_{10}}{dX} + \frac{\partial^3 \bar{\Phi}_{10}}{\partial Z^3} \quad (15-42) \end{aligned}$$

و با سه بار انتگرال گیری داریم :

$$\begin{aligned} & \frac{2Z^7}{7!} \left(\frac{dP_{00}}{dX} \right) \left(\frac{d^2P_{00}}{dX^2} \right) - \frac{2Z^6}{6!} \left(\frac{1}{H} + \frac{H}{2} \frac{dP_{00}}{dX} \right) \frac{d^2P_{00}}{dX^2} + \frac{Z^5}{5!} \left(\frac{1}{H} + \frac{H}{2} \frac{dP_{00}}{dX} \right) \\ & \times \frac{d}{dX} \left(\frac{1}{H} + \frac{H}{2} \frac{dP_{00}}{dX} \right) + \frac{Z^5}{5!} \frac{d^2P_{00}}{dX^2} - \frac{Z^4}{4!} \frac{d}{dX} \left(\frac{1}{H} + \frac{H}{2} \frac{dP_{00}}{dX} \right) \\ & + \frac{Z^3}{3!} \frac{dP_{10}}{dX} + \frac{Z^2}{2!} \bar{A}_{10}(X) + Z \bar{B}_{10}(X) + \bar{C}_{10}(X) = \bar{\Phi}_{10}(X, Z) \quad (15-43) \end{aligned}$$

شرطی مرزی عبارتند از :

$$\bar{\Phi}_{10} = 0 \text{ و } Z = 0 - 1$$

$$\begin{aligned} & \cdot \frac{\partial \Phi_{10}}{\partial Z} = 0 \text{ و } Z = 0 - ۲ \\ & \cdot \Phi_{10} = \text{ثابت} = d_{10} \text{ و } Z = H - ۳ \\ & \cdot \frac{\partial \Phi_{10}}{\partial Z} = 0 \text{ و } Z = H - ۴ \end{aligned}$$

با استفاده از شرایط مرزی ۱ و ۲ می‌دهد . از شرط مرزی ۳ داریم :

$$\begin{aligned} \frac{\bar{A}_{10}}{2} &= \frac{d_{10}}{H^2} - \frac{2H^5}{7!} \left(\frac{dP_{00}}{dX} \right) \left(\frac{d^2P_{00}}{dX^2} \right) + \frac{2H^4}{6!} \left(\frac{1}{H} + \frac{H}{2} \frac{dP_{00}}{dX} \right) \frac{d^2P_{00}}{dX^2} \\ &- \frac{H^3}{5!} \left(\frac{1}{H} + \frac{H}{2} \frac{dP_{00}}{dX} \right) \frac{d}{dX} \left(\frac{1}{H} + \frac{H}{2} \frac{dP_{00}}{dX} \right) - \frac{H^3}{5!} \frac{d^2P_{00}}{dX^2} \\ &+ \frac{H^2}{4!} \frac{d}{dX} \left(\frac{1}{H} + \frac{H}{2} \frac{dP_{00}}{dX} \right) - \frac{H}{3!} \frac{dP_{10}}{dX} \end{aligned} \quad (15-44)$$

از شرط مرزی ۴ نیز خواهیم داشت :

$$\begin{aligned} \frac{d_{10}}{H^2} &= -\frac{5H^5}{7!} \left(\frac{dP_{00}}{dX} \right) \left(\frac{d^2P_{00}}{dX^2} \right) + \frac{4H^4}{6!} \left(\frac{1}{H} + \frac{H}{2} \frac{dP_{00}}{dX} \right) \frac{d^2P_{00}}{dX^2} \\ &- \frac{3H^3}{4(5!)} \frac{d}{dX} \left[\left(\frac{1}{H} + \frac{H}{2} \frac{dP_{00}}{dX} \right)^2 \right] - \frac{3H^3}{2(5!)} \frac{d^2P_{00}}{dX^2} \\ &+ \frac{H^2}{4!} \frac{d}{dX} \left(\frac{1}{H} + \frac{H}{2} \frac{dP_{00}}{dX} \right) - \frac{H}{12} \frac{dP_{10}}{dX} \end{aligned} \quad (15-45)$$

با استفاده از معادله قبلی ، معادله (۱۵-۴۳) به صورت زیر به دست می‌آید :

$$\begin{aligned} \bar{\Phi}_{10} &= \left(\frac{dP_{00}}{dX} \right) \left(\frac{d^2P_{00}}{dX^2} \right) \left[\frac{2Z^7}{7!} - \frac{HZ^6}{6!} + \frac{H^2Z^5}{4(5!)} - \frac{7H^5Z^2}{(4!)(5!)} \right] \\ &+ \frac{d^2P_{00}}{dX^2} \left[-\frac{2Z^6}{6!H} + \frac{9H^3Z^2}{4(5!)} + \frac{3Z^5}{2(5!)} - \frac{HZ^4}{2(4!)} \right] \\ &+ \frac{dH}{dX} \left(\frac{dP_{00}}{dX} \right)^2 \frac{(2HZ^5 - 5H^4Z^2)}{8(5!)} - \frac{(Z^5 - \frac{5}{2}H^3Z^2)}{5!H^3} \frac{dH}{dX} \\ &- \frac{dP_{00}}{dX} \frac{dH}{dX} \frac{(Z^4 - 2H^2Z^2)}{2(4!)} + \frac{dH}{dX} \frac{(Z^4 - 2H^2Z^2)}{4!H^2} \\ &+ \frac{dP_{10}}{dX} \left(\frac{Z^3 - 3HZ^2/2}{3!} \right) \end{aligned} \quad (15-46)$$

ناکنون در این فصل فرموله کردن به شکل عمومی بوده است . ولی باقی مانده آن (چون مرتبط با یاتاقانها است) بیشتر به صورت اختصاصی خواهد بود . برای مثال ، فرض می شود فشار در دو نقطه انتهایی a و b معلوم باشد . این بیان می دارد که :

$$X = 0, P = P_a \rightarrow P = P_{00} + (h_o/\ell)^2 P_{01} + \mathcal{R}_x P_{10} + \dots = P_a \quad ۱ - \text{در}$$

$$X = 1, P = P_b \rightarrow P = P_{00} + (h_o/\ell)^2 P_{01} + \mathcal{R}_x P_{10} + \dots = P_b \quad ۲ - \text{در}$$

بنابراین این شرایط را می توان این گونه نوشت :

$$X = 0, P_{00} = P_a \text{ and } P_{01} = P_{10} = 0 \quad ۱ - \text{در}$$

$$X = 1, P_{00} = P_b \text{ and } P_{01} = P_{10} = 0 \quad ۲ - \text{در}$$

این شرایط در برقراری فشار ارضاء خواهند شد .

۱۵-۳ مؤلفه های نیرو

این قسمت ، عبارات از قبل توسعه یافته شده برای تابع جریان و فشار را در تعیین مؤلفه های نیرو ، ضمن ارتباط آنها با روان کاری یاتاقان ، مورد استفاده قرار می دهد . از معادله (۶-۸) تشهیای عمودی عمل کننده روی یک المان سیال را ، وقتی از عبارت انبساط صرف نظر شود (چون این فصل مربوط به یک سیال غیرقابل تراکم است) ، می توان این گونه نوشت :

$$\sigma_z = -p + 2\eta_0 \frac{\partial w}{\partial z} \quad (15-47)$$

$$\sigma_x = -p + 2\eta_0 \frac{\partial u}{\partial x} \quad (15-48)$$

همچنین از معادله (۶-۱۲) تنش برشی را می توان به صورت زیر نوشت :

$$\tau_{xx} = \eta_0 \left(\frac{\partial u}{\partial z} + \frac{\partial w}{\partial x} \right) \quad (15-49)$$

توجه داشته باشید که فقط میدان تنش بُعد x در نظر گرفته می شود ، زیرا در ابتدای این فصل فرض شد که از نشت کناری می توان صرف نظر کرد . استفاده از بدون بُعد کردن داده شده در معادله (۱۵-۴) ضمن استفاده از معادلات (۱۵-۸) و (۱۵-۹) معادلات (۱۵-۴۷) تا

(۱۵-۴۹) را به صورت زیر تغییر می‌دهد :

$$\sigma_z = -\frac{\eta_0 \ell u_o}{h_o^2} \left[P_{00} + \left(\frac{h_o}{\ell} \right)^2 P_{01} + \mathcal{R}_x P_{10} + 2 \left(\frac{h_o}{\ell} \right)^2 \frac{\partial^2 \bar{\Phi}_{00}}{\partial X \partial Z} + \mathcal{R}_x \frac{\partial^2 \bar{\Phi}_{10}}{\partial X \partial Z} + \dots \right] \quad (15-50)$$

$$\sigma_x = -\frac{\eta_0 \ell u_o}{h_o^2} \left[P_{00} + \left(\frac{h_o}{\ell} \right)^2 P_{01} + \mathcal{R}_x P_{10} - 2 \left(\frac{h_o}{\ell} \right)^2 \frac{\partial^2 \bar{\Phi}_{00}}{\partial X \partial Z} - \mathcal{R}_x \frac{\partial^2 \bar{\Phi}_{10}}{\partial X \partial Z} + \dots \right] \quad (15-51)$$

$$\begin{aligned} \tau_{xz} &= \frac{\eta_0 u_o}{h_o} \left[\frac{\partial^2 \bar{\Phi}_{00}}{\partial Z^2} + \left(\frac{h_o}{\ell} \right)^2 \frac{\partial^2 \bar{\Phi}_{01}}{\partial Z^2} + \mathcal{R}_x \frac{\partial^2 \bar{\Phi}_{10}}{\partial Z^2} - \left(\frac{h_o}{\ell} \right) \frac{\partial^2 \bar{\Phi}_{00}}{\partial X^2} \right. \\ &\quad \left. - \left(\frac{h_o}{\ell} \right)^3 \frac{\partial^2 \bar{\Phi}_{01}}{\partial X^2} - \left(\frac{h_o}{\ell} \right) \mathcal{R}_x \frac{\partial^2 \bar{\Phi}_{10}}{\partial X^2} + \dots \right] \quad (15-52) \end{aligned}$$

بار اعمال شده عمودی بر واحد طول ، عبارت است از :

$$w'_z = \int_0^\ell (\sigma_z - p_a) dx$$

با جایگذاری معادله (۱۵-۵۰) داریم :

$$\begin{aligned} W_z &= \frac{w'_z h_o^2}{\eta_0 u_o \ell^2} = - \int_0^1 \left[P_{00} - P_a + \left(\frac{h_o}{\ell} \right)^2 P_{01} + \mathcal{R}_x P_{10} \right. \\ &\quad \left. + 2 \left(\frac{h_o}{\ell} \right)^2 \frac{\partial^2 \bar{\Phi}_{00}}{\partial X \partial Z} + \mathcal{R}_x \frac{\partial^2 \bar{\Phi}_{10}}{\partial X \partial Z} + \dots \right] dX \end{aligned}$$

$$\therefore W_z = W_{z,00} + \left(\frac{h_o}{\ell} \right)^2 W_{z,01} + \mathcal{R}_x W_{z,10} + \dots \quad (15-53)$$

که در آن :

$$W_{z,00} = - \int_0^1 (P_{00} - P_a) dX \quad (15-54)$$

$$W_{z,01} = - \int_0^1 \left(P_{01} + 2 \frac{\partial^2 \bar{\Phi}_{00}}{\partial X \partial Z} \right) dX \quad (15-55)$$

$$W_{z,10} = - \int_0^1 \left(P_{10} + \frac{\partial^2 \bar{\Phi}_{10}}{\partial X \partial Z} \right) dX \quad (15-56)$$

با انتگرال گیری معادله (۱۵-۲۶) ، خواهیم داشت :

$$\int_0^X \frac{dP_{00}}{dX} dX = P_{00}(X) - P_a = 6 \int_0^X \frac{dX}{H^2} - 12 d_{00} \int_0^X \frac{dX}{H^3} \quad (15-57)$$

با استفاده از شوابط مرزی می دهد :

$$d_{00} = \frac{1}{2} \frac{\int_0^1 dX/H^2}{\int_0^1 dX/H^3} \quad (15-58)$$

با جایگذاری معادله (۱۵-۵۸) در (۱۵-۵۷) ، داریم :

$$P_{00}(X) - P_a = 6 \int_0^X \frac{dX}{H^2} - 6 \frac{\int_0^1 dX/H^2}{\int_0^1 dX/H^3} \int_0^X \frac{dX}{H^3} \quad (15-59)$$

با جایگذاری معادله (۱۵-۵۹) در (۱۵-۵۴) می دهد :

$$W_{z,00} = -6 \int_0^1 \left(\int_0^X \frac{dX}{H^2} \right) dX + 6 \frac{\int_0^1 dX/H^2}{\int_0^1 dX/H^3} \int_0^1 \left(\int_0^X \frac{dX}{H^3} \right) dX \quad (15-60)$$

با انتگرال گیری جزء به جزء ، خواهیم داشت :

$$\int_0^1 \left(\int_0^X \frac{dX}{H^2} \right) dX = \int_0^1 \frac{dX}{H^2} - \int_0^1 \frac{X}{H^2} dX$$

$$\int_0^1 \left(\int_0^X \frac{dX}{H^3} \right) dX = \int_0^1 \frac{dX}{H^3} - \int_0^1 \frac{X}{H^3} dX$$

با جایگذاری این دو معادله در معادله (۱۵-۶۰) ، می دهد :

$$W_{z,00} = 6 \left(\int_0^1 \frac{X}{H^2} dX - \frac{\int_0^1 dX/H^2}{\int_0^1 dX/H^3} \int_0^1 \frac{X}{H^3} dX \right) \quad (15-61)$$

محاسبه $W_{z,01}$ و $W_{z,10}$ باید به صورت عددی انجام شود .
نیروی برشی در واحد طول در سطح در حال حرکت را می توان نوشت :

$$f'_b = \int_0^l (\tau_{xz})_{z=0} dx$$

با استفاده از معادله (۱۵-۵۲) ضمن بدون بُعد کردن معادله قبلی ، داریم :

$$F_b = \frac{f'_b h_o}{\eta_0 u_o \ell} = F_{b,00} + \left(\frac{h_o}{\ell} \right)^2 F_{b,01} + R_x F_{b,10} + \dots \quad (15-62)$$

که در آن :

$$F_{b,00} = \int_0^1 \left(\frac{\partial^2 \bar{\Phi}_{00}}{\partial Z^2} - \frac{h_o}{\ell} \frac{\partial^2 \bar{\Phi}_{00}}{\partial X^2} \right)_{z=0} dX \quad (15-63)$$

$$F_{b,01} = \int_0^1 \left(\frac{\partial^2 \bar{\Phi}_{01}}{\partial Z^2} - \frac{h_o}{\ell} \frac{\partial^2 \bar{\Phi}_{01}}{\partial X^2} \right)_{z=0} dX \quad (15-64)$$

$$F_{b,10} = \int_0^1 \left(\frac{\partial^2 \bar{\Phi}_{10}}{\partial Z^2} - \frac{h_o}{\ell} \frac{\partial^2 \bar{\Phi}_{10}}{\partial X^2} \right)_{z=0} dX \quad (15-65)$$

از معادله (۱۵-۲۵) ، داریم :

$$\left(\frac{\partial^2 \bar{\Phi}_{00}}{\partial X^2} \right)_{z=0} = 0 \quad (15-66)$$

$$\frac{\partial \bar{\Phi}_{00}}{\partial Z} = \frac{Z^2}{2} \frac{dP_{00}}{dX} - \frac{Z}{H} \left(1 + \frac{H^2}{2} \frac{dP_{00}}{dX} \right) + 1$$

$$\frac{\partial^2 \bar{\Phi}_{00}}{\partial Z^2} = Z \frac{dP_{00}}{dX} - \frac{1}{H} \left(1 + \frac{H^2}{2} \frac{dP_{00}}{dX} \right)$$

$$\left(\frac{\partial^2 \bar{\Phi}_{00}}{\partial Z^2} \right)_{z=0} = - \frac{1}{H} \left(1 + \frac{H^2}{2} \frac{dP_{00}}{dX} \right) \quad (15-67)$$

با جایگذاری معادلات (۱۵-۶۶) و (۱۵-۶۷) در (۱۵-۶۳) ، می دهد :

$$F_{b,00} = - \int_0^1 \left(\frac{1}{H} + \frac{H}{2} \frac{dP_{00}}{dX} \right) dX \quad (15-68)$$

از معادلات (۱۵-۲۶) و (۱۵-۵۸)، داریم :

$$\frac{dP_{00}}{dX} = \frac{6}{H^2} - \frac{6}{H^3} \frac{\int_0^1 dX/H^2}{\int_0^1 dX/H^3} \quad (15-69)$$

با جایگذاری معادله (۱۵-۶۹) در (۱۵-۶۸)، می‌دهد :

$$F_{b,00} = -4 \int_0^1 \frac{dX}{H} + \frac{3 \left(\int_0^1 dX/H^2 \right)^2}{\int_0^1 dX/H^3} \quad (15-70)$$

۱۵-۵ یاتاقان کشوبی با شیب ثابت

تاکنون در این فصل معادلات توسعه یافته به شکل عمومی نوشته شدند، به این دلیل که نتایج برای هر شکل فیلم قابل به کارگیری باشد. در این قسمت، همانند قسمت ۸-۴ این حلها را برای یک یاتاقان کشوبی با شیب ثابت به کار می‌گیریم. توجه داشته باشید که حل مرتبه اول این فصل، دقیقاً همان نتایج بدست آمده در فصل ۸ می‌باشد. بخصوص معادله (۸-۳۰) همان نتایج برای W را دارد که از معادله (۱۵-۶۱) برای $W_{0,00}$ بدست می‌آید؛ وقتی که تعریف شکل فیلم داده شده در معادله (۸-۱۹) استفاده شود. به علاوه تنش برشی بدون بعد در سطح درحال حرکت F برای یک یاتاقان کشوبی با شیب ثابت داده شده در معادله (۸-۳۲)، دقیقاً همان حل برای $F_{0,00}$ بدست آمده از معادله (۱۵-۷۰) با شکل فیلم داده شده در معادله (۸-۱۹) است.

جدول ۱۵-۱ چگونگی مقایسه جمله تصحیح اینرسی با جمله مرتبه اول را نشان می‌دهد در زمانی که هر دو بار عمودی اعمال شده و تنش برشی در سطح درحال حرکت بوده و نسبت ضخامت فیلم ورودی به خروجی تغییر می‌کند. تصحیح اینرسی با کاهش نسبت ضخامت فیلم قابل ملاحظه می‌شود. برای $H_0 = 2.0$ ، تصحیح اینرسی فقط $3/3$ درصد از حل مرتبه اول بار اعمالی عمودی است؛ برای $H_0 = 0.2$ این تصحیح اینرسی $67/6$ درصد حل مرتبه اول است. برای محاسبه تنش برشی، وقتی $2.0 = H_0$ است، تصحیح اینرسی فقط $5/6$ درصد حل مرتبه اول بوده و برای $0.2 = H_0$ تصحیح اینرسی $29/8$ درصد حل مرتبه اول می‌باشد. اهمیت این تصحیح‌ها وقتی که در معادلات (۱۵-۵۳) و (۱۵-۶۲) جایگذاری شوند، می‌تواند به صورت مناسب مورور شود. جدول ۱۵-۱ همچنین نشان می‌دهد که برای

جدول ۱-۱۵- نیروهای یک یاتاقان کشوبی با شبیث ثابت به دست آمده از حل مرتبه اول و تصحیح‌های اینرسی

Film thickness ratio, $H_0 = h_0/s_h$	Normal applied load		Shear stress	
	First-order solution, $W_{\pm,00}$	Inertia correction, $W_{\pm,10}$	First-order solution, $F_{\delta,00}$	Inertia correction, $F_{\delta,10}$
2.0	0.0335	0.0011	-0.424	-0.0237
1.0	.158	.0123	-.772	-.0856
.5	.592	.113	-1.396	-.271
.2	2.175	1.470	-2.885	-.861

یک سیال غیرقابل تراکم، که در برگیرنده این فصل بود، و ضمن این که یک سطح موازی در حال میل کردن به سمت آن بود ($H_0 \rightarrow \infty$)، تصحیح اینرسی و همچنین حل مرتبه اول به سمت صفر میل می‌کند. البته تصحیح اینرسی با سرعت خیلی سریع تری از حل مرتبه اول به سمت صفر میل می‌کند. بنابراین جریان شتاب می‌گیرد تا جریان ثابتی جرم را حفظ کند.

۱-۱۵-۶ مؤفره

عدد رینولدز به صورت نسبت اثرات اینرسی به لزجت روی یک المان سیال تعریف شد. فصلهای قبل مشخص نموده‌اند که برای یاتاقانهای کف‌گرد ژورنال روان‌کاری شونده به صورت هیدرودینامیکی، اثرات اینرسی نسبت به اثرات لزجت کوچک هستند. در این فصل روش‌های تحلیلی ارائه شدند که نشان می‌دهند چگونه حل‌های فشار، توابع جریان، و مؤلفه‌های نیرو را می‌توان ضمن در نظر گیری اثرات اینرسی، به دست آورد. این تجزیه و تحلیل در کلی ترین طریق آن فرموله شد. فشار و توابع جریانی در جملات مرتبه اول، تصحیح‌های اینرسی و جملات $\parallel h_0^2$ بیان شدند. حل‌های تحلیلی برای هر کدام از این جملات ضمن صرف نظر کردن از مرتبه بالاتر، به دست آمدند. تعدادی از فرضیات، شامل چشم‌پوشی از نشت کناری و جملات نیروی حجمی و فرض غیرقابلیت تراکم، حالت یکنواخت، و لزجت ثابت اعمال شدند. عبارات عمومی نیز برای ظرفیت حمل بار عمودی و تنش برشی در سطح در حال حرکت به دست آمدند. در انتهای این فصل حل‌های عمومی

در مورد یک یاتاقان کف گرد کشی با شیب ثابت به کار گرفته شدند . جملات مرتبه اول برای ظرفیت حمل بار عمودی و تنش برشی ، مثل حلهای توسعه یافته در فصل ۸ ، به صورت یکسان پدید آمدند . به علاوه در یافته که تصحیح های اینرسی در ضمن این که به شکل فیلم موازی نزدیک شدیم ، به سمت صفر میل کرد و وقتی که نسبت ضخامت فیلم کاهش یافت با اهمیت تر گردید . به هر حال نتیجه گرفته شد که به طور کلی اگر از اثرات اینرسی در یاتاقانهای کف گرد و ژورنال خود عمل کننده صرف نظر گردد دقت کم نمی شود ؛ زیرا نقش آنها نسبت به اثرات لزجت کم است . اثرات اینرسی وقتی اثرات ورودی در یاتاقانها در نظر گرفته می شوند ، یا اگر یک جداولی حباب ، زمانی که جریان وارد فیلم در اطراف یک گوشه بال به تیز می شود پدید آید ، مثل مورد یاتاقان تحت فشار از خارج که قبلاً دیدیم ، ممکن است مهم باشد .

۱۵-۷ مسائل

۱۵-۷-۱ یک یاتاقان با شیب ثابت مانند شکل ۸-۶ را در نظر بگیرید . فرض کنید $s_h / \alpha = s_x$ و $h = h_0 + s_h - \alpha_x$ است . برای این یاتاقان عباراتی برای P_{10} ، Φ_{10} ، Φ_{01} ، F_b و $F_{b,10}$ تعیین کنید .

۱۵-۸ فهرست منابع و مأخذ

- Diprima, R. C., and Stuart, J. T. (1972): Flow Between Eccentric Rotating Cylinders. *J. Lubr. Technol.*, vol. 94, no. 3, pp. 266-274.
 Myllerup, C. M. and Hamrock, B. J. (1992): "Local Effects in Thin Film Lubrication," Presented and published in the 19th Leeds-Lyon Symposium on Tribology.

فصل شانزدهم

یاتاقانهای کف گرد روان کاری شونده با گاز

در سالهای اخیر یاتاقانهای روان کاری شونده با فیلم گاز جلب توجه زیادی نموده اند؛ زیرا دارای مشخصه هایی هستند که استفاده از آنها در خیلی از کاربردها امتیازآور است . آنها مشابه یاتاقانهای هیدرودینامیکی روان شونده با روغن می باشند با این تفاوت که سیال تراکم پذیر است . به علاوه از آن جا که هوا هزار مرتبه ، حتی از رقيق ترین روغنهاي معدني كمتر لرج است ، مقاومت در برابر لرجت خيلي کم است . هر چند که نزديكترین فاصله بين سطوح یاتاقان نيز به همان نسبت کوچکتر است ، به گونه اي که احتياطهاي بخصوص بايد در ساخت اين یاتاقانها به کار گرفته شود .

امتيازهای یاتاقانهای روان کاری شونده با گاز عبارتند از :

۱- اصطکاك آنها يا مقاومت در مقابل لرجت بسيار پايان است .

۲- روان کاري كننده فراوان و تميز است .

۳- روان کننده ، سطوح را آگود نمي کند .

۴- روان کننده در دمای کاملاً پايان تا کاملاً بالا ، به خوبی کار می کند .

۵- فیلم به دلیل کاویتاسیون یا تهويه از بین نمی رود .

چند ضعف یاتاقانهای روان کاری شونده با گاز نيز عبارتند از :

۱- برای یاتاقان با اندازه يکسان ، ظرفيت حمل بار يك یاتاقان روان کاري شونده با گاز ،

- چندین برابر کمتر از یاتاقان روان‌کاری شونده با روغن است .
- ۲- سطوح باید به مقدار خیلی زیادی صیقل داده شده باشند .
 - ۳- هم محوری باید کاملاً خوب باشد .
 - ۴- ابعاد و لقیها باید کاملاً دقیق باشند .
 - ۵- سرعت باید بالا باشد .
 - ۶- بارگذاری باید کم باشد .
 - ۷- مشخصه‌های پایداری آنها ضعیف است .

یاتاقانهای گازی مورد استفاده زیادی در ماشینهای سیکل گازی ، که در آن سیکل گاز در یاتاقانها به کار گرفته می‌شوند ، پیدا می‌کنند ؛ بنابراین احتیاج برای سیستم روان‌کاری معمولی را از بین می‌برد . مثال این سیستمها عبارتند از : زیرسکوپ که در آن دقت و بقاء گشتاور بحرانی است . در ماشین آلات تهیه غذا و نساجی که در آنها تمیزی و عدم آلودگی ضروری است و نیز در متنهای دندانپیشکی با سرعت زیاد . واضح است که یاتاقانهای گازی فقط در جایی به کار گرفته می‌شوند که امتیازات آن بر ضعفهایش غلبه کند . اگرچه کاربرد آنها همیشه به خاطر نقاط ضعفشان محدود خواهد بود ، ولی با این حال به اندازه کافی زیاد هست تا کاربرد آنها به عنوان یک جزء از ماشین مورد امتحان قرار گیرد .

۱۶-۱ معادله رینولدز

از معادله (۷-۵۸) ، شکل عمومی معادله رینولدز را می‌توان به صورت زیر بیان کرد :

$$\frac{\partial}{\partial x} \left(\frac{\rho h^3}{12\eta} \frac{\partial p}{\partial x} \right) + \frac{\partial}{\partial y} \left(\frac{\rho h^3}{12\eta} \frac{\partial p}{\partial y} \right) = \frac{\partial}{\partial x} \left[\frac{\rho h(u_a + u_b)}{2} \right] + \frac{\partial}{\partial y} \left[\frac{\rho h(v_a + v_b)}{2} \right] + \frac{\partial(\rho h)}{\partial t} \quad (7-58)$$

حال اگر : $u_a = v_b = 0$ باشد ، این معادله به شکل زیر ساده می‌شود :

$$\frac{\partial}{\partial x} \left(\frac{\rho h^3}{\eta} \frac{\partial p}{\partial x} \right) + \frac{\partial}{\partial y} \left(\frac{\rho h^3}{\eta} \frac{\partial p}{\partial y} \right) = 6u_b \frac{\partial(\rho h)}{\partial x} + 12 \frac{\partial(\rho h)}{\partial t} \quad (16-1)$$

لزجت گازها ، با فشار خیلی کم تغییر می‌کند ، بنابراین لزجت را می‌توان فقط تابعی از

درجه حرارت در نظر گرفته و برابر η_0 به حساب آورد . بدین ترتیب می توان فرض کرد که لزجت در سرتاسر پاتاقان ثابت است .

$$\therefore \eta = \eta_0 = \text{constant} \quad (16-2)$$

از معادله حالت ، جرم مخصوص یک گاز کامل را به صورت زیر می نویسیم :

$$\frac{p}{\rho} = \bar{R} t_m \quad (16-3)$$

وزن مولکولی + ثابت جهانی گاز = ثابت گاز : که در آن :

درجه حرارت گاز = t_m

پاتاقانهای گازی معمولاً به صورت ، دما ثابت عمل می کنند . در این چنین موردی معادله (16-3) به شکل زیر تعديل می شود :

$$\frac{p}{\rho} = \text{constant} \quad (16-4)$$

توجه داشته باشید که شکل کلی ، یعنی قانون پولی تروپیک^۱ را می توان استفاده کرد ، که :

$$\frac{p}{\rho^n} = \text{constant} \quad (16-5)$$

بوده و :

$$1 \leq n \leq \frac{C_p}{C_v} \quad (16-6)$$

گرمای ویژه در فشار ثابت ، $C_p = J / (\text{kg} \cdot \text{K})$ است ، و :

گرمای ویژه در حجم ثابت ، $C_v = J / (\text{kg} \cdot \text{K})$

نمای انبساط گاز پولی تروپیک = n

وقتی که جریان «آدیاباتیک» است (مثلاً ، انتقال حرارتی وجود ندارد و تغییر در انرژی داخلی

برابر با کارتراتیکمی است) ، $\bar{n} = C_p / C_v$ می‌باشد . وقتی جریان «هم دما» است ، $\bar{n} = \bar{n}$ بوده و مادله (۱۶-۴) ، یعنی معادله حالت را داریم . تجربه نشان می‌دهد که معادله (۱۶-۵) ، در بسیاری از فرآیندهای ترمودینامیکی به کار گرفته می‌شود . با جایگذاری معادلات (۱۶-۲) و (۱۶-۵) در معادله (۱۶-۱) ، داریم :

$$\frac{\partial}{\partial x} \left(p^{1/\bar{n}} h^3 \frac{\partial P}{\partial x} \right) + \frac{\partial}{\partial y} \left(p^{1/\bar{n}} h^3 \frac{\partial P}{\partial y} \right) = 6\eta_0 u_b \frac{\partial}{\partial x} (p^{1/\bar{n}} h) + 12\eta_0 \frac{\partial}{\partial t} (p^{1/\bar{n}} h) \quad (16-7)$$

بگذارید $t = T / \omega$ ، $y = bY$ ، $x = lX$ ، $h = h_{کب} H$ ، $p = p_a P$ باشد ، پس داریم :

$$\begin{aligned} \frac{\partial}{\partial X} \left(P^{1/\bar{n}} H^3 \frac{\partial P}{\partial X} \right) + \lambda^2 \frac{\partial}{\partial Y} \left(P^{1/\bar{n}} H^3 \frac{\partial P}{\partial Y} \right) \\ = \Lambda_k \frac{\partial}{\partial X} (P^{1/\bar{n}} H) + \sigma_k \frac{\partial}{\partial T} (P^{1/\bar{n}} H) \end{aligned} \quad (16-8)$$

که در آن :

$$\lambda = \frac{\ell}{b} \quad (16-9)$$

نسبت طول به عرض و :

$$\Lambda_k \triangleq \frac{6\eta_0 u_b \ell}{p_a h_{\min}^2} \quad (16-10)$$

عدد بدون بُعد یاتاقان و :

$$\sigma_k = \frac{12\eta_0 \omega \ell^2}{p_a h_{\min}^2} \quad (16-11)$$

عدد فشردگی بدون بُعد است . برای شرایط دما ثابت $1 = \bar{n}$ و مادله (۱۶-۸) می‌شود :

$$\frac{\partial}{\partial X} \left(PH^3 \frac{\partial P}{\partial X} \right) + \lambda^2 \frac{\partial}{\partial Y} \left(PH^3 \frac{\partial P}{\partial Y} \right) = \Lambda_k \frac{\partial (PH)}{\partial X} + \sigma_k \frac{\partial (PH)}{\partial T} \quad (16-12)$$

یکی از معادلات (۱۶-۸) یا (۱۶-۱۲) معمولاً در تجزیه و تحلیل روان‌کاری با گاز ، وقتی که

جریان آرام برقرار است، مورد استفاده قرار می‌گیرد. همان‌گونه که از این معادلات می‌توان دید، قابلیت تراکم گاز به خاطر غیرخطی کردن معادله رینولدز، تجزیه و تحلیل را پیچیده می‌کند. یعنی سمت چپ معادلات (۱۶-۸) و (۱۶-۱۲) بر حسب متغیر P ، غیرخطی هستند.

اولین ساده‌سازی در معادله (۱۶-۱۲)، تنها در نظر گرفتن روان کاری غیرقابل تغییر نسبت به زمان بوده و در نتیجه می‌توان عبارت $(PH)^3 \frac{\partial P}{\partial T}$ را حذف کرد. دنباله این معادله غالباً با صرف نظر از جمله نشت کناری، یعنی $\frac{\partial^3 PH^3}{\partial Y^3}$ یا قسمت نامیده شده به نام سهمی، یعنی $\frac{\partial^3 PH^3}{\partial X^3}$ چریان اصلی یاتاقان، بیشتر ساده می‌شود. از این تقریب‌ها، اولین آن تقریب یاتاقان با بُنی‌نهایت عرض است، و دومین آن تقریب یاتاقان با عرض کوتاه است. این هر دو مورد برای یاتاقنهای ژورنال، در فصل ۱۰ بررسی شدند. اگر حرکت نسبی وجود نداشته باشد، مثل یاتاقان هیدرواستاتیک، $u = 0$ و جمله $\frac{\partial P}{\partial X} = 0$ در معادله (۱۶-۱۲) حذف می‌شود.

۱-۱۶ حل‌های حدی

برای عملکرد در حالت پایدار $u = 0$ و معادله (۱۶-۶) به شکل زیر تعديل می‌شود:

$$\frac{\partial}{\partial X} \left(PH^3 \frac{\partial P}{\partial X} \right) + \lambda^2 \frac{\partial}{\partial Y} \left(PH^3 \frac{\partial P}{\partial Y} \right) = \Lambda_s \frac{\partial (PH)}{\partial X} \quad (16-13)$$

دو مورد حدی مهم در حل معادله رینولدز قابل تراکم (۱۶-۱۳)، وجود دارند.

۱-۱-۱۶ سرعت‌های بسیار پایین ($0 \rightarrow u_s \rightarrow 0$)

معادله (۱۶-۱۳) را می‌توان مشتق گرفته و رابطه ذیل را به دست آورد:

$$\begin{aligned} \frac{\partial}{\partial X} \left(H^3 \frac{\partial P}{\partial X} \right) + \lambda^2 \frac{\partial}{\partial Y} \left(H^3 \frac{\partial P}{\partial Y} \right) + \frac{H^3}{P} \left[\left(\frac{\partial P}{\partial X} \right)^2 + \lambda^2 \left(\frac{\partial P}{\partial Y} \right)^2 \right] \\ = \Lambda_s \left(\frac{\partial H}{\partial X} + \frac{H}{P} \frac{\partial P}{\partial X} \right) \end{aligned} \quad (16-14)$$

حال ضمن $0 \rightarrow u_b$ و $0 \rightarrow P$ و نمایک سیال فشار ، $0 \rightarrow \Delta P$ میل می‌کند . بنابراین عباراتی از قبیل $\partial P / \partial X$ کوچک هستند . مخصوصاً $\ll (\partial P / \partial X)^2$ و $\ll (\partial P / \partial Y)^2$ بدین ترتیب قابل چشم‌پوشی است . به طور مشابه $\ll (\partial P / \partial Y) / (\partial P / \partial X)$ ؛ لذا صرف نظر می‌شود . به علاوه می‌توان نشان داد که $H / P = (\partial P / \partial X) / (\partial H / \partial X)$ است . بنابراین معادله (۱۶-۱۴)، وقتی که $0 \rightarrow u_b$ و $0 \rightarrow \Lambda_g$ میل کنند ، به شکل زیر تغییر می‌شود :

$$\frac{\partial}{\partial X} \left(H^3 \frac{\partial P}{\partial X} \right) + \lambda^2 \frac{\partial}{\partial Y} \left(H^3 \frac{\partial P}{\partial Y} \right) = \Lambda_g \frac{\partial H}{\partial X} \quad (16-15)$$

معادله (۱۶-۱۵) ، همان گونه که در معادله (۷-۴۸) تشریح شده است ، شکل غیرقابل تراکم معادله رینولدز می‌باشد . این ، ما را به اولین اصل مهم می‌رساند : در سرعتهای خیلی پایین ، روان‌کاری با گاز به صورت خودعمل کننده می‌تواند غیرقابل تراکم در نظر گرفته شود و نتایج به دست آمده برای روان‌کاری فیلم کامل برای مایعات مستقیماً برای روان‌کاری گاز با سرعت پایین به کار گرفته می‌شود .

۱-۱-۲ سرعتهای بسیار بالا ($\infty \rightarrow u_b$ ، $\infty \rightarrow \Lambda_g$)

از معادله (۱۶-۱۳) مامی توانیم دریابیم که ضمن $\infty \rightarrow u_b$ یا ضمن $\infty \rightarrow \Lambda_g$ میل می‌کند ، تنها راه معین ماندن فشار برای حالت $0 = \partial PH / \partial X$ است . این بیان کننده آن است که :

$$PH = \text{ثابت} \quad (16-16)$$

بوده ، و :

$$p_h = p_\theta h = \text{ثابت} \quad (16-17)$$

است . در معادله (۱۶-۱۷) بین روان‌کاری مایع و روان‌کاری گاز یک تفاوت اساسی وجود دارد . در روان‌کاری مایع فشار و بار (فشار انتگرال گیری گرفته شده) مستقیماً متناسب با سرعت و لزجت بوده و استنگی به فشار محیط اطراف ندارند . در یاتاقانهای روان‌کاری شونده با گاز ، که خود عمل کننده‌اند ، دومین اصل مهم این است که در یک سرعت بالا و فشار و بار

(فشار انتگرال گرفته شده) از سرعت و لزجت جدا شده؛ ولی مستقیماً متناسب با فشار محیط اطراف است. توجه کنید که مجانب سرعت بالا فقط از سمت راست معادله (۱۳-۱۶) و جدا از جملات ظاهر شده در سمت چپ این معادله تعیین می‌شود. این بدان معنی است که مجانب سرعت بالا برای یاتاقانهای با عرض معین مانند آن برای یک یاتاقان با عرض بی‌نهایت است. این به سومین اصل مهم مربوط به روان کاری گازی منتهی می‌شود. بدین معنی که اگر سرعت به اندازه کافی بالا باشد نشت کناری حتی در یاتاقانهای با عرض کوتاه قابل صرف نظر است. این سه اصل اساسی روان کاری با گاز خود عمل کننده، به صورت رسم شده در شکل ۱-۱۶ ارائه می‌شوند، با تکرار این نکات مهم، داریم:

- ۱- با تقریب خیلی خوب، رفتار یک یاتاقان گازی در سرعتهای خیلی پایین را می‌توان توسط حلهاي غیرقابل تراکم یا حلهاي روان کاري مایع برای هندسه یاتاقان یکسانی، به کار گرفت.
- ۲- در سرعتهای خیلی بالا، ثابت ph و بار مستقل از سرعت می‌شود.
- ۳- در سرعتهای خیلی بالا، اثرا نشت کناری قابل چشم پوشی است؛ زیرا هر دو حلهاي یاتاقان با عرض معین و نامعین به سمت، ثابت ph میل می‌کند.

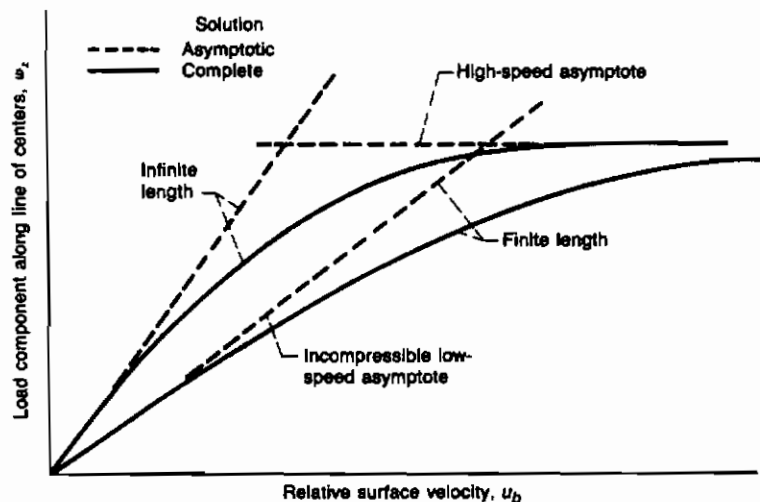
۱-۲ جریان لغزشی

تاکنون در مطالب بحث شده، جریان آرام فرض شد. در جریان لغزشی، نمایه سرعت در داخل فیلم متفاوت با حالت جریان آرام است. جریان لغزشی، فقط در فیلمهای روان کاری گازی مهم می‌شوند.

عدد نادسن^۱ هر اندازه گیر معکوس متوسط تعداد برخورد مولکولها در یک ضخامت فیلم داده شده است:

$$\mathcal{K} = \frac{\lambda_m}{h} \quad (16-18)$$

متوسط مسیر آزاد مولکول گاز، m ،
 $h = m$ ،
که در آن :



شکل ۱-۱۶- تأثیر سرعت روی بار یاتاقانهای روان کاری شونده با گاز و خرد عمل کننده [از Ausman (۱۹۶۱)]

وقتی $\frac{H}{\mu} < 0.01$ باشد ، جریان را می توان به عنوان یک محیط پیوسته ، یا جریان آرام در نظر گرفت . وقتی $0.01 < \frac{H}{\mu} < 15$ باشد ، جریان لغزشی با اهمیت می شود ، و وقتی $\frac{H}{\mu} > 15$ باشد ، جریان مولکولی کاملاً توسعه یافته ، نتیجه می شود . متوسط مسیر آزاد مولکولهای هوا در درجه حرارت اطاق و فشار آتمسفر ، حدود $0.064 \text{ m} \mu$ است . بنابراین یک ضخامت فیلم برابر با $2.54 \mu = 0.025 = \frac{H}{\mu}$ را داده و لغزش کاملاً صرف نظر شونده نیست .

بورگدورفر^۲ (۱۹۵۹) نشان داد که ترکیب جریان لغزشی با شرایط مرزی ، معادله

رنولدز زیر را نتیجه می دهد :

$$\begin{aligned} \frac{\partial}{\partial X} \left[(1 + 6\mathcal{R}) PH^3 \frac{\partial P}{\partial X} \right] + \lambda^2 \frac{\partial}{\partial Y} \left[(1 + 6\mathcal{R}) PH^3 \frac{\partial P}{\partial Y} \right] \\ = \Lambda_g \frac{\partial (PH)}{\partial X} + \sigma_g \frac{\partial (PH)}{\partial T} \end{aligned} \quad (16-19)$$

برای گازها $\bar{C} = \lambda_m p$ ، یک ثابت است .

$$\therefore \mathcal{R} = \frac{\bar{C}}{ph} \quad (16-20)$$

اگر \hat{m} به عنوان نماینده عدد نادمن تعريف شود ، به ترتیبی که داشته باشیم :

$$\hat{m} = \frac{\bar{C}}{p_a h_{\min}} \quad (16-21)$$

سپس

$$\mathcal{R} = \frac{\hat{m}}{PH} \quad (16-22)$$

است . با جایگذاری معادله (16-22) در معادله (16-19) ، داریم :

$$\begin{aligned} & \frac{\partial}{\partial X} \left[\left(1 + \frac{6\hat{m}}{PH} \right) PH^3 \frac{\partial P}{\partial X} \right] + \lambda^2 \frac{\partial}{\partial Y} \left[\left(1 + \frac{6\hat{m}}{PH} \right) PH^3 \frac{\partial P}{\partial Y} \right] \\ &= \Lambda_s \frac{\partial(PH)}{\partial X} + \sigma_s \frac{\partial(PH)}{\partial T} \end{aligned} \quad (16-23)$$

۱۶-۲ یاتالان با سطوح موازی

با فرض بدون لغزش ، در سطح مشترک گاز ، شرایط دما ثابت ، و روان کاری بدون تغیر نسبت به زمان و صرف نظر کردن از نشت کناری ، معادله رینولدز مناسب برای یاتاقانهای روان کاری شونده با گاز ، می شود :

$$\frac{d}{dX} \left(PH^3 \frac{dP}{dX} \right) = \Lambda_s \frac{d(PH)}{dT} \quad (16-24)$$

برای یک یاتاقان با سطوح موازی ، $H = 1$ است ؛ بنابراین داریم :

$$\frac{d}{dX} \left(P \frac{dP}{dX} \right) = \Lambda_s \frac{dP}{dT}$$

یا

$$\frac{d^2(P^2)}{dX^2} = 2\Lambda_s \frac{dP}{dX} \quad (16-25)$$

با انتگرال گیری ، داریم :

$$\frac{d(P^2)}{dX} = 2\Lambda_s P + \tilde{A} \quad (16-26)$$

۱۶-۲-۱ نتایج علد یاتاقان پایین

ضمن $0 \rightarrow \Lambda_i$ ، معادله (۱۶-۲۶) به صورت زیر تقلیل می‌یابد :

$$\frac{d(P^2)}{dX} = \tilde{A} \quad \text{با انتگرال گیری ، داریم :}$$

$$P^2 = \tilde{A}X + \tilde{B} \quad \text{شرط مرزی عبارتند از :}$$

$$1. P = P_i \text{ at } X = 0. \quad (16-27)$$

$$2. P = P_o \text{ at } X = 1. \quad (16-28)$$

با استفاده از این شرایط مرزی ، داریم :

$$\begin{aligned} \tilde{B} &= P_i^2 \\ \tilde{A} &= P_o^2 - P_i^2 \end{aligned} \quad (16-29)$$

$\therefore P^2 = P_i^2 + (P_o^2 - P_i^2)X$

توجه داشته باشید که اگر $P_0 = P_i$ باشد ، سپس در همه جا $P = P_i = P_0$ است . نتایج به دست آمده در قسمت ۸-۳ برای یک یاتاقان با سطوح موازی غیرقابل تراکم ، مشابه هستند .

ظرفیت حمل بار عمودی ، فقط انتگرال فشار خواهد بود ، یا داریم :

$$w_z = b \int_0^l (P - p_a) dx \quad \text{با :}$$

$$W_z = \frac{w_z}{b \ell p_a} = \int_0^1 (P - 1) dX \quad (16-30)$$

با جایگذاری معادله (۱۶-۲۹) در معادله (۱۶-۳۰) ، خواهیم داشت :

$$W_z = \int_0^1 \left\{ [P_i^2 + (P_o^2 - P_i^2)X]^{1/2} - 1 \right\} dX \\ = \frac{2P_o^2 + 2P_o P_i + 2P_i^2 - 3P_o - 3P_i}{3(P_o + P_i)} \quad (16-31)$$

توجه داشته باشید که اگر $P_i = P_o = 1$ باشد، برای یک یاتاقان با سطوح موازی، $W_z = 0$ است.

۱۶-۲-۲ نتایج عدد یاتاقان بالا

معادله (۱۶-۲۴) آشکار می سازد که ضمن $\infty \rightarrow \Lambda_g$ ، داریم :

$$\frac{d(PH)}{dX} \rightarrow 0$$

ولی برای یک یاتاقان با سطوح موازی، $H = 1$ است و خواهیم داشت :

$$\therefore \frac{dP}{dX} \rightarrow 0 \quad (16-32)$$

یا

$$P = P_i = \text{ثابت}$$

ظرفیت حمل بار عمودی را می توان با جایگذاری معادله (۱۶-۳۲) در معادله (۱۶-۳۰) به دست آورد ، تا داشته باشیم :

$$W_z = \int_0^1 (P_i - 1) dX = P_i - 1 \quad (16-33)$$

۱۶-۲-۳ نتایج عدد یاتاقان متوسط

با انتگرال گیری معادله (۱۶-۲۴) ، ضمن این که $H = 1$ و برای هر یک یاتاقان با سطوح موازی ، داریم :

$$P \frac{dP}{dX} = \Lambda_g P + \tilde{A} = \Lambda_g (P + \tilde{B})$$

یا :

$$\left(1 - \frac{\tilde{B}}{P + \tilde{B}} \right) dP = \Lambda_g dX$$

با انتگرال‌گیری ، داریم :

$$P - \tilde{B} \ln(P + \tilde{B}) = \Lambda_g X + \tilde{C} \quad (16-34)$$

با استفاده از شرایط مرزی بیان شده در معادلات (۱۶-۲۷) و (۱۶-۲۸) ، خواهیم داشت :

$$P_i - \tilde{B} \ln(P_i + \tilde{B}) = \tilde{C} \quad (16-35)$$

$$P_o - \tilde{B} \ln(P_o + \tilde{B}) = \Lambda_g + \tilde{C} \quad (16-36)$$

با

$$P_i - P_o + \tilde{B} \ln \frac{P_o + \tilde{B}}{P_i + \tilde{B}} = -\Lambda_g \quad (16-37)$$

این معادله نشان می‌دهد که \tilde{B} را می‌توان برای مقادیر داده شده P_i ، P_o و Λ_g به صورت عددی به دست آورد .

با جایگذاری معادله (۱۶-۳۵) در معادله (۱۶-۳۴) ، داریم :

$$P - \tilde{B} \ln \frac{P + \tilde{B}}{P_i + \tilde{B}} = P_i + \Lambda_g X \quad (16-38)$$

بارعمودی واردہ باید با کاربرد معادله (۱۶-۳۷) برای حل \tilde{B} ، و معادله (۱۶-۳۸) برای حل P و معادله (۱۶-۳۰) برای حل ظرفیت حمل بارعمودی بدون بُعد به صورت عددی حاصل شود . توجه داشته باشید که حتی برای ساده‌ترین اشکال فیلم ، یک راه حل تحلیلی کامل برای یاتاقنهای کف گرد روان‌کاری شونده با گاز ، امکان پذیر نیست . بنابراین یک تجزیه و تحلیل خطی باید به کار گرفته شود ، تا این که حلهای تحلیلی به دست آید .

۱۶-۳ یاتاقان با پله موازی

دقیقاً مثل قسمت ۹-۱ که یاتاقان لغزشی با عرض معین و پله موازی برای روان‌کاری غیرقابل تراکم تجزیه و تحلیل شد ، در این قسمت همان یاتاقان را (شکل ۱۶-۲) ، ولی با روان‌کاری کننده گاز ، تجزیه و تحلیل می‌کنیم . در شکل ، پاشنه جایی است که ضخامت فیلم برابر با h و پله جایی است که ضخامت فیلم برابر با h یا $h + \Delta h$ است . شیار تغذیه ، شیار عمیقی است که انتهای یک پاشنه و شروع پله بُعدی را جدا می‌سازد . اگرچه در این شکل نشان

داده نشده است ، ولی شیار تغذیه به اندازه چند برابر از h عمیق‌تر است . یک «کف‌شک» به عنوان یک پاشنه ، یک پله و یک شیار تغذیه ، تعریف می‌شود . این شیار تغذیه نسبت به طول کف‌شک کوتاه است . توجه داشته باشید که هر کف‌شک به صورت مستقل عمل می‌کند ، زیرا که نمایه فشار در شیار تغذیه روان کاری به صورت خط‌چین است .

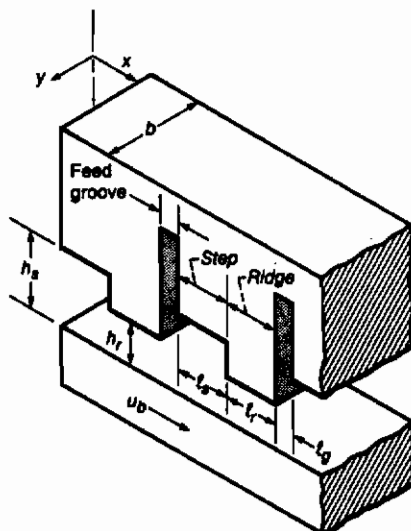
۱۶-۱۳-۱۶ توزیع فشار

با در نظر گرفتن شرط بدون لغزش در سطح مشترک گاز ، شرایط هم دمایی ، روان کاری بدون تغییر نسبت به زمان و ضخامت فیلم ثابت ، معادله (۱۶-۷) برابر است با :

$$\frac{\partial}{\partial x} \left(p \frac{\partial p}{\partial x} \right) + \frac{\partial}{\partial y} \left(p \frac{\partial p}{\partial y} \right) = \frac{6\eta_0 u_b}{h^2} \frac{\partial p}{\partial x} \quad (16-39)$$

با باز نمودن و مرتب کردن جملات ، داریم :

$$\frac{\partial^2 p}{\partial x^2} + \frac{\partial^2 p}{\partial y^2} - \frac{6\eta_0 u_b}{ph^2} \frac{\partial p}{\partial x} = - \frac{1}{p} \left[\left(\frac{\partial p}{\partial x} \right)^2 + \left(\frac{\partial p}{\partial y} \right)^2 \right] \quad (16-40)$$



شکل ۲-۱۶-۲- پاتاقان کف گرد پله مستطیلی [از همارک (۱۹۷۲)]

برای حل کردن این معادله به صورت تحلیلی ، باید شرایط خطی کردن اعمال شود . اوسمان (۱۹۶۱) ابتدا این خطی سازی را ، که به صورت زیر است ، معرفی نمود :

- ۱ - جملات سمت راست معادله (۱۶-۴۰) نسبت به جملات سمت چپ کوچک بوده ؟ بنابراین قابل چشم پوشی هستند .
- ۲ - p که به عنوان ضریب جمله سوم در معادله (۱۶-۴۰) ظاهر می شود ، با فشار آتمسفر p_a جایگزینی می شود .

با استفاده از این خطی کردنها ، معادله (۱۶-۴۰) به شکل زیر تعديل می باید :

$$\frac{\partial^2 p}{\partial x^2} + \frac{\partial^2 p}{\partial y^2} = \frac{6\eta_0 u_b}{p_a h^2} \frac{\partial p}{\partial x} \quad (16-41)$$

از قسمت ۹-۱ ، به خاطر داشته باشید که برای یاتاقانی بکسان ، ولی با روان کننده غیرقابل تراکم ، معادله مناسب رینولدز ، معادله (۱۶-۴۱) می باشد ، ولی با سمت راست معادله برابر با صفر است [معادله (۹-۲) را ببینید] .

از معادله (۱۶-۴۱) ، معادلات رینولدز مجزا برای نواحی پاشنه و پله برای کشویی پله موازی و عرض معین عبارت است از :

$$\frac{\partial^2 p_r}{\partial x^2} + \frac{\partial^2 p_r}{\partial y^2} = \frac{6\eta_0 u_b}{p_a h_r^2} \frac{\partial p_r}{\partial x} \quad (16-42)$$

$$\frac{\partial^2 p_s}{\partial x^2} + \frac{\partial^2 p_s}{\partial y^2} = \frac{6\eta_0 u_b}{p_a h_s^2} \frac{\partial p_s}{\partial x} \quad (16-43)$$

اندیس r اشاره به پاشنه (شکل ۱۶-۲ را ببینید) ، اندیس s اشاره به پله و اندیس g اشاره به شیار تغذیه دارند . فرضهای زیر :

$$x = bX \quad y = bY \quad p_r = p_a(P_r + 1) \quad p_s = p_a(P_s + 1) \quad (16-44)$$

معادلات (۱۶-۴۲) و (۱۶-۴۳) را به شکل معادلاتی که در زیر می آیند ، تغییر می دهند :

$$\frac{\partial^2 P_r}{\partial X^2} + \frac{\partial^2 P_r}{\partial Y^2} = \Lambda_a \frac{\partial P_r}{\partial X} \quad (16-45)$$

$$\frac{\partial^2 P_s}{\partial X^2} + \frac{\partial^2 P_s}{\partial Y^2} = \frac{\Lambda_a}{H_a^2} \frac{\partial P_s}{\partial X} \quad (16-46)$$

که در آن :

$$\Lambda_a = \frac{6\eta_0 u_b b}{p_a h_r^2} \quad (16-47)$$

$$H_a = \frac{h_s}{h_r} \quad (16-48)$$

با استفاده از جداسازی متغیرات در ضمن به دست آوردن حل برای فشار ، داریم :

$$P_r = \exp\left(\frac{\Lambda_a X}{2}\right) \left\{ \bar{A}_r \exp\left[X\left(\frac{\Lambda_a^2}{4} + J_r^2\right)^{1/2}\right] + \bar{B}_r \exp\left[-X\left(\frac{\Lambda_a^2}{4} + J_r^2\right)^{1/2}\right] \right\} \\ \times [\bar{D}_r \sin(J_r Y) + \bar{E}_r \cos(J_r Y)] \quad (16-49)$$

$$P_s = \exp\left(\frac{\Lambda_a X}{2H_a^2}\right) \left\{ \bar{A}_s \exp\left[X\left(\frac{\Lambda_a^2}{4H_a^4} + J_s^2\right)^{1/2}\right] + \bar{B}_s \exp\left[-X\left(\frac{\Lambda_a^2}{4H_a^4} + J_s^2\right)^{1/2}\right] \right\} \\ \times [\bar{D}_s \sin(J_s Y) + \bar{E}_s \cos(J_s Y)] \quad (16-50)$$

که در آن J_r و J_s ثابت‌های جداسازی هستند . شرایط مرزی عبارتند از :

$$X = 0 \quad \text{وقتی } P_s = 0 - ۱$$

$$X = 0 \quad \text{وقتی } P_r = 0 - ۲$$

$$X = \frac{\ell_s + \ell_r}{b} = \frac{\ell_s + \ell_r}{\ell_s + \ell_r + \ell_g} \frac{\ell_s + \ell_r + \ell_g}{b} = \beta_g \lambda$$

$$P_r = P_s = \sum_{m=1,3,\dots}^{\infty} F_m^* \cos(m\pi Y) \quad -\exists$$

$$X = \frac{\ell_s}{b} = \frac{\ell_s}{\ell_s + \ell_r + \ell_g} \frac{\ell_s + \ell_r + \ell_g}{b}$$

$X = \psi_g \lambda$ when F_m^* ضریب فوریه است یا :

$$\frac{\partial P_r}{\partial Y} = \frac{\partial P_s}{\partial Y} = 0 \text{ when } Y = 0. \quad -4$$

$$P_r = P_s = 0 \text{ when } Y = \frac{1}{2}. \quad -5$$

$$q_r = q_s \text{ when } X = \psi_g \lambda. \quad -6$$

برای شرایط مرزی ۱ تا ۵ ، معادلات (۱۶-۴۹) و (۱۶-۵۰) می‌شوند :

$$P_r = \sum_{m=1,3,\dots}^{\infty} \frac{F_m^* \cos(m\pi Y) e^{(\Lambda_a/2)(X-\psi_g \lambda)}}{e^{-\psi_g \lambda \xi_r} - e^{-\lambda \xi_r (2B_a - \psi_g)}} [e^{-X\xi_r} - e^{\xi_r (2\lambda B_a - X)}] \quad (16-51)$$

$$P_s = \sum_{m=1,3,\dots}^{\infty} \frac{F_m^* \cos(m\pi Y) e^{(\Lambda_a/2 H_a^2)(X-\psi_g \lambda)}}{e^{-\psi_g \lambda \xi_s} - e^{\psi_g \lambda \xi_s}} [e^{-X\xi_s} - e^{X\xi_s}] \quad (16-52)$$

که در آن ، داریم :

$$\xi_r = \left[\left(\frac{\Lambda_a}{2} \right)^2 + m^2 \pi^2 \right]^{1/2}$$

$$\xi_s = \left[\left(\frac{\Lambda_a}{2H_a^2} \right)^2 + m^2 \pi^2 \right]^{1/2}$$

معادلات خطی شده ، تشریح کننده جریان جرم در عرض پاشنه و پله را می‌توان به صورت زیرنوشت

$$q_{m,r} = \frac{\rho_a}{P_a} \left(\frac{P_r u_b h_r}{2} - \frac{P_a h_r^3}{12 \eta_0} \frac{\partial P_r}{\partial x} \right)$$

$$q_{m,s} = \frac{\rho_a}{P_a} \left(\frac{P_s u_b h_s}{2} - \frac{P_a h_s^3}{12 \eta_0} \frac{\partial P_s}{\partial x} \right).$$

توجه داشته باشید که $q_{m,r}$ و $q_{m,s}$ نرخهای جریان جرم در نواحی پاشنه و پله با آنچه نیوتون - ثانیه

بر مترمربع هستند . این کاملاً با نرخهای جریان حجمی در فصل ۹ و با آحاد مترمکعب بر ثانیه متفاوت است . با استفاده از معادله (۱۶-۴۴) ، این معادلات را می توان به صورت بدون بعد نوشت ، که در آنها :

$$q_{m,r} = \frac{\rho_a p_a h_r^3}{12\eta_0 b} \left[\Lambda_a (P_r + 1) - \frac{\partial P_r}{\partial X} \right]$$

$$q_{m,s} = \frac{\rho_a p_a h_s^3}{12\eta_0 b} \left[\frac{\Lambda_a}{H_a^2} (P_s + 1) - \frac{\partial P_s}{\partial X} \right]$$

با استفاده از شرایط مرزی ۳ و ۶ ، داریم :

$$H_a^3 \left(\frac{\partial P_s}{\partial X} \right)_{X=\lambda\psi_s} - \left(\frac{\partial P_r}{\partial X} \right)_{X=\lambda\psi_r} = \Lambda_a (H_a - 1)$$

$$\times \left[1 + \sum_{m=1,3,\dots}^{\infty} F_m^* \cos(m\pi Y) \right] \quad (16-53)$$

با استفاده از معادلات (۱۶-۵۱) تا (۱۶-۵۳) ضریب فوریه F_m^* را می توان به صورت زیر حل نمود :

$$F_m^* = \frac{4(H_a - 1)\sin(m\pi/2)}{m\pi \left[\frac{1 - H_a}{2} + \frac{\xi_s H_a^3}{\Lambda_a} \left(\frac{1 + e^{-2\xi_s \lambda \psi_s}}{1 - e^{-2\xi_s \lambda \psi_s}} \right) + \frac{\xi_r}{\Lambda_a} \left(\frac{1 + e^{-2\xi_r (\beta_X - \psi_r)}}{1 - e^{-2\xi_r (\beta_X - \psi_r)}} \right) \right]} \quad (16-54)$$

۱۶-۳-۲ مؤلفه بار عمودی و شقی *

مؤلفه های بار بدون بعد برای پاشنه و پله را می توان به صورت زیر نوشت :

$$W_r = \frac{w_r}{p_a b \ell} = \frac{2}{\lambda} \int_0^{1/2} \int_{\psi_s \lambda}^{\beta_s \lambda} P_r dX dY$$

$$W_s = \frac{w_s}{p_a b \ell} = \frac{2}{\lambda} \int_0^{1/2} \int_0^{\psi_s \lambda} P_s dX dY$$

با جایگذاری معادلات (۱۶-۵۱) و (۱۶-۵۲) در این معادلات ، داریم :

$$W_r = \sum_{m=1,3,\dots}^{\infty} \frac{2F_m^* \sin(m\pi/2)}{m^3 \pi^3 \lambda} \times \left[\frac{\Lambda_a}{2} + \frac{\xi_r(1 - 2e^{-\lambda(\beta_s - \psi_s)\xi_r - \Lambda_a/2}) + e^{-2\lambda\xi_r(\beta_s - \psi_s)}}{1 - e^{-2\lambda\xi_r(\beta_s - \psi_s)}} \right] \quad (16-55)$$

$$W_s = \sum_{m=1,3,\dots}^{\infty} \frac{2F_m^* \sin(m\pi/2)}{m^3 \pi^3 \lambda} \times \left[-\frac{\Lambda_a}{2H_a^2} + \frac{\xi_s(1 - 2e^{-\lambda\psi_s(\xi_s + \Lambda_a/2H_a^2)} + e^{-2\psi_s\lambda\xi_s})}{1 - e^{-2\psi_s\lambda\xi_s}} \right] \quad (16-56)$$

بار بدون بُعد کلی حمایت شونده توسط یک کفشهک پله‌ای مستطیلی را می‌توان به صورت زیرنوشت :

$$W = \frac{w_r + w_s}{p_a \ell b} = W_r + W_s \quad (16-57)$$

معادله برای شقی بدون بُعد ، عبارت است از :

$$K_g = -h_r \frac{\partial W}{\partial h_r} \quad (16-58)$$

بنابراین با معادلات (۱۶-۵۴) تا (۱۶-۵۸) مؤلفه بار بدون بُعد و شقی برای یک کفشهک گردید با پله با عرض معین و روان‌کاری شونده توسط گاز و خود عمل کننده ، کاملاً تعریف می‌شود . از این معادلات مشخص می‌شود که مؤلفه بار بدون بُعد و شقی توابع پنج پارامتر زیر هستند :

$$\Lambda_u = \frac{6\eta_0 u_b b}{p_a h_r^2} \quad ۱ - عدد بدون بُعد یاتاقان$$

$$\lambda = \frac{\ell_s + \ell_r + \ell_k}{b} \quad ۲ - نسبت طول به عرض کفشهک$$

$$H_a = \frac{h_s}{h_r} \quad ۳ - نسبت ضخامت فیلم$$

$$\psi_g = \frac{\ell_s}{\ell_s + \ell_r + \ell_g}$$

۴- پارامتر موقعیت پله

$$\beta_g = \frac{\ell_s + \ell_r}{\ell_s + \ell_r + \ell_g}$$

۵- نسبت عرض شیار

۱۶-۳-۳ روش بهینه سازی

مسئله ، پیدا کردن یاتاقان پله ای بهینه برای ظرفیت حمل بار بیشینه یا شقی در اعداد مختلف یاتاقان است . این بدان معنی است که با دادن عدد بدون بعد یاتاقان H_g ، مقدار بیشینه λ ، بیشینه H_g و بیشینه β_g را پیدا کنید . نسبت عرض شیار β_g ، خیلی از پارامترهای دیگر کم اهمیت تر است . بنابراین تمام بررسیها β_g برابر با ۰.۹۷ قرار داده خواهد شد . مسئله اساسی در بهینه سازی λ ، H_g ، β_g برای ظرفیت حمل بار بیشینه و شقی ، لزوماً عبارت است از یافتن مقادیری از λ ، H_g ، β_g که معادلات زیر را ارضاء می کند :

$$\frac{\partial W}{\partial \lambda} = \frac{\partial W}{\partial H_g} = \frac{\partial W}{\partial \psi_g} = 0 \quad (16-59)$$

$$\frac{\partial K_g}{\partial \lambda} = \frac{\partial K_g}{\partial H_g} = \frac{\partial K_g}{\partial \psi_g} = 0 \quad (16-60)$$

از روش نیوتن- رفسون^۱ برای حل این معادلات ، به طور یک سیستم استفاده می شود .

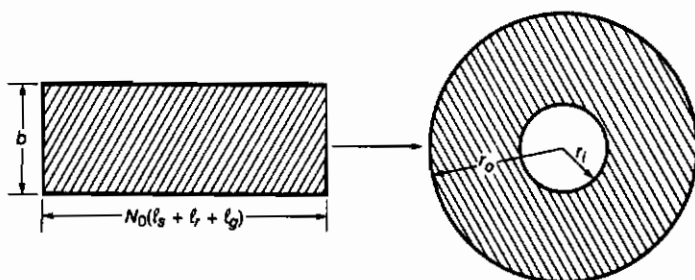
۱۶-۳-۴ یاتاقان کف گرد با قطاع پله ای

شکل ۱۶-۳ ، تبدیل یک یاتاقان کشوبی مستطیلی به یک یاتاقان با تاج دایره ای را نشان می دهد . برای بهینه سازی یک یاتاقان کف گرد با قطاع پله ای ، پارامترهایی برای قطاع باید پیدا شوند که مشابه آنها برای یاتاقان پله ای مستطیلی باشد . با جایگذاری زیر این تبدیل انجام می گیرد :

$$b \rightarrow r_o - r_i$$

$$N_0(\ell_s + \ell_r + \ell_g) \rightarrow \pi(r_o + r_i)$$

$$u_b \rightarrow \frac{\omega}{2}(r_o + r_i)$$



شکل ۱۶-۳- تبدیل یاتاقان کشیی مستطیلی به یاتاقان تاجی شکل دایره‌ای

که در آن N_0 تعداد کفشهای قرار گرفته در قطاع پله می‌باشد . با استفاده از این معادله ، عدد بدون بُعد یاتاقان را می‌توان به صورت زیر نوشت :

$$\Lambda_a = \frac{3\eta_0\omega(r_o^2 - r_i^2)}{p_a h_r^2} \quad (16-61)$$

بهترین تعداد کفشهای قرار گیرنده در این قطاع ، از فرمول زیر به دست می‌آید :

$$N_0 = \frac{\pi(r_o + r_i)}{\lambda_{opt}(r_o - r_i)} \quad (16-62)$$

در این معادله λ_{opt} بهترین مقدار برای نسبت طول به عرض است . چون معمولاً N_0 عدد صحیح نخواهد بود ، لازم است که به نزدیکرین عدد صحیح تبدیل شود .

۱۶-۳-۵ نتایج

شکل ۱۶-۴ (الف) ، اثر Λ_a روی λ ، H_a ، و ψ برای ظرفیت حمل بار بیشینه و محدوده‌ای از ۰ تا ۰.۴۱۰ را نشان می‌دهد . پارامترهای پله‌ای بهینه (λ ، H_a ، و ψ) ، ضمن کوچک شدن عدد بدون بُعد یاتاقان Λ_a ، به صورت مجانب دیده می‌شوند . این شرط مجانب مربوط به حل غیرقابل تراکم $\lambda = 0.918$ ، $\psi = 0.555$ و $H_a = 1.693$ است . به خاطر داشته باشید که برای حل غیرقابل تراکم یک یاتاقان پله‌ای ، سمت راست معادلات (۱۶-۴۲) و (۱۶-۴۳) ، صفر هستند .

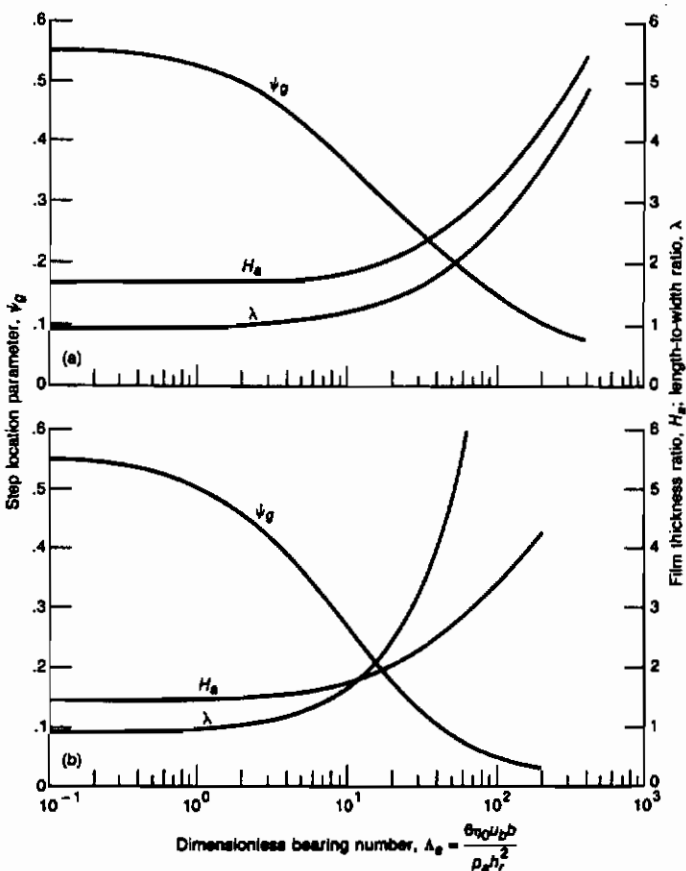
شکل ۱۶-۴ (ب) اثر Λ_a روی λ ، H_a ، و ψ را برای شقی بیشینه نشان می‌دهد . مانند

شکل ۱۶-۴ (الف) ، پارامترهای بیشینه پله ضمن رسیدن به حل غیرقابل تراکم ، مجانب می شوند . مجانبها برای شقی بیشینه $\lambda = 0.915$ ، $\psi_g = 0.557$ و $H_g = 1.47$ هستند . توجه داشته باشید که تفاوتی در مجانب برای نسبت ضخامت فیلم وجود دارد ؛ ولی در واقع در مقایسه با نتایج به دست آمده برای ظرفیت حمل بار بیشینه ، تغییری در λ و ψ_g وجود ندارد .

شکل‌های ۱۶-۴ (الف) و (ب) نشان می دهند که برای اعداد پاتاقان A_g بزرگتر از

موقعیتها که ψ_g ، λ و H_g به سمت مجانب میل می کنند ، مقادیر زیر هستند :

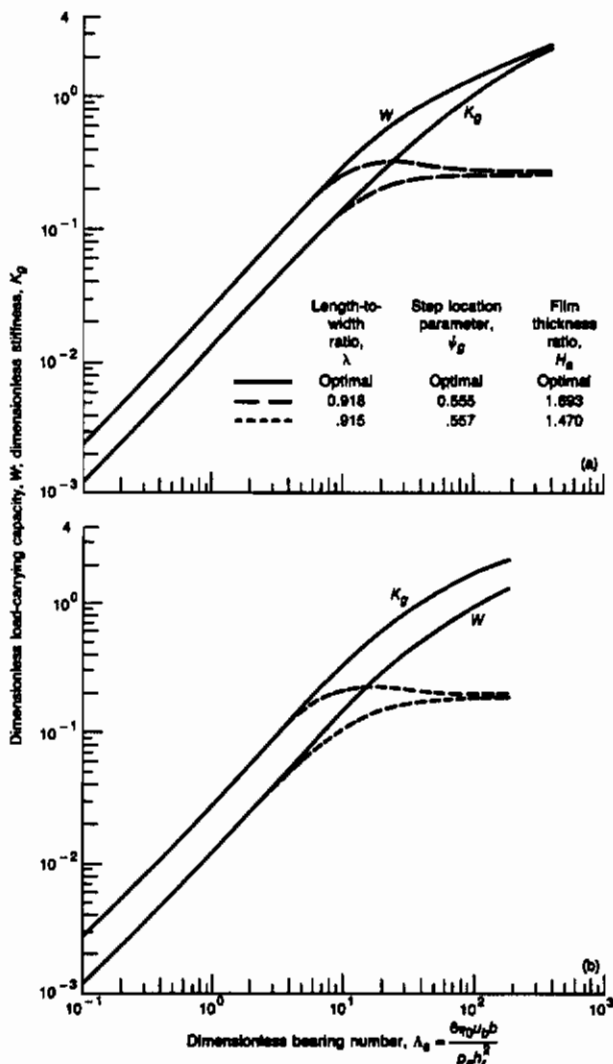
۱- نسبت طول به عرض λ افزایش می یابد (مثلاً ، طول کفشدک نسبت به عرض آن افزایش می یابد).



شکل ۱۶-۴-۱- اثر عدد بدلون بعد پاتاقان روی پارامترهای بهینه پله . (الف) برای ظرفیت

حمل بار بدلون بعد بیشینه ، (ب) برای شقی بدلون بعد بیشینه [از هماراک (۱۹۷۲)]

- ۲- پارامتر موقعيت پله پلاکاهش می یابد (مثلاً، طول پله نسبت به طول کفشه کاهش می یابد).
- ۳- نسبت ضخامت فیلم H_g افزایش می یابد (مثلاً، عمق پله نسبت به لقی افزایش می یابد).
- شکل ۱۶-۵ (الف) و (ب) اثر عدد بدون بُعد یاتاقان A_g را بر روی ظرفیت حمل بار بدون بُعد و شقی نشان می دهد. تفاوت موجود در این شکلها این است که، پارامترهای بهینه



شکل ۱۶-۵- اثر عدد بدون بُعد و شقی بدون بُعد . (الف) برای ظرفیت حل بار بدون بُعد بیشته، (ب) برای شقی بدون بُعد بیشته [از همراک (۱۹۷۲)].

پله در شکل ۱۶-۵ (الف) ، همان طور که برای ظرفیت حمل بار بیشینه به دست آمد و در شکل ۱۶-۵ (ب) ، برای حالت شقی بیشینه استفاده می شود . همچنین در این شکلها مقادیر K و W ، برای پارامترهای پله در مقادیر بھیته و برای حل غیرقابل تراکم نشان داده می شود . تفاوت مهم بین این نتایج قبل از Δ اتفاق نمی افتد .

۱۶-۴ یاتاقان شیار حلزونی^۱

یک یاتاقان کف گرد شیار حلزونی پمپ کننده به سمت داخل ، در شکل (۱۶-۶) نشان داده شده می شود . پارامترهای بدون بُعد که معمولاً همراه با یک یاتاقان کف گرد شیار حلزونی هستند ، عبارتند از :

۱- زاویه شیار β_a

۲- نسبت عرض شیار $\psi_a = \theta_i / \theta_r$

۳- نسبت ضخامت فیلم $H_a = h_s / h_r$

۴- نسبت شعاع $\alpha_r = r_i / r_0$

۵- کسر طول شیار $R_g = (r_0 / r_m) / (r_0 - r_i)$

۶- تعداد شیار N_0

۷- عدد بدون بُعد یاتاقان $. \Lambda_s = 3\eta_0 \omega (r_0^2 - r_i^2) / p_a h^2$

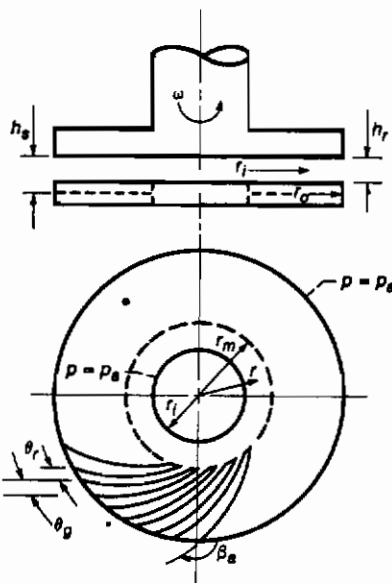
شش پارامتر اول ، پارامترهای هندسی و پارامتر آخری پارامتر کاری است .

عملکرد یاتاقانهای کف گرد شیار حلزونی توسط پارامترهای بدون بُعد زیر ارائه می شوند :

بار بدون بُعد :

$$W_a = \frac{1.5 G_f w_z}{\pi p_a (r_o^2 - r_i^2)} \quad (16-63)$$

که در آن ، G_f فاکتور شیار است .



شکل ۱۶-۶ - یاتاقان کف گرد شیار حلزونی [از مالاتوسکی و پان (۱۹۶۰)]

شکن بدون بعد :

$$K_\infty = \frac{1.5 h_r G_f k_\infty}{\pi p_a (r_o^2 - r_i^2)} \quad (16-64)$$

نرخ جریان جرم بدون بعد :

$$Q_m = \frac{3 \eta_0 q_m}{\pi p_a h_r^3} \quad (16-65)$$

گشتاور بدون بعد :

$$T_q = \frac{6 t_q}{\pi p_a (r_o^2 + r_i^2) h_r \Lambda_s} \quad (16-66)$$

جداول طراحی ریگر^۱ (۱۹۶۷) ، در شکل (۱۶-۷) نشان داده می شود . این جدداول از

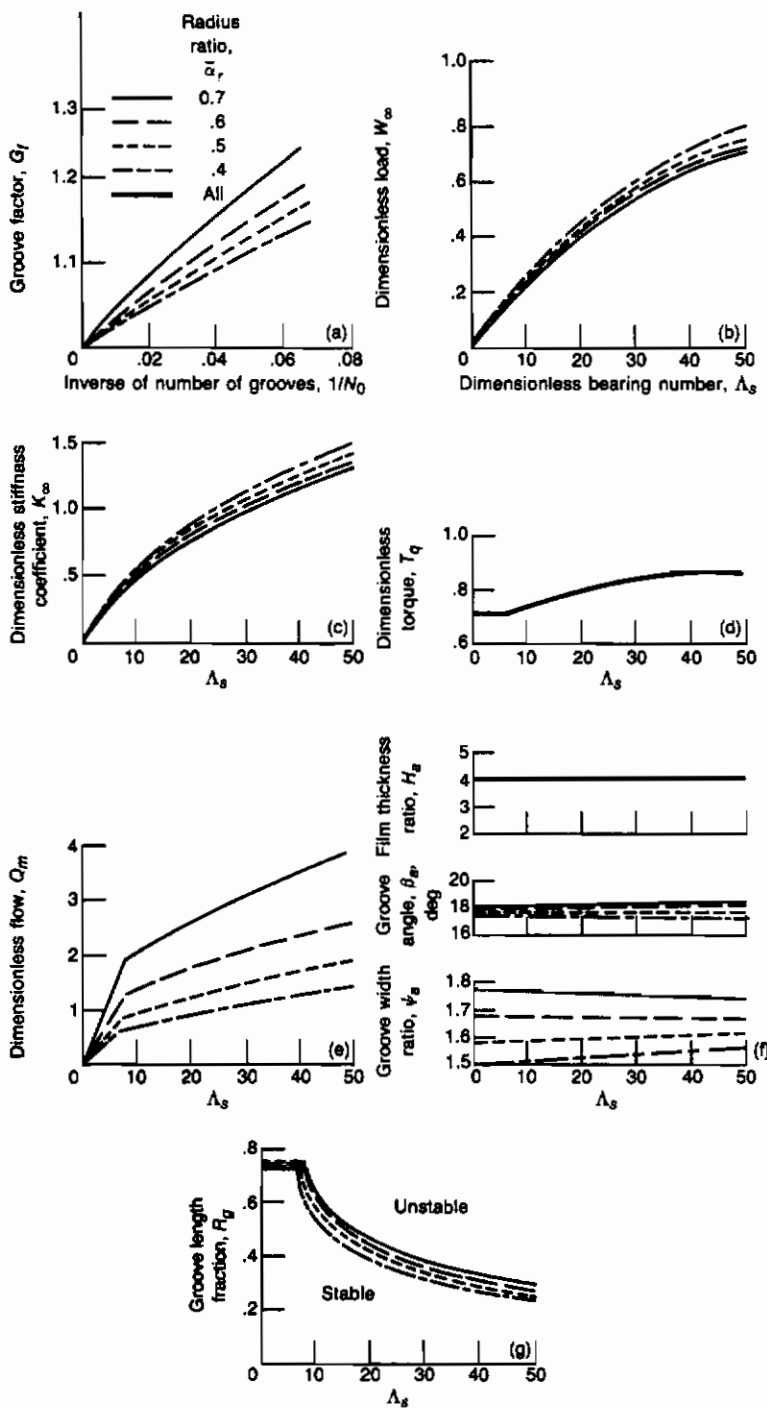
حل کردن فشار در معادله رینولدز [معادله (۱۶-۱۳)] ، برای یاتاقان کف گرد شیار حلزونی نشان داده شده در شکل (۱۶-۶) و سپس راه حل برای پارامترهای مختلف عملکرد ، به دست آمده اند .

در یک مسئله طراحی معمولی ، فاکتورهای داده شده ، بار ، سرعت ، پوشش یاتاقان ، لزجت گاز ، فشار محیط اطراف ، و یک نسبت قابل قبول لقی به شعاع هستند . مقدار بیشینه نسبت شعاع به لقی ، معمولاً توسط تغییر شکل احتمالی انجام گرفته برای سطوح یاتاقان دیگه می شود . این مقادیر معمولی ۵۰۰۰ تا ۱۰۰۰۰ است . روش معمولی که در طراحی یک یاتاقان کف گرد شیار حلزونی با استفاده از منحنیهای طراحی شده در شکل ۱۶-۷ دنبال می شود ، به ترتیب زیر است :

- ۱- تعداد شیار N_0 را انتخاب کنید .
- ۲- از شکل ۱۶-۷ (الف) ، فاکتور شیار G برای یک نسبت شعاع معین $r_i / r_o = \alpha_r$ و N_0 را تعیین کنید .
- ۳- بار بدون بُعد W [معادله (۱۶-۶۳)] را محاسبه کنید .
- ۴- اگر $0.8 < W$ بود سپس به مقدار r_i باید افزوده شود . به مرحله ۲ برگردید .
- ۵- از شکل ۱۶-۷ (ب) ، از مقادیر داده شده W و α_r مقدار Λ را انتخاب کنید .
- ۶- از رابطه زیر محاسبه کنید :

$$\frac{r_o}{h_r} = \left\{ \frac{\Lambda_s p_a}{3\eta_0 \omega [1 - (r_i/r_o)^2]} \right\}^{1/2}$$

- اگر $r_i/h_r > 10000$ (یا هر نسبت شعاع به لقی از قبل تعیین شده) باشد ، یک یاتاقان بزرگتر یا سرعت بالاتر مورد نیاز است . به مرحله ۲ برگردید . اگر این تغییرات نمی توانند انجام گیرد ، پس باید یک یاتاقان تحت فشار از داخل مورد استفاده قرار گیرد .
- ۷- با برقراری مقادیر α_r و Λ ، مقادیر K_s ، T_s و Q_m را به ترتیب از شکل ۱۶-۷ (ج) ، (د) و (ر) به دست آورید . از معادلات (۱۶-۶۴) تا (۱۶-۶۶) K_s ، q_m و R را به دست آورید .
 - ۸- از شکل ۱۶-۷ (ز) نسبت ضخامت فیلم H_s ، زاویه شیار β_s و نسبت عرض شیار γ_s را به دست آورید . از شکل ۱۶-۷ (س) کسر طول شیار R را به دست آورید .



شکل ۱۶-۷- منحنیهای لازم برای تعیین مشخصه‌های یاتاقهای کف گرد شارحلزونی. (الف) فاکتور شیار، (ب) بار، (ج) شقی، (د) گشتاور، (ه) جریان، (و) شکل هندسی بهینه شیار، (ز) فاکتور طول شیار [از ریگر (۱۹۶۷)].

۱۶-۵ مؤخره

یاتاقنهای گازی ، مشابه یاتاقنهای روان کاری شونده با روغن هیدرودینامیکی هستند ؛
الاًین که سیال قابل تراکم است . به علاوه چون هوا ۱۰۰۰ مرتبه از حتی رقیق ترین روغنهاي
معدنی کمتر لزج است ، مقاومت در برابر لزجت خیلی کمتر است .
معادله رینولدز بر حسب جملات بدون بُعد برای یک یاتاقان روان شونده با گاز ، که
در آن شرایط هم دمایی و جریان بدون لغزش برقرار است را می توان این گونه نوشت :

$$\frac{\partial}{\partial X} \left(PH^3 \frac{\partial P}{\partial X} \right) + \lambda^2 \frac{\partial}{\partial Y} \left(PH^3 \frac{\partial P}{\partial Y} \right) = \Lambda_s \frac{\partial (PH)}{\partial X} + \sigma_s \frac{\partial (PH)}{\partial T}$$

که در آن : $\lambda = l / b$ نسبت طول به عرض ،

$$\Lambda_s = 6\eta_0 u_b l / p_a h^2$$

$$\sigma_s = 12\eta_0 \omega t / p_a h^2$$

در این معادله ، قابلیت تراکم گاز با غیرخطی کردن معادله رینولدز بر حسب فشار P ، تجزیه و
تحلیل را پیچیده می نماید .

وقتی که روان کاری جدای از زمان فرض شود ، دو حل حدی سرعتهای خیلی پایین
 $\rightarrow (\Lambda_s)$ و سرعتهای خیلی بالا ($\infty \rightarrow \Lambda_s$) ، سه اصل مهم زیر را به وجود می آورند :

۱- در سرعتهای خیلی پایین رفتار یاتاقان گازی به خوبی با روان کاری مایع یا غیرقابل تراکم
تقریب زده می شود .

۲- در سرعتهای خیلی زیاد ، ثابت $= ph$ و بار مستقل از سرعت می شود .

۳- در سرعتهای خیلی زیاد اثرات نشت کناری قابل چشم پوشی هستند ؛ زیرا هر دو حلهاي
یاتاقان با عرض معین و بی نهایت به سمت ، ثابت $= ph$ ، میل می کنند .

در جریان لغزشی ، بین سرعت سطح و متوسط سرعت سیال در سطح ، تفاوت وجود دارد . جریان لغزشی فقط در فیلمهای روان کاری شده گازی مهم می شوند . عدد نادسن
که یک اندازه گیر معکوس از تعداد متوسط برخورد مولکول در یک ضخامت فیلم معین است :

$$\mathcal{K} = \frac{\lambda_m}{h}$$

که در آن $\lambda_{\text{متوسط}} < \lambda_{\text{آزاد مولکول گاز}} \leq 0.01$ جریان لغزشی مهم می‌شود.

نتایج تحلیلی کامل برای یک یاتاقان روان کاری شونده با گاز و سطوح موازی با شرایط بدون لغزش در فصل مشترک سطح سیال، روان کاری مستقل از زمان و دما ثابت و بدون نشت کناری را نمی‌توان حاصل نمود. این امر به رهیافت خطی کردن منجر شد، که ابتدا توسط اوسمان (۱۹۶۱) پیشنهاد شد؛ برای تجزیه و تحلیل یاتاقان کف گرد پله‌ای مستطیلی روان کاری شونده با گاز مورد استفاده قرار گرفت.

۱۶-۶ مسائل

۱۶-۶-۱ برای یاتاقانهای کف گرد با سطوح موازی و روان کاری شونده با گاز بحث شده در این فصل، با استفاده از معادلات (۱۶-۳۷)، (۱۶-۳۸) و (۱۶-۳۰) ظرفیت حمل بار عمودی و فشار را تعیین کنید:

محاسبات باید با رایانه انجام گرفته و برای موارد زیر باشد:

$$\text{(الف)} \quad \Lambda_g = 1, 3, 6, 10, 30 \quad P_0 = 4, P_i = 1$$

$$\text{(ب)} \quad \Lambda_g = 1, 3, 6, 10, 30 \quad P_i = 4, P_0 = 1$$

نمایه‌های فشار را رسم کنید و نتایج ظرفیت حمل بار و فشار را به صورت جدولی نشان دهید.

۱۶-۶-۲ اثر نشت کناری روی ظرفیت حمل بار عمودی برای یاتاقانهای گازی به دست آمده در این فصل و یاتاقانهای روان کاری شونده با سیال مایع که در فصول ۸ و ۱۰ به دست آمد را بحث کنید.

۱۶-۷ فهرست و منابع مأخذ

- Ausman, J. S. (1961): An Approximate Analytical Solution for Self-Acting Gas Lubrication of Stepped Sector Thrust Bearings. *ASLE Trans.*, vol. 4, no. 2, pp. 304–313.
- Burgdorfer, A. (1959): The Influence of the Molecular Mean Free Path on the Performance of Hydrodynamic Gas Lubricated Bearings. *J. Basic. Eng.*, vol. 81, no. 1, pp. 94–100.
- Hamrock, B. J. (1972): Optimization of Self-Acting Step Thrust Bearings for Load Capacity and Stiffness. *ASLE Trans.*, vol. 15, no. 23, pp. 159–170.
- Malanoski, S. B., and Pan, C. H. T. (1965): The Static and Dynamic Characteristics of the Spiral-Groove Thrust Bearing. *J. Basic Eng.*, vol. 87, no. 3, pp. 547–558.
- Reiger, N. F. (1967): *Design of Gas Bearings*. Mechanical Technology Inc., Latham, New York.

فصل نتیجه‌نامه

یاتاقانهای ژورنال روان کاری شونده با گاز

فصل ۱۶ در برگیرنده مبانی روان کاری با گاز به صورت کلی و به کارگیری این مبانی به یاتاقانهای کف گرد بود . در این فصل روان کاری یاتاقانها را با گاز ادامه می دهیم ؛ اما باید خاطرنشان کرد که یاتاقانهای ژورنال در این جا مورد نظر هستند . به یاد داشته باشید که سطوح یاتاقانهای ژورنال ، موازی با محور چرخش هستند ، در صورتی که سطوح یاتاقانهای کف گرد عمود بر این محور می باشند . در این فصل یاتاقانهای ژورنال خودکار در نظر گرفته شده که متکی بر حرکت محور برای تولید فشار حمایت کننده بار در فیلم روان کننده هستند . اطلاعات کلی درباره عمل یاتاقان ژورنال ، در ابتدای فصل ۱۰ آمده است ، لذا در اینجا از تکرار آنها خودداری می نماییم .

۱۷-۱ معادله رینولدز

با فرض نمودن لغزش در فصل مشترک سطح سیال ، شرایط دماثابت ، و روان کاری بدون تغییرات زمان ، معادله رینولدز قابل تراکم در محورهای مختصات کارتزین را می توان از معادله (۷-۵۵) ، این گونه نوشت :

$$\frac{\partial}{\partial x} \left(ph^3 \frac{\partial p}{\partial x} \right) + \frac{\partial}{\partial y} \left(ph^3 \frac{\partial p}{\partial y} \right) = 6\eta_0 u_b \frac{\partial (ph)}{\partial x} \quad (7-55)$$

برای یاتاقانهای ژورنال، مطابق فصل ۱۰ (شکل ۱۰-۲ را ببینید)، راحت‌تر است تا متغیرها را در معادله قبلی به موارد زیر تغییر دهیم:

$$x = r\phi \quad y = r\zeta \quad u_b = r\omega \quad (17-1)$$

با جایگذاری معادله (۱۷-۱) در معادله (۷-۵۵)، داریم:

$$\frac{\partial}{\partial\phi} \left(ph^3 \frac{\partial p}{\partial\phi} \right) + \frac{\partial}{\partial\zeta} \left(ph^3 \frac{\partial p}{\partial\zeta} \right) = 6\eta_0\omega r^2 \frac{\partial(ph)}{\partial\phi} \quad (17-2)$$

اگر:

$$p = p_a P \quad \text{and} \quad h = cH,$$

این معادله می‌شود:

$$\frac{\partial}{\partial\phi} \left(PH^3 \frac{\partial P}{\partial\phi} \right) + \frac{\partial}{\partial\zeta} \left(PH^3 \frac{\partial P}{\partial\zeta} \right) = \Lambda_j \frac{\partial(PH)}{\partial\phi} \quad (17-3)$$

که در آن:

$$\Lambda_j = \frac{6\eta_0\omega r^2}{p_a c^2} \quad (17-4)$$

عدد بدون بُعد یاتاقان برای یاتاقانهای ژورنال است.

۱۷-۲ حلهای حدی

همانند مورد یاتاقانهای کف‌گرد روان کاری شونده با گاز در فصل ۱۶، دو مورد حدی در اینجا در نظر گرفته می‌شوند.

۱۷-۲-۱ یاتاقان با اعداد پایین

مانند فصل ۱۶، ضمن میل کردن سرعت $0 \rightarrow \omega$ و $0 \rightarrow P$ و افزایش فشار $\Delta P \rightarrow 0$ میل می‌کند.

$$\therefore \left(\frac{\partial P}{\partial \phi} \right)^2 \ll \frac{\partial^2 P}{\partial \phi^2} \quad \left(\frac{\partial P}{\partial \zeta} \right)^2 \ll \frac{\partial^2 P}{\partial \zeta^2} \quad \text{and} \quad H \frac{\partial P}{\partial \phi} \ll P \frac{\partial H}{\partial \phi}$$

بنابراین ، با بسط معادله (۱۷-۳) و صرف نظر از این جملات ، داریم :

$$\frac{\partial}{\partial \phi} \left(H^3 \frac{\partial P}{\partial \phi} \right) + \frac{\partial}{\partial \zeta} \left(H^3 \frac{\partial P}{\partial \zeta} \right) = \Lambda_j \frac{\partial H}{\partial \phi} \quad (17-5)$$

این همان معادله‌ای است که در فصل ۱۰ برای یاتاقانهای ژورنال روان کاری شونده به طور غیرقابل تراکم ، با آن سر و کار داشتیم ، با صرف نظر کردن از جمله نشت کناری در معادله (۱۷-۵) و فرض حل سامرفیلد کامل از معادله (۱۰-۳۰) داریم :

$$(W_r)_{\Lambda_j \rightarrow 0} = \frac{\omega'_r}{2rp_a} = \frac{12\pi\varepsilon}{(2+\varepsilon^2)(1-\varepsilon^2)^{1/2}} \quad (17-6)$$

از نیروی اصطکاک ، ضریب اصطکاک می‌شود :

$$(\mu)_{\Lambda_j \rightarrow 0} = \frac{c(1+2\varepsilon^2)}{3\varepsilon r} \quad (17-7)$$

این نتایج $\omega \rightarrow 0$ یا $A_j \rightarrow 0$ ، برای یک یاتاقان ژورنال روان کاری شونده با گاز به کار برده می‌شوند .

۱۷-۲-۱ یاتاقان با اعداد بالا

مانند فصل ۱۶ ، وقتی $\omega \rightarrow 0$ یا $A_j \rightarrow 0$ تنها راه موجود برای معین باقی ماندن فشار در معادله (۱۷-۳) ، آن است که :

$$\frac{\partial(PH)}{\partial \phi} \rightarrow 0 \quad (17-8)$$

که مشخص کننده آن است که : ثابت PH می‌باشد . یک حل ممکن $P \propto 1/H$ بوده ، و حول خط مرآکز متقارن است . در فصل ۱۰ ، خصامت فیلم به صورت زیر به دست آمد :

$$h = c(1 + \varepsilon \cos \phi) \quad (10-5)$$

یا

$$H = \frac{h}{c} = 1 + \varepsilon \cos \phi \quad (17-9)$$

$$\therefore P = \frac{\tilde{A}}{1 + \varepsilon \cos \phi} \quad (17-10)$$

و بنابراین ثابت \tilde{A} باید محاسبه شود.

یک راه حل برای محاسبه \tilde{A} این است که جرم گاز گردآمده در یک یاتاقان با عرض

بی نهایت محاسبه شود:

$$m'_a = 2 \int_0^{\pi} \rho h r d\phi \quad (17-11)$$

که در آن " m' جرم گاز در واحد عرض یاتاقان می‌باشد. جرم مخصوص در این معادله را می‌توان مانند حالت معادله (۱۶-۳)، بیان کرد:

$$\therefore m'_a = \frac{2r}{Rt_m} \int_0^{\pi} ph d\phi = \frac{2rcp_a}{Rt_m} \int_0^{\pi} PH d\phi$$

ولی وقتی $\omega \rightarrow \infty$ یا $A_i \rightarrow \infty$ ، $\tilde{A} = \text{ثابت} = PH$ است.

$$\therefore m'_a = \frac{2\pi rcp_a \tilde{A}}{Rt_m}$$

یا

$$m'_a \propto \tilde{A} \quad (17-12)$$

از معادلات (۱۷-۹) و (۱۷-۱۰) برای ژورنال هم مرکز ($\varepsilon = 0$) ، داریم:

$$P = H = \tilde{A} = 1 \quad (17-13)$$

بنابراین معادله (۱۷-۱۰) ، می‌دهد:

$$P = \frac{1}{1 + \varepsilon \cos \phi} \quad (17-14)$$

ظرفیت حمل بار عمودی برای یک یاتاقان ژورنال با عرض بی نهایت ، وقتی $\omega \rightarrow \infty$ ، $\Lambda_j \rightarrow \infty$ می شود :

$$w_z' = -2p_a r \int_0^\pi P \cos \phi \, d\phi = -2p_a r \int_0^\pi \frac{\cos \phi \, d\phi}{1 + \epsilon \cos \phi}$$

با استفاده از جایگزینی سامر فیلد بحث شده در فصل ۱۰ (معادلات ۱۰-۹) ، (۱۰-۱۱) و (۱۰-۱۴) ، داریم :

$$W_z = \frac{w_z'}{2p_a r} = \frac{\pi \left[1 - (1 - \epsilon^2)^{1/2} \right]}{\epsilon (1 - \epsilon^2)^{1/2}} \quad (۱۷-۱۵)$$

نیروی اصطکاک برای یک یاتاقان ژورنال با عرض بی نهایت ، وقتی $\omega \rightarrow \infty$ یا $\Lambda_j \rightarrow \infty$ می شود :

$$f' = \int_0^{2\pi} \tau r \, d\phi = -r \int_0^{2\pi} \left(\frac{\eta_0 r \omega}{h} + \frac{h}{2r} \frac{dp}{d\phi} \right) d\phi$$

در شکل بدون بُعد ، این معادله می شود :

$$f' = -\frac{p_a c}{2} \int_0^{2\pi} \left(\frac{\Lambda_j}{3H} + H \frac{dP}{d\phi} \right) d\phi$$

$$\int_0^{2\pi} \frac{d\phi}{H} = \int_0^{2\pi} \frac{d\phi}{1 + \epsilon \cos \phi} = \frac{2\pi}{(1 - \epsilon^2)^{1/2}} \quad \text{ولی :}$$

$$\int_0^{2\pi} H \frac{dP}{d\phi} \, d\phi = \int_0^{2\pi} H \left(-\frac{1}{H^2} \frac{dH}{d\phi} \right) d\phi = -\int_0^{2\pi} \frac{dH}{H} = (-\ln H)_{\phi=0}^{\phi=2\pi} = 0$$

$$F = \frac{f'}{p_a c} = \frac{\pi \Lambda_j}{3(1 - \epsilon^2)^{1/2}} \quad (۱۷-۱۶)$$

ضریب اصطکاک ، وقتی $\omega \rightarrow \infty$ و $\Lambda_j \rightarrow \infty$ ، می شود :

$$(\mu)_{\Lambda_j \rightarrow \infty} = \frac{(F)_{\Lambda_j \rightarrow \infty}}{(W_z)_{\Lambda_j \rightarrow \infty}} = \frac{\pi \Lambda_j}{3(1 - \epsilon^2)^{1/2}} \frac{\epsilon (1 - \epsilon^2)^{1/2}}{\pi \left[1 - (1 - \epsilon^2)^{1/2} \right]}$$

$$= \frac{\epsilon \Lambda_j}{3 \left[1 - (1 - \epsilon^2)^{1/2} \right]} \quad (۱۷-۱۷)$$

این حلها حدّی اطلاعات مهمی برای اثبات درستی حلها عددی دقیق هستند.

۱۷-۳ حل پرتوربیشن فشار

اوسمان^۱ (۱۹۵۹) روش پرتوربیشن را به کار گرفت تا معادله (۱۷-۲) را خطی کرده و یک حل تقریبی به دست آورد. مفهوم کلی روش پرتوربیشن جایگذاری معادله (۱۰-۵) و :

$$p = p_a + \varepsilon p_1 + \varepsilon^2 p_2 + \dots \quad (17-18)$$

در معادله (۱۷-۲) و صرف نظر از تمام جملات از مرتبه ε^2 یا بالاتر می‌باشد. در نتیجه داریم :

$$\frac{\partial^2 p_1}{\partial \phi^2} + \frac{\partial^2 p_1}{\partial \zeta^2} = \Lambda_j \left(\frac{\partial p_1}{\partial \phi} - p_a \sin \phi \right) \quad (17-19)$$

معادله (۱۷-۱۹) را می‌توان برای فشار پرتوربیشن مرتبه اول (اوسمان ۱۹۵۹ را ببینید) حل کرد، که به توبه خود می‌توان به روش معمولی انتگرال گرفته تا مؤلفه‌های موازی و عمودی بار ω_x و ω_z به دست آید. این نتایج عبارتند از :

$$\bar{W}_x = \frac{\bar{w}_x}{p_a b(2r)} = \frac{\pi \varepsilon \Lambda_j}{2(1 + \Lambda_j^2)} [\Lambda + f_x(\Lambda_j, \lambda_j)] \quad (17-20)$$

$$\bar{W}_z = \frac{\bar{w}_z}{p_a b(2r)} = \frac{\pi \varepsilon \Lambda_j}{2(1 + \Lambda_j^2)} [1 - f_z(\Lambda_j, \lambda_j)] \quad (17-21)$$

که در آن :

$$\lambda_j = \frac{b}{2r} \quad (17-22)$$

$$f_x(\Lambda_j, \lambda_j) = \frac{(\Lambda_b - \Lambda_c \Lambda_j) \sin(2\Lambda_c \lambda_j) - (\Lambda_b \Lambda_j + \Lambda_c) \sinh(2\Lambda_b \lambda_j)}{\lambda_j (1 + \Lambda_j^2)^{1/2} [\cosh(2\Lambda_b \lambda_j) + \cos(2\Lambda_c \lambda_j)]} \quad (17-23)$$

$$f_z(\Lambda_j, \lambda_j) = \frac{(\Lambda_b - \Lambda_c \Lambda_j) \sinh(2\Lambda_b \lambda_j) + (\Lambda_b \Lambda_j + \Lambda_c) \sin(2\Lambda_c \lambda_j)}{\lambda_j (1 + \Lambda_j^2)^{1/2} [\cosh(2\Lambda_b \lambda_j) + \cos(2\Lambda_c \lambda_j)]} \quad (17-24)$$

$$\Lambda_b = \left[\frac{(1 + \Lambda_j^2)^{1/2} + 1}{2} \right]^{1/2} \quad (17-25)$$

$$\Lambda_c = \left[\frac{(1 + \Lambda_j^2)^{1/2} - 1}{2} \right]^{1/2} \quad (17-26)$$

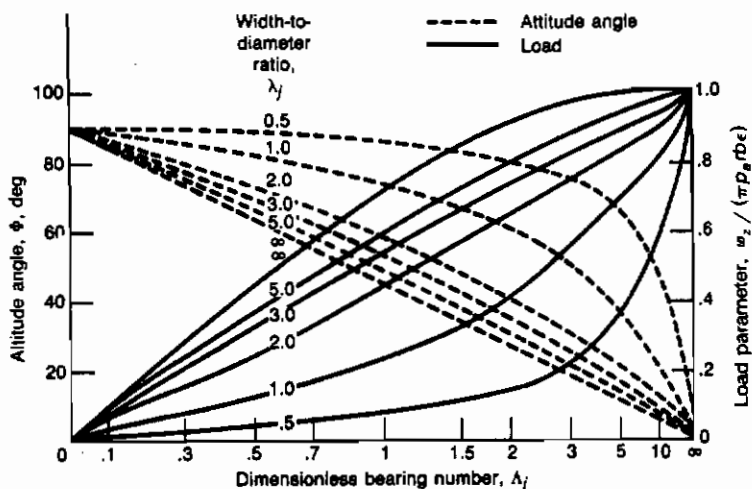
معادلات مربوط به بارکلی و زاویه فراز را می‌توان نوشت:

$$\bar{W}_r = \frac{\bar{w}_r}{\pi p_a r b \epsilon} = (\bar{W}_x^2 + \bar{W}_z^2)^{1/2} \quad (17-27)$$

$$\Phi = \tan^{-1} \frac{\bar{W}_z}{\bar{W}_x} \quad (17-28)$$

از معادلات (17-۲۰) و (17-۲۱) توجه داشته باشید که حل پرتوربیشن مرتبه اول، یک بار به صورت خطی مرتبط شده با نسبت خارج از مرکزی ϵ به دست می‌دهد. این از نتیجه خطی سازی است و فقط برای ϵ کوچک مثلاً $0.3 < \epsilon$ معتبر است، گرچه به عنوان تقریب مهندسی محافظه کارانه، می‌تواند برای مقادیر بالاتر نیز استفاده شود.

شکل ۱۷-۱ پارامتر بار و زاویه موضعی برای تجزیه و تحلیل پرتوربیشن از مرتبه اول برای مقادیر مختلف λ_j را نشان می‌دهد.



شکل ۱۷-۱- جدول طراحی برای یاتاقانهای ژورنال روان کاری شونده با گاز،

خود عمل کننده با بارگذاری شعاعی

۱۷-۴ حل ph خطی شده

اوسمان (۱۹۶۱) یک حل ph خطی شده برای مسئله یاتاقان ژورنال روان‌کاری شونده با گاز خودعمل کننده را معرفی کرد که تصحیحی برای کمبود حل پرتوربیشن مرتبه اول در نسبت‌های با خارج از مرکزی بالا، داده شده در قسمت قبلی می‌باشد. روش عمومی خطی کردن به طور کلی مانند روش پرتوربیشن است، الا این که حاصل ضرب ph متغیر وابسته در نظر گرفته می‌شود. برای انجام این کار، معادله (۱۷-۲) به گونه‌ای مرتب می‌شود که p همیشه به صورت حاصل ضرب در h ظاهر شود. معادله (۱۰-۵) و :

$$ph = p_a c + \Delta(ph) \quad (17-29)$$

سپس در این معادله جایگذاری می‌شوند و فقط جملات از مرتبه اول از نسبت خارج از مرکز ϵ نگهداشته می‌شوند. فرض می‌شود که $(ph) \Delta$ از مرتبه ϵ است. معادله « ph خطی شده» متجه می‌شود:

$$\frac{\partial^2(ph)}{\partial \phi^2} + \frac{\partial^2(ph)}{\partial \zeta^2} = \Lambda_j \frac{\partial(ph)}{\partial \phi} - \epsilon p_a c \cos \phi \quad (17-30)$$

معادله (۱۷-۳۰) لزوماً همان شکل معادله پرتوربیشن فشار مرتبه اول بوده (معادله (۱۷-۱۹)) و می‌تواند مثل آن برای ph حل شود. وقتی ph یافت شد، فشار را می‌توان با تقسیم بر h به دست آورد. عبارت به دست آمده برای p را سپس در انگرالهای مؤلفه بار گذاشته تا ω و β به دست آیند. این نتایج عبارتند از:

$$W_x = \frac{\omega_x}{p_a b(2r)} = \frac{2 \left[1 - (1 - \epsilon^2)^{1/2} \right]}{\epsilon^2 (1 - \epsilon^2)^{1/2}} \bar{W}_x \quad (17-31)$$

$$W_z = \frac{\omega_z}{p_a b(2r)} = \frac{2}{\epsilon^2} \left[1 - (1 - \epsilon^2)^{1/2} \right] \bar{W}_z \quad (17-32)$$

کل بار و زاویه فراز برای حل ph خطی شده، عبارتند از:

$$W_r = \frac{\omega_r}{p_a b(2r)} = (W_x^2 + W_z^2)^{1/2} = \frac{2 \bar{W}_r \left[1 - (1 - \epsilon^2)^{1/2} \right]}{\epsilon^2 (1 - \epsilon^2)^{1/2}} (1 - \epsilon^2 \sin^2 \Phi)^{1/2} \quad (17-33)$$

$$\tan \Phi = \tan \frac{W_z}{W_x} = (1 - \varepsilon^2)^{1/2} \tan \bar{\Phi} \quad (17-34)$$

که در آن \bar{W} و $\bar{\Phi}$ مقادیر به دست آمده از حل پرتوربیشن مرتبه اول داده شده در معادلات به ترتیب (۱۷-۲۰)، (۱۷-۲۱)، (۱۷-۲۷)، (۱۷-۲۸) هستند.

مسانه نمونه ۱۷-۱ بار بیشینه‌ای را که می‌تواند توسط یک یاتاقان ژورنال روان کاری شونده با گاز خود عمل کننده با قطر ۲.۵ cm و عرض ۲.۵ cm در حال عمل در 1500 rad/s (14400 r/min) بالقی شعاعی متوسط $7.5\mu\text{m}$ و لقی کمینه $1.5\mu\text{m}$ تحمل شود، تخمین بزنید. فشار محیط را $1 \times 10^5 \text{ Pa}$ و $\eta_0 = 2 \times 10^{-5} \text{ Pa.s}$ فرض کنید.

حل: (الف) حساب کنید:

$$\Lambda_j = \frac{6\eta_0 \omega r^2}{p_a c^2} = \frac{6(2 \times 10^{-5})(1.5 \times 10^3)(1.25^2 \times 10^{-4})}{(1 \times 10^5)(7.5^2 \times 10^{-12})} = 5$$

$$\lambda_j = \frac{b}{2r} = \frac{2.5}{2.5} = 1$$

(ب) از شکل ۱۷-۱ برای $\Lambda_j = 5$ و $\lambda_j = 1$ ، داریم:

$$\bar{W}_r = 0.7 \quad \text{or} \quad \bar{w}_r = 0.7 \frac{\pi}{2} p_a b (2r) \varepsilon = 68.7 \varepsilon \text{ N}$$

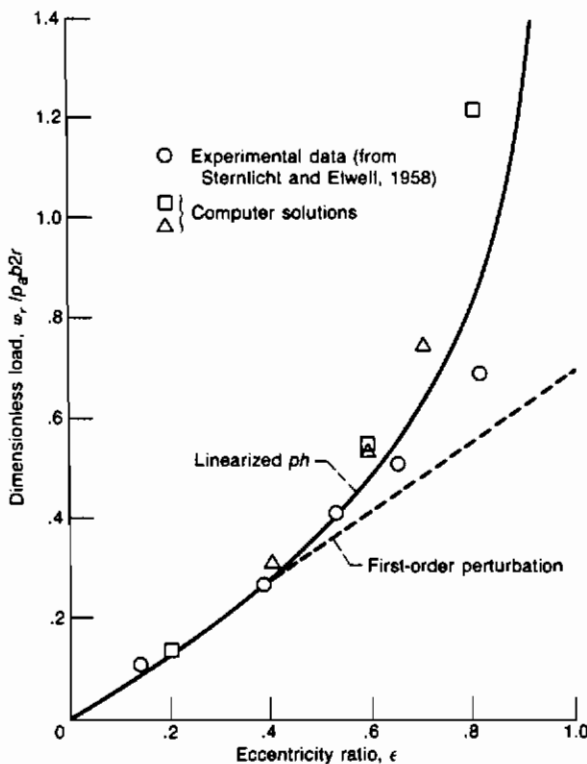
$$\bar{\Phi} = 35^\circ$$

(ج) ε و ω را محاسبه کنید:

$$\varepsilon = \frac{e}{c} = \frac{7.5 - 1.5}{7.5} = 0.80$$

از معادله (۱۷-۳۳)

$$w_r = 137.4 \frac{[1 - (1 - 0.64)^{1/2}]}{0.80(1 - 0.64)^{1/2}} [1 - (0.64)(0.33)]^{1/2} = 92 \text{ N}$$



شکل ۱۷-۲- اثر بار بدون بعد روی نسبت خارج از مرکز برای یاتاقان ژورنال با گاز روان شونده خودعمل کننده با طول معین . عدد یاتاقان بدون بعد، Λ ، نسبت عرض به قطر

$$1.5, \lambda_i$$

شکل ۱۷-۲ مؤثر بودن این روش در تخمین بار بر حسب نسبت خارج از مرکز برای Λ و λ بخصوصی را نشان می دهد . p_{bh} خطی شده و پرتو ریشن مرتبه اول برای $\epsilon < 0.4$ یکسان بوده ، ولی برای مقادیر بزرگتر ϵ تفاوت می کند . برای $\epsilon > 0.4$ حل p_{bh} خطی شده و حلهای دقیق عددی در توافق خوبی هستند .

گشتاور اصطکاکی یاتاقان و آفت قدرت در یاتاقان ژورنال توسط فرمولهای نسبتاً دقیق ،

ولی ساده داده شده در این جا ، به سادگی تخمین زده می شوند :

$$t_q = \frac{\pi}{4} \frac{\eta_0 \omega b (2r)^3}{c(1 - \epsilon^2)^{1/2}} \quad (17-35)$$

$$k_p = \omega t_q \quad (17-36)$$

۱۷-۵ یاتاقانهای ژورنال غیرساده

تاکنون بحث در این فصل مرتبط با یاتاقانهای ژورنال روان کاری شونده با گاز ساده بوده است . اشکال استفاده از این یاتاقانها مشخصه های پایداری ضعیف آنها می باشد . یاتاقانهای بارگذاری شده سبک که در نسبتها خارج از مرکز پایین عمل می کنند ، تحت فرکанс کسری پیچشی بوده که می تواند باعث خرابی یاتاقان شود . دو نوع یاتاقان ژورنال با گاز روان شونده غیرساده که مورد استفاده وسیعی دارند ، کفشک «پرچی»^۱ و شیار «دو مارپیچی»^۲ هستند .

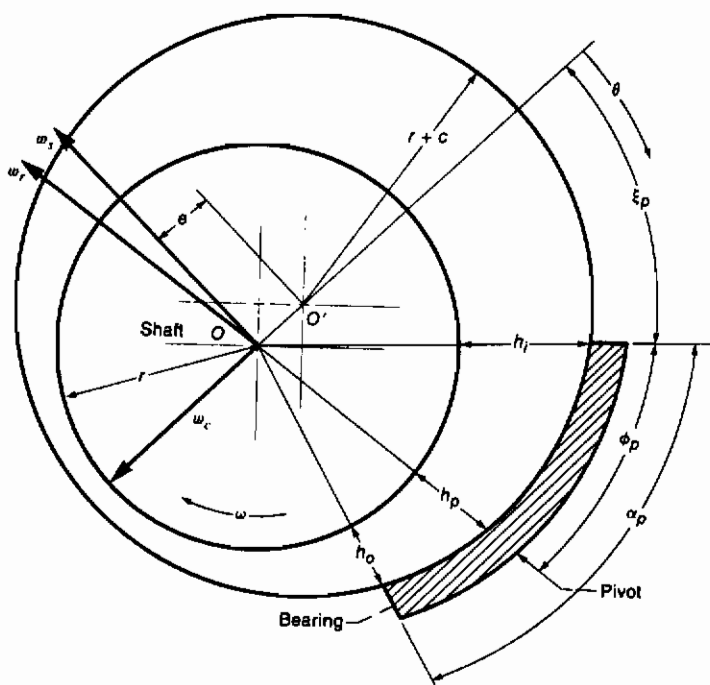
۱۷-۵-۱ یاتاقان ژورنال کفشک پرچی

یاتاقانهای کفشک پرچی ابتدا در بخش ۹-۳ ، به عنوان یک نوع یاتاقان کف گرد روان کاری شونده غیرقابل تراکم معرفی شدند . یاتاقانهای ژورنال کفشک پرچی ، غالباً به عنوان حمایت کننده محور در ماشینهای روان کاری شونده گازی به کار گرفته می شوند ؛ زیرا مشخصه های پایداری عالی دارند . مونتاژ مختص یک کفشک پرچی در شکل ۱۷-۳ نشان داده شده است . یک یاتاقان کفشک پرچی با سه کفشک در شکل ۱۷-۴ نشان داده می شود . عموماً هر کفشک در جات چرخشی آزاد حول سه محور عمود بر هم (خیز ، چرخش ، و انحراف) فراهم می آورد . یاتاقانهای کفشک پرچی پیچیده هستند ، زیرا متغیرهای هندسی زیادی در طراحی آنها گنجانده شده است . بعضی از این متغیرها عبارتند از :

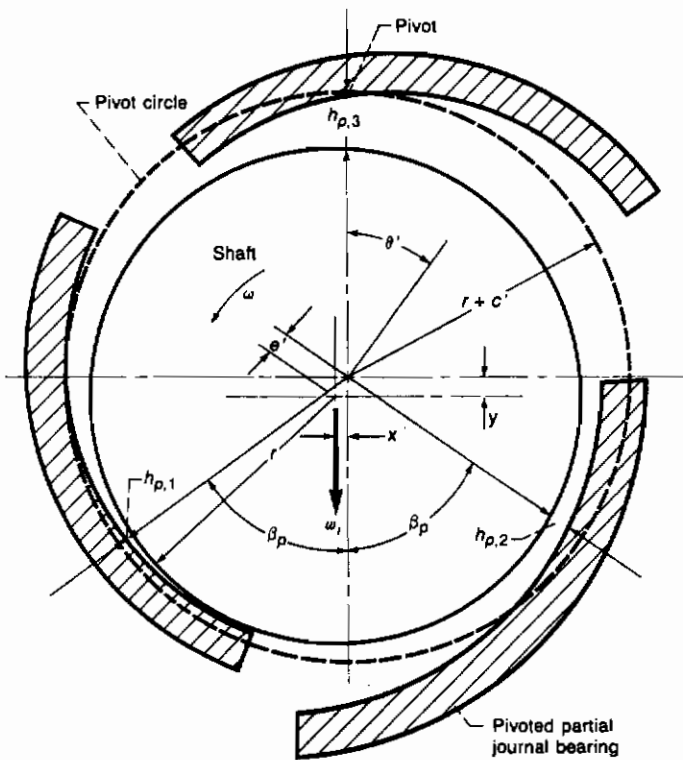
- ۱- تعداد کفشک N_0
- ۲- ادامه زاویه ای کفشک α_p
- ۳- نسبت طرافت کفشک r/b

- ۴- موقعیت پرج ϕ_p / α_p
- ۵- نسبت لقی ماشین شده c/r
- ۶- نسبت لقی دایره پرج c/r
- ۷- زاویه بین خط مرکزها و لبه جلویی کفشك ξ_p .

ابتدا یک کفشك تجزیه و تحلیل می شود . هندسه و پارامترهای عمل هر دو در طراحی یک کفشك پرچی مؤثرند . پارامتر مهم عملکرد عدد بدون بعد یاتاقان A است ، که در معادله (۱۷-۴) تعریف شد .



شکل ۱۷-۳- شکل هندسی مختص یک یاتاقان کفشك پرچی تنها



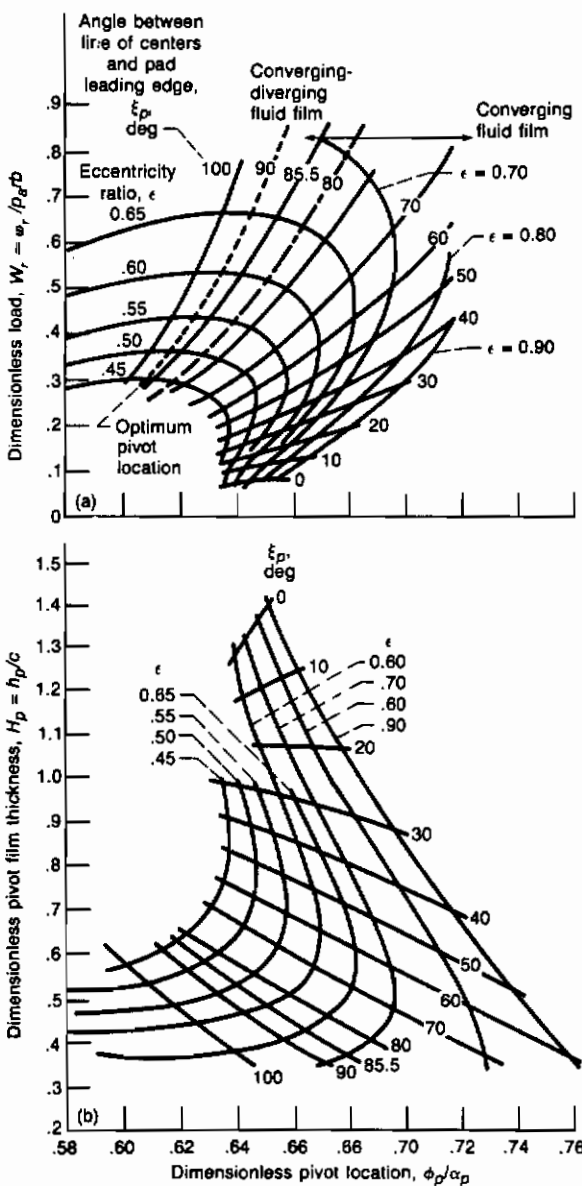
شکل ۴-۱۷-۴- هندسه یاتاقان ژورنال کفشدک پرچی با سه گفشدک

نتایج حلهای رایانه‌ای به دست آمده از گانتر^۱ (۱۹۶۴) برای عملکرد یک کفشدک تک در شکل (۴-۱۷) نشان داده می‌شود. این شکل، بار بدون بُعد، ضخامت فیلم پرچی بدون بُعد، و ضخامت فیلم خروجی بدون بُعد بر حسب تابعی از موقعیت پرج و نسبت خارج از مرکز را نشان می‌دهد. این رسمها برای کفشدکی با موارد ثابت زیر، کاربرد دارند:

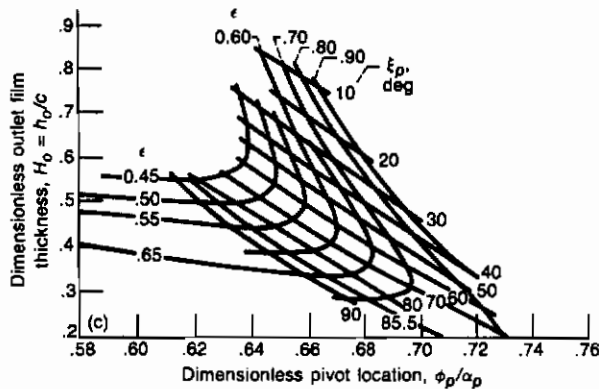
$$1 - \text{نسبت ظراحت کفشدک} \quad r/b = 0.606$$

$$2 - \text{ادامه زاویه ای کفشدک} \quad \alpha_p = 94.5^\circ$$

$$3 - \text{عدد بدون بُعد کفشدک} \quad \Lambda_p = 3.5$$



شکل ۱۷-۵- رسمهای برای ضرب بار، ضخامت فیلم پرج، و ضخامت فیلم لبه انتهایی. نسبت شعاع به طول یاتاقان $r/b = 0.6061$ ؛ ادامه زاویه‌ای کفشدک $\alpha_p = 94.5^\circ$ ؛ عدد یاتاقان بدون بعد $N_p = 3.5$. (الف) بار بدون بعد (ب) ضخامت فیلم پرج بدون بعد.



ادامه شکل ۱۷-۰ - (ج) ضخامت فیلم بدون بعد خروجی

این رسمها باید برای اشکال هندسی و اعداد یاتاقان دیگر تولید شوند . رسمهای اضافی در گاتر (۱۹۶۴) آورده شده است .

وقتی که مشخصه های کفشدک ساده ، شناخته باشد ، مشخصه های یاتاقان چند کفشدکی نشان داده شده در شکل ۱۷-۴ را می توان تعیین کرد . به ترتیبی که در شکل ۱۷-۴ نشان داده می شود ، بار بین دو کفشدک پرچمی پایینی هدایت می شود . برای این مورد بار حمل شده توسط هر کدام از کفشدکهای پایینی در ابتدای $\omega_i \cos \beta_i$ فرض می شود . ضخامت فیلم پرچمی $h_{p,1}$ و $h_{p,2}$ از شکل ۱۷-۵ (ب) به دست می آیند . به علاوه ضخامت فیلم پرچمی $h_{p,3}$ کفشدک بالایی . ضریب خارج از مرکز c و بار بدون بعد W را می توان تعیین کرد .

یاتاقانهای ژورنال کفشدک پرچمی معمولاً بایک لقی دایره ای پرج c ساخته (مونتاژ) می شوند که از لقی ماشین کاری شده c کمی کمتر است . وقتی $c < c'$ ، گفته می شود که یاتاقان «از قبل بارگذاری شده» است . عبارت از قبل بارگذاری شده ، معمولاً بر حسب ضریب از قبل بارگذاری شده ، که برابر با $c/c' = (c - c')/c$ است ، داده می شود . عمل از قبل بارگذاری شده برای افزایش سختی یاتاقان و جلوگیری از باربرداری کامل یک یا بیشتر کفشدک به کار برد می شود . شرط آخری می تواند منتهی به خُرد شدن کفشدک و تماس احتمالی لبه جلویی کفشدک و محور ، که باعث شکست یاتاقان می شود ، گردد .

۱۷-۵-۲ یاتاقانهای ژورنال با شیار مارپیچی

یک یاتاقان با شکل هندسی ثابت که مشخصه های پایداری خوبی نشان داده و در نتیجه برای استفاده در یاتاقانهای گازی با سرعت بالا موفق است ، یاتاقان «مارپیچی» می باشد . این یاتاقان شامل یک ژورنال مدور و یک آستینی یاتاقان با شیارهای مارپیچی به شکل کم عمق تراشیده شده در هر عضو می باشد . شکل ۱۷-۶ یک یاتاقان ژورنال شیار مارپیچی جزئی را نشان می دهد . پارامترهای شیار استفاده شده برای تعریف این یاتاقان ، عبارتند از :

۱- زاویه شیار β_a

۲- نسبت عرض شیار $\alpha_b = l_s / (l_r + l_s)$

۳- نسبت ضخامت فیلم $H_a = h_r / h_s$

۴- تعداد شیارها N_0

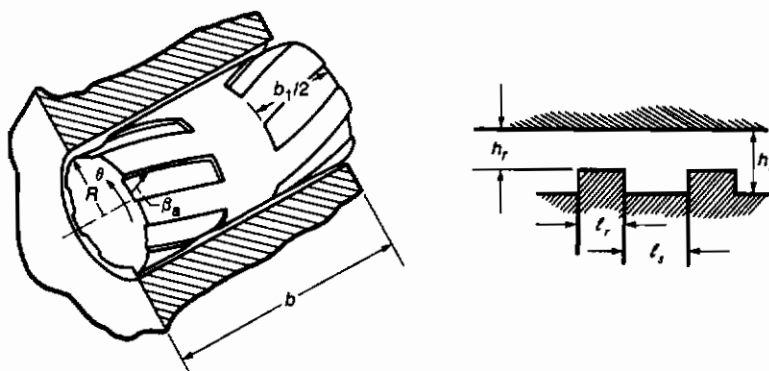
۵- نسبت عرض شیار $\gamma_s = b_s / b$

پارامترهای عمل استفاده شده برای یاتاقانهای ژورنال مارپیچی ، عبارتند از :

۱- نسبت عرض به قطر $\lambda_j = b / 2r$

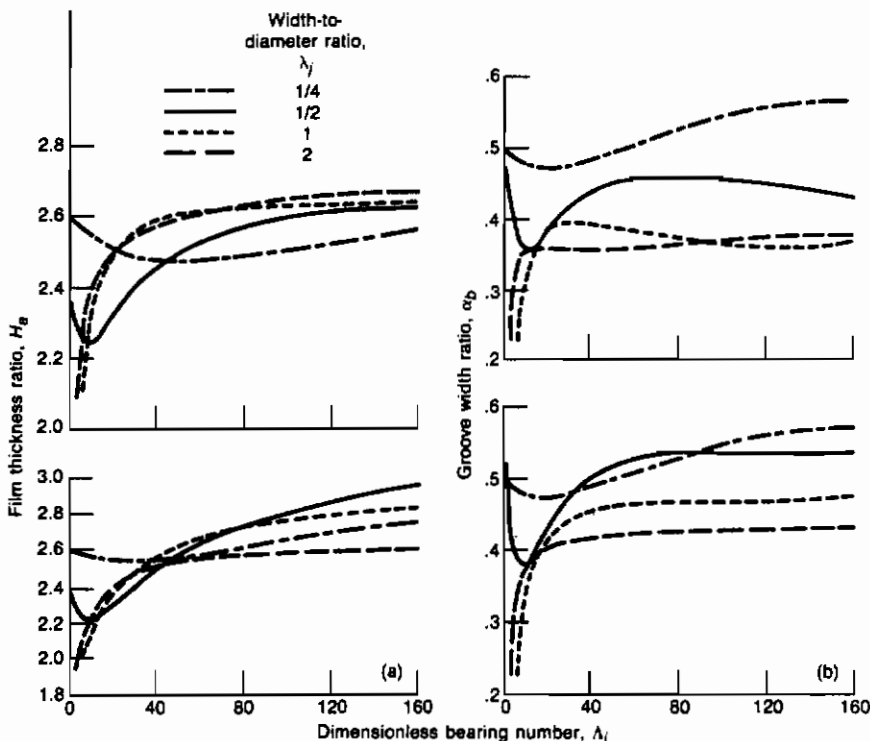
۲- عدد بدون بُعد یاتاقان $\Lambda_j = 6\eta_0 \omega r^2 / p_s h^2$

این پارامترها بدون بُعد هستند .

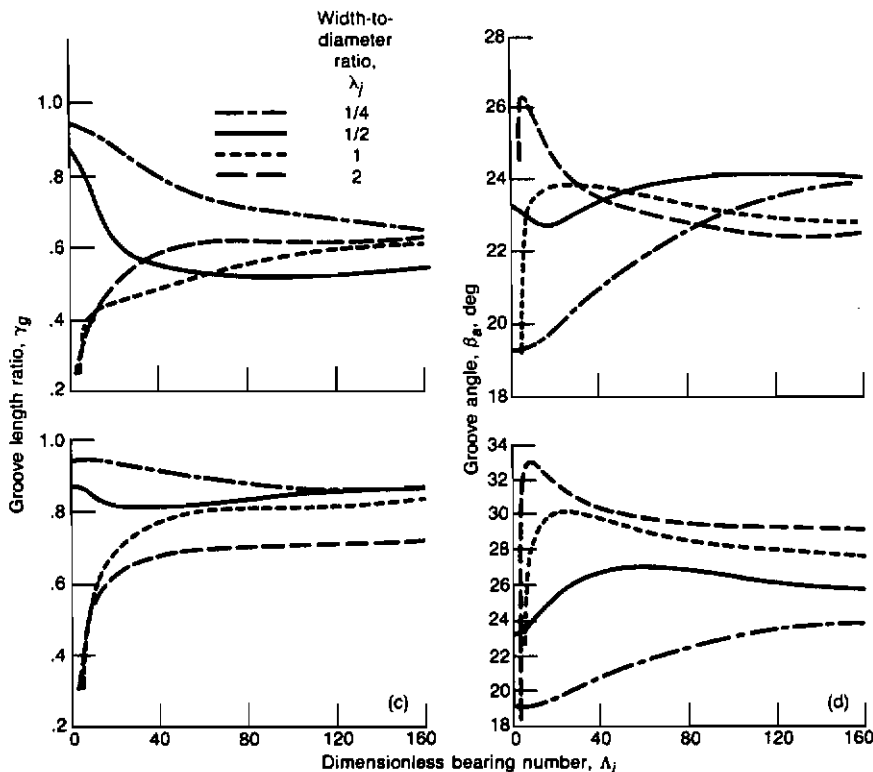


شکل ۱۷-۶- وضعیت یاتاقان ژورنال هم مرکز شیار مارپیچی

شکل ۱۷-۷ پارامترهای شیار یاتاقان ژورنال مارپیچی بهینه را برای بار شعاعی بیشینه ارائه می‌دهد. این نتایج از همراک و فلمینگ (۱۹۷۱) به دست آمده‌اند. بخش بالایی هر قسمت برای عضو شیاردار چرخنده و بخش پایین برای عضو چرخنده صاف است. تنها پارامتر شیار ارائه نشده در این شکل، تعداد شیارهای استفاده شونده است. همراک و فلمینگ (۱۹۷۱) دریافتند که تعداد شیارهای کمینه، که باید دور ژورنال گذاشته شوند را می‌توان با $N_0 \geq \Lambda_j / 15$ ارائه داد.



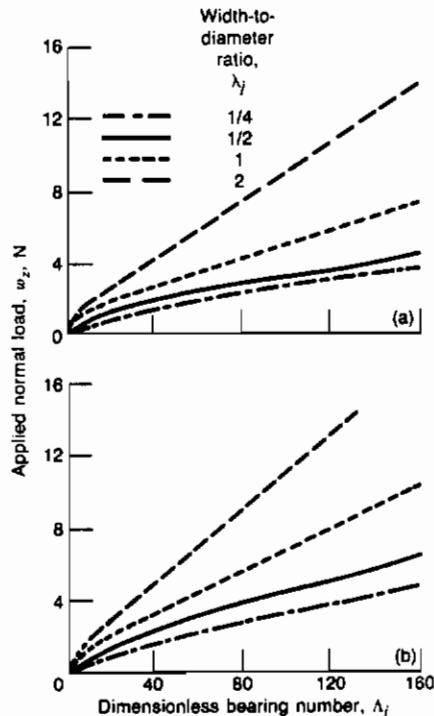
شکل ۱۷-۷- جداول برای تعیین بهینه پارامترهای شیار یاتاقان ژورنال مارپیچی برای بار شعاعی بیشینه. رسمهای بالا برای عضو شیاردار چرخنده، رسمهای پایین برای عضو صاف چرخنده. (الف) نسبت ضخامت فیلم بهینه، (ب) نسبت عرض شیار بهینه.



ادامه شکل ۱۷-۷ - (ج) نسبت ارتفاع بهینه شیار . (د) زاویه بین شیار

شکل ۱۷-۸ ظرفیت حمل بار عمودی بیشینه برای پارامترهای عمل یک یاتاقان ژورنال مارپیچی روان شونده با گاز را برقرار می کند . پارامترهای شیار بیهینه ، به دست آمده از شکل ۱۷-۷ ، مورد استفاده قرار می گیرند .

بیشتر از هر فاکتور دیگر ، ظرفیت حمل بار پایین و ناپایداری چرخشی خود به وجود آمده ، مفید بودن یاتاقانهای ژول با گاز روان شونده را محدود می کند . مسأله پیچش ، تمايل مرکز ژورنال در دور زدن مرکز یاتاقان در یک سرعت زاویه ای کمتر یا برابر با نصف ژورنال دور مرکز خودش است . در بسیاری از موارد دامنه پیچش به اندازه کافی بزرگ و سبب خرابی سطوح تماس یاتاقان می شود .

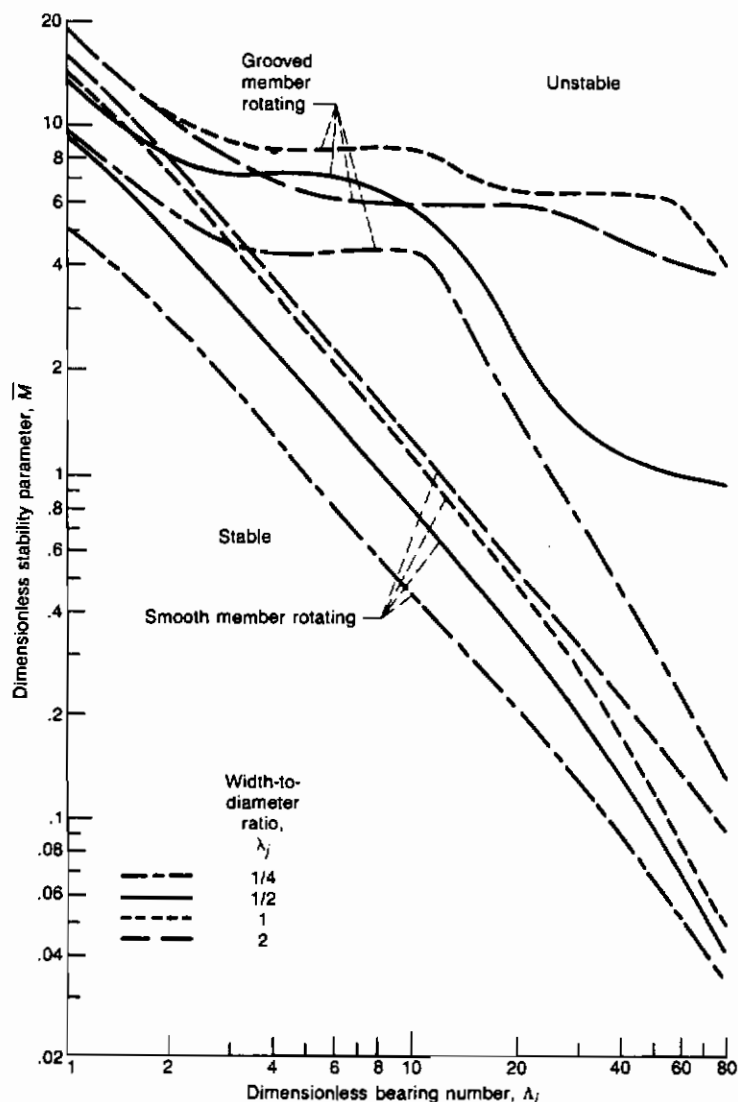


شکل ۱۷-۸ - رسمهایی برای نشان دادن ظرفیت حمل بار عمودی بیشینه . (الف) عضو شباردار چرخنده . (ب) عضو صاف چرخنده

شکل ۱۷-۹ که از رابطه فلمینگ و همراک (۱۹۷۴) به دست آمده ، پایداری یاتاقان ژورنال مارپیچی بهینه را نشان می دهد . در این شکل پارامتر بدون بُعد پایداری معرفی می شود ، که در آن :

$$\bar{M} = \frac{m_a p_a h_r^5}{2 r^5 b \eta_0^2} \quad (17-37)$$

که m_a جرم حمایت شونده توسط یاتاقان است . در شکل ۱۷-۹ یاتاقانهای با عضوشباردار چرخنده به مقدار خیلی زیادی پایدارتر از اعضاء صاف چرخنده ، بخصوص در یاتاقان با اعداد بالا هستند .



شکل ۱۷-۹ - رسمها برای نشان دادن پایداری بیشینه یا تاقنهای شبار مارپیچی

۱۷-۶ موضعه

بحث یاتاقانهای با گاز روان کاری شونده ، از فصل ۱۶ ادامه یافت و در این فصل نیز تکیه بر یاتاقانهای ژورنال بود . همچنین معادله رینولذ مناسب ارائه شد و حلهای حدّی نتایج سرعتهای خیلی پایین و بالا بحث گردید . به دلیل غیرخطی بودن معادله رینولذ ، دو روش تقریبی معرفی شدند . اولین رهیافت حل پرتوربیشن است که در آن فشار با نسبت خارج از مرکز ≤ 4 مرتضع می شود . وقتی عبارات از مرتبه 2 و بزرگتر صرف نظر شوند ، معادله رینولذ غیرخطی به صورت خطی درآمده و در نتیجه حلهای تحلیلی می توانند به دست آیند . همچنین دریافتیم که حل پرتوربیشن مرتبه اول رابطه ای برای بار را به دست می دهد که به صورت خطی با نسبت خارج از مرکز مربوط است . این نتیجه فقط برای نسبتهای خارج از مرکز کوچک ، $0.3 \leq 4$ معتبر است ، گرچه به عنوان یک تقریب مهندسی محافظه کارانه برای مقادیر بالاتر می تواند استفاده شود .

روش تقریبی دوم که در این فصل ، بررسی شده است ، رهیافت خطی شده ph اوسمان بود . این خطی سازی از نظر کلی یکسان با روش پرتوربیشن است ، بجز این که حاصل ضرب ph به عنوان متغیر وابسته در نظر گرفته می شود . این روش ظرفیت حمل بار را برای محدوده نسبتهای خارج از مرکز ، دقیق تر پیش بینی می کند . به علاوه ، این نتایج با نتایج تجربی به خوبی تطابق دارند .

در قسمت پایانی این فصل یاتاقانهای ژورنال غیرساده بحث شد . دو نوع یاتاقان ژورنال با گاز روان شونده غیرساده به نامهای کفشک پرچی و شیار مارپیچی مورد بحث قرار گرفتند . جداولی نیز برای کمک به طراحی این یاتاقانها ارائه گردید .

۱۷-۷ مسائل

۱۷-۷-۱ اثر نشت کناری روی ظرفیت حمل بار عمودی یاتاقانهای ژورنال روان شونده با گاز و مایع را بحث کنید .

۱۷-۷-۲ با شروع از معادله (۱۷-۲) ، تمام مراحل را در رسیدن به حل « ph خطی شده» داده شده در معادله (۱۷-۳۰) نشان دهید .

۱۷-۷-۳ با شروع از معادله (۱۷-۳) ، معادله رینولذ را برای حل ارتعاشی PH^{v2} به دست آورید .

۱۷-۷-۴ یک یاتاقان ژورنال خودکار روان شونده با هوا با قطر 400 mm و عرض 100 mm در موتورهای هوایپمای توربینی گاز استفاده می شود . می توان فرض کرد که یک نسبت خارج از مرکز 0.5 موقعیت عمل آن است . ظرفیت بار بیشینه تشوری این یاتاقان را تخمین بزنید : (الف) تحت شرایط سرعت کامل در سطح دریا (سرعت موتور 20000 r / min ، فشار محیط $101.3 \text{ kN} / \text{m}^3$) . (ب) تحت شرایط هر ز موتور در ارتفاع 13 km (سرعت 10000 r / min ، فشار $16.58 \text{ kN} / \text{m}^2$) .

۱۷-۸ لهرست منابع و مأخذ

- Ausman, J. S. (1959): Theory and Design of Self-Acting, Gas-Lubricated Journal Bearings Including Misalignment Effects. International Symposium on Gas-Lubricated Bearings, D. D. Fuller (ed.). Office of Naval Research, Dept. of the Navy, Washington, pp. 161–192.
- Ausman, J. S. (1961): An Improved Analytical Solution for Self-Acting, Gas-Lubricated Journal Bearings of Finite Length. *J. Basic Eng.*, vol. 83, no. 2, pp. 188–194.
- Fleming, D. P., and Hamrock, B. J. (1974): Optimization of Self-Acting Herringbone Journal Bearings for Maximum Stability. Proceedings of the Sixth International Gas Bearing Symposium, Southampton, N. G. Coles (ed.). BHRA Fluid Engineering, pp. C1–C11.
- Gunter, E. J., Jr., Hinkle, J. G., and Fuller, D. D. (1964): The Effects of Speed, Load, and Film Thickness on the Performance of Gas-Lubricated, Tilting-Pad Journal Bearings. *ASLE Trans.*, vol. 7, no. 4, pp. 353–365.
- Hamrock, B. J., and Fleming D. P. (1971): Optimization of Self-Acting Herringbone Journal Bearings for Minimum Radial Load Capacity. Fifth International Gas Bearing Symposium, University of Southampton, paper #13.
- Sternlicht, B., and Elwell, R. C. (1958): Theoretical and Experimental Analysis of Hydrodynamic Gas-Lubricated Journal Bearings. *Trans. ASME*, vol. 80, no. 4, pp. 865–878.

پیشنهاد ۱

محاسبه تغییرشکل‌های کشسانی

جزئیات محاسبه معادله (۴۳-۲۰) در این ضمیمه ارائه می‌شود . فاصله $[X_{j-1}, X_j]$ را می‌توان به فواصل کوچک $[X_{j-1}, X_{j+1}]$ تقسیم کرد ، به ترتیبی که تغییرشکل δ_i در گره i برابر با مجموع تمام تغییرشکل‌های ابتدایی کوچک $d\delta_{i,j}$ ، محاسبه شده در گره i و به خاطر فشار تعریف شده در این فاصله $[X_{j-1}, X_{j+1}]$ ، می‌شود .

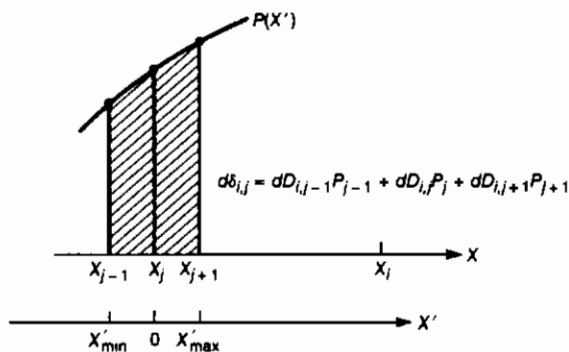
$$\bar{\delta}_i = \sum_{j=2,4,\dots}^{N-1} d\bar{\delta}_{i,j} \quad (A1)$$

فرض می‌شود فواصل کوچک ، dP/dX با X به صورت خطی تغییر کرده و X_{j-1} و X_{j+1} و X_j مثل شکل A تغییر می‌کند . وقتی این فواصل کوچک استفاده شود ، فاصله X_{j-1} تا X_j به جای X_j باید معرفی شود .

$$d\bar{\delta}_{i,j} = -\frac{1}{2\pi} \int_{X_{j-1} \rightarrow X_i}^{X_{j+1} \rightarrow X_j} \frac{dP}{dX'} (X_i - X_j - X') [\ln (X_i - X_j - X')^2 - 2] dX' + \text{ثابت} \quad (A2)$$

عبارت خطی برای dP/dX ، می‌خوانند :

$$\frac{dP}{dX'} = (a_1 X' + a_2) P_{j-1} + (a_3 X' + a_4) P_j + (a_5 X' + a_6) P_{j+1} \quad (A3)$$



شکل A. محاسبه تغییر شکل $\delta_{i,j}$ در گروه i به خاطر فشار عمل کننده در فواصل $[X_{j-1}, X_{j+1}]$

که در آن :

$$a_1 = \frac{2}{d_1} \quad (\text{الف A4})$$

$$a_2 = -\frac{(X_j + X_{j+1})}{d_1} + a_1 X_j \quad (\text{ب A4})$$

$$d_1 = (X_{j-1} - X_j)(X_{j-1} - X_{j+1}) \quad (\text{ج A4})$$

$$a_3 = \frac{2}{d_2} \quad (\text{د A4})$$

$$a_4 = -\frac{(X_{j+1} + X_{j-1})}{d_2} + a_3 X_j \quad (\text{هـ A4})$$

$$d_2 = (X_j - X_{j-1})(X_j - X_{j+1}) \quad (\text{و A4})$$

$$a_5 = \frac{2}{d_3} \quad (\text{ز A4})$$

$$a_6 = -\frac{(X_j + X_{j-1})}{d_3} + a_5 X_j \quad (\text{حـ A4})$$

$$d_3 = (X_{j+1} - X_{j-1})(X_{j+1} - X_j) \quad (\text{طـ A4})$$

از عبارت dP/dX می توان دریافت که $d\delta_{i,j}$ را می توان به صورت زیر بیان نمود .

$$d\bar{\delta}_{i,j} = dD_{i,j-1}P_{j-1} + dD_{i,j}P_j + dD_{i,j+1}P_{j+1} + \text{constant} \quad (\text{A5})$$

که در آن $dD_{i,j}$ ضرایب مؤثر ابتدایی محاسبه شده به صورت زیر است :

$$\begin{aligned} dD_{i,j-1} = & -\frac{1}{2\pi} \int_{X_{j-1} \rightarrow X_j}^{X_{j+1} \rightarrow X_j} (a_1 X' + a_2)(X_i - X_j - X') \\ & \times \left[\ln(X_i - X_j - X')^2 - 2 \right] dX' \end{aligned} \quad (\text{A6})$$

رابطه مشابه ای که ضرایب مربوطه a_3, a_4, a_5 و a_6 را استفاده می کند ، برای تعریف $dD_{i,j}$ و $dD_{i,j+1}$ به کار گرفته می شود . با به کار گیری تغییر متغیر های زیر :

$$Z = X_i - X_j - X' \quad Z_{\min} = X_i - X_{j-1} \quad Z_{\max} = X_i - X_{j+1}$$

$$b_2 = a_1(X_i - X_j) + a_2 \quad dZ = -dX' \quad (\text{A7})$$

سپس ، به این صورت محاسبه می گردد .

$$\begin{aligned} dD_{i,j-1} = & -\frac{1}{2\pi} \int_{Z_{\min}}^{Z_{\max}} (-a_1 Z + b_2) Z (\ln Z^2 - 2) dZ \\ = & -\frac{1}{2\pi} \left(-b_2 \int_{Z_{\min}}^{Z_{\max}} Z \ln Z dZ + a_1 \int_{Z_{\min}}^{Z_{\max}} Z^2 \ln Z^2 dZ + 2b_2 \right. \\ & \times \left. \left| \frac{Z^2}{2} \right|_{Z_{\min}}^{Z_{\max}} - 2a_1 \left| \frac{Z^3}{3} \right|_{Z_{\min}}^{Z_{\max}} \right) \\ = & -\frac{1}{2\pi} \left(-2b_2 \frac{Z^4}{4} (\ln Z^2 - 1) + 2a_1 \frac{Z^3}{9} (\ln |Z|^3 - 1) \right. \\ & \left. + 2b_2 \frac{Z^2}{2} - 2a_1 \frac{Z^3}{3} \right|_{Z_{\min}}^{Z_{\max}} \end{aligned} \quad (\text{A8})$$

با استفاده از متغیرهای M ، N ، و K و مرتب کردن داریم :

$$dD_{i,j-1} = -\frac{1}{2\pi} \left(a_1 K + a_2 \frac{M}{2} \right) \quad (\text{الف A9})$$

$$dD_{i,j} = -\frac{1}{2\pi} \left(a_3 K + a_4 \frac{M}{2} \right) \quad (\text{ب A9})$$

$$dD_{i,j+1} = -\frac{1}{2\pi} \left(a_5 K + a_6 \frac{M}{2} \right) \quad (\text{ج A9})$$

که در آن :

(الف A10)

$$M = Z_{\min}^2 (\ln Z_{\min}^2 - 3) - Z_{\max}^2 (\ln Z_{\max}^2 - 3)$$

$$N = Z_{\max}^3 (\ln |Z_{\max}|^3 - 4) - Z_{\min}^3 (\ln |Z_{\min}|^3 - 4) \quad (\text{ب A10})$$

$$K = M \frac{X_i - X_j}{2} + \frac{2N}{9} \quad (\text{ج A10})$$

مسئله‌ای در ارتباط با نقطه منفرد به وجود آینده برای $X_i - X_j$ وجود ندارد . وقتی نقطه منفرد از فاصله $[X_i, X_{j+1}]$ وجود دارد ، ما می‌توانیم در طول دونیم فاصله $[X_i, X_{j+1}]$ ، $[X_{j+1}, X_{i+1}]$ و $[X_{i+1}, X_i]$ را استفاده کنیم . انتگرال گرفته و رابطه زیر را استفاده کنیم .

$$\lim_{Z \rightarrow 0} (Z^2 \ln Z^2) = \lim_{Z \rightarrow 0} (Z^3 \ln |Z|^3) = 0 \quad (\text{A11})$$

که نشان می‌دهد روابط (A9) نیز برای $X_i - X_j$ معتبر است . بالاخره ، تغییر شکل δ_i با جمع زدن تمام تغییر شکل‌های ابتدائی کوچک $d\delta_{i,j}$ به دست می‌آید :

$$\bar{\delta}_i = \sum_{j=2,4}^{N-1} d\bar{\delta}_{i,j} \quad (\text{A12})$$

$$\bar{\delta}_i = \sum_{j=1}^N D_{i,j} P_j - \frac{1}{4} \ln \left(R^2 \frac{8W}{\pi} \right) \quad (\text{A13})$$

که در آن اگر j زوج باشد ، $D_{i,j} = dD_{i,j}$ است . اگر j فرد باشد ($j = 3$ در مثال زیر) ، ما

از فاصله $[X_1, X_3]$ را محاسبه کرده و به آن مقدار $dD_{i,1}$ از فاصله $[X_1, X_3]$ را اضافه می کنیم ، تا مقدار انتهایی $D_{i,3}$ به دست آید . اولین و آخرین مقدار $D_{i,1}$ به سادگی ، عبارتند از :

$$D_{i,1} = dD_{i,1} \quad (\text{A14})$$

$$D_{i,N} = dD_{i,N} \quad (\text{A14})$$

توجه داشته باشید که $\sum_j D_{i,j} P_j$ از بار مستقل است . در بارهای بالا ، ضخامت فیلم بدون بعد H_m نسبت به δ_i خیلی کوچک می شود ؛ ولی با استفاده از تغییر متغیر مناسب ($X = x/bc$) تغییر شکل بیشینه δ_m را می توان با H_m گرفت . با استفاده از آخرین تغییر متغیر ، داریم :

$$\bar{\delta}_i = c \sum_{j=1}^N D'_{i,j} P_j - \frac{1}{4} \ln \left(R^2 \frac{8W}{\pi} c^2 \right) \quad (\text{A15})$$

که در آن D'_i ضرایب مؤثر جدید به دست آمده با مقدار جدید X است . از تعریف c ، داریم :

$$c \sum D'_{i,j} P_j = H_m \quad (\text{A16})$$

تغییر شکل بیشینه δ_m نزدیک به تغییر شکل هرتزی^۱ بیشینه δ_H بوده و منتهی می شود :

$$-\frac{1}{4} \ln \left(R^2 \frac{8W}{\pi} \right) + \frac{1}{2} \ln 2 + \frac{1}{4} = H_m - \frac{1}{4} \ln \left(R^2 \frac{8W}{\pi} c^2 \right) \quad (\text{A17})$$

مقدار c سپس می تواند به صورت زیر تعریف می گردد :

$$c = \frac{1}{2} \exp(2H_m - 0.5) \quad (\text{A18})$$

این «ترند» عددی حتماً در بارهای بالا مفید است ؛ ولی برای به دست آوردن نتایج ارائه شده در اینجا استفاده نشد .

۲ فصلنامه

تصحیحهای اعمال شونده به فاکتورهای وزنی ، به خاطر X

جمله dP/dX به خاطر محاسبه ضریب مؤثر $D_{i,j}$ و همچنین در معادله رینولدز استفاده می شود . برای محاسبه $D_{i,j}$ در گره نبا استفاده از سه گره محاسبه می شود :

$$\left(\frac{dP}{dX} \right)_i = a_{i,i-1} P_{i-1} + a_{i,i} P_i + a_{i,i+1} P_{i+1} \quad (B1)$$

که در آن :

$$a_{i,i-1} = \frac{X_i - X_{i+1}}{(X_{i-1} - X_i)(X_{i-1} - X_{i+1})} \quad (B2)$$

$$a_{i,i} = \frac{2X_i - X_{i+1} - X_{i-1}}{(X_i - X_{i-1})(X_i - X_{i+1})} \quad (B3)$$

$$a_{i,i+1} = \frac{X_i - X_{i-1}}{(X_{i+1} - X_{i-1})(X_{i+1} - X_i)} \quad (B4)$$

در اولین و آخرین گرهها X_1 و X_N ، dP/dX نیز با استفاده از سه گره تعریف می شود (مثال ، (X_N, X_{N-1}, X_{N-2}) و (X_1, X_2, X_3)) .

برای محاسبه dP/dX در معادلات رینولدز ، غالباً دو گره می توانند استفاده شود ، اگر به دست آوردن همگرایی عددی با سه گره مشکل باشد . برای فرمول دوگره‌ای ، فاکتورهای

وزنی عبارتند از :

$$a_{i,i+1} = \frac{1}{X_{i+1} - X_i} \quad a_{i,i} = -a_{i,i+1} \quad a_{i,i-1} = 0 \quad (B5)$$

تصحیحهای جزئی نیز بر روی مقادیر آخری $a_{n,n}$ به کار گرفته می‌شود تا شرایط مرزی در $X_i = X_N$ رعایت شود. برای $P = dP/dX = 0$ ، $X = X_N$ و $X = X_{n+1}$ فرض می‌شود که بین X_N و X_{n+1} ، (X) توسط یک چندجمله‌ای از مرتبه دوم تعریف شود. با رعایت شرط مرزی ذکر شده در قبیل، داریم :

$$P = \frac{(X - X_{\text{end}})^2}{(X_N - X_{\text{end}})^2} P_N \quad (B6)$$

$$\frac{dP}{dX} = \frac{2(X - X_{\text{end}})}{(X_N - X_{\text{end}})^2} P_N \quad (B7)$$

بنابراین برای $X = X_N$ داریم :

$$\left(\frac{dP}{dX} \right)_N = \frac{2}{X_N - X_{\text{end}}} P_N \quad (B8)$$

که همچنین می‌تواند به صورت زیر بیان شود :

$$a_{n,n-1} = 0 \quad a_{n,n} = \frac{2}{X_N - X_{\text{end}}} \quad a_{n,n+1} = 0 \quad (B9)$$

انگرال فشار بین X_N و X_{n+1} متهی می‌شود به :

$$\int_{X_N}^{X_{n+1}} P dX = \frac{1}{3} (X_{\text{end}} - X_N) P_N = \Delta C_N P_N \quad (B10)$$

اگر N فرد باشد مقدار $dC_{N+1,N}$ به دست آمده در فاصله $[X_N, X_{N+2}]$ را از مقدار C_N کم کرده و را اضافه کنید تا مقدار انتهایی C_N به دست آید. اگر N زوج باشد، C_{N-1} را تعدیل کنید. از -1 مقدار $dC_{N,N-1}$ به دست آمده در فاصله $[X_{N-1}, X_{N+2}]$ را کم کرده و فاکتور وزنی -1 به دست آمده از انگرال گیری P بین -1 و X_N را اضافه کنید. با استفاده از

دستور «ذو ذنفه» داریم :

$$\Delta C_{N-1} = \frac{X_N - X_{N-1}}{2} \quad (B11)$$

مقدار C_N در انتها به صورت زیر تعریف می شود :

$$C_N = \Delta C_{N-1} + \Delta C_N \quad (B12)$$

۳ فصلیم

محاسبه فاکتورهای ژاکوبین

فاکتورهایی که باید تعریف شوند ، عبارتند از :

$$\frac{\partial f_i}{\partial (\bar{\rho}_m H_m)} \quad \frac{\partial f_i}{\partial P_j} \quad \frac{\partial f_i}{\partial H_0}$$

که در آن :

$$f_i = H_i^3 \left(\frac{dP}{dX} \right)_i - \bar{K} \bar{\eta}_i \left(H_i - \frac{\bar{\rho}_m H_m}{\bar{\rho}_i} \right) \quad (C1)$$

$$H_i = H_0 + \frac{X_i^2}{2} + \sum_{j=1}^N D_{i,j} P_j \quad (C2)$$

و dP/dX ، $\bar{\eta}_i$ ، و $\bar{\rho}_i$ توسط معادلات (۲۱-۲۲) ، (۴-۸) یا (۴-۱۰) یا (۴-۱۹) تعریف می شوند . قبل از این که آخرین فاکتورهای ژاکوبین تعریف شوند ، رابطه های زیر را تعریف می کنیم :

$$\frac{\partial H_i}{\partial H_0} = 1 \quad (\text{الف C3})$$

$$\frac{\partial H_i}{\partial P_j} = D_{i,j} \quad (\text{ب C3})$$

$$\partial \bar{\eta}_i / \partial P_j = \alpha p_H \bar{\eta}_i k_{i,j} \quad (\text{ج C}^3)$$

اگر لزجت باروس^۱ [معادله (۴-۸)] استفاده شود ، یا :

$$\frac{\partial \bar{\eta}_i}{\partial P_j} = 5.1 \times 10^{-9} p_H (\ln \eta_0 + 9.67) (1 + 5.1 \times 10^{-9} p_H P_i)^{Z-1} \bar{\eta}_i k_{i,j} \quad (\text{د C}^3)$$

اگر لزجت رولندز [معادله (۴-۱۰)] استفاده شود ، که $K_{i,j}$ علامت کرونکر^۲ برابر ۱ است ، اگر $j = i$ و برابر ۰ اگر $i \neq j$

$$\frac{\partial (1/\bar{\rho}_i)}{\partial P_j} = - \frac{0.6 \times 10^{-9} p_H}{1 + 2.3 \times 10^{-9} p_H P_i} k_{i,j} \quad (\text{ه C}^3)$$

$$\frac{\partial [(dP/dX)_i]}{\partial P_j} = a_{i,i-1} k_{i-1,j} + a_{i,i} k_{i,j} + a_{i,i+1} k_{i+1,j} \quad (\text{و C}^3)$$

حال به آسانی می توان فاکتورهای ژاکوبین را تعریف نمود :

$$\frac{\partial f_i}{\partial (\bar{\rho}_m H_m)} = \frac{\bar{K} \bar{\eta}_i}{\bar{\rho}_i} \quad (\text{الف C}^4)$$

$$\begin{aligned} \frac{\partial f_i}{\partial P_j} &= 3H_i^2 \left(\frac{dP}{dX} \right)_i D_{i,j} + H_i^3 \frac{\partial [(dP/dX)_i]}{\partial P_j} - \bar{K} \frac{\partial \bar{\eta}_i}{\partial P_j} \left(H_i - \frac{\Delta \bar{\rho}_m H_m}{\bar{\rho}_i} \right) \\ &\quad - \bar{K} \bar{\eta}_i \left[D_{i,j} - \bar{\rho}_m H_m \frac{\partial (1/\bar{\rho}_i)}{\partial P_j} \right] \quad (\text{ب C}^4) \end{aligned}$$

و :

$$\frac{\partial f_i}{\partial H_0} = 3H_i^2 \left(\frac{dP}{dX} \right)_i - \bar{K} \bar{\eta}_i \quad (\text{ج C}^4)$$

پنجمین مرحله

تعریف فاکتورهای وزنی

فاکتورهای وزنی C_j با استفاده از چندجمله‌ای لاغرانژ سه نقطه‌ای با یک شبکه عمومی (گام غیرثابت) تعریف می‌شوند. در فاصله $[X_{j-1}, X_{j+1}]$ فشار توسط یک چندجمله‌ای از مرتبه دوم در X' تشریح می‌شود:

$$P = \frac{X'(X' + X_j - X_{j+1})}{(X_{j-1} - X_j)(X_{j-1} - X_{j+1})} P_{j-1} + \frac{(X' + X_j - X_{j-1})(X' + X_j - X_{j+1})}{(X_j - X_{j-1})(X_j - X_{j+1})} P_j \\ + \frac{(X' + X_j - X_{j-1})X'}{(X_{j+1} - X_{j-1})(X_{j+1} - X_j)} P_{j+1} \quad (D1)$$

حال مامی توانیم ضرایب $dC_{j,j+1}$ و $dC_{j,j-1}$ را به گونه‌ای تعریف کنیم:

$$\int_{X'_{\min}}^{X'_{\max}} P dX' = dC_{j,j-1} P_{j-1} + dC_{j,j} P_j + dC_{j,j+1} P_{j+1} \quad (D2)$$

که در آن:

$$X'_{\min} = X_{j-1} - X_j$$

و:

$$X'_{\max} = (X_{j+1} - X_j)$$

$$dC_{j,j-1} = \frac{1}{(X_{j-1} - X_j)(X_{j-1} - X_{j+1})} \left| \frac{(X')^3}{3} + (X_j - X_{j+1}) \frac{(X')^2}{2} \right|_{X'_{\min}}^{X'_{\max}} \quad (\text{الف D}3)$$

$$dC_{j,j} = \frac{1}{(X_j - X_{j-1})(X_j - X_{j+1})} \left| \frac{(X')^3}{3} + (2X_j - X_{j-1}) \frac{(X')^2}{2} + (X_j - X_{j-1})(X_j - X_{j+1}) X' \right|_{X'_{\min}}^{X'_{\max}} \quad (\text{ب D}3)$$

$$dC_{j,j+1} = \frac{1}{(X_{j+1} - X_{j-1})(X_{j+1} - X_j)} \times \left| \frac{(X')^3}{3} + (X_j - X_{j-1}) \frac{(X')^2}{2} \right|_{X'_{\min}}^{X'_{\max}} \quad (\text{ج D}3)$$

این ضرایب برای $j = 2, 4, \dots, N - 1$ محاسبه می‌شوند . وقتی زوج است ، ضرایب بالاخره به صورت زیر تعریف می‌شوند :

$$C_j = dC_{j,j}$$

وقتی زفرد است ($= 3$ = زدرمثال زیر) ، در ارتباط با فاصله $[X_1, X_3]$ محاسبه می‌شود و $dC_{2,3}$ مربوط به فاصله $[X_3, X_5]$ به آن اضافه می‌شود تا C_3 یا C_5 در این مثال تعریف می‌شود . تصحیحهای فرعی نیز بر روی آخرین مقادیر C اعمال می‌شوند تا برای انتها $X = X$ مثل آن در ضمیمه ۲ شرط مرزی را رعایت کرده باشند .



FERDOWSI UNIVERSITY OF MASHHAD

Publication No. 239

*Fundamentals
of
Fluid Film Lubrication*

Bernard J. Hamrock

Translated by

Dr. Asghar Baradaran Rahimi

FERDOWSI UNIVERSITY PRESS

1999